

Gheorghe Chișleag

**RADIOLOGIE
MEDICALĂ**

1

Editura Litera

Soției mele, Maria

Prof. Dr. Doc. GHEORGHE CHIŞLEAG

RADIOLOGIE MEDICALĂ

Noțiuni și scheme

Vol. I



București — 1986

Coperta de
PETRE HAGIU

CUPRINSUL GENERAL

Volumul I

Tabla de materii.

Definiție, istoric, generalități.

Fizica razelor röntgen; aparatelor de raze X și funcționarea lor.

Metode de cercetare radiologică și principiile lor.

Afecțiunile aparatului respirator.

Examenul radiologic al cordului și vaselor mari.

Index alfabetic de noțiuni și scheme al volumului I.

Volumul II

Examenul radiologic al tubului digestiv.

Radiodiagnosticul căilor biliare.

Examenul radiologic al ficatului, splinei și pancreasului.

Diagnosticul radiologic al aparatului urinar.

Radiodiagnosticul organelor retroperitoneale.

Examenul radiologic al sistemului osteoarticular.

Examenul radiologic în specialități: stomatologie, O.R.L., oftalmologie, neurologie și neurochirurgie, obstetrică și ginecologie.

Bibliografie selectivă.

Index alfabetic de noțiuni și scheme al volumului II.

Autorul, prof. dr. doc. GHEORGHE CHIŞLEAG, s-a născut la 10 aprilie 1914, în Româneşti, judeţul Botoşani.

Este bacalaureat al Liceului „A. T. Laurian“ (Botoşani, 1932), doctor în medicină (Iaşi, 1938), absolvent al Cursurilor de specializare în radiologie și electrologie medicală ținute de profesorul Emil Radu, la Iaşi, în 1941.

Devine succesiv: preparator suplinitor de anatomie patologică (1933) și apoi de radiologie; asistent universitar (1940), șef de lucrări și șef al Clinicii Radiologice din Iaşi (1950), conferențiar (1956), profesor și șef de catedră (1962), profesor consultant (1979). Doctor docent din 1972.

Din anul 1953 organizează și conduce la Iaşi învățămîntul postuniversitar pentru specializare și perfecționare în radiologie a medicilor pentru care scrie un curs de Röntgendiagnostic în 8 volume și mai multe cursuri și monografii pe specialități radiologice.

Din anul 1965 conduce pregătirea prin aspirantură și apoi prin doctorat în radiologie.

A înființat și condus Clinica Oncologică din Iaşi.

În activitatea științifică, concretizată în peste 550 lucrări originale, elaborate în colaborare sau singur, a abordat probleme fundamentale de fiziopatologia tubului digestiv și a țesutului osos, de radiosensibilitate a unor țesuturi precum și probleme aplicative de radiologie, oncologie și radiobiologie legate mai ales de boala ulceroasă, diagnosticul și tratamentul cancerului de debut, urmările stomacului operat și altele.

Este membru activ, de onoare sau asociat al mai multor societăți și comitete internaționale și naționale.

Între anii 1967—1974 a fost președintele Societății de Radiologie din R. S. România și membru în Comitetul de Conducere al Societății Internaționale de Radiologie.

PREFATĂ

Lucrarea „RADIOLOGIE MEDICALĂ; noțiuni și scheme“ este destinată să completeze pregătirea radiologică a studenților în medicină și a medicilor stagiari și secundari, ușurindu-le, astfel, înțelegerea și înșușirea datelor teoretice și practice, pe care le primesc de la alte discipline de studiu, care apelează la radiologie. Ea răspunde solicitărilor pentru o lucrare concisă, care să poată fi utilizată de medicii tineri, atât în practica zilnică de spital, cit și pentru pregătirea diferitelor examene și concursuri la care radiologia constituie o probă de specialitate.

Lucrarea este utilă și medicilor de alte specialități decât radiologia, care trebuie să știe cînd este necesar să indice și ce trebuie să ceară pentru bolnavii pe care îi trimit la serviciul de radiologie precum și posibilitățile și limitele examenului radiologic în cazurile respective.

În volumul I sunt expuse noțiunile de fizică necesare pentru a înțelege principiile de construcție și de funcționare ale aparatului medical de radiologie; mecanismul de producere a razelor X și proprietățile lor; acțiunea razelor X asupra corpului uman și protecția; legile proiecției optice care explică formarea și particularitățile imaginii radiologice; programele datorate electronică (amplificatorul de intensitate a imaginii, camera și monitorul TV, înscrierea imaginii pe bandă, pe disc magnetic sau optic, digitalizarea, prelucrarea imaginilor pe calculator, tomografia computerizată); alte mijloace de imagerie medicală (termografie, ecografie, rezonanță magnetică nucleară). În continuare este tratat, pe capituloare, examenul radiologic al plămînului, mediastinului și diafragmului, precum și al aparatului cardio-vascular.

În volumul al II-lea sunt abordate: tubul digestiv și căile biliare, rînchiul și căile urinare, sistemul osteo-articular și particularitățile examenului radiologic în diferite specialități.

Lucrarea este structurată unitar, cu plan de expunere, pe cît posibil, asemănător pentru fiecare diviziune și subdiviziune.

În fiecare capitol se expun bazele teoretice și caracterele principale ale manifestărilor normale și patologice ale sistemului sau organului respectiv în activitatea sa fiziologicală, ca parte componentă a unui organism unitar, începînd cu noțiunile elementare, astfel încît la sfîrșitul capitolului să se poată face sinteza și generalizarea datelor expuse analitic.

La începutul fiecărui capitol se schițează metodele specifice de examinare și apoi se expune semeiologia radiologică normală a organului respectiv.

tiv în raport cu care este apoi conturată semeiologia patologică proprie fiecarui organ în diferite afecțiuni.

Noțiunile semeiologice sunt utilizate în continuare pentru înțelegerea, asimilarea și însușirea în mod concret a tabloului radiologic în diagnosticul diferitelor afecțiuni, care sunt clasificate unitar și descrise detaliat.

S-a insistat asupra bolilor principale și a afecțiunilor cu extindere în masă.

Pentru fiecare afecțiune semnele radiologice sunt corelate cu datele clinice și cu substratul fizio- și anatomo-patologic, macro- și microscopic, cu datele biologice de laborator.

Sunt discutate particularitățile imaginii radiologice în raport cu vîrstă și cu stadiul evolutiv în care este surprinsă afecțiunea, insistîndu-se asupra simptomelor și modificărilor de la începutul evoluției.

La fiecare afecțiune se schițează elementele necesare pentru stabilirea diagnosticului pozitiv și se face și diagnosticul diferențial în contextul celorlalte semne clinice și de laborator.

In acest mod, cititorul își însușește treptat noțiunile de bază și limbajul propriu al specialității și își formează o părere completă și complexă asupra afecțiunilor.

Noțiunile teoretice din text sunt ilustrate cu scheme care permit extragerea informației esențiale, izolarea pattern-ului caracteristic, din bogăția de informații a imaginii radiologice. Prin aceste scheme pot fi redate mai expresiv, mai sugestiv și mai concret elementele specifice afecțiunii care sunt dezvăluite de radiografie. Schemele înlesnesc înțelegerea textului, amplificindu-l, potențindu-l și fixîndu-l și în memoria vizuală a cititorului.

Majoritatea schemelor sunt originale, restul fiind clasice în specialitate.

Lucrarea oglindește experiența medicală, didactică și științifică a autorului, concepția și aportul său în radiologie. Materialul este ținut la zi în ceea ce privește concepțiile și interpretările, ca și tehniciile noi.

Volumul I conține figurile 1—458, iar volumul II figurile 459—1 145.

Fiecare volum conține un indice alfabetic detaliat pe pagini și figuri care să ușureze mînuirea lucrării.

Iași, martie 1986

Autorul

I. Definiție, istoric, generalități

Radiologia este știința care se ocupă cu studiul teoretic și aplicațiile practice ale radiațiilor ionizante — raze X, raze gamma, radiații corpusculare, izotopi radioactivi.

Radiologia medicală este disciplina care se ocupă cu studiul teoretic și aplicațiile practice în medicină ale radiațiilor de mai sus și în special ale razelor Röntgen.

Vom studia în plus sistemele de obținere a imaginilor cu diferite metode moderne și mijloace de imagerie, utilizând posibilitățile actuale ale electronicii.

Istoric. Razele X au fost descoperite la 8 noiembrie 1895 de către WILHELM CONRAD RÖNTGEN — profesor de fizică la Universitatea din Würzburg. După ce a observat fluorescența platinocianurii de bariu în vecinătatea tubului Hittorf—Crookes care era în funcțiune, în cursul unor experiențe asupra descărărilor electrice în gaze, a avut ideea să interpună mîna sa între acest tub și un carton acoperit cu platinocianură de bariu, apoi să substituie ecranului o placă fotografică. Descoperirea a debutat cu crearea tehnicilor principale de diagnostic: radioscozia și radiografia. În ianuarie 1896 lumea științifică ia cunoștință de această descoperire din publicații. Tot în 1896, HENRI BECQUEREL descoperă radioactivitatea. În diferite țări se repetă experiențele lui Röntgen și cu aceasta începe era radiologică.

În anul 1901 se acordă premiul Nobel pentru fizică lui W. C. Röntgen, iar în 1903 lui H. Becquerel. În anul 1981, G. M. Hounsfield, creatorul computer-tomografiei, primește premiul Nobel pentru medicină.

Încă din ianuarie 1896 fizicianul român DRAGOMIR HURMUZESCU face la Paris radiografia în laboratorul prof. LIPPMAN, împreună cu Dr. G. MARINESCU, viitor profesor de neurologie la Facultatea de Medicină din București, bolnavilor aduși de acesta de la Spitalul Pitié, din serviciul lui CHARCOT. În aprilie 1896 Hurmuzescu se întoarce la București, unde la 10 iunie susține o conferință asupra razelor X, la Societatea de științe fizice; la această conferință face demonstrații radiologice, fiind ajutat de tehnicianul CHARLES EISENECKER de la Școala de poduri și șosele. Aici era improvizat un aparat de raze X încă din martie 1896, pe care-l perfecționează și la care se fac și primele radiografii ale scheletului mînii, ale unor obiecte metalice (pungă cu chei, etc.).

În 1897 se aduce un aparat de raze X la Spitalul militar din București cu care, în 1899, începe să lucreze Dr. GEROTA DIMITRIE, medic care ține și primul curs de inițiere (de două luni) personalului de la acest spital.

La Spitalul Colțea, în cursul anului 1896, funcționează un aparat de raze X în serviciul de chirurgie al profesorului C. Severeanu, cu concursul tehnicienului Eiseneker. Dr. Gerota este numit șef de laborator de radiologie la Colțea abia în 1906. El și-a făcut studiile în străinătate și s-a reîntors în țară în 1897, aducând și un aparat röntgen; a ținut conferințe de popularizare a radiologiei, iar în 1905 ține un curs liber la Facultatea de medicină din București.

Ulterior a fost profesor de anatomie topografică și medicină operatorie la Facultatea de medicină din București.

Spitalul Brâncovenesc este înzestrat cu o instalație röntgen abia în 1901, care funcționa în laboratorul numit „atelier de radiografii și fotografii“. Instalația era manipulată de către fotograful Oswald Fink, care iscălea și buletinele radiologice. La acest spital este numit ca radiolog, în 1908, Dr. GH. SEVEREANU care trece apoi la Spitalul Colțea, după plecarea Dr. D. Gerota.

Dr. Dragomir Hurmuzescu, fiind numit profesor de fizică la Iași, improvizează o instalație röntgen la Liceul Internat în 1896 și una la Universitate în 1897, cu piesele existente în laboratoarele acestor instituții.

Prima instalație spitalicească de röntgendifagnostic la Iași a fost la Clinica chirurgicală Prof. dr. LEON SCULLY în 1899, care funcționa în pavilionul ocupat în prezent de Clinica O.R.L. la Spitalul Sf. Spiridon.

Primul aparat de röntgenterapie la Iași a fost adus în anul 1908 de Prof. DEMETRIADE GH. și funcționa în Clinica Dermatologică, la care, în 1909 lucra Dr. STERE A., făcând cu el la început diagnostic, mai târziu și radioterapie, urmat de Dr. ANIBAL POPESCU, ajutat de tehnicianul mecanic ZAHARIA PETRE.

În 1905 Dr. Stere a înființat un serviciu de radiologie și fizioterapie la Spitalul Pașcanu din Iași (în serviciul Dr. POSSA), cu un aparat de radiologie împrumutat de la Prof. STRAVOLCA GH. IOAN — titularul catedrei de fizică la Universitatea din Iași, care de fapt era aparatul improvizat de D. Hurmuzescu, în anul 1897, în laboratoarele Universității.

Al treilea aparat, în acea vreme, la Iași se afla pe lîngă laboratorul de patologie generală al prof. dr. TIROU CONSTANTIN.

Până în 1925 se găseau aparate röntgen la spitalele Ministerului Sănătății numai în orașele Craiova, Brăila și Slatina.

În Transilvania se găseau aparate la Arad, Beiuș, Brașov, Geoagiu, Oradea, Sighișoara.

După anul 1926 sunt aduse mai multe aparate în țară, găsindu-se instalații de radiologie la spitalele din orașele mai mari și capitale de județ. Învățămîntul de radiologie se efectuează pe lîngă clinicele universitare din București, Cluj și Iași, iar primii profesori de radiologie de la noi au fost Dr. GH. SEVEREANU, Dr. D. NEGRU, Dr. E. RADU.

După 23 August 1944, rețeaua de radiologie se extinde atât în centrele mari cât și la Spitalele județene și chiar la circumscriptiile sanitare rurale unde funcționează centre de sănătate, iar numărul medicilor radiologi crește. Se pun bazele și se organizează învățămîntul de specialitate pentru studenți în institutele de medicină și pentru medici, prin cursuri de specializare și perfecționare postuniversitare.

Importanța radiologiei medicale și relațiile acesteia cu alte discipline

Disciplina de radiologie medicală s-a dezvoltat într-un ritm rapid, încă de la începurile sale, având trei ramuri:

- röntgendiagnostic;
- radioterapie;
- radiobiologie, la care în ultimii ani s-a adăugat și
- medicina nucleară.

Röntgendiagnosticul este o metodă de cercetare clinică care ne dă relații despre starea morfologică și funcțională a diferitelor organe profunde.

În prezent a apărut noțiunea de „imagerie medicală“ pentru că imagini asemănătoare celor obținute cu ajutorul razelor röntgen pot fi obținute și cu alte mijloace; ultrasunetele și R.M.N.

Împreună cu datele clinice și cele de laborator, ajută la stabilirea diagnosticului bolilor arătând sediul, întinderea, modificările precoce precum și evoluția procesului patologic.

Radioterapia presupune tratamentul unor boli cu ajutorul radiațiilor ionizante și încă de pe acum enunțăm bolile de piele, unele inflamații și mai ales tumorile care sunt influențate favorabil și uneori vindecate prin această metodă terapeutică.

Radiobiologia studiază fenomenele ce se produc din interacțiunea între organism și radiațiile ionizante; ea cauță să descopere, să explice modificările biologice datorate radiațiilor ionizante și constituie baza teoretică a radioterapiei, pe de o parte, a protecției în radiologie, pe de altă parte.

Introducerea în practica medicală a izotopilor radioactivi a dus la dezvoltarea *medicinae nucleară*, capitol de actualitate disputat de mai multe discipline, care ridică probleme pentru înțelegerea cărora sunt necesare cunoștințe de radiologie și radiobiologie.

În ultimii ani s-au conturat specialități în cadrul radiodiagnosticului pentru pediatrie, gastroenterologie, neurochirurgie, stomatologie; au apărut noi metode de investigație: tomografia, examenul cu ultrasunete (echografie), tomografia cu raze X și computer, rezonanța magnetică nucleară (R.M.N.).

Medicilor le este necesară însușirea diferitelor metode de examinare și posibilitățile de tratament radiologic, pentru ca să știe ce trebuie să aștepte de la fiecare din acestea, atunci cînd trimit bolnavul la specialistul radiolog.

Trebue să cunoască metodele de pregătire a bolnavilor în vederea examenelor cerute și să știe să interpreze clinico-radiologic diferite modificări pe care le semnalează bulențul radiologic sau care se observă pe clișeul radiografic al bolnavului.

Pentru indicațiile terapeutice și aprecierea rezultatelor trebuie să aibă noțiuni de radiobiologie, să cunoască efectul razelor X asupra organismului în general și asupra țesutelor normale sau a celor patologice, în diferite boli.

Pentru înșurarea noțiunilor de radiologie este nevoie să cunoască anatomia și fiziologia normală, anatomia patologică și fiziopatologia, precum și datele de clinică medicală sau chirurgicală în legătură cu fiecare caz în parte. Diferitele specialități și discipline medicale se îmbină armonios între ele, lămurind cele mai complexe probleme, contribuind astfel la elucidarea diagnosticului sau la stabilirea tratamentului optim, precum și la dezvoltarea fiecărei discipline în parte.

„Razele Roentgen nu se înșală niciodată — spunea A. BÉCLÈRE. Ne înșelăm noi atunci când le cerem mai mult decât pot să ne dea și atunci când interpretăm rău limbajul lor“.

II. Fizica razelor Röntgen

Radiațiile reprezintă un mod special de mișcare a materiei.

În raport cu modul propagării și cu proprietățile lor imediate, ele sunt împărțite în două categorii principale:

- radiațiile ondulatorii sau electromagnetice și
- radiațiile corpusculare.

Astăzi este dovedit și recunoscut că materia, atât în forma ei de substanță, cât și în forma ei diluată (de „cîmp“) în fenomenele electromagnetice, are în același timp cele două caractere, ondulator și corpuscular — ceea ce se demonstrează prin faptul că electronii în interacțiune cu pozitronii se transformă în fotoni gamma și invers, fotonii gamma se pot transforma într-o pereche de particule, electron și pozitron (fig. 34).

Din grupa ondulațiilor electromagnetice, pe lîngă razele X și gamma, fac parte razele cosmice și radiațiile ultraviolete, radiațiile ce constituie lumina vizibilă, radiațiile infraroșii, microundele și undele hertziene folosite în telefonie, radar, televiziune și radiofonie. Aceste feluri de ondulații se deosebesc între ele prin lungimea lor, de undă (λ), prin frecvența lor (v), așa cum rezultă din tabelul I. Cu cât lungimea lor, de undă este mai scurtă, cu atît energia radiațiilor (duritatea lor) este mai mare.

Din grupul radiațiilor corpusculare fac parte particulele (încărcate electric) direct ionizante, ca razele alfa și beta ale radiului și corpilor radioactivi; electronii, mezonii, protonii, deuteronii și alte particule fără sarcină electrică (mezonii π , neutronii) asupra căroră vom reveni.

Razele X sunt ondulații electromagnetice cu lungimi de undă care se măsoară în Ångstromi. Un Å este a 10 000 parte dintr-un micron, adică $1/10\,000\,000$ dintr-un milimetru; el este egal cu 10^{-7} mm.

Razele X utilizate în scopuri medicale au lungimea de undă de 4—5 Å și penetrabilitate mare.

Producerea razelor röntgen

Razele X iau naștere ori de câte ori un fascicul de electroni în mișcare foarte rapidă este frânat brusc, cu care ocazie energia lor cinetică se transformă în energie radiantă.

TABEL I

Domeniile și lungimile de undă ale rădăților electromagnetice

10 Km	10^4	m	unde lungi	Intrebuințate în telegrafie fără fir și în radiodifuziune	unde hertziane	—	—
	10^3		unde medii			—	—
	10^2		unde scurte			—	—
10 m	10^1					—	—
	1			televiziune		—	—
1 dm	10^{-1}			radar și telefonie		de la 30 km	la 300 mm
1 cm	10^{-2}					—	—
1 mm	10^{-3}			domeniu intermediar încă neutilizat		—	—
	10^{-4}					300 mm	0,1 mm
	10^{-5}					—	—
1 μm	10^{-6}			radiații infraroșii		400—0,7 μm	
	10^{-7}			radiații vizibile — lumina		700—400 nm	
	10^{-8}			radiații ultraviolete		400—15 nm	
1 nm	10^{-9}			domeniu intermediar între u.v. și radiații X, neutilizat		150—5 Å	
	10^{-10}					5 Å—0,6 Å	
	10^{-11}			radiații X	foarte moi, în diagnostic sau în terapie	0,6—0,3 Å	
	10^{-12}					0,3—0,1 Å	
1 X	10^{-13}			radiații gamma ale substanțelor radioactive		5—0,1 Å	
	10^{-14}					—	—
	10^{-15}			radiații cosmice		—	—
	10^{-16}					—	—

Legenda unităților de măsură

$$1 \mu\text{m} = 1 \text{ micron} = 1/1000 \text{ mm} = 1 \cdot 10^{-6} \text{ m}$$

$$1 \text{ nm} = 1 \text{ milimicron} = 1 \cdot 10^{-9} \text{ m}$$

$$1 \text{ Å} = 1 \text{ unitate Ångstrom} = 1/10 \text{ nm} = 1 \cdot 10^{-10} \text{ m}$$

$$1 \text{ X} = 1 \text{ unitate X} = 1/1000 \text{ Å} = 1 \cdot 10^{-13} \text{ m}$$

Una dintre primele instalații de raze X — improvizată dintr-o bobină Rhumkorf și tubul cu gaz Hittorf — se vede pe fig. 1.

Pentru producerea razelor röntgen este nevoie de tubul de raze X care este alimentat de circuite electrice adecvate prin intermediul transformatorilor și în care se produc electronii, cărora li se imprimă energii foarte mari și apoi sint frânați brusc.

Tubul de raze X, care se întrebunează în prezent, este *tubul cu vid Coolidge*, în care electronii se produc la catod prin încălzirea unui filament (tub cu emisie termionică — *efectul Edison—Richardson*).

Tubul de raze X (fig. 2, 8, 12 și 23) are pereții constituți din sticlă; are formă sferică, elipsoidală sau cilindrică și la extremitățile sale se gă-

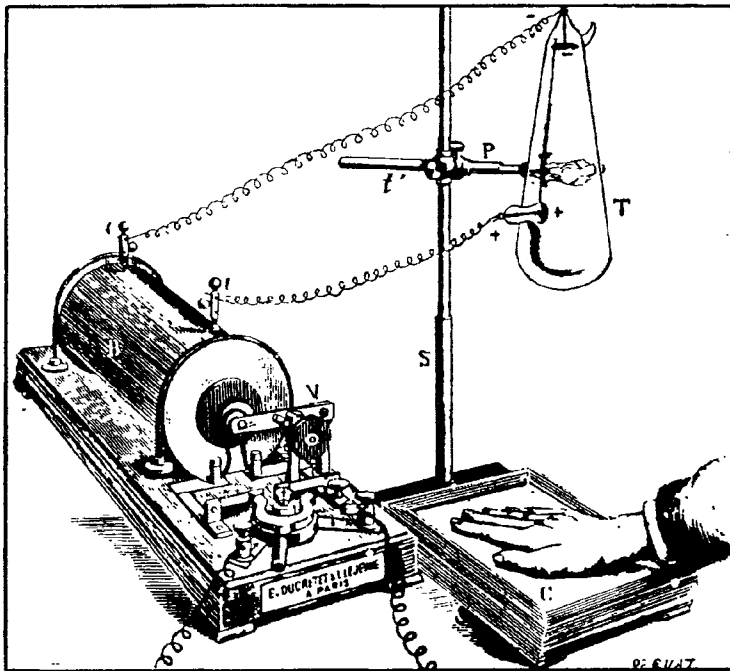


Fig. 1 — Una dintre primele instalații cu raze X, improvizată dintr-o bobină RHUMKORF și tubul cu gaz HITTORF.

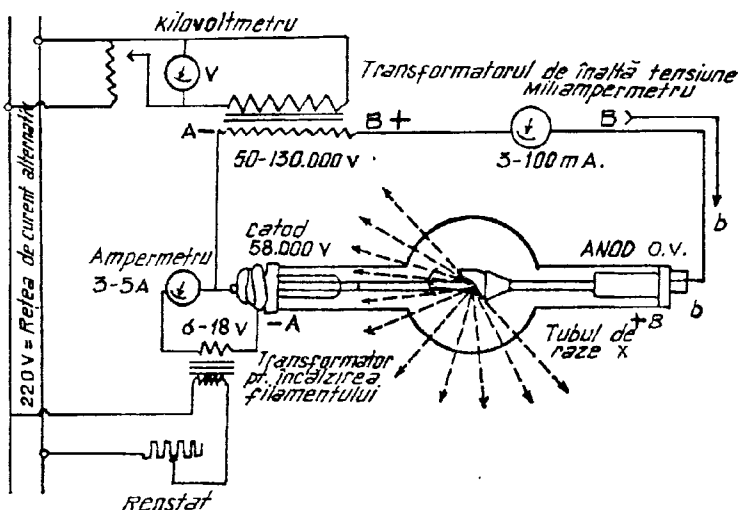


Fig. 2 — Schema unei instalații simple de raze X care funcționează cu 1/2 undă (modificare după SCHINZ).

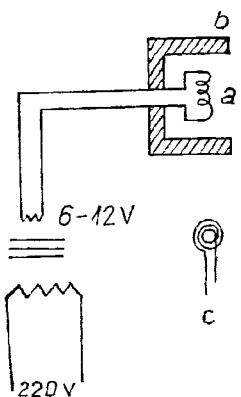


Fig. 3 — Catodul (a, c) tubului de raze X și conexiunile la transformatorul de încălzire al filamentului. Filament liniar și circular.

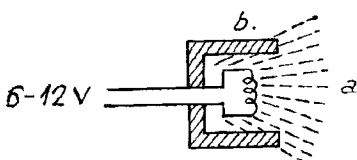


Fig. 4 — Norul de electroni în jurul filamentului catodic încălzit (a). Pieșă de concentrare WEHNELT și de focalizare a fasciculului (b).

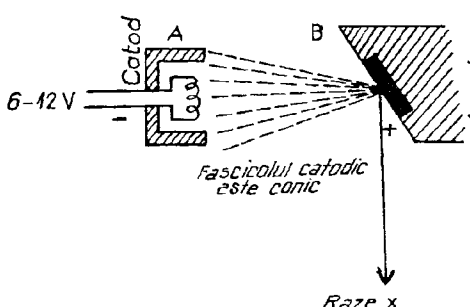


Fig. 5 — Concentrarea și focalizarea fasciculu-
lui de electroni catodici spre anod.

sesc două prelungiri tubulare în care sunt montați cei doi electrozi ai tubului, care poartă numele de c a t o d (prevăzut cu un filament) și a n o d și sunt reuniți cu polii respectivi (A- și B+) ai transformatorului de înaltă tensiune.

În tub există un vid foarte accentuat, de proporția a mili-oana parte (10^{-6}) dintr-un mm Hg, adică 10^{-6} Torr.

Tubul Crookes, care a fost primul utilizat în producerea razelor X, era un tub cu gaz la o presiune de $1/100$ mm Hg.

Sticla tubului actual și ceramica utilizată în prezent ca izolator are particularitatea că rezistă la presiunea atmosferică exterioară — care este foarte mare comparativ cu vidul din tub — ca și la încărcări electrice mari și permite trecerea razelor X.

CATODUL

Catodul (fig. 3) este constituit dintr-o spirală metalică de tungsten care este liniară (a) sau sub formă de arc (c), grosă de 200—220 microni, asemănătoare ca formă cu filamentul de la becurile electrice.

Filamentul care poate fi liniar (a) unic sau filament dublu sau circular (c) este înconjurat de o piesă metalică cilindrică IN FORMĂ DE DEGETAR (Wehnelt) (b) care este numită „piesă de concentrare și focalizare”.

Filamentul este încălzit pînă la incandescență tungstenului (2500°C) cu ajutorul unui curent de încălzire de 6—12—18 voltî, 3—5—9 amperi, produs de transformatorul de joasă tensiune, numit din acest motiv și transformator de încălzire.

În atomii filamentului de tungsten, din cauza căldurii, electronii de pe orbitele periferice se rotesc din ce în ce mai repede în jurul axului lor pînă ce se desprind de pe aceste orbite (fig. 17). Numărul de electroni desprinși este cu atît mai mare cu cît filamentul este mai puternic încălzit.

După ce se desprind, electronii gravitează în jurul filamentului (fig. 4, a) în interiorul piesei de concentrare și focalizare (b). Aceasta, atît prin forma și inclinarea pereților săi, cît și prin *sarcina electrică negativă* cu care este încărcată în circuitul de înaltă tensiune, face ca electronii să se adune într-un fascicul conic orientat cu vîrful spre anod, care este legat la polul pozitiv al transformatorului de înaltă tensiune și are rol de focar (fig. 5).

În acest mod se produce *focalizarea* fasciculului de electroni. Electronii rezultați pot produce raze X dacă dispunem de o sursă electrică (transformatorul de înaltă tensiune), care să antreneze cu putere foarte mare electronii din jurul filamentului și să-i îzbească de anod, care-i oprește brusc.

Anodul poartă numele și de *anticatod*, din cauză că joacă rol de frânare a electronilor catodici.

ANODUL

Anodul (fig. 6) este constituit dintr-un bloc cilindric masiv de cupru (4) în care este incorporată o pastilă de tungsten (3), care are formă ovoidă sau dreptunghiulară.

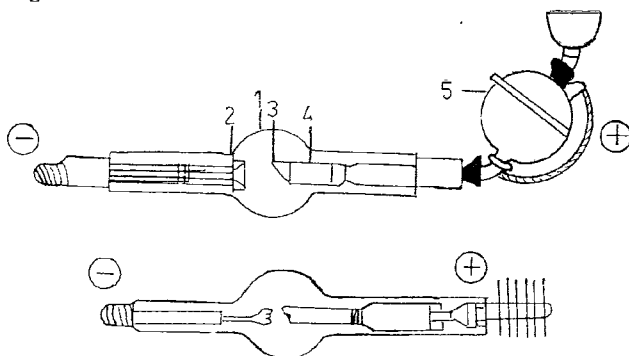


Fig. 6 — *Tuburi standard COOLIDGE cu emisiune termionică*. Anodul tubului de raze X și dispozitive de răcire prin convecție, cu radiator metalic cu aripioare (jos) sau cu apă din rezervor (sus).

- | | |
|-----------------------|------------------------------------|
| 1. Balonul de sticlă. | 4. Bloc masiv anodic |
| 2. Catod cu filament. | (din cupru). |
| 3. Anod (anticatod). | 5. Recipient cu apă pentru răcire. |

Pastila, în schimb (care se numește *focus* sau *focarul tubului*) trebuie să aibă duritate mai mare, pentru a nu se pulveriza și să caracterizeze sub efectul bombardării cu electroni catodici și o temperatură de topire ridicată ($> 3200^{\circ}\text{C}$).

În momentul cînd se stabilește circuitul curentului electric de înaltă tensiune (fig. 2), polul pozitiv al transformatorului de înaltă tensiune (B) este reunit la anodul tubului iar polul negativ (A) la catod. Între aceste două piese există o diferență de potențial V enormă (intre 10 kV și 400 kV, variabilă după tipul aparatului și necesitatea de moment) care face ca electronii catodici (al căror număr variază în raport cu tensiunea de încălzire a filamentului) să fie atrași și să izbească cu putere anodul. Din frâñarea bruscă, conform *legii lui DUANE* $\left[\Lambda_{\min} = \frac{12 \cdot 350 \text{ Å}}{V} \right]$ rezultă un proces complex: 98% din energia cinetică sub 100 kV se transformă în căldură; 1%, în raze X, care ies din tub prin fereastra cupolei și sunt utilizate pentru diagnostic sau terapie; 1% din electroni se pierd către pereții de sticlă.

Pe lîngă rolul de focar termic pe care îl are pastila anodului ca să înmagazineze căldura degajată în timpul funcționării tubului și pentru îndeplinirea căruia este nevoie ca suprafața ei să fie cît mai mare, ea are rol de focar optic pentru care scop e nevoie să fie cît mai mică; de pe ea se naște fasciculul de raze X, care se cere să fie punctiform pentru a realiza o imagine netă fără penumbră (fig. 50). Pentru aceasta planul anodului trebuie să prezinte o înclinare de 45° pînă la 10° (Goetze) pentru că în acest mod suprafața sa de proiecție (focarul optic), este de 6 ori mai mică (fig. 7) decît a focarului termic. La tuburile cu anodul fix, puterea tubului variază de la 1,5 kW la 10 kW.

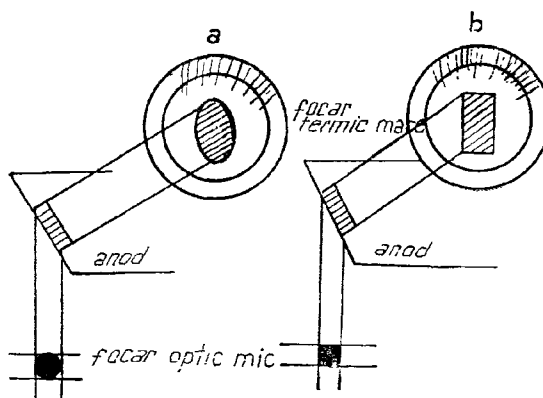


Fig. 7 — Focarul optic al anodului este aproape punctiform și mult mai mic decît focarul termic (care este ovoid sau dreptunghiular).

Tuburile cu *anodul rotativ de tip metalic* (fig. 8), cu talerul constituit din molibden gros de 3 mm și acoperit cu un strat de Wolfram—Rhenium gros de 1,5 mm, îmbină în mod util principiul — focar termic mare (cît porțiunea hașurată în formă de cerc de pe discul anodic din fig. 10 (4)) — focar optic foarte mic (5) — care permite obținerea de structuri foarte fine; se folosesc și tuburi cu 2 focare.

Fig. 8 — Tub cu anod rotativ metalic: 1. Talerul anodic antrenat de rotor (3). 2. Axul de rotație. 4. Filamentul catodic, 5. Peretele de sticlă. 6. Statorul.

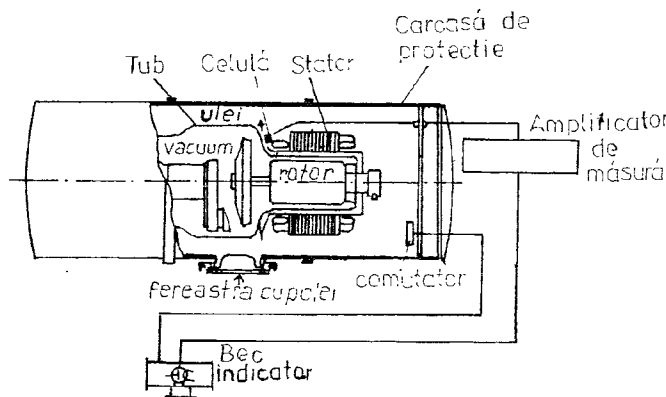
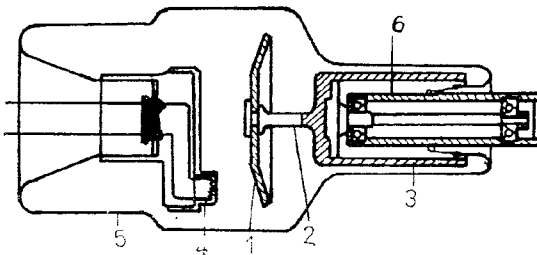
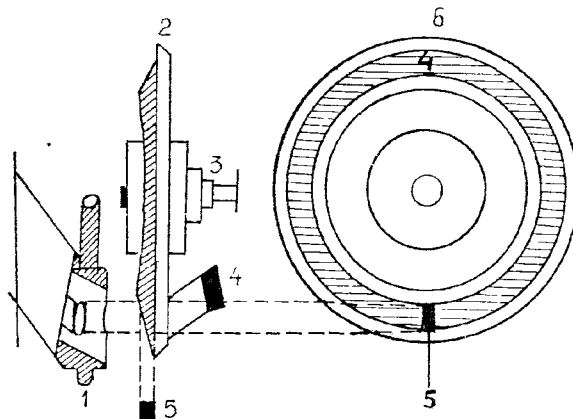


Fig. 9 — Loadix — dispozitiv de protecție pentru supravegherea temperaturii talgerului anodic.

Fig. 10 — Tubul cu anodul rotativ și părțile lui componente: 1. Catodul schematizat prin filament linear și piesă de concentrare în uluc. 2. Discul anodic tip metallic (Wolfram — Molibden) văzut din profil. 3. Axul anodului rotativ (tijă). 4. Dimensiunile reale ale focarului termic care are formă de cerc (hașurat). 5. Focalul optic — dimensiunile active sunt foarte mici. 6. Discul anodic văzut din față — inelul hașurat (4) este locul unde iau naștere razele X în puncte succesive în timpul rotației anodului cu 3 600 turații pe minut, pe mica suprafață neagră (5).



Tuburile moderne au *discul anodic* constituit dintr-un bloc de grafit (capabil să înmagazineze cantități mari de căldură — „Calorex“). Blocul de grafit (c) este acoperit cu o placă de Molibden și cu un strat subțire de 1—2 mm din Wolfram și Rhenium (R.W.M.) (fig. 11). Discul anodic este prins într-o tijă de cupru cuplată la rotorul unui motor al cărui stator este situat în afara tubului.

Acesta, care este bun conductor electric și un cilindru de oțel necesar fluxului magnetic, permit să imprime între 2 500 și 3 600 rotații/minut.

Roata talerului anodic permite o încărcare a tubului de 6—10 mai mare decât la tubul echivalent cu anod fix, ceea ce permite micșorarea de tot atâtea ori a focarului tubului.

Focarul optic al tuburilor care se găsesc la instalațiile ce funcționează în serviciile de la noi sunt de 2 mm și 1,2 mm — focar mare, de 0,3 mm — focarul mic (ambele în același tub — cu filamente catodice aparte).

La tuburile actuale, talerul anodic (fig. 11) prezintă mai multe fisuri (șlițuri), care permit dilatarea anodei la căldură și utilizarea unui voltaj

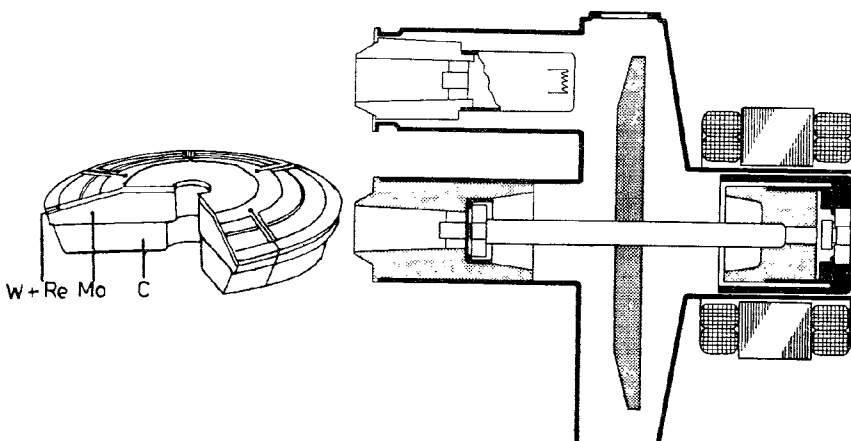


Fig. 11 — Anodul rotativ de la un tub cu capacitate termică mare, cu șlițuri, constituit dintr-un bloc de grafit c) și o placă neagră de Molibden (w) acoperită cu un strat metalic subțire constituit din Wolfram (84%) + Rhenium (26%).

Fig. 12 — Tub scurt, cu anod rotativ și cu izolator de ceramică.

mai ridicat și expuneri mai scurte, având o putere mare de înmagazinare a căldurii, 450 000 Joule—1 000 000 Joule.

De asemenea, tuburile cu izolator de ceramică (fig. 12) și tuburile cu dispozitiv electronic de protecție (Loadir [fig. 9]), cu indicator pentru temperatură talerului anodic), permit examene laborioase, ca: angiocardio-grafia, cinefluorografia, mărirea imaginii, tomografiile.

Atomul și structura materiei

Producerea și absorbția razelor X în materie sunt rezultatul unor fenomene atomice.

Atomul este considerat drept particula cea mai mică de materie, care, atât timp cât este integră, determină particularitățile fizice și chimice specifice corpului respectiv. Autorii vechi îl considerau ca ultima particulă de materie care nu mai poate fi împărțită în alte mici particule (Democrit). Astăzi, se știe că atomul are o structură complexă din particule ce constituie un veritabil microcosmos, dar de îndată ce i se scot una sau mai multe particule, el nu mai are particularitățile fizico-chimice caracteristice elementului pe care-l formează.

BOHR și RUTHERFORD au imaginat că atomul este constituit dintr-un nucleu central format din protoni și neutroni cu masă aproximativ egală, în care se concentrează aproape toată masa atomului constituind „nucleul” în jurul căruia gravitează un număr variabil de electroni (particule cu masa de 1 836 ori mai mică decât a protonului) situați pe diferite orbite (fig. 13). La toate elementele chimice există un raport de egalitate între numărul de electroni de pe orbitele atomului și sarcinile pozitive (protonii) din nucleu atomic.

Numărul de ordine din tabelul periodic al elementelor, al lui Mendeleev — notat cu litera „Z” (de la cuvântul Zahl) — indică numărul de protoni (sarcini pozitive) din nucleu, care este egal cu numărul de electroni (sarcini negative) de pe orbitele din jurul nucleului, de care sunt legate proprietățile chimice ale elementului X.

Numărul de neutroni din nucleu este notat cu „n” sau „N” (după școli) și diferă față de numărul de protoni (Z) de la nucleul unui element chimic la alt element.

Suma dintre Z (numărul protonilor din nucleu) și N (numărul neutronilor) reprezintă numărul de masă A; fiecare fel de atom (notat cu X) este caracterizat prin aceste două cifre $\frac{A}{Z}$ și simbolul chimic X ($\frac{A}{Z} X$).

De exemplu, carbonul cu Z=6 și A=12 se notează $^{12}_6 C$.

Atomii care se deosebesc între ei numai prin numărul neutronilor din nucleu sunt numiți izotopi. Multe elemente chimice au unul sau mai mulți izotopi și dintre nuclidele cunoscute în prezent 275 sunt stabile iar 1 400 instabile.

Electronii de pe orbitele periferice au o dublă mișcare:

- se învîrt în jurul propriului ax,
- descriu o mișcare de rotație și în jurul nucleului atomic.

Mișcarea de rotație dezvoltă o forță centrifugă care este necesară pentru ca electronii cu sarcină negativă să se opună ca să fie atrași de nucleul pozitiv al atomului, în care altfel s-ar prăbuși. Fiecare orbită cu electroni este situată la o anumită distanță de nucleu, adică la un anumit nivel de atracție electrostatică; de unde rezultă că pe fiecare orbită electronul are

- ⊕ Proton
- ⊗ Neutron
- Electron

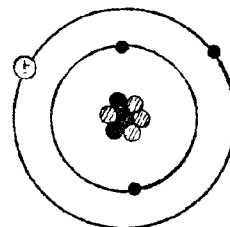


Fig. 13 — Structura atomului, neutră din punct de vedere electric.

o viteză diferită și desfășoară o energie anumită. Atomul, în mod obișnuit, este neutru din punct de vedere electric și acțiunea lui energetică asupra mediului înconjurător este nulă.

Sub influența diferitelor genuri de energie care acționează din afara atomului, electronii își pot modifica viteza de rotație pe orbita lor, încât pot să învingă forța de atracție a nucleului atomic și să se desprindă de

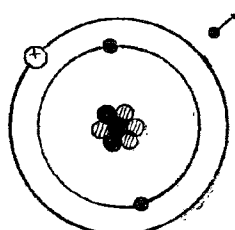


Fig. 14 — Prin desprinderea unui electron, atomul devine *ion pozitiv*.

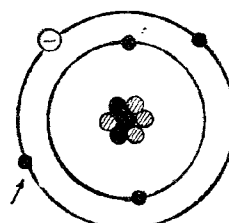


Fig. 15 — Atomul pe care s-a fixat un electron devine *ion negativ*.

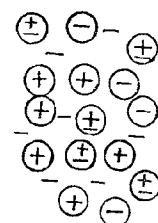


Fig. 16 — Fenomenul de *ionizare*.

pe atomul respectiv (care împreună cu alți atomi intră în structura unui corp solid, lichid sau gazos).

Prin desprindere (fig. 14) ia naștere un electron liber, iar atomul care a pierdut electronul devine un *ion pozitiv*.

Electronul fugă poate să se fixeze pe una din orbitele unui alt atom, îl încarcă pe acesta cu o sarcină negativă în plus, iar atomul respectiv devine un *ion negativ* (fig. 15).

Acesta este *fenomenul de ionizare* pentru producerea căruia este nevoie ca asupra atomului să acționeze un anumit gen de energie; în corpul material în care s-a produs acest fenomen (fig. 16) se găsesc atomi stabili, electroni, ioni pozitivi și ioni negativi. În mediul gazos, electronii sunt considerați ioni negativi. Fenomenele de mai sus sunt importante de cunoscut pentru că le întâlnim atât în mecanismul de producere a razelor X cât și în absorbția lor.

Mecanismul producerii razelor X și a altor radiații electromagnetice

Razele X iau naștere în tub prin frânarea bruscă a electronilor catodici la nivelul anodului. Producerea razelor X se explică prin fenomene care au loc la nivelul atomului. Electronii catodici (fig. 3, 4, 5, 17 a) — cu energie corespunzătoare curentului de înaltă tensiune din tub — lovind pastila anodică produc în atomii metalici ai acesteia, fenomene de ionizare și deci

Atomii anodici

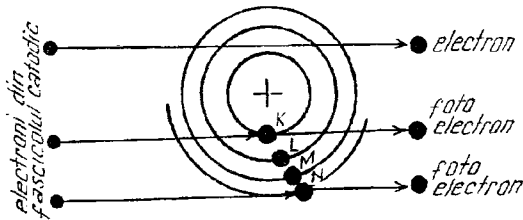
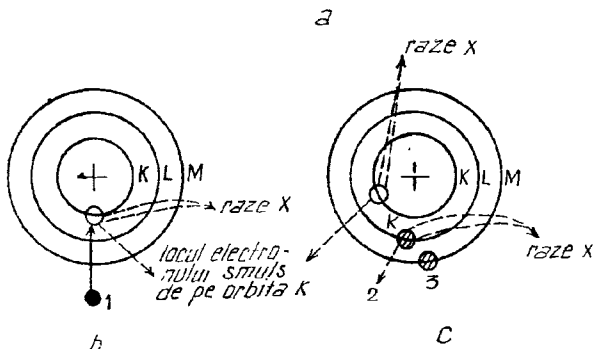


Fig. 17 — Producerea razelor X la nivelul atomului.



punerea în libertate de electroni. Fiecare **electron catodic** se comportă ca un proiectil în stare să smulgă atomilor anodici electroni de pe o orbită mai periferică sau mai centrală a acestuia, cu prețul cedării energiei lui.

Electronul smuls din anod poartă numele de **photoelectron** și se comportă la rîndul său față de atomii anodici din jur ca un nou proiectil.

Atomii anodici, lipsiți de electroni, își recapătă echilibrul lor prin captarea pe orbită deficientă a unui electron din afară (b-1) sau de pe o orbită proprie periferică (c-2 și 3).

În momentul cînd un electron străin orbitei vine și se aşază pe orbita descompletată a atomului anodic, atomul respectiv eliberează energia înmagazinată sub formă de raze X și alte radiații. Astfel (fig. 17) în situația din b și c se eliberează raze X.

Înlăuirea electronilor pe orbitele de la periferia atomilor anodului poate fi efectuată cu energii slabe; revenirea lor la starea fundamentală are ca efect emisia energiei absorbite sub formă de raze calorice, luminoase sau ultraviolete și am menționat că 98% din energia cinetică a electronilor este utilizată de anod în acest sens. Cînd se produce înlocuirea electronilor dislocați cu energii mai mari de pe orbitele dinspre centru (perinucleare — K, L) cu electroni de pe orbitele periferice sau din afară — N, O, se eliberează raze X (ondulații electromagnetice cu lungime de undă scurtă (c)).

Modificările electronilor de pe orbitele periferice (O, N) pot fi determinate de energii slabe și se manifestă prin fenomene chimice, calorice și

luminoase (fig. 18). Aceleași modificări produse pe orbitale centrale (K sau L), necesită o energie mai mare, dar eliberează la rîndul lor radiații cu penetrabilitate mai mare (raze X).

Astăzi, cînd dispunem de energii extraordinare mari, care pot acționa asupra nucleului atomic însuși, prin bombardarea acestuia iau naștere raze gamma, alfa și beta, ca și alte particule.

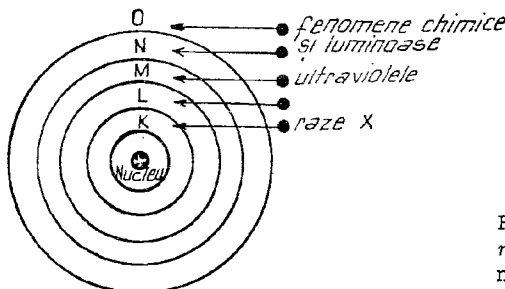


Fig. 18 — În structura atomului, numerotarea orbitelor începe de la nucleu și se face spre periferie, cu literele: K, L, M, N, O etc.

Despre transformatori

Pentru încălzirea filamentului catodic (care produce electroni) și pentru antrenarea acestor electroni spre anod cu scopul de a produce raze X, este nevoie de curent electric de un anumit potențial, care se obține cu ajutorul transformatorilor.

La aparatul de raze röntgen este nevoie de *transformatorul de înaltă tensiune și de transformatorul de încălzire a filamentului*.

Transformatorii electrici se bazează pe principiul inductiei electromagnetice și au drept scop transformarea curentului electric alternativ (de la rețeaua orașului), cu o anumită diferență de potențial și intensitate (tensiune mică și intensitate mare), într-un curent electric cu diferență de potențial adecvată scopului nostru. Diferența de potențial (tensiunea) se măsoară în volți (V), sau în kilovolți (kV), iar intensitatea în amperi (A) sau în miliamperi (mA).

Practic, transformatorii sunt compuși dintr-un patrulater constituit din tole de tablă de otel care formează circuitul magnetic induc (fig. 20); pe una din laturile patrulaterului este înfășurată bobina primară (P) prin care trece curentul electric de tensiune joasă, de la rețeaua orașului (la 380 V, 220 sau 120 V) și intensitate mare 5–10 A, care urmează să fie transformat în bobina secundară (S), înfășurată pe latura opusă a patrulaterului, în curent util pentru diferite circuite ale instalației de raze X.

La *transformatorul de înaltă tensiune* de la aparatul de raze X, bobina primară este constituită din circa 300 spire iar cea secundară din 90 000–300 000 spire, coeficientul de transformare K fiind de 300–1 000 (fig. 21). Puterea unui transformator se măsoară în kVA; puterea tubului variază între 1,5 kW și 10 kW.

Din bobina secundarului se obține un curent de înaltă tensiune de ordinul miilor de volți, care se măsoară în kilovolți (un kilovolt (kV) este

egal cu 1 000 de voltii) dar cu intensitate mică, de ordinul miliamperilor (1 mA este egal cu o milion parte dintr-un amper). Currentul de înaltă tensiune are formă sinusoidală și trebuie să se facă deosebirea între tensiunea maximală, tensiunea de creastă (fig. 19) și tensiunea mijlocie sau tensiunea eficace care este mai mică decât tensiunea maximală.

Secundarul transformatorului de înaltă tensiune se află la un potențial mare și trebuie izolat de primar, de miezul de fier și de carcasa metalică în care este montat.

De aceea el este așezat într-un recipient plin cu ulei izolant, special pentru transformatori.

Transformatorul de încălzire al filamentului catodic (fig. 22) are bobina primară cu spire numeroase (300 spire) și este alimentată cu 220 sau 380 V, iar bobina secundară cu spire mai puține (10–20 spire), eliberează la bornele sale un curent cu o tensiune de 7–14 V și cu o intensitate de 3–5 A, pentru focalur de radioscopie, 5–9 A pentru focarul de radiografie.

Din cauză că secundarul transformatorului de încălzire este legat la potențialul înalt de la catodul tubului, se iau aceleasi măsuri de izolare ca și la transformatorul de înaltă tensiune; de obicei transformatorul de încălzire este montat și cufundat în același recipient cu ulei izolant cu transformatorul de înaltă tensiune.

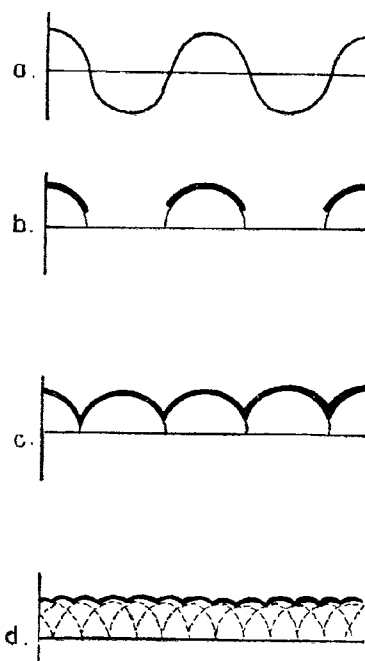


Fig. 19 — a. Cele două faze ale curentului electric alternativ de la rețea. b. Curentul de înaltă tensiune la aparatelor care utilizează o singură fază (jumătate de undă). c. Curentul de înaltă tensiune la un aparat cu patru ventile care redresază fază. d. Curentul redresat la un aparat cu 6 ventile.

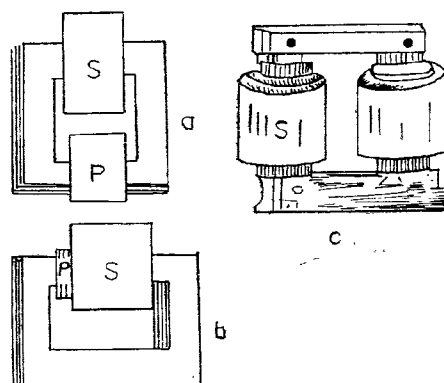


Fig. 20 — Trei tipuri de transformatori cu circuit magnetic închis.

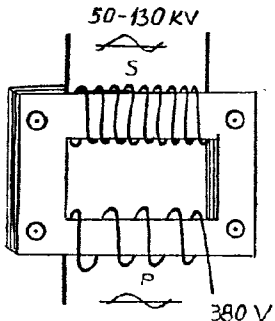


Fig. 21 — Transformatorul de înaltă tensiune cu primar sărac în spire și secundar cu multe spire.

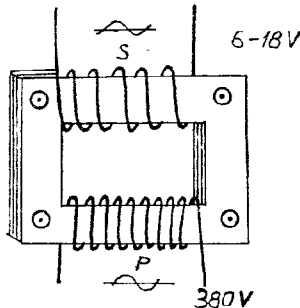


Fig. 22 — Transformatorul de încălzire al filamentului catodic cu primar cu spire numeroase și secundar sărac în spire.

Autotransformatorul sau transformatorul cu trepte servește la reglarea duratării razelor X și este un transformator cu mai multe prize, conectat la pupitru de la care, printr-un comutator, se pot lua diferite tensiuni cu care se alimentează primarul transformatorului de înaltă tensiune. De la autotransformator se pot alimenta și alte circuite electrice din masa de comandă.

Reglarea intensității fascicoului de raze X (bogăția lui în raze X) se face prin reglarea curentului de încălzire a filamentului prin intermediul unui reostat, (fig. 2), care modifică tensiunea din primarul transformatorului de încălzire.

Funcționarea aparatului de raze Röntgen

Se pune în funcție transformatorul de încălzire și se stabilește *circuitul filamentului catodic* ce devine incandescent și eliberează electronii care constituie proiectile cu ajutorul căror se vor produce raze X pe anod, care îi frânează brusc (fig. 3).

După aceea se stabilește circuitul de înaltă tensiune sau *circuitul anodic*. În acest moment catodul tubului se încarcă cu electricitate negativă, iar anodul cu electricitate pozitivă; în acest fel se stabilește o diferență mare de potențial între cei doi poli ai tubului.

Electronii care au și ei o sarcină negativă sunt respinși de către piesa de concentrație legată de catod (având aceeași sarcină electrică) și sunt atrasi cu o viteză extraordinară de către piesa anodică încărcată cu electricitate pozitivă; prin intermediul fascicoului de electroni se închide circuitul de înaltă tensiune prin focalizarea fascicoului de electroni spre anodul tubului (fig. 4), care, fără electroni, ar fi întrerupt pe distanță dintre anod și catod.

In momentul cind torrentul de electroni catodici lovește cu putere piesa anodică, iau naștere razele X, se produce căldură și lumină.

Curentul electric din bobina secundară și transformatorul de înaltă tensiune este un curent alternativ (fig. 2). Prin tubul de raze X, circuitul de înaltă tensiune nu se stabilește decât dinspre catod — A spre anod + B (săgeata în sens $A \rightarrow B$), alternanță în care se produc razele X. În alternanță următoare, cînd sensul curentului de la rețea se schimbă, curentul electric de înaltă tensiune ar trece dinspre borna B a transformatorului devenit pol negativ spre anodul tubului (b); aici, din cauză că anodul este rece și în jurul lui nu se găsesc electroni, circuitul se întrerupe și în tub nu se produc raze X (săgeata $B \rightarrow b$).

Dacă anodul tubului a devenit incandescent și este încroșit prin funcționare îndelungată, atunci alternanța inversă a curentului de înaltă tensiune găsește în jurul anodului suficienți electroni cu ajutorul căror se stabilește circuitul de înaltă tensiune în tub în sens invers ($B \rightarrow A$); electronii anodului pot bombardă filamentul fragil al catodului (care se poate vaporiza) și scoate tubul din uz.

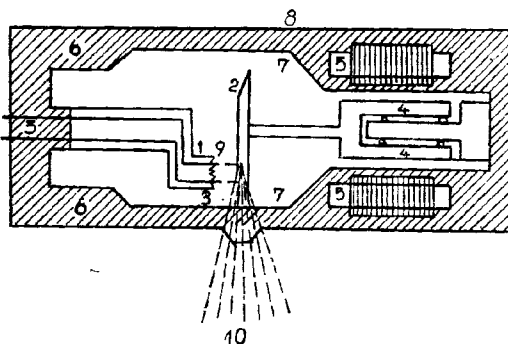
Pentru a preveni trecerea curentului electric în sens invers, la aparatelor cu jumătate de undă, se iau măsuri pentru răcirea corectă a anodului; la alte aparate se întrebunează supape sau ventile, iar în prezent, dispozitive cu seleniu care redresă sensul alternanței inverse a curentului de înaltă tensiune și fac ca ambele alternanțe să treacă prin tub în același sens (fig. 19 c și d).

Cupola tubului de raze X

Razele X iau naștere sferic (de jur împrejurul anodului) dar pentru scopurile medicale se întrebunează numai un fascicul conic. În trecut, se folosea cupola de sticlă cu sâruri de plumb sau cupola de portelan căpuștită cu un manșon de plumb în care se introducea tubul de raze X.

În prezent, cupola are formă cilindrică, este constituită din oțel sau aluminiu și căpuștită în interior printr-un strat de plumb; spațiul dintre tub

Fig. 23 — Componentele unui tub cu anodă rotativă și cupola protectoare exterioară:
 1. catodul, 2. talerul anodic,
 3. filamentul catodic, 4. rotorul anodei rotative, 5. statofurul anodei, 6. ulei pentru izolare și răcire (hașurat), 7. peretele de sticlă al tubului,
 8. peretele exterior al cupolei (carcasă metalică), 9. piesa de concentrare și focalizare,
 10. fereastră în cupolă și fascicul de raze X.



și peretii cupolei este umplut cu ulei, ce joacă rol de izolator pentru înaltă tensiune și contribuie la răcirea tubului prin difuziunea căldurii de la tub la cupolă. Cupola oprește răspândirea razelor X în jur și permite trecerea într-o singură direcție a fasciculu lui util pentru examinare sau pentru tratament (fig. 23), loc unde se găsește o fereastră și se adaptează un diafragm și un filtru, care în radiodiagnostic poate merge pînă la

2 mm Al grosime, precum și un vizor luminos necesar pentru delimitarea fasciculului și cîmpului de radiografia sau iradiat, care se poate face cu două perechi de volete, una fiind aproape de fereastra tubului, iar alta pe trajectul fasciculului de raze X (Tiefblend).

Rolul cupolei mai constă în:

- protejarea personalului contra înaltei tensiuni;
- împiedicarea difuziunii în camera de radiologie a radiațiilor extrafocale nocive și a luminii ce se produce în tub în timpul funcționării;
- protejarea de lovitură a sticlei tubului.

Anodul se încalzește puternic și pentru a obține o funcționare îndelungată a tubului fără ca acesta să se deterioreze, trebuie luate măsuri de răcire a acestuia și a tubului.

Răcirea anodului se poate face în mai multe moduri. La unele tuburi anodul este prelungit pînă la exteriorul tubului de raze X printr-o piesă metalică care se continuă cu un *radiator cu aripioare* (fig. 6) ce oferă o suprafață mare de difuziune a căldurii (răcire prin convecție); în alte cazuri, anodul este gol și se prelungește înapără cu un tub care comunică cu un *recipient cu apă*. Apa din recipient ajută la difuziunea căldurii și răcirea tubului.

La tuburile pentru radioterapie, care trebuie să funcționeze continuu, timp îndelung, prin anod, care este scobit, circulă un curent de ulei sau apă care captează căldura ce se produce la nivelul pastilei și anodului și o difuzează la distanță.

Răcirea cu ventilator se poate face la instalațiile la care tubul este închis într-o cupolă în care se creează, cu ajutorul unei pompe aspiro-respingătoare, un *curent de aer continuu*, care circulă în interiorul cupolei și în jurul tubului.

Cupola cu tubul în ulei

Tubul de raze X poate fi răcit prin cufundare în uleiul conținut în cupola de protecție a tubului. Pentru ca tubul să poată funcționa îndelung, se utilizează uneori un mijloc suplimentar de răcire a uleiului sau cupolei.

Tubul cu anodă rotativă (fig. 10) este construit pe principiul că în timpul funcționării fiecare punct al suprafeței anodice devine focar termic numai pentru o clipă din durata expunerii, care poate fi în acest mod prelungită de 12–15 ori, comparativ cu cele cu anoda fixă. În prezent există un sistem cu celulă fotoelectrică Loadix (fig. 9) sau un microprocesor pentru supravegherea termică a tubului și pentru controlul generatorului de raze X.

Microprocesorul este incorporat într-un pupitru compact care nu are dimensiuni mari decât o mașină de scris..

În partea de sus se afișează pe un ecran TV, datele de la generatorul cu care se execută examenul radiografic sau fluoroscopic (doza la piele — pe suprafață de expunere — R/cm^2 , KV, mAs).

Aceleași butoane se găsesc incorporate și pe fața laterală din stînga a mesei de examen.

Calitatea și cantitatea razelor X

Fasciculul de raze X produs în tubul röntgen se caracterizează prin:

- duritatea razelor, care reprezintă calitatea razelor X de a pătrunde prin diferite corpuși și

— intensitatea razeelor X care corespunde cantității de raze X emisă în unitatea de timp.

Pentru întrebuițarea razeelor X în practică trebuie să existe posibilitatea de a varia duritatea lor (penetrabilitatea, calitatea) și intensitatea fasciculului (cantitatea lor).

Duritatea razeelor X depinde de diferența de potențial dintre catod și anod, dată de transformatorul de înaltă tensiune, diferență de potențial care imprimă fasciculului catodic de electroni o anumită viteză (energie cinetică).

Cu cît energia electronilor ce se lovesc pe anod este mai mare, cu atât razele röntgen care iau naștere au lungime de undă (λ), mai scurtă și posibilități de pătrundere mai mari; se spune că sunt raze mai dure.

Cu cît viteza electronilor din fascicolul catodic este mai mică, razele X care iau naștere pe anod au lungime de undă mai mare, sunt mai puțin penetrante și se spune că sunt raze moi.

Între 45—60 kV, razele produse de tubul röntgen sunt raze moi, întrebuițate în diagnostic.

Între 60—70 kV razele X sunt de duritate mijlocie.

Între 75—135 kV sunt radiații dure utilizate în diagnostic pentru radiografii.

În fasciculul de raze X care pleacă de la tub, radiația nu este omogenă (nu are aceeași lungime de undă). Cu ajutorul filtrelor ce se pun în calea fasciculului de raze X la tub, radiațiile moi sunt opsite (și absorbite), radiațiile care ajung la corpul omenesc sunt de lungime de undă mai uniformă și de penetrabilitate mai mare.

Intensitatea fasciculului de raze X (bogăția lui în raze X) este în funcție de numărul de electroni care se izbesc de anod, deci de gradul de încălzire a filamentului catodic, respectiv de intensitatea curentului de încălzire și de diferența de potențial dintre bornele bobinei secundare de la transformatorul de încălzire. Dacă este nevoie de un fascicul mai bogat în raze, se încălzește mai puternic spirala catodică și invers.

Accesoriiile aparatului de raze X

Masa de comandă. Instrumentul de măsură al tensiunii se numește *voltmetru* (fig. 2), este intercalat pe circuitul primar al transformatorului de înaltă tensiune și este incorporat în masa de comandă. El este gradat convențional și măsoară în volți tensiunea din bobina primară și în kilovolți tensiunea din bobina secundară.

În masa de comandă se mai află *ampermetrul*, necesar pentru măsurarea intensității curentului de joasă tensiune și *miliampermetrul*, necesar pentru măsurarea intensității curentului de înaltă tensiune.

Practic, este necesar ca kilovoltajul și miliamparajul să fie modulate la masa de comandă în așa fel încât să corespundă cerințelor noastre. De exemplu, pentru o radioscopie pulmonară este nevoie de 55 kV și 3 mA, pentru o radioscopie gastrică sunt necesari 70 kV și 4 mA, pentru radiografii osoase este nevoie de 40—50 mA, pentru radiografii pulmonare este nevoie de 200—300 mA.

Aparatele moderne cu ecran întărit de imagine pot funcționa în regim de radioscopie numai cu 1,5 mA.

La aparatele moderne curentul de încălzire al filamentului, care este reglabil, este redat prin produsul cu timpul de expunere în valori miliampери secunde (mAs).

Cu ajutorul autotransformatorilor și a unor rezistențe situate în masa de comandă și intercalate în circuitele primare, se reușește potrivirea regimului necesar fiecărui examen. În timpul funcționării aparatului trebuie supravegheate constantele necesare examenului respectiv (kilovolti și miliamperi) privind cele două instrumente de măsură.

În masa de comandă mai sunt incorporate butoane și comutatoare care stabilesc circuitele electrice pentru punerea în funcțiune și oprirea moitoarelor de la ventilator, de la masa basculantă și diafragm, lumina albă și roșie etc.

Stativul de examen cu raze X (fig. 75) este o masă verticală care poate fi înclinată cu motorul, în diferite sensuri pînă la poziția Trendelenburg; platoul mobil al mesei de examen permite deplasarea bolnavului sub ecran. La stativ sunt anexate ecranul radiologic, diferite piese ajutătoare ca mînerale pentru diafragm, grila pentru radioscopie, conul compresor pentru stomac, dispozitivul Albrecht pentru radiografii tîntite, rame pentru casete etc. În locul ecranului convențional, la aparatele moderne se poate adapta și scoate ecranul întărit de imagine cu posibilități multiple de transmisie și înregistrare (fig. 75 și 77), camera de luat vederi pentru transmiterea imaginii la monitorul de televiziune, aparat pentru executat fotografii de la ecran (amplifotografii).

În spatele mesei de examen, în echilibru cu ecranul, se găsește cupola protectoare a tubului, cu diafragmul cu volete care permite mărirea sau micșorarea diametrului fasciculului de raze X.

În o cameră alăturată se găsește *stativul orizontal pentru radiografii*, prevăzut de obicei cu *Potter-Bucky* și dispozitiv pentru tomografie.

Pe un perete se găsește fixat *stativul cu Potter vertical* (fig. 75) utilizat pentru radiografii în ortostatism, ale toracelui, ale scheletului (coloana vertebrală), pentru urografie, *stativul pentru kimografii*.

Cablurile înaltă tensiune unesc transformatorul cu tubul radiologic.

Comutatorul în ulei este necesar pentru a schimba sursa de tensiune la diferite posturi de lucru (fiecare cu tub aparte de raze X).

Proprietățile fizice ale razeelor X

Am arătat că razele X sunt radiații electromagnetice asemănătoare cu razele luminoase, iar proprietățile lor sunt aceleași ca și ale luminii, avînd în același timp caracterul propagării ondulatorii și al celei corpusculare.

Se consideră că razele X se propagă în vid cu o viteză de 300 000 Km/secundă.

Razele X se produc la nivelul anodului și se propagă în mod sferic și în linie dreaptă în jurul lui (fig. 24). Parte din radiații sunt opsite de metalul anodului înclinat față de axul tubului și, practic, este utilizat un singur fascicul conic care trece prin deschizătura cupolei și care

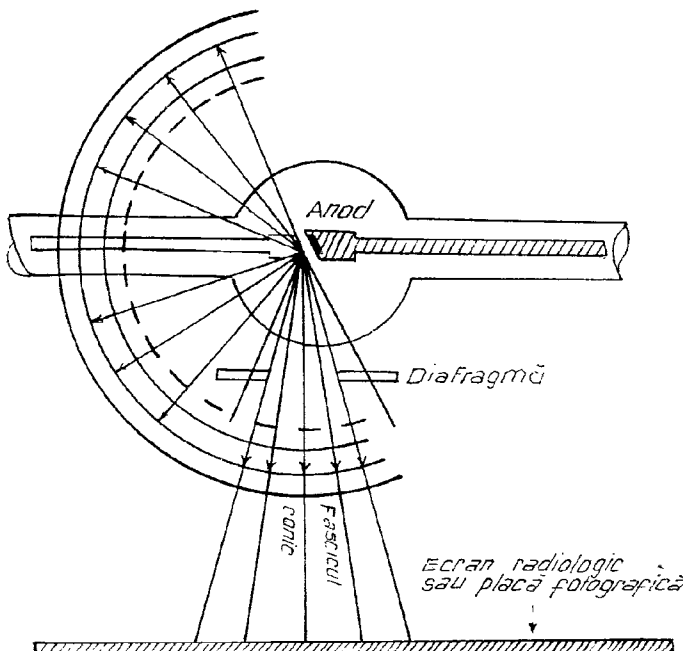


Fig. 24 — Propagarea în spațiu a razeilor X.

este făcut mai mic, sau mai mare, cu ajutorul diafragmei vu volete. În cazul examenului radiologic, baza conului este reprezentată de ecranul radiologic sau de clișeul radiografic, iar vîrful conului — punctiform — este reprezentat de focalul tubului (fig. 25).

Razele X produc fenomene de *luminiscență* atunci cînd ele cad și se absorb în anumite substanțe cristaline, semicristaline sau fluide, de exemplu ecrane sau folii care conțin anumite săruri ca tungstat de calciu, sulfură de zinc și cadmiu, platinocianură de bariu, de calciu, titan sau pămînturi rare, (godolinium) care emit în zonele albastru și verde ale spectrului.

Absorbția razeelor X care cad pe aceste substanțe schimbă poziția electronilor pe orbite și fac ca atomul să treacă în „stare de excitație“. Revenirea lui la starea fundamentală se face prin emisia energiei ab-

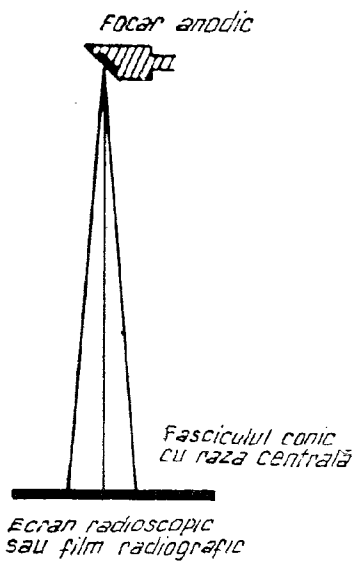


Fig. 25 — Fasciculul util are formă conică.

sorbite de la fotonii de raze X incidenti, sub formă de radiații de lumeniscentă (caracteristice sărurilor respective).

Fenomenele de luminiscentă pe care le produc se caracterizează în general prin întîrziearea emisiei luminoase față de absorbția de raze X și sunt de două feluri: de fluorescență și de fosforescență și ele stau la baza fabricației ecranului radioscopic și foliilor întăritoare din casetele pentru radiografii precum și a utilizării cristalelor de scintilație din detectoarele de izotopi.

Fluorescența foliei ecranului radioscopic (fig. 55) nu are remanență și durează numai atât timp cît razele X cad pe ecranul sensibil în timp ce fosforescența foliilor întăritoare, din caseta de radiografie, persistă și după întreruperea fasciculului de raze X: foliile întăritoare au „remanență“ și impresionează filmul și după expunerea la razele X.

Efectul fotochimic. Razele X pot produce anumite reacții chimice: impresionează emulsia fotografică ca și lumina solară acționând asupra sărurilor de argint și permit astfel obținerea de radiografii.

În practică, energia razelor X este utilizată pentru producerea luminiscenței foliilor între care se găsește filmul radiologic în timpul expunerii.

Legea divergenței. Intensitatea fasciculului de raze X scade progresiv cu cît se depărtează de focalul tubului, proporțional cu patratul distanței — legea lui Lambert (fig. 26) și acest fapt este important de stiut atât pentru calcularea timpului de expunere la radiografii, dar mai ales în radioterapie, unde distanța focus-piele joacă rol mare în stabilirea dozei.

Reflexia razelor X este greu de demonstrat căci corpurile obișnuite sunt străbătute de razele X și nu joacă rolul oglinzi față de lumina soiară. Razele X — fotonii de raze X — sunt mai mici decât atomii corpilor din oglinda respectivă și pătrund printre ei.

Unii autori au obținut, prin incidentă razantă, reflexia razelor X. În ultimul timp s-a obținut: *refracția, polarizarea și difracția* razelor X. Aceasta demonstrează că razele X au aceleasi proprietăți fizice ca și lumeni zilei.

Penetrabilitatea (duritatea) razelor X este o calitate definită prin lungimea de undă (λ) și este în funcție de diferența de potențial dintre anod și catod. Mărind diferența de potențial prin sporirea kilovoltajului la bornele transformatorului se obțin raze X din ce în ce mai dure, cu lungime de undă din ce în ce mai scurtă și cu putere de pătrundere din ce în ce mai mare.

Absorbția razelor X (fig. 27). Fasciculul de raze X întâlnind în calea sa corpul omenesc sau diferite alte obiecte este absorbit în parte, iar energia lui se transformă în radiații secundare, lumină, căldură și fenomene fotochimice; o parte din fascicul rămîne neabsorbit și trece mai departe de corpul întlnit sub forma unui fascicul attenuat.

După Planck energia nu este constituită dintr-un flux continuu, ci din „atomi de energie“, din quante, caracteristice fiecărei radiații (după cum atomii sunt caracteristici fiecărei substanțe chimice).

După concepția lui Einstein, energia radiantă se răspindește în jur sub formă de grăunțe de energie, de quante, de fotoni.

Trebue să concepem fotonul ca un corpuscul neselectizat care este în mișcare și se deplasează cu viteza luminii.

Fotonul reprezintă entitatea elementară de energie radiantă.

Fenomenele de absorbtie ale fotonilor se produc la nivelul atomilor și se caracterizează prin modificări la nivelul orbitelor electronice mai superficiale, sau mai profunde ale atomului, în timp ce nucleul său nu poate fi modificat de fotoni.

Astfel iau naștere radiațiile secundare care sunt de două feluri, corpusculare și ondulatorii și sunt consecință:

— fenomenelor de emisie ce se produc în țesuturi prin absorbtia radiațiilor primare; se produc fotoelectroni și radiații caracteristice;

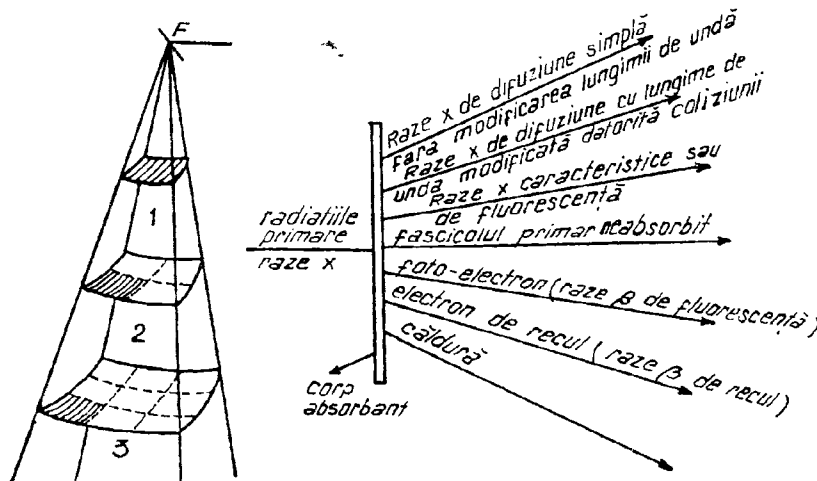


Fig. 26 — Legea patratului distanței.
Cantitatea de raze X primite de unitatea de suprafață scade cu patratul distanței de la sursă la suprafață.

Fig. 27 — Absorbția razelor X. Procese elementare.

— fenomenelor de difuziune, deviere și împărtiere a radiației primare neabsorbite de materie (efect Compton, formarea de perechi);

— fasciculului de radiații röntgen care, traversând materie, își schimbă calitatea (lungimea de undă) și cantitatea (intensitatea).

Absorbția cu fenomenele de emisie. În stare de repaus atomul este stabil și se prezintă cu electroni repartizați pe orbite în jurul nucleului central (fig. 13).

Dacă asupra atomului acționează cuante slabe de energie radiantă, la nivelul orbitelor electronice se produc modificări vibratorii sau accelerarea rotației care au ca urmare modificări termice.

Cu cuante de energie de lumină sau ultraviolete se pot produce fenomene de excitație atomică (fig. 28) în care un electron de la nivelul M este ridicat pe un nivel N fictiv.

Efectul fotoelectric. Radiațiile corpusculare secundare sau fotoelectrioni. Când cuanta de energie este de raze X sau gamma având energia

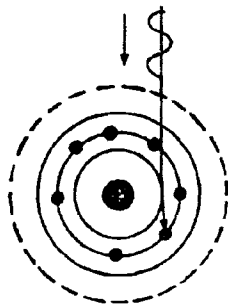


Fig. 28 — Excitația atomului.

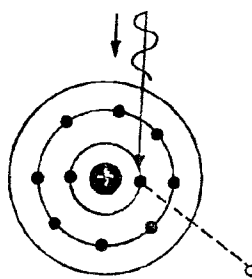


Fig. 29 — Efectul fotoelectric.

electronilor de pe orbitele atomului, sunt eliberați electroni (fig. 29) cu prețul absorbției unei cantități din energia incidentă.

Energia fotonului X sau gamma poate fi absorbită complet și utilizată atât pentru smulgerea electronului de pe orbita respectivă cât și pentru imprimarea unei viteze mari; fotoelectronul rezultat (raze beta secundare) izbește alii atomi pe care-i scindează (în electroni negativi dețașați și ionul pozitiv restant) și produce ionizare în lanț pînă ce își epuizează energia primită de la fotonul X. Acest fenomen mai poartă numele și de efect fotoelectric (fig. 30).

Radiațiile caracteristice sau de fluorescentă. Cu cît energia fotonului este mai mare, cu atît el are posibilitatea să smulgă electroni de pe o orbită mai profundă, de pe orbita K de exemplu (fig. 31), cheltuindu-și energia pe un fotoelectron. Locul rămas liber pe orbita K a atomului excitat este ocupat de un electron vecin de pe altă orbită mai periferică, moment în care se eliberează energie sub formă de raze X secundare, caracteristice pentru structura diverselor nivele de energie ale atomului respectiv (fig. 17 b, c), radiații caracteristice pe care atomul corpului absorbant le-ar emite dacă el ar constitui anticatodul tubului de raze X.

Fotonul secundar (caracteristic) acționează la rîndul lui asupra atomilor vecini în același sens ca și fotonul primar, se produc fotoni terțiali, quaternari etc. și fotoelectroni secundari, terțiali etc.

Fenomenele de absorbție discutate pînă acum se caracterizează prin emisiunea de fotoelectroni și de raze X caracteristice.

Absorbția prin difuziune. Efectul Compton. Radiațiile de difuziune și electronii de recul. La trecerea razei X prin materie, o parte din acestea nu sunt absorbite în materie, ci sunt deviate în diferite direcții slăbind astfel intensitatea fasciculului principal.

În funcție de duritatea radiației, se descriu mai multe fenomene, difuziunea fiind de mai multe tipuri (*Lamarque*):

1. Când se iradiază cu raze moi, la ciocnirea fotonului cu atomul se produce **șocul elastic**, fotonul își schimbă direcția, aproape fără

să piardă din energie (între foton și atom nu se face nici un schimb de energie), cu alte cuvinte rămîne cu aceeași lungime de undă (efect Thomson).

2. Chiar dacă radiația este ceva mai dură și ciocnește un electron de pe orbită, dar nu-l poate desprinde, fotonul își schimbă direcția, dar își păstrează lungimea de undă. Aceste două fenomene intră în cadrul difuziunii simple în care fotonul primar își schimbă direcția fără să-și schimbe lungimea de undă.

Dacă fotonul are o energie foarte mare (fig. 32) el poate deplasa un electron de la periferia atomului, cu prețul unei fracțiuni slabe din energia lui (efect Compton);

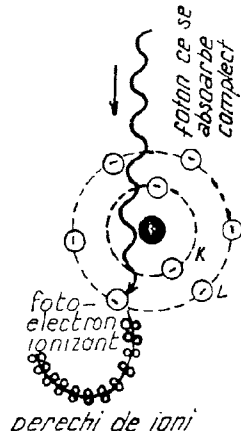


Fig. 30 — Efectul fotoelectric.

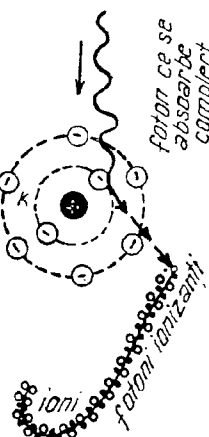


Fig. 31 — Radiații caracteristice.

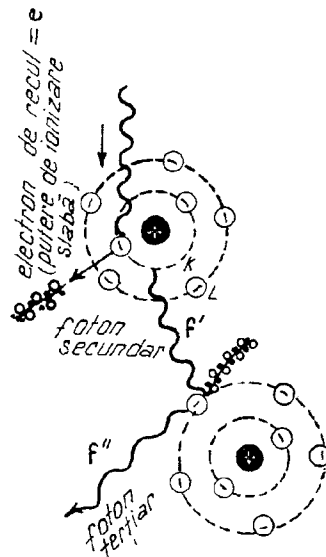


Fig. 32 — Radiații de difuziune. Fenomenul COMPTON.

Se spune că ia naștere un electron de recul (e), care părăsește orbita având o viteză și o direcție bine delimitate, iar fotonul (f) își continuă traiectul în altă direcție, având o lungime de undă ceva mai mare (proporțional cu energia cedată) constituind fotonul de difuziune (f') sau de dispersiune. Fotonii de difuziune ca și electronii de recul (electroni Compton), ciocnesc în calea lor alți atomi, iau naștere alți electroni de recul și alți fotoni de difuziune (f'') ceea ce constituie radiațiile secundare.

Pe măsură ce energia fotonului incident se micșorează treptat țesuturile săint parcuse în toate sensurile de fotoni de lungime de undă din ce în ce mai mare, care la fiecare ciocnire cu atomii dau naștere la electroni ionizați cu prețul pierderii unei cantități din energia lor.

Fotonul poate fi deviat și de un electron liber (fig. 33).

Producerea de perechi. Fotonii cu energie mare, peste 1,02 MeV, de tip gamma sau raze cosmice pot fi absorbiți complet și se transformă în două particule de sens contrar, un pozitron și un electron ceea ce dovedește materialitatea razelor X (fig. 34). Perechea de particule electrizate are viteză mare și pe parcursul ei produce noi perechi de ioni care, dacă sunt opriți brusc, produc radiații X cu lungime de undă mică.

Electronul pozitiv (pozitron) ciocnind un electron negativ se anihilăază dând două cuante electromagnetice dure, transformare pe care am menționat-o încă de la început (pag. 15), cînd am vorbit de radiațile electromagnetice în general.

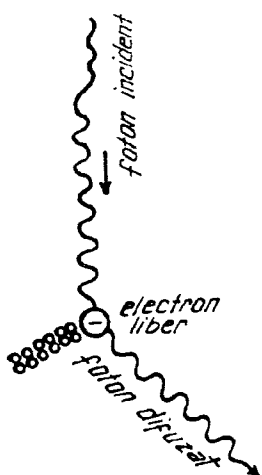


Fig. 33 — Fotonul poate fi deviat și de un electron liber. *Efectul COMPTON.*

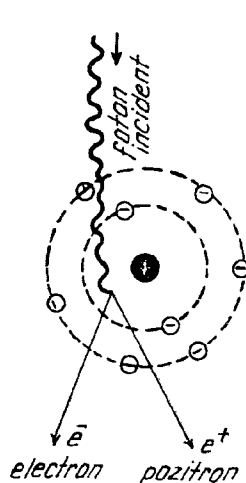


Fig. 34 — Absorbția completă a fotonului cu producerea unui electron (e^-) și a unui pozitron (e^+).

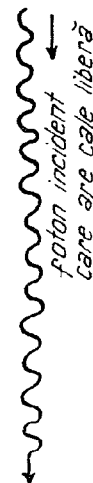


Fig. 35 — Foton neabsorbit.

Fotonul poate traversa materia fără ca să întâlnească nici un atom, are cale liberă (fig. 35). În acest caz eliese fără a fi deviat sau slabit (are aceeași lungime de undă).

Razele secundare care rezultă din fenomenele descrise mai sus sunt nocive în diagnostic pentru că fac penumbră cu imagine neprecisă, fluă, dar sunt utile în radioterapie pentru că îmbogățesc fasciculul principal și sporesc doza.

În diagnostic razele secundare se îndepărtează cu grila antidiifuzoare Lysholm în radioscopie (fig. 36) sau grila Potter-Bucky în radiografie (fig. 37), cu ajutorul unui localizator cilindric sau tronconic adaptat la deschiderea cupolei și prin diafragmarea strinsă a fasciculului incident la

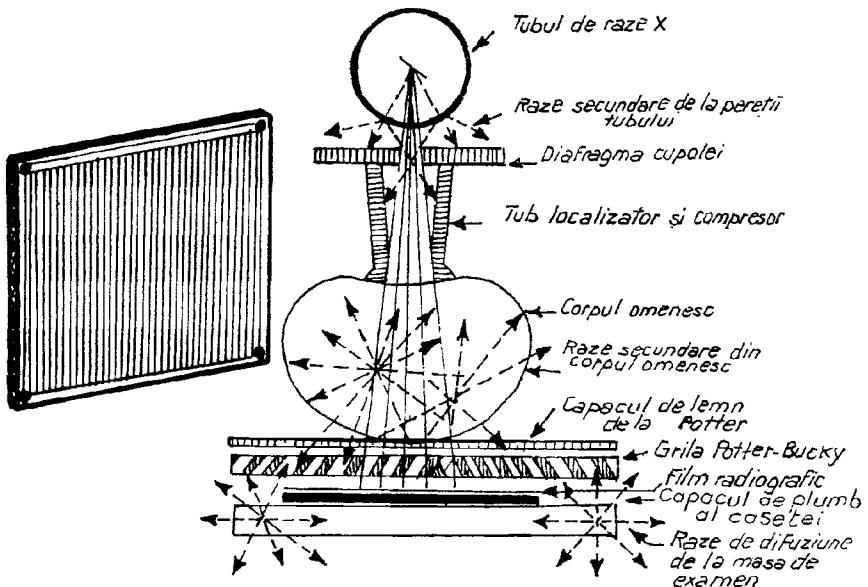


Fig. 36 — Grila antidifuzoare LYSHOLM de la ecranul de radioscopie.

Fig. 37 — Grila POTTER-BUCKY de la masa de radiografii. Ea permite oprirea razeilor secundare și de difuziune. Fasciculul primar este desenat prin linii continue. Razele secundare, care trebuie oprite, sunt redate prin linii punctate.

plecarea lui din tub cu diafragmul cu 4 sau 8 volete; de asemenea, prin compresiunea regiunii de examinat cu ajutorul unei bande sau a lingurei Holzknecht cu care se subție părțile moi prin care trece fasciculul de raze X și se reduce în acest mod difuziunea secundară.

Grila de tip Lysholm sau Potter-Bucky este constituită din lamele de plumb paralele între ele și separate prin lamele de lemn sau de aluminiu. Lamele de plumb sunt astfel orientate față de focalul tubului, încât permit trecerea numai pentru fotonii perpendiculari pe clișeu (focalizarea grilei sau a potter-ului).

Radiațiile secundare care sunt orientate în alte sensuri decât radiațiile primare directe sunt oprite de lamele de plumb ale grilei. În timpul expunerii radiografiei, grila cu lamele de plumb se mișcă pentru a evita ca lamelele opace să se vadă pe clișeu.

Absorbția razeelor X în corpul omenesc depinde de numărul atomic al elementelor din tabloul lui MENDELEEV (notat cu Z), de lungimea de undă (λ), de densitatea țesuturilor prin care trece fasciculul de raze X(ϕ) și de grosimea regiunii iradiate.

După BRAGG și PIERCE, absorbția este proporțională cu puterea 4-a a numărului atomic (Z^4). Iată de ce diferențele părți moi ale corpului omenesc compuse din carbon ($Z=6$), hidrogen ($Z=1$), oxigen ($Z=8$), azot

($Z=7$) sint mai transparente la razele X și absorb mai puține raze X decât oasele compuse din calciu ($Z=20$) și fosfor ($Z=15$), elemente care au număr atomic mare $A=40$ pentru calciu și $A=32$ pentru fosfor și despre care se spune că sunt opace la razele X. În acest mod se creează contraste între două țesute diferite, între două medii cu structură diferită.

Tot datorită acestei modalități de absorbție, rezultă că atomii de iod ($Z=53$) sau de bariu ($Z=56$) care se găsesc în compoziția chimică a substanțelor de contrast întrebunțate în radiologie absorb foarte multe raze X și sunt opace la razele X constituind un contrast pozitiv; oxigenul și aerul sunt întrebunțate pentru contrast negativ. Plumbul ($Z=82$) în foile de anumite grosimi oprește complet razele X, încât este întrebunțat pentru confectionarea dispozitivelor (ecrane) paravane, șorțuri de protecție la instalațiile radiologice.

Absorbția este proporțională cu puterea a 3-a a lungimii de undă, λ^3 , cu cît se sporește kilovoltajul, razele X vor fi de lungime de undă mai mică, deci și absorbția va fi mai mică; razele X, fiind dure, sunt mai penetrante, nu se absorb și aproape tot fascicul va străbate organismul, ceea ce explică de ce nu vom avea contraste radiologice.

Un fascicul de raze X la 60 kV, constituit din radiațiuni moi cu lungime de undă mai mare, este absorbit în procent foarte mare de oase, într-un procent mai mic de părțile moi și foarte slab de plămâni. Iată de ce imaginea radiologică toracică are contrast.

La 80—90 kV plămînul și părțile moi nu rețin radiațiile cu o asemenea lungime de undă, dar nici coastele nu vor reține și nu vor absorbi o cîtime de fascicul, suficientă ca să creeze contrastul radiologic — optic. În aceste cazuri nu există o diferență de absorbție între țesuturi, ceea ce explică lipsa contrastelor sau chiar a imaginilor radiologice.

Absorbția razelor X depinde de greutatea specifică, variază în raport direct cu densitatea ρ a corpului străbatut, cu numărul de atomi dintr-un volum dat. Osul, masa hepatică, sunt mai dense și absorb mai multe raze X decât țesutul pulmonar care conține aer și reține razele X în cantitate mai mică.

Absorbția este în funcție de grosimea regiunii de examinat. De exemplu, pentru radiografia unui deget este nevoie de o cantitate mică de raze X, pentru coloana lombară este nevoie de o cantitate foarte mare și trebuie sporit și kilovoltajul.

Efectul de ionizare și efectul biologic vor fi studiate odată cu problemele de radiobiologie și cele de radioterapie.

Cunoscând proprietățile fizice ale razelor X, ne explicăm mai ușor fenomenele optice și biologice care se produc în diagnostic sau în radioterapie:

- formarea imaginei radiologice și diferențele ei particularități;
- efectele terapeutice sau nocive ale razelor X.

Imaginea radiologică și formarea ei

Imaginea radiologică se formează în funcție de proprietățile razelor X: de a se propaga în linie dreaptă, de a pătrunde și a fi absorbite, de a produce luminiscența ecranului radioscopic sau a foliilor, de a impresiona fil-

mul radiologic. Imaginea este un produs atât al legilor de proiecție, cât și al proprietăților de pătrundere a razeelor X care fac ca un obiect tridimensional din spațiu să se projeteze pe un plan (în două dimensiuni).

Dacă se îndreaptă fasciculul de raze *direct pe ecran* (fig. 38 a), acesta se va lumina uniform pe porțiunea care corespunde lărgimii fasciculului (bazei conului de raze X).

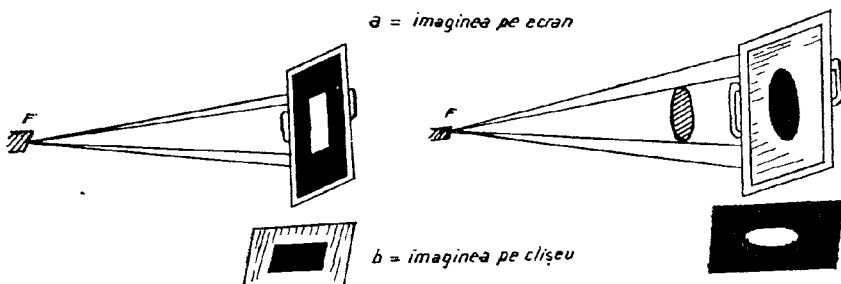


Fig. 38 — Luminarea ecranului (a) și
înnegrire filmului (b) aflate în calea
fasciculului de raze X.

Fig. 39 — Imaginea radiologică a unui
corp cu opacitate omogenă.

Dacă fasciculul de raze cade direct pe un film radiografic, porțiunea respectivă a filmului, după developare, ia culoare neagră (b).

Dacă în calea fasciculului de raze X se află un obiect cu *structură omogenă* (un disc metalic, de exemplu), el va absorbi parte din fasciculul de raze X care trece prin dreptul lui și imaginea radiologică care rezultă este datorată fluorescenței inegale a ecranului — care este intensă în jurul corpului respectiv, atenuată sau absentă în dreptul lui (fig. 39 a). Pe ecranul radiologic obiectul metalic apare întunecat și este contrastat de luminozitatea deplină din jur; pe filmul radiografic (b) obiectul apare în alb (transparent ca sticlă) pe fondul negru al restului filmului impresionat mai puternic de porțiunile din fasciculul de raze X care nu au fost absorbite de corpul respectiv.

Dacă în calea fasciculului de raze X se găsește toracele (fig. 40), care are structură neomogenă, fiind constituit din organe și țesuturi cu com-

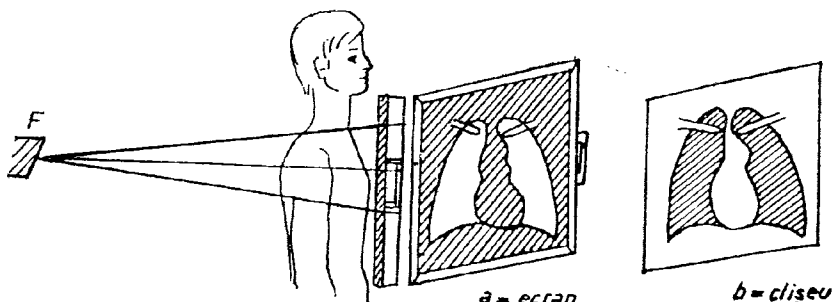


Fig. 40 — Imaginea radiologică a toracelui (corp cu structură neomogenă).

poziție chimică, densitate și grosimi variate, *absorbția este inegală, iar imaginea care rezultă este neomogenă, are structură*.

Penetrabilitatea și modul de absorbție a razeilor X fac ca imaginea radiologică să nu constituie o simplă reflectare a siluetei corpului respectiv, ci să furnizeze în același timp date despre conținutul și structura corpului.

Relieful de intensitate. Fasciculul de raze X la ieșirea din corpul examinat prezintă zone de intensități inegale și luminează neuniform ecranul radioscopic, impresionează inegal pelicula fotografică, metode fundamentale de examen care materializează ceea ce se cheamă „relieful radiologic de intensitate“ (fig. 45 c) și-l face vizibil pentru ochii noștri. În acest sens, pentru corpul omenesc se pot admite *4 trepte principale de absorbție* care contribuie la crearea contrastului radiologic și realizarea imaginii.

Astfel, la torace:

1. Coastele și claviculele — se știe că oasele au o structură densă și absorb foarte mult razele X — împiedică portiunea respectivă din fascicul să ajungă la ecran, acesta rămînind întunecat în dreptul lor. De asemenea împiedică modificarea sărurilor de argint de pe placa fotografică, care rămîne albă în dreptul lor.

2. Mușchii toracici, tendoanele și aponevrozele absorb mai puține raze X decât oasele, ca și organele parenchimatoase pline (cordul și vasele, ficatul, rinichii, splina) ori lichidele. Aceste organe și țesuturi lasă să treacă prin ele o parte din fascicul și de aceea, în dreptul lor, ecranul se va lumina discret, iar filmul radiografic se va înnegri *n u a n t a t*, în raport cu grosimea și densitatea lor.

3. Tesutul adipos absoarbe de 10 ori mai puțin razele X decât mușchii și organele din jurul cărora se găsește pe care le scoate în contrast.

4. Aerul și gazele care au densitate de 1000 ori mai mică decât a părților moi, absorb mult mai puține raze X și contribuie la contrastarea organelor pe care le mărginesc.

Astfel, la torace, țesutul pulmonar cu structură spongiosă și conținut aerian, ca și camera cu aer a stomacului, la baza stîngă a toracelui, nu absorb aproape deloc razele X din fascicul incident și, la ieșirea din torace, ajung în cantitate mare și luminează ecranul sau înnegresc puternic filmul fotografic.

Se spune că plăminul și camera cu aer a stomacului sunt *transparente* la razele X.

Pe linia mediană a toracelui, unde radiațiile din fascicul incident sunt absorbite aproape în întregime, atât de schelet, cât și de organele din mediastin, ecranul rămîne complet întunecat iar sărurile de argint de pe film rămîn nemodificate.

Datorită absorbției inegale, rezultă „relieful radiologic“ constituit din nuanțe de umbră și nuanțe de lumină (grade de opacitate și grade de transparență) care creează un contrast natural între diferite organe și țesuturi, de unde rezultă imaginea radiologică care redă forma acestor organe și de multe ori structura țesuturilor.

Cînd vom discuta radioscozia și radiografia vom reveni asupra unora din aceste probleme.

Legile opticii radiologice

Particularitățile imaginii radiologice care decurg din proprietățile fizice ale razeilor X menționate mai sus, sunt generate de anumite legi ale opticii radiologice, cum sunt:

- legea proiecției conice;
- legea tentelor (tonalitățile fiind în funcție de absorbția razeilor X în raport cu numărul atomic, cu densitatea și grosimea lor);
- legea sumăției și sustracției planurilor;
- legea incidentelor tangențiale și a celor ortograde (apariția linilor nete și a contururilor).

FENOMENUL PROIECȚIEI CONICE

S-a arătat că razele X se propagă în linie dreaptă și că pentru scopurile noastre practice se utilizează un fascicul conic de raze (fig. 25 și 41) care la origine trebuie să fie punctiform. Cind în calea lui se introduce obiectul de examinat (O), imaginea pe care o realizează și o proiecteză fasciculul pe ecran sau clișeu (f) prezintă caracteristicile proiecției unui corp ce are *trei dimensiuni în spațiu* pe *un plan cu două dimensiuni*, precum și defectele proiecției conice, adică apare mărită și deformată.

MĂRIREA IMAGINII

Examinând figura 42 se observă că:

- imaginea radiologică a obiectului de cercetat (a) este totdeauna mai mare decât obiectul în realitate;
- imaginea este cu atât mai mare, cu cât obiectul (b) este mai apropiat de sursa de raze X (de focalul tubului) sau cu cât este mai departat de film (sau de ecranul aparatului).
- Pentru aceeași distanță obiect-film, imaginea este cu atât mai mărită, cu cât sursa de raze X (F) este mai aproape de obiect sau este cu atât

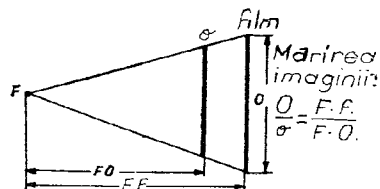


Fig. 41 — În proiecția cu fascicul conic de raze X, mărirea imaginii obiectului se poate calcula după formula: $\frac{F.f}{F.O}$, în care F.f este distanța focus-film, iar F.O. este distanța focus-obiect.

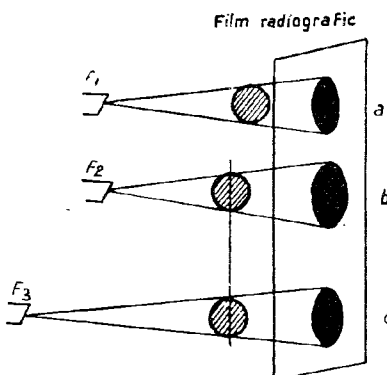


Fig. 42 — Mărirea imaginii în raport cu distanța F.f. (a, b) sau F.O. (a.c.).

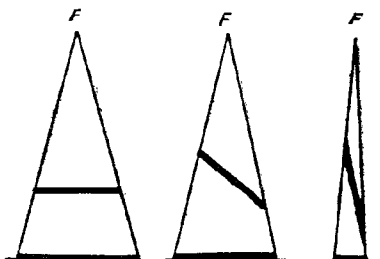


Fig. 43 — Dimensiunile imaginii în raport cu poziția obiectului față de fascicul incident (micșorare).

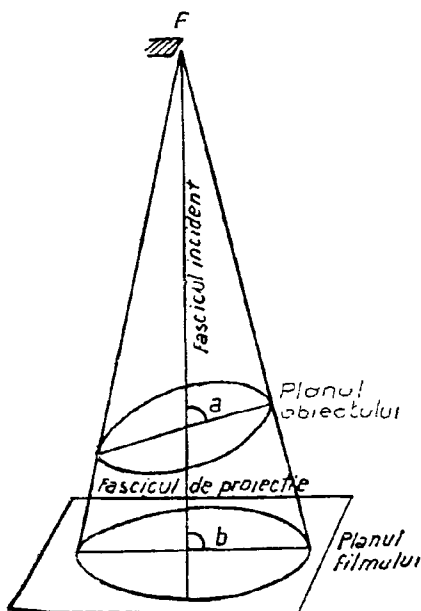


Fig. 44 — Proiecția imaginii obiectului plan pe film; a=unghiul de incidență; b=unghiul de proiecție.

poziția obiectului față de fasciculul incident de raze X (fig. 43), de unghiul format de axul longitudinal al corpului cu axul fasciculului radiant.

Forma imaginii obiectelor (fig. 44) este în funcție de *unghiul de incidență* (a) pe care-l face fasciculul de raze X cu planul de examinat și de *unghiul de proiecție* (b) pe care-l face fasciculul cu filmul sau cu ecranul radioscopic.

DEFORMAREA IMAGINII OBIECTELOR ȘI RELIEFUL DE INTENSITATE

O sferă în calea fasciculului de raze X (fig. 45) se proiectează de dimensiuni sporite, dar cu aceeași formă dacă fasciculul conic este perpendicular pe obiect (B_1). Dacă imaginea obiectului este realizată de un fascicul oblic, își schimbă și dimensiunile, dar și formă; imaginea sferei apare ca un oval (B_2) cu atât mai alungit cu cât fasciculul conic de raze este mai departe de normală perpendiculară pe film (fig. 46).

De acest fapt trebuie să ținem seama în practică. De exemplu, capul femural sau capul humeral care anatomic sunt rotunde, pe radiografia cu fascicul oblic de raze X pot fi deformate optic și apar alungite. Pentru a evita deformările obiectelor se cere ca raza centrală să cadă perpendicular pe planul de proiecție.

Un obiect metalic lung (glonte de armă, ac de cusut sau un cui metallic) dacă este orientat în sensul fasciculului de raze X se proiectează pe

mai apropiată de dimensiunile reale, cu cât tubul este mai depărtat de obiect.

În consecință, dacă dorim ca imaginea obiectului să aibă dimensiuni cât mai apropiate de cele reale, trebuie să apropiem cât mai mult obiectul de ecran (a) sau să îndepărtem tubul (c) cât mai mult de obiect; așa, de exemplu, pentru a nu mări și deforma imaginea organelor toracice (cord, desen pulmonar etc.) se utilizează proiecția paralelă (ortodiagrama).

Proiecția *paralelă* (fig. 60) se efectuează cu raza centrală nedivergentă a fasciculului ce cade perpendicular pe ecran sau clișeu, venind de la un focar situat la cel puțin 2 m de obiect; ea permite înscrarea (schitarea pe ecran a conturului în dimensiuni normale) a unor organe (înimă) sau a unor formațiuni patologice, ceea ce în mod obișnuit poartă numele de teleschiță.

În cazul obiectelor lungi, dimensiunile sunt în funcție de

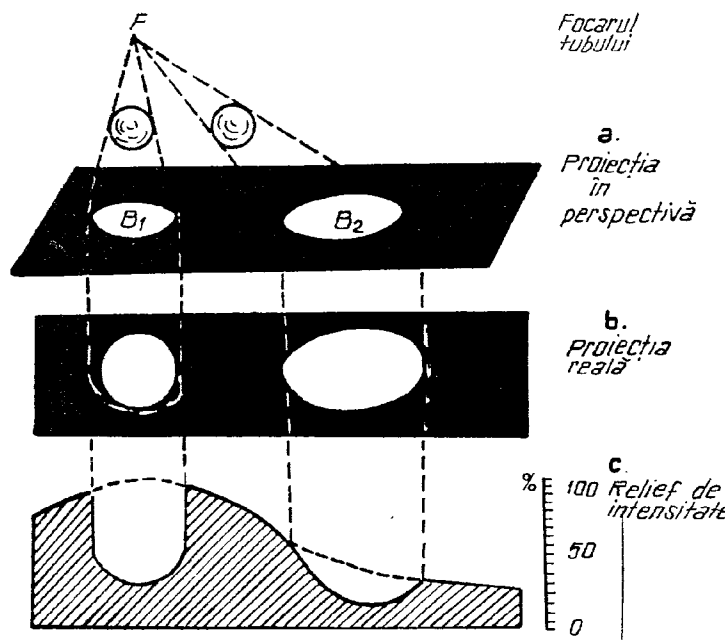


Fig. 45 — Deformarea imaginii și relieful de intensitate.

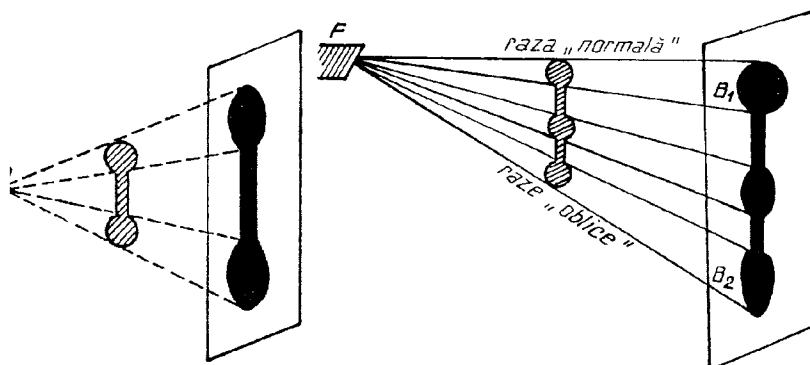


Fig. 46 — Imaginea sferei este cu atit mai alungita cu cit este proiectata cu o rază mai oblică.

écran ca un punct opac (fig. 47) și este cel mai tipic exemplu de proiecție axială directă sau ortoröntgenogradă.

Dacă se schimbă poziția obiectului sau dacă se mobilizează focalul tubului, lăsând obiectul pe loc, acul, de exemplu, va fi proiectat cu forma sa, imaginea fiind orientată diferit în raport cu locul unde se află focalul emițător iar dimensiunile vor fi mai mici sau mai mari în raport cu depărtarea de ecran.

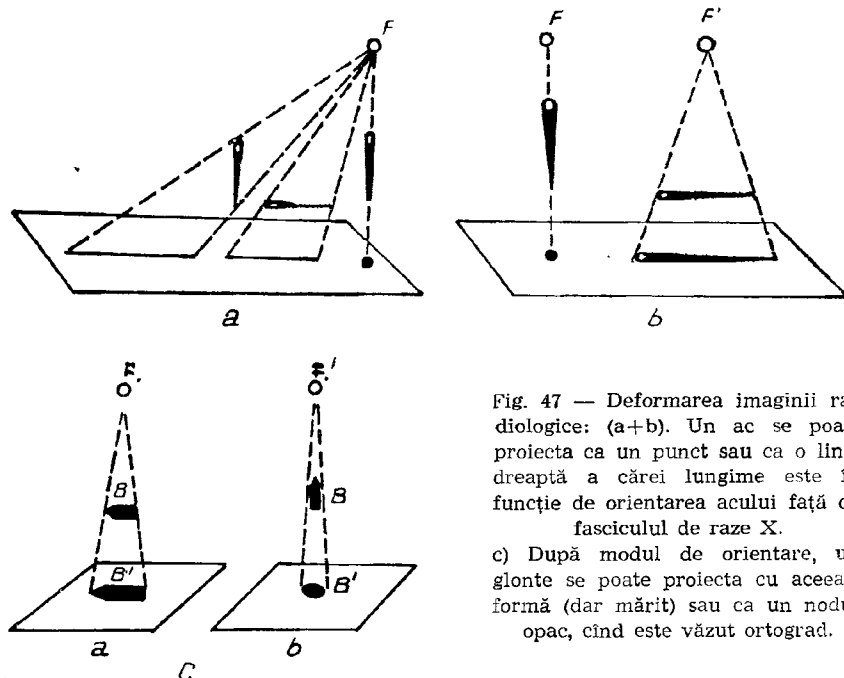


Fig. 47 — Deformarea imaginii radiologice: (a+b). Un ac se poate proiecta ca un punct sau ca o linie dreaptă a cărei lungime este în funcție de orientarea acului față de fasciculul de raze X.

c) După modul de orientare, un glonte se poate proiecta cu aceeași formă (dar mărit) sau ca un nodul opac, cind este văzut ortograd.

De aici rezultă că pentru a obține date cît mai apropiate de realitate, în ce privește forma și poziția unor constitutive normale și patologice din organism este nevoie să se efectueze două radiografii în incidențe perpendiculare una pe alta (față și profil).

DEPLASAREA IMAGINILOR

Imaginea radiologică rezultă din absorbția în mod inegal în segmentul respectiv al corpului omenesc a fasciculului de raze X care trece prin organe și sisteme de consistență diferită.

Astfel, umbra mediastinului este realizată de părțile moi exterioare ale toracelui, de coloana vertebrală și stern, de cord și vasele mari și alte organe din mediastin.

Proiecția oblică. Imaginea radiologică a mediastinului (fig. 48 I) în proiecție directă rezultă din sumația imaginilor tuturor planurilor anatomicice și organelor toracelui surprinse în calea fasciculului de raze X.

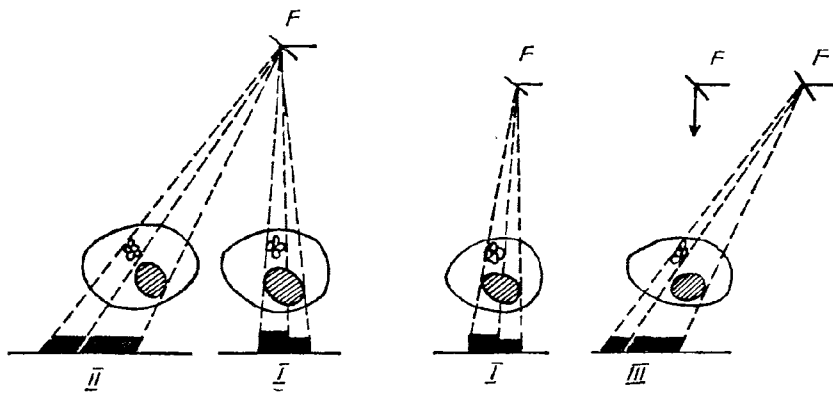


Fig. 48 — Deplasarea imaginii diferitelor formații anatomicice:
În poziția I în care toracele este situat în poziția PA față de fascicul de raze X, coloana vertebrală și cordul se proiectează suprapuse; pentru a le disocia trebuie să se deplaseze fie bolnavul (II), fie tubul de raze X (III), utilizând efectele proiecției oblice.

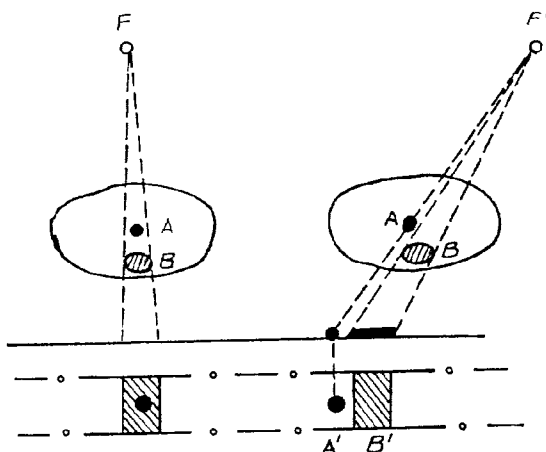
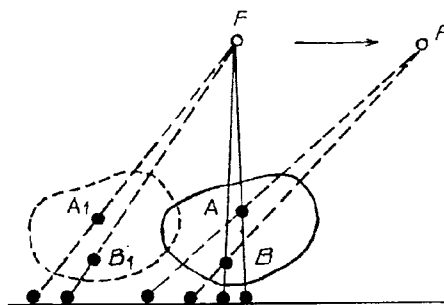


Fig. 49 — Legea paralaxei:
— În cazul proiecției centrale directe, corpul străin opac (A) se proiectează peste umbra coloanei (B).

— În cazul proiecției oblice, corpul străin se proiectează alături de umbra coloanei vertebrale.

Fie că se deplasează focalul (tubul de raze X), fie că se deplasează bolnavul, punctul opac B cel mai departat de F (sau cel mai apropiat de ecran) se deplasează cel mai puțin.



Disocierea acestor organe, care anatomic se găsesc pe planuri diferite, pentru a le analiza pe fiecare în parte se face *pe baza proiecțiilor*; se reușește astfel să se obțină imagini aproape pentru fiecare în parte.

Dacă se rotește bolnavul (II) sau se deplasează tubul (III), obiectele situate pe planuri diferite, deci la distanțe diferențiale de ecran sau de focalul tubului, își schimbă poziția reciproc între ele.

Fenomenul este denumit *paralaxă* (fig. 49). Obiectul care se deplasează cel mai puțin, cînd încercăm disocierea planurilor, este cel situat mai aproape de ecran.

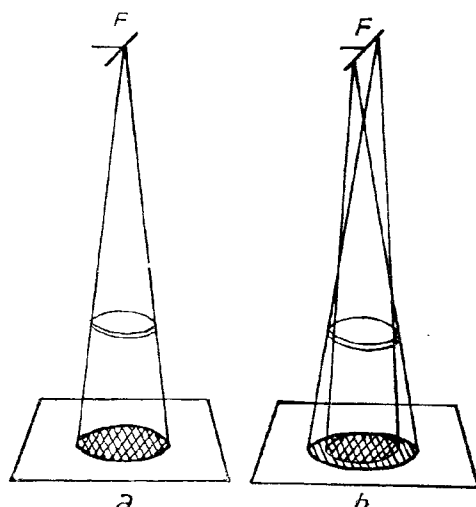


Fig. 50 — Formarea imaginii în raport cu dimensiunea focarului.

a — focal mic; imaginea netă; b — focal mare; producerea penumbrăi.

ROLUL DIMENSIUNILOR FOCARULUI ANODIC

Imaginea este cu atît mai clară, conturul cu atît mai net, detaliile desenului cu atît mai precise, cu cît focalul tubului este mai fin (fig. 50).

Pentru același obiect — de la aceeași distanță de focal — imaginea are caractere precise în cazul tubului cu focal fin punctiform (a) și prezintă fenomenul de penumbă în cazul tubului cu focal mare (b).

LEGEA TENTELOR

Legea tentelor degurge din absorbtia inegală (diferențiată) a razelor X în corpul omenesc în funcție de structura neomogenă a diferitelor organe și sisteme. Anterior am văzut cele patru trepte (tente) principale de absorbtie care contribuie la crearea contrastelor radiologice și la realizarea imaginii particulare fiecărei regiuni, eventual fiecărui organ.

FENOMENUL SUMAȚIEI ȘI SUSTRACȚIEI PLANURILOR

Imaginea radiologică a oricărui segment al corpului omenesc reprezintă suma imaginilor diferitelor organe și țesuturi care caracterizează din punct de vedere anatomic acel segment, care sunt străbătute de razele X, plan cu plan așa cum sunt ele așezate în spațiu și rețin din fascicul de raze X cantități în raport cu densitatea și structura lor, conform legilor absorbtiei ale lui Bragg și Pierce.

Am amintit deja că umbra mediastinului este o imagine complexă, rezultînd din suma umbrelor (imaginilor) tuturor organelor ce sunt sur-

prinse în calea fasciculului de raze X pe linia mijlocie a toracelui în poziția P.A. în proiecție centrală directă. Din cauza acestei sumății nu putem aprecia starea fiecărui organ din mediastin. În regiuni în care, în drumul fasciculului de raze X, se află organe opace și corpuri transparente, acestea din urmă micșorează intensitatea umbrei cauzate de primele prin efectul sustracției (fig. 51). Traheea se observă prin umbra coloanei vertebrale grație acestui fenomen. Sustracția joacă un rol important și la nivelul regiunilor și segmentelor cu structură anatomică mai simplă.

Structura trabeculară a spongioasei este un rezultat al sumăției lamelelor osoase care sunt surprinse în calea fasciculului incident de pe grosimea de os străbătută de acesta.

Desenul vaselor pulmonare, mai ales la nivelul retelei secundare, rezultă din sumăția mai multor elemente anatomicice vasculare de pe planuri diferite. Nodulii miliari din granulie nu se văd fiecare în parte, dar sumarea lor în lungul fasciculului determină un nodul vizibil radiologic (fig. 177 și 178).

Efectul sumăției intervine în toate imaginile radiologice și, din cauza ei, uneori nu se văd unele detalii, ceea ce constituie dezavantaje. Așa se explică de ce leziuni de anumite dimensiuni nu se văd pe radiografie deoarece sunt mascate de imaginea țesutului normal din jur.

Astfel, se știe că un focar osos distructiv (o cavitate în osteomielită sau din tuberculoza osoasă) nu se vede pe radiografie decât cînd are dimensiuni cît un sămbure de cireașă în metafiza femurală, sau dimensiuni chiar mai mari în corpul vertebral, astfel încît învinge opacitatea planurilor oscase suprapuse (sumate) cărora se sustrage (fig. 51).

De asemenea, un focar infiltrativ pulmonar sau o cavernă trebuie să aibă anumite dimensiuni ca să se poată vedea, ca să poată transpare prin țesutul pulmonar sănătos. O colecție de lichid pleural sau o îngroșare a pleurei determină o opacitate care maschează procesele patologice din parenchimul subiacent.

În tumora albă de genunchi, tumefierea părților moi se sumează modificărilor osoase și umbrește difuz extremitățile osoase deja, destul de osteoporotice și încrețoșeză, voalează interliniul articular. Tomografia și

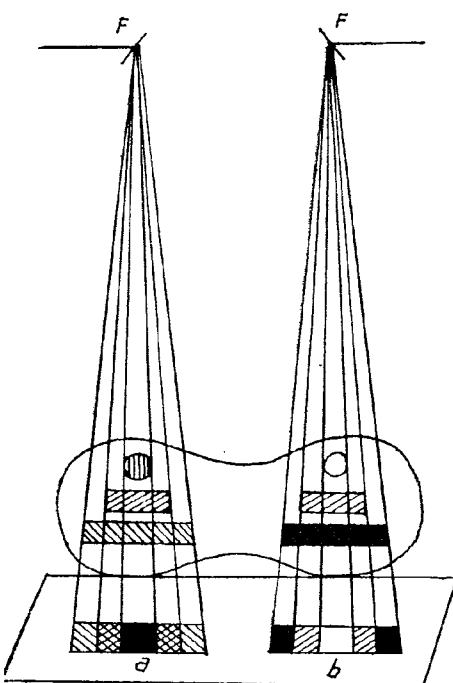


Fig. 51 — Efectul de sumăție (a) și cel de sustracție (b) a diferitelor corpuri radioopace și radiotransparente, suprapuse.

radiografia cu raze dure sănt metode care ajută în asemenea cazuri să se studieze regiunea plan cu plan și să se pună în evidență toate focarele patologice.

LEGEA INCIDENTELOR TANGENȚIALE. POZIȚII ȘI ASPECTE ORTOGRADE

O lege optică particulară imaginilor radiologice este legea incidentelor tangențiale care ne explică de ce pe imaginea radiografică pot apărea linii opace nete — dungi sau contururi precise — în cazul cînd raza inci-

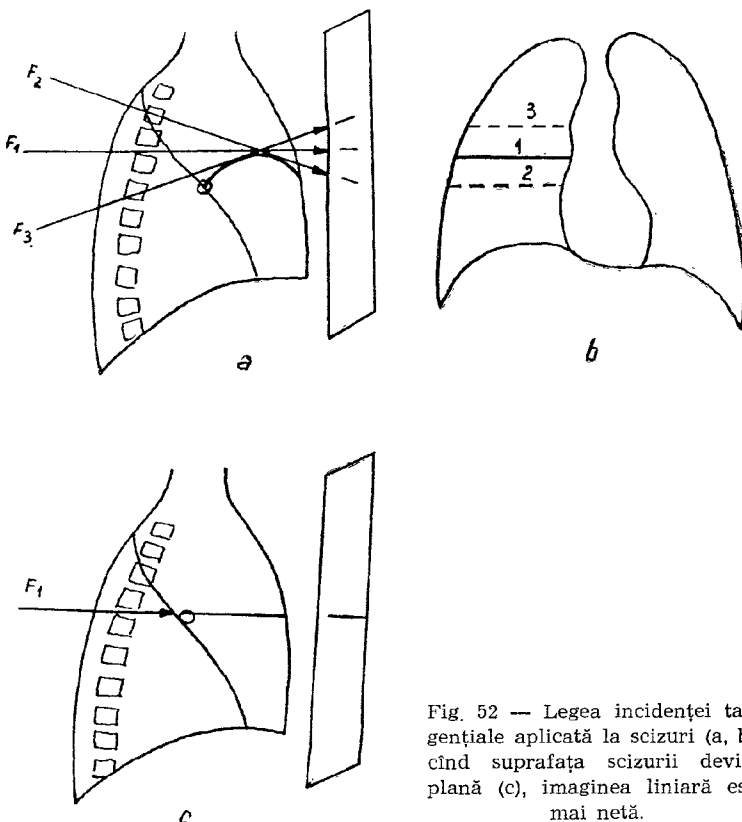


Fig. 52 — Legea incidentei tangențiale aplicată la scizuri (a, b); cînd suprafața scizurii devine plană (c), imaginea liniară este mai netă.

dentă atinge tangențial suprafața unui obiect opac la razele X (BÉCLÈRE), sau cînd fascicoul incident atinge suprafața care separă obiecte de opacitate diferită (TILLIER).

Astfel, scizura orizontală dreaptă (fig. 52) se vede pe radiografia din față atunci cînd raza incidentă este tangentă la planul scizural (a).

Fig. 53 — Legea incidentelor tangențiale aplicată la un os pe secțiune: În incidentă F_1 se obțin linii opace nu numai cu radiațiile A și D tangente la contururile (laterale) ci și cu radiațiile B și C tangente la crestele osoase. În incidentă F_2 radiațiile nu mai sunt tangente la crestele B și C (ele sunt secante) și nu mai rezultă linii opace.

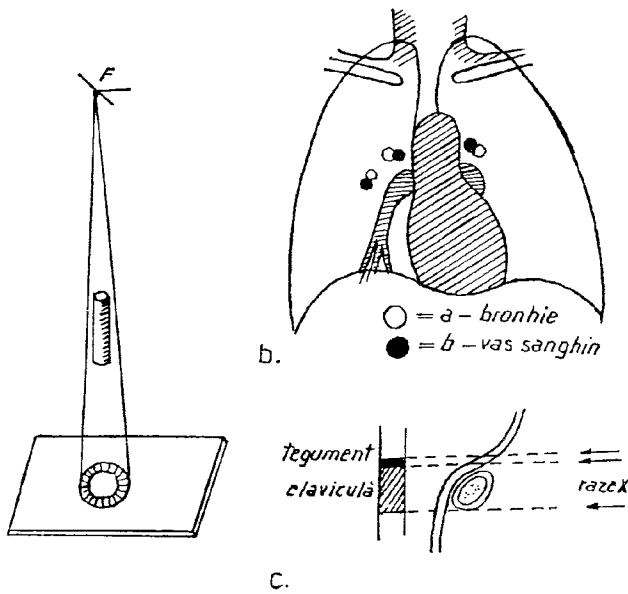
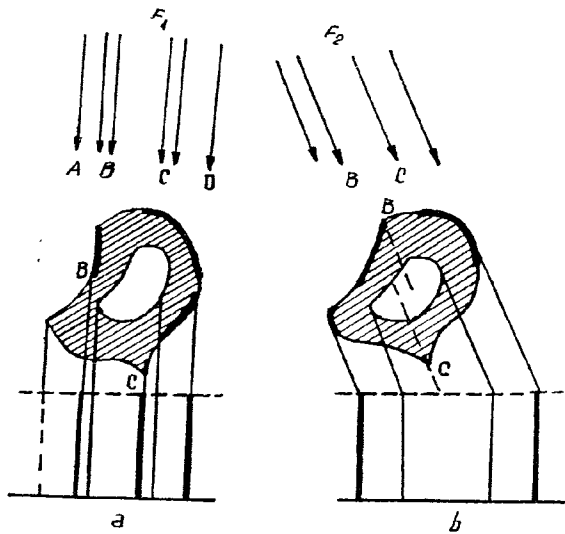


Fig. 54 — Aspectul ortograd al elementelor anatomicice: a — un tub cilindric (bronchia) privit ortograd se proiectează ca un cerc transparent; b — bronhiile și vasele sanguine ortograde se proiectează ca un cerc transparent sau ca un nodul opac; c — tegumentele de deasupra claviculei realizează o umbră liniară care însoțește umbra claviculei.

Unele creste osoase se văd net în cazul cînd au fost surprinse tangențial de raza incidentă (fig. 53 a) și pot să nu se vadă deloc dacă se rotește osul respectiv sau se schimbă direcția razei incidente (b).

Linia opacă va fi cu atît mai pronunțată cu cît raza de curbură a suprafeței de tangență este mai mare, pentru că razele X sunt reținute pe o mai mare parte din traiectul lor.

Dacă raza de curbură crește la infinit, suprafața de tangență nu mai este curbă, ci devine plană și atunci cînd este surprinsă în lungul fasciculului de raze X imaginea de contur este mai netă (fig. 52 c).

Bronhiile și vasele pulmonare (fig. 54), falangele și diferențele apofize osoase, scizurile, tegumentele deasupra claviculelor, cînd sunt străbătute de fasciculul incident în lungul lor, realizează imagini ortograde și se văd ca niște cercuri cu centrul transparent (a=bronhiile), ca niște noduli opaci (b=vasele) sau ca niște linii opace (c=tegumentele, scizurile etc.).

Obișnuit, se spune că elementele anatomicice menționate realizează aceste imagini, cînd „sint văzute ortograd“.

III. Protecția în radiodiagnostic și radioterapie

În timpul funcționării aparatului de raze X pentru diagnostic sau pentru radioterapie, atât bolnavii cit și medicii sau personalul ajutător care manipulează aparatele primesc o oarecare cantitate de raze X.

Această cantitate de raze X este numită *doză de toleranță*, termen propus de MUTSCHELLER și nu trebuie să depășească anumite valori; altfel, după un timp mai scurt sau mai lung, de la iradiere apar efectele biologice ale razelor X care se manifestă la cel care primește radiații — asupra pielii și a singelui, asupra organelor sensibile sau asupra organului iradiat prea mult. Efectele genetice se pot produce și la doze mici.

La Hamburg, în fața serviciului fondat de ALBERS-SCHÖNBERG se află un monument pe care sunt înscrise numele victimelor razelor X.

Comisia Internațională de protecție în radiologie (CIPR), Mexico 1956, recomandă să nu se depășească *doza de toleranță*, care pentru cei ce muncesc în mediu de radiații este:

- 200 rem pentru viață întreagă;
- 50 rem pînă la vîrstă de 30 ani;
- 5 rem pe an, adică;
- 0,1 rem pe săptămînă.

Pentru populația expusă nu se va depăși doza de 150 mrem/an.

Rem (inițialele prescurtării de la röntgen equivalent man), este unitatea biologică de măsură pentru om și 1 rem corespunde efectului biologic al acelei doze de radiații, care prin absorbția ei în organism produce o acțiune biologică echivalentă unei doze de 1 R — 1 rem este echivalent cu 1 R sau cu 0,01 sievert (unitatea S.I.).

Doza de expunere și iradiere este apreciată în serviciile radiologice cu filme dozimetrice sau camere de ionizare (*stilou*).

Protejarea bolnavului la diagnostic: examenul trebuie să fie cât mai scurt, efectuat cu un fascicul de raze X îngust, de o persoană competentă, care se orientează ușor; gonadele bolnavului nu trebuie iradiate sau se vor proteja cu măști speciale.

Trebuie să se evite examenele radiologice inutile, examenele repetate cu ocazia perindării bolnavilor prin diferite servicii sau controlul frecvent al bolnavilor cu boli cronice (ulcer gastroduodenal, tuberculoză pulmonară).

În terapie trebuie să se facă un plan judicios de tratament și să se întrăbuințeze filtru adecvat, să se ia măsuri de izolare a porțiunilor din corp, care sînt în afara cîmpului de iradiat.

Protejarea medicului la radioscopie se face prin:

— tub de raze X blindat cu plumb, cu cupolă care nu permite ieșirea razelor X decit în direcția fasciculului util, tub ce nu poate fi apropiat de bolnav sub 35 cm.

— diafragma cu volete care nu se poate deschide mai larg decît ecranul în fața căruia se află medicul examinator.

— ecran protejat cu sticlă plumbată cu echivalență a 2,5 mm plumb; care oprește razele X din fasciculul incident cu care este examinat bolnavul.

— șorțul plumbat care atîrnă la ecran și

— paravanul plumbat protector, care opresc radiațiile secundare.

Medicul radiolog poartă un șorț și mănuși plumbate cu echivalență de 0,5 mm plumb iar pentru compresiunea necesară în examenul tubului digestiv se servește de lingura lui H O L Z K N E C H T sau de tubul compresor de la e x p l o r a t o r u l A L B R E C H T aflat în spatele ecranului, fără să introducă mâna în fascicul direct.

După introducerea ecranului întăritor de imagine, în practica medicală și prin posibilitatea amplifotografiei, doza de radiațiuni la expunere poate fi micșorată (pînă la de 8 ori).

Buna pregătire profesională și posibilitatea unui examen scurt constituie cele mai bune mijloace de protecție.

La aparatelor actuale nu se mai pune problema protecției contra înaltei tensiuni.

IV. Metodele de cercetare radiologică și principiile lor

În prezent metoda principală de examen radiologic este radiografia.

Radioscopia, care a fost întrebuită foarte mult în trecut — constituind primul timp al examenului radiologic al bolnavului — nu mai este o metodă de rutină pentru că dă mai puține informații, chiar cind este efectuată la ecranul întăritor de imagine sau la televizor, comparativ cu radiografia și este însotită de iradierea puternică a bolnavului.

Radioscopia

Imaginea radioscopică se formează pe ecranul sensibil cu care este prevăzut stativul de examen și este consecința următoarelor proprietăți fizice ale razelor X:

— propagarea în linie dreaptă a lor explică formarea și mărirea imaginii obiectului studiat, precum și sumarea diverselor planuri în una și aceeași umbră;

— fluorescența sărurilor incorporate în ecranul radiologic sub acțiunea razelor X care trec prin corpul examinat;

— razele X din fasciculul incident sunt absorbite în mod inegal de diferitele componente ale corpului și impresionează inegal sărurile de pe ecranul radiologic, iar diferența de lumină fluorescentă din diferitele puncte ale ecranului constituie imaginea radiologică.

Ecranul radioscopic este constituit dintr-o foaie de carton pe care este întins un strat gros de 1 mm de substanță fluorescentă la razele X (fig. 55); această foaie este protejată de o sticlă plumbată echivalentă a 2,5 mm Pb, ambele fiind menținute lipite în contact de o ramă metalică. Pentru fabricarea foliilor și a ecranelor, la început a fost întrebuită platinocianura de bariu (RÖNTGEN 1895), iar apoi tungstatul de cadmiu; ecranele care se folosesc astăzi sunt confecționate pe bază de sulfură mixtă de zinc și cadmiu și sunt de circa 4 ori mai luminoase decât precedentele. Ele trebuie protejate contra luminii, razelor ultraviolete în special. În prezent se folosesc foliile cu Titan, din sulfura de Ytrium sau cu emulsie de pământuri rare (lantanide).

Ecranul trebuie să fie mare, să aibă dimensiuni 40/40 cm, pentru că la nevoie să se poată explora toracele în totalitate, fără ca sticla lui de protecție să fie depășită pe vreo una din cele patru laturi de limitele fasciculului de raze X. În prelungire, sub ecran, se află un șorț plumbat.

Radioscopia se efectuează într-o cameră complet obscură cu perdele negre la greamuri opace și la uși, după adaptarea prealabilă a examinatorului la întuneric. Adaptarea durează între 10—20 minute, timp în care sensibilitatea retinei la lumină sporește de circa 100—200 ori (BÉCLÈRE); în acest timp se ia anamneza bolnavului. În cameră se găsește o lumină redusă, de culoare roșie care se aprinde între radioscopii și are scopul să evite dezadaptarea celui care examinează. În prezent, cu ecranul întăritor de imagine sau la televizor examenul radioscopic poate fi făcut la lumina zilei.

Avantajele radioscopiei. Radioscopia ajută să se studieze dinamica funcțională a organelor, ajută să se precizeze întinderea, sediul și profunzimea unei leziuni în timpul și pe măsura rotării treptate a bolnavului în spatele ecranului.

Dezavantajele. Radioscopia este o metodă subiectivă; datele ce se obțin sunt în funcție de ochiul și experiența examinatorului. După examen nu rămîne nici un document obiectiv în afară de buletinul radiologic. În timpul examenului se produce o iradiere importantă a bolnavului.

Indicații. Radioscopia este indicată atunci când radiografia simplă nu dă informații suficiente asupra organului studiat și se pretează pentru studiul mișcărilor și studiul în rotație progresivă și curgătoare (în diferite incidențe) al bolnavului.

Radiografia

Constituie metoda obiectivă cu ajutorul căreia se obține o imagine document, care poate fi examinată de mai mulți medici și poate fi comparată cu imaginile de la examenele ulterioare, scoțind în evidență particularitățile evolutive ale boii respective.

Principiul radiografiei se bazează pe acțiunea fotochimică a razelor X asupra sărurilor de argint (BrAg) pe care le modifică, impresionând pelicula radiografică pe care produce imaginea latentă. Această imagine este rezultatul absorbției inegale a razelor X de către organele prin care trece fasciculul incident.

Pentru efectuarea radiografiilor se întrebunțează casete metalice de dimensiuni variabile, casete ce au rol de cameră obscură pentru film și-1 mențin într-un singur plan, grație stratului de pișlă care face ca apăsarea să fie uniformă.

Fiecare casetă conține două folii întăritoare (fig. 55 a) impregnate fiecare cu un strat de wolframat de calciu (CaWo_4), mai recent cu sulfură de Yttrium sau de Titan, substanțe a căror granule sub influența razelor X devin fosforescente.

Pentru fiecare quantă de raze X, foliile întăritoare emit 1 000 de quante de lumină, care sunt absorbite în emulsia fotografică a filmului, într-o proporție mult mai mare decât razele X.

Cele mai recente folii sunt acoperite cu un strat de pământuri rare (Gadolinium și.a.), care emit în zona albastru sau verde a spectrului și sunt de 4 ori mai sensibile decât foliile obișnuite de tip Universal care sunt noteate cu litera „U“.

Foliile notate cu „E“ sunt puternic întăritoare, iar cele cu „F“ sunt utilizate pentru a obține desen fin.

Lumina fiecărei din cele 2 folii *impresionează filmul radiologic* pe față corespunzătoare; acțiunea se produce mai ales la suprafața stratului

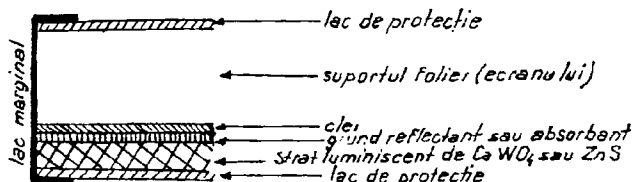


Fig. 55. a — Structura unei folii întăritoare din caseta pentru radiografie. Ea este asemănătoare cu folia ecranului radiologic.

de gelatină cu substanță sensibilă și realizează imaginea sau o întărește de 10—40 ori. Imaginea realizată direct de fasciculul incident de raze X cu care se face radiografia străbate *toată grosimea* stratului sensibil al filmului pe care-l impresionează (îl înnegrește) numai în proporție de 5%, comparativ cu lumina foliilor.

Substanțele chimice care alcătuiesc substratul sensibil al ecranului radioscopic sau al foliilor din casetele de radiografie au proprietatea de a absorbi energia radiațiilor din fasciculul incident de raze X și apoi de a o emite sub formă unei alte radiații, fenomen care poartă numele de *luminescență*.

Folia ecranului radiologic este fluorescentă și rămîne luminoasă numai atât timp cât este sub acțiunea razelor X.

Dacă emisia radiațiilor luminoase de către substanță chimică din folii continuă și după închiderea acțiunii fasciculului excitant de raze X, atunci fenomenul poartă numele de *fosforescență* el se produce și în foliile casetei radiologice (se spune că au remanență).

Filmul radiologic

Filmul radiologic (fig. 55 b) este alcătuit dintr-un suport (de acetat de celuloză etc.) neinflamabil, pe fețele căruia sunt lipite cîte un strat de emulsie fotografică (bromură de argint în gelatină). Stratul de gelatină este acoperit cu un strat fin de lac transparent care protejează emulsia de zgîriecturi.

În anumite limite există o relație de proporționalitate între cantitatea de raze X (doză) și gradul înnegririi filmului; această proprietate este utilizată în radiodiagnostic pentru realizarea radiografiei iar în dozimetria

de protecție, pentru aprecierea cantității administrate de raze X. Filmul sensibil este introdus în casetă — care are rol de cameră obscură și așezat fest și presat (posibil și prin vacuum) între folii fosforescente — care trebuie menținute curate — fără praf și fără de pete (de revelator), spălate cu spumă de săpun.

Ele trebuie lipite la peretei casetei ca să nu se deplaseze și să nu poată fi îndoite sau inversate în timpul când se încarcă caseta.

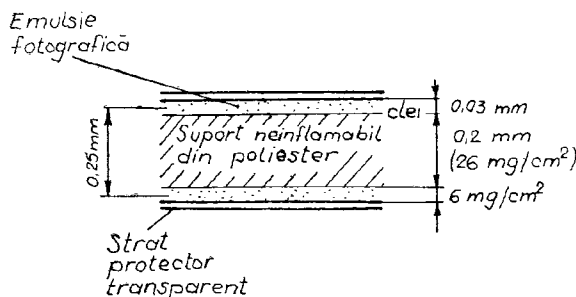


Fig. 55, b — Filmul radiografic cu 2 fețe (FISCHGOLD).

Caseta cu filmul este *expusă la razele X* un anumit timp (care trebuie stabilit cu precizie de persoana ce efectuează radiografia sau de către *iontomat* dispozitiv care are dimensiunile unei *grile Lysholm 35/35*). Astfel rezultă *imagină latentă* a regiunii examineate.

Camera obscură

În continuare, filmul este prelucrat în *camera obscură*. Cu ajutorul soluției *revelator*, imaginea latentă de pe film devine *patentă* sub acțiunea metholului și hidrochinonei, care sunt substanțe reducătoare ce descompun sărurile de argint impresionate de razele X în mici granule de argint metalic, care sunt negre. Sărurile de argint care au rămas neimpressionsate în timpul expunerii filmului la razele X sunt reduse, anihilate prin soluția de hiposulfit de sodiu, numită *fixator*, în care se introduce filmul după ce a fost ținut timp suficient în revelator și spălat într-o baie de apă curentă. După operația de fixare, filmul este spălat din nou *îndelung la apă curentă*, trecut printr-o soluție de acid acetic care împrezește filmul și întărește gelatină și apoi este suspendat ca să se usuce.

Calitatea imaginii radiologice este apreciată în funcție de precizia desenului și de contrast. Aceasta poate fi compromisă de flu-ul radiologic care poate fi datorat următorilor factori:

- flu-ul geometric („penumbra”), care este inherent și proporțional cu dimensiunile focalului radiologic (care nu este punctiform) și invers proporțional cu distanța focus-film.

- flu-ul kinetic, care rezultă prin mișcarea filmului, a bolnavului sau a organelor investigate; el poate fi diminuat prin expunere scurtă și utilizarea de folii rapide.

— flu-ul fotografic sau de difuziune, care este proporțional cu granulația filmului sau a folioilor din casetă; acesta poate proveni și din difuziunea razelor X, care trec prin peretele anterior al casetei, din stratul de lac protector sau din presiunea neuniformă ce se exercită asupra filmului de către folii și casetă, în fine, prin efectul cross-over.

Calitatea fotografică a unei radiografii depinde în primul rînd de timpul de expunere corect și de calitatea manipulatorilor fotografice în camera obscură.

În genere, pentru fiecare aparat radiologic medicul stabilește timpii optimi de „poză“ și întocmește un *tabel de expuneri* în care sunt înscrise kV, mA, distanța și timpul de expunere în secunde sau în mAs (miliamperesecunde).

Tehnica radiografiilor programate: pentru diferite organe se alege în prealabil focalul, tensiunea și se măsoară doza de raze X de la expunere cu Iontomatul. (fig. 58).

Pentru așezarea bolnavului și pentru menținerea poziției sunt utilizati saci cu nisip precum și perinițe din materiale plastice, de diferite forme, compresorul abdominal de la explorator (ecran), rame variate pentru casete de diferite dimensiuni, compresorul cu arcuri sau cu chingă, cel cu balon și cu manometru pentru rinichi, gama de tuburi pentru localizarea regiunii de radiografia.

Toate acestea sunt utilizate pentru a subția stratul de părți moi din dreptul cîmpului de radiografie.

Pentru fixarea bolnavului și menținerea poziției necesare pentru examen, și pentru comoditatea lui, se pot adapta la stativul de examen diferite mijloace de conțenie și dispozitive de susținere: chingă sau bandă compresoare pentru abdomen, sprijinitor de umeri pentru Trendelenburg, mînere.

Pentru menținerea sugarilor se utilizează o planșetă sub formă de tavă — o covătică din material plastic —, în care copilul este fixat cu ajutorul unui burete, și a unor chingi (în loc de fașă). Pentru examenul vertical copilul este susținut-agățat la ecran cu ajutorul unei salopete cu bretele.

În prezent magaziile cu mai multe clișee (fig. 56), expunerea automată (fig. 58), transportul lor mecanic și developarea lor automată cu mașina, care poate fi incorporată la instalatie (fig. 57), permit ca un personal redus numeric să poată executa un număr mare de radiografii cu imagini de foarte bună calitate și în timp foarte scurt (filmul este developat și uscat în 1—7 minute) ce pot fi interpretate imediat.

Developarea la lumina zilei poate da filmul gata de examinat după 1 minut de la efectuare.

Aceste tehnici prezintă o importanță deosebită pentru radiografiile ce se execută în timpul intervențiilor chirurgicale și pentru radiografiile dentare.

Alături de camera obscură pentru developarea filmelor trebuie să se afle *camera pentru transformarea și ameliorarea secundară a imaginilor*, în care se execută:

— copii de pe clișeu cu corectarea contrastului;

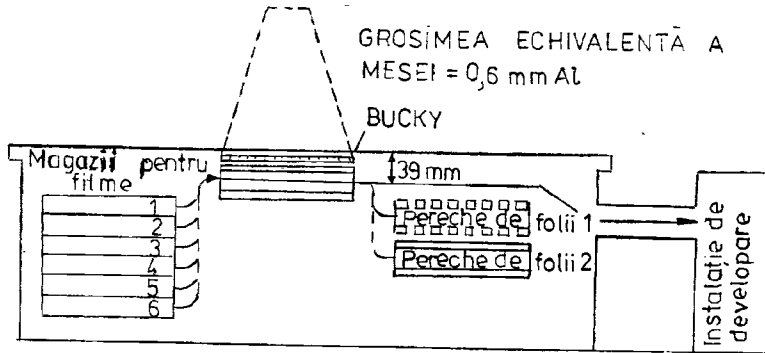


Fig. 56 — Masa Potter-Bucky este cuplată direct cu *mașina de developat*. Ea are 6 magazine pentru filme, din care fiecare film este scos și introdus automat între foliile casetei care au două sensibilități diferite și fac un contact optimă. Filmele pot fi de format mare în 6 dimensiuni sau de format 100×100 mm 2 pentru amplifotografii; se asigură identificarea automată a filmelor pe care sunt înscrise și datele personale ale bolnavului; (dr-stg., a-p/p-a) etc.

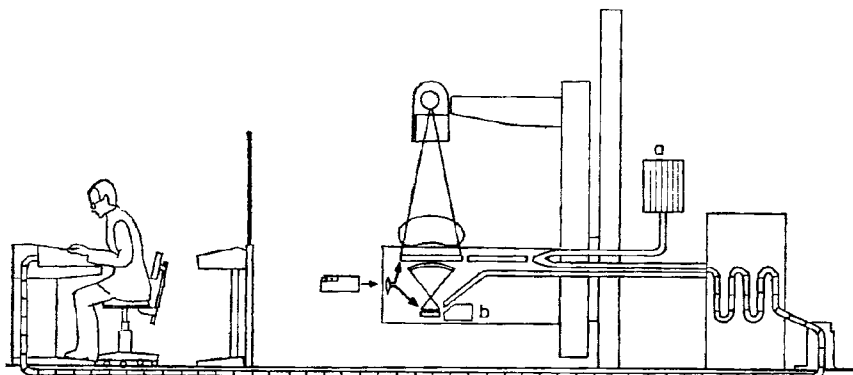


Fig. 57 — Instalație de Röntgendiagnostic cu telecomandă.

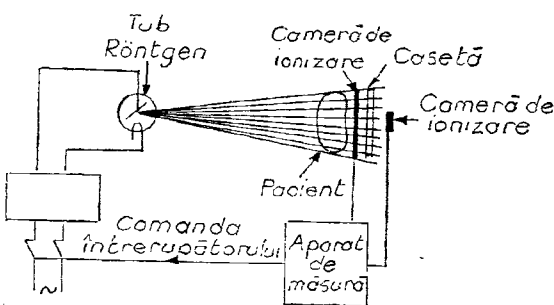


Fig. 58 — Principiul Ion-tomatului (expunerii automate).

- transformarea (sustracția) electronică sau fotografică, în imagine alb-negru sau în culori;
- trecerea înregistrării magnetice pe o altă bandă sau pe un film cinematografic;
- copii pe hârtie pentru publicații, diapositive pentru conferințe și prezentări științifice, sau pentru arhivarea filmelor.

Ameliorarea calității radiografiilor și a definiției imaginii radiologice se poate obține prin efectuarea radiografiilor fără folii, prin radiografia mărită direct și prin procedeele fotografice și electronice descrise mai jos.

Radiografia mărită direct

Un procedeu care servește la sporirea informației obținute prin examenul radiologic constă în mărirea imaginii.

Aceasta poate fi efectuată printr-un procedeu fotografic (mărire optică secundară) ori prin citirea cu lupa sau la video-viewer care are posibilitatea de să mărească pînă de 18 ori, oferind imagini pentru diagnostic, învățămînt sau conferințe, sau prin mărirea radiografică directă pe film a structurii obiectului, procedeu care dă o imagine mult mai netă decît radiografia convențională.

Radiografia mărită direct se poate efectua numai cu instalații puternice și tub cu focar fin, care dă structuri cu penumbră redusă.

Mărirea se face în raport cu „legile proiecției conice“ (de 2 ori, de 3 ori, de 4 ori).

Tuburile de raze X de la aparatele Tur, Diagnomax, Eltex au focare de 2 mm, 1 mm și 0,3 mm.

Focarul de 0,3 mm este utilizat pentru măririle directe pînă la $\times 2$ ori (dar este ideal și pentru mărirea în amplifotografie și pentru imaginea televizată).

Focarul de 0,1 mm este utilizat pentru măririle directe mai mari (pînă la $\times 4$ ori) necesare în angiografia cerebrală, orbitală, studiul coronarelor, arteriografia renală, studiul structurii osoase.

Programarea expunerii și automatizarea executării radiografiei

În special în explorarea organelor în mișcare și cu substanțe de contrast, acestea pot da relații cantitative asupra particularităților funcționale.

Obținerea datelor concrete și a detaliilor de pe radiografiile clasice este ușurată prin dispozitive electronice și optice, care modulează automat și ameliorează calitatea imaginii (Logetron), permit sustracția structurii ce ne interesează sau permit densimetria diferențelor elementelor de pe film.

Logetronul

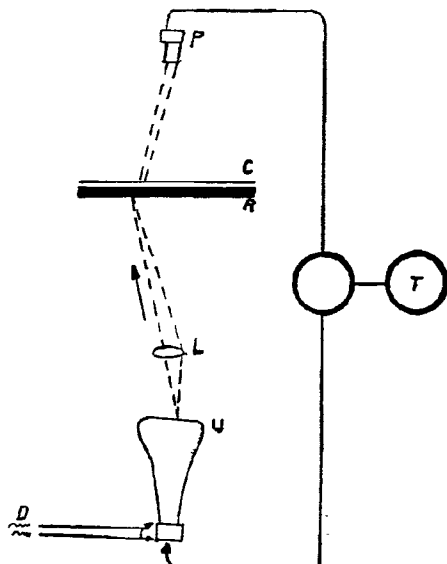


Fig. 59 — Principiul logetronului lui CRAIG. Spotul luminos al unui oscilograf catodic (U) este proiectat printr-un obiectiv (L) pe clișeul negativ (R) acoperit de clișeul pe care se va imprima imaginea pozitivă C. Luminanța fasciculului care traversează acest cuplu (clișeul expus și cel neexpus) acționează asupra celulei fotoelectrică (P) care este cuplată cu un fotomultiplicator și cu un dispozitiv care reglează instantaneu luminanța spotului (U) în funcție de luminanța de bază, determinată de blocul T — care menține tensiunea de referință (PIZON).

Este un dispozitiv electronic cu ajutorul căruia în cursul copierii filmului se produce automat o accentuare a contrastelor; cu acest aparat se pot îmbunătăți imaginile unor radiografi expuse defectuos sau developate nesatisfăcător; principiul său se vede pe fig. 59.

Sustracția

Utilizată la inceput în angiografiile cerebrale, s-a introdus în prezent și pentru studiul angiografiilor periferice, în studiul laringelui sau al calcificărilor din părțile moi. Se poate efectua cu mijloace electronice sau fotografice, cu imagine alb-negru sau în culori.

Imageria prin *sustracție digitală* din memoria electronică a computerului permite tratarea imaginii prin sustracția punct cu punct a diferitelor elemente ale imaginii, chiar *numai după injecția i.v. a substanței de contrast*.

Armonizarea contrastului

Este o manoperă care permite să se accentueze detaliile și în special structurile fine, scăzând contrastul de fond al clișeului și atenuând structurile grosolane. Cu un dispozitiv de reglaj, armonizarea se face în trepte atât cît este necesar elucidării cazului.

Densimetria

Poate da relații asupra gradului de mineralizare a țesutului osos, asupra raportului singe-aer în țesutul pulmonar, asupra circulației (substanței de contrast) în diferite organe și a dinamicii ei și se efectuează cu o celulă fotoelectrică.

Radiografia în culori

Este posibilă datorită filmului medichrôme și ameliorărilor lui successive; developarea se poate face cu mașina, cu un revelator cromogen apropiat.

Intenția radiografiei în culori este de a obține imagini totodată mai frumoase și mai bogate în informații decât cu filmul alb-negru.

Amplitudinea de luminanță a clișeelor în culori este de 10—15 ori mai mare ca la un clișeu alb-negru; lumina care traversează filmul și ajunge la retina noastră este mai densă, ceea ce explică de ce pe radiografia cerebrală vasele se văd pînă la cele mai fine ramificații; se vede și artera oftalmică prin masivul facial, ca și părțile moi ce înconjoară craniul.

Negatoscopul medichrôme favorizează variabilitatea contrastului imaginii prin posibilitatea pe care o are de a da o lumină cu tentă ce poate fi modificată după voință.

Teleradiografia

Radiografia standard se poate face la distanță obișnuită de 80 cm pînă la 1 m, distanță care este necesară pentru ca organele să nu apară prea mari sau prea deformate.

Radiografia pulmonară se face de la o distanță de 2 m și această metodă poartă numele de *teleradiografie*.

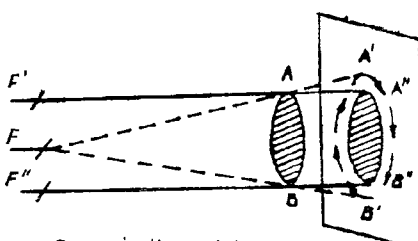
De la această distanță desenul pulmonar apare deslușit — cu contrast — iar umbra cordului în dimensiuni și formă cît mai aproape de normal.

Ortodiagramă

Prin ortodiagramă se înțelege înscrierea pe ecranul radiologic a conturului unui organ, utilizând proiecția centrală (raza axială din fascicul) și se întrebunează în special pentru studiul dimensiunilor diferitelor diametre ale cordului și aortei, sau pentru măsurarea distanței între două puncte care ne interesează, pentru aprecierea creșterii unor formații patologice.

Ortodiagrama se efectuează cu ajutorul unui fascicul îngust de raze X (fig. 60 și fig. 390 și 391) care este plimbăt tangențial la conturul organului examinat (pozițiile F', F'').

În acest mod, fasciculul de raze X cade perpendicular pe fiecare punct din conturul organului de examinat, care este proiectat în dimensiunile lui reale. Prin acest procedeu se evită proiecția conică (poziția F)



F = proiecția conică
F' + F'' = proiecția ortodiagramei

Fig. 60 — Principiul ortodiagramei.

și deci mărirea organului de examinat. În timp ce se plimbă fasciculul îngustat pe conturul de pe ecran al organului de examinat, imaginea acestuia este înscrisă pe sticla ecranului cu un creion gras dermatografic de pe care apoi este copiată pe hîrtie transparentă de calc, pe care se duc anumite diametre și se fac măsurători.

Ortodiagrama se poate executa cu ușurință la aparatele mici, la care tubul (cu fascicul de raze X) poate fi mișcat independent de ecran, care împreună cu bolnavul râmân fixe tot timpul înscrerii conturului (fig. 390—391).

Aparatele moderne, fiind prevăzute cu cupole greoaie și/sau fixe, solidare cu ecranul nu mai permit efectuarea ortodiagramei; în acest caz conturul cordului este înscris pe ecran sau pe desenul radiografic în dimensiuni cît mai apropiate de cele reale, de părțile tubul la 2 m de ecran, distanță de la care umbra organului examinat (cordul), poate fi considerată ca datorată unui fascicul compus din raze X paralele.

În ultimii ani, datorită progreselor tehnice și posibilității de a obține imagini nete, de la distanță mare, cu timp scurt de expunere, ortodiagrama este înlocuită cu teleradiografia; aceasta are avantajul că oferă un document care nu depinde de abilitatea și experiența celui ce o efectuează; are doar dezavantajul că punctul S trebuie să fie reperat radioscopic.

Radiografia cu raze dure; cu supravoltaj

Permite studiul structurii unor umbre complexe și este întrebuințată cînd nu există posibilitatea să se efectueze o tomografie. Așa de pildă, la plămin, poate pune în evidență căile aeriene; într-un bloc umbros pot fi imagini cavitare care sunt mascate pe radiografia simplă de intensitatea umbrei blocului. Cu radiografia cu raze dure, imaginea devine neomogenă și se pot vedea eventualele cavități. Într-o tumoră pulmonară cu pleurezie în mod obișnuit se constată o opacitate intensă determinată de stratul de lichid. Cu radiografia cu raze dure se observă două nuanțe de opacitate: una intensă dată de tumoră + lichid și una mai palidă datorită lichidului care inconjoară plăminul cu tumoră.

Radiografia cu supravoltaj (radiografia cu raze dure la 125—150 kV) se întrebunează pentru studiul diferitelor segmente ale tubului digestiv, realizînd imagini pe care se pot studia atât conturul cît și relieful mucoasei, chiar dacă segmentul sau ansele respective sunt pline sau suprapuse unele altora.

La plămin (110 kV la 6 ventile, 130 kV la instalații monofazice) pe radiografiile executate cu această tehnică pot fi studiate mai corect vîrfurile și hilurile în care se conturează cu ușurință vasele, bronhiile și ganglionii limfatici, pleura mediastinală.

Radiografia cu dublă expunere

Pe unul și același clișeu pulmonar se face o expunere dublă — una în inspir și alta în expir. Coastele, diafragmul și leziunile se mobilizează în cursul celor două faze ale actului respirator și pe radiografia cu dublă

expunere putem aprecia amplitudinea excursiei elementelor menționate. În astmul bronșic și emfizemul pulmonar nu este o diferență prea mare între inspir și expir; coastele și diafragmul nu se mobilizează aproape deloc. Radiografia în serie sau țintită este utilizată de obicei pentru examenul tubului digestiv.

Poli(radio)grafie

Constă în înscrierea pe același film radiologic a mai multor faze ale unui organ în mișcare. Ea este utilizată pentru studiul contracției și gologirii vezicii urinare și a peristaltismului stomacului (vol. II, fig. 538).

Digrafia

Radiografia cu dublă expunere se poate face cu ajutorul unei plăci de plumb cu despicături multiple. La prima expunere (fig. 61 și fig. 62), executată în inspir (a), se impresionează fișile de film dintre lamele. La a doua expunere, se mișcă placă cu lamelele la stânga sau la dreapta, astfel ca să se acopere fișile expuse și să se descopere fișile de film neimpresionate (b) și se face o a doua expunere, în al doilea act al respirației (în expir).

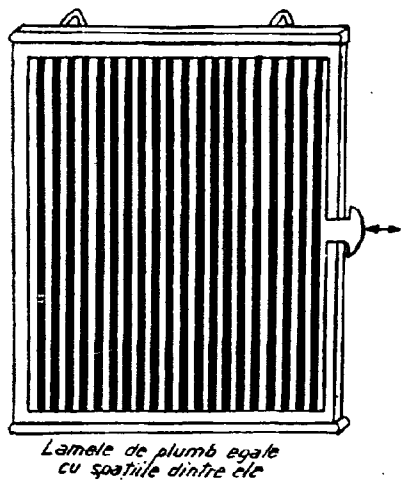


Fig. 61 — Grila pentru digrafie.

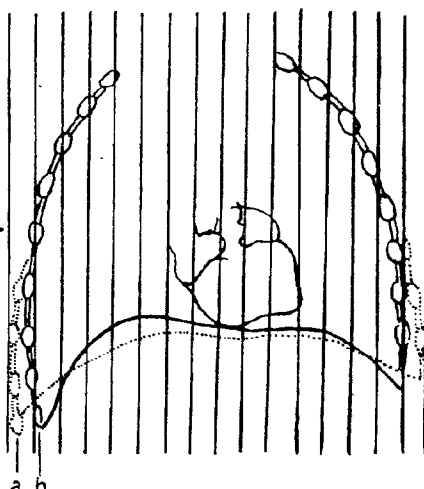


Fig. 62 — Digrafia a. — Inspir,
b. — Expir.

Kimografia

Este o metodă (fig. 63) mai larg utilizată decât radiografia cu dublă expunere, care urmărește înscrierea amplitudinii mișcărilor cordului și a mărelor vase, a coastelor sau diafragmului în respirație și va fi descrisă odată cu alte metode de examinare a cordului.

Este utilizată pentru studiul pahipleuritei bazale, a paraliziei diafragmului, a bolilor cronice ale miocardului, în pericardita exsudativă sau constrictivă, în invazia esofagului prin procese tumorale mediastinale (STRNAD).

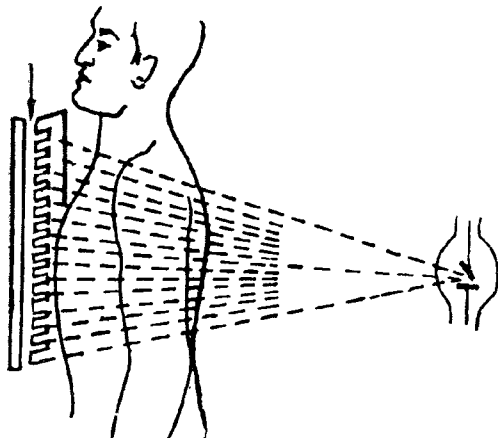


Fig. 63 — Kimografia lui PLEIKART STUMPF prin grilă în tablă de plumb cu despiciări multiple.

Stereoradiografia

Pentru localizarea profunzimii proceselor patologice, în trecut, se utilizează stereoradiografia care presupune executarea a 2 radiografii, în aceeași incidentă, fără ca bolnavul să-și schimbe poziția, deplasând tubul transversal cu 65 mm — distanța interpupilară; ambele radiografii sunt examineate concomitent cu un dispozitiv optic (un binoclu) special. Imaginele de pe fiecare radiografie se suprapun și dau senzația de relief.

Tomografia

Tomografia este o metodă radiologică analitică față de radiografie, care este sintetică.

MARAGLIANO compară imaginea radiologică cu o carte cu text și desene tipărite pe hârtie transparentă. Cartea închisă, deși transparentă, nu poate fi citită în fața unei surse de lumină pentru că literele și desenele de pe diferite pagini se suprapun, se sumează; poate fi citită numai pagină cu pagină, ceea ce pînă la un punct este comparabil cu tomografia, în care se înregistrează secțiuni strat cu strat.

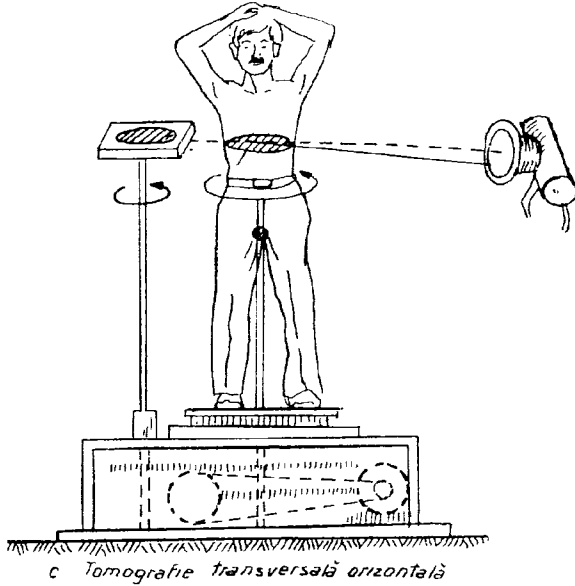
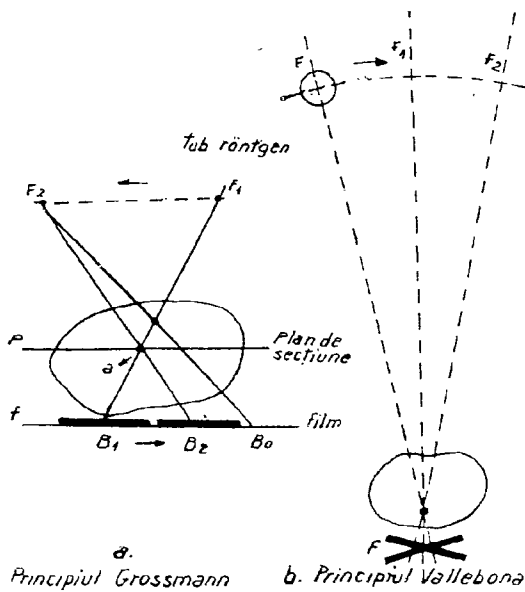


Fig. 64 — Principiile tomografiei.

BOCAGE a expus principiile metodei în 1921, VALLEBONA a obținut primele secțiuni ale craniului în 1930 cu „stratigrafie”, ZIEDSES DE PLANTES a pus la punct planografia (1935) iar CHAOUL și GROSSMANN — tomografie.

Tomografia are ca scop obținerea pe filmul radiografic a imaginii proceselor patologice și structurilor ce se află într-un singur strat din parenchimul pulmonar, strat de fotografiat a cărui grosime (de 5—10—20 mm) este invers proporțională cu valoarea unghiului de excursie a tubului de raze X.

Stratul ales pentru tomografie poate fi situat în plan frontal, în plan sagital sau în plan transvers-orizontal.

Executarea tomografiei cu film unic în casetă simplă (fig. 64). În timp ce obiectul de studiat este fix, caseta radiografică cu filmul (f) și tubul röntgen (F) se mișcă sincron efectuind un baleaj, paralel și în sens invers cu ajutorul unei bare ce le solidarizează. Axul de rotație (a) este așezat mai aproape, sau mai departe de tub, după cum dorim o secțiune mai aproape de planul anterior sau de planul posterior al toracelui în incidență P—A bolnavul fiind așezat de obicei în decubitus. Cu cît unghiul de excursie al tubului este mai mare (între 30°—60°) cu atât grosimea stratului radiografiat este mai mică (între 5 mm și 2 mm) și finețea structurii mai bună. De pe schiță se poate deduce că în tot timpul expunerii, elementele anatomicice din planul P și modificările lor (a) sunt străbătute continuu de fasciculul incident $F_1—F_2$, și se află tot timpul în aceleași raporturi cu tubul de raze X cu filmul radiografic $B_1—B_2$ pe care se proiectează în același loc, în timp ce formațiunile care sunt situate pe plan anterior sau pe plan posterior celui de secțiune, se proiectează mereu în alt punct B_0 ; ele nu realizează imagine radiologică, ci se „șterg”.

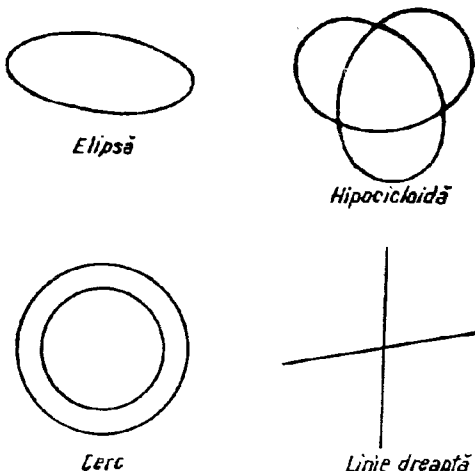


Fig. 65 — Formele de baleaj pentru obținerea unei tomografii.

Baleajul tubului poate fi (fig. 65) unidirecțional — linear sau multidirecțional (circular, eliptic, hipocicloid) iar unghiul de excursie a tubului poate fi de 20°, 40°, 60°. Prin expuneri separate se efectuează 3—4 radiografii („secțiuni tomografice”, fiecare pe alt film) la distanța de 0,5 sau 1 cm una de alta, la nivelul profunzimii focalului patologic.

Tomografia este indicată pentru studiul structurii umbrelor toracice dense, în interiorul cărora pot fi caverne, pentru studiul bronhiilor și pentru studiul caracterelor radiologice ale diferitelor afecțiuni pulmonare.

Este întrebuintată, de asemenea, pentru studiul craniului, a coloanei vertebrale și a leziunilor osteoarticulare incipiente.

Tomografia simultană multiplă. Se efectuează cu o casetă în care se introduc mai multe filme (de obicei 5–7), fiecare film fiind situat între două folii, (cu putere întăritoare gradată), situate paralel, la anumite distanțe unul de altul. Sunt separate între ele prin straturi de pislă groase de 0,5–1 cm.

Aceste seturi de filme sunt corespunzătoare straturilor de țesuturi, care vor fi fotografiate cu o singură expunere la razele X, fiecare plan pe alt clișeu.

Imaginea este de calitate mai slabă decit pe tomografia unică (simplă).

Zonografiă

Este o tomografie în care unghiul de baleaj este extrem de mic (între 3°–6°) ceea ce face ca să se obțină imaginea nu a unui singur plan de secțiune ci a unui strat de cîțiva cm grosime (rinichi în totalitatea grosimii lui stînca temporalului, stern); calitatea imaginii se apropie de cea a radiografiei standard, contrastul și definiția fiind mai bune decit ale tomografiei.

Pantomografia

Este o tehnică utilizată în stomatologie cu care se obține pe un singur clișeu radiologic (fig. 66) imaginea panoramică a întregii danturi și a

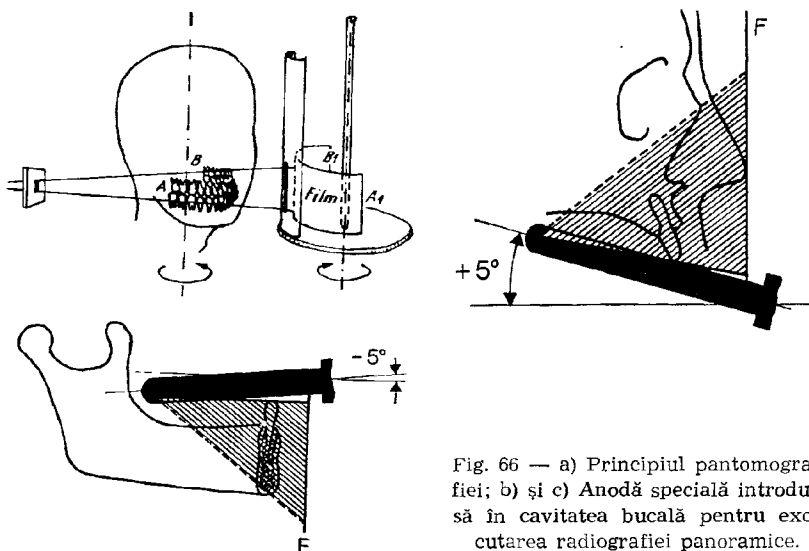


Fig. 66 — a) Prințipiu pantomografiei; b) și c) Anodă specială introdusă în cavitatea bucală pentru executarea radiografiei panoramică.



Fig. 67 — Angiografie: tehnica sustracției digitale (A.D.S.).

maxilarelor; clișeul se rotește în timpul expunerii în același timp (sincron) dar în sens invers cu obiectul — pacientul așezat pe un taburet.

Fasciculul de raze X este orientat printr-o fântă (șlit) de la tubul de raze X, spre arcadele dentare și intră printr-un alt șlit executat dintr-o tablă de plumb spre filmul radiografic. Are avantajul că se iradiază numai dinții, nu întreg craniul.

Imaginea panoramică izolată. Substanțele de contrast

Imaginea panoramică izolată a arcadei dentare superioare sau numai a celei inferioare poate fi obținută cu un anod special ca la aparatul Chaoul (Spitzanode) legat la pămînt — introdus în cavitatea bucală și orientat spre bolta palatină ($+5^\circ$ fig. 67 a) pe linia mediană pentru arcada superioară sau spre limbă (oblicitate de -5° (67 b)) pentru arcada inferioară.

Substanțele de contrast întrebunțate în examenul radiologic sunt în majoritatea cazurilor medii opace la razele X (sulfat de bariu pentru tubul digestiv, substanțele iodate etc.) dar se întrebunțează în unele cazuri și medii transparente (aerul, de exemplu, în pneumotorax și în pneumomediastin).

În examinarea radiologică a toracelui substanțele de contrast pot fi introduse în vase, în bronhii, în cavitatea pleurală.

Presupun utilizarea unui schimbător automat de casetă A.O.T. sau Puck-Schönander.

Angiocardiografia, angiopneumografia, arteriografia și diapeutica

Presupun introducerea unei substanțe triiodate hidrosolubile, în vena cavă superioară sau direct în atriu drept cu ajutorul unui cateter introdus în vena subclaviculară sau în vena cefalică de la plica cotului. Din atriu drept substanța opacă trece în ventriculul drept, se răspindește în arterele pulmonare și ramurile lor și pe radiografie ne înfățișează desenul pulmonar și modificările lui.

Tehnica de imagerie prin sustracție digitală din „memoria electronică“ a aparatului, permite sustracția punct cu punct a elementelor imaginii vaselor, chiar cu contrast slab — cum au de obicei după injectarea intra-venoasă a substanței iodate de contrast în tehnica A.D.S.

Bronhografia

A fost introdusă de Sicard și Forestier, în 1922.

Constă în opacifierea căilor aeriene cu lipiodol 40%, începînd de la trahee — bronhiile principale — pînă la bronhole. În prealabil se face pregătirea bolnavului prin drenaj postural, aspirarea secrețiilor cu bronhoscopul, administrarea de bromură de sodiu și luminal în zilele care preced bronhografia. În ziua examenului, după anestezie locală a căilor aeriene cu xilină 1%, se introduce substanța opacă în arborele bronhic cu ajutorul unei sonde elastice Nélaton sau Métras. Ca mijloc de contrast se întrebunează lipiodol 40%, dar se mai întrebunează încă pasta opacă rezultată din amestecul de lipiodol cu sulfamidă sau substanțe iodate hidrosolubile făcute viscoase cu ajutorul carboximetylcelulozei: exemplu Propyiodon CILAG, Ioduron, Diodrast.

În cursul timpului, noi am utilizat o pastă preparată cu sulfat de bariu. În prezent se experimentează Hytrast în inhalății și se obțin imagini acceptabile ale laringelui, traheei și bronhiilor mari.

Lipiodolul fluid pătrunde în acini și se elimină greu, după 30—40 zile. Uneori, pasta viscoasă de lipiodol nu pătrunde pînă la acini și eliminarea ei din arborele bronhic este mai ușoară ca a lipiodolului.

Substanțele hidrosolubile se elimină în cîteva ore.

Bronhografia este indicată pentru:

- studiul permeabilității căilor aeriene;
- studiul funcției bronhice;
- studiul diferitelor cavități pulmonare și a relațiilor acestora cu bronhiile.

Pneumotoraxul diagnostic

- Presupune introducerea unei cantități de aer în cavitatea pleurală cu aparatul lui KÜSS, consecutiv căreia plămînul se dezlipește de peretele toracic, în parte și de mediastin și se strînge (retractă) spre hil (fig. 210).

Pneumotoraxul a fost utilizat pînă în anul 1960 în tratamentul tuberozei pulmonare (pag. 245), constituind *metoda lui Forlanini*.

Pneumodiagnosticul este util pentru a stabili sediul unei formațiuni patologice care poate pleca de la pleură, plămîn sau mediastin și care determină modificări radiologice la limita dintre aceste elemente anatomiche.

Pneumomediastinul

Se întrebunează în boli mediastinale greu de diagnosticat și constă în introducerea de aer în spațiul mediastinal cu scopul de a contrasta organele și formațiunile umbroase din mediastin (fig. 235).

Pneumoperitoneul și pneumoretroperitoneul sunt expuse în vol. II.

Cinedensigrafia lui KOURILSKY și MARCHAL sau electrokimografia

Se execută cu ajutorul unei celule fotoelectrice sensibile la variațiile de luminositate ale ecranului radioscopic: în sărurile de pe folia ecranului se produc fenomene fotoelectrice care se înregistrează cu ajutorul unui dispozitiv oscilografic ca de electrocardiograf, pe o bandă de hîrtie fotografică. Celula fotoelectrică este așezată pe ecranul radioscopic la nivelul regiunii pe care trebuie să o studiem. Bolnavul stă nemîșcat, în apnee, timp de 5—6 secunde.

Micile variații de transparentă ale ecranului determinate de umplerea cu sînge a vaselor (capilare) pulmonare determină impresionarea aparatului sensibil — ce înscrie o curbă proporțională cu modificările care se produc de către cantitatea de sînge ce trece prin vase la nivelul respectiv (fig. 68).

Această metodă este întrebunțată pentru diagnosticul diferențial între cancerul bronșic — care modifică vasele și circulația sanguină pulmonară în focar și la distanță de leziune și inflamațiile cronice pulmonare care dau umbriri radiologice asemănătoare cu cancerul, dar, în acestea din urmă, vasele sunt modificate doar la nivelul leziunilor, în timp ce la distanță, în parenchimul neumbrit, funcția lor este păstrată. *Densimetria* filmelor radiologice se utilizează și în diagnosticul osteoporozelor.

Kimodensigrafia

Este o metodă care se bazează pe înregistrarea fotoelectrică a variațiilor opacifierii cardiaice de pe o kimografie cu dinți aproape invizibili cu ochiul liber, făcută printr-o grilă cu despiciături și intervale mici (fig. 396).

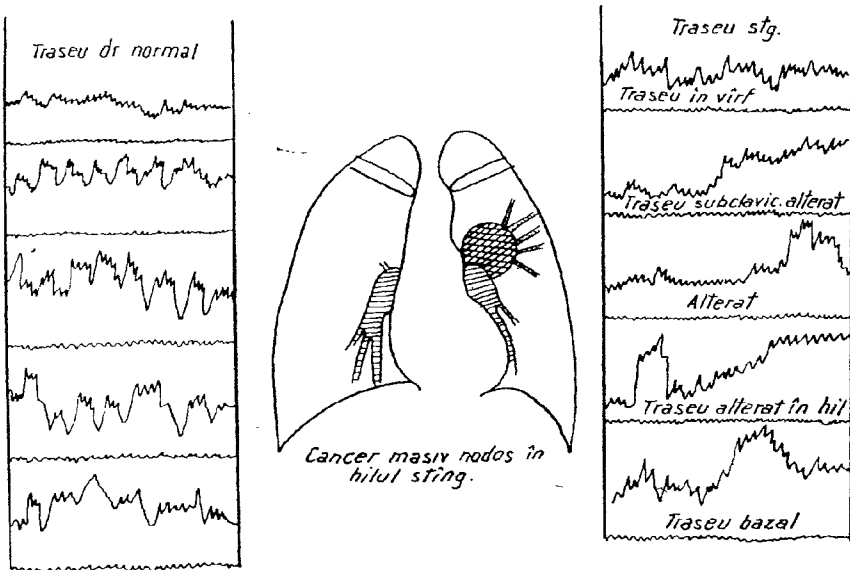


Fig. 68 — Cinedensigrafia.

Radiofotografia medicală (R.F.)

Este o metodă utilă pentru depistarea afecțiunilor toracice cu extenție în mase: tuberculoza, silicoza, cancerul bronhic, afecțiuni ale cordului, boli care în fazele lor incipiente pot să nu dea simptomatologie clinică.

Radiofotografia constă în fotografierea pe film de 36/24 mm a imaginii radiologice de pe ecranul radioscopic la care se adaptează o piramidă din tablă metalică și un aparat fotografic sensibil (fig. 69).

Imaginiile de pe filmul îngust sunt examineate cu aparatul de proiecție obișnuit sau sunt examineate la ecranul video, care le mărește și pot fi interpretate de o echipă de specialiști care nu se iradiază, iar metoda are și randament mare în muncă. Obișnuit, un radiolog face 30—40 exame pe zi: cu această metodă se pot face cîteva sute (500—800) de exame pe zi.

Această metodă este ca o „sită“ care alege din totalul celor examineți pe acei care au modificări de transparentă. Aceștia urmează a fi supuși examenelor radiologice obișnuite pentru precizarea diagnosticului.

În prezent, este întrebuițată din ce în ce mai mult *camera Odelca* (fig. 70a) care se bazează pe principiul oglinziilor concave ce constituie un sistem optic cu o luminozitate mai mare decât sistemul cu lentile.

Fotografiile sunt făcute pe film 7/7 cm, chiar 10/10 cm și pot fi citite direct, fără aparatul de proiecție (fără video-viewer).

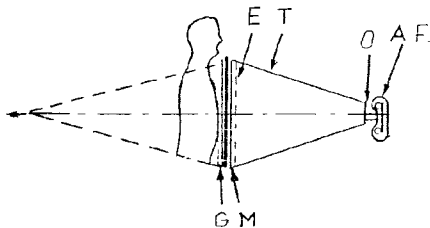


Fig. 69 — Dispozitiv pentru radiografie medicală.

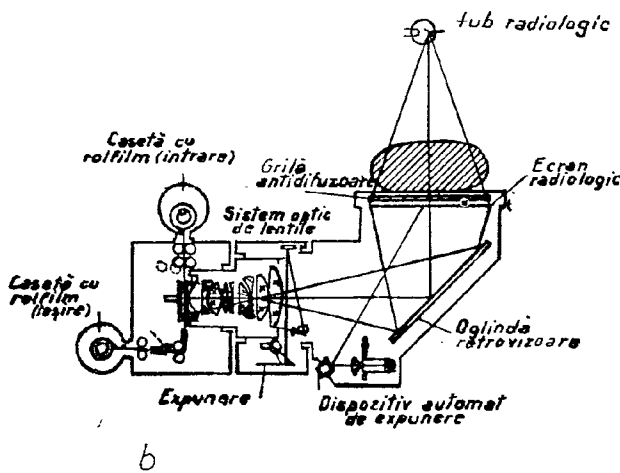
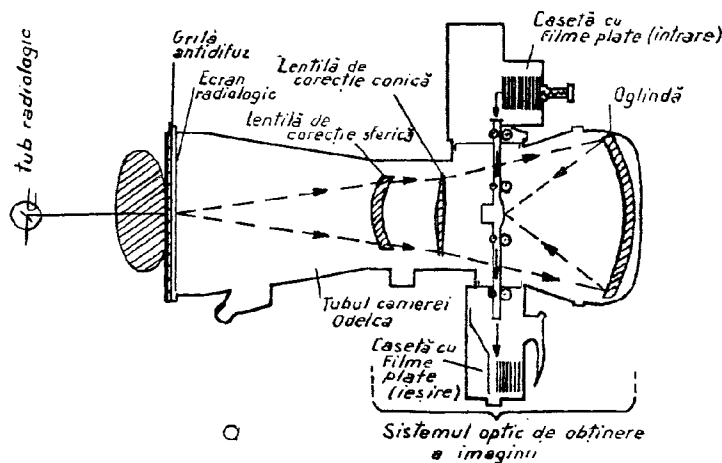


Fig. 70 a — Secțiune prin camera pentru radiofotografie Odelca de 100 mm, cu optică cu oglinzi; b — Dispozitivul Zeiss pentru radiofotografie se bazează pe un sistem de lentile și utilizează două casete cu rolfilm.

Camera Odelca este utilizată și pentru angiopneumografie dacă i se adaptează o casetă specială cu schimbător automat de filme. Se poate adapta și la aparatelor de tomografie (microtomografie).

Dispozitivul Zeiss pentru R.F. se bazează pe un sistem de lentile și utilizează două casete cu rolfilm (fig. 70 b).

Amplifotografia

Constă în efectuarea de fotografii pe film 7/7 sau 10/10 ale imaginii radiologice mărite geometric la *amplificatorul de imagine* (cu diametru de 30 cm), cu tub cu focar fin (0,3 mm).

Studii recente au arătat că prin procedeul de amplificare optică electronică definiția imaginii pe filmul de dimensiuni 7/7 sau 10/10 cm este aceeași ca și pe clișeu format mare — convențional.

În plus, amplifotografia are avantaje în ce privește radioprotecția (doza de raze X este de 8 ori mai mică decât pentru un clișeu de format mare), înregistrarea datelor, arhivarea materialelor și prețul de cost.

De altfel, cu această tehnică am intrat în capitolul

Metode electronice pentru obținerea imaginii radiologice

AMPLIFICATORUL ELECTRONIC DE IMAGINE (fig. 71):

— sporește luminozitatea ecranului de 3 000—6 000 ori față de radioscopia obișnuită;

— permite diminuarea pînă la 50% a dozelor de raze X întrebunțitate pentru examenul radioscopic; constituie deci o metodă de examinare cu protecție ideală pentru bolnav și pentru cel ce manipulează aparatul;

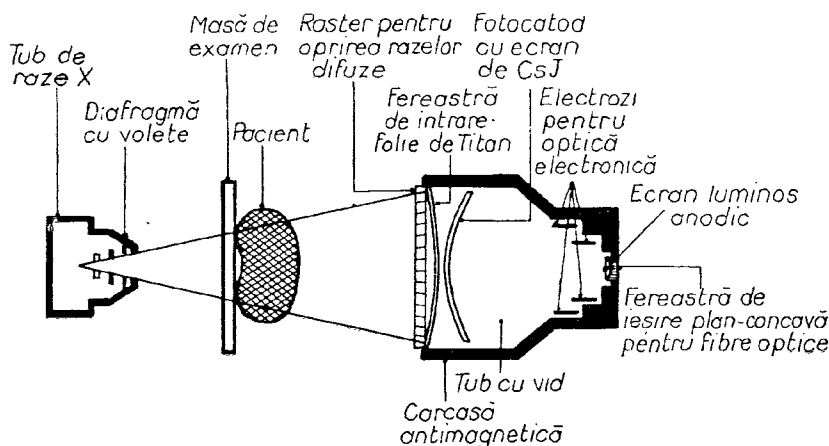


Fig. 71 — Sistem de examinări radiologice cu amplificator electronic de imagine.

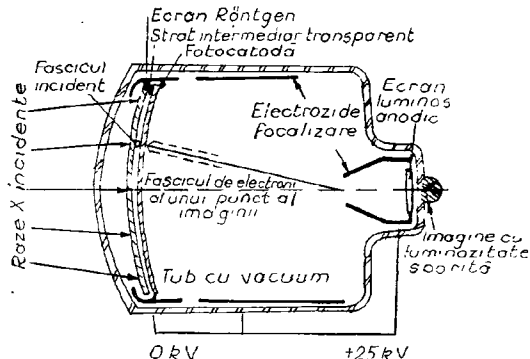


Fig. 72 — Structura schematică a unui tub electronic pentru întăritorul de imagine.

film cinematografic sau pe bandă electromagnetică, memorizarea electrică a imaginii la Memoscop cu restituirea ei la comandă.

Pentru amplificarea imaginii se întrebunează un *tub electronic cu vid* (fig. 72) prevăzut cu două ecrane: la intrarea tubului se găsește *ecranul primar* cu diametru de 16—38 cm, constituit dintr-un ecran fluorescent (sulfură de zinc și cadmiu, în prezent iodură de cesiu) asemănător celui de la aparatelor de radiodiagnostic convenționale care transformă fotonii X în fotonii luminoși. Peste acest ecran se găseste un strat fotoelectric care absoarbe și transformă fotonii luminoși în electroni (fig. 73).

Electronii declanșați de razele X căzute pe ecranul primar sunt accelerati printr-un cimp electric și focalizați la ieșirea tubului unde formează o imagine pe *al doilea ecran; ecranul secundar de ieșire*, care are dimensiuni mai mici cu efect luminos, cu atit mai intens, cu cît cimpul electric

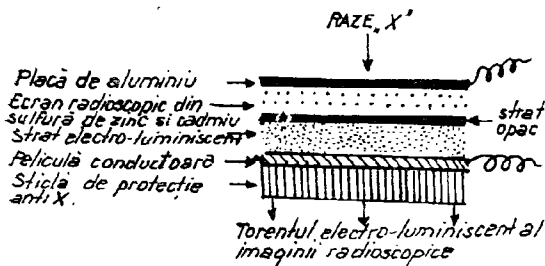


Fig. 73 — Straturile ecranului primar de la tubul electronic al întăritorului de imagine.

de accelerare a electronilor este mai puternic (15—25 kV) și cu cît reducerea diametrului ecranului de ieșire, în raport cu ecranul de intrare, este mai mare (fig. 74). Factorul de conversiune a intensității fasciculului de raze X (care cade pe ecranul primar la intrarea tubului) în luminiscentă (pe ecranul secundar de la ieșire) este convenabil.

Imaginea este datorită unei „lentele electronice“ (constituită la potentialul de 15—35 kV al întăritorului de imagini) și se formează pe ecranul anodic fluorescent („ecranul de ieșire“) (fig. 74). Fiecare electron detasat de pe suprafața mare a ecranului catodic (situat la intrare) și accelerat prin

— permite observarea directă — radioscozia — realizând condiții pentru o imagine clară ce poate fi interpretată chiar la lumina zilei;

— favorizează radiofotografia (amplifotografia);

— permite transmiterea și studiul imaginii la distanță de ecran și de sala de examen (la un *monitor de televiziune*) și înlocuiește radioscozia convențională;

— permite înregistarea (stocarea) imaginii pe film cinematografic sau pe bandă electromagnetică, memorizarea electrică a imaginii la Memoscop cu restituirea ei la comandă.

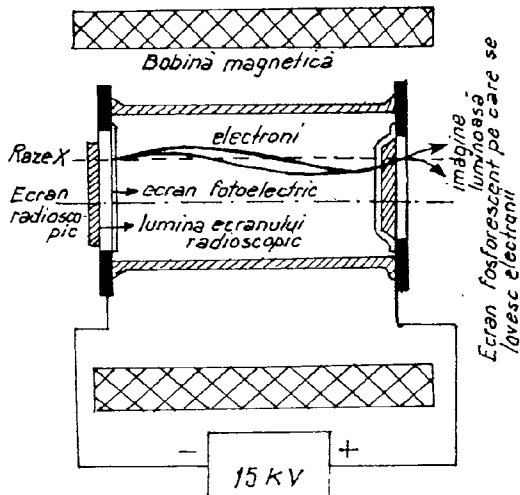


Fig. 74 — Schema unui amplificator direct.

diferențe de potențial menționate produc $\sim 1\ 000$ de cuante de lumină pe ecranul de ieșire, care are astfel luminozitatea mult sporită.

Ecranul anodic este acoperit cu un compus fosforat iar imaginea de pe el este de 5 ori mai mică decât sețările regiunii examineate. De aceea imaginea este studiată printr-un binoclu, care o mărește la dimensiunile de pe primul ecran (cel de intrare) sau este reflectată de pe ecranul secundar pe o oglindă și este trimisă la o cameră fotografică (ampleifotografia, fig. 77 (11) și fig. 78).

Amplificatorul actual de imagini este un dispozitiv voluminos (fig. 75 și 77) dar care se poate atașa la rama port-écran a oricărui stativ de examen, după ce se scoate ecranul radiologic obișnuit. În prezent se studiază construirea unui *întăritor de imagine plat* la care volumul și greutatea piesei să nu incomodeze examenul — cu raportul de reproducere a dimensiunilor imaginilor de pe cele două ecrane de 1 : 1.

Cimpul luminos al ecranului electronic (primar) a sporit de la 12,5 sau 16 cm diametru la 31,5 cm, ceea ce permite examinarea unui organ în întregime (toracele de exemplu).

Puterea de amplificare a diferitelor dispozitive electronice față de imaginea radioscopică simplă este în jurul lui 3 000—6 000 ori, dar aceasta nu trebuie să ne uimească, deoarece pentru a vedea o imagine la ecran, tot atât de luminoasă și cu detaliu ca și o radiografie bună privită la negatoscop, este nevoie de o amplificare de contrast de 10 000. Cu întăritorul de imagine se obține doar cu intensitate de 1 mA în loc de 3—4 mA cît sănătări în radioscopia obișnuită.

Amplificatorul de imagine a permis dezvoltarea *teleradiodiagnosticului*, metodă modernă gratuită căreia investigațiile radiologice sunt conduse de la distanță prin *telecomandă*, cu ajutorul televiziunii și electromecanizării tuturor manoperelor (fig. 77 și 78).

În prezent, tehnica circuitelor electronice (fig. 77 și 78) a atins un nivel deosebit și amplificatorul dă posibilitatea radioscopiei televizate, a

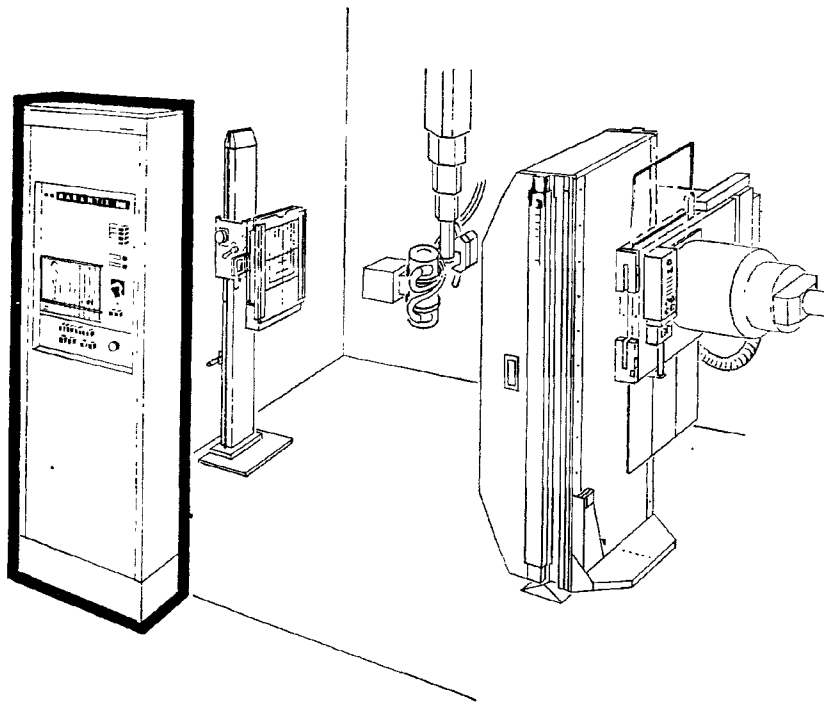


Fig. 75 — Componentele unei instalații moderne cu întăritor de imagine, cu tubul de raze X suspendat de plafon și POTTER-BUCKY vertical.

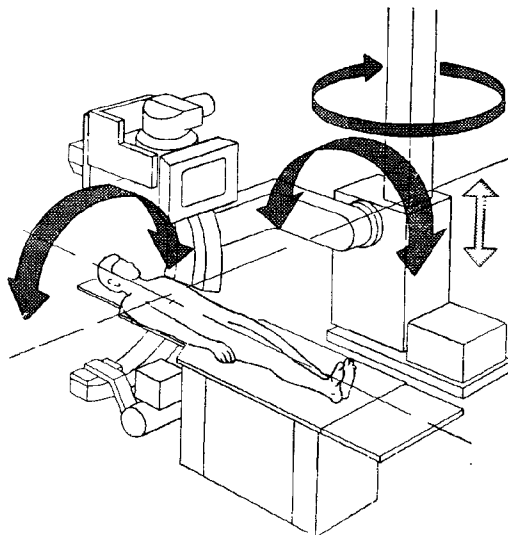


Fig. 76 — La aparatele moderne blocul format din ecran cu întăritorul de imagine și cu tubul de raze X poate fi rotit în 3 planuri.

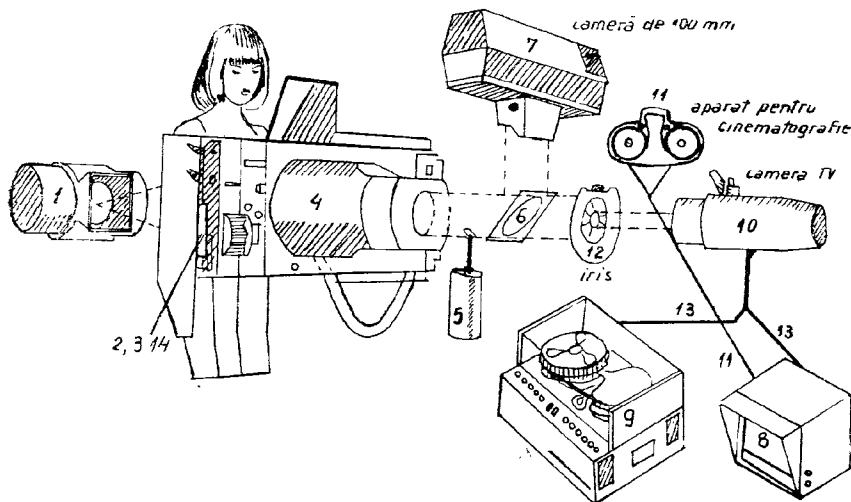


Fig. 77 — Componentele unei instalații moderne de radiodiagnostic cu posibilități multiple de înregistrare: 1. Tubul de raze X. 2. Ecranul radiologic. 3. Cameră de ionizare (Iontomat). 4. Amplificatorul de imagine poate fi cilindric sau plat. 5. Celulă fotoelectrică (foto-timer — multiplicator). 6. Oglindă distribuitoare de imagini. 7. Camera de 70 mm sau de 100 mm pentru amplifotografie. 8. Monitorul de televiziune. 9. Dispozitivul de înscrere pe bandă electromagnetică sau pe disc. 10. Camera T.V., cu posibilități multiple de transmitere la televizor și pe discul video, înscrere în memorie, pe film cinematografic. 11. Aparat pentru cinematografie. 12. Diafragmă în formă de iris, pentru camera de luat vedere. 13. La monitorul T.V. se poate face proiecțarea benzii electromagnetice sau se poate face afișarea numai a imaginii dorite. 14. Casetă pentru radiografii convenționale.

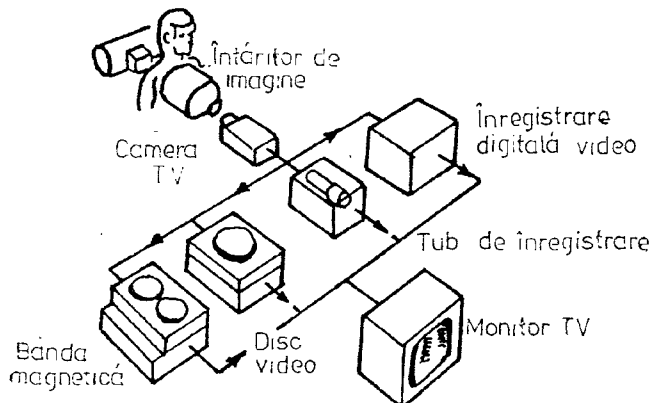


Fig. 78 — Cele 4 posibilități de înregistrare video.

stocării informației prin înscriere fotografică a imaginii de pe ecran (a multiplică fotografie) sau la camera Odelca, — röntgencinematografie, pe peliculă de 35 mm (fie direct de la amplificator — cinefluorografie, fie de la ecranul monitorului de televiziune — cinescopie).

În sfîrșit permite înscrierea imaginii pe bandă electromagnetică cu posibilitate de citire a ei (la magnetoscop) — cu posibilități deosebite de rezoluție a imaginii înregistrate, stocarea în memorie, pe discul video sau laser a imaginilor alese în timpul radioscopiei sau amplifotografiei, retransmiterea lor instantane și afișarea lor pe ecranul de televiziune (înainte de developarea filmului).

Televiziunea este întrebuințată și pentru sustracția imaginii, pentru analiza cantitativă a imaginii (videodensimetrie, angiografie cu tehnică digitală), pentru videokimografie (cind dorim să apreciem viteza de scurgere a unei substanțe de contrast), pentru stroboscopia cardiacă (înregistrarea imaginii cordului într-o anumită fază de contractie).

Teleradiodiagnosticul nu înlătură röntgendiagnosticul clasic pentru că bazele anatomo-clinice rămân aceleași, ci oferă posibilitatea unui studiu minuțios al unor organe în mișcare — în condițiile cele mai bune de confort, multiplică datele, simplifică și rafinează analiza. Examenul se poate face în grup de specialiști, în condițiile unei protecții complete contra radiațiilor.

Teleradiodiagnosticul s-a răspândit mai ales în gastroenterologie, (Cherigé) fiind introdus în rîndul examenelor sistematice ale tubului digestiv, mărind siguranța în diagnostic și ducind la descoperirea unor leziuni incipiente. Este întrebuințat, de asemenea, pentru histerosalpingografie, mielografie, studiu cineticii articulare, studiu fonației și mai ales pentru cateterismul cordului și vaselor.

TELECOMANDA

Se bazează pe electromecanizarea tuturor manoperelor de examinare, permite medicului să stea într-o încăpere luminată, la distanță de aparatul de raze X (fig. 57), examinând la televizor imaginile transmise de camera de luat vederi care se găsește în încăperea cu bolnavul, cu care se comunică prin interfon.

Inscrierea imaginii pe bandă electromagnetică sau pe disc video (fig. 77(9) și 78) se face grație unui aparat asemănător unui magnetofon concomitent cu înregistrarea anamnezei, discuțiilor, zgomotelor cordului de exemplu. Examinarea propriu-zisă și stabilirea diagnosticului se face în timpul reproiectării benzii, ocazie cu care se înregistrează și comentariul imaginilor.

XERORADIOGRAFIA SAU RADIOGRAFIA ELECTROSTATICĂ

Este o cale de transfer a imaginii (informației) ce este utilizată în caz de contrast insuficient a unor organe și sisteme pe radiografia convențională. Imaginea apare fără manipulare fotografică la umed, numai prin manopere la uscat (fig. 79 „xerox“).

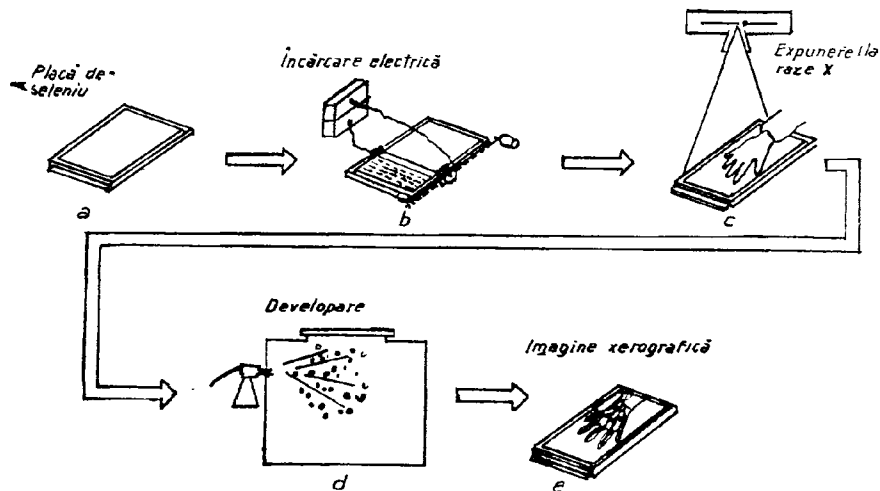


Fig. 79 a) --- Schema explicativă a diferitelor faze ale unei xerografii (după KOSSEL).



Fig. 79 b) — Xerografie —tumoră ulcerată de laringe.



Fig. 79 c) — Xerografie — cancer de săn sub formă de nodul stelar cu prelungiri.

Principiul metodei se bazează pe proprietatea ce o au lumina solară și razele X de a produce variații de rezistență electrică a unor cristale semi-conductoare (efect fotoelectric). În prezent se utilizează un strat subțire de seleniu amorf, întins pe o foaie metalică de aluminiu sau alamă (a) care servește drept suport mecanic și de rezervor de încărcare electrică pozitivă (b). După expunerea la razele X (c) a regiunii de studiat, pe placă de seleniu cu imagine electrostatică latentă se aplică o pudră de transfer, Toner, (d) ale cărei particule foarte fine, colorate bleu și încărcate negativ sunt atrase de sarcinile pozitive ale plăcii de seleniu și se depun cu o densitate mai mică sau mai mare în funcție de sarcina electrică a plăcii, care constituie imaginea latentă pe placă; rezultă o imagine evidentă (e) care este fotografiată sau transferată la rîndul ei pe o foaie de hîrtie adezivă aplicată pe placă.

În genere, imaginea este tot așa de fină ca pe o radiografie fără folii, dar timpul de expunere este mai lung și iradierea bolnavului mai puțernică.

Xeroradiografia este utilizată în practica stomatologică, în ortodonție și chirurgia nasului, pentru examenul radiologic al sănului (fig. 79, c) în afecțiunile osoase și articulare (fig. 79, b). Cu această metodă se pot efectua tomografiile traheobronnice și pulmonare, reducind utilizarea bronhografiei care este dificilă și pentru bolnav și pentru medic. Xerografia este utilizată pentru radiografia laringelui și în radiologia pediatrică.

TOMOGRAFIA COMPUTERIZATĂ. SCANOGRAFIA.

Tomografia cu raze X și calculator electronic (fig. 80) (computer tomography-C.T.) este o nouă metodă de radiodiagnostic în care se face o reconstrucție matematică prin algoritmul cel mai potrivit a unei secțiuni anatomice a corpului în termeni de densitate, înscrise în cifre pe o matrice

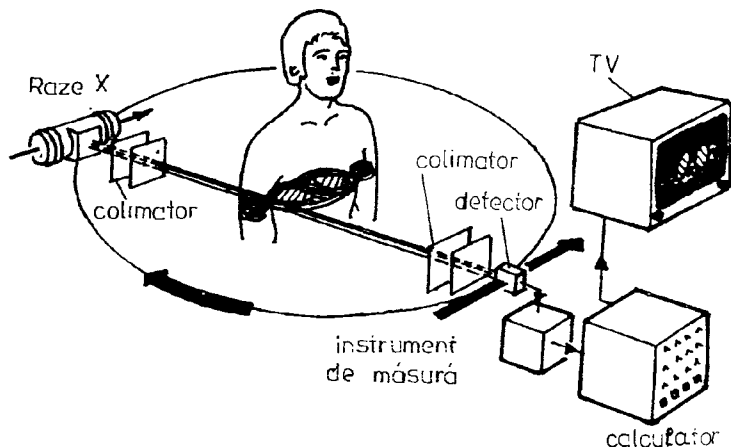


Fig. 80 — Principiul de funcționare al tomografului computerizat (C.T.).

— sau convertiți în semnale de imagine pe ecranul de televiziune, cu posibilitate de înregistrare pe film fotografic sau pe bandă magnetică sau pe disc laser.

Pacientul este culcat pe masa de examen și introdus în cilindrul în care va fi expus la razele X¹ (fig. 81).

Acest nou gen de imagine radiologică permite nu numai vizualizarea calitativă ci și măsura cantitativă a unor diferențe slabe de absorbție într-un strat subțire de studiat.

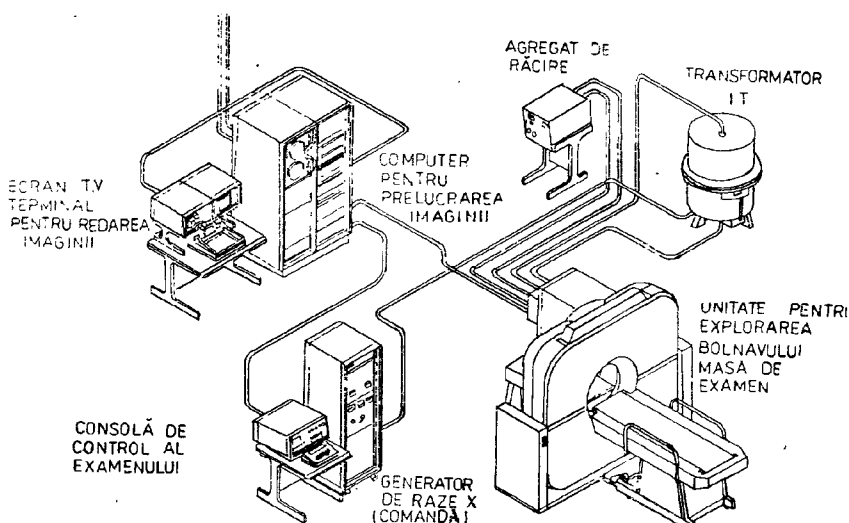


Fig. 81 — Componentele unei instalații de tomografie computerizată (C.T.).

Introducerea intravenoasă a unor substanțe iodate de contrast hidrosolubile permite în multe cazuri localizarea mai precisă a focarului patologic, de exemplu în A.D.S.

Este o metodă ușoară și netraumatizantă, grăție căreia se pot studia și individualiza pereți osoși ai craniului, (fig. 82 și 83) creierul și ventriculii, cortexul și substanța albă, nucleii de la bază — și patologia lor în caz de urgente, hemoragii, edem sau infarct cerebral, procesele degenerative, procesele infectioase și tumorale. În fața acestei metode, ventriculografia prin trepanație chirurgicală sau encefalografia gazoasă pierd terenul.

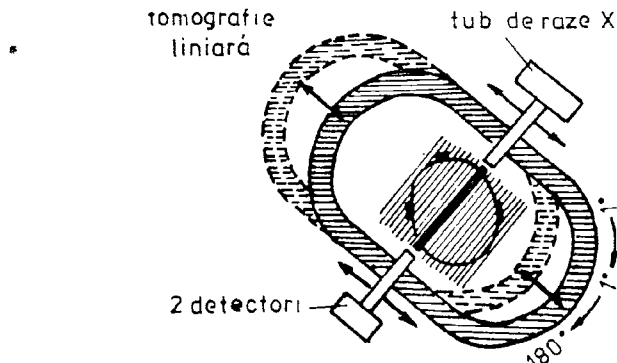


Fig. 82 — Principiul C.T. a craniului.

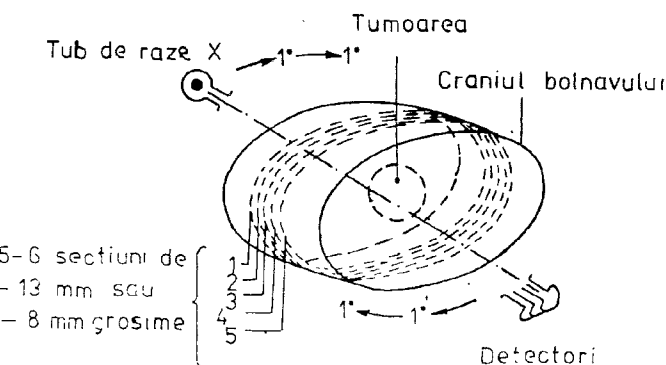


Fig. 83 — Orientarea planurilor de secțiune a computertomografiilor.

Aparatele sunt în perfeționare continuă, în prezent fiind generații adaptate pentru explorarea tuturor organelor pline din torace și abdomen (fig. 84).

Metoda permite activitatea în paralel a medicului și a asistentei medicale atât la consola de comandă a aparatului, cât și la consola de prelucrare a datelor.

Metoda este plină de perspective în viitor și punе în discuție, împreună cu RMN, însăși problema radiodiagnosticului în ansamblu.

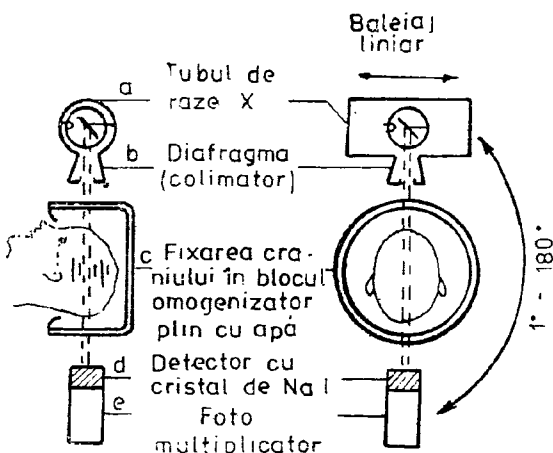


Fig. 84 a) — Generatorul de raze X cu care se face secțiune C.T. prin craniu.

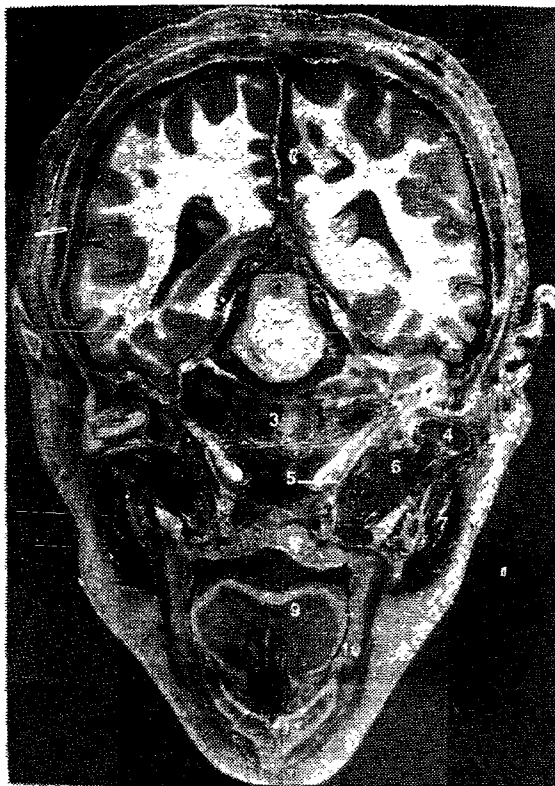


Fig. 84 b) — Computer tomografie prin craniu; secțiune în plan frontal.

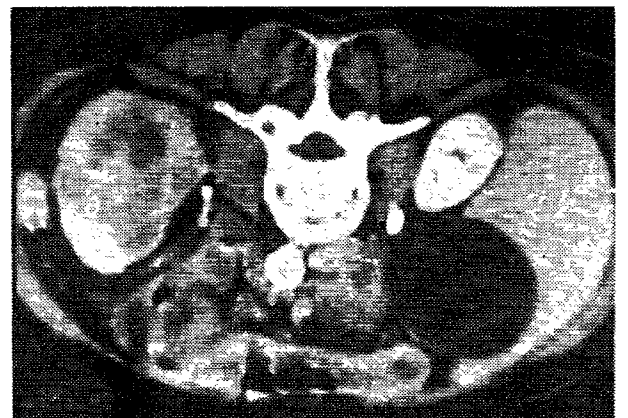


Fig. 85 — Computer tomografii prin abdomen, la nivele difierite.

TERMOGRAFIA MEDICALĂ

e o metodă de diagnostic care presupune reprezentarea vizuală termică (infraroșu) emisă spontan de suprafața corpului și apreciată cu ajutorul unui detector și amplificată electric; se poate obține harta termografică a suprafeței explorate care poate fi fixată pe o peliculă fotografică polaroid. În prezent se poate realiza termografia în culori prin convertirea electronică a nuanțelor de temperatură utilizarea unui filtru; se pot înregistra curbele izotermice. Imaginea ce se obține în aproximativ 2 minute poate reliefa în mod vizibil explorării a sumedenie de puncte (în total 60 000 bit de informație).

tie, din puncte diferite) cu o sensibilitate mare de înregistrare a diferențelor de temperatură foarte mici pînă la $0,08^{\circ}\text{C}$.

Pielea se comportă ca un ecran pe care se proiectează căldura și radiațiile infraroșii ale țesuturilor și organelor subjacente transmise la exterior prin convecție sanguină; prin piele se fac schimburile calorice cu mediul înconjurător.

Din punct de vedere termodinamic, suprafața corpului se comportă ca un corp perfect negru — la care reflexia și transmisia sunt practic nule — care emite din fiecare punct radiații infraroșii cu lungime de undă între 3—30 micrometri.

Pentru examinare, pacientul este introdus într-o cameră specială care are o temperatură constantă de 21°C , în care nu sunt curenti de aer.

Aparatul de termografie este construit în aşa mod încât poate efectua:

- detectarea (captare a radiațiilor infraroșii printr-un sistem optic care efectuează un baleaj al regiunii de examinat;

- transformarea semnalului optic în semnale electrice și amplificarea electronică a acestora;

- conversiunea semnalului electric în lumină, capabilă a fi înregistrată pe un ecran fluoroscopic (oscilograf catodic) sau pe un film fotografic polaroid.

Pot fi utilizati detectori selectivi — fotocelulă din antimoniură de litiu, răcită cu azot lichid, folosită la aparatul A G A - T h e r m o v i s i o n — sau termocupluri ce fac parte din sistemul bolometru-termistor — termograful Barnes, termograful O u d e - D e l f.

Imaginea este compusă din pînă la 100 linii de baleaj și are putere de rezoluție optică de 100 elemente/linie; se pot efectua 16 imagini/secundă.

În mod obișnuit, suprafața corpului omenește prezintă *depresiuni „calde“* în dreptul cărora circulația aerului este redusă prin efectul cavitări și *proeminente „reci“*, la nivelul cărora se produce o pierdere crescută de căldură prin convecție (nasul, mentonul, părul feței și capului, claviculele și sternocleidomastoidianul, laringele, pilozitatea pubiană, crestele iliace și fesele).

Membrele sunt cu atît mai reci, cu cît ne apropiem de extremitatea distală.

Portiunile calde se traduc pe imagine prin zone albe; portiunile reci prin zone negre.

Zonele calde și reci anormale se apreciază comparind părțile simetrice, iar temperaturile absolute se stabilesc cu ajutorul unor etaloane.

În cazuri patologice, semnele elementare constau în accentuarea celor două modalități principale de traducere: hipertermie — zone albe și hipotermie — zone negre cărora trebuie să li se precizeze intensitatea față de zonele simetrice normale și sediul și să se facă corelația cu țesuturile și organele profunde de la care se transmit variațiile de temperatură.

Utilizarea termografiei pentru diagnostic își găsește locul în dermatologie, afecțiunile vasculare la extremități, explorarea tumorilor maligne, în obstetrică și ginecologie, în afecțiunile reumatismale etc.

În dermatologie se poate delimita cu precizie întinderea arsurilor și degerăturilor, viabilitatea grefelor cutanate; se apreciază testele cutanate în imunologie; reacțiile cutanate toxice reci, pot fi deosebite de cele alergice care sunt calde. În caz de tumoră se poate stabili întinderea cutanată a acesteia și termografia ajută la diagnosticul diferențial între nevocarcinom care este cald și nevii banali care sunt izotermici.

Chiar și tumorile maligne mai profunde pot modifica harta termografică a pielei, producind de cele mai multe ori zone de hipertermie determinate de unele modificări funcționale la nivelul tumorii: neovascularizație anarhică, metabolismul crescut în raport cu țesuturile sănătoase din jur și eventual suprainfecția. Zona de hipertermie este adesea mult mai întinsă decât masa tumorală palpabilă.

Prin termografii succesive poate fi urmărit efectul iradierei și al tratamentului cu citostatice.

Hipotermia în cancer apare rar — în epiteliomul cutanat hipercherozic și în unele metastaze situate semiprofund.

Cancerele cu dezvoltare lentă pot fi normotermice.

La glanda mamărie, cancerul și displaziile se însoțesc de o creștere a temperaturii între 1°—3°C și metoda este propusă pentru depistările în masă; hipertermia se poate găsi și în unele stări fiziologice de hiperactivitate glandulară a sânului cum sunt: pubertatea, sarcina sau alăptarea. Asocierea mamografiei sporește în aceste cazuri precizia în diagnostic.

În obstetrică se studiază sarcina și se face localizarea placentei (zonă căldă).

Tiroïda, deși este superficială, nu determină modificări nete de temperatură în raport cu afecțiunile sale particulare (hipertiroidie, gușă difuză, gușă nodulară). Explorarea cu izotopi radioactivi își păstrează utilitatea mai departe.

Cu ajutorul termografiei pot fi explorate, atât pentru diagnostic cât și pentru evoluția terapeutică, afecțiunile vasculare cerebrale (stenoza, tromboza carotidei), fistulele arterio-venoase (hematomul subdural), afecțiunile vasculare periferice (obstrucția arterială, tromboflebita, spasmele).

În procesele reumatismale, în timpul puseelor evolutive, însotite de modificări circulatorii, se găsesc modificări termografice cutanate, cu atât mai evidente cu cât articulația este mai superficială.

Termografia este utilizată pentru controlul acțiunii medicamentelor cu acțiune vasculară și circulatorie (complamín).

În chirurgia generală, termografia poate oferi date interesante pentru diagnosticul afecțiunilor acute: apendicită, colecistiță acută, abcesul hepatic, pentru neoplasmul colului uterin.

În ortopedie, hipervasculația și prefacerile active din focarul de fractură, luxație și contuzie, provoacă o hipertermie circumscrisă; focarul de fractură la care calusul întîrzie să se formeze, rămâne normotermic. Recent, s-a realizat membrana termografică prin contact, cu cristale lichide.

ECOGRAFIA

Ultrasunetele (U.S.) sunt oscilații elastice — vibrații sinusoidale a căror energie mecanică se transmite sub formă de unde longitudinale, cu frecvență cuprinsă între 1 MHz și 8—15 MHz, cind sunt utilizate în scopuri medicale. Ele nu sunt perceptibile pentru ureche și pentru ca să fie ascultate (sesizate) trebuie prelucrate electronic*.

* Cimpul de percepere al urechii umane, pentru sunete cu frecvență joasă, este cuprins între 0—20 decibeli intensitate a sunetului, la frecvențe de la 16 Hz pînă la 20 000 Hz, în timp ce *ultrasunetele* au o frecvență mult mai înaltă, între 1 000 000 Hz și 15 000 000 Hz. Ultrasunetele, deși au penetrabilitate prin țesuturi și organe pînă la 20 cm, nu pot fi auzite.

Ele sunt mai mult sau mai puțin reflectate în corpul omenesc sub formă de ecouri, în funcție de proprietățile mecanice ale țesuturilor solide sau ale colecțiilor cu lichide pe care le întâlnesc în cale, proporțional cu impedanța acustică (cu rezistența la pătrunderea undelor sonore) proprie fiecărui organ.

Undele sonore de înaltă frecvență își măsorescă intensitatea și chiar își opresc propagarea, în gaze — în care se reflectă total — iar în oase în proporție de ~30—50%; acestea opun o rezistență (au o impedanță) puternică încât ultrasunetele nu mai ajung la organele profunde.

Frecvența ultrasunetelor, f , este reprezentată de numărul ciclilor pe secundă, Hertz și se exprimă în milioane de hertz — megahertz, MHz.

Viteza, v , este egală cu produsul dintre frecvența, f , și lungimea de undă, λ , $v = f \times \lambda$. Cu cât frecvența este mai mare cu atât λ este mai mică, iar pătrunderea în organism mai profundă.

Viteza cu care U.S. străbat organele este în funcție de densitatea și de elasticitatea acestor organe: ea este de ~1 500 m/s în părțile moi și de ~3 300 m/s în țesutul osos.

Atât timp cât fasciculul traversează un mediu elastic omogen, el se propagă în linie dreaptă, în mod continuu, sub forma unei unde armönice. Reflectia U.S. se produce la granița dintre organe cu densitate acustică diferită — interfața dintre piele și țesutul grăsos subiacent, dintre țesutul grăsos și musculatură, dintre peretele vascular și singele circulante, la limita de separare dintre organe și formațiile patologice pe care acestea le contin. U.S. sunt opriți de interfețele (organele) cu aer sau cu gaze (din plămâni sau din diferențe segmente ale tubului digestiv, care sunt rău-conducătoare de sunete), de schelet, metale, depozite calcaroase și de bariul întrebuințat ca substanță de contrast.

Pentru utilizarea în scopuri medicale, undele ultrasonore sunt emise cu ajutorul unei sonde adecvată pentru 5—6 frecvențe standard și sunt captate cu ajutorul unui detector care transformă energia acustică reflectată — o convertește — în semnale electrice care pot fi măsurate și vizualizate sau ascultate.

Cele mai folosite emițătoare sunt bazate pe efectul piezoelectric al unei lame de quart de o anumită grosime, supusă la variații de diferență de potențial electric sau pe fenomenul de magnetostricție.

În principiu, un aparat cu ultrasunete se compune din:

- un generator de înaltă frecvență;
- un transformator electro-acustic care emite ultrasunete (transductorul, sonda);
- un receptor acustic care detectează ecoul, cuplat de obicei cu sonda;
- un dispozitiv care măsoară intervalul de timp scurs între plecarea semnalului sonor și întoarcerea ecoului, interval proporțional cu profunzimea focalului de deflexiune.

Undele reflectate sunt întărite și apoi vizualizate cu ajutorul unui oscilograf catodic și dau imagini în mai multe moduri:

1. În ecografia unidimensională *modul A* (A m p l i t u d e M o d u l a t i o n) se obțin curbe cu trasee în zigzag (fig. 86 și 94) cu dințături ca de E.K.G., ale căror distanțe între vîrfuri (desime), înălțime față de linia de bază și formă dau relații asupra permeabilității sau rezistenței organelui la U.S., descoperă neomogenitățile de structură ale regiunii de examinat și permit măsurarea distanței dintre suprafetele organelor.

2. Al doilea procedeu, *modul M* (T i m e M o t i o n), permite urmărirea mișcărilor unei interfețe, de exemplu, infățișează deplasarea diferen-

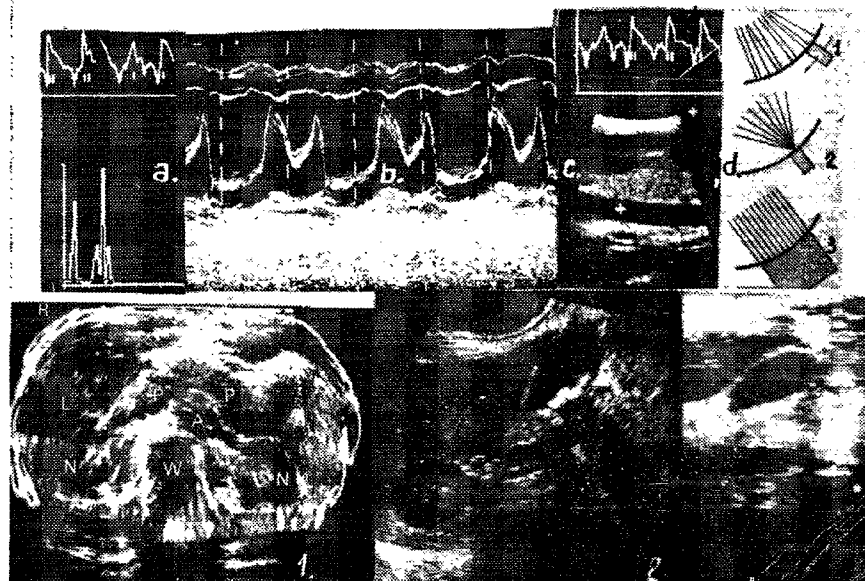


Fig. 86 — Modurile de ecografie și imaginile realizate:

- a) — ecografia unidimensională, modul A (Amplitude modulation);
- b) — ecografia modul T.M. (Time Motion-Scan);
- c) — ecografia modul B (Brightness modulation), sector îngust, cu marker în formă de +...+;
- d) — tehnicele ecografiei modul B: (1) — Compound-scan, secțiune transversală la înălțimea corpului vertebral L_2-L_3 ; A=aorta; P=pancreasul; L=ficatul; W=coloana vertebrală; N=rinichiul); (2) — Ecografie transversală, în regiunea hipocondrului drept — sector larg; se observă peretele abdominal în alb; ficatul în gri; rinichiul drept aproape rotund, cu hilul; vezicula biliară cu calculi declivi și con adinc de umbră în spatele calculilor; (3) — Parallel-scan: peretele abdominal în alb, ficatul în gri, vezicula biliară în negru.

telor structuri ale inimii (pereții musculari, septul interventricular, corăjalele și valvulele diferențierelor orificii), în funcție de timpii mișcărilor (de sistolă sau diastolă). Imaginea *M-Scan* (fig. 94 b) este obținută în același mod ca și ecografia Modul A, cu deosebirea că transductorul este fix, rămîne pe un singur loc, în timp ce banda de hîrtie pentru înregistrarea (fig. 90 b), se derulează în timpul înscrerii bătăilor cordului cu o viteză stabilită la 25 sau la 50 mm/s.

3. Dacă la aceste sisteme se adaugă un dispozitiv de reperat în spațiu, pe un tub catodic cu memorie (fig. 88 a) se pot obține imagini bidimensionale caracteristice pentru ecografia *modul B* (Brightness Modulation, fig. 86), care redau pe ecran suma punctelor ecou ale organelor regiunii examineate ca „pe o hartă geografică“ (c). Imaginea seamănă, pînă la un punct, cu imaginea tomografică care este obținută cu raze X; dar

în timp ce pe tomografie secțiunile obținute sunt perpendiculare pe direcția fasciculului de raze X, în ecografie, secțiunile sunt pe același plan de secțiune cu direcția fasciculului de ultrasunete (fig. 90 c).

Ecografia modul B poate fi executată cu diferite tehnici (fig. 86, d): compound-scan¹ (1), sector-scan (2), paralel-scan (3).

Generațiile actuale de aparate cu U.S. care lucrează sub controlul computerului propriu au posibilitatea să realizeze, cu același aparat, toate modurile de examen descrise mai sus.

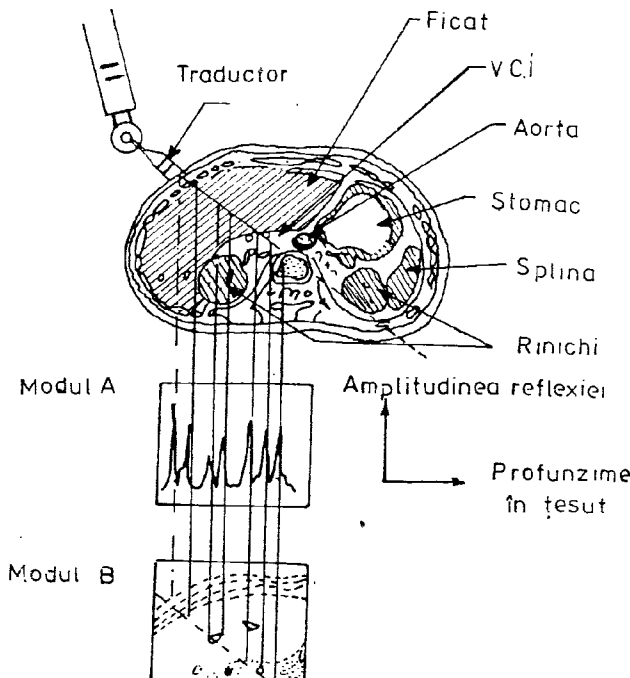


Fig. 86 e) — Ecografie în modurile A și B.

Principalele uzine de aparatură radiologică: Siemens, Philips, Kretz, Picker, Brüel și Kjaer, Kransbühler, de la care provin și figurile din text, au realizat în ultimii 20 de ani, fiecare, mai multe generații de aparate U.S. pentru uz medical, care utilizează principiul Radarului-Sonarului marin*, cunoscut încă din timpul războiului. Domeniul de frecvențe al aparatului Combison-Kretz, de exemplu, este situat între 1 MHz și 6 MHz, frecvență ce poate fi modificată întrebunțind sonde — transductor diferențiate în raport cu profunzimea leziunii ce poate varia între 6—20 cm (fig. 91).

Intensitatea ultrasunetelor este de cca 0,01 Watt/cm², metoda fiind inertă din punct de vedere biologic, neinvazivă, inofensivă și deci este complet lipsită de risc pentru pacient.

* Termen derivat din Sound, Navigation and Ranging.

Examenul se face pe nemîncate. Pacientilor li se administrează timp de 3 zile regim neflatulent, precum și substanțe deflatorice, eventual un purgativ, în ziua care precede examenul. De cele mai multe ori, însă, bolnavii sunt ambulatori și examenul li se poate face fără pregătire.

Pacienții sunt examinați în poziție culcată, ortostatică sau sezindă. Pe ecranul oscilografului catodic, care la aparatul Combison are dimensiuni de $10 \times 8 \text{ cm}^2$, este proiectată o secțiune din organul de examinat grosă de 12 mm; aceasta poate merge pînă la o profunzime de 16—20 cm, fiind efectuată de pe o arie cu o întindere de $36 \times 30 \text{ cm}^2$, $24 \times 20 \text{ cm}^2$ sau de $12 \times 10 \text{ cm}^2$, din organul în totalitate sau numai din un sector din regiunea de examinat. Imaginea poate fi stopată și prelucrată prin tehnica stop-cadru (Freeze-frame, Schnitt einfrieren) — poate fi mărită (Zoom) (fig. 87, a, b) de 2 ori sau de 4 ori. Este însoțită de o scară cu mai multe trepte de gri între cele două extreme — alb și negru; scară care în ultimul timp a ajuns la 64 de trepte. La unele aparate există și o linie gradată. Este posibil să se ia fotografii de pe ecran cu un aparat Polaroid. Microprocesorul poate face stocarea imaginilor și a datelor în memorie și se pot alege două imagini diferite ale aceluiași pacient, care pentru comparație sunt fotografiate alăturat pe același carton (modurile B+B, modurile M+B — fig. 87 (c).)



Fig. 87 — Imaginea (a) poate fi mărită de 2×(b) sau de 4 ori; pe latura inferioară este înscrisă scară de griuri; se observă și o linie gradată pentru aprecierea dimensiunilor formăției și pentru măsurarea distanțelor; c) — două imagini diferite de la același pacient pot fi fotografiate alăturat; d) și e) — prin simpla apăsare pe un buton, imaginea poate fi redată în negativ sau în pozitiv; f) și g) — imaginea poate fi modulată în raport cu detaliile pe care le urmărim.

Imaginea de pe ecran poate fi redată în negativ sau în pozitiv (d și e) sau poate fi modulată (fig. 87, e și f) în raport cu detaliile pe care le urmărim.

Înmagazinarea imaginilor se poate face pe dist., pe bandă magnetică sau se înscrie direct pe hârtie (fig. 90, b) și curba de amplitudine în zigzag se citește la ultraviolete.

Cele mai noi aparate de ultrasunete sint comandate prin ordinador electronic propriu și deci au performanțe superioare. Computerul efectuează toate operațiile prin calcul ca și în C.T. cu raze X: tratarea sofisticată integrală și rapidă a informației (semnalelor), construcția imaginii și focalizarea ei.

Pe consola aparatului sau pe fața lui anteroară (fig. 88) se află o claviatură alfanumerică, ca la mașina de scris (fig. 88, b, c), cu care se poate convorbirea cu ordinatorul; pe ecranul oscilografului catodic (fig. 88, a) se afișează datele tehnice ale examenului și măsurările făcute cu un caliper electronic (șubler) plimbând pe conturul formației ca

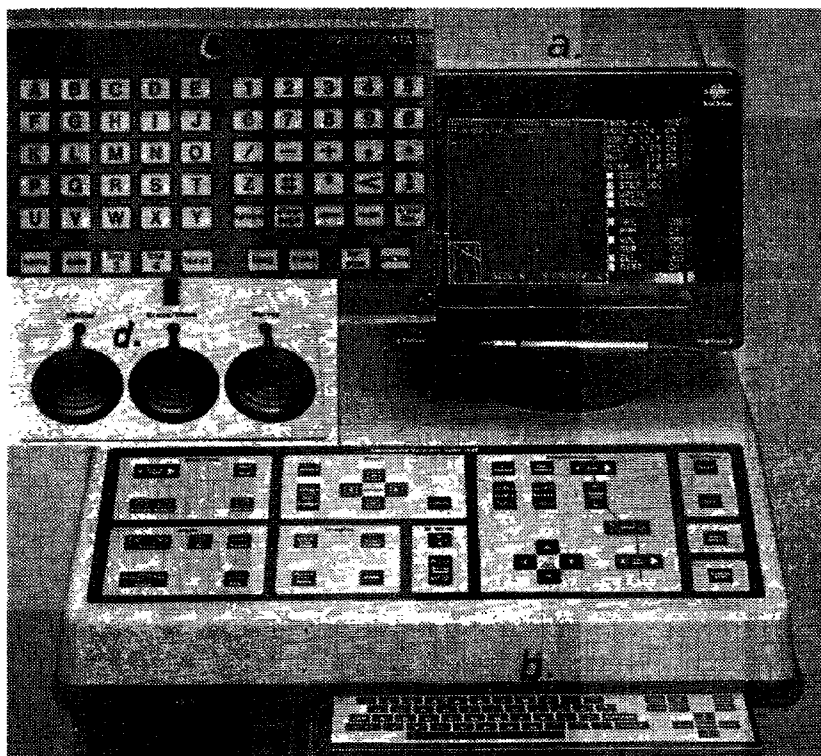


Fig. 88 — Aparat de ultrasunete: se observă oscilograful catodic (a) cu ecranul pe care se afișează diferite date, de la o consolă cu clape ca la mașina de scris (b) cu litere, cifre, semne (c); butoanele ca de sonerie (d) acționează markerul, șterg (anulează) imaginea sau o stochează în memoria ordinatorului, supraveghează conversația cu acesta.

marker un punct luminos, un 'L, un x sau un cerc (fig. 93 e și 98); se pot calcula suprafața, perimetru (fig. 98 a și b) și volumul formațiunii care ne interesează. Se pot înregistra timpul, viteza curentului sanguin, frecvența bătăilor cardiace (ale fățului) — concomitent cu modul B în obstetricie și împreună cu modul M în cardiologie (fig. 87 c).

Transductorul este purtat de un braț cu articulații — adaptat la un stativ vertical care poate fi deplasat în toate sensurile (fig. 89, a), urmărind proeminențele și accidentele de-a lungul secantei (planului de secțiune) (fig. 87, 90 și 96 c) regiunii de examinat.

Sonda face contact strâns cu tegumentele prin intermediul *unui agent de cuplare*: un gel lubrifiant, un strat de apă sau de ulei, sau o pastă de contact Aquasonic care elimină stratul inerent de aer și care șurează, în același timp, plimbarea transductorului pe tegumente. Transductorul poate fi fixat și apăsat pe regiunea de studiat cu ajutorul unei benzi elastice (fig. 90, a), care în acest caz joacă rolul de compresor. Sonda emițătoare și receptoare (alternativ denumită *transductor*) are formă cilindrică, cu un diametru de cca 2 cm (fig. 91, a). Ea este schimbată pentru a obține U.S. de diferite frecvențe în raport cu dimensiunile și cu profunzimea leziunii (sediul ei): 2 MHz pentru profunzimea de 20 cm; 4 MHz pentru profunzimea de 17 cm; 6 MHz pentru 10 cm și 8 MHz pentru 6 cm profunzime. Pentru explorări de sector există un transductor bipolar (fig. 91, b) cu frecvențe deosebite la fiecare pol. În prezent, se utilizează și un transductor mai mare (fig. 91, c) în formă de paralelipiped cu bareta și cu 64—516 de elemente (al firmei Siemens) la care este încorporată și o pernă cu apă.

Ultrasunetele cu frecvență mare (respectiv cu λ scurtă) pot pune în evidență focare profunde și de dimensiuni mici.

Dacă plimbăm transductorul pe suprafața abdomenului, pentru fiecare poziție a lui se pot înregistra o serie de ecouri lineare sub formă

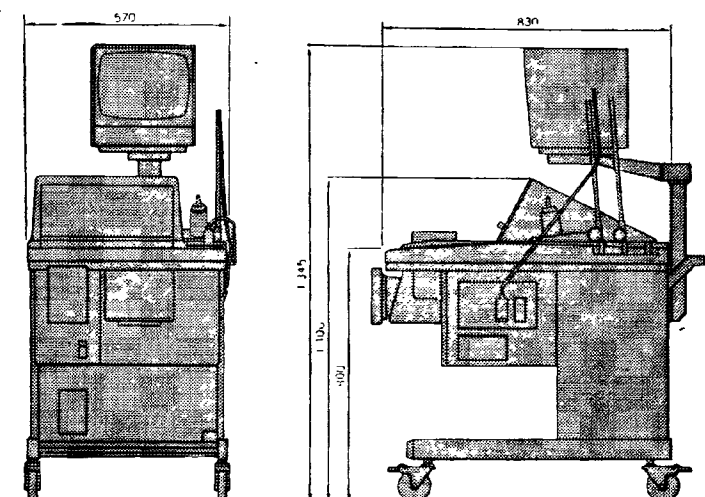


Fig. 89 — Ecograf mobil.

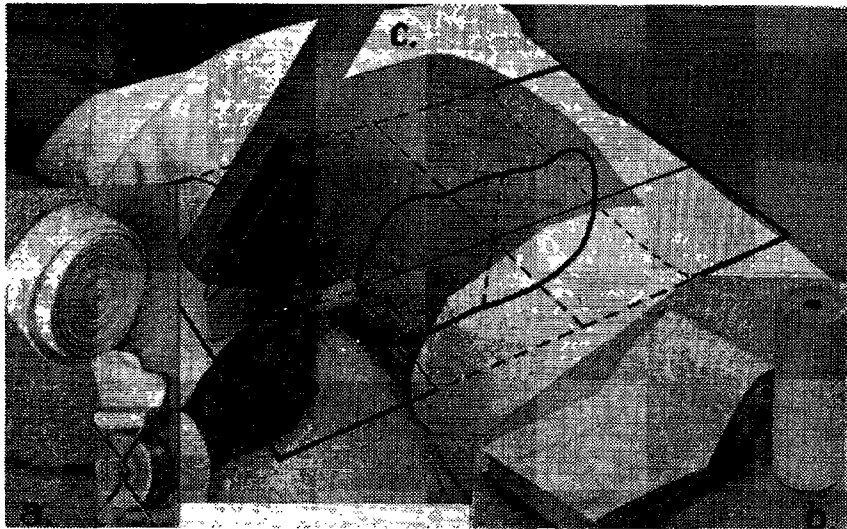


Fig. 90 — a) Bandă elastică pentru fixarea transductorilor; b) Hîrtia sul pentru înregistrare după modurile A și M; c) Planul de secțiune (transversal) subombilical. Alte secante se pot vedea pe alte figuri.

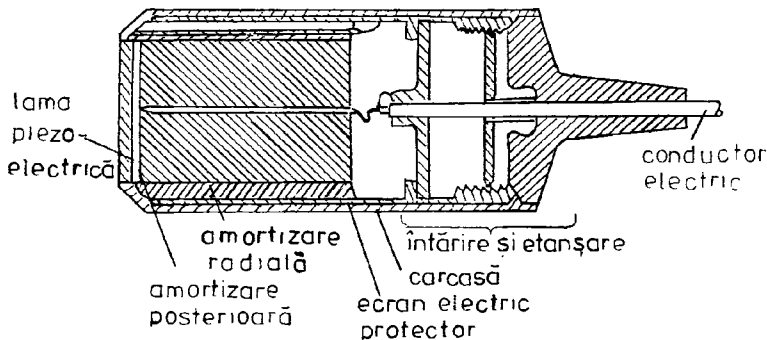


Fig. 91 — a) Structura unui transdutor pentru A-scan sau compound-scan.

de curbe de amplitudine în zigzag, date de suprafața abdomenului și a viscerelor în calea fasciculului de U.S. — înregistrare modul A (fig. 86, a). Sumarea acestor ecouri realizează o secțiune a abdomenului, modul B — scan (1, 2, 3).

Reflectarea fasciculului de U.S. se produce în primul rînd pe pereții organelor sau la granița leziunilor și duce la o imagine a contururilor (pe secțiune transversală, verticală sau oblică) a organelor abdominale: ficat, rinichi, pancreas, vezică urinară, splină.

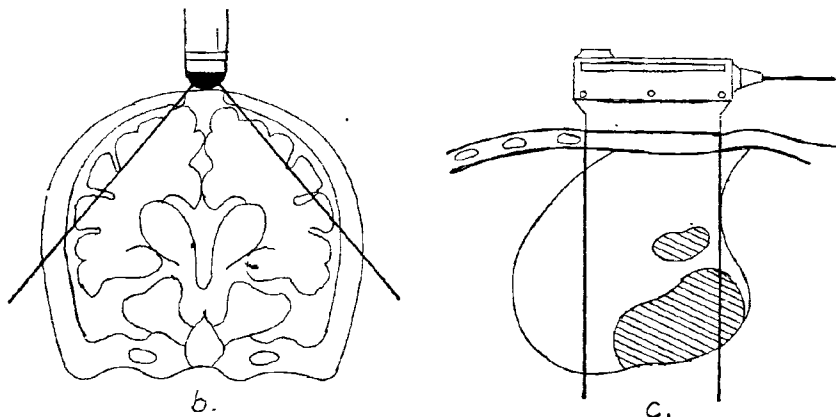


Fig. 91 — b) transductor bipolar pentru sector de 115° ; — c) transductor paralelipipedic cu 426 elemente, Siemens, de dimensiuni mai mari, cu bareă și pernă cu apă.

După o amplificare suficientă apar imagini de structură:

— structura solidă (fiecul, fig. 98), peretii vezicei urinare (fig. 93) reflectorizantă, ecogenă, albă (clară) ca scheletul pe radiografia convențională și

— structura lichidiană, (fig. 92 — vezica urinară) și (fig. 94 — chist renal), fără ecou, neagră ca plăminul pe radiografie.

Avantajul fundamental al ecografiei constă în posibilitatea de a diferenția țesuturile solide de colecțiile lichidiene. O tumoră abdomino-pelvină care se prezintă radiologic cu caracter univoc și nespecific — de opacitate slabă — poate fi dată de un fibrom uterin sau de un chist de ovar. Pe ecografie se poate preciza care din cele două afecțiuni este în cauză: formația este albă (clară) reflectorizantă=fibrom sau neagră — fără ecou=chist lichidian.

Examenul cu U.S. este permis în obstetrică încă de la începutul sarcinii și se efectuează pentru: studiul embrionului (fig. 92 b, c) cît și al uterului gravid la termen, pentru aprecierea înălțimii placentei, a dimensiunilor sacului amniotic, lungimii femurului, pentru măsurarea diametrului cranian biparietal al fătului (fig. 92, a), pentru a-i aprecia vîrstă și vitalitatea lui (bătăile cordului), pentru măsurarea dimensiunilor vaginalui și diametrului strîmtorilor, pentru inducția ovulației.

În *ginecologie*, U.S., pe lîngă identificarea anatomo-patologică a maseelor abdomino-pelviene pe secțiuni, pot preciza dimensiunile și caracterul formației patologice (solid, lichid sau complex) și sediul (organul de care ține: uter, trompe, ovar). Într-un număr de cazuri, ce poate ajunge pînă la 50% din total, se poate evalua caracterul benign sau malign al formațiunii.

Pentru examinarea cu U.S. în obstetrică și ginecologie, vezica urinară trebuie să fie plină (b și c), ea trebuie să conțină 300—400 ml urină, ceea ce se obține cu 25 mgr Furosemid, intramuscular. Vezica destinsă împinge cranian ansele intestinale pline cu aer, le scoate din pelvis și realizează astfel o fereastră acustică, care lasă drum liber pentru fasciculul de U.S. către organele genitale interne.

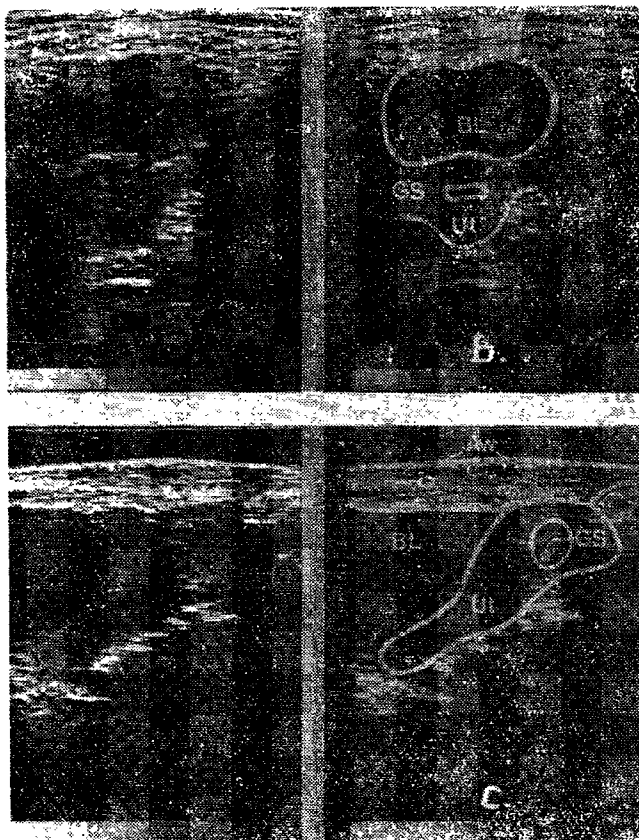


Fig. 92 — a) Explorarea unei sarcini cu transductor sectorial, de la un aparat modul B; b) sarcină la 6 săptămâni; c) sarcină la 14 săptămâni; Aw=peretele anterior al abdomenului; BL=vezica urinată destinsă; Ut=uterul cu G.S. (sacul gestațional).

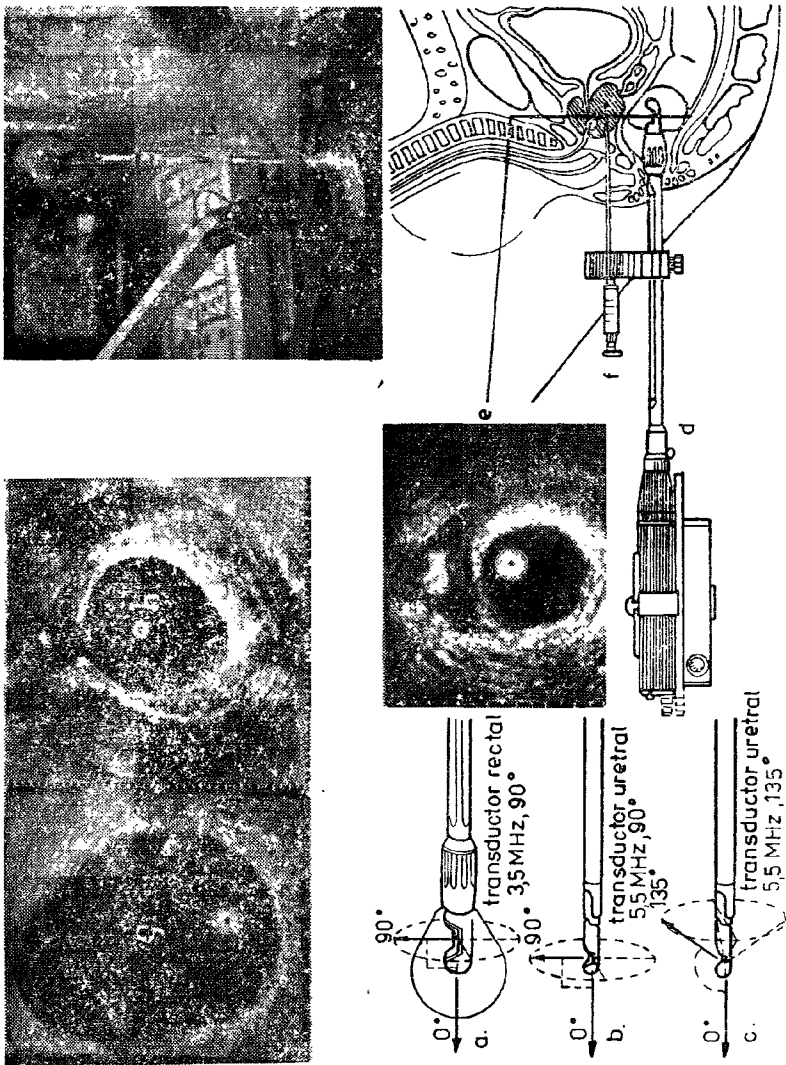


Fig. 93 — Endoscop cu U.S. pentru examunul intracavitar:
a) Rectal, cu transductor dc 3.5 MHz si cimp vizual de 90°; b) Uretral, cu transductor dc 5.5 MHz, cu cimp vizual de 90°; c) Uretral, cu cimp de 135°; d) Endoscopul introdus în rect, pentru explorare prostrete care prezintă calcificări (e). Prostata poate fi delimitată între doi markeri luminoși ($X \cdot X = 45$ mm). Pentru punctia-biopsie a prostretei prin perineu, se utilizează un ac lung (f), solidar cu endoscopul; g) Tumoră malignă care infiltraază adinc peretele vezical; h) Papilomatoză vezicală; i) Punctie renală sub ecran, executată pe cale posterioară.

U.S. pot fi utilizate: în diagnosticul ascitei (fig. 96, e) și al colecțiilor lichidiene (fig. 94); în *oftalmologie* — pentru măsurarea distanțelor în ochi, pentru detectarea deslipirii de retină, a hematoamelor și a tumorilor, pentru oftalmodynamometrie în glaucom; în *patologia mamară* și în *patologia digestivă* — fără pericol de iradiere a bolnavului sau a personalului și cu un cost de 4—10 ori mai mic decât al unui aparat actual de raze X.

Endoscopul ultrasonic (fig. 93), la care transductorul este fixat la capătul unei tije, se poate introduce într-o cavitate ca rectul (a), vaginul sau vezica. Se utilizează pentru explorarea și punția prostatei și a glandelor seminale, a tumorilor vezicale (g și h).

Există și un dispozitiv cu care transductorul se deplasează pe peretele unei cuve umplute cu apă în care este cufundat membrul de studiat: craniul, sînul, scrotul. La aparatele recent construite, la transductor este incorporată o pernă cu apă (fig. 91 c).

La torace pot fi studiați pereții cu pleura și leziunile parenchimatoase care au conexiuni cu perețele, epanșamentele lichidiene ale pleurei

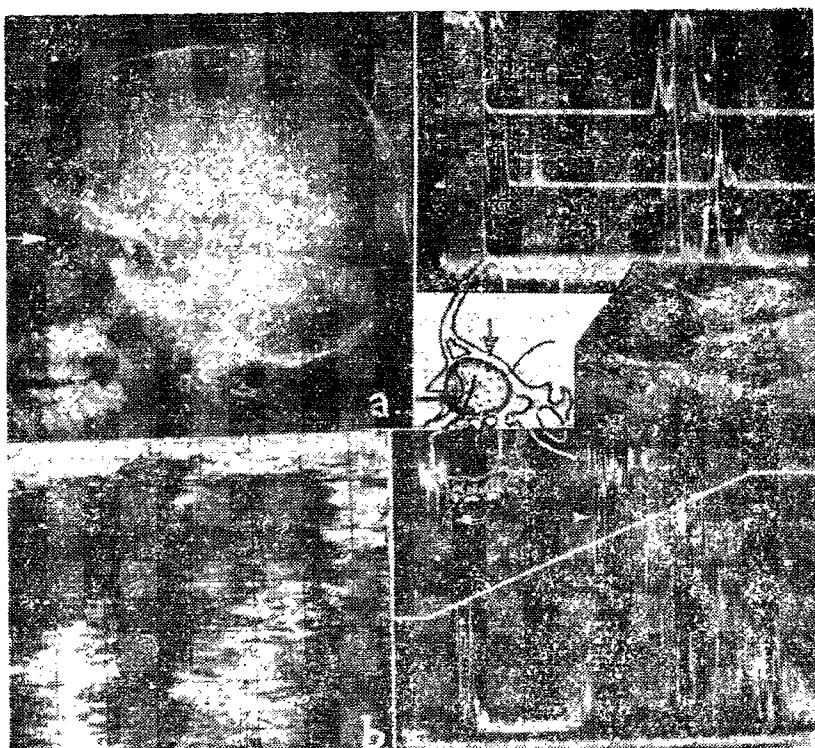


Fig. 94 — Caracterele ecografice ale proceselor lichidice: a) Mucocel etmoidal, explorat după modul A, cu trei curbe de amplitudine pe secțiuni frontală, sagitală, transversă; b) pleurezie serofbroasă stîngă; se observă diafragmul, cordul și splina; c) formație chistică renală, pe imaginea după modul B (mijloc) și după modul A (jos).

(fig. 94, b), tumorile și îngroșările pleurale, ca și leziunile mediastinale, atunci cind ele ocupă spațiul retrosternal.

Leziunile plămînilor (care conțin aer) nu pot fi evidențiate ecografic și se pretează mai degrabă examenului radiologic care nu poate fi aici înlocuit.

In *cardiologie*, ecografia a fost introdusă timpuriu, grație inocuității sale, ale posibilităților variate de examen fără inducerea de perturbări hemodinamice și în fine datorită calității deosebite a informației, care concordă perfect cu datele de hemodinamică și cu cele de la cineangio-grafie. Pot fi înregistrate structurile anatomice cardiace, studiate și evaluate: funcționarea valvulelor, stenozele și insuficiențele valvulare, ruptura cordajelor, cardiopatia destructivă, malformațiile congenitale, pericardita, chisturile pericardice, anevrismul disecant. Se pot înscrive con-

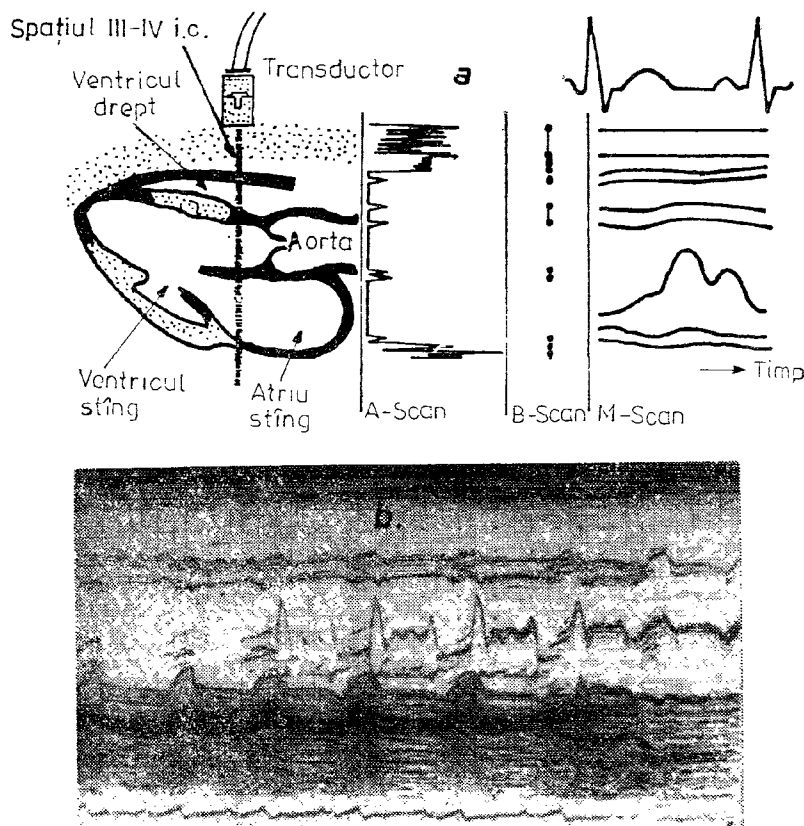


Fig. 95 — Ecografia în *cardiologie*: a) transductorul este fixat pe peretele toracic într-un singur loc; în fereastră acustică din regiunea parasternală stîngă. Alături înregistrarea modul A, posibilă simultan cu modurile B și M. Sunt înscrise E.K.G. și timpul; b) ecocardiografie modul M, la un tânăr sănătos.

comitent E.K.G., timpul, viteza undei sanguine și frecvența bătailor cordului*.

Examenul se face după modul M (fig. 95). Bolnavul este culcat în decubitus, cu transductorul aplicat — fixat în regiunea parasternală stângă, în spațiul trei, patru sau cinci intercostal, unde se află fereastra acustică pentru cord (zona de pericard), care nu este acoperită nici de plămîn (care conține aer) nici de coaste sau cartilagii calcificate — structuri anatomicice care opresc U.S.

Ecografia trebuie asociată la examenul cu raze X în *afectiunile O.R.L.*: în inflamații, tumori și intervenții chirurgicale, cazuri în care permite să se studieze cavitățile aerate, cele obliterate parțial sau total și cele în care sănătatea colecții cu lichid (fig. 94, a).

Examenul organelor superficiale (sin, tiroidă, testicule, membrele cu tulburări circulatorii sau cu afectiuni ale părților moi) este ameliorat prin imersiunea în apă cît și prin absența unor organe vecine, care conțin aer și opresc trecerea U.S.

În *punctile bioptrice percutane* există o tehnică de ecografie — timp real — pentru ghidarea punctiei. Se utilizează în leziunile circumscrise ale ficatului, pancreasului sau în diferite tumori abdominale; se face punctia prostatei prin perineu (fig. 93, c), punctia renală pe cale posteroară (i). Punctia se face cu un ac lung de cca 9—10 cm, al cărui vîrf este urmărit pînă la focalul întărit, pe ecranul osciloscopului.

Ficatul este din punct de vedere acustic aproape transsonic, ecotransparent și imaginea sa ecografică se realizează prin o nuanță de gri (fig. 96 și 98); numai marelle vase și conductele sale biliare pline de lichid opresc undele sonore și apar în negru. În chisturile și în abcesele hepatici, în ciroze, în tumorile primitive și în metastazele canceroase cu diametru peste 1 cm se produc imagini caracteristice.¹ Imaginile sănt mai puțin specifice în caz de hepatită, steatoză sau în ficatul de stază. Poate fi studiată vezicula biliară (fig. 86 și 96 c și d) chiar și în cauzile în care aceasta este exclusă de la examenul radiologic obișnuit, atunci cînd nu se umple cu substanță de contrast. Pot fi puși în evidență calculii biliari mici, cu diametrul între 3 și 6 mm, care nu se văd pe radiografi.

Pancreasul și rinichii sănt mai greu de examinat din cauza suprapunerii segmentelor cu gaze ale tubului digestiv și a pozițiilor lor profunde în abdomen. Pentru examenul acestor organe se poate efectua umplerea stomacului cu lichide sau se face examenul în procubitus, poziție care furnizează o fereastră acustică suficientă pentru examinarea lor, suprimind artefactele. Redăm imagini care ilustrează semiologia lor (fig. 97 și 98).

Ultrasunetele pot fi utilizate în *serviciile de recuperare* pentru tratamentul sechelor pleurale și al bolilor coloanei vertebrale; în *reumatologie*: spondilartrita anchilopoetică, spondiloza deformantă, hernia de disc, artrita sacro-iliacă, artroza coxofemurală; la sportivi, în entorse și traumatisme musculare. Factorul terapeutic al U.S. constă nu numai în căldura provocată în țesuturi dar și în *factorul mecanic* — așa-numitul „efect de cavitație”; vibrațiile sonore realizînd presiune mare în țesuturi la nivelul celulei, care este urmată de producerea unor vacuoale în protoplasma celulară și chiar de ruperea unor molecule, fenomene care au ca urmare reacții chimice și enzimatice.

* Ecografia clinică — Streian și Drăgulescu, Edit. Facla, Cluj-Napoca, 1981.

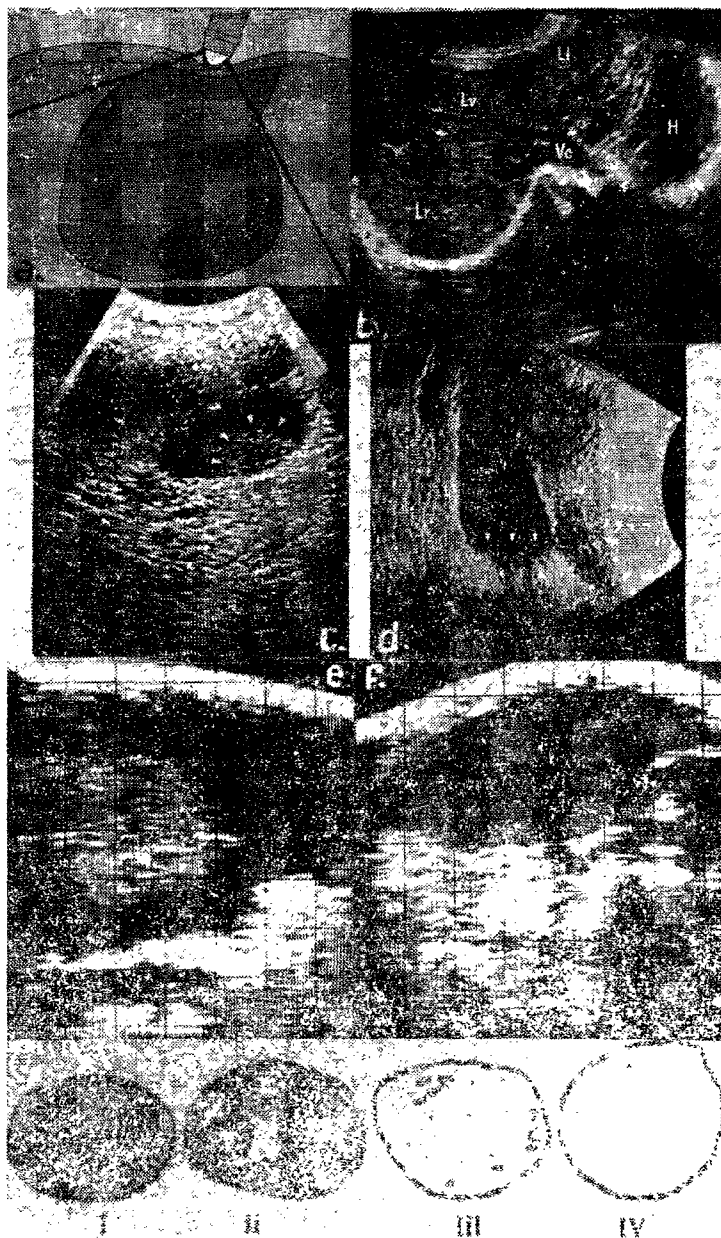


Fig. 96 — a) explorarea sectorială a ficatului; b) secțiune transversală pe care se observă ficatul în gri — marcat cu Lr și Lt. Se observă vena cavă (Vc), venele hepatice (Lv) și cordul (H); c) veziculă cu calculi biliari mici și multipli, care în poziție ortostatică (d) cad în fundul veziculei; e) ciroză hepatică: ficatul mărit și ascită; f) ciroză hepatică: se observă splenomegalia.

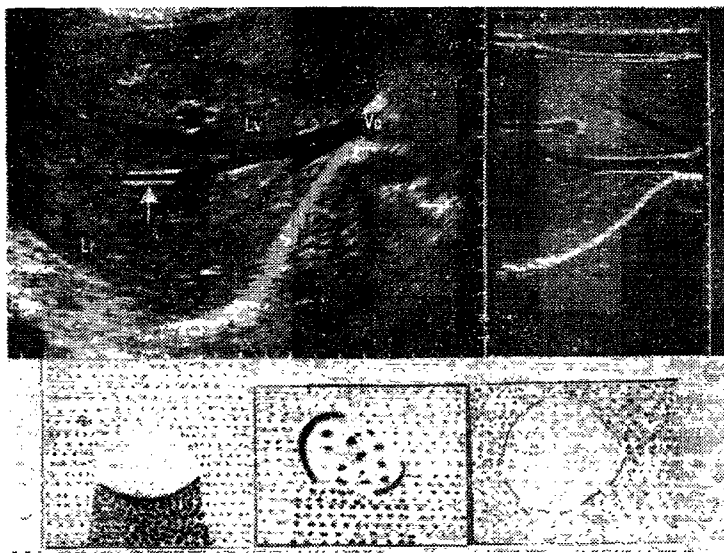


Fig. 96 g — Semiologya ecografică a ficatului.

U.S. pot fi utilizate pentru *planificarea radioterapiei*, în tumorii. Poate fi urmărită și evoluția tumorii după tratament.

Explorările vasculare se pot efectua cu tehnica ultrasonoră Doppler, bazată pe captarea zgomotelor fiziologice sau patologice ce se produc în curentul sanguin care trece prin trunchiurile arteriale sau venoase și produc modificări în aceste conducte. Reflexia u.s. pe suprafețe (în acest caz globulele roșii în mișcare) (Fig. 99 a) produce un decalaj de frecvență care este proporțional cu viteza (debitul) torrentului sanguin și modificările se pot asculta cu un stetoscop sau la un difuzor. Imaginea poate fi văzută și fotografiată pe un oscilograf catodic pe care se formează imaginea ecografică.

Pe baza *velocimetriei sanguine*:

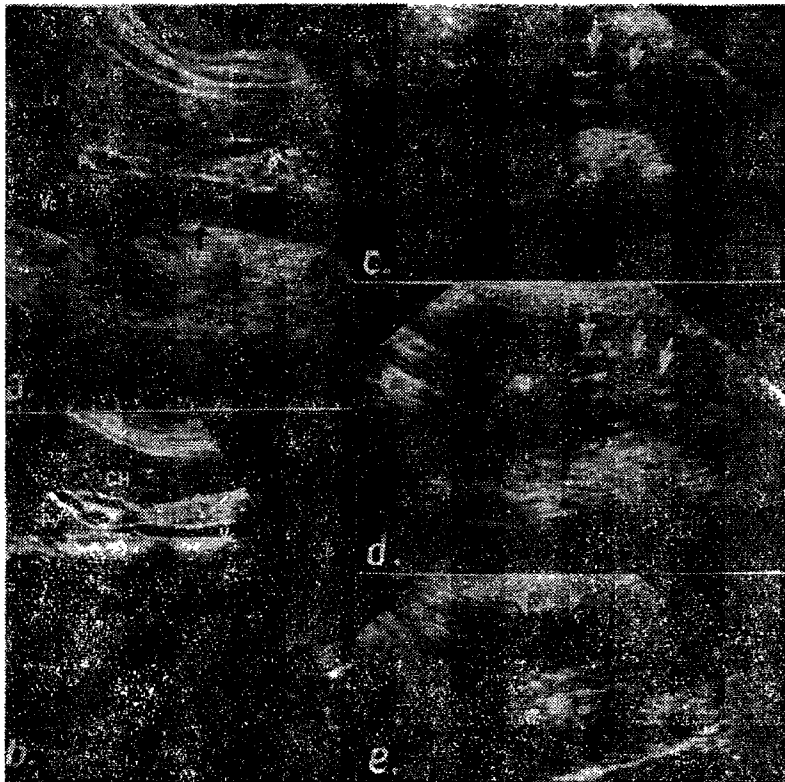
— se pot aprecia modificările lumenului vascular (în caz de stenoze sau obstrucții arteriale periferice la membre).

— se pot identifica vase izolate în zonele membrului cu debit redus prin leziuni aterosclerotice (circulația colaterală); se pot pune în evidență trombi venoși și se poate aprecia funcția *valvulelor* venoase (insuficiență lor) care permite reflux în Valsalva.

Cu transductoarele utilizate în prezent, durata examenului poate necesita 5—10 minute, în cursul căruia pacientul trebuie să mențină aceeași poziție fără să miște.

Ecografia este o metodă al cărei aport diagnostic este recunoscut de către toți specialiștii. Ea se situează la răspîntia tuturor specialităților de organ și pluridisciplinaritatea nu este numai necesară, dar este și o garanție a dezvoltării sale în viitor.

În practică, ecografia nu este o specialitate unică: este efectuată de către specialistul de organ — cardiolog, de obstetrician sau ginecolog etc., dar este și una dintre competențele radiologului.



SEMILOGIA PANCREASULUI

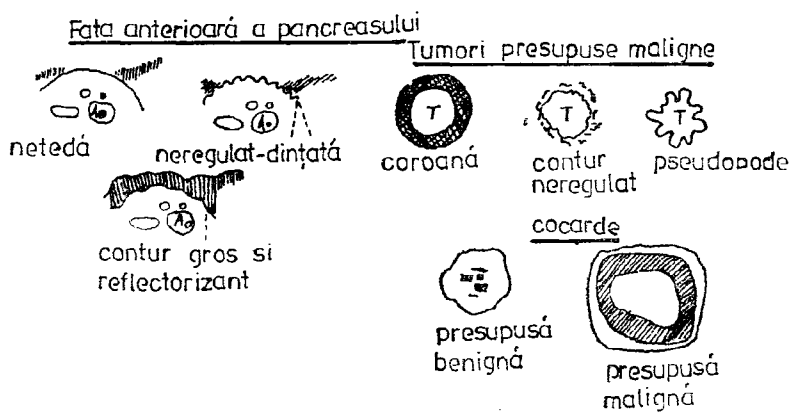


Fig. 97 — Semiologia ecografică a pancreasului — a) și b)=pancreasul (P), choledocul (CH), venă hepatică (Lv), vena portă (Pv), vena cavă (Vc), artera renală (Nar), ficatul (Lr). — Semiologia ecografică a proceselor patologice din pancreas pe secțiune transversală: c) săgețile arată canalul Wirsung cu doi calculi; d) dilatație moderată a canalului Wirsung (3 săgeți); e) formătie rotundă lichidiană (săgeți) cu diametru de 30 mm la partea anterioară a isticlului pancreatic; f) semiologia pancreasului (schemă).

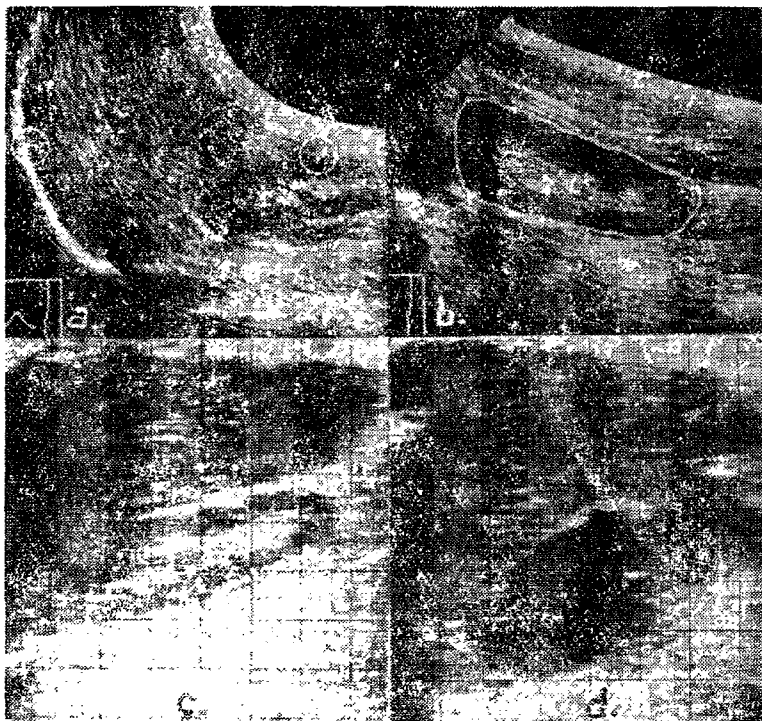


Fig. 98 — a) Dimensiunile ficiatului între doi markeri, Θ : urul situat pe diafragm, al doilea la peretele abdominal ce intersectează rinichiul drept; b) delimitarea perimetrlului (suprafeței) rinichiului cu elementele hilului în centru; c) ficatul mărit poate fi apreciat cu ajutorul liniilor gradeate de pe ecran. Posterior ficiatului (în gri) se observă rinichiul drept cu hilul central; d) două chiste renale cu lichid la polul rinichiului, care se vede în continuare.

Sonda Doppler

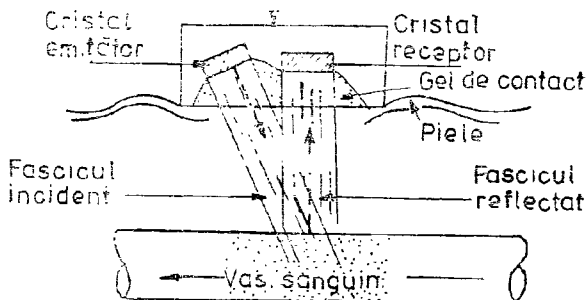


Fig. 99 — a) Prinzipiul explorării vasculare cu metoda Doppler.

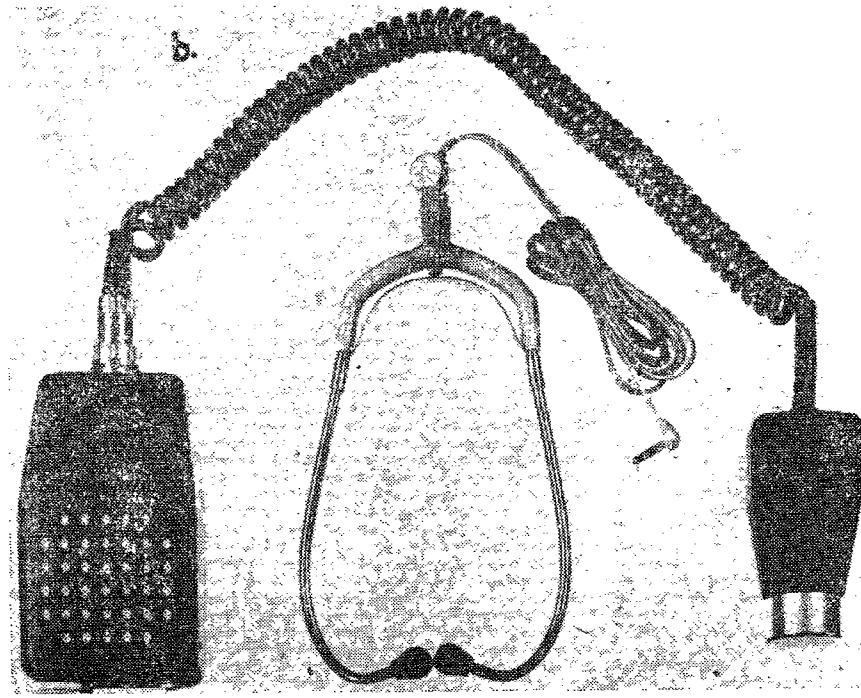


Fig. 99 — b) Trusă pentru stetoscop u.s., cu baterie electrică și cu transductor cilindric.

Este la îndemâna „tuturor celor care știu să utilizeze” (F. Weill).

Ea este atât de diversificată, pe căt sănătatele dominante ale fie căruia specialist în sectorul său.

REZONANȚĂ MAGNETICĂ NUCLEARĂ

Este o metodă de examinare în plină ascensiune pe scara imageriei medicale și în prezent completează metodele clasice (fig. 100) dar este posibil ca în viitor să le și înlocuiască.

Noul procedeu se bazează pe *fenomenul fizic al rotației proprii a protonilor (nucleelor) de H₁* în jurul axului lor — care poartă numele de „spin”, moment care este legat de un moment magnetic propriu.

Din structura materiei trebuie să amintim că atomii sunt constituși dintr-un *nucleu central greu* în care se concentrează aproape toată masa atomică formată din protoni cu *sarcină electrică pozitivă* și neutroni fără sarcină (fig. 13), dar cu mase aproximativ egale.

În jurul nucleului gravitează, pe orbite periferice, *electronii* cu *sarcină negativă*, particule care imprimă proprietățile fizice și chimice ale elementului chimic respectiv (fig. 18). Toate aceste particule se învîrt în jurul lor. Protonul de H₁ este o particulă grea cu masa de 1 836 de ori mai mare decât a electronului. Este animat de o *mișcare de rotație proprie*.



Fig. 100 — Diferite posibilități de imagine radiologică: a) radiografie convențională; b) computer-tomografie cu raze X; c) izotopi radioactivi; d) ultrasunete: se vede vezicula biliară; e) magnetografie, craniu.

i joase. Sub acțiunea unui alt cimp *bobine*, care emite un impuls scurt de cular pe direcția cîmpului principal — ierea. După o fază de tangaj — 'precesia

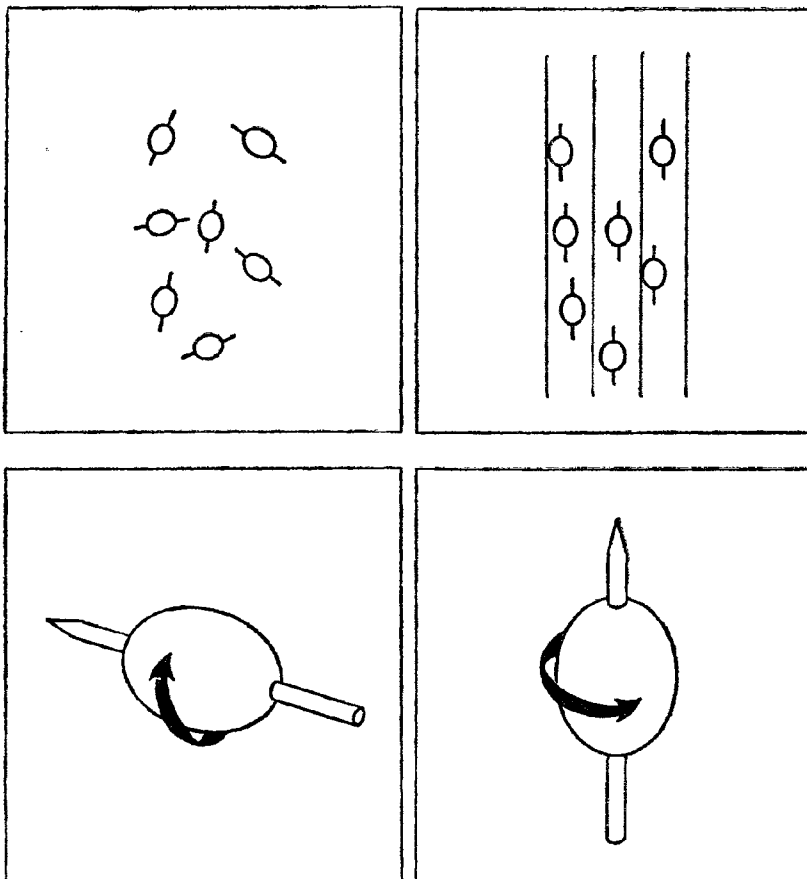


Fig. 101 — Nucleele de H_1 în poziție de repaus sint în dezordine, dispuse la întâmplare, fără nici o preferință.

Fig. 102 — Într-un cîmp magnetic puternic, nucleele de H_1 se aliniază cu axele lor în lungul liniilor verticale.

lui Larmor, rotație analoagă mișcării unui titirez cu axul oblic față de verticală, inherentă perturbării vectorului moment magnetic — și după ce emite un semnal de rezonanță recepționat în bobinele detectoare (fig. 109), protonii își revin la poziția lor inițială de echilibru și nu mai au orientare preferențială (fig. 101). Dat fiind că nucleele de H_1 reacționează în acest mod și având în vedere că corpul omenesc este compus în cea mai mare parte din H_2O care reprezintă 75% din componența țesuturilor moi și are deci o concentrație mare în protoni cu factor giromagnetic ridicat, se emite o cantitate suficientă de semnale pentru a obține o magnetografie de „spin“ (fig. 100, e).

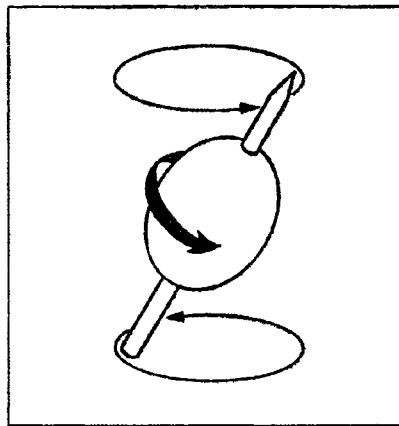
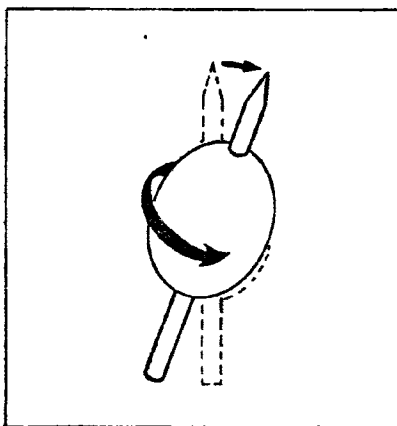
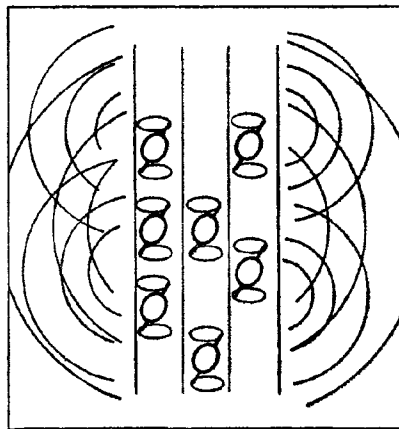
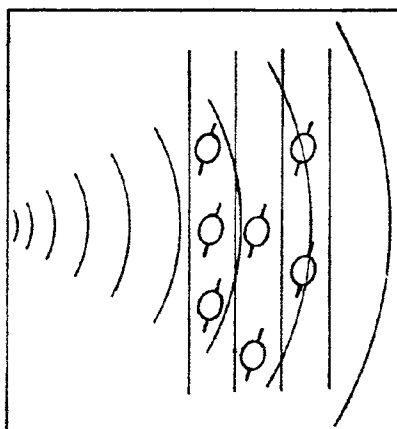


Fig. 103 — Impuls scurt de unde de radiofrecvență perpendiculară pe cîmpul magnetic (aplicate de la exteriorul corpului omenesc).

Fig. 104 — Semnalul sub formă de unde poate fi înregistrat de către bobinele receptoare.

Aceasta este o *imagine anatomică — tomografică* a nucleelor de H_1 în organul respectiv care în plus conține *informații funcționale*. Contrastul imaginii pe scara de griuri cu peste 250 de nuante între cele două extremități alb și negru, depinde de intensitatea spinului (intensitatea rezonanței); el este proporțional cu numărul (protonilor liberi excitați din volumul studiat; în particular cu conținutul în H_2O). Fenomenul era cunoscut și utilizat încă în urmă cu 35 de ani, ca metodă standard în fizică și în chimie, pentru identificarea spectrului R.M.N. al anumitor substanțe chimice introduse în eprubetă (fig. 105) contribuind la analiza și disocierea structurală a moleculelor din soluții sau amestecuri, — în explorarea chimiei metabolismului celular, — în studiul membranelor biologice și al

fragmentelor de tumori recoltate bioptic. E. M. Purcell și F. Bloch au primit pentru aceasta în 1952 premiul Nobel.

În imageria medicală cele trei inițiale R.M.N. din simbolul metodei semnifică: R=rezonanță sau acordul frecvențelor între undele emise

Emițător de radiofrecvență variabilă

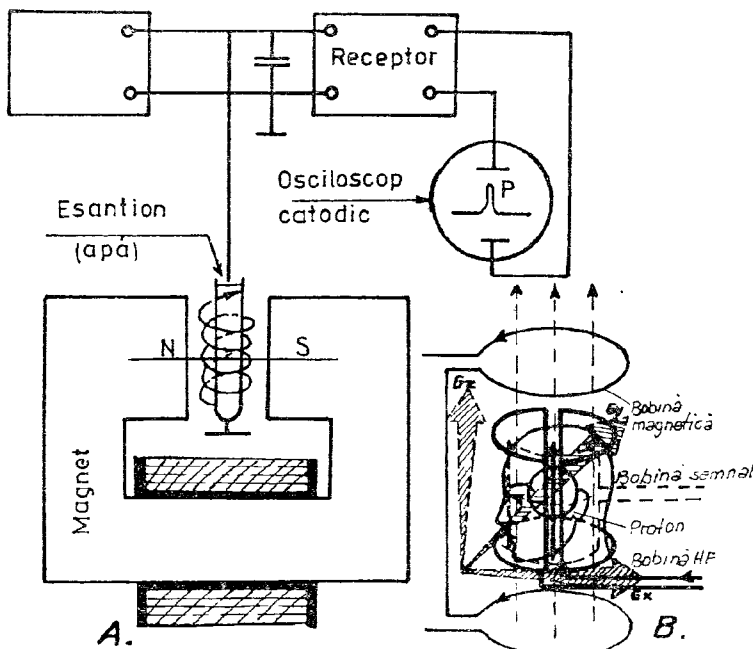


Fig. 105 — Schema unei instalații R.M.N.; (A) — după DAMADIAN — SCHMIDT și (B) — după ZEITLER și SCHITTENHELM.

spontan de protonii din apă din țesuturi și o a doua sursă de emisie cu radiofrecvență identică din exteriorul corpului (regiunii sau organului) de examinat. M=protonii care se comportă ca *magnete* minusculi și sănătățile de mișcări de rotație circulare ca de titirez. În stare de repaos a atomilor, nucleele sunt în cea mai completă dezordine (fig. 101) și nici un fenomen magnetic nu se manifestă la exterior. Introdușii între cei doi poli N și S ai unui electromagnet puternic (M) care desfășoară un cîmp de aproximativ 10 000 de ori mai puternic decât cel al pămîntului, protonii din apă organului de studiat se aliniază (fig. 102) între polul pozitiv și cel negativ al magnetului cu axul lor în lungul cîmpului (fig. 106, b). După orice variație a cîmpului magnetic, nucleele se rotesc în jurul axei lor cu o viteză și o frecvență proprie de spin. N=mișcările circulare ale nucleelor-protonilor care nu emit decât o radiație de intensitate foarte slabă pentru a fi perceptuată și sesizată la exterior. Impulsurile de unde de radiofrecvență dirigate de la exterior (fig. 106, c)

întăresc emisia primară inherentă nucleelor și produc mișcarea denumită *precesie* (fig. 103) care poate fi înregistrată de această dată, de bobine receptoare, care captează voltajul electric minimal induc de momentul lor magnetic nuclear propriu, și apoi îl transformă într-un semnal intens

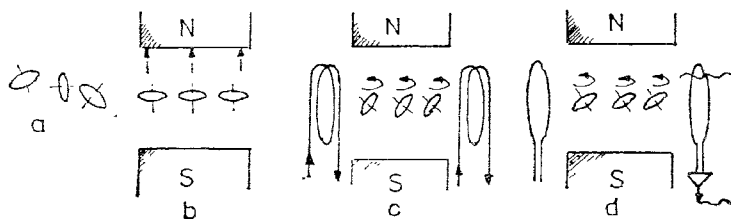


Fig. 106 — Fazele succesive ale magnetografiei, desenate după HOUMSFIELD.

(fig. 104) care este vizibil pe un ecran catodic (fig. 106 d) de pe care poate fi înregistrat și fotografiat.

Cu aparatelor a căror schemă și principii se pot observa pe fig. 105:

1 — se poate înregistra *spectrul de frecvențe nucleare* care traduce natura chimică a atomului explorat, constituind amprenta moleculei. Un spectru de rezonanță magnetică este format din linii și benzi mai mult sau mai puțin numeroase a căror *amplitudine* este proporțională cu numărul nucleelor care intră în rezonanță, a căror *pozitie* este în funcție de ambianța electronică a fiecărui dintre nucle. *Numărul* linilor depinde de interacțiunile cu nucleele vecine. *Lățimea* unei linii spectroscopice depinde de interacțiunile dintre populația spin-ilor cu ambianța lor. Spectrul poate fi convertit într-o curbă în zigzag (fig. 107).

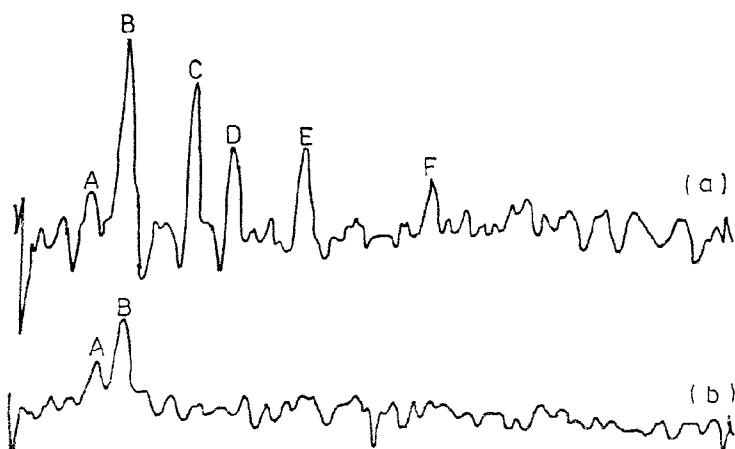


Fig. 107 — Specuri de rezonanță magnetică nucleară: Picurile curbei în zig-zag A, B, C, D, E, F reprezintă nucleele de P_{31} din mușchiul normal (a). Pe curba b se văd numai picurile A și B din mușchiul invadat de un rhabdomyosarcin.

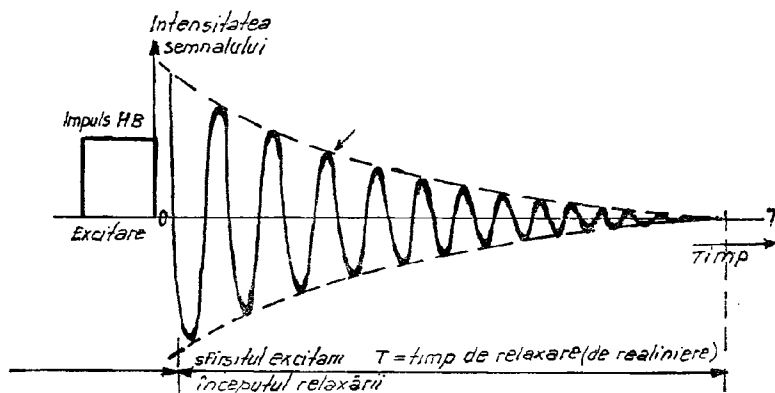


Fig. 108 — a) Relaxarea. Timpul de relaxare.

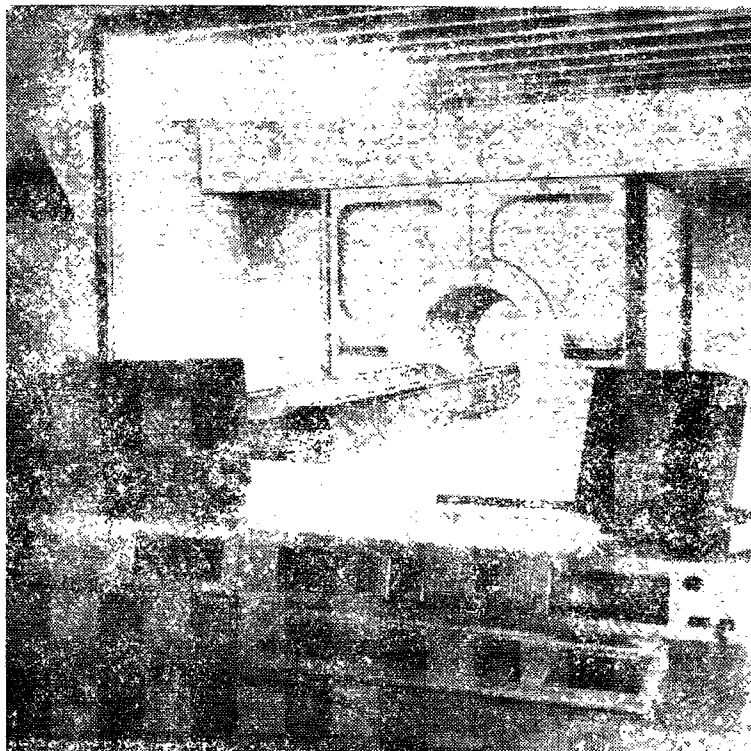


Fig. 108 — b) Instalație R.M.N. Siemens, cu masa de tratament în formă de platou concav, pe care se culcă pacientul și care va fi introdusă în cilindrul magnetic. În primul plan sunt situate: pupitrul de comandă, consola cu claviatură ca la mașinile de scris, împreună cu 2 ecrane catodice pe care se afișează imaginea și se înscrui datele tehnice de execuție + datele bolnavului.

2 — se pot obține *imagini morfologice* din secțiuni care au grosimea între 1 și 10 mm și practic oferă imagini tot așa de precise și detailate, care au o rezoluție foarte bună de ordinul a 1,5 mm și sunt asemănătoare cu tomografia computerizată cu raze X, celei cu izotopi radioactivi sau ecografiei aceleiași regiuni (fig. 100).

3 — Se pot măsura *parametrii* așa-zisi de *relaxare* (fig. 108, a).

Imaginea secțiunilor din corpul omenește este obținută în timp ce regiunea este supusă unui cimp magnetic de circa 0,5 Tesla (T=unitatea

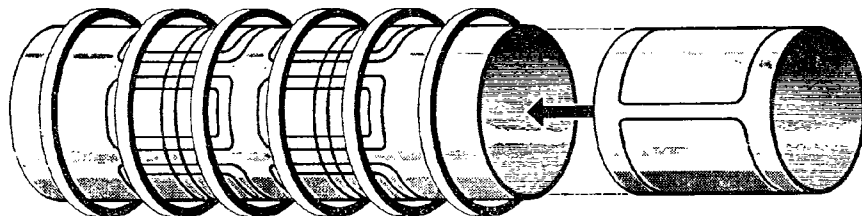


Fig. 109 — Pacientul este introdus în bobinele de gradient X, Y și Z, cu care se alege intensitatea caracteristică punerii în rezonanță și se fixează secțiunea (stratul) care trebuie studiat și bobina emițătoare de impulzuri de înaltă frecvență și receptoare de semnale.

de inducție magnetică) nucleele de H_1 fiind în rezonanță sub un cimp electromagnetic, pe o radiofrecvență de 21,3 MHz (milioane de cicli pe secundă) și o lungime de undă de 14 m. Cimpul magnetic pînă la 2,5 T este realizat printr-un electromagnet rezistiv (cu miez de fier, cu greutatea de peste 20 de tone, greu de realizat), răcît cu apă, iar cele între 2,5 T — pînă la 11 T printr-un selenoid supraconductor constituit din bobine goale (fig. 109) răcite cu heliu, care are, bineînțeles un cost mai mare, dar care a fost adoptat de majoritatea grupurilor de cercetare. Dificultatea rezultă din a obține un cimp magnetic stabil și omogen, care este posibil într-o boxă izolată perfect (fig. 112) și protejată echivalent cu forța magnetului. Boxa trebuie ferită și de orice interferență cu unde de radiofrecvență. Acest cimp magnetic este repartizat pe un canal (cilindru) cu suprafața circulară — cu diametru de minimum 40 de cm — în interiorul căruia se introduce persoana de examinat, culcată pe un stativ în formă de platou. În acest moment se induce un impuls de radiofrecvență cu unde intense, executat într-un interval de timp foarte scurt (fig. 103) care are o frecvență strict identică celei a mișcărilor de precesie ale protonului și contribuie în a le pune în rezonanță — amplificînd semnalul lor primar și permitînd înregistrarea lui.

În prezent se obțin imagini în mai multe secvențe. Prima secvență este un *impuls de frecvență R.F.I.D.* (Repetated Free Induction Decay) ce realizează imagini care arată schimbările în *densitatea protonilor de H_1* , ceea ce are o utilitate limitată pentru diagnostic. Dacă impulsul de radiofrecvență încețează brusc, după un oarecare timp încețează și emisia de rezonanță. Timpul este denumit T_1 de *relaxare longitudinală* (fig. 108). Bobinele de radiofrecvență sunt atît emițătoare ale impulsului cît și receptoare ale semnalului (fig. 109).

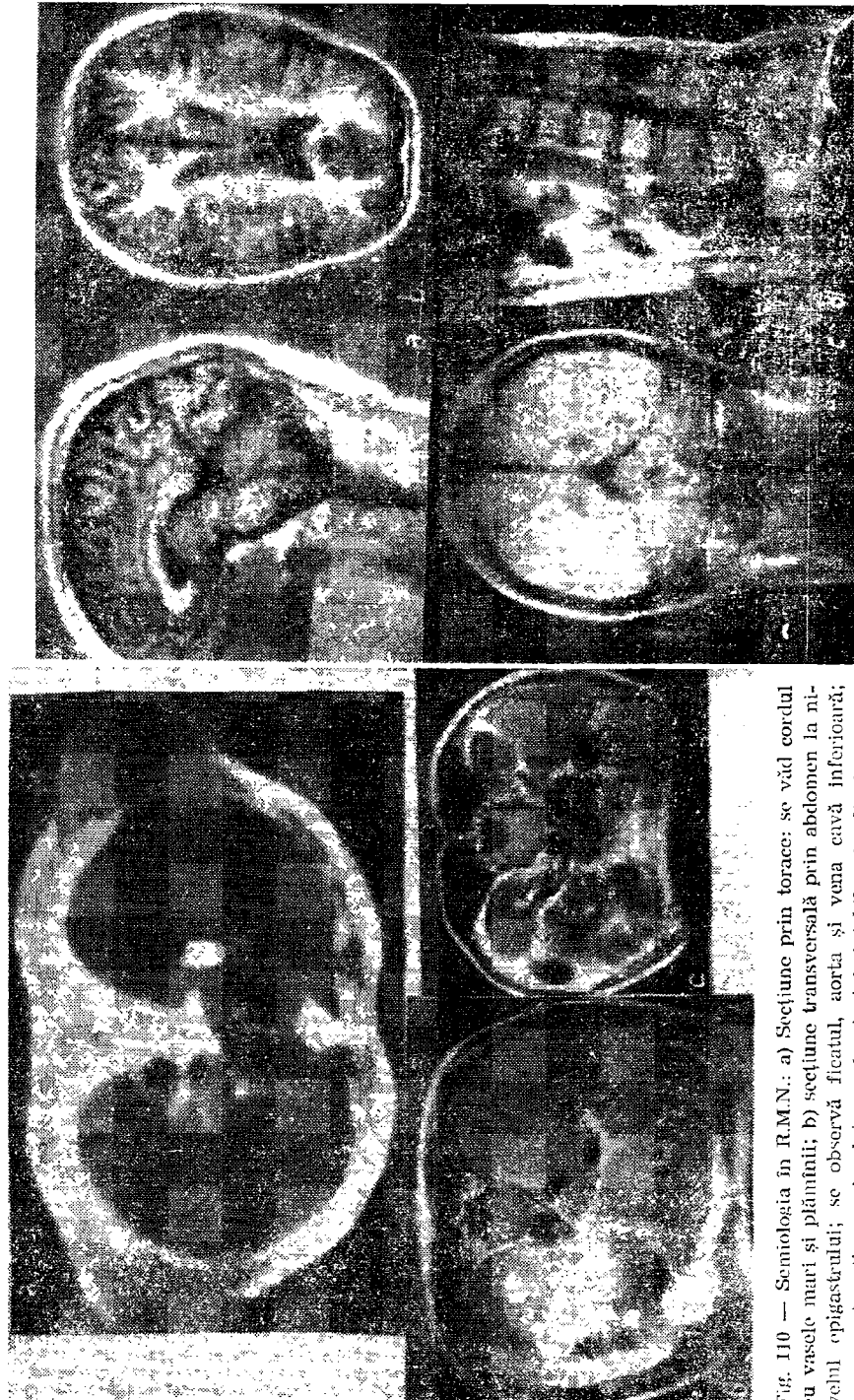


Fig. 110 — Semiologyă în R.M.N.: a) Secțiune prin torace: se văd cordul și vasele mari și plăinii; b) secțiune transversală prin abdomen la nivelul epigastriului; se observă ficatul, aorta și venă cavă inferioară; c) secțiune prin abdomen la nivelul rinichilor și splinei.

Fig. 111 — Secțiuni craniene, în diferență incidente (a, b,

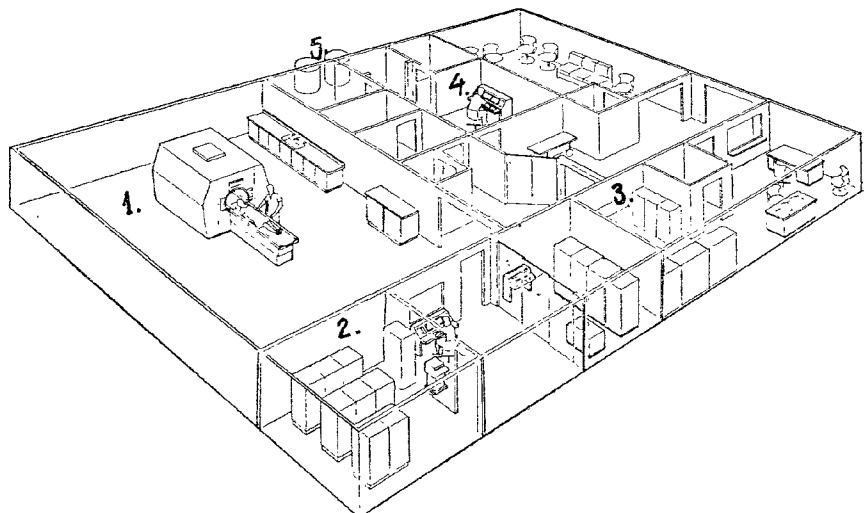


Fig. 112 — Planul unei instalatii R.M.N. Philips cu magnet supraconductor. Sus în stînga, încăperea mare (1) este destinată pentru bobinile și motoarele de putere. Cabina trebuie să aibă pereții protejați, construiți din lemn, zidărie sau beton, fără armătură metalică. Apa, căldura, electricitatea sunt conduse prin tuburi de *materiale nemagnetice* (P.V.C. sau aluminiu). Aparatele care pot fi afectate în cîmpul magnetic (computerul și tuburile multiplicatoare ca și ecranele tuburilor catodice) trebuie să fie la distanță de cel puțin 6 m de centrul magnetului. Pacientul este culcat pe masa de examen care luncă pe rotile în cavitatea cilindrului cu cîmp magnetic. Încăperile sunt climatizate pentru temperatură de $22 \pm 3^{\circ}\text{C}$ și cu umiditate adecvată, fără condens.

Jos în stînga (2) sunt 3 încăperi care sunt ocupate de computer.

Cabinetul fizicianului (3) se află în dreapta jos. Sus în dreapta (4) se află camerele pentru registratură, secretară și sala de așteptare, cabine pentru dezbrăcarea pacienților și camera cu masa pentru examen clinic și pentru pregătirea pacientului.

Sus, în afara clădirii, sunt instalate două recipiente (5) cu capacitatea de 500 litri pentru heliu și azotul lichid necesare pentru răcirea magnetului supraconductor.

Imaginea poate fi reconstruită de ordinatoare în planuri diferite și multiple (fig. 110, 111) — frontale, sagitale, orizontale sau oblice (avînd diferite unghiuri cu planul transversal), fără ca bolnavul să fie deplasat în cilindrul cu cîmpul magnetic. De înclinarea bobinelor și de direcția în spațiu a gradientelor de cîmp X, Y, și Z (fig. 105 B — Craniu) depinde și planul de secțiune dorit pentru volumul de studiat.

Pentru interpretarea rezultatelor magnetografiei de spin, trebuie să se țină seama de constantele fizice de execuție (tehnica aplicată) de cei doi parametri de achiziție ai semnalului: *timpul de repetiție* și *întîrzierea excitării*, de secvențele impulsurilor R.F.I.D., I.R. (Inversion Recovery) și S.E. (Spin-Ecou), ca și de viteza de scurgere a singelui. Măsurătorile se

referă la concentrația variabilă a protonilor de H_1 la *timpul de relaxare longitudinală* T_1 (spin — grilă) (fig. 108 a) datorit schimbului de energie între populația de spin-i și ambianța moleculară a mediului din jurul lor și la *timpul de relaxare transversă*, T_2 (spin-spin) care depinde de acțiunea mutuală dintre nucleu. Acești parametri reprezintă timpul necesar nucleelor excitate ca să-și revină la starea de energie inițială — aceea de echilibru termic — să se dezalinizeze și să-și reia poziția de repaus întâmpătoare (fig. 101 și 106 a). Prin aceste măsurători este posibil a diferenția un țesut sănătos de unul bolnav.

Semnalele și imaginea sunt recepționate pe un ecran al unui oscilograf catodic. Programarea datelor de tratament ale informației, a operațiilor în computer și reconstrucția imaginii se face ca și în C.T. cu raze X utilizând aceleași algoritme. De la un pupitru — consolă, cu claviatură ca la mașina de scris se poartă dialogul cu computerul. Se poate face afișajul digital, alfanoumeric al datelor de utilizare și al parametrilor de măsură (separati sau combinații linear) utili pentru interpretarea imaginii ca și a datelor personale necesare pentru identificarea pacientului. De pe ecranul oscilografului, imaginile pot fi înregistrate pe film 24/30 cm ori fotografiate cu un aparat polaroid și pot fi înscrise pe bandă magnetică sau pe disc.

Pentru moment, imagini R.M.N. au fost obținute utilizând numai nucleul atomului de H_1 . Alte nucleu care au un moment magnetic intrinsec (un spin) mai slab, pot intra în rezonanță la alte frecvențe decât H_1 cu condiția ca numărul lor atomic Z să fie impar ca: H_1 , C_{13} , Fluor₁₉, Na₂₃, P₃₁. În prezent se fac imagini de sustracție între cele obținute cu nucleele de H_1 și cele obținute cu nucleele de P₃₁.

Sistemul T.M.R. (Topical Magnetic Resonance). Din cauza slabei sensibilități a nucleului de P₃₁, (1/5 față de cea a protonului de H_1) necesită utilizarea unui cîmp magnetic mai puternic și de omogenitate perfectă. Acesta poate fi realizat de un magnet supraconductor de 1,5 T—2 T, (15 000—20 000 de Gauss), răcit cu heliu, cu un cîmp cu frecvență de rezonanță de peste 32 MHz, într-un volum al regiunii de examinat de cel puțin cîțiva cm³ la suprafață, de aproape 100 cm³ la organele din profunzimea corpului. Înregistrarea spectrului magnetic al nucleului de P₃₁ permite cunoașterea „*in vivo*“ a rezervelor energetice și a variațiilor lor la nivelul unor organe; în general metoda este rezervată cercetării fundamentale.

Nu putem face, încă, o comparație cu tomografia de emisie prin pozitroni P.E.T. (*Positrons Emission Tomography*) care, de asemenea, dă relații asupra volumelor de distribuție, asupra cineticii trisorilor și asupra metabolismului în interiorul organelor (consumul de oxigen și glucoză).

În domeniul cercetării sunt utilizate *substanțele paramagnetică* (magneziul, oxigenul etc.) care, chiar în concentrații slabe, sunt capabile să modifice contrastul imaginii R.M.N., reducind durata timpului de relaxare. Aplicarea produselor de contrast pare promițătoare.

Se pare că nu există nici un risc pentru corpul omenesc legat de utilizarea cîmpurilor statice magnetice puternice — cu gradientul lor de cîmp de joasă frecvență — sau față de impulsurile de radiofrecvență care nu au nici o acțiune ionizantă sau nocivă asupra organismelor vii, metoda R.M.N. fiind inofensivă.

Semeiologya în magnetografie. La ora actuală protonii de H_1 — cei care se văd cel mai bine — sunt cei legați de apă sau de grăsimi. Aceste două medii foarte dense în protoni vor apărea pe imagini *albe*, opace ca

scheletul pe radiografia convențională. Osul, care are o rezonanță slabă deoarece conține numai 15% apă, va apărea întunecat, negru ca plăminii pe radiografie. Din contra, măduva din interiorul osului are o rezonanță importantă. Fluidele, cum sunt singele, lichidul cefalorahidian sau umoarea apoasă din globii oculari, nu contribuie deloc la semnal pentru că valorile densității nucleelor de H_1 și timpii lor de relaxare sunt cu totul diferiți de cei ai țesuturilor moi din jur sau se deplasează tot timpul.

În fig. 100 e cu secțiune transversală prin craniu (la nivelul orbitorilor ca și pe fig. 111) în trei incidence — planuri față, profil și transvers, se observă că pielea și părțile moi ale scalpului ca și creerul, bogate în H_2O și deci în semnale, sunt opace, apar în alb pe imagine. Se poate face ușor delimitarea între substanța albă și cea cenușie (fig. 111). Oasele boltii și bazei craniului apar întunecate, în negru. Diploia este săracă în semnale și nu se văd tabulele, ci o bandă neagră nestructurată în jurul creerului care apare în alb.

În prezența unui strat gros de diploie, calota se vede cu trei straturi. Globii oculari cu corpul vitros sunt transparenti, apar în negru, dar grăsimea orbitală retrobulbară care dă semnale este opacă și apare în alb și le face contrast. Ventriculii și cisternele ca și spațiile arachnoidiene periferice, deși sunt pline cu lichid c.r., nu emit semnale. De asemenea, cavitățile pneumatice ale craniului (cavitatele nazale și sinusurile) sunt transparente, apar pe imagine în negru.

Explicația de ce unele organe care conțin lichid sunt transparente și apar întunecate, negre, ca și cavitățile care conțin aer este pusă de către HOLLAND pe seama mișcărilor fiziole ale lichidului cefalo-rahidian. Datorită mișcărilor pulsării arteriale și acțiunii „de pompă“ a creerului pulsatil, se produce deplasarea lichidului prin planul studiat respectiv (prin volumul ce ne interesează). O altă cauză este densitatea protonică și timpul relativ lung de relaxare pentru lichide în care ținta se deplasează tot timpul. Imaginele care se obțin pentru craniu și coloana vertebrală sunt frumoase pentru că segmentele respective nu se mișcă în timpul examenului.

La nivelul rachiului, reconstrucția imaginii cu computer, plan cu plan, pe secțiuni groase de 1 mm, oferă o rezoluție excelentă în patologia vertebrală (fig. 111 d).

În cardiology, R.M.N. sincronizată cu electrocardiograma permite reprezentarea cordului în sistolică și în diastolică. Mușchiul cardiac bogat în protini apare pe imagine în clar (în alb) în timp ce singele circulant din cavități și din vase apare umbrat, este întunecat, negru (fig. 110 a). Plămăii apar de asemenea întunecăți. Pentru abdomen (fig. 110 a, b, c) imaginile sunt asemănătoare ca rezoluție și comparabile din punct de vedere anatomic de cele oferite de C.T., cu raze X, de medicina nucleară sau ultrasunetele ale același regiuni (fig. 100) dar aduc în plus date funcționale și este de presupus că pot contribui și la un diagnostic etiologic.

Prezența aerului sau pieselor scheletului nu alterează calitatea imaginii ca în cazul ultrasunetelor.

Pentru o anumită structură, parametrii cități variază nu numai în funcție de țesutul patologic ce trebuie studiat ci și de țesuturile din jur; astfel se pot recunoaște structurile și s-ar putea diferenția țesuturile normale de cele patologice — în particular cele tumorale. La acestea, timpul de relaxare T_1 , de reîntoarcere al protonilor în starea de repaus (fig. 108) este diferit. T_1 e totdeauna mai lung în celula din țesuturile canceroase

— de aproximativ 3 ori mai mare: 1,080 secunde în celula din cancerul de sân și numai 0,367 secunde în celulele glandei mamare sănătoase.

Celula canceroasă conține o cantitate crescută de K (Dunham) și posibil și din cauza modificării structurii acizilor nucleici, care perturbă condițiile de mișcare a protonilor de H₁, necesită un timp mai lung de relaxare T₁, în comparație cu celula normală.

DAMADIAN a constatat că tumorile maligne la șobolani au proprietăți diferite față de țesuturile normale și a stabilit un *indice R.M.N. de malignitate*.

$$I.M. = \frac{T_1}{T_1} + \frac{T_2}{T_2}$$

din țesuturile canceroase și peritumorale
din țesuturile normale

KOIVULO a stabilit în 1978 următoarele valori medii, în secunde:

pentru	tesuturi maligne neoplasm de col	T ₁ sec.	T ₂ sec.
		0,89 ± 0,05	0,072 ± 0,009
	țesuturi normale	0,72 ± 0,01	0,056 ± 0,003

În țesuturile canceroase se observă o mărire semnificativă a indicelui de malignitate, care este mai precis decât examenul anatomopatologic-microscopic. După radioterapie se observă o scurtare a timpilor de relaxare T₁ și T₂ din țesuturile maligne, comparativ cu situația dinainte de tratament. Se pare că valoarea acestui indice este un motiv în plus pentru răspîndirea acestei metode.

Scopul studiilor R.M.N. este explorarea la om a atomului de H₁ din celule, fără intervenție chirurgicală, fără biopsie și fără raze X. Această metodă va permite să se facă un studiu biochimic „in vivo“ și să se obțină imagini de secțiuni anatomicice utilizabile în medicină, pentru care rămîne să se stabilească semiologia.

Noțiuni de informatică în radiologia medicală

Orice clișeu radiografic poate fi considerat ca un mesaj transmis prin intermediul fasciculului de raze X, de la obiect la film. Acest mesaj conține un număr de informații.

Transmisia unei informații se poate face prin intermediul unui lanț — care comportă cel puțin 3 elemente:

- un emițător = tubul cu fasciculul de raze X;
- un canal de transfer = lanțul de radiologie (aparatul de radiologie cu accesoriiile lui);
- un receptor = ecranul radiologic sau filmul.

Cu cît lanțul de operații radiologice este mai lung, cu atât transformările suferite la fiecare verigă fac să se piardă din informație, iar bruiajul imaginii este mai pronunțat.

Capacitatea de transfer, capacitatea canalului, este reprezentată de numărul de unități de informații (numărul de bits) pe care canalul poate să-l transmită în unitatea de timp.

Lucrările de analiză ale clișeelor prin baleaj destinate studiului pe ordinotor, ne arată că într-un singur clișeu radiografic sunt conținute peste 10^8 bits. În practică însă, foarte puține din aceste informații sunt semnificative. O imagine, oricare ar fi ea, este prea bogată în informații potențiale. Rolul radiologului este de a alege, de a selecționa informațiile care au o semnificație semantică (LAVAL-JEANTET).

Utilizarea ordinotorului în radiodiagnostic este bazată pe cele 3 posibilități principale ale acestuia:

Memoria capabilă de a stoca foaia de observație cu datele clinice și de laborator, buletine cu descriere radiologică și chiar clișee radiografice, oferind pentru acestea un acces quasi-instantaneu (ori de câte ori vine bolnavul la control de exemplu).

Calculul rapid permite orice determinări statistice, calcule ale rapoartelor anatomicice sau de măsurători.

Unele operații logice simple cum sunt comparațiile, utilizate în diagnostic presupun stabilirea programului de către medic, care dirijează operațiile ce le va efectua mașina:

— Introducerea datelor (asimilarea informațiilor) cu ajutorul unui limbaj clar și simplu pe cartele perforate sau benzi perforate, prin codaj cu cuvinte cheie sau scanning.

— Tratarea informațiilor de către blocul de calcul după programul stabilit.

— Primirea rezultatelor.

În prezent, la computer există programe pentru diagnostic radiologic cu ajutorul codajului pentru tumorile osoase, nișele gastrice, opacitățile pulmonare, cardiopatiile congenitale, cardiomegalii, arteriografii cerebrale.

Scanning-ul pe radiografiile pulmonare este utilizat pentru diagnosticul cardiomegalilor, ca și pentru analiza automată a mamografiilor și se presupune că în viitor utilizarea lui se va largi.

Redactarea buletinului radiologic cu calculatorul

Redactarea corectă și explicită a buletinului radiologic este tot atât de importantă pentru diagnostic ca și efectuarea unei radiografii corecte și de calitate.

Pentru buletin este necesar un limbaj concis și expresii care să traducă exact natura procesului patologic.

O echipă condusă de către LAVAL-JEANTET a realizat un aparat care să redacteze buletinele pe care-l denumesc sistem SACRE (initialele subliniate de la cuvintele *Système d'Assistance au Compte Rendu Électroradiologique*).

Acest sistem permite radiologului să introducă direct într-un computer elementele observate de el pe clișeile radiografice ale cazului examinat și să obțină imediat un buletin imprimat.

Dispozitivul SACRÉ are 2 părți:

a. — un pupitru pe care se găsește un ecran unde se pot proiecta imprimate scrise, tipice pentru fiecare fel de examen radiologic (toracic, tub digestiv, rinichi etc.). Pe o atare listă sub 256 puncte (fiecare dintre acestea corespunde unei informații elementare de descripție sau diagnostic radiologic), radiologul punctează cu un creion special diferitele puncte de pe ecran care corespund observației pentru care s-a făcut examenul radiologic și se citesc clișeele.

Fiecare punctare produce intrarea automată în computer a coordonatelor respective.

b. — Sistemul de informatică este compus dintr-un miniordinator care, ori de câte ori este solicitat, caută într-un dispozitiv memorie de mare capacitate, expresiile literare ce-i corespund, le ansamblează după un program de sintaxă, formind fraze coerente și corelate din punct de vedere gramatical. Concomitent, textul este afișat (proiectat) pe ecranul de televiziune și radiologul are posibilitatea să-l verifice dacă este corect, eventual să-l corijeze. Cînd „examinarea“ s-a terminat, buletinul radiologic este imprimat imediat pe hîrtie (de către imprimator).

Buletinele de descripție radiologică sunt în același timp stocate în memoria aparatului și la nevoie pot fi reproiectate pe televizor.

Dispozitivul SACRE, pe lîngă faptul că scutește cabinetul de secretară, permite să se utilizeze un limbaj și expresii radiologice mai ușor de înțeles de alți radiologi sau de către medicul ce tratează și, în același timp, buletinul este riguros semantic.

Rezultă, deci, că și beneficiul pe care îl are bolnavul este mai mare.

Perspectivele de viitor ale radiologiei

Metodele moderne de radiodiagnostic și imagerie care pătrund în laboratorul de cercetare și în viața de spital sporesc cunoștințele noastre în diferite domenii, le explică și le fundamentează din ce în ce mai corect; ele favorizează studiul fenomenelor vitale, descoperă fenomene noi, care, la rîndul lor, necesită explicații și prin aceasta orientează cercetarea fundamentală. În radiologie, granița dintre cercetarea fundamentală și practica medicală se sterge, aparatura fiind aceeași pentru ambele.

Volumul datelor numerice și al imaginilor pentru uz medical obținute și înregistrate cu computerul, prin tratament analogic sau și digital a sporit mult prin obținerea directă a imaginilor și prin comunicarea și înregistrarea lor pe discuri optice laser, în locul discurilor magnetice.

Prin tehnica arhivării digitale capacitatea de memorizare a dispozitivelor electronice este foarte mare și a sporit de la cîteva zeci de Mbits în anul 1978, în înregistrările pe disc magnetic, la 500—1 000 și pînă 2 000 Mbits în 1980, pînă la 20 Gbits în 1985 memorizati în imagini digitale pe un singur disc optic laser pe care se pot înscrie pînă la 10 000 secțiuni — imagini de la examenul la 500 pacienți.

Ordinatorul electronic I.M.B. cu cele mai „dense“ circuite integrate conține peste 100 000 de elemente care au o memorie de peste 16 milioane de bits și sunt de 16 ori mai mici decît cele existente.

Acestea sunt construite folosind un fascicul de electroni care desenează direct circuitul pe o peliculă (pe un disc) de polimer cu suprafață de siliciu, sub forma de linii care au lățime doar sub jumătate de micron, astfel că 150 de linii înregistrate una lîngă alta nu depășesc lățimea unui fir de păr.

Aceasta va reduce costul de constructie și exploatare al ordinatoarelor.

Înregistrările se pot efectua în domenii de imagerie medicală variate, începînd de la ultrasunete pînă la rezonanță magnetică nucleară, trecînd

prin tomodensitometrie (C.T.) angiografie digitală intravenoasă cu sus-tracție (A.D.S.) și radiografia convențională, care presupune convertirea directă a energiei radiante în imagine vizibilă pe clișeul radiografic clasic sau la ecranul fluoroscopic. La computer se fac următoarele operațiuni: integrarea datelor de digitalizare, restituirea lor în timp real (în timpul cît durează integrarea datelor de digitalizare), memorizarea digitală și sustracția digitală.

În viitor toate aceste sisteme de obținere a imaginilor medicale vor fi reunite într-un sistem digital informațional unic care va permite înserierea și interpretarea de „*imagerie medicală universală*“ cu acces rapid la datele și imaginile memorizate, a unor superradiologi versati în tot atîtea domenii.

Se prevede că aceste tehnici să devină avantajoase economic în anii ce vin.

Perspectivele de viitor ale radiologiei și imageriei sunt foarte mari, dar nu trebuie să uităm cele spuse de Béclère, acum 60 de ani, că „razele X nu mint niciodată, ci se înșală ochii celor ce privesc imaginile și nu le înțeleg uneori“.

Pentru aceasta se cere, pe de o parte, pregătirea deosebită în specialitate, în disciplinele de bază (medicină internă, chirurgie) și o pregătire adecvată în științele fundamentale: matematică, fizică, chimie, biologie.

Succesul cercetării și al activității zilnice nu este posibil decât prin munca în echipă structurată (inginer și fizician, clinician și radiolog), funcțională și coerentă, în servicii bine dotate.

V. Examenul radiologic al aparatului respirator

Metodele de bază pentru examinarea aparatului respirator

Sint radiografia și radioscozia cu avantajele și lipsurile ce le-am menționat pentru fiecare.

În cazul cind în sinul unor focare de condensare dense urmează să punem în evidență cavități cu dimensiuni mici se fac tomografiile care dau relații în plus și asupra lumenului bronhiilor și grupelor ganglionare traheobronhice. Tomografia poate fi suplinită prin radiografia cu raze dure. Bronhografia este necesară pentru investigarea cauzelor suspecte cu bronșiectazii sau cancer bronșic. Pentru stabilirea se- diului unor procese patologice sau pentru scoaterea lor în evidență se poate utiliza pneumotoraxul diagnostic sau pneumomediastinul.

Examenul standard al toracelui și studiul desenului pulmonar dă relații, în oarecare măsură, asupra funcției pulmonare, mai ales în ceea ce privește caracterele anatomicice ale distribuției sanguine și raporturile dintre zonele perfuzate și cele ventilate. Caracterele funcționale majore, relative la debitul sanguin, rezistența, presiunea și vasomotoricitatea arterelor pulmonare nu pot fi studiate decât prin angiografia pulmonară prin sustracție electronică digitală, A.D.S., cinedensigrafie și scintigrafie.

Studiul circulației funcționale contribuie la elucidarea unor probleme de fiziopatologie și la întregirea cunoștințelor noastre asupra unor afecțiuni pulmonare.

Corelarea imaginii cu datele de fiziologie dă o nouă dimensiune înțelegerei și lecturii radiografiei pulmonare, sporesc șansele de a recunoaște leziunile morfologice în stadiul precoce al evoluției bolii.

Imaginea radiologică pulmonară stochează informații anatomicice, fiziologice și eventual patologice și analiza structurilor de pe radiografiile trebuie interpretată în lumina datelor clinice.

Pentru a realiza o radiografie pulmonară bună în prezența unor elemente constitutive palide și mobile ale plămânilui și opacitate sporită a elementelor peretelui toracic, teoretic trebuie să se utilizeze focal fin (pentru a micșora flu-ul geometric), distanță focal-film la cel puțin 180 cm, care atenuază contrastul păstrînd în același timp detaliile, debit

ridicat (timp de poză scurt pentru a diminua flu-ul cinetic), stocajul informației (cuplu casetă—film) de mare sensibilitate și definiție precisă.

În acest mod se ameliorează definiția și contrastul imaginii radiologice care permite a se vedea pe radiografii mai mult decât pînă în prezent.

Semiologia radiologică a toracelui și plămînului normal

Imaginea radiologică a toracelui este posibilă datorită contrastelor naturale pe care le creează organele toracice care au structuri și densități deosebite între ele și este un rezultat al absorbției inegale a razeilor X din fascicul cu care examinăm bolnavul (fig. 40).

Modificările patologice sunt apreciate mai ușor dacă se cunosc aspectele radiologice ale toracelui normal și variantele individuale.

Radiologic (fig. 113) toracele prezintă două porțiuni transparente, simetrice situate de o parte și de alta a umbrei mediastinale: cîmpul pulmonar drept și cel stîng.

Această transparență este datorată cantității mari de aer din alveole și slabei densități și opacități a parenchimului pulmonar (densitatea globală a plămînului fiind 0,10 (FRASER și PARÉ)).

Fiecare cîmp pulmonar are formă triunghiulară cu vîrful la deschiderea superioară a toracelui și baza la diafragm.

Pe linia mediană, aceste cîmpuri sunt separate de umbra mediastinală care este mai îngustă cranial și mai largă pe diafragm. Umbra mediastinalului este delimitată de linii și curbe lîne date de conturul cavităților cordului și a vaselor mari.

Conturul ariilor pulmonare este constituit pe plan lateral de succesiunea arcurilor costale, care se întrelăsesc și se suprapun pe linia axilară, la bază de diafragm iar medial de conturul mediastinal (asupra căroră vîm revine ulterior).

La baza hemitoracelui se constată două unghiuri: sinusul costodiafragmatic și sinusul cardiodiafragmatic. În cel cardiodiafragmatic stîng se poate găsi o umbră triunghiulară dată de panicul adipos de la vîrful cordului descris de către SCHWARZ.

Sinusul costodiafragmatic drept este mascat parțial de vena cavă inferioară.

La structura radiologică a imaginii toracice normale contribuie:

— părțile moi ale peretelui toracic (tegumente, țesutul adipos, mușchii) care împreună cu coastele și alte piese scheletice constituie cutia toracică și

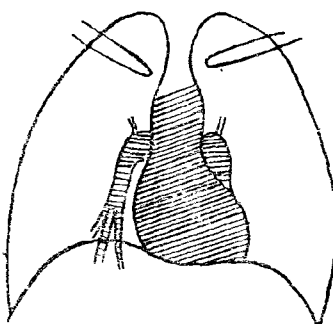


Fig. 113 — Imaginea radiologică a toracelui normal. *Fetburzel al lui SCHWARZ.*

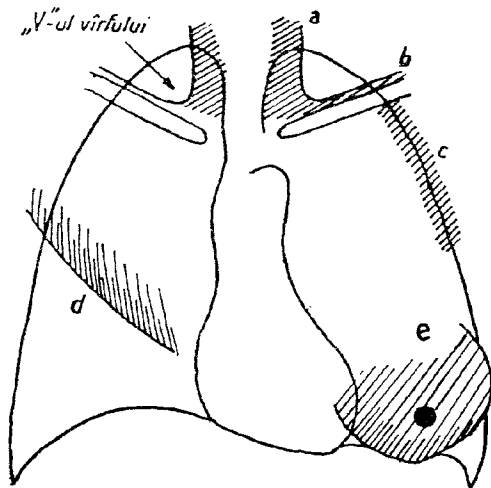


Fig. 114 — Părțile moi ale toracelui care determină umbre pe radiografia pulmonară.

tele care-l acoperă și care se răsfrîng pe marginea lui externă (a) devenind tangente la fasciculul de raze X.

Deasupra claviculei se observă o dungă opacă îngustă care este determinată de tegumentele care acoperă clavicula (b) și care se prelungesc ortoröntgenograd în gropița supraclaviculară (fig. 54, c ori 114, b), realizând linia opacă satelită paralelă cu clavicula.

Linia dată de marginea externă a sternocleidomastoidianului se continuă cu dunga satelită a claviculei și realizează imaginea denumită „V“-ul vîrfului.

Dacă bolnavul nu a fost așezat simetric, sau a întors capul în timpul radiografierii, umbrirea vîrfurilor este asimetrică și unul din „V“-uri poate să nu se vadă.

În regiunea axilară, musculatura puternică a centurii scapulare dă o umbrire difuză (c) în care nu se poate identifica fiecare mușchi în parte.

Singurul mușchi care poate fi recunoscut este mușchiul marele pectoral, mai ales cel din dreapta și se traduce printr-o umbră difuză cu o limită inferioară netă, oblică în sus și în afară (fig. 114, d) care întreține și depășește conturul axilar al hemitoracelui.

Lipsa mușchiului pectoral după operația Halsted poate crea impresia de emfizem.

La femeie, baza plămînului poate fi umbrită la nivelul sînilor sau mamelonului; de asemenea mai pot da false opacități pulmonare tumorile părților moi, sufuziuni sangvine după ventuze, cozile de păr la femei, mărgelele, nasturii etc.

Ca să se stabilească dacă umbrirea este extratoracică sau ține de plămîn, se examinează bolnavul în incidente variate sau se încearcă, sub ecran, mobilizarea mușchiului sau a formațiunii anatomicice respective.

— plămînul propriu-zis cu arborele său vascular, arborele bronșic, ganglionii limfatici și țesutul conjunctiv din spațiul peribronhovascular și din diferite septuri; pleura.

PĂRTILE MOI ALE PERETELUI TORACIC

Pielea, țesutul celular subcutanat și diferite grupe musculare nu determină umbrire radiologică decît în anumite împrejurări.

Vîrful plămînilor (fig. 114) este umbrit simetric în partea lui medială de mușchiul sternocleidomastoidian, care este net delimitat în afară de o linie oblică dată de tegumen-

COMPONENTELE OSOASE ALE IMAGINII TORACICE

Componentele osoase ale toracelui condiționează formă și configurația toracelui; arcurile costale brâzdează transparentă ariilor pulmonare; sternul, clavicula, coloana vertebrală și omoplatul contribuie și ele la realizarea imaginii toracice.

Pe radiografia din față (fig. 115) fiecare coastă apare constituită din două arcuri, formind între ele un unghi pe linia axilară, datorită poziției oblice a coastei față de fasciculul de raze X.

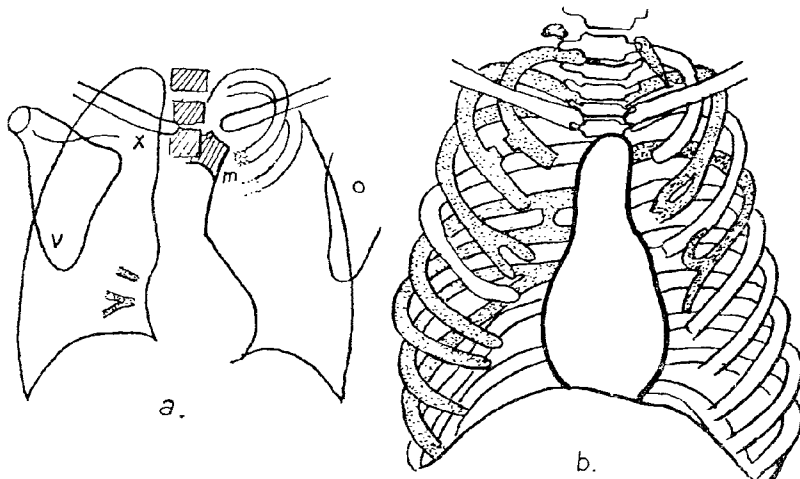


Fig. 115 — Componentele osoase ale imaginii toracice (a) și anomalii costale (b).

Arcul posterior are concavitatea în jos și se proiectează deasupra arcului anterior corespunzător, care este situat mai jos, are concavitatea cranială și este mai scurt.

Marginea inferioară a sănțului costal apare ca o linie opacă, satelită arcurilor costale posterioare.

Anomalii costale modifică imaginea toracică normală și pot fi confundate cu lezuni pulmonare sau cu alte formații patologice (fig. 115, b).

— Coastele cervicale se pot traduce clinic prin sindrom cervico-brachial, iar radiologic prin umbrirea vîrfului plămînului.

— Se poate constata lipsa primei coaste dorsale sau hipoplazia ei.

— Pot exista punți osoase-anastomotice între două coaste,

— sau coaste ramificate-bifide, coaste în butonieră, în paletă.

Cartilajele costale nu se văd radiologic pînă la vîrstă de 30 ani, cînd încep depunerile calcare în primul cartilaj costal.

Ulterior se pot calcifica toate cartilajele costale sub formă de insule sau de benzi care se succed crano-caudal, de o parte și de alta a sternului. Calcificarea cartilajelor 6 și 7 (a) descrie imagini în litera „V“.

Anomalii costale și calcificarea cartilajelor pot sugera, în anumite împrejurări, imprejurări, cavitare sau lezuni infiltrative ale plămînului.

Clavicula se proiectează cu toate caracterele ei anatomici și împarte aria pulmonară într-o regiune a vîrfului pulmonar și o regiune subclavi-

culară, împărțire topografică utilizată încă și astăzi pentru localizarea diferitelor procese patologice ale lobului superior.

Sternul nu se vede pe radiografiile din față corect executate; în schimb, se vede pe radiografiile cu un grad de oblicitate.

Din față, se poate observa numai unghiul superior din stînga al manubriului sau din dreapta și imaginea lui (m) pe conturul mediastinului (Wimberger) nu trebuie atribuită unei hipertrofii ganglionare.

Omoplatul nu se proiectează în ariile pulmonare, dacă brațele bolnavului au avut poziție corectă în timpul radiografiei, de abducție și rotație înăuntru.

Cind omoplatul nu a fost degajat suficient, pe clișeu se poate observa:
— marginea lui vertebrală paralelă cu peretele axilar al toracelui (0)
— spina omoplatului care determină imaginea în „X“ culcat ce poate fi confundată cu scizura orizontală (fig. 115, a), (x) — și unghiul lui inferior (v).

Coloana vertebrală se observă pe radiografiile din față numai deasupra pediculului vascular; mai jos este mascată de umbra vaselor mari și de umbra cordului.

În scolioze, coloana vertebrală și mai ales apofizele transverse pot proemina pe partea convexității și realizează imagini nodulare.

SEMILOGIA PLĂMÎNULUI NORMAL LA ADULT

Plămînul este transparent la razele X pentru că are o densitate globală de 0,10 (FRASER și PARÉ), în această valoare fiind integrată densitatea aerului, a marilor vase sanguine și a țesutului pulmonar, ceea ce ne dă și o relație asupra coeficientului de absorbție a razeilor X.

Imaginea radiologică pe care o determină plămînul cu structură de o mare bogăție și finețe, rezultă din proiecția pe ecran sau pe film a arterei pulmonare cu ramificațiile ei și a conținutului săngin al acestora; ele realizează umbra hilurilor și desenul vascular pulmonar. Celealte componente anatomicice — venele pulmonare, vasele limfatice, ganglionii, nervii și țesutul conjunctiv din spațiile interstitiale peri-bronho-vasculară și din septurile perilobulare — nu determină imagine radiologică atât timp cit sunt sănătoase, decât în măsura în care se suprapun (se sumează sau sustrag desenului arterial).

Acest lucru a fost dovedit prin studii de anatomie radiologică — la început pe cadavră — introducindu-se substanțe opace în artera pulmonară sau în bronhii. Ulterior, cu ajutorul arteriografiei pulmonare și a bronhografiei s-a demonstrat pe viu cu ajutorul substanțelor iodate că ceea ce se numește desen pulmonar are ca substrat structura vasculară arterială a plămînului.

Bronhiile, în traiectul lor, merg alături de ramurile arteriale și se împart identic cu acestea, dar radiologic nu se observă decât imaginea trachei și bronhiilor mari, în timp ce bronhiile mijlocii se observă numai atunci cind se prezintă ortograd față de fasciculul de raze X (fig. 54) și se proiectează sub formă de cercuri transparente cu diametrul de 3—5 mm; cele orientate în plan frontal nu se observă radiologic. Numai bronhia lobară inferioară dreaptă se poate vedea uneori în lungul ei.

Bronhiile contribuie la imaginea radiologică a desenului pulmonar, ca și celealte elemente menționate mai sus, în măsura în care imaginea

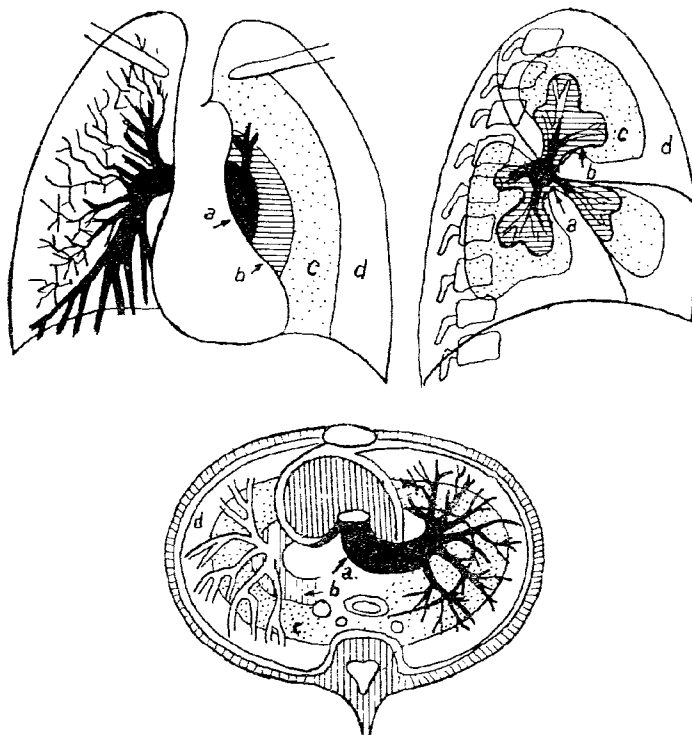


Fig. 116 — Teritoriile desenului vascular al plămâinului după FELIX.

lor se sumează sau se sustrage din imaginea ramurilor arteriale, atenuind opacitatea ramurilor arterei pulmonare sau scoșindu-le în relief cînd ramurile bronhice săint adiacente și paralele cu cele arteriale (fig. 132).

Desenul pulmonar variază în raport cu locul unde îl studiem. FELIX descrie trei teritorii principale și caracteristice desenului pulmonar (fig. 116):

- regiunea hilului (a) care constituie nucleul opac al plămînului;
- regiunea desenului principal (b) unde se constată numeroase ramificații din arterele lobare, care avînd densitatea egală cu 1, realizează imagini radiologice vizibile;
- regiunea rețelei secundare (c) de o finețe deosebită, fiecare linie opacă rezultînd din suprapunerea mai multor elemente vasculare și septuri conjunctivale.

La periferie se găsește mantia pulmonară (d), groasă de circa 2 cm, care este stratul periferic din parenchim, unde nu se observă desenul pulmonar din cauza dimensiunilor reduse ale ramificațiilor vasculare, ce nu mai sint capabile să determine imagine radiologică, ci doar un voal, „le bruit de fond“ radiografic al parenchimului.

Hilurile. Prin hil se înțelege regiunea unde vasele și bronhiile ies din mediastin și pătrund în parenchimul pulmonar.

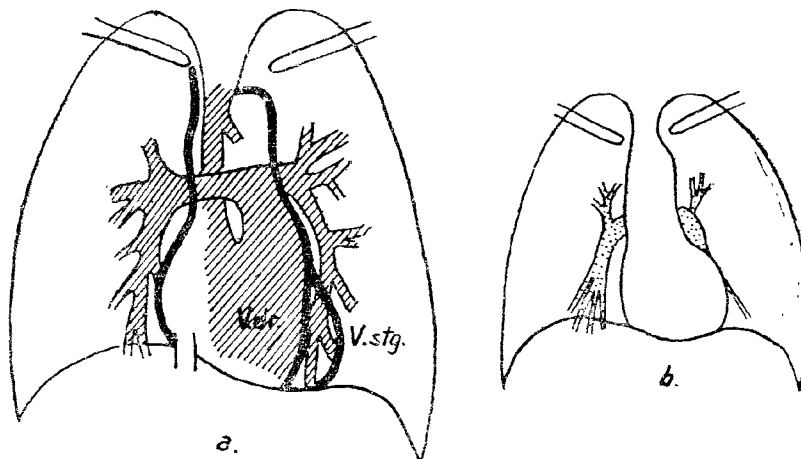


Fig. 117 — Corespondența între ramurile arterei pulmonare (a) și hilul pulmonar b).

Artera pulmonară se împarte în mediastin în două ramuri principale care conduc singele la plămînul drept și la stîng (fig. 117, a).

Fiecare ram arterial reprezintă componenta principală opacă a hilului; la ieșirea din mediastin, ramul arterei pulmonare este situat pe plan anterior bronhiei principale respective și are forma unui arc de cerc, a unei virgule, a unei paranteze cu convexitatea în afară (fig. 117, b).

Artera pulmonară dreaptă este mai largă; călătoarește mai mult prin mediastin, este mai lungă și proemină mai adinc în aria plămînului respectiv, decât artera pulmonară stîngă care este mascată în parte de umbra cordului. Din cauza formei sale, unii autori numesc porțiunea arterei pulmonare din hil — cîrja arterei pulmonare.

Din aceasta se detașează trunchiul arterial pentru lobul superior. Acesta este scurt, descrie o cîrjă mai mică ce se ramifică repede în 3—4 ramuri segmentare, luînd adesea înfățișarea unui candelabru cu tot atîtea brațe.

Rețeaua principală. Din arterele pulmonare dreaptă și stîngă iau naștere trunchiurile lobare, împreună cu care formează umbra hilului (fig. 118); în dreapta umbra lui este comparată cu o aripă de fluture cu nervuri (a) și este mai jos situată decât în stînga, umbră care are aspect de jumătate de cerc cu mai multe raze (b).

În hilul drept, trunchiul arterei pulmonare și ramurile lobare sunt separate de umbra mediastinului printr-un spațiu transparent denumit spațiu intercardio-vascular al lui DELHERM și CHAPEROON (c).

În hilul stîng, trunchiul arterei pulmonare nu este detașat de umbra mediastinului, iar ramul lobar inferior se pierde în umbra cordului; spațiu clar intercardio-vascular nu se vede.

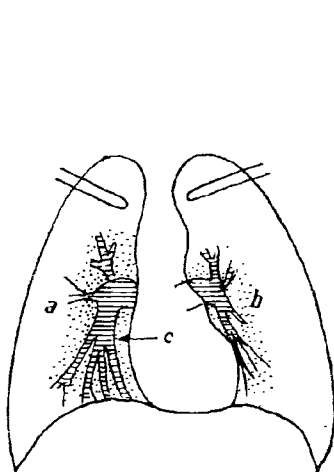


Fig. 118 — Aspectul radiologic al hilurilor.

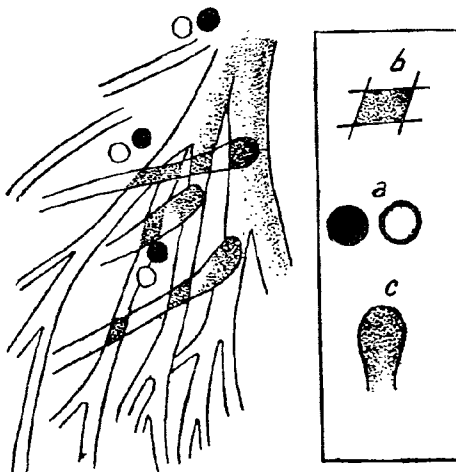


Fig. 119 — Desenul principal și nodului vascular opaci.

La persoanele longilinii umbrele arterelor pulmonare (umbrele hilare) sunt depărtate de mediastin și pot fi comparate cu toarte de amforă (fig. 437).

La persoanele brevilinii hilurile dezvoltate antero-posterior sunt mascate de umbra cordului care are tendință să se dezvolte transversal.

Desenul principal. Din trunchiurile arteriale lobare iau naștere vase, capabile fiecare să dea umbre radiologice, care iradiază divergent de la hiluri spre periferie, constituind desenul principal.

La nivelul desenului principal se observă benzi opace date de vasele situate în plan frontal care sunt orientate în diferite sensuri (fig. 119) și din întretăierea umbrelor rezultă o imagine în rețea, denumită rețeaua principală de către STEPHANI.

În ochiurile acestei rețele se găsesc noduli opaci (a) rezultați din proiecția ortogradă a vaselor orientate în plan sagital, alăturați inelului transparent al bronchiei respective (imagini gemene), opacități rombice (b), rezultate din întretăierea optică a diferitelor elemente vasculare care au traiectul în plan frontal, opacități ovoidale (c) date de ramurile care se desprind dintr-un trunchi vascular mai important, care inițial călătoresc în plan sagital și apoi își schimbă direcția.

Rețeaua secundară (fig. 122). Elementele vasculare din rețeaua principală își diminuă calibrul pe măsură ce se depărtează de hil și se împart în ramuri secundare, terciare, terminale, epuizându-se în arterele lobulare.

Rețeaua secundară este constituită din ramuri vasculare subțiri care se proiectează ca niște linii orientate în diferite sensuri, ce se întrelapă și descriu ochiuri; imaginea rețelei secundare variază în diferite portiuni ale ariei pulmonare.

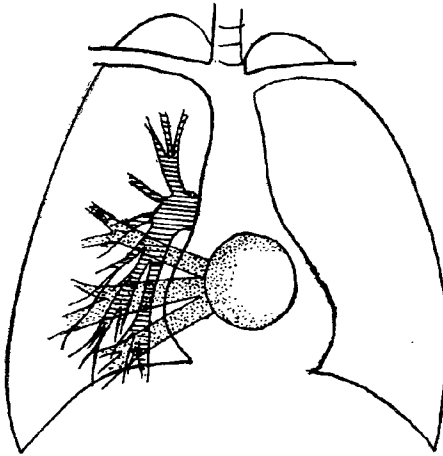


Fig. 120 — Venele pulmonare la baza dreaptă sunt perpendiculare pe ramurile arteriale.

Venele pulmonare în poziție ortostatică nu sunt vizibile decât la baze pe radiografia standard și în jurul hilurilor pe radiografii cu raze dure. Venele pulmonare care se reunesc în atriu stâng (fig. 120) au alte direcții decât arterele respective și nu sunt satelite nici ale bronhiilor; ele sunt relativ orizontale pentru lobul inferior și sunt perpendiculare pe ramurile arteriale.

Impărțirea ariilor pulmonare. Ariile pulmonare pot fi împărțite convențional în sens vertical în trei etaje, separate prin linii orizontale care trec — prin extremitatea anteroioară a coastelor 2 și 4 sau — prin polul superior și inferior al hilului (fig. 121).

Etajul superior este împărțit de clavicolă în: porțiunea vîrfului și porțiunea subclaviculară — infracleidohilară — a lui Léon Bernard.

Etajul mijlociu este împărțit printr-o linie verticală în: regiunea axilară și porțiunea hilului propriu-zis.

Etajul inferior este împărțit printr-o linie verticală în: regiunea sinusului costo-diafragmatic și regiunea sinusului cardio-diafragmatic.

În etajul superior, rețeaua vasculară secundară se observă pe radiografii pînă spre umbra claviculei, rareori depășește clavicula, cranial. La acest nivel (fig. 122) desenul rețelei secundare are formă de Y-uri (a) datorită vaselor care se bifurcă și se subțiează atât de mult încît mai departe spre periferie nu mai pot realiza imagine radiologică și par că se termină.

În regiunea axilară, desenul pulmonar al rețelei secundare are formă areolară (b); se constată figuri geometrice cu ochiuri poligonale cu latura de 1 cm, cu ochiuri ovoide sau cercuri.

În regiunea hilului se găsește desenul principal și umbra hilului propriu-zis (d).

În etajul inferior — spre sinusul costo-diafragmatic — desenul pulmonar este identic, dar orientat invers decât în regiunea subclaviculară și realizează aspectul de λ (c).

În porțiunea medială a bazei se observă numai rețeaua principală sub formă de benzi vasculare care pleacă spre hil, întreținând diafragmul și se pierd în umbra hepatică.

Tipurile de desen pulmonar. Desenul vascular variază de la individ la individ dar, în principiu, se descriu următoarele tipuri:

- desenul magistral, denumire dată în 1933 de către O. DEHN, Moscova, care este caracterizat prin vase proporționate ce călătoresc în plan frontal, se împart dicotomic și se subțiesc armonios spre periferie (fig. 123, a).

- la alte persoane, desenul vascular este bogat, cu vase numeroase și cu lumen larg (fig. 116).

— în alte cazuri este sărac, constituit din vase subțiri și reduse numeric.

Traiectul vaselor (fig. 123) poate fi:

— predominant în plan frontal și se proiectează sub formă de benzi opace (a);

— alteori vasele călătoresc în plan sagital și în acest caz, în regiunea hilurilor, în loc de benzi se observă numeroși noduli și puncte opace (b) realizând desenul numit ortograd.

Benzile vasculare pot avea traiect liniar, alteori arciform sau curb. Desenul arciform (curbiliniu, c) poate realiza în jurul hilurilor imagini care se confundă cu caverna tbc, sau cu chistele aeriene.

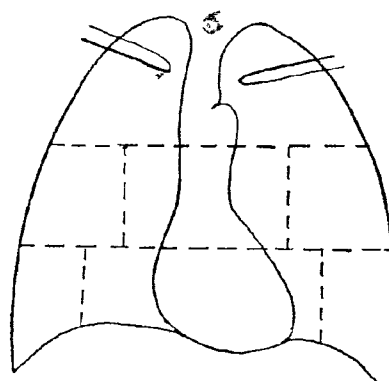


Fig. 121 — Impărțirea convențională, prin planuri ipotetice, a ariilor pulmonare.

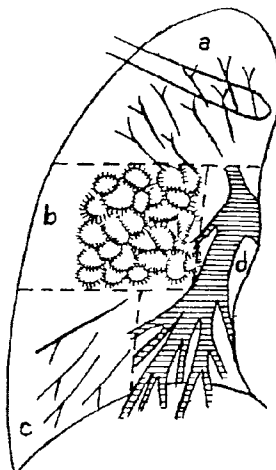


Fig. 122 — Hilul și caracterele rețelei vasculare secundare în diferite regiuni ale ariei pulmonare.

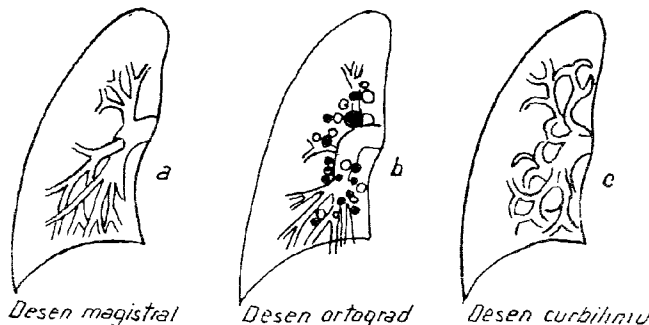


Fig. 123 — Diferite tipuri de desen vascular.

TORACELE ȘI DESENUL VASCULAR LA COPIL

La foetus și copiii născuți morți, toracele are aspect de clopot (fig. 124, a), cu contururi laterale concave și, cum plămînul nu este ventilat, radiologic toracele apare umbrit.

În primele zile după naștere se găsesc focare umbrite de atelectazie, dar în timp ce plămînii se ventilează, se instalează transparența pulmonară caracteristică. Pe măsură ce copilul se dezvoltă, toracele capătă formă cilindrică (fig. 124, b), iar mai tîrziu de ou sau de butoi (fig. 124, c).

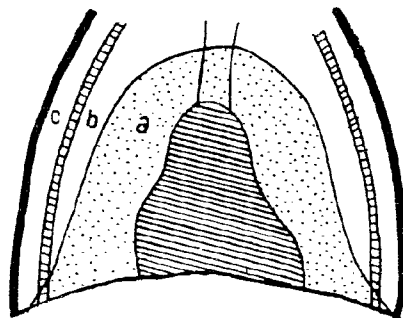


Fig. 124 — Toracele la nou născut (a), la copil (b) și la adult (c).

Cu cît copilul este mai mic, desenul vascular este mai sărac. În regiunea hilurilor se observă vase ortograde, care iau aspectul de noduli opaci. Aceștia nu trebuie să se confundă cu nodulii patologici din tuberculoza hilului determinați de adenopatii.

La omul în vîrstă, umbra hilului este mai accentuată și desenul pulmonar mai evident. În hil se constată cicatrici care fac dovada bolilor din trecutul său pulmonar.

IMAGINEA TORACELUI DIN PROFIL

Examenul radiologic din profil al toracelui are o importanță deosebită pentru că permite situaarea în spațiu a diferitelor organe sau focare patologice, precum și aprecierea lor tridimensională. Această incidentă are o importanță deosebită pentru studiul segmentelor de ventilație deoarece desfășoară regiuni invizibile pe imaginea din față: partea posterioară a bazei plămînului, mediastinul cu spațiile lui clare și organele mediastinale.

Imaginea toracelui din profil (figura 125) are formă de ogivă și este ocupată de două formațiuni opace: coloana vertebrală posterior și cordul cu pediculul vascular anterior.

La nivelul mediastinului posterior (a) se constată o zonă transparentă în formă de bandă situată între coloană și limita posterioară a siluetei cardio-vasculare.

O altă zonă transparentă este situată între stern și față anteroiară a pediculului vascular și aceasta are formă triunghiulară cu baza în sus și cu vîrful în jos. Este spațiul clar retrosternal al lui GRAWITZ (b).

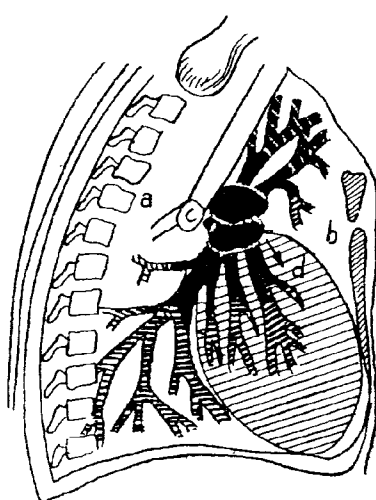


Fig. 125 — Imaginea din profil a toracelui.

În mediastin se observă imaginea traheei care se traduce printr-o bandă transparentă care coboară de la partea superioară a regiunii cervicale și se bifurcă la nivelul corpului vertebral D₅.

Bronhiile principale se pot vedea pe o lungime de 2—3 cm; bronhiile mai înguste nu se observă decât ortograd.

Bifurcația traheei constituie hilul aerian al plămînului care, pe schemele radioscopice, se înseamnă cu un cerc (c).

În fața hilului aerian se proiectează un simbure opac (d) de la care pleacă prelungiri spre lobul superior și inferior ale plămînilor; simbulre opac este constituit din arterele pulmonare, văzute ortograd și suprapuse (dreapta cu stînga), iar prelungirile sunt date de ramurile lor. Imaginea radiologică se numește *hil vascular* și este comparată cu un păianjan cu piciorușe multiple (d). Desenul pulmonar principal și rețeaua secundară nu pot fi studiate pe imaginea din profil, din cauza suprapunerii desenului din ambele hemitorace și din cauza timpului de expunere mai lung, factori care fac ca desenul să nu aibă preciziune. În schimb, se pot studia scizurile și sinusul costo-diafragmatic posterior.

Pe schițele de la fig. 126 se poate constata importanța radiografiei în două incidențe pentru localizarea unei umbriri la nivelul hilului.

IMAGINEA TORACELUI ÎN POZIȚIILE OBLICE

Imaginea toracelui în pozițiile oblice este utilă pentru disocierea imaginii diferitelor organe situate în mediastin, pentru studiul vîrfurilor care se degajează pe rînd în incidență proprie fiecăruia, pentru studiul segmentelor postero-inferioare, pentru localizarea în profunzime a diferitelor procese patologice.

Cele patru poziții oblice: O.A.D. și O.A.S. și complimentarele O.P.S. și O.D.P. le vom studia detaliat la aparatul cardio-vascular (fig. 409—412).

PLEURA

Pleura normală nu determină imagine radiologică decât în cazurile cînd este văzută tangențial (ortograd) sau este contrastată negativ prin aer pe ambele ei fețe (pneumotorax). Astfel, la vîrful plămînului (fig. 127) pleura se vede sub forma unei benzi umbrite semilunare de 2 mm lățime, numită *umbra de însoțire a celei de a doua coaste* (a) după denumirea lui ALBERS—SCHÖNBERG.

Cînd marginea inferioară a benzii este dințată, imaginea este patologică, expresie a unei pleurite apicale (SERGENT).

Scizura orizontală dreaptă se poate vedea uneori la copiii sănătoși ca o linie subțire „ca un fir de păr“ (b), care se întinde între peretele axilar al toracelui și hil, mergînd paralel cu coasta a IV-a (HOTZ).

Pe radiografiile executate în poziție oblică se poate vedea pleura normală sub forma unei linii sinuoase care se întinde în lungul grilajului axilar al toracelui (c) — *linia pleurală* a lui DUFOURT.

Scizurile pulmonare, în cazul cînd se văd radiologic, permit identificarea lobilor și a segmentelor de ventilație. În dreapta, pe imaginea din profil (fig. 128), scizura oblică (a), pleacă de la corpul vertebral D₃, de la

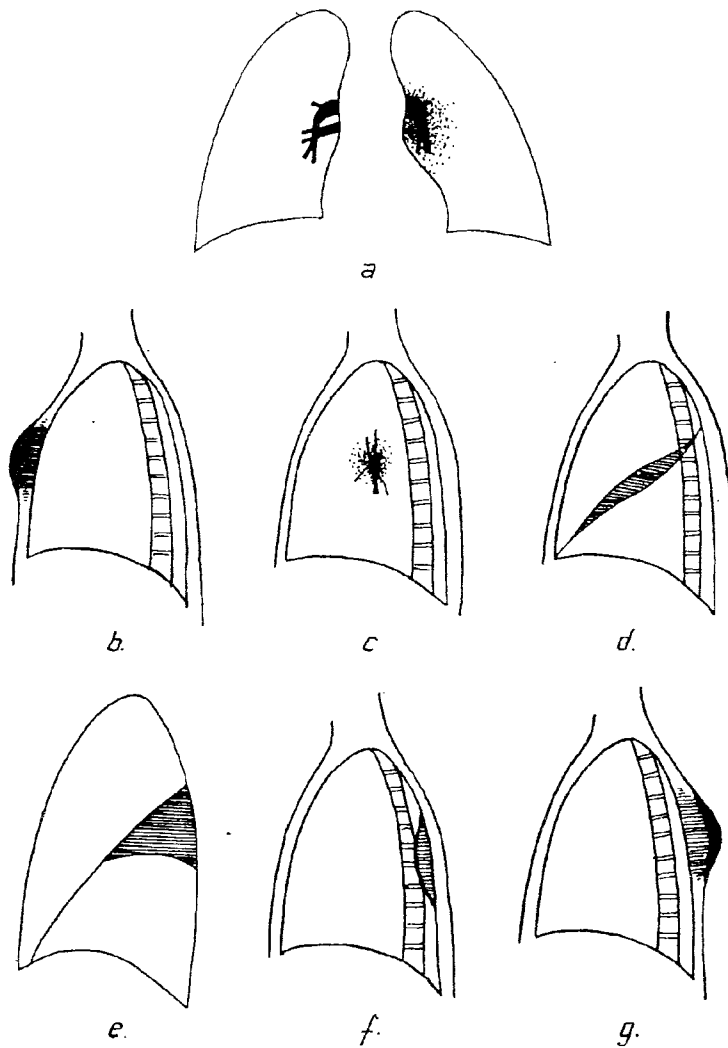


Fig. 126 — Procesul patologic care se proiectează ca o umbră la nivelul hilului stîng (a) poate să fie datorat unui proces al părților moi ale peretelui anterior (b) sau posterior (g) al toracelui, hipertrofiei gânglionare din hil (c), unei colecții interlobare (d), unei pneumonii a segmentului Fowler (e) sau unei colecții pleurale închisate la peretele posterior al toracelui (f).

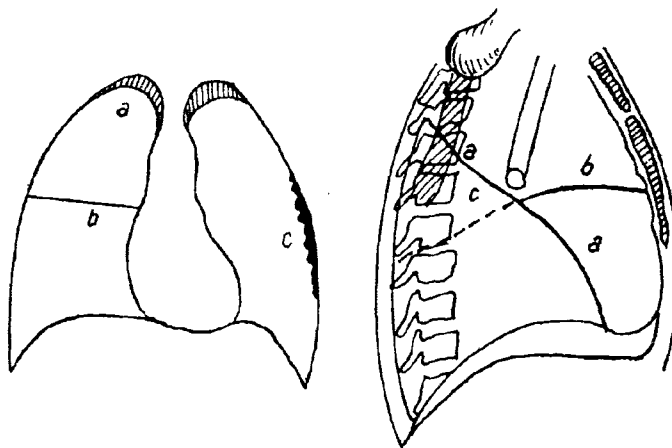


Fig. 127 — Vizibilitatea pleurei:

a — umbra de însoțire a celei de a II-a coaste, b — mica scizură, c — pleura parietală.

coasta a III-a, posterior, are direcție oblică în jos și înainte și atinge diafragmul la un lat de palmă în spatele sternului.

Scizura orizontală din dreapta (b) se detasează din scizura oblică în dreptul hilului aerian, este orientată spre stern și merge paralel cu coasta a IV-a.

În dreapta, în 15—20% din cazuri poate exista o scizură supranumerară orizontală posterioară completă sau incompletă, care separă *vîrful lobului inferior* al lui FOWLER, delimitând *lobul intermediar* al lui DÉVÉ de baza lobului respectiv (c).

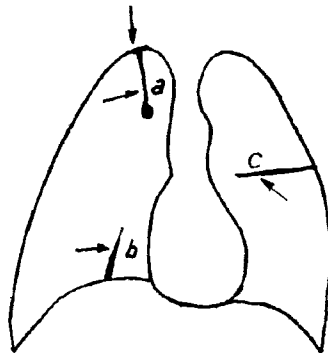


Fig. 129 — Scizuri supranumerare:
a — bulbul venei Azygos cu scizura care delimită lobul intermediar al lui WRISBERG,
b — scizura infracardiacă, c — scizura orizontală stînga.

Fig. 128 — Scizurile pulmonare pe imaginea din profil.

Scizura infracardiacă izolează în dreapta un lob supranumerar (fig. 129, b) și poate fi întîlnită în 5—20% din cazuri; în stînga ea lipsește.

Mezoul azygos (fig. 129, a) se proiectează ca o linie subțire care pleacă de la o umbră triunghiulară situată pe conturul vîrfului plăminului drept și se întinde pînă la bulbul ectopic al venei azygos, secționind și izolind, din parenchimul lobului superior, un lob supranumerar *parmediastinal* al lui WRISBERG.

Scizurile supranumerare sunt mai puțin frecvente la stînga.

Prin *tramă pulmonară* BESANÇON înțelege țesutul conjunctival și limfatic, care se găsește în spațiile interstîiale peribronho-vasculare și sub pleură, constituind un fel de mortar între elementele anatomicice care constituie plăminul.

Topografia segmentară a plămînului

Cunoscind traiectul planurilor scizurale și proiecția lor în torace — în diferite incidente — se pot delimita lobii, se poate localiza sediul differitelor procese patologice în raport cu lobii și cu scizurile — care sunt modificate și se văd radiologic în majoritatea afecțiunilor acute și cronice ale plămînului.

Localizarea proceselor patologice în plămîn trebuie să se efectueze cu cît mai mare precizie și în termeni ușor de înțeles pentru internist și chirurg. Pentru aceasta, pînă nu de mult se utiliza schema convențională cu etajele pulmonare de la fig. 121 sau cel mult se făcea localizarea în lobi. Atît timp cît se știa că plămînul este constituit din lobi, atît radiologul și și clinicianul erau satisfăcuți de localizarea lobară a proceselor patologice.

În prezent, datorită utilizării substanțelor iodate de contrast cu care se realizează bronhografia și angiografia pulmonară și datorită chirurgiei toracice, s-a văzut că fiecare lob în parte este constituit din 3—4 segmente de ventilație în raport cu care trebuie să se facă localizarea radiologică a proceselor patologice.

Prin segment de ventilație se înțelege o porțiune dintr-un lob care este:

- o unitate anatomică, izolată de celelalte porțiuni prin septuri conjunctive sau pleurale;

- o unitate fiziologică, pentru că are bronhii și vase aparte și, prin aceasta, există posibilitatea să se extirpe chirurgical un segment fără să se pericliteze integritatea celorlalte segmente sau a lobului în totalitate.

- segmentul de ventilație este o unitate fiziopatologică pentru că cele mai multe afecțiuni (pneumonia, tuberculoza, atelectazia etc.) au tendință să se localizeze la un segment de ventilație și realizează umbriri sistematizate, tipice pentru segmentele de ventilație respective, denumite de GIBERT *blocuri de condensare*.

Schema segmentelor de ventilație, descrisă mai jos, se bazează și se calchează pe schema arborelui bronhic.

SCHEMA ARBORELUI BRONHIC

Traheea se împarte la nivelul vertebrei D₅ în două bronhii principale: una dreaptă și una stîngă (fig. 130) care fac între ele un unghi de 70°—80° și se împart fiecare în trunchiuri lobare. Între bronhiile principale se află pintenul traheal sau *carena*.

Bronhia principală dreaptă, la 2,5 cm de bifurcația traheei, emite trunchiul lobar superior (1) ce se împarte în 3 sau 4 bronhii segmentare, care merg la segmentul de ventilație apical, la segmentul posterior și la cel anterior. Bronhia segmentului de ventilație axilar are origine variabilă; ea se poate naște ca un ram aparte din trunchiul lobar superior care, în acest caz, seamănă cu un candelabru cu patru brațe, dar poate avea originea din ramul bronhic segmentar posterior sau ramul bronhic segmentar anterior al trunchiului lobar superior (SOULAS).

Trunchiul lobar mijlociu (2) se naște de pe fața anterioară a bronchiei principale la ora 12 și se împarte în două ramuri:

- un ram postero-extern care merge la segmentul de ventilație axilar și
- un ram antero-intern care merge la segmentul de ventilație antero-intern.

Trunchiul lobar inferior (3) se împarte în 5 ramuri:

— ramul cel mai important, numit bronchia lui Nelson merge posterior și ventilează segmentul apical al lobului inferior cunoscut sub numele de vîrful lui Fowler (a) realizând lobul mijlociu posterior DÈVÈ în cazul cînd este separat de bază printr-o scizură supranumerară.

— ramul infracardic ventilează segmentul cu același nume, care în cazul cînd este izolat printr-o scizură supranumerară se numește lob infracardic (b).

RAMIFICĂȚIILE ARBORELUI BRONHIC

Trachea 0

Bronhia principală 1

Bronhiile lobare 2

Bronhiile segmentare 3

Bronhiile subsegmentare 4

Bronhiile lobulare

Bronhiile terminale verus: acin mare

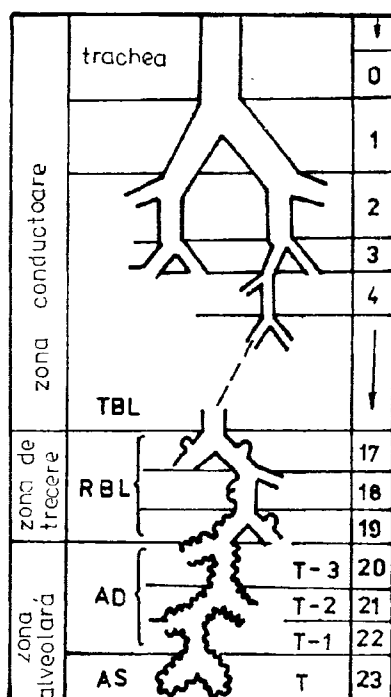
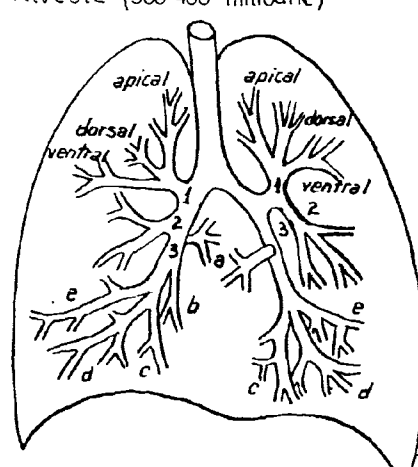
Bronhiile alveolare: acin mic

Br. respiratorii I, II, III

Ductus alveolis

Sac aerian

Alveole (300-400 milioane)



CAILE AERIENE

Fig. 130 — Arborele bronhic și ramificațiile lui (după WEIBEL).

Trunchiul lobar inferior se termină cu 3 ramuri bronhice segmentare:

- un ram posterior (c);
- unul anterior (d) și
- un ram lateral sau terminal (e),

ramuri ce merg la segmentele de ventilație cu același nume.

Bronhia principală stîngă, se împarte în două trunchiuri lobare:

- unul lobar superior
- și altul
- lobar inferior.

Trunchiul lobar superior stîng dă naștere la două trunchiuri bronhice din care se desprind bronhiile segmentare echivalente cu cele care în dreapta merg la lobul superior (culmen) și la lobul mijlociu (lingule).

Trunchiul lobar inferior stîng se împarte numai în 4 ramuri bronhice, deoarece ramul infracardic lipsește.

Există deci o analogie a celor 2 plămîni; cele 2 arbore bronșice sunt simetrice.

SEGMENTELE DE VENTILAȚIE ȘI CIRCULAȚIE (ZONELE PULMONARE)

Anatomic, fiecare segment de ventilație are formă de piramidă (Westermark, fig. 131). Baza piramidei este orientată totdeauna spre periferia toracelui (spre mantie — spre pleură) și este situată la peretele toracic sau spre diafragm;

— vîrful piramidei este ascuțit sau trunchiat și este orientat spre hilul plămînului, regiune de unde segmentul respectiv primește vasele și bronhiile sale.

Vîrful fiecărui lob și segment de ventilație — denumit de către FELIX rădăcină — este ocupat de ramificațiile bronhice și vasculare care sunt grupate la început (figura 132, c), dar care se răspîndesc ulterior în nucleul segmentului de ventilație (B), fiind separate între ele prin lobuli pulmonari centrali mai mult sau mai puțin dezvoltăți — pînă ce intră în mantie (A), în care lobulii sunt deplin dezvoltăți.

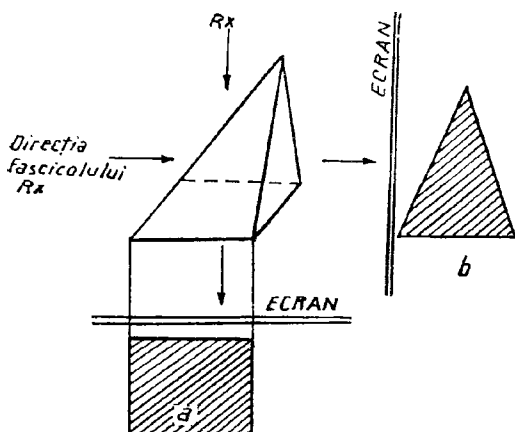


Fig. 131 — Proiecția unei piramide în cele două incidente complementare.

Pentru a înțelege gama de imagini pe care o realizează diferitele segmente de ventilație (fig. 134) trebuie să studiem posibilitățile de proiecție plană a unei piramide văzută în diferite incidente la razele X (fig. 131).

— Cind piramida este văzută ortograd (în lungul axului ei), umbra proiectată are forma bazei sale — formă patrulateră (a).

— Cind piramida este văzută oblic sau din profil, umbra sa are formă triunghiulară (b). În practică segmentele de ventilație pot fi studiate mai ales în pneumonii în blocurile de condensare GIBERT.

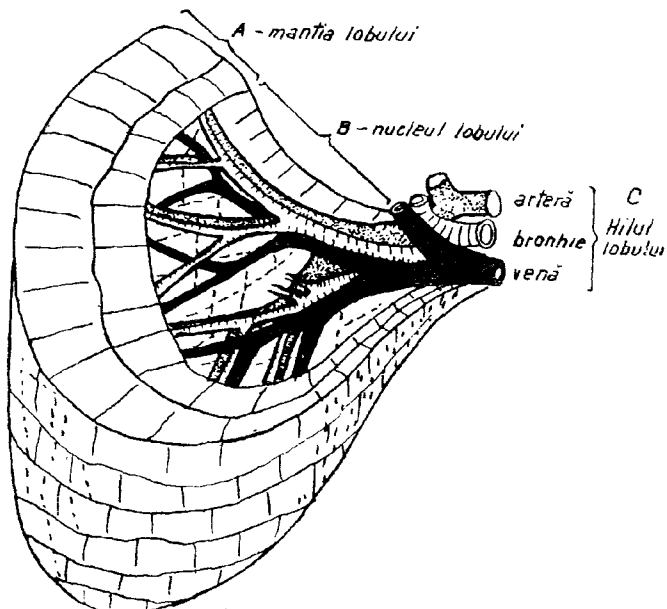


Fig. 132 — Concepția lui FELIX asupra structurii lobului pulmonar.

Conturul radiologic al segmentelor, laturile umbrei triunghiulare sunt pierdute și neprecise spre segmentele vecine din același lob de care este separat prin septuri conjunctivale avasculare, pentru că la acest nivel unii lobuli sunt mai proeminenți decât alții și se întrepătrund cu lobulii segmentului de ventilație sănătos, iar limita dintre segmente nu este liniară, pe un singur plan, ci pe o serie de planuri.

Laturile umbrelor segmentare spre lobii vecini sunt precise și liniare, pentru că sunt constituite de scizuri la care parenchimul segmentului se oprește brusc, scizuri ale căror foițe pleurale participă, ele însăși, la procesul patologic condensant, sunt îngroșate, opace. Pentru studiul segmentelor de ventilație, bolnavul trebuie examinat din mai multe incidente și radiografile vor fi făcute obligatoriu din față (incidentă postero-anterioară) și din profil.

Lobul superior drept ocupă porțiunea anterioară a jumătății superioare a hemitoracelui (fig. 133) și corespunde:

- superior — vîrfului cutiei toracice;
- posterior, lateral și anterior — primelor 4 coaste;
- baza lobului superior este constituită din marea și mică scizură, care fac un unghi obtuz între ele.

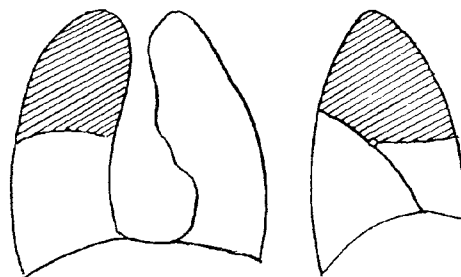


Fig. 133 — Spațiul ocupat în hemitorace de lobul superior drept.

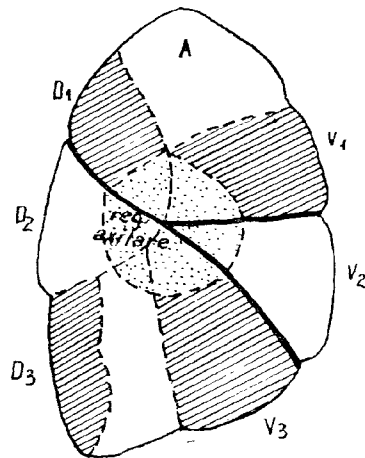


Fig. 134 — Lobii și segmentele de ventilație ale plămînului drept, văzute pe linia axilară.

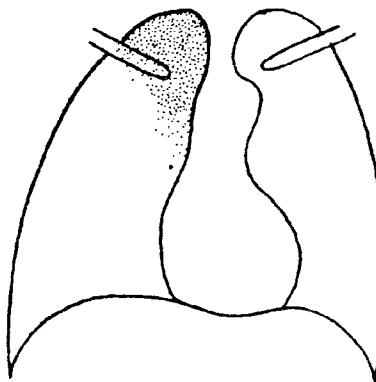


Fig. 135 — Segmentul apical al lobului superior drept în proiecția din față.

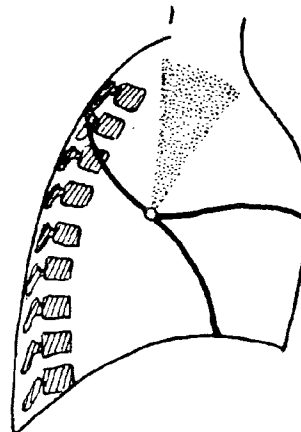


Fig. 136 — Segmentul apical și sciurile plămînului drept în proiecția din profil.

Lobul superior drept este alcătuit din 4 segmente de ventilație: apical, posterior, anterior și axilar. Acestea se proiectează anatomo-radiologic în spațiul pe care am văzut că-l ocupă în hemitorace, ca pe figurile 133 și 134.

1. *Segmentul apical*, în caz de procese condensante (pneumonie), pe imaginea din față (fig. 135) se proiectează ca o umbră triunghiulară juxta-mediastinală care are:

- baza superior și vîrful la hil

— o latură la mediastin cu care se confundă și o limită externă care este neprecisă și se pierde treptat spre luminozitatea plămâinului.

Segmentul apical este împărțit de către umbra claviculei în două regiuni:

- regiunea vîrfului (regiunea supraclaviculară) și
- regiunea intercleido-hilară (Léon Bernard).

Din profil (fig. 136), segmentul apical realizează, de asemenea, umbră triunghiulară care are sediul median și în sens antero-posterior este situată pe același plan (sagital) cu hilul aerian:

- baza umbrei este situată cranial,
 - vîrful este orientat în jos, spre hil,
 - limita anterioară spre segmentul de ventilație anterior al lobului superior este neprecisă ca și
 - limita posterioară, orientată spre segmentul de ventilație posterior.
- Scizura bulbului venei Azygos izolează din parenchimul vîrfului lobul intermediar al lui WRISBERG* (fig. 129).

2. Segmentul de ventilație posterior al lobului superior (zona dorsală superioară sau D₁) are anatomic forma de piramidă trunchiată.

Pe imaginea din față (fig. 137) se proiectează ca o umbră triunghiulară, cu baza la peretele axilar al toracelui și vîrful la hil.

Umbra are marginea inferioară netă, precisă din cauză că este constituită în parte din scizura orizontală, iar latura superioară este pierdută în regiunea subclaviculară spre segmentul de ventilație apical.

Din profil (fig. 138), segmentul posterior al lobului superior își păstrează radiologic aceeași formă triunghiulară dar, baza triunghiului se proiectează la peretele posterior al toracelui și pe coloană, iar vîrful trunchiat este orientat anterior, spre hilul aerian.

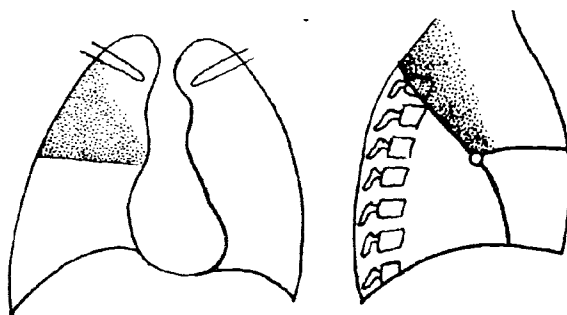


Fig. 137 — Segmentul de ventilație posterior, (D₁); din față.

Fig. 138 — Segmentul de ventilație posterior, (D₁); din profil.

Din profil, limita inferioară a segmentului este constituită de marea scizură și de o porțiune a micii scizuri și este netă; limita superioară este pierdută spre segmentul apical.

Segmentul de ventilație dorsal superior este interesat foarte frecvent în pneumonie, abces pulmonar, infiltrații tbc.

3. Segmentul de ventilatie anterior (ventral superior sau V_1) pe *imaginea din față* (fig. 139) are formă triunghiulară:

- cu baza la peretele axilar al toracelui și
- virful spre hil; umbra are aceeași formă și sediu ca și a segmentului de ventilatie posterior, descris deja, cu care se poate confunda uneori pe radiografiile din incidentă P.A. standard.

Din profil, însă, (fig. 140) se constată că triunghiul umbrit dat de segmentul anterior este orientat invers și

- are baza la peretele anterior al toracelui,
- în timp ce virful este orientat posterior spre hil; limita inferioară constituță din mica scizură este netă, iar limita superioară se pierde către segmentul apical.

4. Segmentul axilar superior, sau A_1 este ventilat de o bronchie care are origine variabilă, de aceea și teritoriul segmentului poate avea sediu și forme ușor variabile.

Din față (fig. 141), segmentul axilar se proiectează ca un triunghi sau ca o bandă care se întinde între:

- peretele axilar al toracelui și hil, în lungul scizurii orizontale;
- limita inferioară a umbrei este netă (scizurală);
- iar limita superioară este pierdută spre regiunea subclaviculară.

Imaginea este caracteristică pe radiografia *din profil* (fig. 142), incidentă în care se constată o umbră rombică situată deasupra hilului aerian,

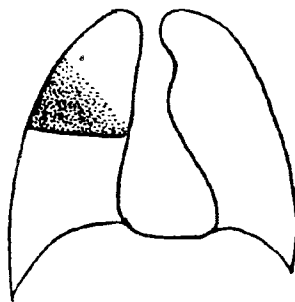


Fig. 139 — Segmentul de ventilatie anterior, (V_1); din față.

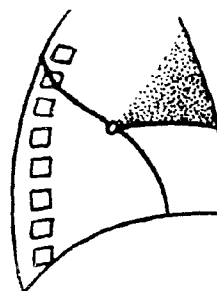


Fig. 140 — Segmentul de ventilatie anterior al lobului superior drept, (V_1); din profil.

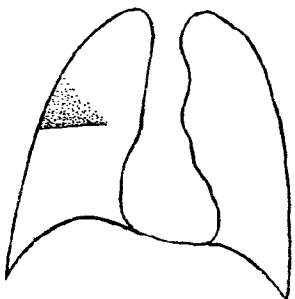


Fig. 141 — Segmentul de ventilatie axilar, (A_1); din față.



Fig. 142 — Segmentul de ventilatie axilar, (A_1); din profil.

în fata coloanei, romb care are două laturi inferioare precise — scizurale și două laturi superioare pierdute spre segmentul de ventilație posterior și spre cel anterior (WAREMBURG și GRAUX).

Cind bronchia axilară nu pleacă direct din trunchiul lobar superior, ci ia naștere din bronchia posterioară, umbra segmentului axilar se proiectează mai posterior, față de hilul aerian.

— iar cind bronchia de ventilație a segmentului axilar ia naștere din ramul anterior, segmentul de ventilație axilar, pe imaginea din profil, este situat anterior față de hilul aerian și poate avea formă triunghiulară.

Lobul mijlociu. Față anterioară a lobului mijlociu se proiectează la peretele toracic anterior drept între cartilajele costale 4 și 6, și se întinde de la stern spre linia axilară anterioară.

— Față inferioară a lobului mijlociu corespunde în 2/3 marii scizuri, iar 1/3 se sprijină pe diafragm.

— Față superioară corespunde micii scizuri.

Radiologic, pe *imaginăea din față* (fig. 143) în cazul unor procese inflamatorii, lobul mijlociu se proiectează ca o umbră, ce ocupă jumătatea inferioară a hemitoracelui, de la hil pînă la diafragm, pe care-l respectă în parte ca și transparența sinusului costo-diafragmatic respectiv.

— Limita superioară este netă (mica scizură).

— Limita inferioară este pierdută spre diafragm și sinusul costo-diafragmatic.

Dacă se așează bolnavul *în lordoză incidentă FLEISCHNER, din față* (fig. 143, b), umbra lobului mijlociu „se contractă“, poate fi mai densă

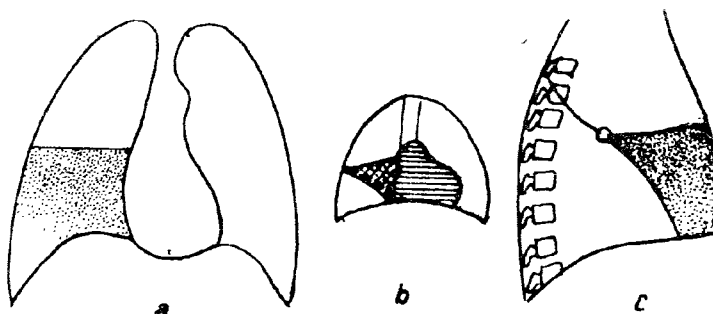


Fig. 143 — Lobul mijlociu: a — față; b — lordoză; c — profil.

și are formă triunghiulară, cu baza la mediastin și vîrful spre peretele axilar al toracelui, cu ambele laturi precise, scizurale, realizînd imaginea „în pandă“ descrisă de KOPSTEIN.

Imagine caracteristică a lobului mijlociu se obține *din profil* (fig. 143, c), incidentă în care se constată o umbră triunghiulară,

- cu baza la peretele toracic anterior și
- cu vîrful orientat posterior — la hil.

Ambele laturi ale umbrei sănt nete, fiind constituite din scizuri, latura superioară este constituită din mica scizură, latura inferioară din marea scizură.

În cursul pneumoniei sau a altor afecțiuni inflamatorii, lobul mijlociu nu este prins totdeauna în totalitate. Sînt afectate și umbrite doar unul

din cele două segmente de ventilație: segmentul antero-intern (sau zona ventrală mijlocie) și/sau segmentul postero-extern (sau zona axilară mijlocie).

1. *Segmentul antero-intern sau ventral mijlociu — V₂* — pe imaginea din față se traduce printr-o umbră triunghiulară (a lobului mijlociu) este trunchiată spre hil, nefiind interesat parenchimul segmentului axilar mijlociu (fig. 144).

Din profil (fig. 145) se constată că umbra triunghiulară (a lobului mijlociu) este trunchiată spre hil, nefiind interesat parenchimul segmentului axilar mijlociu, care rămâne transparent.

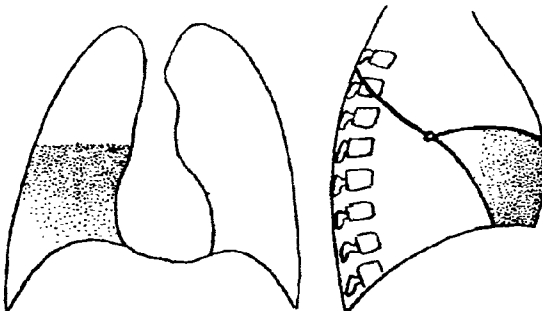


Fig. 144 — Segmentul antero-
intern al lobului mijlociu, (V₂);
din față.

Fig. 145 — Segmentul
antero-intern al lobului
mijlociu, (V₂); din pro-
fil.

2. *Segmentul postero-extern sau axilar mijlociu, A₂* pe radiografia din față (fig. 146) se traduce printr-o umbră triunghiulară sau în bandă ce se întinde între peretele axilar al toracelui și hil, are limita superioară precisă, constituită din mica scizură, iar limita inferioară pierdută.

Din profil, se observă un mic triunghi (fig. 147) constituit din portiunea din lobul mijlociu cît nu era ocupată (umbrită) de segmentul antero-intern, delimitat net de scizuri, cu vîrful posterior la hil, cu baza anterioară pierdută spre segmentul antero-intern.

Lobul inferior ocupă în torace partea infero-laterală și posterioară a edificiului pulmonar.

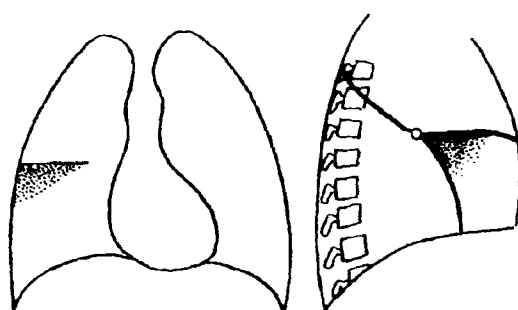


Fig. 146 — Segmentul axi-
lar mijlociu, (A₂); din față.

Fig. 147 — Segmentul axi-
lar mijlociu, (A₂); din pro-
fil.

Fig. 148 — Lobul inferior;
din față.

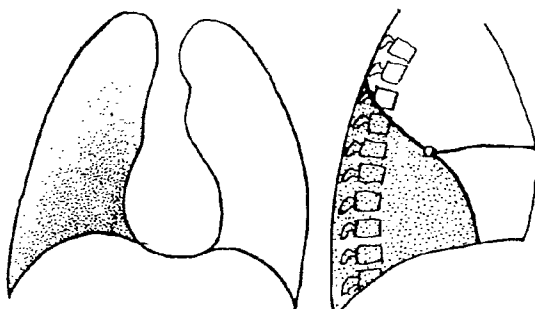


Fig. 149 — Lobul inferior;
din profil.

Fig. 150 — Virful lui Fow-
ler, (D_2); din față.

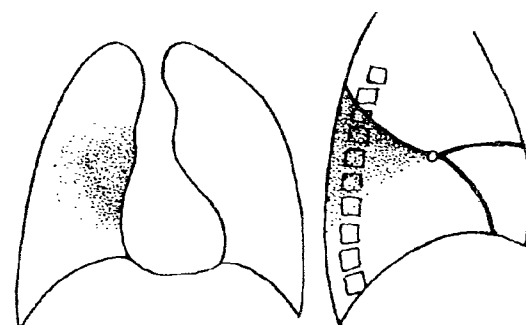


Fig. 151 — Virful lui Fow-
ler, (D_2), din profil.

În cazuri patologice, dacă este prins în totalitate, la examenul *din față* (fig. 148) se traduce radiologic printr-o umbrire a celor 2/3 inferioare ale hemitoracelui, vîrful lobului inferior urcînd în spatele lobului superior pînă la coasta a 3-a.

Pe imaginea *din profil* (fig. 149) se observă că porțiunea cea mai importantă din lobul inferior este situată la peretele posterior al toracelui și ocupă aproape jumătatea postero-inferioară a ogivei toracice. Aria lobului inferior este delimitată net anterior și superior prin marea scizură.

În lobul inferior se găsesc 5 segmente de ventilație, cel mai important fiind *segmentul posterior mijlociu* (*vîrful lui Fowler sau D_2*).

Pe imaginea *din față*, acesta se traduce printr-o umbrire asemănătoare cu cea dată de lobul mijlociu (fig. 143, a) deoarece aria de proiecție toracică a segmentului anterior mijlociu, cît și a segmentului posterior mijlociu în poziția postero-anteroară este aproape aceeași. În multe cazuri, umbra vîrfului lui Fowler se proiectează în hil (fig. 150). *Din profil* (fig. 151), imaginea vîrfului lui Fowler este caracteristică și constă într-o umbrire triunghiulară care are baza la peretele posterior al toracelui și vîrful la hil, cu latura antero-superioară precisă constituită din marea scizură, iar latura inferioară pierdută, sau subliniată de o scizură supranumerară în care caz constituie un lob aparte descris de către DÉVÉ.

Baza lobului inferior (fig. 152) poate fi împărțită în 4 segmente: a=bazal intern; b=bazal anterior; c=bazal lateral; d=bazal posterior.

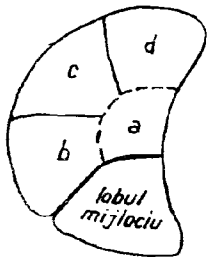


Fig. 152 — Baza plămînului drept.

a. Segmentul bazal intern sau infracardiac pe imaginea din față (fig. 153) se traduce printr-o umbrire triunghiulară situată de-a lungul mediastinului, în sinusul cardio-diafragmatic.

Din profil (fig. 154) umbra triunghiulară are:

- baza pe diafragm,
- vîrful la hil și
- laturile neprecise (1).

Uneori, latura anterioară fiind constituită din marea scizură este precisă (2).

b. Segmentul bazal anterior sau ventral inferior (V_3) din față produce umbră difuză deasupra diafragmului (fig. 155). Din profil (fig. 156) se observă o umbrire triunghiulară cu baza pe diafragm și vîrful spre hil, care are aceeași situație ca și segmentul infracardiac, dar triunghiul este delimitat precis anterior prin jumătatea inferioară a marii scizuri.

c. Segmentul bazal lateral (sau terminal) (A_8) se proiectează la percutie între cele două linii axilare.

Radiologic, din față (fig. 157) se constată umbrire a bazei plămînului către sinusul costo-diafragmatic, iar din profil (fig. 158) opacitate triunghiulară situată înaintea coloanei, cu baza pe diafragm și vîrful spre hil.

d. Segmentul bazal posterior (dorsal inferior sau D_3) este format din parenchimul paravertebral al lobului inferior și este găzduit în sinusul costo-diafragmatic posterior.

Din față (fig. 159), determină opacitatea jumătății mediale a porțiunii bazale a plămînului (umbrire juxta-mediastinală).

Din profil (fig. 160) dă: umbră triunghiulară cu sediu în sinusul costo-diafragmatic posterior și cu vîrful trunchiat superior.

Segmentele de ventilație ale plămînului stîng sunt asemănătoare cu cele de la dreapta, dacă se ține seama de modul de ramificație a arborelui bronhic și de faptul că în stînga, prin lipsa scizurii orizontale, segmentele situate de o parte și de alta a acesteia nu sunt delimitate precis.

Porțiunea culmen a lobului superior stîng încorporează segmentele echivalente lobului superior drept.

Segmentele lingulei (porțiunea lobului superior stîng corespunzătoare lobului mijlociu din dreapta), sunt încorporate la lobul superior iar din lobul inferior lipsește segmentul infracardiac din cauza dezvoltării cordului spre stînga.

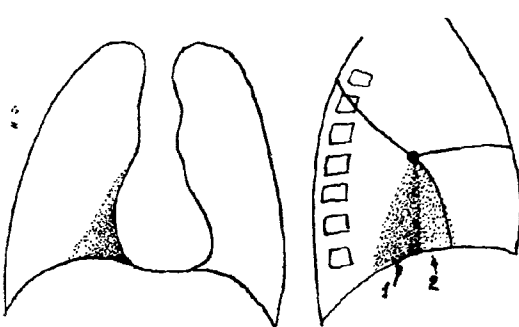


Fig. 153. Segmentul bazal intern; din față.

Fig. 154. Segmentul bazal intern; din profil.

Fig. 155 — Segmentul bazal anterior, (V_3); din față.

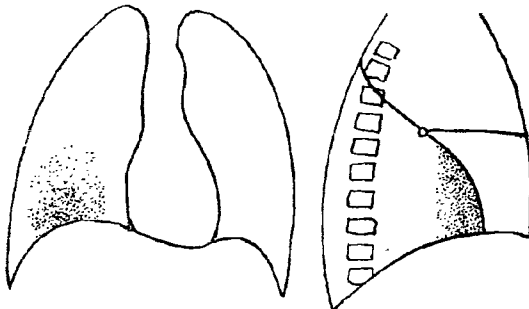


Fig. 156 — Segmentul bazal anterior, (V_3); din profil.

Fig. 157 — Segmentul bazal lateral, (A_3); din față.

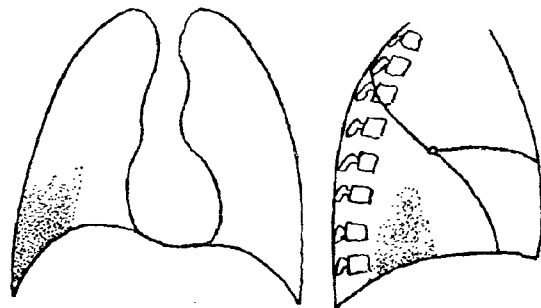


Fig. 158 — Segmentul bazal lateral, (A_3); din profil.

Fig. 159 — Segmentul bazal posterior, (D_3); din față.

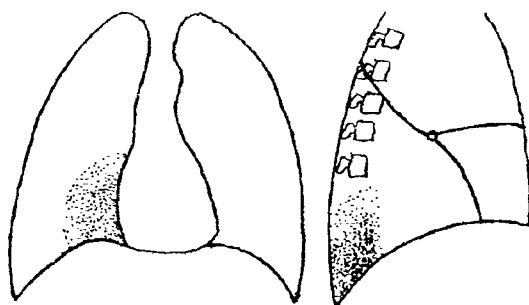


Fig. 160. Segmentul bazal posterior, (D_3); din profil.

Diafragmul normal

Diafragmul (fig. 161) se prezintă sub forma unui arc convex (a) și se vede mai bine la baza stîngă, unde este contrastat aeric pe ambele fețe. În dreapta se confundă cu conturul superior al ficatului și este situat cu 1—3 cm mai sus decît în stînga.

Pozitia diafragmului variază cu faza actului respirator (inspir, expir), cu elasticitatea plămînului, presiunea abdominală și pozitia corpului. Este joasă în emfizem, înaltă în decubit, urcă în ascită și obezitate.

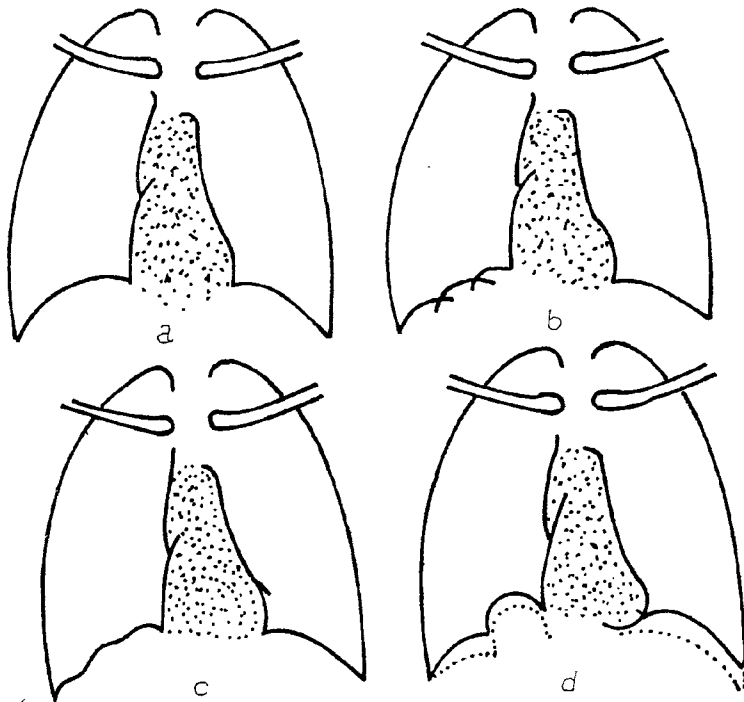


Fig. 161 — Diafragmul normal poate avea forme și caractere variate.

Din cauza constituției inegale a fasciculelor musculare, diafragmul normal poate prezenta aspect de arcuri multiple care se întrelapă (b), de valuri (c), iar în dreapta se poate găsi o buclă antero-medială (d).

Mobilitatea respiratorie a diafragmului este sincronă și simetrică, și excursia poate măsura 5–6 cm în stînga unde mișcările sunt de obicei mai accentuate ca în dreapta.

Fiziologia aparatului respirator

În cursul respirației se modifică dimensiunile toracelui și tonalitatea transparentei lui (fig. 62 și 162).

În inspir (a) cavitatea toracică se mărește, diafragmul coboară, transparenta pulmonară sporește; în expir (b) diafragmul urcă și transparenta pulmonară scade;

Lobii pulmonari superiori, în cursul respirației, urmează mișcările peretelui toracic, lobii inferiori pe cele ale diafragmului.

În ce privește arborele bronhic (fig. 162), în inspir, bronhiile se alungesc, lumenul lor se largesc, conductele bronhice se resfiră.

În expir, bronhiile se scurtează, lumenul lor se îngustează, ramurile bronhice se apropi.

În inspir în vasele pulmonare se găsește mai mult singe decât în expir.

Apărarea fizică în fața noxelor — particule și germe care pătrund pe cale respiratorie — se realizează prin:

1. mecanismul de filtrare aerodinamică;
2. și prin sistemul de epurare și eliminare a lor din căile aeriene.

1. Aerul inspirat în căile superioare se transformă într-un curent laminar turbulent (sub formă de vîrtejuri) care în contact cu mucoasa nazală face ca particulele străine cu dimensiuni pînă la 10 microni să se depună în narine.

Mai departe, curentul de aer suferă un nou impact cu mucoasa arborelui traheo-bronhic care face ca particulele între 2–3 microni să se depună pe ea, datorită forțelor de inertie și gravitație; particulele sub 3 microni (în pneumoconioze) pot să ajungă la nivelul alveolelor. Bacilul Koch, pneumococul și alți microbi pot fi considerate particule cu dimensiuni între 2–5 microni care, în parte, pot să se depună pe suprafața mucociliară a mucoasei arborelui bronhic, iar altă parte la nivelul alveolelor.

2. Sistemul de epurare a căilor aeriene și transport expectorant este reprezentat de:

- a. aparatul mucociliar traheo-bronhic;
- b. și de sistemul mecanic de transport alveolar constituit din macrofage și surfactant. Surfactantul este o peliculă tensioactivă ce acoperă și scaldă suprafața alveolelor și a bronhiolelor și are rol antiatelectatic, de a menține alveola deschisă.

Surfactantul fiind în continuă mișcare realizează un curent de transport spre exterior datorită aspirației bronhice, mișcărilor respiratorii, continuității secrețiilor bronhice cu cele alveolare.

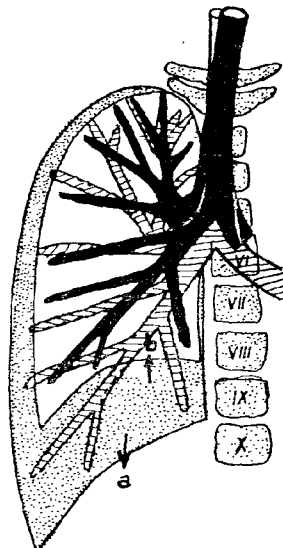


Fig. 162 — Arborele bronhic și hemitoracele drept în inspir și în expir.

Semiologia radiologică a toracelui și plămînului patologic

CONFIGURAȚIA TORACELUI NORMAL

Este variabilă și după KRETSCHMER se descriu trei tipuri:

1. Toracele obișnuit, normostenice (fig. 414), la care diametrul vertical și cel transversal — pe radiografia din față — sunt aproape egale, iar umbra cordului este oblică încît axul ei longitudinal face cu verticala un unghi de 45°.

2. La longilini (fig. 415) toracele de tip astenic este alungit, extremitatea superioară este ascuțită și seamănă cu un obuz de tun. Umbra cordului este aproape verticală.

3. La brevilini (fig. 416) toracele hiperstениc diametrul transversal al toracelui este mai mare decât cel vertical, iar cordul are tendință de orizontalizare, axul său longitudinal face cu verticala un unghi mai mare de 45°.

În cazuri patologice, din cauza unor afecțiuni ale coloanei vertebrale ca: cifoză, scolioză, cifo-scolioză se produce o adaptare secundară a coastelor și a organelor din torace care duc la aspecte caracteristice.

DIFORMITĂȚILE TORACICE CONSTITUȚIONALE

Pot fi însoțite de deformarea coastei sau sternului și în grupa lor se descriu:

- toracele paralitic care prezintă coastele îndoite în jos de la unghiul costo-vertebral;
- toracele astenico-astmatic cu verticalizarea arcului anterior al coastei, arcul posterior fiind orizontal sau oblic cranial;
- toracele în pîlnie cu sternul înfundat spre coloană, și
- toracele în carenă, la care sternul este proeminente.

MODIFICĂRILE TRANSPARENȚEI PULMONARE

Diagnosticul radiologic al bolilor organelor din cutia toracică este posibil în măsura în care procesul patologic modifică transparența normală a toracelui și structura plămînului.

Procesele patologice ale plămînului și pleurei se pot traduce prin opacitate crescută, transparență crescută sau imagini mixte.

1. Pneumonia, tumorile pulmonare, atelectazia, lichidul din cavitatea pleurală, procesele interstițiale și vasculare și alte afecțiuni care, anatomo-patologic, presupun diminuarea sau înlocuirea aerului alveolar din zona bolnavă prin produse sau țesute dense care absorb razele X în cantitate mai mare, se traduc prin opacitate crescută, blocuri de condensare.

2. Caverna, chistul aerian, pneumotoraxul, care presupun o mai mare cantitate de aer în calea razeelor X și o cantitate mai redusă de țesute, se traduc prin transparență crescută.

3. Abcesul pulmonar după vomică, chistul hidatic deschis, hidropneumotoraxul se traduc radiologic prin imagine mixtă — hidroerică, cu nivel orizontal.

În afară de afecțiunile pleuro-pulmonare, imaginea toracică poate fi modificată și în caz de afecțiuni ale scheletului sau prin modificări ale părților moi ale peretelui toracic.

Modificările transparenței pulmonare în cazuri patologice au diferite caractere în ceea ce privește întinderea, tonalitatea, sediul, starea plămînului din jur și prin cunoașterea lor se poate preciza punctul de plecare al bolii, natura etiologică, se poate stabili diagnosticul ei și întrevedea prognosticul.

Dimensiunile focalului se măsoară în mm sau cm; forma poate fi geometrică (sferă, triunghi, bândă) sau complexă.

Conturul poate fi net, difuz sau cu tendință la infiltratie și invazie în jur (cu prelungiri).

Structura focalului patologic poate fi omogenă sau neomogenă, iar intensitatea variabilă, comparabilă cu a coastelor sau părților moi.

Procesele patologice pot provoca modificări de volum ale parenchimului (și cutiei toracice) iar organele din jur pot fi atrase către proces sau împinsă.

Termenii utilizați pentru descrierea diferențierilor modificări variază după autori. În cele ce urmează vom descrie semnificația termenilor întrebunțați de către noi și de majoritatea autorilor și vom explica substratul lor anatomic și fiziopatologic.

Opacitățile. Imaginile prin scăderea transparenței pulmonare. Excesele de umbră se traduc radiologic prin:

- pete sau noduli;
- voal toracic;
- opacități întinse;
- opacități masive;
- opacități liniare (dungi, trabecule, linii).

Opacitățile circumscrise sau nodului (fig. 177) sunt expresia unor focare patologice limitate, cu structură anatomică densă, care constituie un obstacol în calea razelor X. Nodulii au centru mai opac și periferie mai palidă, dar oricum se disting de parenchimul din jur, sunt o entitate. Studiind mărimea și numărul lor, tonalitatea umbrei și caracterele conturului lor, repartitia topografică și modul de grupare se poate stabili un diagnostic radiologic cît mai apropiat leziunilor anatomico-patologice.

În ceea ce privește dimensiunile și forma, nodulii sunt de 4 categorii și sunt comparați de autorii clasici cu semințele sau cu unele fructe.

1. *Nodulii miliari* se întâlnesc în granulația tbc, în stenoza mitrală și hemosideroză, în pneumoconioze, în bronșiolita gripală sau rujeolică. În g r a n u l i e (fig. 163), micronodulii au dimensiuni între 0,5–3 mm și sunt răspândiți uniform pe întinsul ambelor arii pulmonare. Fiecare nodul seamănă cu celălalt. Nodulul miliar de pe radiografie nu corespunde unei anumite formații anatomice, ci reprezintă suma imaginei tuturor nodulilor tbc mari (anatomic) cît bobul de mei, surprinși în calea fasciculului de raze X.

2. *Macronodulii* au dimensiuni variabile de la cîțiva mm, pînă la 1 cm diametru, de la un sîmbure de cireașă pînă la o alună. Se întâlnesc în bronhopneumonia banală, în bronhopneumonia tuberculoasă și în metastazele pulmonare recente.

Macronodulii în tuberculoză pot fi productivi și exsudativi. Nodulii exsudativi au centru mai opac și periferie mai palidă, adică au tonalitate în două teste;

— nodulii productivi au contur precis și prezintă prelungiri liniare înspre desenul pulmonar, aspect stelar (fig. 164, a); ei se grupează în formă de trifoi sau de rozetă (GRAFF și KUPFERLE).

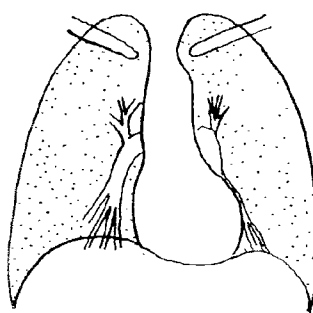


Fig. 163 — Noduli de gradul I: nodulii miliari (în granulia tuberculoasă).

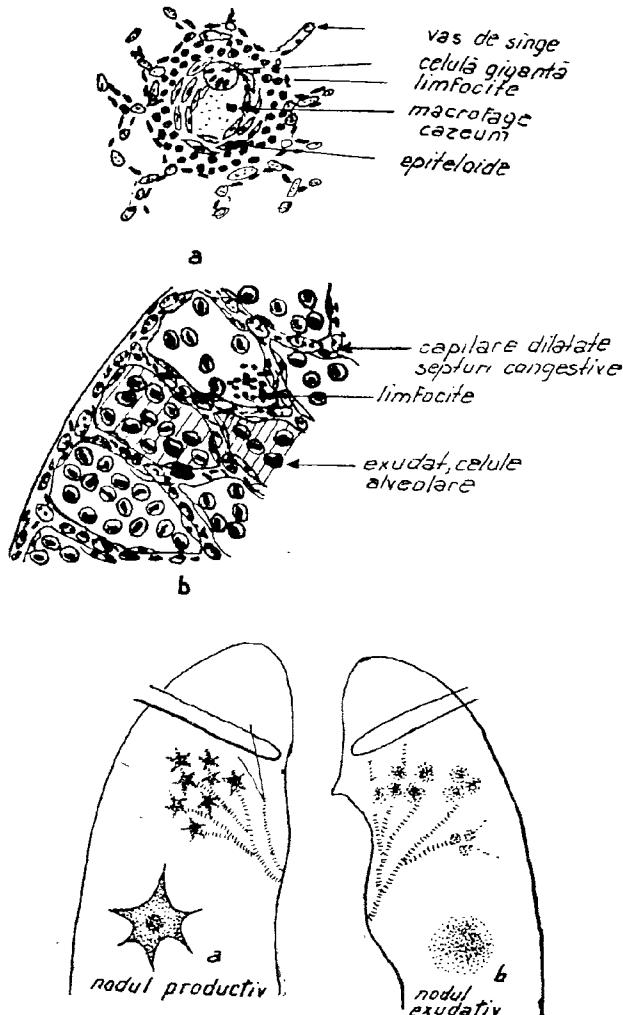


Fig. 164 — Noduli de gradul II: a — Nodul productiv tbc; b — Leziune tbc exudativă (după ZELLINGER).

Jos — Macronoduli (tbc); caractere radiologice: nodul productiv — în dreapta; nodul exudativ — în stînga.

— nodulii exsudativi au conturul șters, sănt comparați cu fulgii de zăpadă și au tendință la confluare cu nodulii vecini (fig. 164, b).

3. Nodulii de gradul III (fig. 165) au dimensiuni cuprinse de la 1 la 3 cm și prototipul lor este infiltratul tuberculos Assmann. Acesta este situat în regiunea subclaviculară și se prezintă ca o umbră de tonalitate palidă cu contur pierdut.

4. Opacitățile nodulare mari (*nodulii de gradul IV*, fig. 166) au dimensiuni de la 3 la 5 cm, de la o nucă pînă la o portocală, pot realiza forme geometrice și prototipul lor este *chistul hidatic*, cancerul rotund pulmonar, metastazele pulmonare. Opacități rotunde mari pot realiza și tumorile mediastinale care proemină în aria pulmonară, tumorile costale.

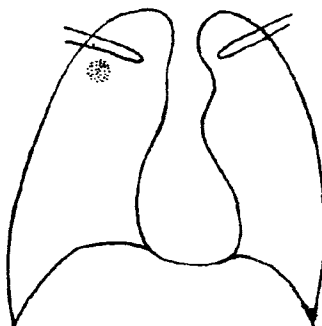


Fig. 165 — Nodul de gradul III:
infiltrat ASSMANN.

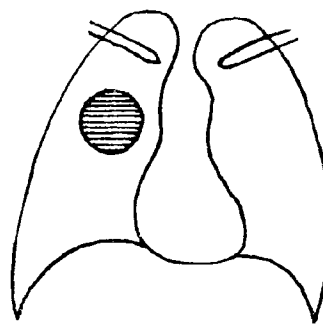


Fig. 166 — Nodul de gradul IV; opacități nodulare mari: chist hidatic.

Umbrele nodulare pot fi determinate și de pleură, în caz de depuneri calcare, în caz de noduli fibrinoși sau noduli canceroși metastatici.

Voalul toracic constă în scăderea discretă și uniformă a transparenței pulmonare pe o arie mai mult sau mai puțin întinsă.

Voalul poate avea cauze extratoracice și în acest caz este dat de părțile moi ale peretelui toracic; poate avea cauze intratoracice și este dat de o afecțiune pleurală sau parenchimatoasă. Voalul se observă în timpul cărora procesul patologic este în evoluție sau rămîne după vindecarea lui.

Voalul de cauze extratoracice poate fi dat de mușchiul sternocleidomastoidian și de pectoral. În asimetrii toracice sau defecte de poziționare a bolnavului, un hemitorace apare mai umbrat decât în mod obișnuit, celălalt mai transparent.

Cauze intratoracice pleurale; congestia pleurei la începutul unei pleurezii sau în cursul unei pleurite ca și îngroșarea pleurei, care rămîne după o pleurezie, pot determina un voal toracic.

Cauze pulmonare. Congestia pulmonară și pneumonia în faza inițială a procesului patologic realizează o umbră palidă, discretă și omogenă a teritoriului respectiv (fig. 177, 184), în urma îngroșării peretelui alveolar în faza de congestie și hiperemie și a micșorării cantității de aer din alveole care este înlocuit prin secreții sau transudat (VOILLIEZ).

— Atelectazia incipientă și tulburările de ventilatie se pot traduce prin voal care este datorat rezorbției partiale a aerului alveolar din parenchimul pe cale de colabare.

— În plămînul cardiac se constată hiluri întinse și difuze; în edemul pulmonar apare voalul ca urmare a transudatului intersticial și alveolar, în porțiunile mijlocii ale plămînului, realizînd aspectul clasic în „aripi de fluture” (fig. 182, d).

— La copil se întrebunează frecvent expresia de voal și cea de *difuziune a hilurilor*, în cursul unor procese inflamatorii însoțite de congestia

țesutului conjunctiv și limfatic intersticial, dar cel mai frecvent, la cei mici scădere transparentei poate fi dată de staza vasculară produsă din cauza plânsului și a examenului în decubit.

Noțiunea de voal se întrebunează de obicei pentru constatăriile radioscopice. De multe ori, la același pacient la care radioscopic se constată un

un voal omogen, pe radiografie apare o umbră compusă din mai mulți noduli miliari (fig. 177 și 178).

Opacitățile întinse sunt date de afecțiunile care cuprind un segment de ventilație sau un lob în întregime și se traduc prin umbre ce se întind între hil și peretele toracic. Aceste opacități au *două laturi* constituite din conturul toracic.

Pneumonia segmentară (fig. 167, a) se traduce printr-o umbră triunghiulară întinsă și omogenă (WEILL și MOURIQAND).

— Atelectazia lobară, gripa, infarctul pulmonar dau, de asemenea, opacități întinse (blocuri de condensare GIBERT).

— Pleurezia sero-fibrinoasă în perioada ei de început poate da un voal, iar mai

tîrziu o opacitate întinsă cînd umbra este și mai densă (fig. 167, b, baza stingă) — triunghiul lui AMEUILLE și LEOBARDY.

În ceea ce privește intensitatea umbrei, aceasta se compară cu opacitatea coastelor sau cu tonalitatea umbrei cordului și se descriu mai multe nuanțe:

- voalul sau opacitatea subcostală (de părți moi);
- opacitatea supracostală;
- opacități intermediare între acestea.

Nu se poate stabili o relație între intensitatea opacității și cea a simptomelor clinice.

Dimensiunile și intensitatea umbrei radiologice se pot modifica în anumite incidente, împrejurare în care se spune că „umbra se contractă”, fapt ce poate fi observat la lobul mijlociu și la scizura oblică (fig. 143, b) în *incidenta FLEISCHNER*, ceea ce arată că procesul patologic care face ecran cu întindere mai mare în prima incidentă, are grosime redusă și în incidentă complementară — cînd se contractă umbra — devine mai intensă și se micșorează.

Conturul teritoriului afectat, în caz de voal sau opacitate întinsă, poate să fie net (sau liniar) sau, din contra, șters și neprecis și este în funcție de factori anatomici (pleura, scizurile) sau de factori optici.

Opacitatea întinsă poate coexista cu voalul toracic: în pleurezia marii cavități, deasupra opacității delimitată de linia lui Ellis-Damoiseau se găsește un voal difuz.

4. *Opacități masive* se întlnesc în acele afecțiuni în care este umbrit hemitoracele în totalitate, fie numai jumătatea bazală sau numai porțiunea superioară a lui, opacități la care *întreg conturul* focalului umbrit sau *trei din laturile* lui sunt constituite din peretele toracic.

În cazul pleureziei cu lichid foarte mult este umbrit hemitoracele în întregime (fig. 168) și se constată *sporirea lui în dimensiuni și împingearea mediastinului*.

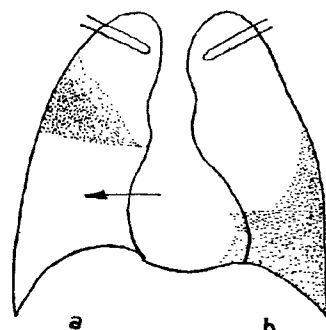


Fig. 167 — Opacități întinse.

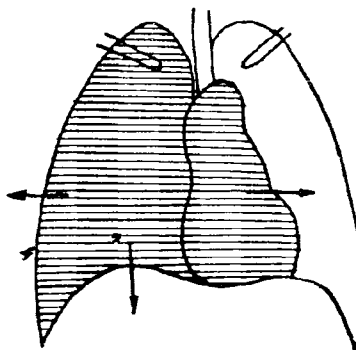


Fig. 168 — Opacitate masivă. Pleurezie.

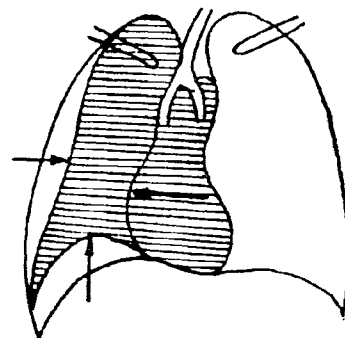


Fig. 169 — Opacitate masivă. Atelectasia unui plămîn.

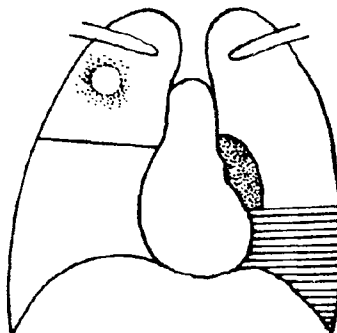


Fig. 170 — Cavernă tbc și dungă scizurală în lobul superior drept; hidropneumotorax stîng.

În cancerul unei bronhii principale se produce atelectasia tuturor lobilor unui plămîn, cu umbrirea omogenă a unui întreg hemitorace (fig 169) și se constată *micșorarea lui* în dimensiuni și *atragerea mediastinului*; în fibrotorax (fig. 275) opacitatea este neomogenă: în acest caz tomografia și bronhografia pot da informații asupra naturii procesului patologic care determină opacitatea hemitoracelui, cu micșorarea lui.

5. *Opacitățile liniare, trabeculele, dungile și liniile* studiate în funcție de sediul, grosimea, dimensiunile, conturul și modul de confluență, ne permit să stabilim felul și sediul organic al procesului patologic, care modifică în special țesutul intersticial.

Semeiologia radiologică a leziunilor interstitionale difuze. Țesutul intersticial din plămîn este constituit din fibre elastice și colagene; în sînul lui se găsesc lacune limfatice, capilare sanguine și limfaticice, celule histiocitare; spațiul intersticial este scăldat de un lichid interstitional (substanță fundamentală) în continuă mișcare (BESANÇON).

Țesutul interstacial reprezintă o rețea de coalescență și susținere pentru diferite structuri ale plămînului și se întinde de la hil pînă la pleură;

el suferă modificări în cursul multor procese patologice care au o semiologie radiologică aparte, constituită din 6 tipuri de imagini elementare ce sănt o consecință a unor factori anatomici, geometrici, tehnici.

Îngroșarea țesutului intersticial poate să crească raportul lichid/aer din plămîn și la un anumit prag realizează un *voal difuz în „geam mat“*, sau duce la formarea de focare elementare, cel mai adesea nodulare, uneori liniare, în raport cu locul unde se dezvoltă leziunile (cele din septuri determină opacități liniare — văzute din față, punctiforme — surprinse ortograd).

a) *Dungile și liniile* apar în caz de *îngroșare pleurală* numai dacă bolnavul este examinat în poziția în care foilele pleurale ori scizura sunt ortograide.

Scizura orizontală dreaptă, cind este surprinsă tangențial de către fasciculul de raze X, se traduce printr-o linie capilară, care se întinde între peretele toracic axilar și hil (fig. 127).

O zonă de îngroșare pleurală care din față nu determină nici o imagine radiologică sau numai un simplu voal, în incidență în care porțiunea respectivă devine ortogradă dă o umbrire liniară, în bandă (fig. 128—129).

Liniile pleurale pot fi paralele cu porțiunea din conturul hemitorace-lui pe care-l flanchează (fig. 127, c) sau se proiectează izolat în plină arie pulmonară, cind este vorba de scizuri privite ortog ortograd (fig. 145 și 170).

b) *Cordoanele sau trabeculele* sănt realizate de stări congestive și edematoase sau de scleroză în sinul țesutului conjunctiv intersticial peribronhovascular, în cursul unor procese interstitionale (pneumonii virotice, plămîn cardiac, tuberculoză fibroasă, pneumoconioză stadiul I, sifilisul pulmonar, cancer pulmonar pe cale de extindere, bronșiectazie).

Radiologic trabeculele, cordoanele opace pleacă de la hil și se resfiră spre periferia plămînului, subțîndu-se treptat; ele pot avea repartiție topografică specială și „dinamică“ variabilă. Vasele sanguine destinse în procese congestive sau în plămînul de stază se traduc, de asemenea, prin trabecule accentuate (fig. 171). Imaginea în „șine de cale ferată“ este specifică dilatației bronșice (fig. 175, b).

c) *Borduri sau margini opace* se pot observa în caz de depunerি calcare în adventicea chistului hidatic, în grosimea foilelor pleurale sau pericardice inflamate, în peretele aortic (fig. 358 și 442).

IMAGINILE PRIN EXCES DE TRANSPARENȚĂ TORACICĂ

Excesul de transparență se realizează ori de câte ori în calea fascicoului de raze X se află mai mult aer și mai puține țesute consistente.

Excesul de transparență poate fi:

- generalizat (sau difuz)
- circumscris (sau localizat).

Exagerarea generalizată a transparenței pe ambele arii pulmonare se întâlnește — în cazul emfizemului substanțial, în care alveolele sănt destinse de aer, iar țesutul pulmonar este atrofic și cu circulație săracă:

- în caz de embolie pulmonară;
- în caz de hipertensiune pulmonară cu îngustarea vaselor periferice.

Transparența poate fi întinsă la un singur hemitorac în cazul pneumotoraxului (fig. 210) sau a unei bule gigante de emfizem (fig. 234), a plămînului șters, evanescent — sindrom Mac Leod.

Transparențele circumscrise pot fi tubulare, liniare sau sferice, iar aerul poate avea sediul:

— într-un conduct natural aerian (dilatațiile bronhice se traduc prin benzi transparente paralele — șiine de cale ferată — imagini tubulare goale sau cercuri transparente) (fig. 175, b; fig. 214);

— clarități liniare se întâlnesc în emfizemul mediastinal (fig. 242) sau emfizemul subcutanat, în pneumotoraxul lamelar în mantie (fig. 378).

— Alteori, imaginile transparente pot fi scobite în parenchim și denumirea lor sugerează boala în care se întâlnesc: abcesul pulmonar, caverna tuberculoasă, chistul aerian, caverna canceroasă. Claritățile sferice pot fi unice izolate sau multiple și grupate (bule de emfizem, chiste aeriene, bronșiectazii chistice).

Imaginile mixte. Pot fi sistematizate și difuze (nesistemizate).

A. În primul grup se încadrează imaginile hidroaerice, aspectul în „miez de pîine“ și uneori cel în „fagure de albine“ sau „bule de săpun“ (fig. 173).

a. Imaginile hidroaerice sunt determinate de formațiuni scobite în care se găsește o bulă aerică circumserisă situată deasupra unei opacități lichidiene, cele 2 medii fiind separate între ele printr-un nivel orizontal mobil în raport cu înclinarea bolnavului.

Imaginiile hidroaerice pot fi:

1. pulmonare (cavernă tbc — fig. 170, abces pulmonar, chist hidatic după vomică — fig. 172)
2. bronhice (cavernă bronșiectatică — fig. 215, b)
3. pleurale (hidropneumotorax — fig. 170, pleurezii interlobare după vomică)
4. digestive (hernii diafragmatice — fig. 386, 387).

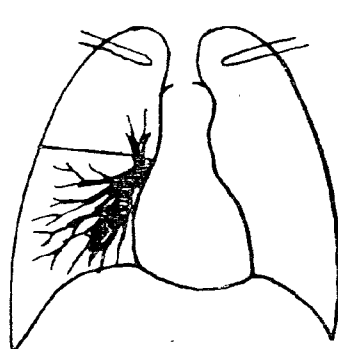


Fig. 171 — Dungă scizurală orizontală dreaptă și trabecule rezultate prin îngroșarea țesutului intersticial peribronhovascular.



Fig. 172 — Imagine hidroaerică: chist hidatic după vomică, cu nivel ondulat.

b. Aspectul „în miez de pîine“ este denumirea ce se utiliza pentru a desemna focare tuberculoase (opace) în sinul căror se produc numeroase zone de ramolism (goluri transparente, caverne) — fig. 173, a.

c. Aspectul „în fagure“ (b) se poate observa în fibrozele interstitiale difuze; iar cel în „bule de săpun“ (c) în caz de plămin polichistic și bronșiectazii chistice proiectate pe un fond de scleroză pulmonară.

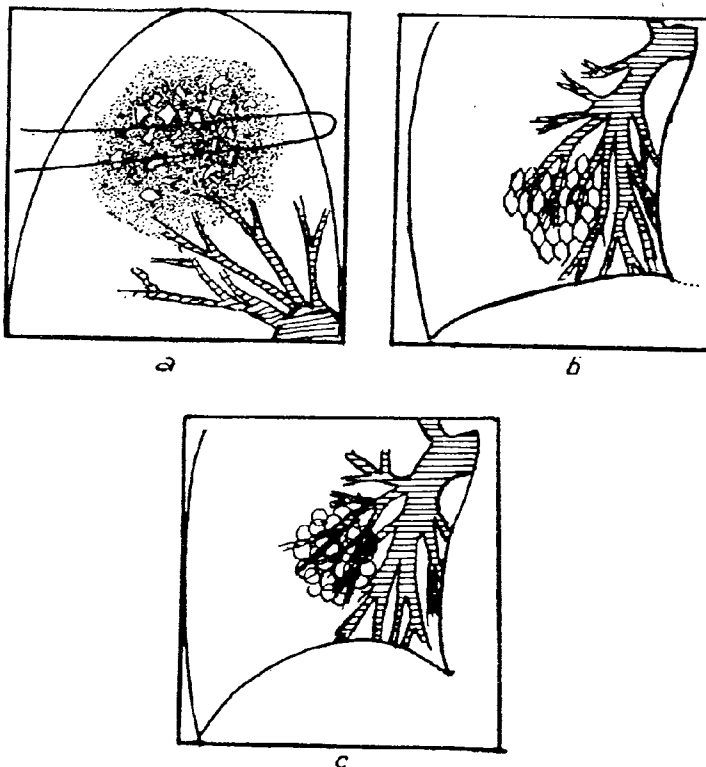


Fig. 173 — Imagini mixte sistematizate: a) Aspect în „miez de pline“ (sistem de cavități tbc); b) Aspect în „fagure“ (fibroze interstțiale difuze); c) Aspect în „bule de săpun“ (plămîn polichistic sau bronșiectazii chistice).

B. Imaginile radiologice mixte difuze se traduc prin asociații complexe nesistemizate de opacități și transparente. Aceste imagini sunt realizate de tuberculoza pulmonară în stadiul de ftizie ulcero- sau fibrocavitară, de pneumopatia buloasă extensivă, în triunghiul bronșiectatic, — în care se găsesc și cavități mai mari.

DATE ASUPRA FORMĂRII IMAGINII RADIOLOGICE PATHOLOGICE

1. **Semnul siluetei lui FELSON.** O opacitate toracică în contact (tangentă), cu o margine a cordului (fig. 174, a), a aortei sau cu diafragmul, șterge imaginea acestei margini, dacă are aceeași densitate; opacitatea în contact se unește cu opacitatea cardiacă sau aortică ca într-o siluetă unică și nu există două contururi tangente de la 2 organe, ci numai un singur contur periferic.

Din contra, o leziune intratoracică (fig. 174, b), de aceeași densitate ca și inimii, care anatomic nu este pe același plan, nu este în contact — nu

este tangentă — cu inima sau aorta, nu dă semnul siluetei, marginile fiecareia fiind vizibile. Acest semn este important pentru a identifica și diferenția procese patologice situate în lobul mijlociu sau lingula de cele ale lobului inferior, la pacienții la care nu se poate face un clișeu de profil.

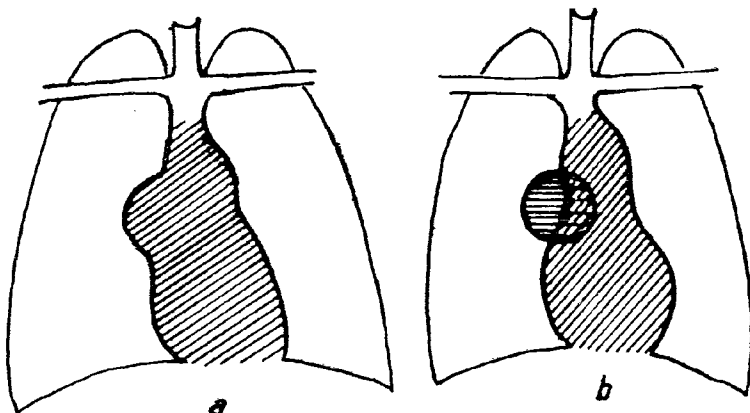


Fig. 174 — Semnul siluetei lui FELSON.

2. **Semnul bifurcației hilare** este deosebit de important pentru a deosebi un hil vascular de un hil mare de altă natură (fig. 176).

Dacă opacitatea hilară începe exact de la marginea cordului (a), lărgirea hilului este de natură vasculară,

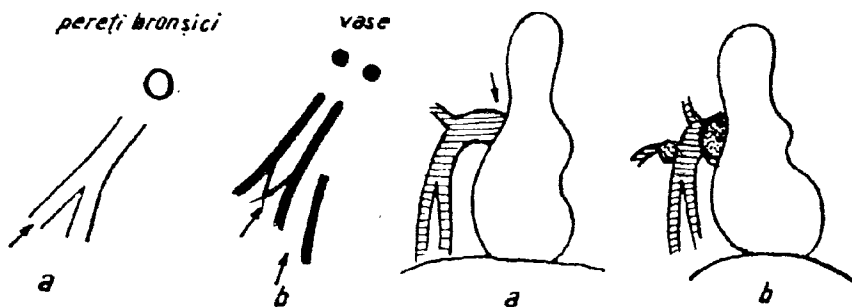


Fig. 175 — Imagine „în sine de cale ferată“; pereți îngroșați ai bronchiei sunt convergenți; spațiul dintre două trabecule vasculare divergente se largesc treptat.

Fig. 176 — Semnul bifurcației hilare.

— dacă opacitatea vasculară începe să fie văzută în sînul opacității hilare (b), hilul mare nă este de origine vasculară (este o adenopatie).

3. **Bronhograma aeriană** este observată în caz de dispariție a aerului intraalveolar, cu persistența aerului din lumenele bron-

nică. Vizibilitatea bronhiilor în sinul unei opacități — semnul lui FLEISCHNER — arată că leziunea care a produs-o este parenchimatoasă (pneumonie, edem pulmonar, atelectazie incipientă).

4. **Semnul alveologramei aeriene** este datorat unui grup de alveole conținând încă aer — în sinul unei opacități parenchimatoase — și are aceeași semnificație ca și bronhograma aeriană. Se întâlnește în faza de rezoluție a pneumoniei.

5. **Pereții bronhici**, dacă sunt îngrozați, se pot vedea pe radiografie sub formă de benzi opace paralele (în „sine de cale ferată“) (fig. 175, a) care se subțiază spre periferie ca și banda de aer în lumenul lor. Benzile coexistă cu imagini gemene ortograde.

Acest aspect nu trebuie confundat cu spațiul transparent dintre două vase opace care diverg spre periferie, iar spațiul transparent dintre ele se largesc (b).

Cunoscind semnele radiologice elementare, trebuie făcute eforturi pentru a stabili sediul procesului patologic, cel puțin la începutul afectiunii: în interstiții sau în alveole.

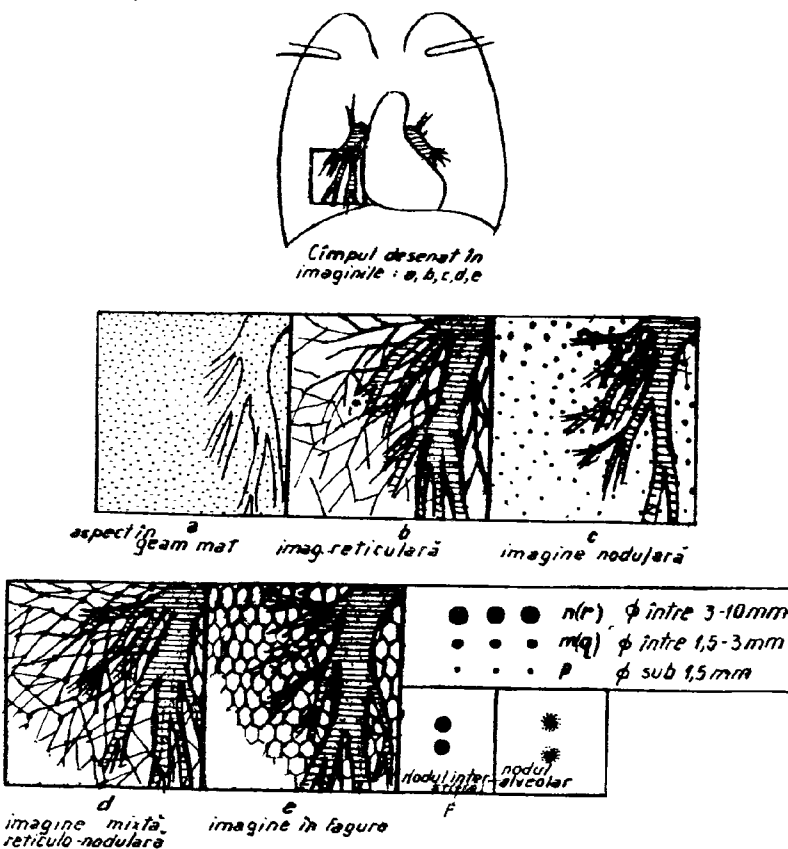


Fig. 177 -- Semeiologia leziunilor interstițiale: sindromul interstițial.

Sindromul intersticial. Se descriu mai multe tipuri de imagini elementare care se pot întîlni în procesele interstitionale:

1. — *opacitatea în geam slefuit*, în geam mat (fig. 177 (a) și 178 (c)) palidă, difuză, bilaterală, predominând la baze, — apare după sporirea raportului lichid/aer din interstitiu peste o anumită limită, și nu poate fi deosebită de opacitatea care rezultă dintr-o afecțiune prin umplere alveolară incompletă.

2. — *imaginea reticulară* (b) este determinată de opacități rectilinii și curbe, situate pe diferite planuri, care au direcții diferite și duc la imaginea în rețea, în ochiurile căreia transparența are densitate aeriană.

3. *imaginile nodulare interstitionale* după STEPHANI (c, f) pot avea dimensiuni variabile. Pot fi punctiforme (se notează cu simbolul p (pinehead) și au diametrul pînă la 1,5 mm), miliare (se notează cu simbolul m (q) și au diametrul pînă la 3 mm), sau au dimensiuni mai mari 3—10 mm, care vor fi notați cu litere n (r).

Mecanismul formării acestor imagini:

Imaginile nodulare de dimensiuni mici rezultă prin fenomenul de sumărie a unor noduli care, anatomic, au dimensiuni milimetrice. Ele pot fi datorate și fenomenului de proiecție axială a trabeculelor (fig. 178) și septurilor, sau încrucișării optice a opacităților liniare situate pe diferite planuri sau văzute ortograd (fig. 179, a)

4. *opacități mixte reticulo-nodulare* (fig. 179, b) și

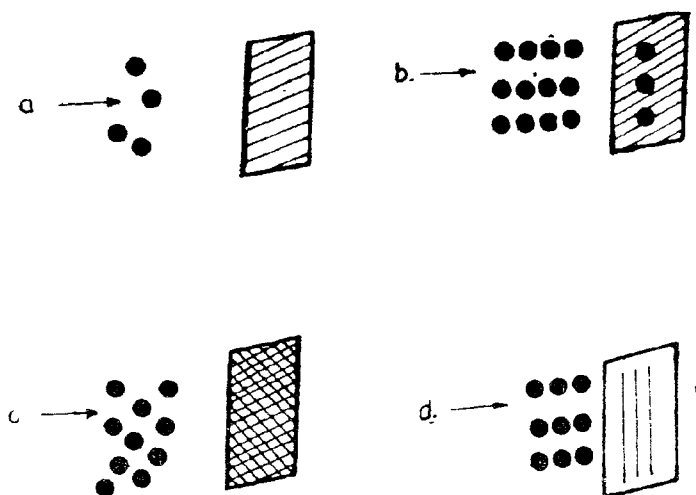


Fig. 178 — Formarea imaginii radiologice în cazul nodulilor miliari:
a — Cîțiva noduli izolați nu dau imagine; b — Nodulii miliari multipli și suprapuși în calea fasciculului de raze X realizează noduli mici; granulie; c — Nodulii dispusi neregulat dau zgomot de fond (voal difuz); d) — Nodulii care se suprapun în calea fasciculului de raze X, față de filmul care se mișcă, produc efect stroboscopic.

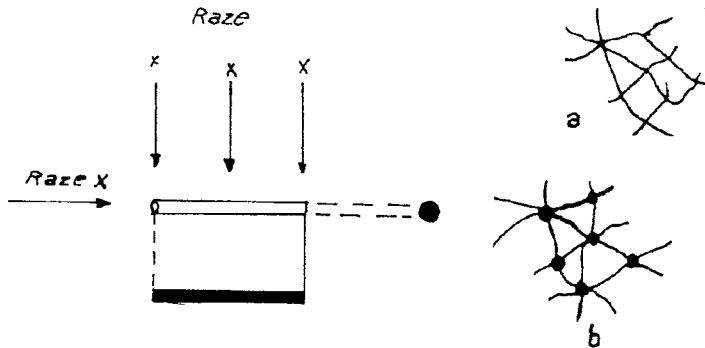


Fig. 179 — Imaginile reticulare (a) și cele mixte reticulo-nodulare (b) pot fi realizate „optică” în funcție de incidența fasciculului de raze X.

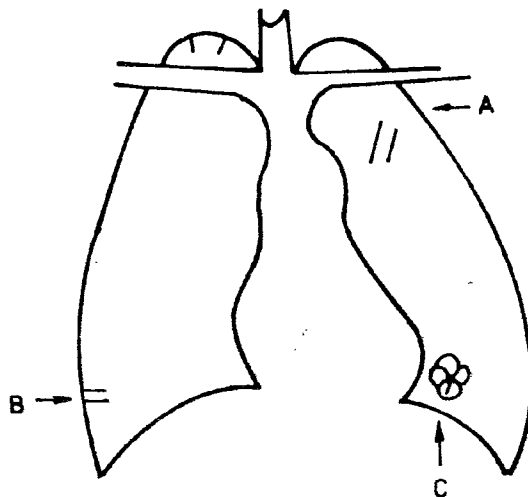


Fig. 180 — Liniile lui KERLEY.

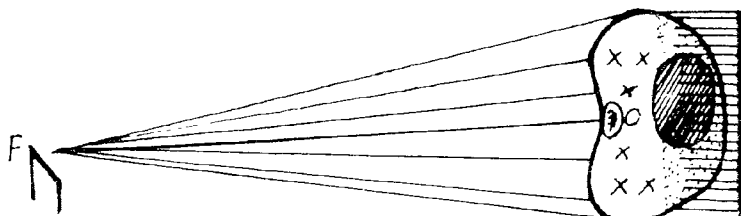


Fig. 181 — Pe radiografia pulmonară nu se văd decât leziunile punctate din planul ventral hașurat, apropiat de clișeu, în timp ce nodulii situați pe planurile depărtate însemnați cu x,x,x nu realizează imagini (FELSON).

5. opacități liniare drepte ce nu se divid, au topografie precisă și morfologie stereotipă, realizind liniile opace Kerley B, A și C (fig. 180 și 236); acestea corespund unor îngroșări a septului interlobular și pot avea cauze multiple și mecanisme variate: acumulare de colagen, stază limfatică, exudatie lichidiană, proliferare celulară în spațiul intersticial.

Odată cu sporirea presiunii în vasele pulmonare, în stenoza mitrală, apar fenomene de stază pe teritoriul lobului superior unde dilatarea venelor realizează *liniile (cordoanele) lui SYLLA*, fig. 196.

FELSON susține că pe radiografie nu se văd decât leziunile de dimensiuni mici și discrete situate în *planul ventral apropiat* de clișeu (fig 181).

6. *Imaginea în fagure de miere* (fig. 173, b, 177, e) cu aspect reticular sau reticulo-nodular, cu ochiuri transparente pînă la 1 cm diametru, care au peretei groși și preciși.

Pe plan anatomic, imaginea în fagure corespunde unor leziuni cu dis trucție a peretilor alveolari și dilatații bronhiolare, subliniate prin condensare a septurilor interlobulare, cavitățile fiind căptușite cu epiteliu de origine bronhiolară. Imaginea se întinsează în fibrozele interstițiale difuze care vor fi discutate mai tîrziu.

Sindromul de umplere alveolară. Se traduce radiologic prin semne de opacitate pulmonară datorată disparitiei aerului alveolar prin umplerea alveolei cu lichid sau țesut patologic fără reducerea de volum a parenchimului pulmonar, după cum urmează:

1. Opacitate cu contururi flou — datorită unui proces inflamator ce se întinde prin contiguitate (prin *porii lui COHN*) și se pierde treptat în parenchimul sănătos.

2. Confluența precoce a opacităților elementare vecine care se produce prin interesarea alveolelor ce le separă (fig. 182); așa se explică faptul de ce focarele inflamatorii, cînd sunt descoperite radiologic, au deja dimensiuni mari.

3. Opacitatea de natură alveolară are caracter „*sistemati - zat*“ (este segmentară sau lobară, c).

4. Imaginea în „*aripi de fluture*“ din hilita lui ENGEL, bilaterală și simetrică este realizată îndeosebi de edemul pulmonar acut (fig. 182, d).

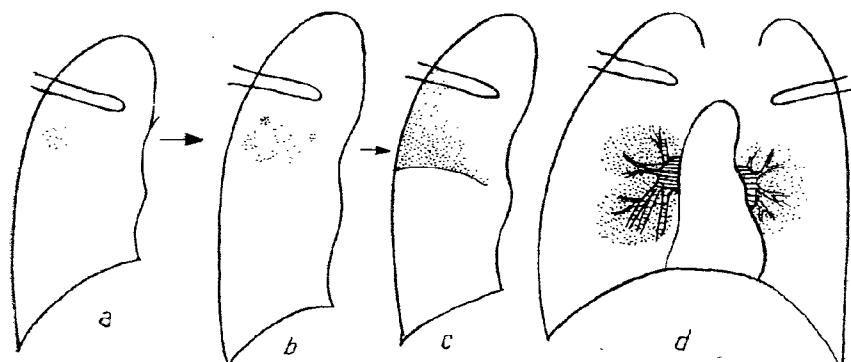


Fig. 182 — a. Nodul izolat în centrul segmentului D₁; b. noduli multipli; c. confluență precoce o nadulilor; d. imagine în „aripi de fluture“.

5. Bronhograma și alveograma aerică indică că este vorba de un sindrom de umplere alveolară pe fondul căruia ies în evidență conductele în care se află încă aer (semnul lui FLEISCHNER).

6. Nodulul acinos sau alveolar se vede fie la începutul bolii, fie la periferia focarului, cînd leziunile elementare au confluat; apare sub formă de opacitate rotundă sau ovoidă, cu dimensiuni mici și densitate palidă, cu contur flou (fig. 182, a, b, c). Opacitățile acinoase sunt numite și imagine în rozetă (fig. 164 b) și au tendință de a confluă rapid pentru a da opacitate mai mult sau mai puțin întinsă (fig. 182).

Din punct de vedere al corelației anatomo-radiologice se discută două teorii:

- a. — a nodulului acinos;
 - b. — a nodulului peribronhoalveolar (fig. 192).

7. Constituirea imaginilor radiologice în nodulul alveolar este rapidă și precoce; în cursul evoluției, imaginile se modifică rapid. În sindromul interstițional, din contra, îngroșarea interstițiului comprimă alveolele în mod progresiv și incomplet și constituirea elementelor sale este mai lentă (fig. 177).

Clasificarea afectiunilor aparatului respirator

Afectiunile aparatului respirator sunt:

- bronhice
 - pulmonare
 - pleurale

— pleurale
Procese inflamatorii: — acute
— cronicе
— tbc. pulmonară

Pneumoconioze

Scleroze pulmonare

Afectiunile traheei si bronhiilor

— tulburāri ventilatorij

emfizem
atelektazia

Tulburări circulatorii

Afectiuni parazitare si micotice

Tumori benigne si maligne

Fațări benigne și Afectiuni pleurale

Procese diafragmatice

Toracele după traumatisme și operatii

Diagnosticul radiologic al afecțiunilor acute pulmonare

Afecțiunile acute pulmonare se caracterizează prin sindrom infectios cu temperatură ridicată, leucocitoză cu polinucleoză.

- în unele cazuri spută caracteristică și
— imagine radiologică particulară diferitelor forme clinice și diferitelor stadii de evoluție

În ultimii 30 de ani, caracterul pneumopatiilor s-a modificat în mod esențial datorită factorilor următori:

1. Letalitatea a scăzut în mod semnificativ datorită chimioterapiei și antibioticelor; totuși ar fi greșit să se credă că a diminuat și frecvența lor.

2. Prin progresele ce s-au făcut în cercetarea virusurilor și prin apariția unor noi metode serologice, în prezent se poate face o diferențiere mai corectă a pneumonilor (microbiene, virotice, ricketsii, bruceloză, leptospiroză).

Pneumopatiile acute pot fi primitive sau secundare, nesupurate și supurate.

După criteriile clinic și etiologic, pneumopatiile acute pot fi împărțite în 3 grupe:

I. În grupul *pneumopatiilor acute primitive nesupurate* vom discuta:

A. — Pneumopatiile acute tipice, provocate de agenți bacterieni cunoscuți — pneumonia și bronhopneumonia (pneumonia în focare).

B. — Pneumopatiile atipice, de obicei virotice, rickettsiene.

C. — Pneumonii prin inhalare de substanțe chimice.

II. În grupul *pneumopatiilor acute supurate* (supurațiile pulmonare) vom discuta abcesul pulmonar, gangrena pulmonară și supurațiile pulmonare difuze.

Pneumoniile acute primitive se dezvoltă pe un plămin sănătos.

Pneumoniile secundare se grefează pe un plămin cu tulburări de circulație sau de ventilație (corpi străini, neoplasm, bronșiectazii).

Această clasificare nu redă întocmai realitatea, deoarece s-a constatat că există de multe ori pneumopatii mixte cu etiologie bacteriană și virală, concomitantă sau succesivă.

Diagnosticul în pneumopatiile acute se stabilește aproape totdeauna clinic și pe cale de laborator și de multe ori examenul radiologic nu este necesar, ori nu se poate face din cauza stării grave a bolnavului care nu poate fi deplasat.

Rolul examenului radiologic este de a descoperi focarele „mute“ din punct de vedere clinic și de a da relații asupra extinderii procesului patologic, fiind indicat mai ales în urmărirea evoluției și stabilirea complicațiilor.

PNEUMONIILE ACUTE NESUPURATE

Pneumonia lobară clasică. Pneumonia francă, crupoasă sau fibrinoasă este o afecțiune acută a plăminului produsă de pneumococ în 90% din cazuri, după care urmează streptococul, bacilul Friedländer, bacilul Pfeiffer, stafilococul, infecțiile mixte.

Pneumococul trăiește ca *s a p r o f i t* în căile respiratorii și devine patogen în cazurile în care echilibrul biologic între el și gazdă este rupt din cauza unor factori favorizați cum sunt frigul, iritațiile aparatului respirator, atelectazia, slăbirea organismului.

Pneumococul patogen sau de la purtătorii sănătoși, ajunge la plămin pe cale aeriană unde are o acțiune directă și determină un proces

alveolar nesupurativ însotit de simptomatologie clinică tipică, care are manifestări radiologice caracteristice și evoluție ce duce spre vindecare, dacă nu survin complicații intercurente.

Unii autori susțin că focalul pneumonic reprezintă o reacție alergică față de pneumococul din căile aeriene sau este o localizare pulmonară secundară, în cazul unei infecții septicemice.

Din punct de vedere bacteriologic, pneumococul cel mai frecvent incriminat (din cele XXXII tipuri cunoscute) este cel de tipul I și II. Cei de tipul IV și X sunt întâlniți mai rar; pneumococul de tip III dă pneumonii grave, bacteriile fiind greu de distrus de anticorpi și de fagocite din cauză că în capsula lor se produce o mare cantitate de polizaharide specifice. Diagnosticul de tip nu se poate pune decât serologic.

Înainte de era antibioticelor, evoluția radiologică a bolii se întindea pe o perioadă de 3—4 săptămâni.

Tabloul clinic se instalează în cîteva ore prin junghi și frison violent, cu ascensiune febrilă, însotit de vărsături și cefalee, diaree și epistaxis la copii; leucocitoză. Febra rămîne în platou între 39°—40° timp de 8—10 zile; spre a 9-a zi febra scade critic sau litic. Pneumoniile lobare cu temperatură numai pînă la 38° sunt o dovedă a scăderii de reactivitate a organismului și se observă la copii și bătrâni. După căderea temperaturii, pot apărea croșete pînă la 38°, purtînd denumirea de febră de rezorbție (SYLLA).

În mod obișnuit se descriu 4 stadii anatomo-patologice:

- stadiul de congestie alveolară și exsudatie, durează o zi;
- stadiul de hepatizație roșie, durează 4—5 zile;
- stadiul de hepatizație cenușie, durează 2—6 zile;
- stadiul de rezorbție durează 10—25 zile după căderea febrei.

Există o corespondență destul de strînsă (tabel II) între leziunile anatomo-patologice, fazele clinice și evoluția radiologică.

În perioada de incubație care durează de la cîteva ore la cîteva zile nu se constată modificări radiologice.

Debutul clinic poate coincide cu debutul radiologic sau poate precede imaginea radiologică.

În cazurile cu reactivitate scăzută a organismului, focalul poate fi constatat mai întîi radiologic, iar simptomatologia clinică se instalează și se manifestă ulterior, febra este discretă iar leucocitoza nu este semnificativă.

Faza de debut — sau de *congestie alveolară și exsudatie* (engouement) — se caracterizează anatomo-patologic prin dilatarea capilarelor care îngroașă peretele alveolar și prin exsudație lichidiană seroasă în alveole, ambele procese contribuind la micșorarea cantității de aer în alveole (în care mai rămîn încă bule de aer) sau rămîn alveole neafectate (tabelul II, b).

La apăsare, zona bolnavă prezintă crepitații umede, iar la secțiune din alveole se scurge un lichid spumos.

Clinic se percepse submatititate ușoară și se aud raluri crepitante fine.

Din punct de vedere radiologic în această fază se constată o umbră palidă neuniformă sau difuză, un voal toracic situat de obicei pe întinderea unui segment de ventilație, mai ales cind există și o componentă *atelectatică*, imprejurare în care volumul pulmonar bolnav este

TABEL II

Corespondența între modificările anatomo-patologice, semnele clinice și imaginea radiologică în pneumonie

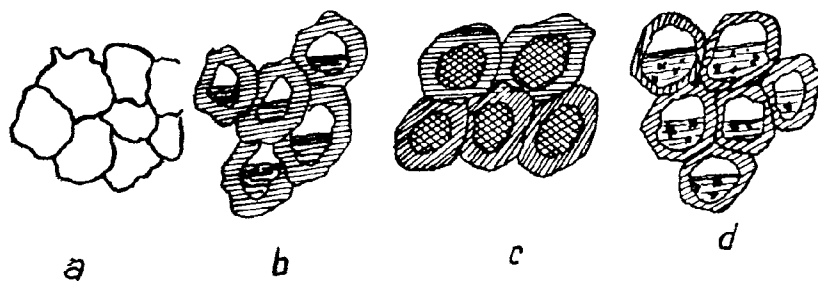


Fig. 183 — Tabelul II: modificările anatomo-patologice în pneumonie.

Faza de boală	Alveole sănătoase	Anguiment congestie (24 ore)	Hepatizație roșie (4–5 zile)	Hepatizație cenușie-rezoluție (2–5 zile)
Microscopic	Pereți foarte subțiri, lumenul liber	Dilatarea capillarelor, îngroșarea pereților alveolari + exsudat seros ce ocupă alveola parțial; mic-șorarea cantității de aer din alveole.	Bloc fibrinos cu globule roșii ce ocupă toată alveola în care nu se mai găsește aer.	Dispare hipermia vasculară, peretele alveolar se subțiază, conținutul se fluidifică și se elimină în parte. Restul fluid coexistă cu aerul intrat din nou în alveole.
Macroscopic la secțiune		Crepitație la apăsare, lichid spumos la secțiune	Consistență fermă ca ficatul și uscată	Aspect ischemic, cenușiu. Crepitație la apăsare și lichid la secțiune
Percuție	Sonoritate normală	Submatititate	Matitate	Submatititate
Auscultație	Murmur vezicular	Raluri subcrepitante	Suflu tubar	Raluri umede
RADIOLOGIC	Transparență normală	V oval	Opacitate întinsă	Voal sau opacitate neomogenă

mai mic, scizura concavă, spațiile intercostale mișcate (fig. 184, a), diafragmul în poziție înaltă și cu mobilitate redusă; se poate observa devierea mediastinului — cordului de partea bolnavă (Schulze, 1957). Acest aspect este explicat prin atelectazia pasageră consecutivă unei contracții a lobului bolnav, ceea ce reprezintă prima reacție a parenchimului în fața infecției pneumococice.

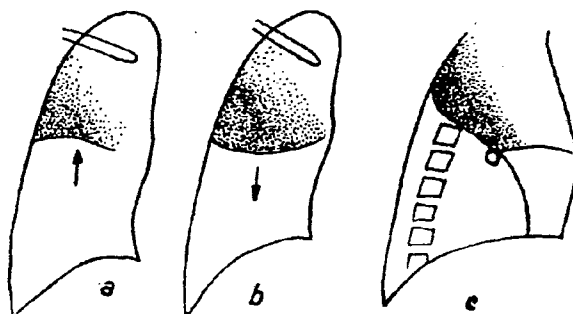


Fig. 184 — Pneumonia segmentului de ventilație posterior al lobului superior drept: a. în fază de anguiment, opacitatea este palidă iar scizura este aspirată; b. în fază de hepatizație roșie, opacitatea sporește moderat iar scizura este împinsă; c. imaginea din profil.

De obicei, în fază de debut a pneumoniei se constată un voal care nu ajunge pînă la scizura segmentului de ventilație afectat.

După cîteva ore și/sau în următoarele 3—4 zile, pneumonia trece din fază de congestie alveolară în fază de *hepatizație roșie* în care procesul patologic interesează complet segmentul de ventilație iar limita procesului spre scizură este netă. La început (fig. 182, a) se poate constata un focar nodular în centrul segmentului a cărui umbră se extinde spre periferie; alteori apar la început focare de opacificare nodulare, separate (b), care se unesc repede într-o opacificare unică (c), segmentară, către a 3-a și a 5-a zi.

Întinderea procesului inflamator în lobul respectiv se face prin scurgerea exsudatului și a pneumococului dintr-un sac alveolar în altul prin porii lui Cohn, iar de la un subsegment la altul prin intermediul bronhiilor, descărcarea fiind favorizată de mișările respiratorii și tuse, de gravitație.

În fază de hepatizație roșie, morfologic, segmentul pulmonar afectat sporește *în volum*, este mai consistent și *mai dens la palpare*, în alveole serozitatea este înlocuită de fibrină care coagulează în rețea, în ochiurile căreia sunt înglobate polinucleare și globule roșii care au trecut între timp prin capilare în alveole *în care nu se mai găsește aer*, iar clinic bolnavul prezintă la percuție matitate, la ascultație suflu tubar, expectorarea ruginie (tabel II, c).

Macroscopic, zona de parenchim bolnavă este mai roșie, mai densă și mai dură decât în prima fază, la secțiune și apăsare este *fermă*, ca ficatul și uscată, fără serozitate și crepitații și radiologic (fig. 184, b) este logic ca în această fază tonalitatea umbrei, care este uniformă, să fie mai mare; se constată bronhogramă aeriană, *semnul lui FLEISCHNER*,

segmentul sau lobul afectat este mărit iar scizura este bombată spre lobul sănătos.

Lobul bolnav și emfizemul compensator din ceilalți lobi solicită un efort din partea ventriculului drept; radiologic silueta cordului poate fi mărită. În cazuri rare, între ziua a 5-a—10-a se poate declanșa o criză cardio-vasculară care se manifestă prin edem pulmonar.

Cel mai frecvent sediu al pneumoniei, după Cocchi, este în:

— lobul inferior — 50% din cazuri — de predilecție în vîrful lui Fowler;

— urmează lobul superior cu 20% din cazuri, mai ales segmentul posterior al lobului superior;

— în 15% din cazuri, pneumoniile sunt întinse, afectează mai multe segmente de ventilație, iar în 15% din cazuri sunt bilaterale.

În raport cu segmentul de ventilație afectat, umbra pneumonică are configurația și sediul caracteristice.

PNEUMONIA SEGMENTULUI DE VENTILAȚIE POSTERIOR AL LOBULUI SUPERIOR DREPT (pneumonia lobară superioară a autorilor clasici)

Se traduce radiologic pe imaginea din față (fig. 184, b) printr-o umbra triunghiulară cu baza la peretele axilar al toracelui și vîrful la hil — *triunghiul lui WEILL și MOURIQUAND*. Limita inferioară a umbrei pneumonice este netă, scizurală și are formă de linie dreaptă sau curbă.

Latura superioară a umbrei triunghiulare se pierde treptat în regiunea subclaviculară.

Din profil (fig. 184, c), umbra pneumonică are formă de triunghi cu baza la peretele posterior al toracelui și vîrful anterior, la hil (*piramida BAZZANO*). Limita inferioară este constituită din marea și eventual mică scizură, limita superioară este neprecisă.

Tonalitatea umbrei pneumonice este omogenă. Prin densitatea ei se văd coastele și desenul pulmonar bronhovascular, ceea ce se explică prin faptul că aerul din conductele bronhice care sunt libere permite acestora să transpară prin blocul pneumatic (bronhogramă aeriană). În afecțiunile pleurale însotite de lichid sau în tumorile care distrug parenchimul pulmonar, desenul pulmonar nu transpare prin umbrarea toracică, fie că plămînul este împins, fie că desenul bronhovascular este distrus.

Opacitatea cea mai mare a procesului pneumatic se observă la a 3-a—4-a zi de boală, durează 3—4 zile cât și faza de hepatizație roșie, după care urmează (tabel II, d) stadiul de *hepatizație cenușie* în care nu se mai constată hiperemie vasculară, în exsudatul din alveole nu mai sunt globule roșii, ci apar numeroase leucocite polinucleare. La secțiune plămînul este ischemic și are aspect cenușiu gălbui; în alveole se găsește o masă reticulată de fibrină care începe să fie lichefiată de către leucocite care secretă un ferment proteolitic și totodată încep să curețe alveolele al căror conținut se golește prin rezorbție pe cale limfatică și prin eliminare pe cale bronhică.

În această fază (ce durează 2—6 zile) se produce „criza” și începe *stadiul de rezoluție*; vindecarea naturală fiind rezultatul apariției anticorpilor specifici cu acțiune contra polizaharidelor din capsula germenilor, care ușurează fagocitoza lor. Perioada de rezorbție a pneumoniei începe

la 5—7—9 zile după debut sau după 12—36 ore de la începutul tratamentului cu antibiotice dacă acest tratament a fost instituit precoce (imprejurare în care focalul pneumonic poate să nu se extindă la tot lobul iar durata de evoluție a bolii să fie mai scurtă, 1—2 zile (HEGGLIN)).

O dată cu criza febrilă se produce lichifierea maselor de fibrină din alveole; anatomo-patologic în alveole se găsește din nou lichid și aer (tabel II, d), la percuție, matitarea face loc submatității și încep să se audă din nou raluri umede (de retrur); iar radiologic se constată atenuarea pe început a intensității umbrei și micșorarea, întinderii lobului și a dimensiunilor focalului, rezorbția efectuându-se în 10—25 zile (2—3 săptămâni după criza febrilă).

În perioada de resorbție, Schulze notează desen pulmonar mai accentuat pe teritoriul care a început rezorbția și explică încărcarea ţesutului intersticial printr-un curent limfatic exsudativ, mai accentuat între alveolele cu lichidul ce se resorbe în limfatice și ganglionii regionali. Aspectul este mai evident pe tomografii.

Umbra pneumonică este capricioasă: uneori apare tîrziu după debutul clinic, alteori persistă și după dispariția semnelor clinice.

La copii, chiar o radioscopie negativă nu exclude pneumonia.

Modalități de resorbție: Radiologic se descriu 4 modalități de resorbție a focalului pneumonic (DÉVE):

— Focalul se atenuează pe zi ce trece, transparența plămînului se refac treptat pentru ca după un anumit timp să nu se mai constate nici o modificare radiologică;

— Alteori, resorbția începe la periferia focalului pneumonic și progresează spre centru și la examene successive, pe teritoriul focalului pneumonic se constată un focal umbrat, mai mult sau mai puțin rotund (fig. 185); în formele trenante, focalul rotund poate fi confundat cu un infiltrat precoce ASSMANN.

— Focalul pneumonic se poate resorbi inegal, mai intens la centru, mai slab la periferie (fig. 186). În acest caz rezultă o umbră cu transparență în mijlocul ei, care în cazul cînd resorbția este îndelungă, poate fi confundată cu o lobită tuberculoasă excavată.

— Resorbția în tablă de șah (fig. 187); focalul pneumonic se resorbe neuniform; în unele puncte transparența se apropiște de normal, în alte locuri rămîn noduli opaci neresorbiți sau apar focare atelectatice. La examenul radiologic se constată imagini pătate (care pot fi confundate cu imagini date de alte afecțiuni; de un infiltrat tuberculos nouros DUFORT — de pildă).

La copii, în cursul resorbției focalului pneumonic, se pot produce *bule de emfizem* (fig. 193); în prezent, pneumonia este diagnosticată și la adulții, de multe ori, în faza cînd în opacitatea focalului pneumonic se găsesc numeroase bule de emfizem care fac pentru un moment dificilă interpretarea cazului.

În cursul resorbției, pe teritoriul focalului pneumonic pot apărea dungi opace sau triunghiuri opace; acestea trebuie atribuite *atelectaziei secundare*.

Dispariția infiltratului pneumonic se poate constata în săptămîna a 3-a, dar și după 4 sau mai multe săptămâni; la bătrîni resorbția focalului pneumonic întîzie mult timp.

După resorbția focalului pneumonic, desenul pulmonar rămine accentuat cîteva săptămâni sub forma de desen în fagure (de la 35-a—60-a zi)

datorită turgidității spațiilor și vaselor limfatice (SCHULZE) ca și infiltrării țesutului intersticial care constituie un manșon în jurul elementelor bronho-vasculare.

În pneumonie sunt afectate pleura și scizurile care rămân opace sub formă de dungi și în faza de resorbție.

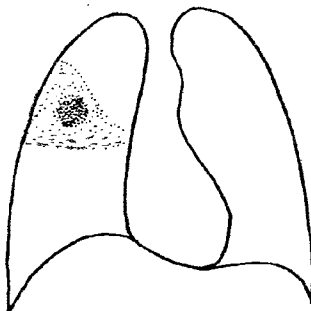


Fig. 185 — Resorbția la periferia focarului pneumatic cu persistența unui nod opac în centrul segmentului D₁.

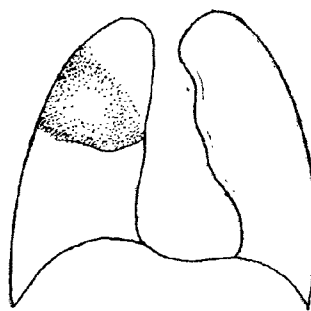


Fig. 186 — Resorbția centrală a focarului pneumatic din care rezultă un fo- car transparent.

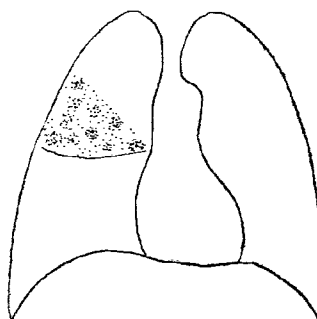


Fig. 187 — Resorbția în tablă de șah.

Sunt afectați de asemenea ganglionii traheo-bronchici și se constată o hipertrofie cu atit mai importantă a acestora, cu cît pacientul este mai tinăr.

Hepatizația galbenă. În pneumonia francă se constată păstrarea structurii alveolare a plămâinului, în majoritatea cazurilor. În unele cazuri, cînd pneumonia evoluează spre supurație, focarul bolnav în loc să se resoarbă trece în stadiul de **hepatizație galbenă** (de abcedare) — unii autori denumesc acest stadiu hepatizație cenușie — în care pereții alveolari sunt distruiți, se produce o necroză favorizată de tromboza vaselor sanguine, iar plămînul devine friabil. Se produce o infiltrație purulentă a segmentului respectiv, un abces pulmonar sau o gangrenă cînd s-a produs suprainfecția cu anaerobi.

În legătură cu pneumonia pot fi depistate radiologic următoarele complicații:

— recidiva focarului după cîteva zile, în același lob sau în alt lob;

— pneumonia recurrentă, este o recidivă care apare după săptămîni sau luni;

— întîrzierea resorbției se observă în formele grave, la alcoolici; în caz de decompensare cardiacă, la bătrini. În aceste împrejurări focalul pneumonic poate trece în pneumonie cronică.

— în *pneumonia cronică* se observă că în loc ca umbra focalului să se resorbă complet, apar focare noi în vecinătatea celor neresorbite; apar formațiuni fibroase în lungul trabeculelor bronho-vasculare, teritoriul lor se retractă și devine umbrit, în parenchim se produc bronsiectazii; mediastinul și peretele toracic sunt deviate spre focal (fig. 188);

— abcesul pulmonar și gangrena pulmonară apar în 1% din cazuri; pot surveni în perioada febrilă sau după scăderea febrei și au prognostic grav cu tendință la evoluție mortală;

— pleurezia poate fi para- sau metapneumonică; este caracterizată prin lichid în cantitate redusă și are importanță în măsura în care modifică imaginea radiologică clasică, determinând umbirea portiunii bazale a hemitoracelui respectiv. Lichidul poate fi sero-fibrinos (6—7% din cazuri), mai rar purulent (2—5% din cazuri înainte de era antibioticelor) și este de durată scurtă.

Formele de pneumonie. I. *Forme evolutive.* Pneumonia abortivă este notată foarte rar; s-au descris 0,2% pneumonii cu evoluție de 2 zile și 1,6% pneumonii cu durată de 3 zile.

În această grupă poate fi încadrată *pneumonia minimală*.

Pe de altă parte există stări tipice de pneumonie cu pneumococ I în spută, dar fără imagine radiologică.

— Pneumonia cu evoluție lentă poate fi observată la persoane cu stare generală alterată, criza febrilă survenind uneori la 19 zile după debut.

II. *Forme etiologice.* Focare pneumonice întinse cu aspect caracteristic se pot întîlni în pneumonie cu stafilococ, streptococ, cu bacilul Friedländer, cu bacilul Pfeiffer pe care le vom descrie o dată cu bronhopneumonile.

III. *Forme topografice.* În marea majoritate a cazurilor, pneumonie cu pneumococ interesează *numai un segment de ventilație* (denumirea corectă fiind cea de pneumonie segmentară în locul celei de pneumonie lobară); ea poate realiza tot atîtea forme topografice cîte segmente de ventilație există și au formă și sedii corespunzătoare.

În clinica veche se insista asupra *pneumoniei vîrstului*, care are simptomatologie clinică gravă și se întîlnește la copii, la bătrini, la alcoolici și tarați.

IV. *Forme în raport cu vîrstă.* Pneumonia sugarului. Pînă la vîrstă de 6 luni sugarii fac bronhopneumonii; după această vîrstă se întîlnesc, cu oarecare frecvență, pneumoniile cu focare unice, a căror incidentă crește înspre 2—3 ani.

La copil pneumonia afectează lobul superior sau lobul mijlociu drept.

Pneumonia minimală este realizată în cazurile în care focalul pneumonic are aspect nodular și dimensiuni reduse (cît o nucă fig. 182, a) și în cursul evoluției opacitatea nu se mai extinde la tot segmentul de ventilație și nu mai realizează umbra triunghiulară ca în pneumonie tipică; poate avea caracter abortiv. Pneumoniile minimele sunt frecvente la copii și se pot manifesta sub formă distelectatică.

— *Pneumonia distelectatică paravertebrală sau migratorie* se întâlnește la copii mici și la sugari, se caracterizează prin aceea că focarul umbrat își schimbă sediul în cursul evoluției, focalul pneumonic afectând succesiv mai multe segmente. Opacificarea începe în porțiunea juxtavertebrală a lobului superior (fig. 189) și se extinde cu timpul caudal de-a lungul coloanei pe măsură ce procesul distelectatic afectează parenchimul paravertebral al lobului inferior, în timp ce focalul supracent jacent se resorabe. Durata evoluției este prelungită.

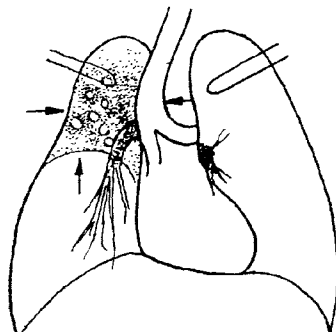


Fig. 188 — Pneumonia cronica.

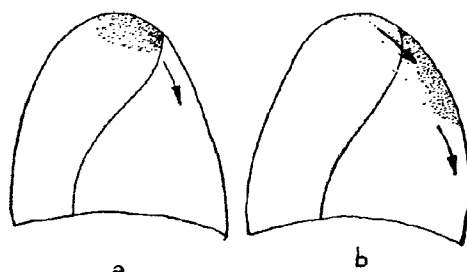


Fig. 189 — Pneumonia distelectativă paravertebrală (sau migratorie).

Pneumonia distelectatică la copiii denutriți presupune o slabă dezvoltare după naștere a alveolelor (diselectazie) și o ventilație insuficientă care poate merge pînă la atelectasia parenchimului pulmonar din sănțul costo-vertebral: aceste condiții sunt favorabile grefării procesului inflamator care generează apariția pneumoniei în focar și extinderea la segmentele subjacente.

La adult pneumonia migratorie presupune o reactivitate scăzută a organismului. Din statistică lui Wiele (1940), din 363 pneumonii s-a constatat că 97 (23,9%) sunt pneumonii migratoare și la acestea s-a notat o mortalitate de 41%.

V. Forme de pneumonie după întinderea leziunilor.

Pneumonia în cască. Pneumonia cuprinde de obicei un singur segment de ventilație, dar la copiii și bătrînii debilități focalul pneumonic poate cuprinde, concomitent sau succesiv, atât segmentul posterior cît și cel apical al lobului superior, umbrind întreg lobul superior care prin rotunjimea virfului se asemănă cu silueta unei căști metalice (fig. 190).

Umbra în cască poate fi realizată de la început, aceasta se numește pneumonie

„în cască primitivă“ și are prognostic grav. Cind segmentul de ventilație se prinde ulterior, casca este „secundară“ și, survenită în cursul evoluției unei pneumonii, este, de asemenea, de prognostic grav.

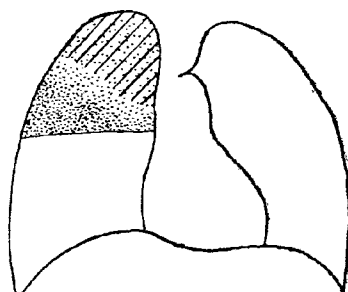


Fig. 190 — Pneumonia în „cască“.

În cursul rezoluției focarului pneumonic se poate întâmpla ca resorbția în segmentul de ventilație apical să se producă înaintea resorbției focarului din segmentul dorsal. În acest caz starea clinică se îmbunătățește, umbrarea în casă dispare și rămîne numai opacitatea triunghiulară dată de segmentul posterior („*umbră triunghiulară de return*“) și are prognostic bun.

Pneumonia centrală presupune prezența unui focar în centrul unei zone de ventilație care în cursul evoluției nu se extinde la întreg segmentul de ventilație sau la întreg lobul pulmonar. Oricare pneumonie începe ca un focar central care în zilele următoare se extinde și la celelalte porțiuni ale segmentului afectat (fig. 182).

Pneumonia hilară se traduce printr-o umbră rotundă sau ovoidă care se proiectează la nivelul hilului (fig. 126).

Se credea că focarul pneumonic are sediul în parenchimul din jurul hilului (pneumonie hilară adevărată); în prezent, datorită concepției lui Felix, este evident că procesul pneumonic este localizat în parenchimul unui segment de ventilație situat în fața (V_2) sau îndărătul hilului (D_3) și că umbra focarului se proiectează (optic) într-o anumită incidență în hil (în care nu se găsesc lobuli parenchimatoși).

Pneumonia centrală și pneumonia hilului erau considerate ca forme mute de pneumonie, pentru că nu se traduc prin semne stetacustice. Se știe că și focarele periferice de pneumonie în unele cazuri nu dau semne caracteristice.

În pneumonia totală sunt afectați lobii unui singur plămîn.

În pneumonia bilaterală-dublă, sunt afectate concomitent sau succesiv segmente de ventilație la ambiilor plămîni.

Diagnosticul diferențial în pneumonia franc-lobară trebuie să se facă cu pneumopatiile virotice, cu pneumopatiile cu stafilococ, streptococ, bacil Friedländer, bacil Pfeiffer, cu pneumonia rickettsiană, care realizează focare opace întinse, ale căror caractere le vom studia la capitolul bronhopneumonii, cu pneumonia tuberculoasă; cu atelectazile prin obstrucție bronhică, cu pneumoniile secundare din cancer și bronșiectazii, cu faza incipientă din abcesul pulmonar.

BRONHOPNEUMONIA SAU PNEUMONIA ÎN FOCARE

Pneumocoul patogen produce la unele persoane pneumonia lobară sau segmentară, iar la copii produce bronhopneumonia, cu atât mai frecvent cu cât sunt mai mici. În timp ce în pneumonie este vorba de un focar unic de alveolită (fig. 191), în bronhopneumonie procesul inflamator apare sub formă de focare multiple și izolate și începe la nivelul bronhioli (fig. 192), de unde se extinde la țesutul conjunctiv peribronhovascular pe care-l accentuează și la acinii pulmonari din jurul porțiunii bronhioli bolnave în care se produce alveolita și astfel anatomo-patologic rezultă leziuni nodulare mixte — bronhice, interstițiale și parenchimatoase.

Față de pneumonie, în care modificările alveolare sunt de același tip, caracteristice stadiului anatomo-patologic respectiv, focarul bronhopneumonic reprezintă toate fazele procesului pneumonic, condensate într-un singur nodul, la care, în centru, se găsesc fenomene de hepatizație, iar la periferie modificări de congestie, atelectazie și emfizem.

Practic, s-a constatat că în sindroamele clinice denumite bronhopneumonie, leziunile anatomo-patologice pot fi pur alveolare și nu sunt centrate obligator pe leziuni bronhice, de unde denumirea de pneumonia în focare, unii autori studiindu-le în același grup cu pneumonia franco-lobară sau cu pneumoniile nebacteriene.

Dacă în pneumonia lobară predomină leziunile alveolare, în pneumoniile în focare cu altă etiologie decât pneumocoul, pe primul plan sunt leziunile interstitionale, care în cele din urmă se complică cu alveolită exsudativă.

Clinic, debutul bronhopneumoniei este insidios, dar progresiv și în perioada de stare simptomele sunt destul de pronunțate; se constată febră, dispnee, stare generală rea, iar local se constată focare de condensare reduse ca întindere, disseminate la ambele plămâni, la nivelul căroro se percep submatitate și salve de raluri subcrepitanțe.

Evoluția bolii este ne-regulată și în cursul ei apar focare noi, ceea ce explică variațiile febrei și ale semnelor radio-clinice.

Radiologic în bronhopneumonie se constată:

- semne de bronștită, cu accentuarea desenului bronhovascular, mai ales în hiluri care sunt întinse și au caracter difuz;

- prezența de noduli cu dimensiuni de la un bob de mei pînă la o ci-

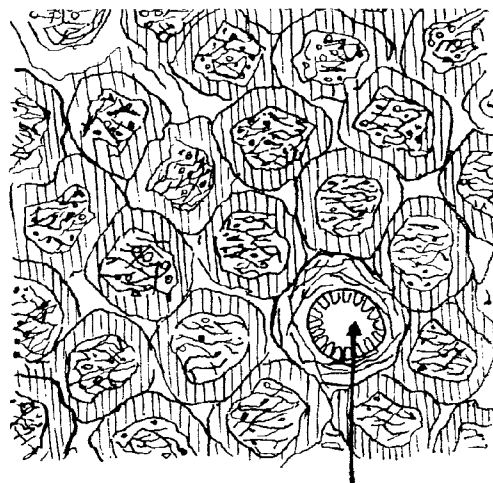


Fig. 191 — În pneumonie, histologie, se observă modificări inflamatorii alveolare de același tip; bronhiola este liberă chiar în faza de hepatizație roșie.

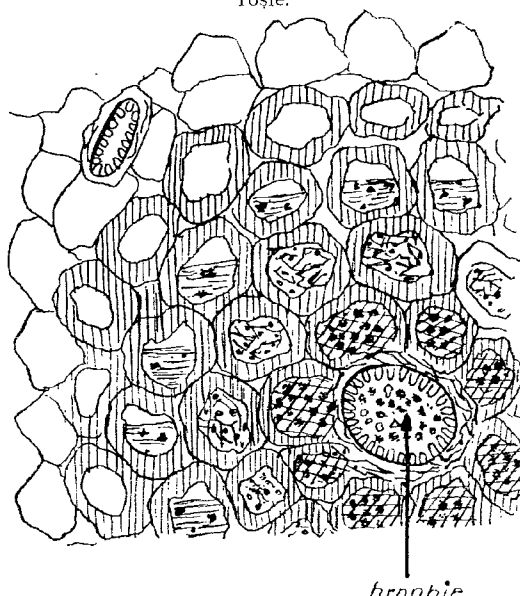


Fig. 192 — În bronhopneumonie, fenomenele inflamatorii sunt axate pe o bronholă care are lumenul obstruat și în jurul acesteia se găsesc în același focar, concomitent, toate stadiile procesului pneumatic.

reașă, situați în parenchimul din jurul hilurilor, având răspîndire neomogenă;

- leziuni interstîiale;
- ganglionii din hiluri sănt adesea tumefiați și explică mărirea hilurilor.

În raport cu dimensiunile nodulilor, se pot descrie:

- bronhopneumonii cu noduli miliari;
- bronhopneumonii cu macronoduli;
- în unele cazuri se observă confluența nodulilor în focare segmentare (bronhopneumonie pseudolobară).

Bronhopneumonia se poate prezenta radiologic sub una din următoarele forme:

În bronșiolita sau bronșita capilară (care se întâlnește la copii în rujeolă, gripă și tuse convulsivă) se constată accentuarea umbrelor hilare și semne de emfizem pulmonar generalizat sau localizat la baze. Emfizemul pulmonar rezultă în urma obstrucției bronhiilor mici cauzate de tumefierea mucoasei prin enantem. Aerul lăsat în inspir să pătrundă nu reușește să se eliminate în aceeași măsură în expir (fig. 193) și duce la emfizem de distensie.

— Bronhopneumonia cu noduli miliari. Bronșita capilară se complică frecvent cu bronhopneumie și dacă reactivitatea copilului face față sindromului infecțios, se constată că apar noduli în jurul bronhiolelor cu peretii tumefiați.

Imaginea radiologică constă în prezența a numeroși noduli opaci miliari, cu dimensiuni cît un bob de mei sau mai mici, diseminati în jurul hilurilor congestive și înspre baze (fig. 194).

Diseminarea este inegală, neomogenă la dreapta față de stînga.

Alteori, nodulii pot avea dimensiuni mari, cît un sămbure de cireașă sau cît o alună (fig. 195) și constituie bronhopneumonia cu macronoduli. Și în acest caz sediul nodulilor este în hiluri și în jurul hilurilor. Numărul nodulilor este de la cîțiva — pînă la zeci de noduli de ambele părți.

Fiecare nodul, analizat în parte, are două tonalități:

- central, constituit din bronhiolă cu peretii infiltrati, cu lumenul plin cu secreție și cu alveolele din jur pline cu exsudat mucos, leucocite și fibrină, este opac;

- în timp ce la periferie, unde procesul constă în congestie simplă cu dilatare a vaselor sau atelectazie, tonalitatea este palidă (fig. 192).

Cind nodulii au tendință la confluență, ei determină umbriri întinse triunghiulare și realizează bronhopneumonia pseudolobară. În această formă se constată următoarele elemente patologice (fig. 196):

- difuziunea umbrelor hilare;
- noduli bronhopneumonici izolați, diseminati în jurul hilurilor;
- umbrire pseudolobară unică sau umbriri pseudolobare multiple.

Parte din nodulii bronho-pneumonici sunt datorați focarelor de atelectazie consecutive obstrucției bronhiolelor și au dinamică radiologică vie, în sensul că apar și dispar mai repede decît nodulii inflamatori.

Bronhopneumonia cu leziuni predominant interstîiale. În bronhopneumopatiile acute, leziunile interstîiale sunt întîlnite alături de cele alveolare. Sunt uneori bronhopneumopatii în care

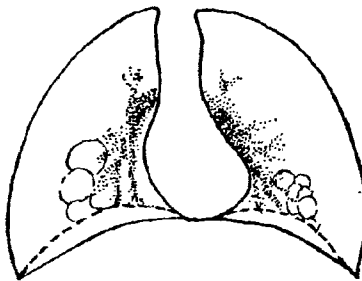


Fig. 193 — Bronșita capilară, bronhopneumonia cu bule de emfizem de obstrucție.

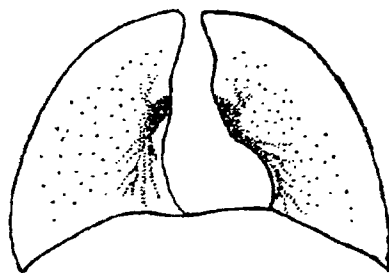


Fig. 194 — Bronhopneumonia cu noduli miliari.

Leziunile interstitioniale sunt predominante, ca în bronhopneumopatia virală gripală, aceea din febra Q, din mononucleoza infecțioasă, din poliomielită.

Anatomo-patologic leziunile interstitioniale constau în infiltrări leucocitare și edem și sunt consecutive proceselor exsudative din țesutul interstitial peribronhovascular și interlobular în trama lui BEŞANCON.

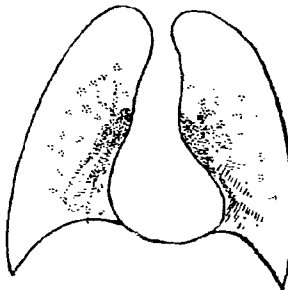


Fig. 195 — Bronhopneumonia cu macronoduli.

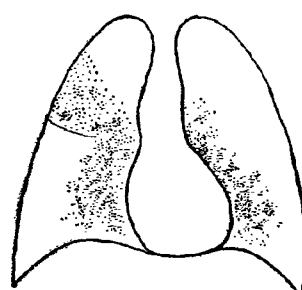


Fig. 196 — Bronhopneumonia pseudolobară.

Semnele radiologice constau în umbre hilare întinse și difuze; se observă trabecule care pleacă de la hil spre periferie unde se epuizează într-un desen pulmonar accentuat care poate lua caracter reticular.

În cursul rezoluției în bronhopneumonii dispar întotdeauna nodulii și umbra pseudolobară și în cele din urmă se atenuează accentuarea desenului pulmonar. Hipertrofia ganglionilor limfatici din hiluri poate dura mult timp.

La copil, în cursul rezoluției focarelor bronhopneumonice pot apărea bule de emfizem (fig. 193).

Substratul polimorf al modificărilor anatomo-patologice din bronhopneumonie explică variabilitatea și mobilitatea tabloului radiologic.

Complicații. În bronhopneumonii se întâlnesc reacții pleurale și mai ales supurative și erupții buloase pulmonare. Chiar după tratamentul cu

antibiotice prognosticul bronhopneumoniei este mai puțin favorabil decit al pneumoniei tipice.

FORME ETIOLOGICE

Din punct de vedere *etiolologic*, bronhopneumoniile pot fi:

— nespecifice (ca bronhopneumonia hipostatică, cea de aspirație, cea de răceală);

— specifice (cu stafilococ, febră Q, virusul gripal, rujeolă, tuse convulsivă);

— cu anumite caracteristici anatomici (infiltrate cu colesterolină și cu Plasmazellen);

— bronhopneumonii ce însoțesc alte sindroame clinice sau care nu pot fi clasate în formele de mai sus.

Bronhopneumoniile nespecifice

1. *Bronhopneumonia hipostatică*. Se întâlnește la bătrâni și cardiaci care sunt nevoiți să păstreze mult timp decubitul dorsal. Focarele bronhopneumonice au sediu în segmentele bazale și posterioare care sunt slab irigate și insuficient ventilate, în care se produc fenomene de stază în venele pulmonare și atelectazie, stări pe care se grefează ușor microbii din căile aeriene și produc fenomene inflamatorii.

Radiologic se constată umbră difuză noroasă a bazelor pulmonare de o parte sau de ambele părți. Limita superioară a umbrei este pierdută, neprecisă (fig. 197). Umbra hilurilor poate fi mărită și difuză. Silueta cardio-vasculară este modificată. Diagnosticul diferențial se face cu plăminul de stază (fără fenomene inflamatorii) numai pe baza datelor clinice.

Bronhopneumonii se pot produce în caz de infarct pulmonar și după traumatisme toracice, procesul inflamator fiind favorizat de focarul hemoragic și de tulburările de circulație concomitente.

2. *Bronhopneumonia prin aspirație* se întâlnește după anestezii chirurgicale, amigdalectomii, traheotomii, în tulburările neurologice, în tulburările de deglutition etc. Sediul modificărilor umbroase neomogene și forma lor sunt caracteristice; este afectat lobul mijlociu și lobul inferior drept, care sunt ventilate de bronchia principală dreaptă care are traiect aproape în continuare trahei, direcție proprie aspirației.

În mod obișnuit, evoluează spre rezoluție și vindecare. Rareori procesul patologic trece în cronicitate și se organizează fibros sau se produce o supurație.

3. *Bronhopneumonia a frigore*. Frigul determină slăbirea reactivității organismului, iar flora microbială obișnuită din căile aeriene (de obicei pneumococul), este capabilă în aceste împrejurări să producă focare de bronhopneumonie.

Imaginea radiologică constă în accentuarea desenului bronhovascular și în prezența de focare nodulare umbrite, multiple.

Bronhopneumonii specifice bacteriene

1. Bronhopneumonia cu streptococ sau stafilococ auriu, este rareori primitivă, obișnuit secundară unei infecții virotice a căilor respiratorii superioare care lezează mucoasa acestora; se mai întâlnește după rujeolă, după amigdalită și după gripă.

Agentul patogen poate veni pe căile respiratorie din căile aeriene superioare, dar focarele bronhopneumonice pot fi consecutive și unor metastaze pe cale hematogenă (în caz de septicopiozie), plecate de la

un furuncul sau infecție cutanată — piodermită, reumatismului Sokolski-Bouilaud.

Stafilococul auriu produce o coagulază care explică trombozări vasculare multiple în teritoriile infestate cu stafilococ, tromboze ce împiedică trecerea antibioticelor în focarele bronhopneumonice și favorizează necroza focarelor. Se întâlnește la sugari și copii și se caracterizează în etapa infecțioasă prin prezența de opacități nodulare (izolate) de ordin lobular, care în zilele ce urmează pot conflua în umbre întinse, segmen-

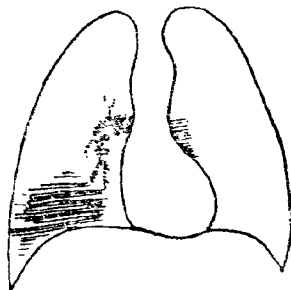


Fig. 197 — Bronhopneumonia hipostatică.

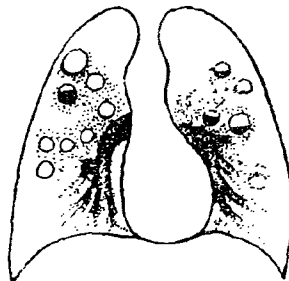


Fig. 198 — Bronhopneumonia cu stafilococ sau cu streptococ.

tare, în sinul cărora, în etapa buloasă, apar exploziv imagini transparente, rotunde sau ovoidale, uneori cu nivel de lichid. Nodulii pneumonici se necrozează, supurează, conținutul se elimină și pe locul lor se dezvoltă numeroase abcese a căror cavitate este suflată prin mecanismul de ventil (pneumatozel); peretele foarte subțire face ca imaginea să semene cu chistele aeriene. În cursul procesului patologic, în timp ce unele imagini transparente dispar, apar alte opacități fiice și alte imagini suflate pe alte teritorii, realizând aspect de pneumopatie buloasă (fig. 198, 233).

În timp ce bronhopneumoniile cu streptococ sunt rare, bronhopneumoniile stafilocice au sporit în ultimul timp, în special la copii, paralel cu creșterea infecțiilor intraspitalicești; ele se complică frecvent cu pleurezia purulentă a marii cavități (sau piopneumotoraxul) și cu supurațiile la distanță.

2. Bronhopneumonia cu bacili Friedländer (*Klebsiela pneumoniae*) se întâlnește rar, reprezentând 0,5—1% din toate pneumoniile; are prognostic grav, mortalitatea putând surveni în 70—80% din cazuri.

Radiologic se constată prezența de noduli multipli cu sediul în lobul superior drept sau în mai mulți lobi. Nodulii confluăază într-o umbră întinsă, densă (căd umbra cordului) și net delimitată, care bombează scizura și mediastinul. În a doua zi de boală sunt posibile ramoliri și abcese și se pot constata una sau mai multe imagini transparente inelare suflate, care pot persista.

Procesul patologic se poate resorbi treptat în cîteva săptămîni, efect terapeutic favorabil avînd: sulfamidele, streptomicina, aureomicina.

În alte cazuri are tendință de cronicizare, scleroză și bronșiectazie.

În fine, trebuie să menționăm cazurile cu evoluție fulgerătoare și deces după cîteva zile.

3. Pneumoniile infirmicrobiene (abacteriene sau atipice primitive) sunt produse de microorganismele virale, adenovirale, rickettsia burnetti etc.

După unele studii, 50—85% din pneumoniile nebacteriene sunt datorate agentului EATON (*Mycoplasma pneumoniae*).

Bronhopneumonia gripală. Influență sau gripe epidemice este datorată virusului gripal (și nu bacilului Pfeiffer), din care au fost individualizate mai multe tipuri: virusul gripal A, cel mai frecvent, și tipul B — fiecare cu mai multe varietăți. Gripa de Honkong este produsă de virusul A₂.

Din punct de vedere clinic și radiologic, bronhopneumonia gripală face parte din grupul pneumoniilor atipice, dar mulți autori o discută în afara acestui grup, împreună cu pneumonii al căror agent este deja cunoscut.

Virusul lezează în special celulele epiteliale ale mucoasei traheei și bronhiilor mari (ziua a 2-a, a 3-a) care se necrozează și duce la detasarea fragmentelor de mucoasă necrozată în ziua a 3-a—a 5-a; leziunile mucoasei deschid porțile infecției microbiene secundare sau mixte.

Clinic și radiologic manifestările toracice ale gripei (Hegglin) constau în:

— traheobronșita gripală ce se traduce prin accentuarea desenului bronhovascular în hiluri și în ambele cîmpuri pulmonare;

— bronșiolita gripală care prin stenoză sau obstrucție a bronhiolelor realizează aspect de bûle de emfizem ori de noduli miliari atelectatice pe ambele arii pulmonare;

— bronhopneumonia gripală cu noduli mari este cea mai evidentă formă și se caracterizează prin „triunghiul gripal” juxtagardiac (GÖTCKE). Aria triunghiulară umbrată „în geam mat” este străbătută de coridoane congestive (modificări în țesutul intersticial peribronhovascular) și este presărată cu noduli bronhopneumonici și atelectatice. În inspirațiile profunde, prin pătrunderea aerului în alveole, intensitatea umbririi triunghiulare se reduce și devin mai evidente infiltratiile peribronhice — coridoanele hiliobazale. Uneori pot apărea bûle de emfizem.

— pneumonia gripală

Hemofilul influenței (bacilul lui PFEIFFER) împreună cu alți agenți bacterieni ce trăiesc ca saprofiți în căile respiratorii (pneumococ, streptococ, stafilococ) se asociază de obicei infecției gripale care în acest caz poate îmbrăca forma pneumoniei franc-lobare (realizând *gripa cruposa*, care apare în a 3-a—13-a zi a gripei).

— edemul pulmonar acut hemoragic cu umbriri confluente în cele 2/3 inferioare ale ariilor pulmonare;

— exsudatele pleurale gripale nu sunt întâlnite frecvent și lichidul este în cantitate mică; cînd se constată cantități mari de lichid trebuie atribuit unei infecții pulmonare mixte sau infecției secundare ca și empiemul;

— *adenovirozele* se manifestă clinic prin faringită cu usoară stare febrilă, amigdalită, laringită. Adenovirusurile pot provoca și pneumonii în focare, conjunctivite, manifestări intestinale diverse care pot lua aspectul unor apendicite; adenopatii cu diferite localizări.

Bronhopneumonia virotică — — pneumonia atipică sau pneumoniile interstitiale se manifestă clinic prin simptomatologie de gripă cu tuse, catar respirator, dureri toracice și febră.

Diagnosticul se stabilește prin izolarea virusului, reacția de aglutinare, ancheta epidemiologică.

Spre deosebire de pneumonia francă cu pneumococ, în pneumoniile atipice, V.S.H. nu este accelerată, numărul de globule albe este normal sau scăzut. Aglutinarea la rece a globulelor roșii este pozitivă în 50—60% din cazuri și titrul reacției este cu atât mai ridicat, cu cât modificările pulmonare inflamatorii au fost mai pronunțate.

Denumirea de pneumopatie a tipică arată că această boală are etiologie virotică, simptomatologie și evoluție deosebite de cea a pneumoniei clasice tipice (cu pneumococ); iar denumirea de pneumonie interstitială arată că modificările patologice au predilecție pentru țesutul interstitial și elementele constitutive din spațiile peribronho-vasculare. Pneumopatiile virotice favorizează suprainfecția bacteriană și apariția pneumopatiilor mixte, numite și pneumonite.

Radiologic, în bronhopneumonia virotică se pot întîlni:

- umbre hilare întinse și difuze;
- întărirea desenului pulmonar mai ales între hil și bază sub forma unor cordoane care se resfiră în evantai și se văd mai bine în inspir cind transparența dintre ele sporește;

- prezența de noduli în jurul hilurilor și spre baze; nodulii au dimensiuni variate, de la noduli miliari, pînă la noduli mari cît o alună; nodulii sunt parte inflamatorii, parte atelectatici, în urma obstrucției bronhiilor de calibră mic, al căror lumen este ocupat de dopuri din epitelium necrozat amestecat cu exsudat mucoid.

Prezența umbrelor întinse, segmentare, este semnalată și în pneumoniile virotice; tonalitatea umbrei este palidă — „în geam mat“ — pentru că exsudatul alveolar este constituit de o serozitate cu puține elemente figurate și nici nu umple alveolele complet.

Modificările radiologice durează în medie două săptămâni, după care se sterg progresiv de la periferie spre hil, în decurs de cîteva săptămâni.

În febra Q am constatat umbriri de tip pneumonic, de formă triunghiulară, de mărimea unui segment de ventilație; umbrirea nu avea legătură cu hilul. Am găsit și forme nodulare multiple și forme interstitiale.

Bronhopneumonia din rujeolă și tusea convulsivă. Modificările pulmonare sunt constatațate în 50% din cazurile cu rujeolă; bronhopneumonia este datorată virusului rujeolic (și se manifestă în primele zile de boală) sau este secundară invaziei microbilor asociați (și apare ca o complicație a bolii, mai ales către sfîrșitul ei).

În rujeolă, în perioada de dezvoltare a exantemului se produc adenopatii hilare, modificări ale mucoasei bronholelor mai ales (enantem) și ale țesutului interstitial și emfizem consecutiv „air-trapping“-ului.

La examenul radiologic, inițial, se constată modificări de pneumopatie interstitială cu accentuarea desenului pulmonar în hiluri și în jurul lor și emfizem acut, datorat fenomenelor de bronhiolită, evoluind cu dispnee și stare toxică gravă.

Ulterior, apar noduli miliari sau aspecte de bronhopneumonie cu noduli mari.

Diafragmul la bază are poziție înaltă și mobilitate redusă.

Bronhopneumoniile bacteriene în rujeolă (pneumopatiile mixte) apar mai tîrziu, în cursul evoluției bolii, după dezvoltarea exantemului.

În tusea convulsivă se poate observa difuziunea hilurilor — leziuni interstitiale sub formă de trabecule — care înneacă conturul cordului și realizează aspectul de „cord în flacără“.

La 7% din copii se întâlnesc opacefieri pulmonare segmentare care sunt atribuite atelectaziei și sunt explicate prin obstrucții bronșice prin dop de mucus, compresiune bronșică prin ganglionii hilului hipertrofiati sau prin contracție reflexă a parenchimului pulmonar. Cel mai frecvent se constată o umbra triunghiulară juxtamediastinală (MARQUEZY), ce se întinde între hil și diafragm și ocupă sinusul cardio-diafragmatic (fig. 199). Umbra poate fi bilaterală. Teritoriul umbrei rămîne nemodificat și după treccerea perioadei acute a tusei convulsive și poate persista săptămîni și luni.

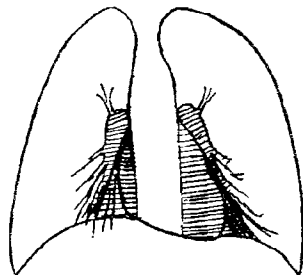


Fig. 199 — În tusea convulsivă se poate întâlni de ambele părți umbra triunghiulară juxta-mediastinală.

iar cu colesterină sau cu plasmocite, iar alveolele sunt pline cu celule spumoase sau exudat albuminos.

Cercetările serologice ale lui Goetz, 1960, au confirmat părerea lui Vanek și Jirovec, 1952, că bronhopneumonia interstitală cu plasmocite este determinată de un parazit — *Pneumocystis Carinii*.

Bronhopneumonile alergice sunt reprezentate prin *înfiltratul cu eozinofile* descris de LÖFFLER și *înfiltratul cu reacție B.W. pozitivă*, HEGLIN—FANCONI, ambele descrise și sub numele de *înfiltrate labile (fugace)*.

În ambele cazuri simptomatologia clinică poate fi atenuată, iar radiologic se pot întâlni focare umbrite unice sau multiple, sub formă de noduli mari căt o nucă, de tonalitate palidă și omogenă, care are contur pierdut. Acestea au evoluție benignă și se resorb în decurs de cîteva zile (sunt fugace); pot recidiva.

Dacă se efectuează examene de laborator,

— în primul caz se constată eozinofilie marcată (7—50%), și semne de ascaridioză în cursul căreia migrarea larvelor poate produce *un infiltrat pulmonar fugace*, iar

— în al doilea caz reacția B.W. și cele similare în singe sunt pozitive în timpul dezvoltării infiltratului.

Infiltratul cu eozinofile recidivează, dar nu lasă sechele.

Infiltratul cu reacție B.W. pozitivă lasă cicatrici pulmonare și ingroșări pleurale.

PNEUMOPATII CRONICE DE CAUZE DIFERITE

PNEUMONIA LIPOIDICĂ

Este a pneumopatie cu evoluție cronică, secundară pătrunderii de oleu de parafină în interiorul alveolelor. Este descoperită de obicei radiologic la persoane care folosesc timp îndelungat instilații nazale de picături gomol, mentorin sau ingestie repetată de laxative care conțin oleu de parafină. Se localizează în lobul mijlociu sau segmentul bazal posterior al lobului inferior drept ale căror bronhii sunt în axul și în continuare traheei și se traduce prin umbrire intensă ce poate fi confundată cu neoplasmul bronho-pulmonar.

PNEUMONIA CRONICĂ PRIMITIVĂ

Este rară; frecvent se întâlnește pneumonia cronică secundară după pneumonii și bronhopneumonii acute ale căror focare în loc să se rezorbă trec în stadiu de cronicizare și scleroză. Infilațiile și scleroza afectează spațiile interstitiale, dar și alveolele.

Imaginea radiologică din pneumonia cronică nu este tipică: se pot constata zone traversate de benzi opace și presărate cu noduli fibroși sau umbrire neomogenă (fig. 188) a unui lob sau plămîn în întregime.

Cu timpul este prinsă și pleura.

Se produc tulburări de ventilație (atelectazii, bule de emfizem), bronșiectazii.

Peretele toracic, diafragmul și mediastinul sunt retractate.

MUCOVISCIDOZA PULMONARĂ (FIBROZA CHISTICĂ)

Este o anomalie ereditară caracterizată printr-o tulburare enzimatică care compromite fluidificarea secrețiilor din organism, de unde rezultă o secreție viscoasă de mucus provenită din glandele apocrine sau majore, în produsul de secreție coloidală (fluidă) a cărora intră și „portiunea decapitată” a celulei secretante holomeroocrine, având drept urmare o îngreunare a scurgerii secrețiilor, determinind prin aceasta modificări clinice și radiologice la plămîn și tractul gastrointestinal, de asemenea, modificări caracteristice în electrolitii sudorii.

Determinările pulmonare sunt întâlnite cel mai frecvent, apar la vîrstă sugarului și copilului și constau în obstrucții bronhiolare cu mucus viscos, care cauzează focare mici de atelectazie și de infecții pulmonare repetitive. Frecvent, infiltratele sunt peribronhice și au tendința să afecteze ariile perihilară și lobii superioiri.

Desenul perihilar devine accentuat și neregulat, pe alocuri estompind marginile cordului care are aspect de „cord în flacără” ca în tusea convulsivă.

Pneumoniile recidivante și focarele de atelectazie produc o imagine pulmonară variabilă, asociată cu hiperinflație. Aceste modificări au dinamică vie (aspectul radiologic se schimbă repede). Eventual apar modificări permanente ce constau în bronșiectazii, fibroză pulmonară și emfizem. Afectarea difuză poate să ducă la cord pulmonar.

În cazurile moderate, se poate ca în copilărie să nu se manifeste, simptomele apărind la adult sub formă de pneumonie recurentă.

Emfizemul pulmonar, fibroza și bronșiectaziile sunt caracteristice pentru forma adulțului.

La circa 10% din nou născuții cu fibroză chistică, mucusul consistent astupă intestinul subțire și produce ileus meconial.

Poate apărea perforația și peritonita, realizând tabloul radiologic caracteristic de peritonită meconială; meconium extraluminal se poate calcifica.

Deficiența enzimelor pancreatici produce diferite grade de steatoare și malabsorbție la nou născut și copil. Intestinul subțire are radiologic caractere de insuficiență sau malabsorbție cu portiuni de dilatație segmentară, cu pliuri îngroșate și sterse, hipomotilitate.

Este afectată și ansa duodenală, duodenul putind fi singurul segment afectat; stergerea pliurilor duodenale dă mucoasei aspect neted sau pătat.

Într-un număr mic de cazuri, astuparea cronică a canaliculelor biliare produce ciroza hepatică, cu splenomegalie și varice esofagiene. Se poate constata fibroză chistică pancreatică.

Mucoviscidoza este, probabil, un factor etiologic în emfizemul pulmonar și în ulcerul peptic și explică asocierea lor frecventă.

PNEUMOPATIILE ACUTE SUPURATE; GENERALITĂȚI

Pneumopatiile supurate sunt afecțiuni acute sau subacute a căror trăsătură comună este dată de caracterul supurativ al procesului inflamator pulmonar, în cursul căruia și din cauza fermentilor proteolitici și bacteriilor în cauză, la care se asociază și tulburări circulatorii, se produce necroza și topirea țesutului pulmonar inflamat.

Supurațiile pulmonare sunt determinate de germeni piogeni banali (stafilococ, pneumococ, streptococ — **a b c e s u l p u l m o n a r**); aceștia, în asociație cu germeni anaerobi, cu fuzospirili — dau **g a n g r e n a p u l m o n a r ā**, care se grefează pe țesutul pulmonar sănătos sau cu leziuni preexistente, distrug parenchimul și dau nastere la cavități hidro-aceice.

Supurațiile pulmonare difuze evoluează ca atare de la început ori se dezvoltă pe fondul altor boli, într-un parenchim modificat anterior prin bronșiectazii, corpi străini sau cancer bronhic.

Agentul patogen este de obicei autogen și ajunge la țesutul pulmonar pe cale bronhogenă sau de vecinătate per continuitate sau pe cale hematogenă. Heteroinfecția este rară sau contestată.

Datorită unor cauze favorizante (frigul, boli intercurente, intoxicații cronice, debilitate) care modifică reactivitatea organismului, acești microbii care se găsesc în stare saprofită în căile aeriene proprii sau în alte părți ale organismului, devin patogeni și produc supurație pulmonară.

SUPURAȚIILE PULMONARE CIRCUMSCRISE

A. Abcesul pulmonar este un focar de supurație localizată în parenchim, care se colectează într-o cavitate neoformată, scobită în plămîn în urma unui proces inflamator acut.

Cauzele abcesului pulmonar pot duce la împărțirea în primitive și secundare.

În cele primitive, calea de infecție este de obicei aeriană și supurația datorată florei microbiene din căile aeriene se produce într-un parenchim sănătos anterior.

În 50% din cazuri, abcesele sunt secundare unui traumatism toracic sau apar după o plagă toracică — împrejurări în care agentul patogen este introdus direct în plămîni, sau plămînul lezat favorizează supurația și necroza țesutului pulmonar, datorită producerii unui hematom și a unor tulburări de circulație; de asemenea abcesul, poate să apară într-un focar de pneumonie ori de bronhopneumonie etc.

Abcesele secundare pot avea origine *extrapulmonară* și survenind prin obstrucție bronșică — prin aspirație de produse infectate care se produc după operații pe rinofaringe (amigdalectomie, extirparea polipilor), după extractii dentare, *supurații pulmonare postoperatorii*, sau în cursul unei septiceemii (osteomielită, infecție postabortum, flebite).

În fine, supurația pulmonară poate să se dezvolte într-o cavitate pulmonară preexistentă, cum sunt: bula de emfizem, chistul aerian, bronșiectaziile, sechestrul pulmonar.

Focare de necroză și supurație se produc în cancerul bronhic și silicoză, în chistul hidatic.

Clinic, abcesul pulmonar începe cu febră 40° și junghi toracic, mai ales dacă focarul este aproape de pleură.

În evoluție abcesul pulmonar se descriu 3 faze:

- faza de constituire sau faza pneumonică;
- faza de supurație cu vomică;
- faza de abces constituit cu evacuare bronhică.

Din punct de vedere anatomico-patologic se succed următoarele procese generale: inflamație, supurație, necroză și scleroză. Procesul se localizează cel mai frecvent în lobul superior drept (72% din cazuri).

La început se constată un focar de pneumonie exsudativă cu fenomene de inflamație acută, congestie vasculară și exsudație alveolară (engouement) ce trece repede din faza de hepatizație roșie în faza de hepatizație galbenă.

În sănul focalului inflamator, puroiul apare la cîteva zile, iar vomica se produce la circa 15 zile de la debut și evacuarea se face prin unul sau mai multe orificii bronhice.

În interiorul masei de hepatizație se găsește o cavitate de dimensiuni variabile al cărei contur constituie din țesut necrotic nu este încă organizat și nu are o limită fibroasă. În cazurile cronice cavitatea abcesului are limită fibroasă, iar fibroza se extinde și în jur la parenchimul pulmonar și la pleură. La nivelul focalului inflamator pleura este afectată pe o mare întindere și face aderențe, iar pleura interlobară se simfizează.

Abcesul pulmonar poate fi explorat radiologic sau tomografic (metodă cu care se pun în evidență abcesele mici și cele măscate). Uneori este nevoie de bronhografie.

Radiologic, în perioada de constituire, se constată o umbră de tip pneumonic. În această fază și simptomatologia clinică și aspectul radiologic se asemănă cu cele din pneumonia francă (fig. 200).

Umbrirea este omogenă, are formă triunghiulară (segment de ventilatie), cu contur pierdut și poate avea tonalitate sporită, comparativ cu pneumonia. Rareori umbrirea este rotundă (fig. 182, a).

Alteori, pe locul viitorului abces se constată un simplu voal cu limite neprecise, sau o umbră neomogenă.

Scizura uneori este prinsă, alteori este respectată.

Prin densitatea umbrei, la început se poate vedea desenul pulmonar. În momentul cînd se produce necroza și supurația în sănul opacității segmentare, densitatea umbrei sporește pe locul unde se va produce abcesul și desenul pulmonar nu se mai vede pentru că la acest nivel (fig. 201) s-a produs distrucția lui.

În perioada de supurație colectată — după vomică — locul puroiului eliminat este ocupat de aerul ce vine pe cale bronhică și în sănul umbrei inflamatorii apare o imagine hidroerică (fig. 202) constituită

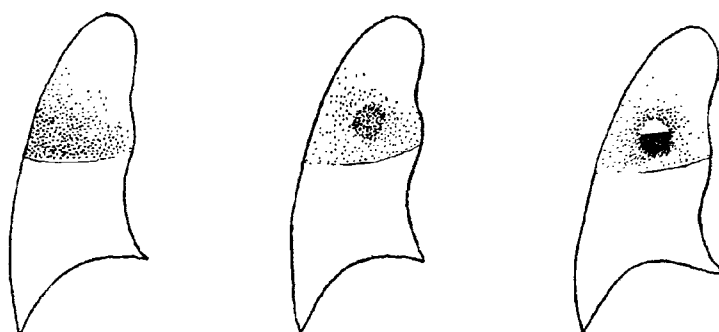


Fig. 200 — Abces pulmonar în faza de constituire: aspect pneumonic.

Fig. 201 — Faza de supurație a abcesului pulmonar: nodul uniform umbrit, cu dispariția desenului pulmonar pe teritoriul nodulului.

Fig. 202 — Aspect după vomică; imagine hidroerică și resorbția incipientă a focalului pneumatic.

dintronă transparentă „ca o gură de cupor” situată deasupra unei zone opace, ce se pierde de obicei în umbra pneumonice din jur; cele două zone sunt separate între ele printr-un nivel orizontal. Nivelul de lichid poate prezenta mișcări de suscire și rămâne orizontal, oricum am înclinat bolnavul.

Pereții abcesului sunt reprezentați de membrana piogenă care este constituită dintr-un țesut necrotic, ceea ce explică de ce inițial conținutul interior al abcesului este neprecis și neregulat; mai târziu, membrana este constituită dintr-un țesut conjunctiv dens, conținutul interior al abcesului este net, precis arcuit, iar formația hidroerică este rotundă sau ovoidă cu marele ax vertical.

La exterior, abcesul pulmonar este înconjurat la început de un infiltrat pneumonic, care cu timpul se resorbe sau se necrozează și face ca abcesul să se extindă în jur (fig. 203), ceea ce explică de ce în cele din urmă abcesul pulmonar poate apărea ca o imagine hidroerică solitară (înconjurată de plămân sănătos) cu perete mai subțire decât la început, cu conținut interior și cu conținut exterior net, abcesul cronic (fig. 204), indicat pentru intervenție chirurgicală.

Dimensiunile abcesului și cantitatea de lichid din acesta pot varia la același caz în raport cu modalitatea de drenaj.

Abcesul pulmonar poate avea evoluție favorabilă spre vindecare sau poate să aibă o evoluție nefavorabilă.

— În caz de evoluție favorabilă se constată că, pe zi ce trece, cantitatea de lichid din abces se micșorează, fenomenele inflamatorii ale parenхimului din jurul abcesului se resorb și umbrele se sterg; cavitatea abcesului se micșorează, pereții se ratatineză și în cele din urmă cavitatea dispără și rămâne o cicatrice stelară.

De multe ori după vindecarea abcesului rămîne o cavitate reziduală sterilă, care poate explica recidiva fenomenelor de supurație; cînd cavitatea se epitelializează rezultă un *chist aerian ciștințat*.

— Evoluție nefavorabilă au abcesele drenate de bronhii lungi și întortocheate (bronhia lui Nelson, abcesele din lobul mijlociu) care drenează

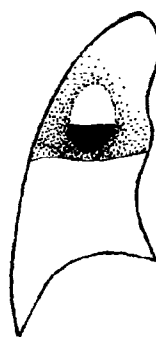


Fig. 203 — Necroza infiltratului pneumonic din jurul abcesului și extinderea imaginii hidroericice la parenхimul din jur.



Fig. 204 — Imagine hidroerică „solitară”. Abces în fază chirurgicală.

și se vindecă greu. Nivelul de lichid oscilează de la o zi la alta, fenomenele inflamatorii din jur sporesc. Cavitatea abcesului poate crește.

În parenchimul din jurul abcesului se produc modificări fibroase și pe incetul se instalează pioscleroza COQUELET, fază cronică care nu mai poate fi tratată medical. În pioscleroză, radiologic se constată o opacitate întinsă, neomogenă, în sinul căreia se găsesc mai multe imagini hidroaerice de diferite mărimi. Pioscleroza este termenul ultim al oricărei supurații pulmonare și se instalează și în bronhiectazii, chistul hidatic și chistul aerian supurat, pneumonia cronică (fig. 188).

Forme clinice aparte. În abcesul multilocular cavitățile abcesului sunt multiple și comunică între ele; radiologic, se constată transparențe multiple (fig. 205) care în realitate constituie o cavitate anfractuoasă unică.

Uneori transparențele au dimensiuni aşa de mici încât sunt invizibile și în sinul umbrei parenchimatoase difuze, pe care o face neomogenă, fără nivel orizontal, fără imagine hidroerică (fig. 206).

În genere cavitățile se văd cu atit mai greu cu cît au dimensiuni mai mici și sint înconjurate de un focar pneumonic mai dens.

Tomografia și radiografia cu raze dure în poziție preferabil ortostatică, permit descoperirea cavităților și imaginilor hidroaerice de dimensiuni mici, iar bronhografia permite localizarea topografică precisă a procesului supurativ.

În jurul abcesului se pot constata modificări umbroase datorate tulburărilor circulatorii sau tulburărilor de ventilație.

Umbra hilului este marită iar ganglionii sateliți sunt hipertrofați.

Procesul inflamator poate afecta scizurile și marea cavitate pleurală; se pot produce dilatații bronhice cu supurații secundare, se pot produce hemoragii prin necroză și ruptura cordagliilor din cavitatea abcesului.

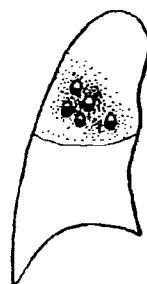


Fig. 205 — Abces multilocular.

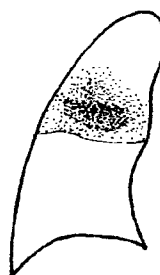


Fig. 206 — Opacitate difuză, cu umbrire neomogenă, fără imagine hidroerică.

B. **Gangrena pulmonară** este datorată florei anaerobe cu fusospirili asociată celei banale și apare pe un fond de reactivitate locală foarte scăzută. Leziunile în plămân sunt difuze, se produc focare de necroză septică cu cavități multiple.

Elementul primitiv este constituit din putrefacție la care se adaugă supurația. Leziunile au sediul în mantie, în lobul mijlociu și inferior drept

și constau dintr-un focar pneumonic în sinusul căruia, după vomică, se constată una sau mai multe cavități anfractuoase cu nivel hidroaeric; cavitățile multiple se pot contopi.

C. În supurațiile difuze, procesul de necroză supurativă nu este delimitat de o membrană piogenă ca în abces, ci se întinde difuz în parenchimul înconjurător, ocupând un segment sau un lob în totalitate, sau prezintându-se sub forma de focare multiple; radiologic se observă umbrire de tip pneumonic sau bronhopneumonic. Nu trebuie confundată cu supurația (cu nivel hidroaeric) unui focar pneumonic sau bronhopneumonic banal.

Supurații cronice difuze se produc în caz de bronhostenoze și supurații bronhiectanziante, iar ca forme de tranziție pot fi citate abcesele bronhopneumonice multiple.

În faza inițială a abcesului pulmonar se continuă *tratamentul* cu antibiotice pe cale generală (antibiograma!) instituit pentru pneumopatia acută; cind acesta este insuficient se fac instilații bronhice dirijate prin cateter Métras cu penicilină, cloramfenicol, hidrocortizon. Cind abcesul trece în cronicitate este indicat tratamentul chirurgical de exereză în funcție de întinderea procesului supurativ.

D i a g n o s t i c u l d i f e r e n t i a l al abcesului pulmonar este în funcție de perioada în care examinăm bolnavul și la început se face cu pneumonia, infiltratele griptale, infiltratele tuberculoase, iar după vomică, cu alte cavități patologice scobite în parenchim cum sint: caverna tuberculoasă, chistul hidatic supurat, pleurezia interlobară după vomică etc., afecțiuni pe care le vom studia ulterior.

Caverna tuberculoasă are formă ovoidă cu marele ax transversal și se continuă cu bronhia de dren care poate fi vizibilă, realizând imagine în rachetă de tenis, în timp ce la abcesul pulmonar marele ax este de obicei dezvoltat vertical (fig. 207).

Caverna este situată obișnuit sub claviculă, nu are nivel de secreție sau nivelul este foarte coborât. Are evoluție mai lentă decit abcesul pulmonar și în parenchimul din jurul cavernei sint și alte lezuni care pledează pentru tuberculoză. În spută este prezent bacilul Koch.

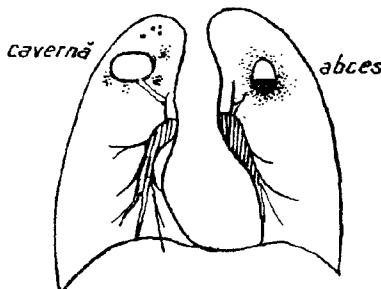


Fig. 207 — Diagnosticul diferențial al abcesului pulmonar cu cavernă tbc.

Malformațiile bronho-pulmonare

Malformațiile bronho-pulmonare se transmit congenital sau se produc sub acțiunea unui factor teratogen în cursul lunilor 2—3 de dezvoltare intrauterină. Ele se pot clasifica în:

- malformații pulmonare: agenezia, aplazia și hipoplazia, lobul sau plămînul supranumerar;

- malformații bronhice
- chistele aeriene, bronșiectazii congenitale;
- anomalii mixte
- sechestrăția pulmonară.

A genezia constă în absența completă a unui plămîn.

A plazia constă în absența țesutului pulmonar și a elementelor vasculare cu prezența unei bronhii rudimentare, iar **hipoplazia** în dezvoltarea imperfectă a unui plămîn sau a unei anumite regiuni pe teritoriul căreia de multe ori bronhiile se dezvoltă chistic.

În aceste anomalii, hemitoracele este de dimensiuni mici și are caracter opac.

În ultimul timp s-a descris „*plămînul clar*“, „*hiperlucent lung*“, în care sporirea transparenței poate fi datorată unei anomalii vasculare (agenezie totală, unilaterală a arterei pulmonare) cu arborele bronhic normal de partea respectivă (*sindrom JANUS*), sau unei anomalii mixte (anomalie vasculară + anomalie bronhopulmonară) în care plămînul clar este datorat aplaziei totale sau parțiale a vascularizației unui plămîn sau a unui lob, coexistind cu aplazia bronhopulmonară (*sindromul MAC LEOD*).

Plămînul suprumerar sau lobul accesoriu — este o formătune izolată de ceilalți lobi, care au bronhi și vase proprii, aparte de arborele bronhic obișnuit dar în continuitate cu elementele acestuia (plămînul traheal, lobii accesori inferiori),

— spre deosebire de *sechestrarea pulmonară* (PRYCE, 1946), malformație caracterizată prin separarea unei porțiuni pulmonare lobare sau segmentare de conexiunile sale bronhice și vasculare. Studiu bronhografic și angiografic arată că teritoriul sechestrat nu are conexiune ventilatorie (sechestrare parenchimatoasă) și este lipsit și de vascularizație funcțională (sechestrare față de artera pulmonară) fiind irrigat de o arteră sistemică ce pleacă direct din aortă sau din una din colateralele ei.

Porțiunea sechestrată poate avea sediul în afara plămînului (sechestrare extralobară) sau este inclusă în interiorul parenchimului pulmonar (sechestrare intralobară — care poate fi de mai multe tipuri).

Sechestrata se poate traduce radiologic prin opacitate densă, rotundă — pseudotumorala, prin imagine chistică sau hidroerică unică sau multiplă. Uneori realizează opacitate cu aspect pleural sau de aspect triunghiular care evocă atelectazia. Are sediul caracteristic la bază, în sinusul cardio-diafragmatic, din profil în fundul de sac posterior.

CHISTUL AERIAN, PLĂMÎNUL POLICHISTIC

Chistul aerian este o malformație bronhică care se dezvoltă în parenchimul pulmonar și apare radiologic ca o formătune circumscrisă net, de obicei transparentă, care poate fi unică sau multiplă.

Anatomopatologic se descriu mai multe forme:

- boala chistică ce se întâlnește după naștere și, dacă afectează ambii plămîni, copilul este neviabil; la secțiune se constată un țesut spongiós comparat cu plămînul de batracian;
- boala polichistică interesează de obicei un singur lob sau un plămîn;
- în clinică se găsesc mai frecvent chiste aeriene izolate, dispersate uni- sau bilateral, precum și
- chistul aerian unic sau solitar, cu țesut pulmonar sănătos în jur.

Chistul aerian rezultă prin tulburare de dezvoltare a uneia sau mai multor bronhii subsegmentare sau lobulare ai căror muguri nu se dezvoltă în sensul parenchimului pulmonar, ci în sensul unei cavități chistică. Astfel se explică de ce peretele chistului are în structura lui straturi echivalente peretelui bronhic. Inițial chistele aeriene sunt pline cu lichidul cel secretă mucoasa bronhică care le căptușește. Ulterior lichidul se evacuează prin unul sau mai multe orificii iar chistul se golește și în raport cu posibilitățile sale de drenaj bronhic are conținut hidroaeric sau aerian propriu-zis (când se poate evaca tot conținutul său).

Chistul lichidian apare ca o opacitate omogenă, rotundă, net delimitată, cu oarecare plasticitate în respirația forțată care îl poate modifica forma,

— cele cu sediul în hil poartă numele de *chiste bronhogene* și rezultă din anomalie de dezvoltare a unei bronhii accesorii ce pleacă din trahee sau de la bifurcația ei (fig. 333).

Chistul aerian unic sau *solitar* se prezintă radiologic ca o transparență omogenă, de formă sferică, cu contur foarte subțire și precis, are aspect geometric și este situat în plin parenchim pulmonar. (fig. 208).

Poate avea dimensiuni cit o mandarină, dar prin mecanism de ventil expirator, poate crește pînă la mărimea unui cap de făt — *chist aerian balon* — sau ocupă un hemitorace, situație cînd poartă denumirea de *chist aerian gigant* (fig. 209), ce se poate confunda cu un pneumotorax spontan sau cu o *bulă de emfizem*. Se deosebește de pneumotorax prin aceea că în jurul transparentei se recunoaște peretele chistic subțire, mai ales dacă rotim bolnavul în diferite incidente: țesutul pulmonar este împins spre bază și virf și înconjoară transparența chistică pe o parte din conturul său și imaginea care rezultă poate fi comparată cu capsula în care se află ghinda stejarului. În pneumotorax, plămînul este colabat la hil, unde face un bont umbrit (fig. 210), iar în diferite incidente se constată că aerul este în cavitatea pleurală, nu într-o

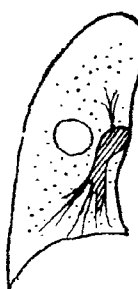


Fig. 208 — Chist aerian unic.

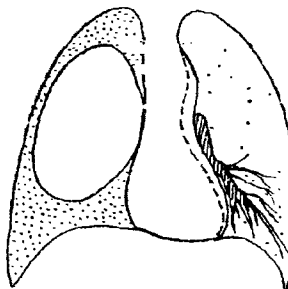


Fig. 209 — Chist aerian gigant.

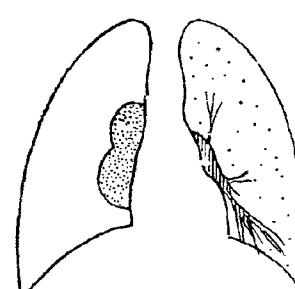


Fig. 210 — Pneumotorax.

cavitate cu pereți proprii. Urmărită în timp imaginea chistului este staționară, în timp ce transparența din pneumotorax se restrînge treptat, paralel cu resorbția aerului din cavitatea pleurală și cu expansiunea pulmonului colabat.

Chistele aeriene multiple pot fi uni- sau bilaterale și se traduc radiologic prin imagini inelare cu caracter geometric, imagini distanțate între

ele sau suprapuse optic (fig. 211 a) înconjurate de plămîn sănătos. Formațiunile chistice sunt transparente (goale); în unele cazuri unele pot prezenta nivel hidroaeric, altele sunt pline.

Dimensiunile chisturilor multiple sunt aceleasi sau variabile de la chist la chist.

În jurul formațiunilor chistice mari, solitare, sau în jurul chistelor multiple, pe radiografia de calitate și pe tomografii, se pot observa chiste mici cît sîmburele de cireașă.

În *plămînul polichistic*, întreg parenchimul unui lob este înlocuit cu formațiuni transparente multiple cu pereți subțiri sau mai groși; pot fi rotunde, ovoidale, poliedrice, suprapuse și întreăiate între ele, realizind imaginea în retea cu ochiuri mari, imaginea în fagure de miere, în bule de săpun (fig. 211 b); unele pot fi goale, altele cu puțin lichid care determină nivel opac. Aceste imagini pot fi confundate cu cele realizate de emfizemul bulos sclero-atrofic (fig. 232, b).

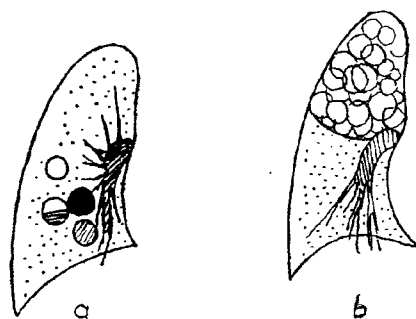


Fig. 211 — a) Chiste aeriene multiple; b) Plămîn polichistic.

Formațiunile chistice comunică între ele precum și cu ramificațiile bronhice. Chistele aeriene care comunică larg cu arborele bronhic, își modifică dimensiunile și forma în cursul mișcărilor respiratorii forțate, iar în plămînul polichistic, dimensiunile lobului afectat. La chistele aeriene sub presiune (cele cu ventil) modificările respiratorii nu pot fi apreciate.

Bronhografia poate pune în evidență comunicarea largă a unei bronhii cu cavitatea chistului în care bronhia se termină brusc fără ca să mai dea ramificații distale.

Bronhiile din jur ocolește formațiunea chistică fără ca să prezinte modificări importante de calibru aşa cum se întâmplă în bronșiectaziile chistice.

În caz de supurăție a chistului aerian, clinic se constată spută caracteristică, iar radiologic imagine rotundă cu nivel hidroaeric. Diagnosticul este ușor cînd sunt mai multe chiste aeriene, din care unul este supurat.

Cînd există un singur chist aerian supurat, diagnosticul diferențial este dificil, dar este totuși posibil, dacă considerăm că peretele chistului este foarte subțire, forma geometrică, iar imaginea persistență în timp, caracter care la abcesul pulmonar se modifică de la o săptămînă la alta. Parenchimul din jurul chistului aerian este indemn sau dacă este interesat, el este prinș după debutul supurăției, în timp ce în abcesul pulmonar este

prins parenchimul încă de la începutul evoluției și cu timpul infiltratul congestiv din parenchimul din jur se resorbe.

Plăminul polichistic nu trebuie confundat cu bronșiectaziile congenitale, care iau formă chistică, în care, la examenul cu lipiodol, pe lîngă chiste se găsesc și dilatații bronhice; de asemenea, nu trebuie confundat nici cu pneumopatia buloasă extensivă sau cu plăminul cu desen șters.

Chistele aeriene „ciștigate“ rezultă din epitelializarea unor cavități (abcesul pulmonar ori caverna tbc.), sterilizate și uscate prin antibiotice

Diagnosticul radiologic al afecțiunilor traheei și bronhiilor

Trahea se vede pe radiografii ca o bandă transparentă lată de 2 cm, cu contur net; poate fi studiată pe radiografii cu raze dure, tomografii și cu substanță de contrast.

Trahea se întinde de la C₆ pînă la D₅ și are lumenul variabil în raport cu vîrsta.

Pe imaginile din față, trahea are sediul median, iar din profil este situată prevertebral, prezintînd ondulații ale peretelui în dreptul gurii, esofagului și al tiroidei.

Cu vîrsta, inelele cartilaginoase ale traheei se pot calcifica.

În caz de procese patologice în regiunea cervicală sau în torace și mediastin, sediul, direcția și forma traheei pot fi modificate, ceea ce constituie o indicație pentru prezența acestor afecțiuni de vecinătate.

Procesele patologice din lumenul traheei, tumorile și stenoza, se studiază mai corect bronhoscopic.

Examensul radiologic se practică mai ales în caz de deviere a traheei: gușa se dezvoltă mai mult într-o parte, îngustează și deviază trahea spre partea opusă. Gușa, cu dezvoltare din ambii lobii, turtește trahea în „lamă de sabie“ și poate determina traheomalacia.

Anevrișmul de aortă, hipertrofia ganglionilor mediastinali și teratoamele *imping*, de asemenea, trahea în jurul lor.

Procesele cicatriciale pleuro-pulmonare, *trag* mediastinul și trahea de partea bolnavă și portiunea deviată poate avea traiect neregulat, în timp ce în atelectazii trahea are traiect arciform.

CORPII STRĂINI TRAHEO-BRONHICI

Corpii străini din căile aeriene sunt *de natură exogenă*, constau din boabe vegetale: fasole, boabe de porumb, sîmburi de floarea soarelui care ajung accidental în căile aeriene, mai ales la copii; în anumite profesiuni — tapișeri, cizmari — pot ajunge cuiele, pe care aceștia le țin între dinți.

Ei trec prin glota deschisă în caz de rîs, tuse, înghișire, accident, lovitură, spaimă, cînd persoana respectivă nu are posibilitatea reacției de închidere a glotei.

Dintre *corpii străini endogeni*, menționăm pietrele bronhice și grunjii de cazeum care vin de la distanță de locul unde se opresc.

Sимптоматология клиническая может быть внезапной и острой, может быть тяжелой и смертельной.

Время, когда возникают нарушения в функции легких, называется временем инфильтрации. В это время в легких могут возникнуть воспалительные процессы, которые могут привести к формированию гнойных очагов.

В зависимости от размера этих очагов, они могут блокировать дыхательные пути, что приводит к нарушению дыхания.

1. *Корни страни в трахее* видны, много раз, через прозрачную колонну воздуха, которая создает контраст.

При вдохе, воздух проходит через перегородку, которая делит легкие на две части, и эта перегородка может быть видна на рентгенограмме.

При выдохе, легкие становятся нормальными, но можно заметить усиление прозрачности легких в обеих полостях (бронхах), а диафрагма остается на своем месте.

2. *Корни страни в бронхах*, которые являются самыми маленькими из всех корней, могут быть видны на рентгенограмме при наличии воспаления в бронхах. Они могут быть видны как отдельные образования, или же как часть более крупного воспалительного процесса.

Самые типичные изображения, вызываемые корнями страни, являются следствием ателектазии.

БРОНШИТЕЛЫ

Броншиты - это процессы воспаления, которые затрагивают слизистую оболочку бронхов, альвеолы и межалвеолярные перегородки. Эти процессы могут быть острыми или хроническими.

Этиология броншитов может быть различной: инфекционной, аллергической, ингаляционной, профессиональной, туберкулезной, циркуляторной или уморальной.

Рентгенологически, увеличение слизистой оболочки бронхов и изменения в межалвеолярных перегородках могут быть видны на рентгенограмме.

Броншита острой формы может быть причиной симптомов, таких как кашель, насморк, головная боль, температура, боли в горле и другие.

В острой форме броншита, воспалительный процесс ограничивается слизистой оболочкой бронхов и не распространяется на легкие. В это время могут возникать различные осложнения, такие как гнойные очаги, воспаление легких и другие.

Бронхиолит или броншита капиллярная - это состояние, при котором воспаление распространяется на мелкие бронхиолы и альвеолы. Это может привести к нарушению дыхания и развитию симптомов, таких как кашель, насморк, головная боль, температура, боли в горле и другие.

Синдром клиническийgrave и характеризуется высокой температурой, одышкой, кашлем, насморком, головной болью и другими симптомами.

Radiologic (fig. 193), se constată emfizem, datorat îngustării lumenului bronhielor, sau imagine de bronhopneumonie miliară (fig. 194), datorată focarelor mici de atelectazie, care se pot infecta și transforma în procese inflamatorii; bulele de emfizem pot coexista cu micronodulii și în unele cazuri acestea modificări dispar.

Dacă procesul evoluează mai îndelung și se produc cicatrici fibroase, rezultă bronhiolita obliterantă.

Bronșita acută spasmodică a copiilor mici se traduce radiologic prin o creștere moderată a transparenței pulmonare care denotă o jenă expiratorie cu mărirea presiunii în alveole și distensia lor. Umbra hilurilor este întinsă, datorită hiperemiei vasculare.

Bronșita cronică, după definiția lui FLETCHER, acceptată de către OMS, este: „tuse cronică sau recurentă însotită în mod continuu sau aproape în fiecare zi de expectorație, cu durată de cel puțin trei luni pe an, timp de trei ani consecutiv, în absența altor boli pulmonare (tbc, bronhietazie, tumoră) ce pot da simptome identice“.

În bronșita cronică fenomenele spasmodice sunt mai accentuate decât în bronșita acută, iar ulterior, datorită procesului inflamator, se instalează leziuni ireparabile ale mucoasei și aparatului ei glandular, ale aparatului mioelastic al bronchiei precum și leziuni interstițiale de tip cicatricial și leziuni alveolare de tip emfizematos în parenchimul din jur.

La jumătate din bolnavii cu bronșită cronică, la examenul radiologic direct nu se constată nici o modificare.

La parte din ei se constată mărirea hilurilor, întărirea desenului bronhovascular mai ales în regiunile bazale și parahilare, datorită fenomenelor inflamatorii interstițiale peribronhice, eventual noduli fibroși diseminati pe ambele arii, consecutiv unor pusee inflamatorii. Se constată semne de emfizem substanțial care scot în evidență desenul pulmonar pînă la periferie. Umbra cardiovasculară poate prezenta modificări de cord pulmonar iar arterele pulmonare sunt dilatate în hil.

Absența vaselor periferice sau reducerea calibrului lor în emfizem, reprezintă un semn distinctiv între bronșita cronică și emfizem.

În stadiile avansate de bronșită cronică care provoacă emfizem se realizează bronhopneumopatia cronică obstructivă (B.P.O.C.).

Pe radiografiile de finețe care se execută în prezent la persoanele cu bronșită cronică ca și pe tomografii, se pot pune în evidență pereții bronhiei sub formă de linii paralele ca șinele de cale ferată interpretate de unii autori ca pereți bronhici îngroșați (fig. 175).

În bronșita cronică, la examenul cu lipiodol, la început se constată bronhospasms (fig. 212 a) care variază ca intensitate și întindere, îngustează lumenul bronhiilor și împiedică substanța opacă să treacă din bronhiile segmentare spre ramurile mai subțiri și să dă imagine de arbore uscat. Ulterior, se produce bronșita deformantă (fig. 212 b).

În această fază, în substanță de contrast din lumenul bronhic se văd adesea transparențe rotunde sau ovalare (imagini „în sirag de mărgele“) date de fragmente de mucus și bule de aer; conturul bronhiilor este dințat, în acordeon, și deformat prin numeroase nișe ascuțite sau diverticulare, rezultate prin pătrunderea substanței opace în glandele dilatate ale mucoasei. Imaginea este mai evidentă pe bronhiile cu traiect orizontal. În stadiul de bronșită cronică deformantă, spasmul este din ce în ce mai rar și apar, din contra, dilatații bronhice cilindrice; rami-

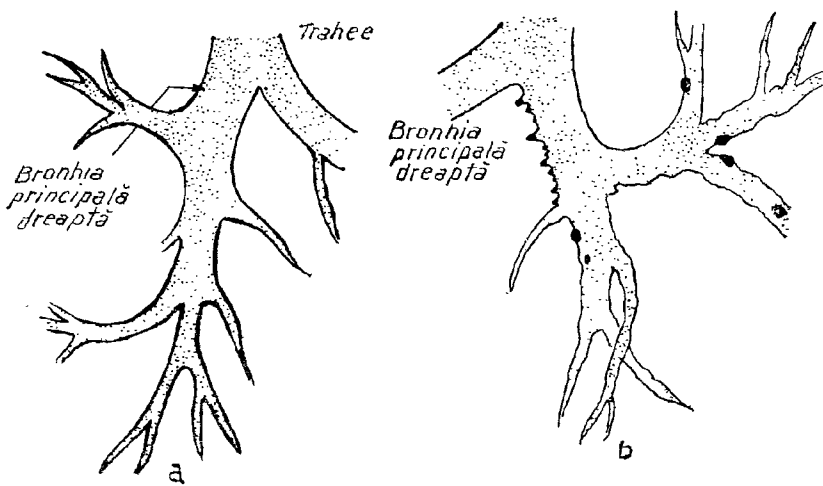


Fig. 212 — a) În bronșita cronică spasmodică nu se injectează cu lipiodol decât trunchiurile lobare fără frunză și se realizează imagine de „arbore uscat”; b) — modificările mucoasei bronhice în bronșita cronică deformantă: nișe ascuțite și diverticulare pe conturul inferior al bronhiilor.

ficațiile bronhice terminale sunt sărace, apare aspect radiologic de „arbore retezat” și lacuri de lipiodol la periferie, imagini rezultate din suprapunerea bronhiolelor dilatate; în teritoriul afectat, parenchimul este retracțat, se produc atelectazii lobulare în focare.

Bronșita segmentară (RIST, AMEUILLE, LEMOINE) sau *localizată*, are cauze locale și se caracterizează printr-un proces de inflamație cu edem și exsudatie care afectează un teritoriu circumferențial limitat al mucoasei unei bronhii segmentare sau lobare. Aceasta are drept consecință obstrucția lumenului însotită de semne de bronhostenoză cu emfizem, sau de obstrucție cu atelectazie a teritoriului cu bronhia bolnavă. Bronșita segmentară are preferință pentru lobii superioiri.

Afectiunea evoluează 3–6 săptămâni, cu junghi, tuse, spută muco-purulentă și se vindecă, dar poate recidiva.

DILATAȚIILE BRONHICE, BRONȘIECTAZIILE

Dilatațiile bronhice presupun mărirea permanentă a lumenului bronhic. Ele sunt efectuuni ciștigăte și surveni în urma unor procese inflamatorii bronho-pulmonare sau pleurale în cursul căror se produc:

- modificări ale ventilației, deficiențe funcționale și organice ale peretelui bronhic,

- scleroze pleuro-pulmonare retractile și ectaziante.

Dilatațiile bronhice, pe de altă parte, favorizează procesele inflamatorii și fibroza consecutivă, retracția parenchimului, îngroșarea pleurală.

În ultimul timp, mucoviscidoza este socotită ca cel mai frecvent factor etiologic al bolii — întrucât modificarea viscozității secrețiilor mucoasei bronhice face dificilă evacuarea lor și favorizează dezvoltarea leziunilor bronhice secundare.

Bronșiectaziile congenitale se întâlnesc în 6% din cazurile cu bronșiectazii, se produc în cursul vietii intrauterine sau imediat după naștere și sunt asociate cu malformații la alte organe.

Anatomie patologică. Localizarea bronșiectaziilor se face de predilecție în lobii inferioiri, mai ales la segmentele bazale posterioare. În aceste segmente bronhiile:

- suferă bronșite repetitive,
- secrețiile se golesc greu și
- întrețin inflamația bronhică care favorizează cu timpul bronșiectasia.

Forme anatomo-patologice: bronșiectaziile pot fi cilindrice, moniliforme, ampulare, sacciforme și afectează bronhiile mijlocii și mici care nu au armătură cartilaginoasă.

În dilatațiile bronhice cilindrice (fig. 213 a) lumenul bronhiilor rămîne egal cu el însuși pe o distanță de 5–10 cm sau se dilată progresiv și devine mai larg distal (și se termină în „deget de mânusă“ sau în „cifra 8“-e).

În bronșiectaziile moniliforme (fig. 213 b), lumenul bronhic lărgit are calibră inegal și bronhiile au aspect de venă varicoasă, de sirag de mărgele deșirete, de conduct ondulat sinuos.

În dilatațiile ampulare (fig. 213 c), conductul bronhic prezintă, din loc în loc, dilatații fuziforme — lărgiri ale lumenului — de jur împrejurul întregii circumferințe bronhice.

Alteori, dilatațiile ampulare sunt considerate cavitățile terminale ale bronșiectaziilor (fig. 213 e).

Dilatațiile sacciforme (fig. 213 d), sunt bombări și distensii parțiale ale peretelui bronhic pe o singură porțiune a circumferinței și duc la formarea unor „saci“ care atîrnă de conductul bronhic.

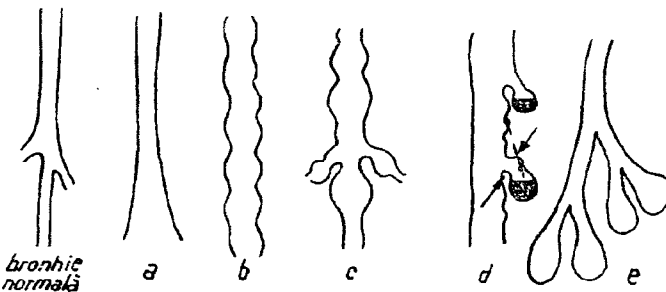


Fig. 213 — Bronhia normală și diferite tipuri de dilatație bronhică.

Clinic, bronșiectaziile au evoluție cronică, cu pusee inflamatorii, tuse, spută muco-purulentă, degete hipocratice; se pot produce hemoptizii.

La examenul radiologic simplu sunt cazuri în care nu se constată nici o modificare;

— în alte cazuri se constată modificări mai discrete sau mai accentuate, în raport cu gradul procesului inflamator care se asociază bronșiecta-

ziilor. Modificările au sediul în porțiunile bazale ale plămînilor. Se poate constata o simplă întărire a desenului pulmonar datorată, posibil, procesului inflamator în sinul țesutului interstîțial.

Alteori, se observă o serie de cordoane opace, divergente care pleacă de la hil spre bază, ocupînd sinusul cardio-diafragmatic (fig. 214) spre care este retractată porțiunea afectată din lobul inferior. Cordoanele sunt datorate îngroșării peretelui bronhic, secrețiilor din lumen și modificărilor inflamatorii din țesutul interstîțial peribronhovascular.

În alte cazuri se văd însîși peretii bronhici îngroșați sub formă de linii paralele care coboară de la hil spre diafragm; lumenele bronhice dilatate se prezintă sub formă de „tuburi goale“ transparente, sau sunt „tuburi pline“ (cu secreție și au peretii groși); conductele fiind paralele, dau imagine „în gratie“, „în palisadă“ pe teritoriul juxtamediastinal inferior preferat de bronșiectazii (fig. 214 a).

Imaginea de „lemn găurit de cari“, rezultă din proiecția dilatațiilor bronhice sub formă de tuburi goale situate în plan frontal printre care se văd cercuri transparente date de dilatațiile bronhiilor orientate în plan sagital (fig. 214 b). Dilatațiile se termină în deget de mănușă — uneori cu transparențe mici care realizează cifra 8, — sau un grup de formații chistice care, cînd sunt dispuse „în rozetă“ (fig. 214 c) constituie un semn considerat patognomonic de către Ameuille.

Bronșiectaziile ampulare și sacciforme se pot traduce prin cavități chistice multiple sau cu nivel hidroaeric.

Cavitatele pline seamănă cu bobîtele de strugure, cele goale realizează imagine în bule de săpun (fig. 215 a). În unele cazuri se găsește o singură cavitate mare — cavernă bronșiectatică (fig. 215 b) care, în caz de supurație, prezintă nivel hidroaeric și trebuie să se facă diagnosticul diferențial cu abcesul pulmonar.

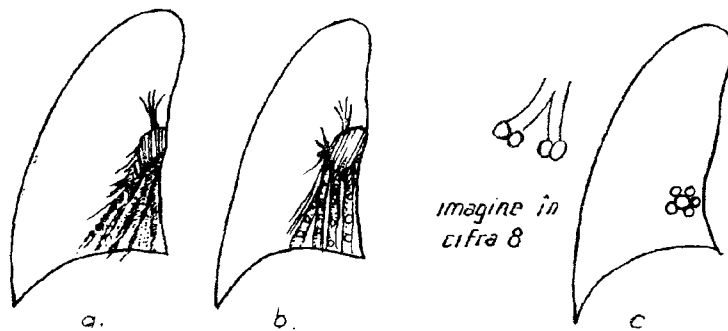


Fig. 214 — a) Cordoane opace divergente din hil („tuburi pline“); b) Imagine în „lemn găurit de cari“; Imagine în „cifra 8“, c) imagine în rozetă AMEUILLE.

Tomografia poate scoate în relief formațiunile transparente, mai ales cînd acestea sunt risipite în plămîn condensat.

Din cauza puseelor inflamatorii se întărește desenul interstîțial, pot apărea noduli opaci între elementele de bronșiectazie, iar mai tîrziu, în

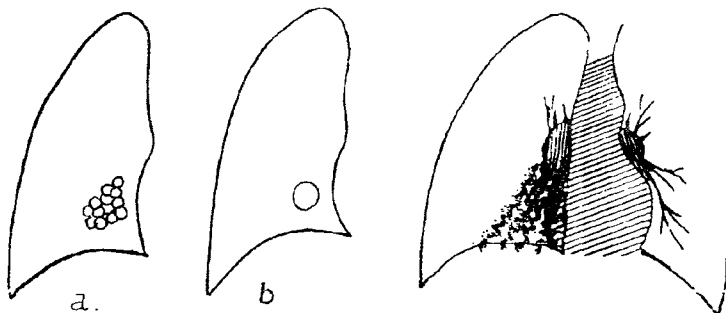


Fig. 215 — a) Imagine în „bule de săpun“; b) Cavernă bronșiectatică.

Fig. 216 — Triunghi bronșiectatic (RIST și BESANÇON).

cursul evoluției, parenchimul din teritoriu bolnav se retractă și se umbrește neomogen sub forma „triunghiului bronșiectatic“ cu ipotenuza spre luminozitatea pulmonară, o latură pe diafragm și alta la coloană (fig. 216)

Opacitățile triunghiulare descrise de către RIST și BESANÇON sunt consecința dilatațiilor bronhice dar și a modificărilor retractile și inflamatorii ale parenchimului din jurul cordoanelor bronșiectatice și a pleurei îngroșate ce înfășoară teritoriul respectiv.

În lobii superioiri, drenajul bronhiilor dilatate este mai ușor și aspectul bronșiectaziilor este diferit pentru că și procesele inflamatorii supradăugate, ca și retracția parenchimului săt mai discrete; bronșiectaziile se traduc de obicei prin imagini transparente în bule de săpun. Când au caracter segmentar și coincid cu ganglionii calcificați, bronșiectaziile săt o sechelă a tuberculozei primare.

E x a m e n u l b r o n h o g r a f i c, tehnica SICARD și FORESTIER pag. 71, arată tipul dilatației bronhice (cilindrică, moniliformă etc.) și întinderea afecțiunii la diferite segmente de ventilație, pe una sau pe ambele arii pulmonare, teritori care la examenul standard nu prezintă modificări. Determinarea situației și întinderii dilatațiilor bronhice este absolut necesară în eventualitatea indicației chirurgicale și se face în două ședințe (aparte pentru arborele bronhic drept, aparte pentru arborele bronhic stîng). Explorarea incompletă a arborelui bronhic este una din cauzele principale ale insucceselor chirurgicale, prin necunoașterea și lăsarea pe loc a unei zone de parenchim conținind dilatații bronhice.

La bolnavii care prezintă insuficiență respiratorie, bronhografia concomitentă (bilaterală) este contraindicată. Pe clișeul radiografic, bronșiectaziile cilindrice (fig. 217 a) și cele moniliforme (fig. 217 b) se traduc prin benzi opace liniare sau sinuoase, mai apropiate între ele și mai reduse numeric decit ramurile bronhice ale segmentului normal respectiv. De multe ori, bronhiile nu sint însoțite de frunzisul alveolar sau se intrerup brusc și dau impresia de arbore cu ramurile curățite pentru iarnă („retezate“) sau a unor tuburi amputate (fig. 217 c, d) deoarece lipiodolul nu reușește să progreseze mai departe în bronhole și acini datorită scă-

derii puterii de aspirație a parenchimului sau sclerozei retractile. Bronșiectaziile ampulare și cele sacciforme apar sub formă de cavități pline, multiple, grupate în ciorchine sau sub formă de imagini hidroaerice (fig. 217 e, f).

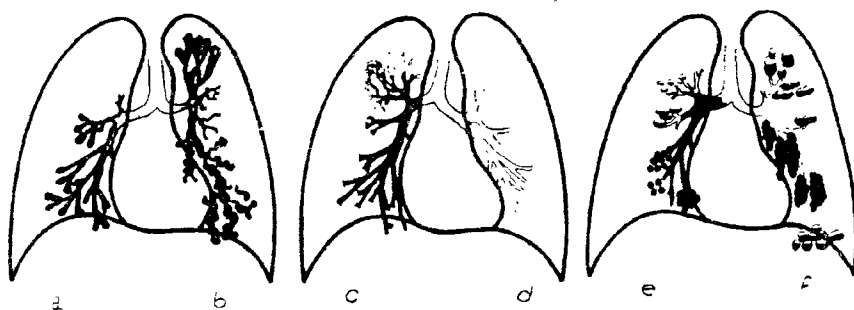


Fig. 217 — Bronșiectazii: a) cilindrice; b) moniliforme; c) tuburi amputate; d) tuburi goale; e) ampulare; f) sacciforme.

În cursul bronșiectaziei, pe lîngă puseele inflamatorii, se pot produce supurații bronșice și peribronșiectatice, focare pneumonice, scleroză retractilă lobară sau segmentară.

Diagnosticul diferențial între *abcesul pulmonar*, *caverna bronșiectatică* și o *supurație bronșiectatică*, se face bronhografic prin introducerea substanței de contrast care pătrunde ușor în cavitățile însoțite de dilatații bronhice, dar nu pătrunde deloc sau foarte dificil în cavitatea abcesului. În cursul tratamentului, abcesul pulmonar are evoluție mai scurtă, se vindecă mai repede decât supurațiile și cavitățile bronșiectatice.

Diagnosticul diferențial se mai face cu *chistul hidatid supurat* în care, din antecedente se constată vomica care a fost însoțită de lichid „ca apă de stîncă” și eliminare de membrane albe sau de lichid purulent; radiologic, se constată o formă rotundă hidroaerică cu parenchim sănătos în jur. Peretele formației este dens, cu oarecare geometrie, iar nivelul hidroaeric poate fi ondulat datorită membranei proligere încrețite la suprafața lichidului.

Diagnosticul diferențial se poate face cu pleurezia și pachipleurita mediastinală sau cu sindromul de lob mijlociu, cu lobul hipoplazic, stări patologice în care se găsesc și cavități multiple.

Bronșiectaziile tranzitorii apar la copii după tuse convulsivă, rujeolă, în pneumopatii acute sau după intervenții chirurgicale; ele se pot permanentiza.

Bronșiectaziile congenitale, cu toate că au de obicei aspect chistic, nu pot fi deosebite de cele cîștigate decât dacă sunt asociate și cu alte malformații care pot fi puse în evidență radiologic ca: situs inversus totalis și polipoză nazală (*sindromul KARTAGENER*) sau etmoidoantrită (*sindrom MOUNIER-KHUN*) sau megaesofag cu agenezia primei coaste și vertebrală lombară supranumerară (*sindrom TURPIN*), cu fibroza chistică a pancreasului (*mucoviscidoză*).

Tulburările ventilației bronho-pulmonare

BRONHOSTENOZA

Sub numele de bronhostenoză se înțelege o îngustare incompletă a lumenului unei bronhii mari și modificările radiologice pot să fie constatați radiologic atunci cînd lumenul acesteia este redus la 1/3 (HITZENBERGER).

Cauzele îngustării pot avea sediu:

- în lumenul bronhic (corpi străini aspirați, dopuri de cazeum sau mucus);
- în peretele bronhic (polipi ai mucoasei, cancer bronhic);
- în afara bronhiei — adenopatii, tumori sau formațiuni care produc compresiunea lumenului.

În clinică cel mai frecvent se întâlnește bronhostenoza prin corpi străini opriți în bronhia principală, care se traduce prin semne statice și dinamice caracteristice.

Semnele statice în bronhostenoză pot fi constatate pe radiografie și constau în:

- poziție înaltă a diafragmului de o singură parte,
- deplasarea mediastinului de aceeași parte,
- scădere transparentei hemitoracelui respectiv și
- micșorarea ariei toracice.

Semnele dinamice trebuie provocate sub ecran și se traduc prin deplasarea și pendularea mediastinului în cele două faze (inspir și expir) ale actului respirator. Semnele au fost descrise de HOLZKNECHT și IACOB-SOHN — și pot fi puse în evidență prin respirație forțată, prin proba tusei sau cea a „prizei, inhalării de tabac“ a lui HITZENBERGER (tabel nr. III).

TABEL III

Mecanismul patologic	Pendularea mediastinului	Proba prizării (tresărirea mediastinului)	Proba tusei	Poziția diafragmului
Stenoza incompletă ușoară mixtă	În inspir, spre partea cu stenoză. În expir, spre partea sănătoasă.	+ Deplasare spre stenoză	+ Deplasare spre partea sănătoasă	Poate fi ridicat de partea stenozată
Stenoză cu ventil expirator	Inspir: — Expir: + deplasare spre partea sănătoasă	—	+ Deplasare spre partea sănătoasă	—
Stenoză cu ventil inspirator	Inspir: + deplasare spre stenoză. În expir revine la poziția inițială.	+ Tresărire spre stenoză	—	Ridicat de partea sănătoasă

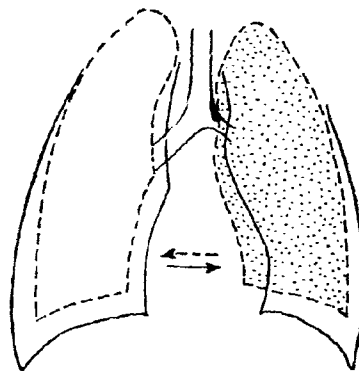


Fig. 218 — Stenoză ușoară mixtă a bronchiei principale stinge.

Corpul străin face un fel de supapă (sau ventil) care poate să împiedice circulația aerului, în oarecare măsură, fie

— în ambele faze respiratorii (atât intrarea cit și ieșirea aerului) — în stenozele mixte;

— fie numai expirul sau numai inspirul.

În stenozele ușoare mixte, în inspir forțat, mediastinul pendulează spre partea stenozată, în expir spre partea sănătoasă (fig. 218).

Diafragmul din partea bolnavă apare mai ridicat în inspir. La proba tusei, mediastinul se deplasează brusc spre partea sănătoasă iar la proba „prizei” spre partea cu stenoza.

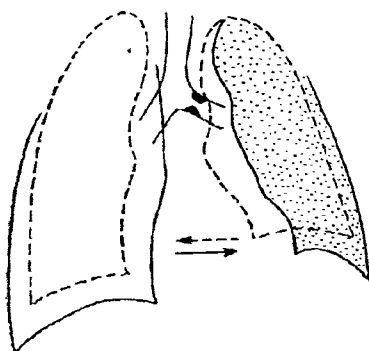


Fig. 219 — Stenoză cu ventil inspirator; pendularea mediastinului.

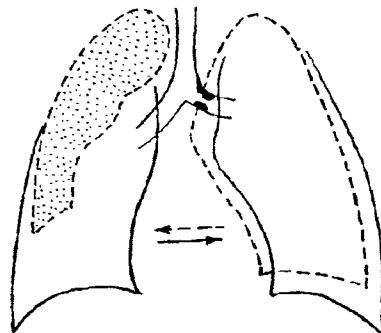


Fig. 220 — Stenoză cu ventil expirator.

În stenoza cu ventil inspirator, mediastinul se deplasează numai în inspir forțat spre partea cu obstacolul, iar în expir mediastinul revine la poziția sa inițială (dar trece de partea opusă) — fig. 219.

În stenoza cu ventil expirator, în timpul inspirului forțat mediastinul își păstrează poziția obișnuită, — în timpul expirului se deplasează spre partea sănătoasă (fig. 220).

Dacă stenoza cu ventil expirator se accentuează, apare mai întâi emfizemul de obstrucție, iar apoi atelectazia teritoriului respectiv, stadiu de atelectazie la care ajung și celelalte două forme de bronhostenoză (cu ventil inspirator și cea mixtă) pe măsură ce lumenul bronhic este obstruat de procesul patologic.

Proba MÜLLER constă în: expir prelungit, urmat de un inspir simulaț (cu gura și nasul închise) cu care ocazie diafragmul paralizat urcă.

Manevra Valsalva: se inspiră profund, apoi se face o tentativă de expirație cu gura închisă și nasul blocat.

Fenomenul HOLZKNECHT-IACOBSONH constă în deplasarea mediastinului de partea bolnavă și ascensiunea diafragmului de partea respectivă, în inspir forțat.

ATELECTAZIA PULMONARĂ

După CHAUDOURNE atelectasia este o stare fiziopatologică a plămînului caracterizată:

— din punct de vedere anatomic și fiziologic prin dispariția aerului și micșorarea de volum a segmentului lobului sau plămînului, interesat în urma colaborării alveolelor care nu mai respiră, cu conservarea permeabilității vasculare;

— iar din punct de vedere radiologic prin umbrire caracteristică retracției și imobilitate funcțională a parenchimului lezat.

Opacitatea nu este datorată numai lipsei de aer din alveole, ci și stării de dilatație și congestie vasculară și eventual transudatului alveolar.

În stadiul inițial, atelectasia este reversibilă. Mai tîrziu, teritoriul atelectatic se transformă fibros, într-o pneumopatie cronică retractilă.

Prin *disteiectazie* se înțelege ventilatia diminuată a unui teritoriu, care, radiologic, este voalat sau umbrit palid și neuniform în urma scăderii cantității de aer din alveole.

Etiopatogenezie. Atelectasia masivă (a unui plămîn în întregime) atelectasia lobară și cea segmentară, în caz de corpi străini, cancer bronhic, dop de mucus, sunt explicate prin *obstrucția mecanică* a unei bronhii.

Atelectaziile parcelare (lobulare și acinoase, pericavitare și lamelare) pot fi realizate prin *contractie activă* a aparatului neuro-miocontractil a parenchimului respectiv.

Contractia poate fi declanșată de cauze care acționează de la distanță pe calea sistemului neurovegetativ, sau care acționează direct-local asupra arborelui bronhic. Acțiunea celor doi factori — obstrucție și contractie activă — poate fi asociată. Sunt citate atelectaziile în caz de hipoventilație și în hipokinezia diafragmatică.

În *atelectaziile parcelare*, parenchimul pulmonar este afectat pe o întindere de mărimea lobulului sau acinului; iar radiologic, rezultă umbriri nodulare de opacitate slabă (fig. 221), greu de deosebit de focarele nodulare exudative care se întâlnesc în bronhopneumonii, în tusea convulsivă etc. cu care adesea coexistă.

Atelectaziile parcelare se întâlnesc după intervențiile chirurgicale pe abdomen sau tiroidă și în cursul diferitelor pneumopatii.

Atelectasia pericavitare (fig. 222) apare ca un inel de opacitate omogenă, care formează un chenar unei cavități transparente (cavernă tuberculoasă, bulă de emfizem, chist aerian) din parenchimul pulmonar.

Atelectasia lamelară sau *tasată* a lui FLEISCHNER (fig. 223), se traduce prin dungi opace liniare, transversale, orientate aproape perpendicular față de coloană sau față de peretele toracic și sunt situate la bază — deasupra diafragmului. Sunt mai ușor de apreciat radioscopic; în inspir profund dispar.

Atelectasia masivă a unui plămîn (fig. 169) se produce în caz de obstrucție a bronhiei principale și se traduce prin:

— opacitatea hemitoracelui și micșorarea volumului său, prin devierea

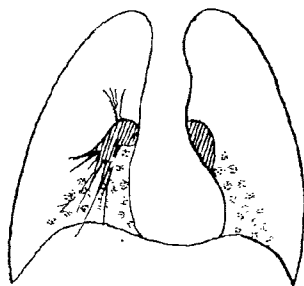


Fig. 221 — Atelectazii parcelare (lobulare sau acinoase).



Fig. 222 — Atelectazie pericavitară.

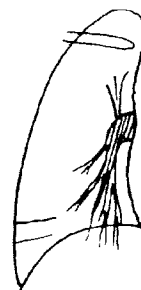


Fig. 223 — Atelectazie lamelară.
FLEISCHNER.

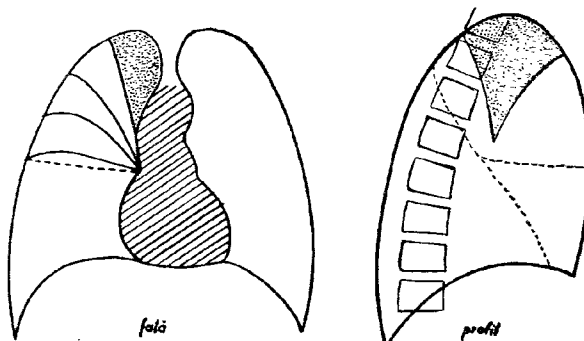


Fig. 224 — Retracția în evantai a lobului superior drept și deplasarea scizurii orizontale.

mediastinului și accesiunea diafragmului, prin retracția peretelui toracic cu micșorarea spațiilor intercostale.

Plămînul, de partea sănătoasă, are transparentă exagerată și poate hernia prin fereastră retrosternală. În timpul probelor dinamice se constată imobilitatea parenchimului condensat, iar în inspir pendularea sau tresărire mediastinului către partea bolnavă.

În caz de *atelectazie lobară*, imaginea radiologică este și mai caracteristică și poate îmbrăca două aspecte în funcție de puterea de retracție a ţesutului pulmonar și de starea foțelor pleurale.

Dacă parenchimul pulmonar este suplu și are posibilitatea să se retrakte, iar pleura viscerală și cea parietală sunt libere, nu sunt simfizate — lobul atelectatic se retrăie în evantai deplasându-se spre mediastin (fig. 224), unde constituie o umbră triunghiulară sau în bandă, cu limite scizurale recișlinii, desenul vascular fiind constituit din elemente apropiate între ele.

Astfel, lobul superior drept sau stîng atelectatic determină o umbră triunghiulară în lungul mediastinului superior (fig. 224; 225) care are baza la vîrful plămînului.

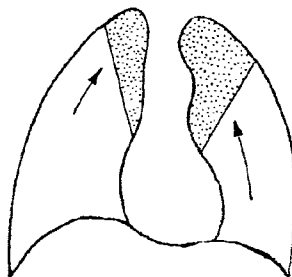


Fig. 225 — Atelectazia lobului superior în pleură liberă. Imagine din față.

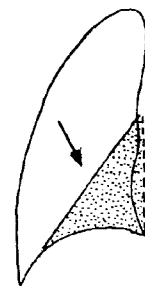


Fig. 226 — Atelectazia lobului inferior drept în pleură liberă.

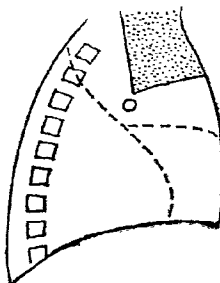


Fig. 227 — Atelectazia lobului superior drept. Imagine din profil.

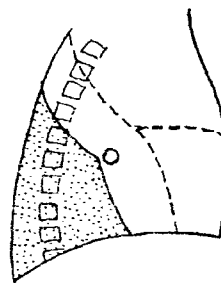


Fig. 228 — Atelectazia lobului inferior drept în pleură liberă.

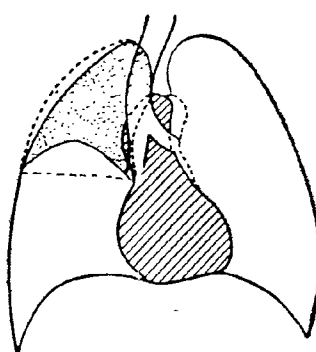
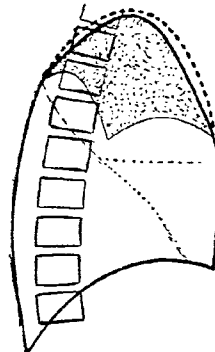


Fig. 229 — Retracția pereților cuștii toracice, mediastinului și scizurii în cazul atelectaziei lobului superior drept în pleură simfizată.



Lobul inferior determină o umbră triunghiulară în lungul mediastinului inferior (fig. 226) cu baza pe diafragmă.

Din profil, lobul superior se retrage spre peretele anterior al toracelui (fig. 227), iar lobul inferior spre peretele posterior (fig. 228). Lobii

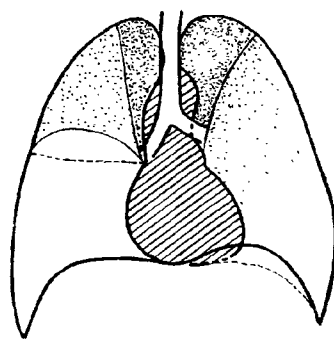


Fig. 230 — Diferite posibilități de atelectazie a lobilor superioiri.

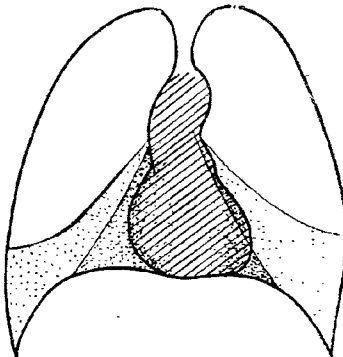


Fig. 231 — Diferite posibilități de atelectazie a lobilor inferioiri.

sănătoși vecini se destind compensator și au transparență sporită (emfizem compensator), iar desenul lor vascular este răsfrirat.

În cazul cînd lobul respectiv nu se poate retracta, fie din cauza leziunilor proprii ce-l fac rigid, fie din cauza leziunilor lobiilor vecini care nu se destind, ori din cauza simfizei dintre foitele scizurale sau dintre foita pleurală parietală și cea viscerală, se constată o umbrărie pe aria lobului respectiv, însotită de micșorarea de volum a acestuia, dar mai ales retracția pereților cuștii toracice, a mediastinului și a scizurii respective care se încovoiae și este aspirată spre lobul atelectatic (fig. 229).

Opacitatea are intensitate mai mare decît umbra lobului din atelectazia simplă deoarece în acest caz presiunea negativă rezultată prin rezorbția aerului din alveolele lobului interesat nu poate fi compensată numai prin retracția teritorului respirator ci și prin hiperemie accentuată și transudat alveolar bogat.

În atelectaziile lobare (și în cele masive) se constată, de asemenea, pendularea mediastinului și eventual jocul paradoxal al diafragmului care traduc imobilitatea funcțională a parenchimului interesat opacifiat.

Atelectaziile segmentare se traduc prin umbriri triunghiulare mai palide cu margini concave care nu sint însotite de deplasarea organelor vecine. Uneori, nu se poate observa decît deplasarea-aspirarea scizurii.

Pentru diagnosticul etiologic al bronhostenozelor și al atelectaziilor, în afară de metodele radiologice simple de examinare (radioscopia, radiografia), se întrebunează tomografia, bronhografia și examenul bronhoscopic — metode care dau relații asupra obstacolului din lumen și asupra stării pereților bronhici din dreptul obstacolului.

COLAPSUL PULMONAR

Prin colaps se înțelege un fenomen mecanic — cu stare de turtire și compresiune a parenchimului pulmonar, — care este în legătură cu un factor situat în afara teritoriului afectat, în timp ce bronhiile și bronhiolele sunt libere, aşa cum o demonstrează bronhografia; funcția respiratorie este păstrată, dar este diminuată în raport cu gradele colapsului.

Colapsul unui plămîn sau al unui lob poate fi datorat:

— unei colecții lichidiene din pleură (pneumotorax sau pleurezie) care apasă și turtește pulmonul;

— chistul hidatic pulmonar, chistul aerian sau bulele gigante de emfizem, împing parenchimul din jur și-l turtesc (l colabează).

Colapsul este o stare reversibilă.

În atelectazie trebuie să se stabilească, pe de o parte cauza care a provocat-o, iar pe de altă parte trebuie să se facă diagnosticul diferențial cu afecțiuni sau sindroame care dau imagini asemănătoare.

Atelectazia este acută și trece cătoare în obstrucția cu corpi strâini, dispare după îndepărțarea lor.

În bronșitele segmentare, atelectazia este recidivantă.

În cancerul bronhic atelectazia este progresivă.

Atelectazia masivă trebuie deosebită de pleurezia masivă, de tumurile pleurale care umbresc întreg hemitoracele, de pahipleurita întinsă și de fibrotorax.

Atelectaziile lobare care evoluează în pleură simfizată nu trebuie confundate cu umbrele sistematizate din pneumonia francă, cu lobitele cazeoase, tuberculoase, sau cu sclerozele lobare din tuberculoză și din pneumonia cronică.

Atelectazia lobilor în pleura liberă trebuie deosebită de pleureziile mediastinale, de megaesofag, de pneumonia *lobului* intermediar al lui WRISBERG, sau a *lobului* infracardiac, de umbrele triunghiulare din gripă, tuse convulsivă sau bronșiectazii.

SINDROMUL DE LOB MIJLOCIU

Este constituit dintr-un proces de atelectazie cronică cu carcinoficare și scleroză, care are etiologie variabilă și se localizează în acest lob datorită condițiilor sale anatomice și funcționale.

La copil, sindromul de lob mijlociu este consecutiv adenopatiei traheo-bronhice t.b.c. și constă din atelectazie urmată de bronșiectazii.

ASTMUL BRONHIAL

Astmul bronhial este o boală alergică, din aceeași categorie cu urticaria, eczema, rinita alergică, consecință a unor reacții excesive ale organismului rezultate din contactul alergen-anticorp la nivelul organului de soc, — în acest caz arborele bronhic. Se traduce clinic prin crize de dispnee expiratorie paroxistică care survin cu o frecvență variabilă constituind astmul pur sau intermitent la adultul tânăr, la bol-

navi care pot avea respirația grea și în intervalele dintre crize (astm cu dispneă continuă).

Crizele sunt datorate îngustării bronhiilor, care rezultă dintr-o reactivitate crescută a căilor respiratorii la stimuli variați ce prezintă modificări caracteristice reacției alergice (*triada bronhică* a lui HERXHEIMER): tumefierea mucoasei, hipersecreție și bronhospasm în urma tulburărilor funcționale ale aparatului neuro-miocontractil. Aceste tulburări duc la emfizem de distensie și cu timpul la emfizem substanțial.

În afara crizelor, aspectul radiologic al toracelui, la pacienții suferind de astm necomplicat, este de cele mai multe ori normal. Dese-nul pulmonar la unii bolnavi este mai accentuat dar nu poate fi interpretat ca atare, chiar cînd se văd pereții bronhici îngroșați, sub formă de cercuri (alăturate — gemene) sau de linii subțiri paralele ca „șinele de cale ferată“.

În criză — la examenul radiologic — se constată semne de supra-inflație, de emfizem obstructiv generalizat, toracele este mărit în volum, are formă de clopot sau de butoi, este destins în atitudine de inspir, cu diafragmul coborât și imobil, sau cu partea tendinoasă ce urcă în inspir din pricina bronhostenozelor spasmotice multiple (cu aspect ca de acoperiș de casă), coastele orizontale, spațiile intercostale sunt largi. Transparența pulmonară este mărită. Arterele pulmonare din hiluri sunt dilatate, iar ramificațiile acestora sunt groase și se întind departe în jur; prezența desenului secundar periferic ne dă posibilitatea să nu facem confuzie cu emfizemul în care rețeaua secundară este săracă. În timpul crizei se poate observa voalarea regiunii hilurilor din cauza unui transsudat intersticial, iar la copii se poate observa scădere relativă a transparenței pe toată întinderea ariei pulmonare din cauza unui exsudat bronhoalveolar.

După criză, diafragmul își revine la poziție și excursie normale, iar modificările de transparență dispar, lăsînd în urmă uneori umbre nodulare date de focare de atelectazie lobulară sau chiar lobară, prin spasm bronhic, prin edem al mucoasei sau dop de mucus în lumen. Se pot constata *infiltrate fugace* LÖFFLER în lobii superioiri sub formă de umbre palide cu contururi șterse sau de umbrire triunghiulară.

Dacă crizele se repetă des și astmul se complică cu bronșita cronică, emfizemul devine substanțial și rămîne definitiv (astm visceralizat), iar radiologic nu mai avem posibilitatea să apreciem dacă transparența pulmonară crescută este datorată astmului sau emfizemului substanțial.

Cordul astmaticilor este de obicei mic. În timpul crizelor cordul se măreste brusc în inspir. În formele cu accese grave, ventriculul drept se dilată din cauza obstacolului din mica circulație, creat de sporirea tensiunii intratoracice și înima ia configurația de cord pulmonar ca în fig. 420 și 421.

Bronhografia, în timpul crizei, arată că substanță opacă se oprește în bronhiile mari și mijlocii și nu mai progresează din cauza spasmului și lipsei de aspirație bronho-parenchimatoasă. La început, se găsesc modificări de bronșită spasmotică, apoi se constată dilatații bronhice de tip cilindric.

Astmul bronhial care este o boala propriu-zisă, nu trebuie confundat în clinică cu sindromul astmatic, în care o simptomatologie asemănătoare este asociată unei afecțiuni ale bronhiilor, plămînului sau cordului.

ASTMUL GANGLIONAR

Aşa-zis-ul „*astm ganglionar*“ se poate întîlni la copii în cursul adenopatiilor traheo-bronhice tuberculoase; la examenul radiologic, în afara modificărilor caracteristice astmului, se găsesc semnele primoinfecției tuberculoase sub formă de adenopatii traheo-bronhice cu reacție perifocală în jur.

Uneori, la astmaticii adulți, se găsesc cicatrici tuberculoase care constituie „spina iritativă“ ce provoacă modificări vago-simpaticice care favorizează criza de astm, manifestarea alergică la nivelul bronhiilor.

ASTMUL CARDIAC

O altă noțiune în clinica veche este „*astm cardiac*“ — denumire utilizată pentru a desemna o formă de manifestare a insuficienței acute ventriculare stângi care apare ca și criza de astm bronhic, mai ales noaptea, și poate avea caracter de dispnee expiratorie.

La examenul radiologic se constată modificări ale umbrei cardiovasculare, cordul fiind mărit pe seama ventriculului stâng și cu configurația corespunzătoare unor leziuni valvulare, mitrale sau aortice, în cursul hipertensiunii (fig. 403).

Plămînul prezintă modificări de stază.

Emfizemul pulmonar

Emfizemul este o stare patologică a plămînului caracterizată anatomic prin degenerescența țesutului elastic pulmonar, fiziopatologic prin distensia abnormală a alveolelor și spațiilor aeriene dispuse distal de bronhiile terminale nerespiratorii, absența puterii de contractie a parenchimului, semnul radiologic cel mai constant fiind constituit de sporirea transparentei pe teritoriul afectat.

Fiziopatologic, emfizemul poate fi obstrucțiv (emfizemul cronic generalizat, cauzat de obicei de bronșita cronică), — neobstrucțiv (cum sunt cele funcționale, emfizemul vicarian) și — cel restricțiv (din bolile sclero-atrofice, la persoanele în vîrstă, ca urmare a uzurii țesutului conjunctiv elastic, structură care asigură elasticitatea plămînilor).

Pentru studiu radiologic emfizemul poate fi împărțit în:

- emfizem generalizat (emfizemul substanțial, emfizemul senil, emfizemul funcțional al înnecațiilor), și
- emfizem localizat (ce poate fi difuz vicariant sau circumscris prin obstrucție bronhică și bulos sau chistic).

EMFIZEMUL CRONIC GENERALIZAT

Emfizemul cronic generalizat al plămînilor sau boala emfizematoasă se caracterizează prin pierderi anatomici și funcționale din valoarea parenchimului pulmonar, consecință a unor disfuncții a bronhiilor terminale (fig. 259), care la început duc la stenoza bronhică cu dis-

tensiile a bronhiilor și alveolelor din amonte (emfizem obstrucțiv consecutiv stenozei bronhice din bronșita cronică și din astm). Mai târziu, țesutul pulmonar prezintă leziuni atrofice și distructive, alveolele se lasă destinse, septurile dintre alveole și dintre acini se rup și se rezorb și mai multe alveole fără pereți se contopesc între ele (emfizemul HEPPELESTON), apare hipertransparență.

Bronhiile terminale participă și ele la distensia acinilor. Astfel, rezultă spații aeriene mari cu pereți subțiri care dă parenchimului pulmonar aspect în rețea cu ochiuri largi.

Concomitent cu alterarea pereților, rețeaua capilară alveolară este săracă, circulația sanguină redusă, ceea ce duce la creșterea pre-siunii în circulația pulmonară.

În această fază este foarte greu de făcut diferențierea între emfizemul obstructiv și cel idiopathic (restrictiv cu atrofie primară) în care a survenit o infecție bronhică secundată.

Radioologic, în faza inițială, emfizemul se caracterizează prin rețea vasculară periferică săracă în mantie — asociată cu artere pulmonare largi în hiluri, prin scăderea mobilității elementelor cutiei toracice, în special limitarea mișcărilor diafragmului în timpul celor două faze ale actului respirator, asociată cu lipsa de modificare a transparenței în inspir-expir, și prin sporirea în dimensiuni a toracelui cu lărgirea spațiilor intercostale.

Transparența pulmonară poate fi normală, sau ușor sporită, mai ales în expir (air trapping). În această perioadă trebuie utilizate toate metodele de examen și probele radiologice care pot scoate în evidență micșorarea capacitatii vitale și creșterea aerului rezidual: cinedensigrafia, digrafia, angiografia.

În fazele avansate, toracele arătă aspect de „torace emfizematos“ cu dimensiuni în general sporite, ceea ce îi dă caracter globulos, „în butoi“.

Se constată mărirea și rotunjirea vîrfurilor cutiei toracice, sternul prominent, spațiul transparent retrosternal mărit, coloana dorsală cifotică, coastele sunt orizontale, iar spațiile intercostale largi.

Diafragmul este coborit, cupolele sunt turtite ca un acoperiș de casă, sinusurile costodiafragmatice sunt largi. Transparența pulmonară este crescută datorită sporirii cantității de aer, atrofie țesutului pulmonar și micșorării cantității de sânge din sistemul capilar și vasele mici.

La periferie desenul pulmonar este sărac, iar în hiluri cordoanele vasculare sunt largi.

Mai târziu, desenul pulmonar este mai accentuat, nu numai prin faptul că este scos în evidență de emfizem, prin contrast, ci și din cauza fibrosclerozei interstitioniale.

Transparența pulmonară nu se modifică în expir (uneori crește la sfîrșitul lui).

Diafragmul are poziție joasă, sinusurile costo-diafragmatice sunt largi. Mișcările diafragmului sunt reduse și coborârea diafragmului în inspir este defectuoasă, sau chiar paradoxă.

Umbra cordului la început are aspect normal, apoi de picătură (datorită rotației înspre dreapta, consecutivă coborârii diafragmului); mai târziu umbra cordului poate fi mare (prin hipertrofia ventriculului drept) și modificată prin bombarea arcului mijlociu stîng (prin destinderea arterei pulmonare) aspect de cord pulmonar. Hilurile au caracter arterial cu vase largi, desenul vascular traducind hiper-

tensiunea din sectorul arterial al miciei circulații. În cele din urmă, umbra cordului este mărită global prin insuficiență cardiacă.

Emfizemul senil (*emfizemul esențial sau emfizemul primar atrofic*) se produce prin mecanism restrictiv și este datorat unui proces degenerativ sclero-atrofic cu sărăcire a structurii elastice alveolo-pulmonare. Bronhiolele nu sunt interesate și nu se găsește mecanismul bronhiolar de air-trapping.

Aspectul radiologic poate fi asemănător cu cel din emfizemul cronic generalizat. Din cauza proceselor de fibroză intersticială, desenul pulmonar accentuat poate să facă ca transparența să pară normală, sau chiar scăzută.

În *emfizemul funcțional* este vorba de o distensie a plămâinului (*volumen pulmonum auctum*) și se întâlnește la fărăci care fac inspiruri maxime cauzate de fărăci; poate surveni după eforturi mari la sportivi, este întâlnit la sugari în dispepsiile toxice, coexistând cu meteorism intestinal.

Bronhopneumopatia obstructivă cronică (BPOC) este un termen utilizat în ultimii ani pentru a eticheta starea patologică în care se întâlnește bronșita cronică și emfizemul pulmonar pe care-l provoacă; unii autori (SCADING) încorporează în BPOC și astmul bronхиial.

În bronhopneumopatia cronică obstructivă, radiologic predomină semnele de emfizem pulmonar (cu tulburări ventilatorii de tip obstructiv), în timp ce modificările de bronșită cronică pot fi absente sau discrete.

Sondajele epidemiologice întreprinse la noi în țară arată o prevalență la bărbații peste 40 ani, fiind notată pînă la 27% dintre aceștia în orașele mari, 20% în mediu rural.

Mortalitatea din BPOC depășește larg, în ultimii ani, pe cea determinată prin tuberculoză.

EMFIZEMUL LOCALIZAT

a. *Emfizemul localizat difuz* poate fi *vicariant* (neobstructiv) și prezintă expansiunea compensatorie a parenchimului sănătos în urma retracției țesutului pulmonar bolnav, în caz de scleroză pulmonară sau atelectazie, și

— *obstructiv* sau *difuz circumscris*, cînd este produs prin stenoză bronhică dată de cancer la adult sau de către corpuri străini la copil.

Radiologic se constată hipertransparență și desen pulmonar sărac pe teritoriul unui segment de ventilație sau al unui lob, ale cărui dimensiuni sunt sporite; teritoriul cu parenchim destins bombează scizura, poate împinge mediastinul de partea opusă și mărește dimensiunile hemitoracelui.

b. *Emfizemul bulos*. Din punct de vedere anatomo-patologic, emfizemul bulos poate fi: — *scleroatrophic* și

— *emfizem bulos propriu-zis* sau *obstructiv* — consecință a unei tulburări de ventilație după pneumopatiile acute, în cancerul bronhic (fig. 298, 299).

1. *Bula de emfizem scleroatrophic* se prezintă ca o formă transparentă cu pereții foarte subțiri, de formă sferică, (fig. 232, a) sau cu perete ușor ondulat.

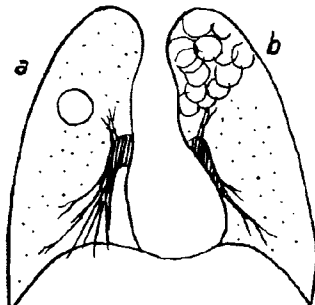


Fig. 232 — Emfizem bulos sclero-atrofic.

Bula de emfizem poate avea sediu oriunde pe ariile pulmonare, dar se dezvoltă frecvent spre vîrf sau în lamele pulmonare care prelungesc plămînul spre mediastinul anterior.

Bula de emfizem scleroatrofic se dezvoltă pe un fond de emfizem generalizat; pe locul ei plămînul este distrus și bula este definitivă, în decursul timpului putind spori în dimensiuni; pot apărea mai multe bule (b).

Poate supura și rezultă o imagine hidro-aerică ca de abces pulmonar, dar conturul este mai geometric decât al abcesului și mai subțire.

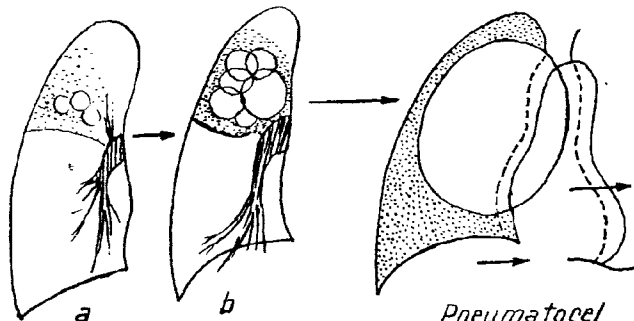


Fig. 233 — Dezvoltarea explozivă a mai multor bule de emfizem într-un focar pneumatic.

Fig. 234 — Bulă de emfizem gigantă: pneumatozel

Bule de emfizem sclero-atrofic pot fi întinse în sclerozele pulmonare, fibrozele intersticiale.

Distrofia pulmonară progresivă este o varietate de emfizem bulos sclero-atrofic în care este afectat progresiv de obicei parenchimul lobului superior, în dreptul căruia se constată hipertransparentă; plămînul este clar cu desen vascular șters, — sau chiar fără desen pulmonar, plămînul adiacent fiind comprimat și umbrat. Imaginele pot fi asemănătoare celei realizate de plămînul polichistic (fig. 211, b).

Emfizemul unilateral (sindromul MAC LEOD menționat la capitolul „Anomalii mixte de dezvoltare” — la pag. 190) nu are o cauză cunoscută. Poate fi congenital, poate fi cîștigat în urma unui proces inflamator în copilărie care afectează pereții bronhiilor subțiri și ai bronhiolelor, și declanșează un mecanism de ventil cu fenomenul air trapping ce duce la distensia alveolelor. Hemitoracele respectiv este hipertransparent, dar are dimensiuni ceva mai mici decât cel obișnuit, iar cordul și mediastinul sunt deplasate către partea afectată.

În sindromul MAC LEOD artera pulmonară de partea afectată este hipoplazică și ramificațiile ei sunt sărace — subțiri și reduse numeric; același lucru se poate spune și despre arborele bronhic.

2. Emfizemul bulos sau chistic se observă în defervescența afectiunilor acute pulmonare, mai ales la copii; este consecutiv unei tulburări de ventilație bronhică cu obstrucție bronhiolară prin dop de mucus și poate lua caracterul de pneumopatie buloasă extensivă.

După pneumoniile și bronhopneumoniile bacteriene mai ales (stafilococ, streptococ, pneumococ) în sinusul umbrei pulmonare sistematizate, în cursul rezorbției se dezvoltă exploziv una sau mai multe bule de emfizem (fig. 233), ce sporesc în dimensiuni — suflă — teritoriul respectiv. Una din aceste bule poate lua dimensiuni mari (pneumatozel — fig. 234), comprimă mediastinul și se confundă cu pneumotoraxul sau cu chistul aerian gigant (fig. 209).

Bulele de emfizem bulos au dinamică vie, se schimbă ca număr și dimensiuni de la o zi la alta. Pe lîngă excesul de transparență se constată în jurul lor teritorii umbrate prin focare inflamatorii sau atelectatice.

Pneumopatia acută care a dat naștere bulelor, intră în rezoluție în timp normal, dar bulele pot dura 2—3 săptămâni sau chiar cîteva luni după episodul acut, iar în cele din urmă ele dispar.

În cursul enfizemului bulos se pot produce pusee inflamatorii care au drept consecință formarea de lichid și apariția de nivel hidroaeric pe teritoriul enfizemului bulos.

Diagnosticul diferențial între bula de emfizem cu nivel hidroaeric și abcesul pulmonar se face pe considerentul că bulele de emfizem sunt multiple, fiecare bulă are perete subțire, net trasat; cavitatele aeriene dispar repede.

Emfizemul interstițial rezultă în urma ruperii unor alveole ce permit aerului să pătrundă în spațiile celulare peribronhovasculare (în lungul cărora nu poate fi văzut radiologic) de unde migrează subpleural și realizează bule (ce nu au perete propriu); bulele subpleurale pot erupe în mediastin sau în cavitatea pleurală.

Emfizemul mediastinal apare după plăgi și traumatisme toracice, perforații ale traheei sau esofagului, ruptura unei caverne sau bule de emfizem subpleural; în aceste împrejurări aerul infiltrează diferenite septuri celulare ale spațiului mediastinal. Coexistă de obicei cu enfizemul subcutanat.

Pe radiografia din față (fig. 235) se constată cîte o linie de transparență aerică subțire, adesea ca un fir de păr, situate de o parte și de alta a vaselor mari de la bază, sau de-a lungul marginilor cordului.

Din profil, banda de aer este mai evidentă îndărătul sternului.

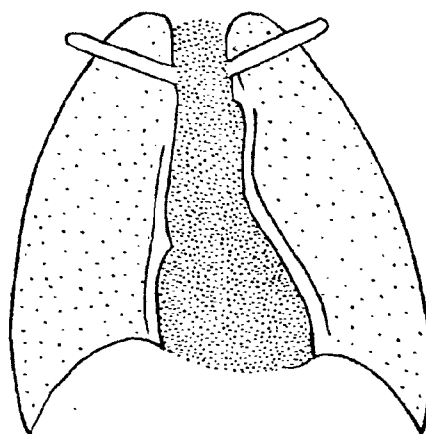


Fig. 235 — Emfizem mediastinal.

Tulburările circulației pulmonare

Tulburările circulației sanguine pulmonare sunt de cele mai multe ori consecutive afecțiunilor cardio-vasculare; ele provoacă hipertensiune în mica circulație, au răsunet asupra plămâinului sănătos și-i modifică imaginea radiologică, favorizează instalarea și modifică evoluția afecțiunilor pulmonare inflamatorii și determină modificări pleurale.

PLÂMÎNUL CARDIAC SAU DE STAŽĂ

Apare în afecțiunile cardiaice cu tulburări hemodinamice care produc turgiditatea capilarelor și transsudație intersticială și alveolară.

La examenul radiologic (fig. 237) se constată:

- cord cu configurație și dimensiuni patologice;
- hiluri cu caracter arterial (mari, cu elemente bine conturate, pulsatile) sau cu caracter de stază (mari, difuze), fig. 430 și 429;
- *linii septale KERLEY B* — umbriri lineare, orizontale, fine, perpendiculare pe peretele lateral toracic, cu sediul basal; sunt interpretate ca un semn de hipertensiune pulmonară (fig. 236); — semne de hipertensiune venoasă, cordoanele subclaviculare cunoscute sub numele de „*liniile lui SYLLA*“ (fig. 238 a);
- modificarea transparenței cimpurilor pulmonare, în grade diferite, de la voal bazal pînă la aspectul multinodular floconos.

În emfizem și sclerozele pulmonare se produce inițial hipertensiunea arterială pulmonară, apoi aspect de cord pulmonar cronic și hiluri de tip arterial (fig. 430).

În stenoza mitrală, la început se produce o hipertensiune venoasă cu apariția liniilor Sylla produse de staza în venele superioare paramedastinale sau suprahilare (fig. 238 a) prin redistribuție sanguină între baze și vîrf, mai tîrziu hipertensiune în ambele sectoare ale circulației pulmonare.

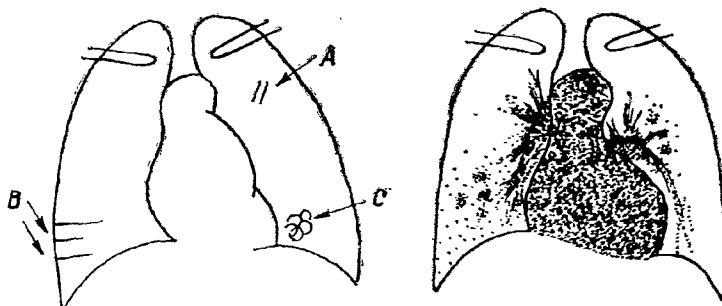


Fig. 236 — *Liniile KERLEY.* Fig. 237 — Plâmîn cardiac.

HIPOSTAZA BAZALĂ

Se produce la persoane în vîrstă cu stare generală alterată care stau la pat, în decubitus și favorizează suprainfecția ducând la pneumonie hipostatică, (fig. 197) care am arătat că se traduce prin umbriri omogene situate la ambele baze, cu limita superioară neprecisă. Afectează și parenchimul pulmonar și pleura.

CIROZA CARDIACĂ A PLÂMÎNULUI

Apare după stază, ce a durat mai mulți ani. Se caracterizează prin accentuarea benzilor vasculare care iradiază din hiluri în parenchim. Uneori realizează un aspect de miliară (hemosideroză).

EDEMUL PULMONAR ACUT

Este întâlnit în clinică în asociație cu insuficiența ventriculară acută stîngă, cu uremia sau cu expunerea la gaze toxice.

Hiperhidratarea, cu ocazia perfuziilor, clismelor, este un factor agăvant și determină „Fluid lung”, care este provocat de creșterea bruscă a tensiunii sanguine în mica circulație, peste 32 mm Hg, precum și de modificările permeabilității capilarelor alveolare care permit o acumulare de lichide în țesutul conjunctival intersticial și/sau în alveole; modificările afectează etajele mijlocii și superioare ale plămînului. Radiologic se constată: cord mărît, hiluri de stază opacificate difuz, cu prelungiri trabeculare groase spre periferie, cu linii septale și linii Kerley, la baze.

În edemul alveolar sau mixt se constată vâl pulmonar difuz care realizează imagine clasică „în aripi de fluture” (fig. 182 d) prin care transpar desenul pulmonar accentuat sau opacități nodulare de diferite mărimi, palide, cu contur șters.

Aspecte radiologice de edem pulmonar (fără modificări cardiace) se pot observa după supradozajul unor medicamente ca: nitrofurantoin, metotrexat sau salicilați, după morfină și barbiturice.

Este vorba de o reacție de sensibilizare acompaniată frecvent cu eozinofilie; după întreruperea medicamentului respectiv, tabloul patologic dispare.

Edemul pulmonar subacut dă imagini asemănătoare cu cel acut, dar opacitățile au caracter mai grosolan, rețea vasculară ce este mai densă și noduli mari.

Embolia pulmonară nu dă nici o modificare imediată; alteori se constată o hipertransparentă a teritoriului cu vasul obstruat și sărăcirea desenului vascular pe teritoriul respectiv care este palid. Mai tîrziu, aspect umbrit de infarct.

INFARCTUL PULMONAR

Afectează o porțiune conică din parenchimul cu vasul obstruat iar imaginea radiologică variază cu incidența, umbrarea proiectîndu-se rotundă, ovală sau triunghiulară (fig. 238, b, c) cu baza la pleură și vîrful orient-

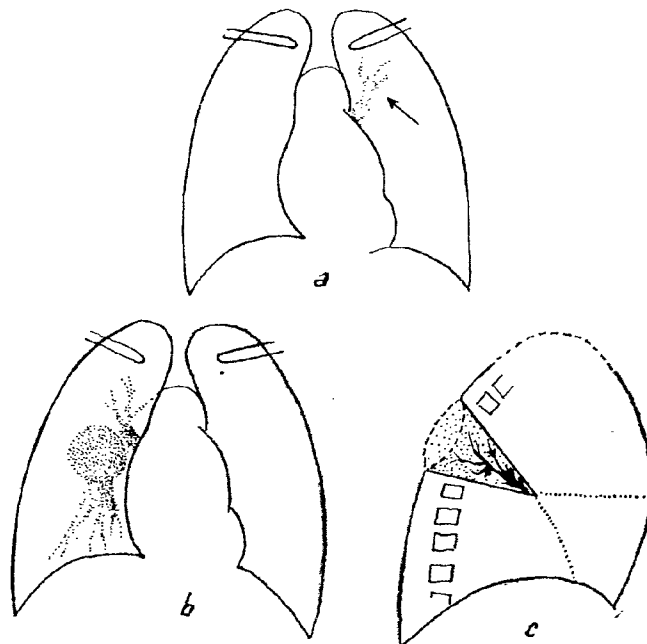


Fig. 238 — a) Cordoanele lui SYLLA; b) infarct pulmonar — față — umbră rotundă; c) infarct pulmonar — profil — umbră triunghiulară.

tat spre hil; are sediu în jumătatea inferioară a hemitoracelui, se poate însoții de exsudat pleural, are evoluție trenantă și lasă cicatrice și se vede mai bine pe radiografiile cu spatele la ecran.

În infarctul pulmonar se pot produce fenomene inflamatorii care realizează aspect de pneumonie cu focar unic (când procesul inflamator se propagă la focar pe cale bronhică) sau sub aspect bronhopneumonic (focare multiple în caz de obstrucții vasculare multiple) cind inflamația pleacă de la o tromboflebită sau un proces septic. Focarul pneumoniaic în infarct se poate necroza, se fluidifică și excavăază.

PLEURA CARDIACĂ

Pleureziile uscate sunt tardive și se întâlnesc aproape la 1/2 din bolnavii cardiaci. Se observă mai ușor la scizuri. Cele lichidiene sunt mai frecvente în iminența asistoliei, au lichid puțin.

Tuberculoza pulmonară

Examenul radiologic care este atât de important în studiul bolilor acute pulmonare a adus un aport deosebit în depistarea, diagnosticul, tratamentul și profilaxia tuberculozei pulmonare.

Contagiunea corpului omenesc se produce de la omul bolnav de tuberculoză pulmonară prin intermediul sputei „picăturile lui PFLÜGE“ și infecția tuberculoasă se face pe cale aeriană care este poarta de intrare a bacilului Koch în peste 95% din cazuri.

Calea digestivă constituie mai rar poarta de intrare în organism pentru bacilul Koch (provenit din lapte nefiert, cu bacili bovinii). DANIELLO a arătat, în 1966, că este nevoie de o cantitate de germeni de 3 500 ori mai mare pentru a se produce o tuberculoză pe cale digestivă, cale în care sucurile digestive împiedică grefarea. Diseminarea germenilor se poate realiza și pe căile sanguine sau limfatice.

Primoinfecția a fost considerată mult timp ca un apanaj al copilăriei pînă la vîrstă de 5 ani, dar se poate produce și la adolescent.

În ultimul timp vîrstă de contaminare se deplasează spre cea adultă.

Primoinfecția tuberculoasă apare în țările cu endemie tuberculoasă ridicată sau medie, în special în prima copilărie; poate apare și la o vîrstă mai avansată (vîrstă armatei) în țările cu endemie tbc în scădere.

Infecția tuberculoasă cuprinde proporții de populație care merg pînă la 80—90% după vîrstă de 40 de ani, în timp ce îmbolnăvirile nu reprezintă decît 5—10% (MAHLER), ceea ce arată că, pentru ca infecția să se transforme în boală, trebuie să se grefeze pe un teren receptiv, într-un organism cu rezistență generală scăzută, ca o consecință a influențelor de favorabile ale unor factori de mediu.

Harta tuberculozei este superpozabilă cu harta nivelului economico-social și al medicalizării țării și teritoriului respectiv (FREOUR).

În țără la noi morbiditatea a scăzut de la 493⁰/₀₀₀₀ de locuitori, cât era în 1950 la 54,5⁰/₀₀₀₀ în 1980 (21 030 cazuri noi) — iar mortalitatea a scăzut de la 145 la %/₀₀₀ în 1950 la 3,7/₀₀₀, (1 415 decese) în anul 1980.

Anatomia patologică a tuberculozei pulmonare. Se caracterizează prin prezența celulelor limfoide, epitelioide și gigante precum și a zonelor de cazeifiere.

Faza inflamatorie. Bacilul Koch — gram pozitiv — este acido- și/alcoolorezistent (odată colorat pe lamă nu se mai decolorează cu acid și alcool) și pentru a putea fi pus în evidență necesită o metodă specială de colorare (ZIEHL-NIELSEN).

Este mai degrabă o ciupercă, decît un microb, denumită Mycobacterium tuberculosis — M.t. (În ultimii ani se descriu microbacterii atipice ce devin patogene în anumite condiții).

În fața bacilului Koch, țesuturile sănătoase reacționează prin focare productive sau focare exsudative, în funcție de cantitatea de bacili în acțiune și de rezistență organismului; aceste focare au tendință la necroză (cazeificare). Procesul de vindecare și stabilizare se caracterizează prin rezorbție ori fibroză și calcificare.

După contagiunea masivă, pe un fond imunitar de hipersensibilitate; M.t. ajuns în plămîn se localizează în alveole și acini și provoacă la început o reacție congettivă și exudativă (fig. 239 a). Alveolele cu vase dilatate au pereții îngroșați și se umplu cu serozitate; se produce un mic focar pneumonic (fig. 239 b) care nu este specific, dar a cărui etiologie se trădează la microscop prin prezența bacilului respectiv.

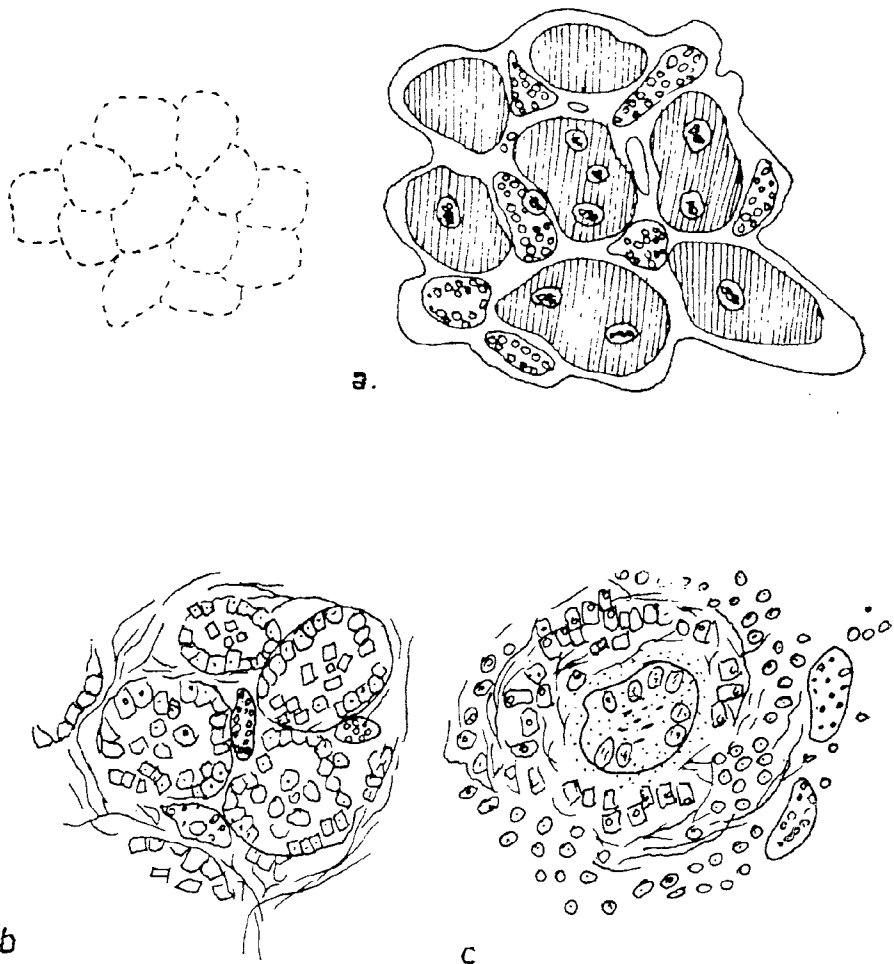


Fig. 239 — Anatoma patologică a tuberculozei pulmonare: stînga sus — plămin normal; a — alveolită congestivă și exsudativă; b — leziune exsudativă; c — leziune productivă;

Leziunea anatomo-patologică exsudativă se traduce radiologic printr-o opacitate pulmonară palidă, omogenă, un nodul cu contur pierdut (fig. 164) și poate evoluă în două sensuri:

1. alveolita exsudativă se poate resorbi fără sechele;
2. de obicei însă, în cadrul reacției imunologice secundare, se produce citoliza imunologică, necroza tisulară specifică tuberculozei, care macroscopic se traduce prin cazeificarea focarului pneumatic, iar histopatologic prin dispariția structurii tisulare la acest nivel;

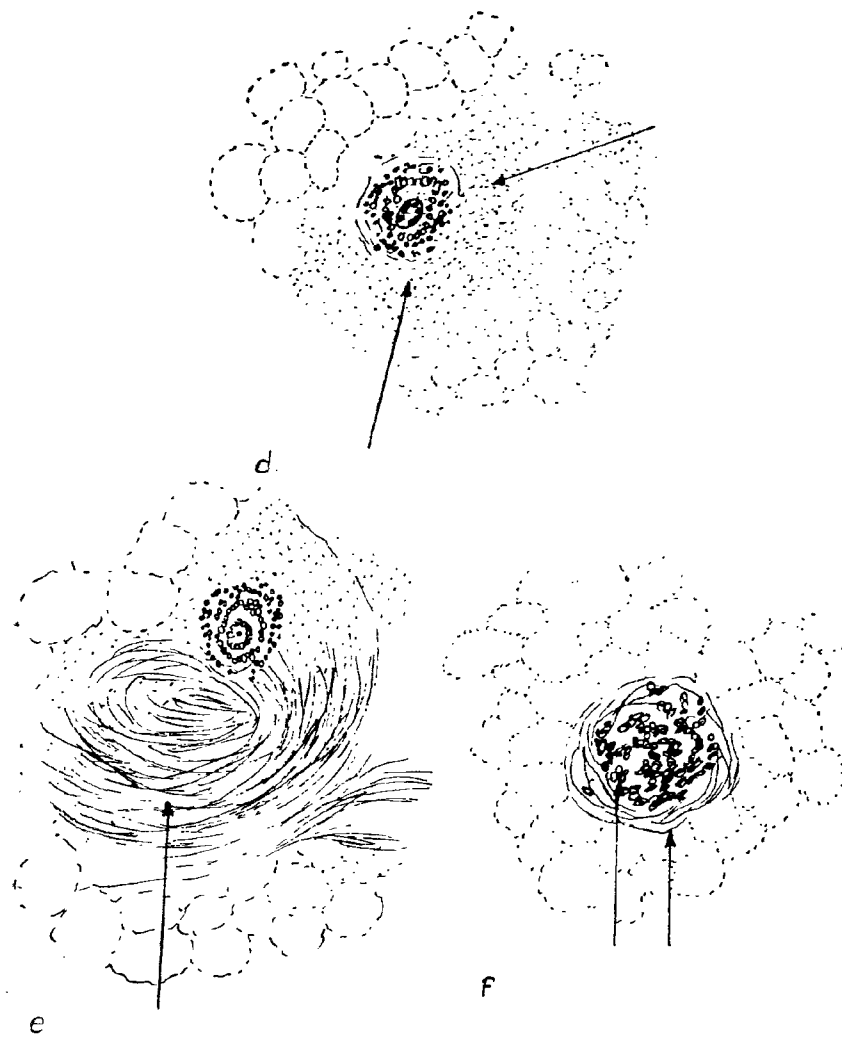


Fig. 239 — d — cazeificare; e — scleroză-fibrozare; f — modificări sclero-calcare.

rezultă un focar de alveolită cazeoasă (fig. 239 d — pneumonie cazeoasă) sau un focar de bronhoalveolită cazeoasă care se numește **focar primar** sau **sancru de inoculare tuberculos** descris de către KÜSS. Infecția se propagă pe cale limfatică și sunt prinși și ganglionii limfatici sateliți în care leziunile evoluează în același sens.

Focarul de alveolită cazeoasă poate evoluă, la rîndul său, în două sensuri: **productiv (regresiv)** sau/și spre **cavernă**.

După primul contact al organismului, în primoinfecția tuberculoasă produsă cu un număr mic de M.t., în condiții de rezistență crescută a organismului uman, ca și mai târziu în cursul tuberculozei pulmonare, se pot produce și leziuni productive.

Acestea se dezvoltă în septurile alveolare și perilebolare sau în țesutul intersticial peribronhovascular și, în loc de congestie vasculară și serozitate alveolară din foocul exsudativ, constau în noduli circumscrisi, foliculi tuberculoși constituși dintr-un centru cazeos înconjurat de celule epiteloide și celule gigante, iar la periferie de un strat celular cu limfocite (fig. 239 c). Elementele celulare și nodulul reprezintă reacția specifică a organismului în fața bacilului Koch (este o expresie imunomorfologică a reacției proliferative primare). Folicul tuberculos are tendință spre fibrozare, prin maturarea și transformarea progresivă în țesut conjunctiv.

Radiologic, nodulii productivi se traduc prin pete (opacități) de gradul II, de formă stelară cu contur precis, cu prelungiri în tramă, care este accentuată (fig. 164, a).

Leziunile tuberculoase din plămîn pot avea evoluție favorabilă (regresivă) și se resorb sau se cicatricează.

Cind rezistența organismului este scăzută, în sinul leziunilor tuberculoase se produc fenomene de necroza (citoliză imunologică) care, în tuberculoză, poartă numele de cazeificare (fig. 239 d).

Prin pătrunderea vaselor sanguine în zona cazeificată, prin exacerbarea virulenței microbiene și prin acumularea de polinucleare care eliberează enzime cu efectul unui ferment proteolitic, cazeumul se transformă purulent, se lichefiază și se evacuează printr-o fistulă bronhică, lăsind în loc o ulcerație care poartă numele de cavernă tuberculoasă și care radiologic se traduce printr-o cavitate transparentă (fig. 170 și 265).

În sinul și în jurul leziunilor menționate se produce țesut conjunctival fibros care are tendința să limiteze leziunile, țesut care poate trece în fibrozare scleroză (fig. 239 e) și calcificare (fig. 239 f).

Leziunile secundare din vecinătatea foocului tuberculos pot fi constituite de atelectazie, emfizem sau congestie perifocală.

Imaginea radiologică în cursul tuberculozei pulmonare este în funcție de prezența unuia din tipurile de leziuni menționate, leziuni exsudative — cazeoase, productive, cavitare, — sau leziuni scleroase — cicatricale sau din asocierea lor.

Mijloacele biologice de apărare contra bacilului Koch sunt realizate prin intermediul aparatului imunologic, care răspunde prin:

- o stare de hipersensibilitate de tip întîrziat — alergie — cu efect predominant nociv;
- și o stare de rezistență celulară — imunitate — ce este întreținută de alergie.

După contagiunea cu bacilul Koch, în tuberculoză există o perioadă de incubație sau antealergică cu durată între 15 zile, pînă la 4 luni, în care bacilul Koch produce modificări celulare mezenchimale discrete în plămîni, dar nu provoacă reacții specifice din partea umorilor organismului; în acest timp *intradermoreacția* (MANTOUX) la tuberculină este negativă ca și reacția VON PIRQUET a autorilor germani, organismul este încă anergic.

Cind reacționează și umorile organismului se produce virajul tuberculinic (pozitivarea reacției cutanate); din acest moment copilul intră în perioada alergică în care se pot găsi manifestări clinice (febră,

tuse, eritem nodos, cheratită), iar radiologic la plămîn se constată modificări de tuberculoză primară.

În plămînul sensibilizat, în care, la început (în cadrul răspunsului primar), în urma pătrunderii în organism a bacilului Koch s-a produs o reacție locală menchinimă divergentă cu apariția de celule limfoide, epitelioide, macrofage, celule Langhans care constituie un nodul productiv sau un focar de alveolită exsudativă,

— o nouă agresiune a bacilului Koch care între timp s-a multiplicat intracelular determină o concentrare celulară selectivă, acumularea de celule limfoide reprezentând substratul reacției imunitare, predominant de tipul hipersensibilității de tip întîrziat, iar focarul evoluează prin liză imunologică spre cazeificare.

Primoinfecția tbc., ori vaccinarea BCG (care permite să se realizeze o primoinfecție sigur benignă) pun în stare de alarmă sistemul imunitar competent și induc hipersensibilitatea sau alergia care, la nivel cutanat, apare bine corelată cu gradul de sensibilizare a substratului reactiv (atât a plămînului infectat cît și a organismului, în general).

CICLUL EVOLUTIV ȘI CLASIFICAREA STADIALĂ A TUBERCULOZEI

Diferitele manifestări ale tuberculozei pulmonare au fost clasificate de către autori *în raport cu timpul în care apar după îmbolnăvirea organismului, după criterii variabile*.

În *clasificarea lui Ranke* (1916) formele clinice de tuberculoză sunt încadrate în faze stabilite în raport cu criteriile clinice, anatomo-patologice și biologice (relațiile dintre hipersensibilitate și imunitate) și *asemănă-nate dezvoltării infecției luetice*, în 3 faze succesive, obligatorii și ireversibile:

— există o fază primară, tuberculoza de primoinfecție sau tuberculoza pulmonară primară, care se manifestă anatomic prin řancrul primar de inoculare (PARROT, KÜSS, GOHN) limfangită și adenopatie satelitică — *complexul primar* al lui RANKE iar biologic prin constituirea alergiei. Majoritatea cazurilor nu prezintă o suferință clinică evidentă, iar leziunile tuberculoase din această fază au tendință productivă, sclerotizantă, cicatrizantă;

— *faza secundară* caracterizată prin generalizarea tuberculozei se manifestă prin granulie cu înșămîntări în plămîn, pleură, meninge, rinichi, oase; nu este obligatorie.

Diseminarea coincide cu o hipersensibilitate alergică, se face pe cale hematogenă sau limfatică și focarele au tendință la necroză și cazeificare;

— *faza terțiară* este caracterizată prin tendință la localizare a tuberculozei la un singur organ. De la diseminările produse în faza secundară — care s-au cicatrizat sau care au rămas latente pentru un anumit timp — se dezvoltă o tuberculoză de organ (ftizia la plămîn, tuberculoza renală, tuberculoza osoasă etc.). Din punct de vedere biologic predomină componenta imunitară a alergiei cu tendință la vindecare.

Clasificarea lui DUFOURT (1953) se bazează pe ciclul descris mai sus de Ranke.

Observația clinică a arătat că cele două faze ale alergiei nu sunt ireversibile, că între formele anatomo-clinice și starea de alergie nu este totdeauna o corespondență perfectă; diferite faze ale tuberculozei pulmonare se interferează; de exemplu, în cursul primoinfecției tuberculoase, assistăm la diseminarea miliară, deci *stadiul I și II al lui RANKE* se interîntrund, coexistă.

Alteori, se poate constata instalarea ftiziei fără ca bolnavul să fi trecut prin fază secundară. Pentru aceste motive ftiziologii români, în acord cu școala de ftiziologie de la Harkov (HMELNIȚKI și IVANOVA — 1950), în concepția actuală a ciclului infecției tuberculoase, au descris numai două perioade și actualizează *reinfectio vera* care constituie o etapă nouă față de schema lui Ranke.

În tuberculoza primară care apare de obicei la copil este incorporat atât complexul primar cît și toate complicațiile care îl urmează, diseminările pe cale hematogenă și bronhogenă (deci și *stadiul secundar al lui RANKE*).

În tuberculoza secundară sunt cuprinse formele de tuberculoză care se întâlnesc la adulți, tîrziu după primoinfecție, în care este vorba de o reactivare a focarului vechi, care evoluează sub forma infiltratului precoce și a ftiziei.

Reinfectio vera se produce la persoanele la care s-a vindecat complet primoinfecția tuberculoasă; se întâlnește foarte rar (în 2,5% din cazuri) și se caracterizează radiologic și anatomo-patologic prin toate caracterele primoinfecției tbc.

Societatea pentru tuberculoză și boli respiratorii din S.U.A. a clasificat tuberculoza pulmonară (1972) ținând cont de vîrstă (tuberculoza copilăriei și tuberculoza adultului), de extinderea bolii și stadiul de activitate.

Teoriile infecției tuberculoase

Teoria complexului primar este, de asemenea, pasibilă de critici, ceea ce explică concepțiile variate despre primoinfecția tuberculoasă.

S-a descris primoinfecția tuberculoasă cu adenopatie mediastinală primară, fără ca în plămîn să se poată pune în evidență, radiologic sau necropsic, șancrul de inoculare; șancrul pulmonar, după concepția ganglionară, se dezvoltă ulterior cu bacilii Koch care ajung la plămîn pe cale limfatică retrogradă (RAVICI, SCERBO) sau pe cale endobronhică, de la fistule ganglionare (SCHWARTZ).

Unii autori au descris șancru fără adenopatie (KOURILSKY), iar alții susțin concepția bacilemiei inițiale (CALMETTE) cu diseminări discrete în toate organele; complexul primar clasic reprezintă în această ipoteză o manifestare locală secundară a bacilemiei.

În expunerea noastră vom utiliza concepția complexului primar al lui RANKE.

Clasificarea formelor de tuberculoză pulmonară

Prin studii statistice, O.M.S. a elaborat o clasificare — în sistemul zecimal — a diferitelor forme anatomo-clinice de tuberculoză, care în anul 1958 a fost adoptată pe plan internațional și revizuită în 1965 și 1977; tuberculoza pulmonară se află înscrisă la cod 020-028.

La noi în țară, după 1969, dispensarele și polyclinicile antitbc utilizează pentru tuberculoza pulmonară codul vechi O.M.S.-009 la care se adaugă o a patra zecimală pentru diferite forme clinice.

Noi vom descrie următoarele forme clinice;

Tuberculoza pulmonară primară: tuberculoza copilului.

- Primoinfecția tuberculoasă (complexul primar).
- Primoinfecția extensivă inflamatorie (epituberculoza, congestia perifocală).
 - Primoinfecția extensivă cazeoasă (caverna primară, pneumonia și bronhopneumonia tuberculoasă).
 - Adenopatia traheo-bronhică.
 - Complicații ganglionare ale primoinfecției (caverna ganglionară, compresiunea și stenoza bronhică).

Tuberculoza micronodulară diseminată pe căile hematogenă

- Granulia, tuberculoza miliară acută.
- Granulia rece.
- Tuberculoza diseminată hematogenă macronodulară.
- Forme apicale postprimare.

*Tuberculoza pulmonară comună a adultului;
(tuberculoza pulmonară secundară — ftizia)*

- Infiltratul precoce tuberculos.
- Caverna tuberculoasă.
- Tuberculomul.
- Tuberculoza fibrocaseoasă cronică.
- Tuberculozele productive fibroase.

Problema clasificării formelor tbc pulmonare după părerea lui G. Brouet și-a pierdut din interes în prezent, multe din formele clinice, fiind rar întâlnite.

Frecvența formelor clinice s-a modificat profund în ultimele decenii — în urma îmbunătățirii condițiilor social-economice și a tratamentului medicamentos actual. Astfel, bronhopneumonile tbc, pneumonia și granuliile au dispărut practic; au apărut în schimb și sunt întâlnite mai frecvent tuberculomul, caverna deterjată, formele fibroase etc.

**TUBERCULOZA PULMONARĂ PRIMARĂ:
TUBERCULOZA COPILULUI**

Primul contact dintre organism și bacilul Koch poate îmbrăca forme diferite: — tuberculoza primară occultă (85% din numărul persoanelor infectate anual) la care nu se constată nici o modificare clinică, radiologică sau bacteriologică, formă care se traduce numai prin apariția virajului și persistența reacției cutanate la tuberculină (se instituie chimioprofilaxie);

— tuberculoza primară latentă este forma în care lipsesc semnele clinice și funcționale, dar se găsesc modificări morfopatologice constatațe prin examen radiologic și de laborator, și este depistată cu ocazia

unui examen în mase sau pentru alt scop decit pentru diagnosticul tuberculozei;

— tuberculoza primară manifestă se întâlnește doar la 5% dintre cei ce au făcut infecție tbc și se însoțește de modificări clinice; febră, eritem nodos, sindrom poliarticular, kerato-conjunctivită foliculară și modificări radiologice caracteristice.

La persoanele care nu au avut infecții tuberculoase în antecedente, bacilul Koch ajuns în lobul pulmonar provoacă inițial *un focar de alveolită exsudativă* — numit *affect primar* care a fost descris de către GOHN sau *sancru de înculcare* (descris de PARROT și KÜSS, 1898), focar inflamator în care se produce cazeificarea (necroză tisulară specifică tbc).

Focarul de primoinfecție se dezvoltă în segmentele cel mai bine ventilate, de preferință în zona dorsală superioară și în vîrful lui Fowler, mai rar în lobul mijlociu, și are sediu subpleural sau lîngă scizură. Dimensiunile focalului sunt variabile, de la un simbure de cireașă pînă la o nucă, dar în forma extensivă poate afecta un segment de ventilație sau un lob în întregime. În majoritatea cazurilor este un focar unic și este întîlnit predominant în dreapta (55—59%); exceptiional se pot găsi focare multiple sau bilaterale.

De la focalul pulmonar, bacilul Koch se propagă de-a lungul limfaticelor peribronhovasculare spre ganglionii tributari din hil și mediastin.

Limfaticele peribronhovasculare prezintă modificări de inflamație specifică, sunt sediul foliculilor și al nodulilor tuberculoși și umbra lor radiologică sub formă de cordon conduce la grupul de gangloni în care drenăază limfa teritoriului pulmonar în care s-a dezvoltat focalul primar tbc.

Ganglionii tributari din hil sunt mărîți de volum în urma procesului de hiperplazie inflamatorie cu cazeificare rapidă și participarea lor la complexul primar este cu atît mai importantă, cu cît primoinfecția se face la o vîrstă mai tînă.

Aceste trei elemente — focalul pulmonar, adenopatia satelită și cordoanele de limfangită — constituie, împreună, *complexul primar* tbc descris de Ranke.

În cursul tuberculozei primare manifeste, complexul primar poate fi:

— simplu și evoluează regresiv;

— poate evoluă complicat, cu reacție perifocală; cu *extensie* la mai multe grupe ganglionare sau la parenchimul din jurul ganglionilor;

— are evoluție rea cînd se produc caverne și se observă dezvoltarea și diseminarea tuberculozei în restul plămînului (pneumonie și bronhopneumonie) sau în alte organe și sisteme.

Complexul primar simplu poate trece neobservat clinic (rămîne latent) și este diagnosticat tîrziu în fază de cicatrice calcară cu ocazia unui examen radiologic făcut în alt scop.

Alteori este însoțit de simptomatologie clinică evidentă, iar radiologic se prezintă ca o imagine umbrată bipolară, unul din poli fiind constituit de către focalul pulmonar, iar celălalt pol de către ganglionii tributari din hil (fig. 240) care sunt hipertrofiați.

Cînd se văd și cordoanele de limfangită care reunesc cei doi poli, complexul primar se traduce prin *imagine de halteră* (fig. 241).

Focalul pulmonar este unic și se traduce prin opacitate palidă, cu contur șters, cu dimensiuni de la cîțiva mm — leziune pluriacinoasă

(fig. 164; 182; 192 — la limita vizibilității) pînă la 3—4 cm — plurilobular — și este situat mai frecvent în jumătatea inferioară a unui hemitorace (fig. 240).

La început, afectul primar are formă rotundă, ovoidală sau poliedrică. Pe măsură ce procesul inflamator cuprinde mai mulți lobuli și ajunge la scizură, umbra are formă triunghiulară sau formă de bandă în lungul scizurii și, în cazurile simple, se poate vedea timp de 8—9 luni după contagiune.

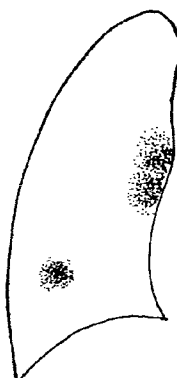


Fig. 240 — Complex primar t.b.c. simplu: imagine bipolară.

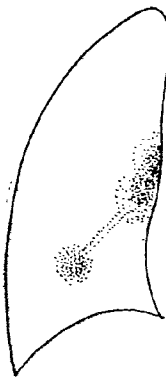


Fig. 241 — Imagine în „halteră” prin cordonul de limfangită.

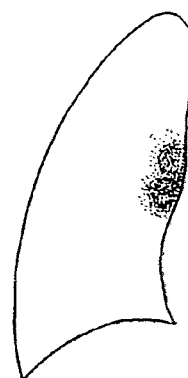


Fig. 242 — Primo-infecție t.b.c. în stadiu unipolar: adenopatie traheo-bronhică unilaterală.

Dacă în cursul perioadei antialergice se produc infecții tuberculoase repetitive, în cazuri rare, în plămin se pot dezvolta șancre de inoculare multiple care au toate aceleasi caractere radiologice.

În clinică, complexul primar constituit cu toate cele trei elemente ale sale este întîlnit în numai 11—34% din cazuri.

De cele mai multe ori (în 2/3 din cazuri) focarul pulmonar nu este surprins radiologic, fie că este de dimensiuni prea mici și nu formează umbră radiologică, fie că este mascat de umbra hilului, mărită mult în tuberculoză, este înecat în focarul de epituberculoză, este mascat de umbra mediastinului, a diafragmului sau a unei coaste, fie că lipsesc sau are evoluția scurtă și s-a rezorbuit.

Leziunile ganglionilor sateliți, în schimb, sunt mai importante și au o durată de evoluție mai lungă ($1\frac{1}{2}$ ani).

Din aceste motive primoinfecția se diagnostică de cele mai multe ori numai pe baza prezenței polului ganglionar al complexului (diagnosticul se pune în stadiul unipolar) pe baza adenopatiei tracheo-bronchice unilaterale (fig. 242).

Ganglionii limfatici sunt prinși în ordinea următoare: întii sunt modificăti ganglionii interbronhici din rădăcina lobului, apoi ganglionii hilului (complexul primar simplu), grupul ganglionilor de bifurcație și ganglionul paratraheal drept al lui BABEŞ.

Uneori, adenopatiile sunt bilaterale și de dimensiuni mari, realizează forma pseudotumorala a adenopatiei traheo-bronchice (fig. 246).

Pentru a înțelege mai bine patologia ganglionilor limfatici mediastinali, este necesară o scurtă trecere în revistă a repartiției lor topografice și a teritoriilor limfatici aferente.

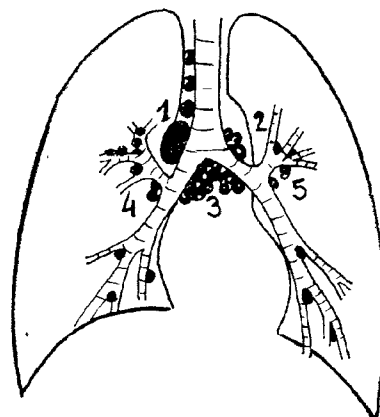


Fig. 243 — Clasificarea și schema ganglionilor limfatici, după SUKIEŃIKOV.

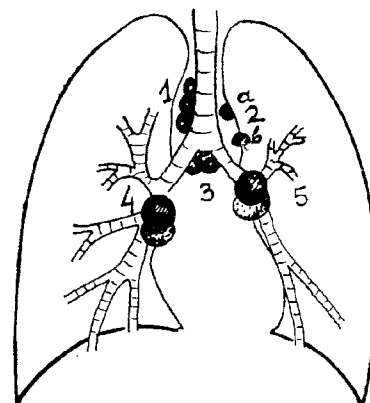


Fig. 244 — Clasificarea și schema ganglionilor limfatici, după ENGEL.

Repartiția topografică a ganglionilor limfatici traheo-bronhici.

SUKIEŃIKOV descrie 5 grupe ganglionare principale (fig. 243):

- 1 și 2, grupul ganglionilor paratraheali din dreapta și paratraheali din stînga;
- 3, grupul ganglionilor de bifurcație;
- 4 și 5, grupul ganglionilor bronhopulmonari sau ai hilului drept respectiv stîng.

ENGEL (fig. 244), în locul ganglionilor paratraheali din stînga (2), distinge grupul ganglionilor juxtaaortici (a) ai lui Most — și ganglionii conductului lui Botal (b); iar din grupul ganglionilor bronho-pulmonari individualizează două grupe: ganglionii anteriori (4) și cei posteriori ai hilului (5).

Teritoriiile limfaticice. Din cele 2/3 inferioare ale plămînului drept (fig. 245), limfa drenează la ganglionii bronhopulmonari din dreapta, de la aceștia la ganglionii grupului de bifurcație și apoi la ganglionul paratraheal drept.

Limfaticele treimii superioare a plămînului drept se varsă direct în ganglionul paratraheal drept (1, fig. 243).

Limfaticele celor 2/3 inferioare ale plămînului stîng, drenează limfa în ganglionii hilului stîng (5) și apoi în ganglionii grupului de bifurcație (3) și prin intermediul acestora, limfa teritoriilor limfaticice din stînga ajunge, de asemenea, în ganglionul paratraheal din dreapta (1).

De aici rezultă că ganglionii paratraheali din dreapta — ganglionul lui BABEŞ — drenează limfa din aproape totalitatea ariilor pulmonare,

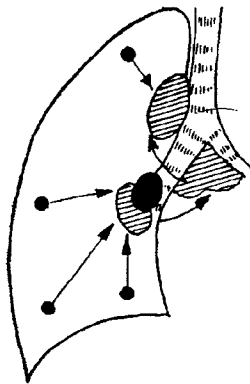


Fig. 245 — Ganglionii traheo-bronhici și teritoriile limfaticice.

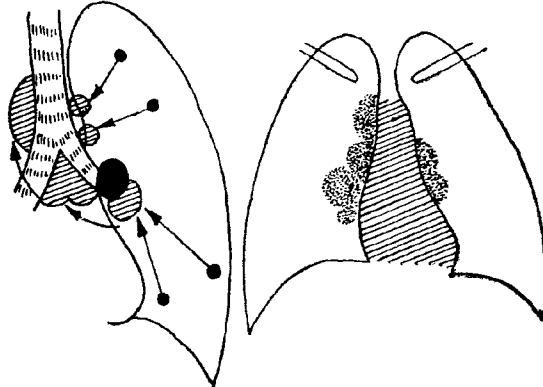


Fig. 246 — Adenopatie bilaterală cu aspect pseudotumoral.

în afară de limfa virfului și a regiunii subclaviculare stîngi care se varsă în ganglionii paratraheali stîngi (sau în ganglionii juxtaaortici Most (a) din împărțirea lui ENGEL — fig. 244).

Cunoașterea grupelor ganglionare și a teritoriilor limfaticice, ajută și ne conduce să depistăm sediul micului focar parenchimatos de primoinfecție, conform *legii lui PARROT* după care „ori de câte ori se constată o adenopatie hilară, trebuie căutate leziuni în parenchimul corespunzător“. Studiile recente (SARRAZIN, 1974) au arătat că în 10—20% din cazuri, un teritoriu limfatic pulmonar poate fi drenat printr-un lanț limfatic controlateral, sărind peste grupul ganglionilor de bifurcație.

În 15—20% din cazuri lobii inferioiri au un drenaj limfatic sus b d i a f r a g m a t i c natural, în afara blocajelor ganglionare superioare, noțiune ce are importanță mai ales în tratamentul chirurgical și radioterapeutic al cancerului bronhic.

Adenopatia satelită. Polul ganglionar al complexului primar modifică umbra hilului respectiv care este mărită și difuză.

Vizibilitatea ganglionului tuberculos îneată de procesul infiltrativ din jur, care îi mărește dimensiunile, cît și de fenomenele de cazeificare, în care se impregnează cu fosfat de calciu (SCHMORL) și care sporesc intensitatea umbrei ganglionului.

Adenopatia se traduce printr-o umbră mai densă, dată de un singur ganglion sau de mai mulți gangloni situați în lanț; umbra ganglionară are formă ovoidă, tonalitate omogenă, conturul net rotunjit sau policlic, fiecare ganglion este mare cît o alună sau cît o prună. Când adenopatia este voluminoasă (și bilaterală) realizează imagine pseudotumorală (fig. 246).

Limfangita intermediară nu se vede de obicei radiologic decit:

- în caz de congestie perifocală și
- în faza de cicatrizare în care se constată trabecule fibroase care pleacă de la cicatricea pulmonară și converg spre hil.

A d e n o p a t i a t r a h e o - b r o n h i c ă d e s i n e s t ă t ă o a r e așa-zisa tuberculoză ganglionară — constituie un sindrom care se întâlnește frecvent în copilărie (în 2/3 din cazuri) și la adolescență, fiind da-

torat polului ganglionar al complexului primar, sau reprezentând evoluția lentă de ani de zile a ganglionilor traheobronhici prinși de procesul tuberculos în cursul primoinfecției.

Aspectul radiologic variază în raport cu grupul ganglionar afectat și cu stadiul evolutiv; punerea în evidență a adenopatiilor nu se poate face, uneori, decât pe tomografii, iar fistulizarea lor prin bronhoscopie.

Adenopatia grupului paratraheal din dreapta (BABES) se întâlnește cel mai frecvent și se caracterizează prin lărgirea umbrei mediastinale pe dreapta, la nivelul și deasupra pediculului vascular unde împinge în afară vena cavă superioară, realizând imaginea „în coș (în horn) de fabrică“ (fig. 247); cind adenopatia depășește vena cavă, proemină în transparența pulmonară sub forma unei opacități ovoidale, omogene, cu conuri circulare.

Cind sunt prinși mai mulți ganglii pe aceeași parte, umbra are aspect în esas de nisip (fig. 248) sau are contur policiclic.

Cind sunt prinși *ganglionii bronho-pulmonari* se constată mărirea — lărgirea umbrei hilului, prin densitatea căreia se văd ganglionii, sau numai conturul lor lateral, cu caracter arciform.

Hipertrofia *ganglionilor din grupul de bifurcație* nu se poate vedea decât pe radiografia din profil și pe tomografii, pe care se apreciază în plus modificări din partea unghiului de bifurcație a traheei și a trunchiurilor bronhice ce pot fi împinse și comprimate.

La copiii mici pot fi afectate și grupele ganglionare de *partea opusă* realizându-se primoinfecția extensivă necomplicată (adenopatia pseudotumorala) în 30% din cazuri.

Evoluția complexului primar simplu se face spre resorbție parțială, fibrozare și calcificare atât în ceea ce privește focalul parenchimatos cît și cel ganglionar. Evoluția spontană regresivă se întinde pe o perioadă de 3—9 luni.

Uneori, după vindecare, nu rămine nici un semn pulmonar pe baza căruia să se poată afirma radiologic că s-a dezvoltat o infecție tuberculoasă.

De cele mai multe ori însă, după primoinfecție, în parenchim rămîne o cicatrice calcară de la care pot pleca dungi scleroase (cordoanele lui STURTZ), unde se observă mai multe formațiuni calcare în aria ganglionilor (fig. 249), cicatrici care se păstrează tot timpul vieții și constituie dovada primoinfecției tuberculoase.

Concrețiunea calcară din plămin are formă rotundă sau stelară, dimensiunea cît un sîmbure de cireașă, sediu spre bază. Sunt unice sau mai multe concrețiuni grupate — apropiate între ele.

În gangioni, la care procesul activ poate dura mai mult timp (1 an și jumătate), se pot constata:

- concrețiuni izolate, separate;
- alteori depozitele calcare impregnează tot ganglionul care are aspect muriform și/sau este înconjurat de o coajă calcară (Prozorov).

În ganglionii calcificați, bacilii Koch rămîn viabili un timp îndelung și explică persistența alergiei la tuberculină.

Ganglionii din *complexul primar extensiv necomplicat* (fig. 246) — adenopatie bilaterală cu aspect pseudotumoral — pot avea aceeași evoluție regresivă și sclerocalcară.

Primoinfecția extensivă inflamatorie benignă. Complexul primar extensiv se poate complica cu: fenomene inflamatorii

Fig. 247 — Imagine în „cos (horn) de fabrică“.

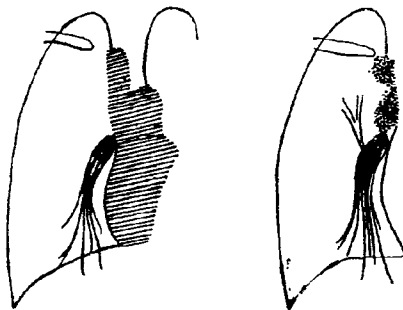


Fig. 248 (dreapta, sus) — Aspect în „ceas de nisip“.

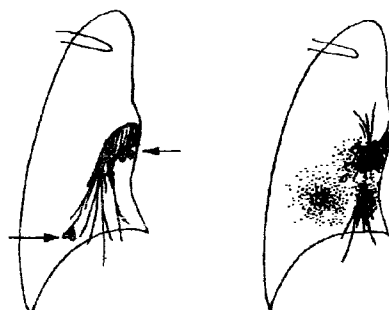


Fig. 249 (stinga, jos) — Calcificarea complexului primar.

Fig. 250 — Confluența zonelor de congestie perifocală.

nespecifice în parenchimul din jur, care constituie *epituberculoza* (ELIAS-BERG și NEULAND, 1920) sau *congestia perifocală, splenopneumonia* lui GRANCHER (1883) — *epituberculoza cu aspect segmentar și epituberculoza pleurală juxtascizură*.

Epituberculoza perifocală. Anatomo-patologic, în jurul focarului tuberculos (din parenchim sau din ganglioni) țesutele sănătoase reacționează alergic prin procese de dilatație vasculară, transvazare de serozitate, diapedeză de elemente figurate și un fond de atelectazie.

Cauza epituberculozei se crede că este toxina bacilului Koch, pe de o parte, reactivitatea locală a țesutelor, pe de altă parte, precum și compresiunea bronchiei (cu un ușor grad de atelectazie) de către ganglionii hipertrofiați.

Cind se dezvoltă reacția perifocală, *dimensiunile umbrei řancrului primar tuberculós* descris de PARROT—KÜSS sporesc și rezultă un *focar GOHN*. Conturul umbrei devine neprecis și tonalitatea neomogenă (fig. 250); uneori pe acest teritoriu apar bule de emfizem.

Reacția perifocală poate prinde un segment de ventilație în întregime și realizează *triunghiul SLUKA*; cind interesează și pleura scizurală, *triunghiul* poartă numele SLUKA—EISLER și umbra scizurală realizează fenomenul „steagului“ care se desfășoară în raport cu inclinarea bolnavului sau cu poziția înaltă sau joasă a tubului de raze X, în timpul examenului (fig. 251).

Cele două focare care constituie *stadiul bipolar* al complexului primar se pot reuni într-un *focar unic* datorită confluenței zonelor de congestie perifocală (fig. 250).

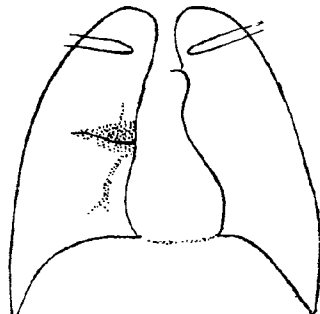


Fig. 251 — *Triunghiul lui SLUKA-EISLER.*

În acest caz ne întrebăm dacă este vorba numai de un pachet de ganglioni hipertrofiați și cu reacție congestivă perifocală în jur, (dacă este stadiul unipolar al primoinfecției t.b.c.) sau

— dacă este stadiul bipolar veritabil, mascat de o congestie perifocală care cuprinde într-o umbră unică, și contopește ambii poli ai complexului primar.

Urmărind bolnavul se observă cum congestia perifocală dispare în cîteva săptămîni și după dispariția ei ne dăm seama dacă există sau nu un focar t.b.c., parenchimatos umbrit, pe lîngă cel ganglionar.

Epituberculoza cu aspect segmentar. Congestia perifocală poate să se întindă la întregul segment de ventilație în care are sediu șancrul de inoculare sau la întreg lobul și, radiologic, se constată umbrire sistematizată segmentată sau lobară, cu formă triunghiulară Sluka care este caracteristică pentru un anumit segment dat. Acestea sunt aşa-zisele pneumonii spontan regresive în cursul primoinfecției tuberculoase și sunt cunoscute sub numele de splenopneumonie Granacher.

Epituberculoza pleurală. *Triunghiul SLUKA—EISLER* (fig. 251) rezultă prin extinderea procesului de congestie perifocală și a celui de periadenită la pleura interlobară a scizurii orizontale și la parenchimul adjacente.

În cursul tuberculozei primare se poate produce și o pleurezie exsudativă cu lichid în cantitate mică, eventual o pleurezie lamelară.

În periadenita tuberculoasă (Rach) se produce extinderea procesului tuberculos în afara capsulei ganglionare, putând fi interesante interstițiile și parenchimul din jur; la examenul radiologic se constată că umbra adenopatiei are dimensiuni mari și contururi neprecise, pierdute în parenchimul din jur, infiltrat de procesul t.b.c.

Adenopatia traheo-bronhică poate determina tulburări de ventilație:

— prin compresiune cu îngustarea sau obstrucția bronchiei din vecinătate;

— prin fistulizare și obstrucție a lumenului bronhic (prin mase cazeoase sau prin tuberculoză endobronhică);

— prin influența pe care o are procesul tuberculos asupra pediculilor nervoși și vasculari care asigură troficitatea și nutriția teritoriului respectiv.

Așa se explică emfizemul de obstrucție și atelectazia ce poate fi întîlnită în 5—10% din cazuri. Este important de reținut că tulburările de ventilație la copii nu sunt datorate decît primoinfecției tuberculoase sau corpilor străini.

Atât teritoriul emfizematos cît și cel atelectatic care rezultă prin tulburări de ventilație nu trebuie confundate cu leziuni specific tuberculoase: cu caverne sau pneumonia cazeoasă. Aceste modificări dispar odată cu retrocedarea adenopatiei și lasă în urmă un parenchim sănătos. În parenchimul atelectatic se pot produce uneori fibroză sau bronșiectazii.

Evoluția nefavorabilă sau extensivă (malignă) a complexului primar se traduce prin complicații grave cum sunt: caverne parenchimatoase, caverne ganglionare și fistulizarea bronhică cu diseminări pe cale bronhică sau circulatorie, lobita sau zonita cazeoasă, urmate adesea de deces, forme a căror frecvență a scăzut mult și în prezent sunt pe cale de dispariție. Ele pot fi încadrare în *primoinfecția extensivă cazeoasă* din clasificarea OMS și în stizia primară a copilului.

Caverna t.b.c. primară. În sinul săncrelui de inoculare se produce necroza și cauzificare urmată de fluidificarea cazeumului — fistulizare și evacuarea lui prin bronchia de dren: apare caverne primară care se prezintă ca o transparență, cu contururi fine, izolată în parenchimul sănătos;

— alteori cu contur anfractuos și cu zonă umbrată în jur — ramă de țesut inflamator — (fig. 252). Caverne este de obicei unică, localizată în cimpul pulmonar mijlociu sau bazal și este însorită de adenopatie hilară. Dacă în jur se organizează o capsulă fibroasă și evacuarea nu se poate face, se produce cazeomul primar (tuberculom).

Caverne primară poate avea sediu în interiorul unui ganglion (fig. 253); conținutul cazeos al ganglionului se evacuează prin tronu bronchie de vecinătate, pereții (periferia) ganglionului rămân necolabăți și rezultă o cavernă rotundă, ovoidă sau anfractuoasă care comunica cu bronchia; în tuse nu prezintă variații de volum, asemănătoare celor ce se produc în cazul cavelnelor parenchimatoase cu pereții supli.

Prin fistulizare, cazeumul ajunge în arborele bronhic și produce însămîntări parenchimatoase (care evoluează spre stizia primară).

Focarul pulmonar sau ganglionar poate deschide un vas sanguin și bacilul Koch este vehiculat pe cale sanguină în plămîn și în tot organismul, determinînd granulia.

Tuberculoza cazeoasă extensivă se manifestă sub două forme: *pneumonia și bronhopneumonia cazeoasă* care se întâlnesc rar în prezent, după îmbunătățirea condițiilor social-economice ale populației în general și combaterea bolii prin antibiotice. Ele se prezintă fie ca o manifestare aparent primitivă, fie ca o complicație în cursul tuberculozei pulmonare de la sugar sau în cursul stiziei.

1. *Pneumonia cazeoasă* (lobita cazeoasă). În primoinfecție, invazia tuberculoasă a parenchimului se poate extinde la întregul segment de ventilație sau la lobul în care este situat săncrelul de inoculare. De la o umbră cît un simbure de cireașă se ajunge la o zonă sau o lobită cazeoasă (denumită altădată pneumonie incurabilă în cursul primoinfecției), zonă sau lobită cu imagine de triunghi pneumatic BARJON ce se poate excava (fig. 254). Alteori focarul de pneumonie cazeoasă rezultă în urma unei însămîntări pe cale bronhică cu cazeum ce provine de la un ganglion tuberculos fistulizat, ca și în bronhopneumonia cazeoasă.

2. *Bronhopneumonia cazeoasă prin diseminare bronhogenă* se traduce radiologic prin noduli de dimensiunea acinilor care se grupează cîte 3—4 din imagini de trifoi sau rozetă (fig. 164).



Fig. 252 — Cavernă primară.



Fig. 253 — Cavernă ganglionară.



Fig. 254 — Lobită cazeoasă (cu excavatie).

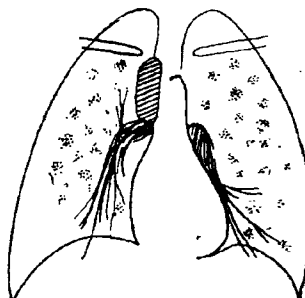


Fig. 255 — Diseminare pe cale bronhică în primoinfecția t.b.c. (bronhopneumonia t.b.c.).

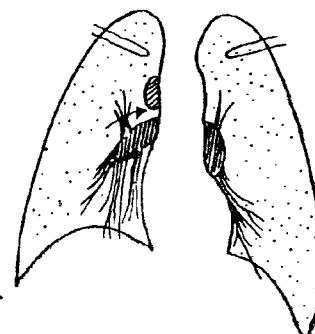


Fig. 256 — Tuberculoza miliară a plămânilui.

Pe cale bronhică se pot produce veritabile focare bronho-pneumonice de ambele părți (fig. 255), cu macronoduli de dimensiuni și desimea inegală care au tonalitate mai opacă la centru, mai ștearsă la periferie, pe alocuri separați între ei prin zone de țesut pulmonar sănătos, pe alocuri cu tendință la confluență putând realiza focare segmentare. Diseminările se pot produce după hemoptizii (CARDIS—STOICHITA).

Infiltratele difuze pot prezenta cavități mici „imagine în miez de pîine“ sau excavări gigantă.

Pneumonia și bronhopneumonia cazeoase realizează forme cu prognostic grav și evoluție rapidă, denumite de autorii vechi tuberculoză galopantă.

3. *Ftizia primară* la copil se produce în caz de reactivitate scăzută a organismului, prin diseminare pe cale bronhică a bacilului Koch de la unul dintre polii complexului primar în activitate.

Radiologic, se constată infiltrări multiple ce se extind și se cazeifică, lăsînd în urmă caverne multiple. Spre deosebire de primele două forme, evoluția leziunilor din ftizia primară poate fi oprită prin delimitare fibroasă. Pe baza prezenței adenopatiei se poate face diagnosticul diferențial al tuberculozei cazeoase acute primare cu formele corespunzătoare din ftizia secundară în care adenopatia lipsește.

PRIMOINFECȚIA TUBERCULOASĂ COMPLICATĂ CU DISEMINĂRI HEMATOGENE

Tuberculoza miliară constă în prezența de granulații tuberculoase numeroase în aproape toate organele, sau numai în plămîn. Ele rezultă în urma diseminărilor pe cale sanguină care pot fi brutale sau discrete.

Diseminările miliare pot surveni oricând în cursul unei tuberculoze. Ele se întâlnesc în clinică ca o complicație a tuberculozei primare la copil și adolescent, dar pot fi întâlnite și în cursul tuberculozei secundare sau ca o manifestare independentă (aparent primitivă). Diseminările pleacă din sancrul de inoculare sau din adenopatie. În prezent se consideră că la originea diseminărilor este *angēita tbc*, ea însăși o complicație a tuberculozei primare.

a. Diseminări brutale realizează *tuberculoza miliară generalizată acută* — *granulia* — descrisă de EMPIS (1865), o formă gravă în care simptomele clinice arată diseminarea în mai multe organe ale corpului: în meninge, plămîn etc. (clinic predomină fenomene meningeale).

b. Alteori diseminarea este evidentă radiologic și clinic numai la nivelul plămînului și realizează *granulia* obișnuită sau *tuberculoza miliară acută a plămînului* (fig. 256). Leziunile au sediul în vasele din peretele alveolar, angeită și în țesutul conjunctival din spațiile interstițiale (clinic dispnee sufocantă).

Din punct de vedere radiologic, în ambele cazuri, radioscopic se observă un voal toracic, iar pe radiografii: la început — în faza de constituire a nodulilor care au încă caracter exsudativ — un desen reticular fin (REDECKER), iar apoi diseminare simetrică pe ambele arii de noduli mici, de la dimensiunea unui vîrf de bold pînă la o gămălie de bold (fig. 256). Nodulii sunt egali ca dimensiuni și omogen distribuți în ariile pulmonare (ceea ce denotă diseminare pe cale hematogenă) și au opacitate apreciabilă. Fiecare nodul, radiologic, reprezintă suma mai multor noduli anatomici întilniți în calea aceluiasi fascicul de raze X.

Cind granulia este o complicație a tuberculozei primare, se constată în același timp adenopatie traheobronhică.

Granulia este însoțită de stare generală rea și, înainte de era antibioticelor, avea prognostic fatal în 3—6 săptămîni. Sub antibiotice nodulii se resorb și dispar, parte din ei se fibrosează sau se calcifică, încît în prezent sindromul se poate vindeca în circa 80% din cazuri. Granulia poate avea caracter subacut și evoluă spre ftizie cu distribuție bilaterală și simetrică a leziunilor rezultate din confluarea nodulilor și infiltratelor, cu sediul de elecție în lobii superioiri.

c. *Granulia rece* este găsită în tuberculoza miliară generalizată cronică, descrisă de BURNAND și SAYE, precum și în tuberculoza miliară pulmonară cronică, descrisă de ASSMANN (1913).

În *granulia cronică latenteră* sau *rece* se constată diseminare hematogenă cu noduli mai rari, distribuții mai ales în jurul hilurilor, în etajele mijlocii și superioare. Nodulii sunt de dimensiuni mai mari decât în tuberculoza miliară acută, sunt inegali, au aspect și se unesc prin prelungirile lor. Trama pulmonară este accentuată. Granulia rece nu dă simptomatologie clinică gravă, este curabilă și lasă ca stigmate noduli fibroși, scleroemfizem, aderente pleurale.

Tuberculoza diseminată hematogenă macronodulară (tuberculoza infiltrativă difuză hematogenă) se traduce prin modificări radiologice la limita dintre focarele micronodulare și leziunea infiltrativă ftizică. Se localizează cel mai frecvent în cele 2/3 superioare ale ariilor pulmonare, bilateral. Evoluează concomitent cu alte localizări extrapulmonare.

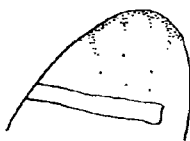


Fig. 257 — Noduli SIMON-ABRIKOSON cu sediul în vîrfuri.



Fig. 258 — Nodulii descriși de ASCHOFF și PUHL.

Diseminările hematogene apicale discrete — realizează miliare pulmonare atipice:

a. Cind se produc în vîrfuri, duc la focare mici de alveolită, fără simptomatologie clinică și fără imagine radiologică. Nodulii sunt puși în evidență mai tîrziu sub formă de cicatrici calcare și poartă numele, de noduli Simon. Aceștia se traduc radiologic prin 4—5 concrețiuni calcare punctiforme, mai rar de mărimea gămăliei de bold care sunt situate deasupra claviculei, într-un singur vîrf sau în ambele vîrfuri (fig. 257).

Frecvența lor variază în raport cu vîrstă: sunt rar întâlniți la copii (3%) și sunt mai frecvenți la adolescent (9%), ajungind la adult pînă la 30% din cazurile ce au făcut primoinfecție tuberculoasă.

Semnificația nodulilor Simon este benignă pentru plămîn, dar ne face să suspectăm pacientul că în cursul primoinfecției din copilărie (după cum în plămîn s-au produs diseminări apicale care se văd) s-au produs în același timp diseminări hematogene și în alte organe (oase, rinichi), diseminări care pot evolua în viitor.

b. „Focarele inițiale“, descrise de MALMROSS și HEDWALL, apar cind primoinfecția se produce tîrziu, la adulțul tînăr și se traduc radiologic prin opacități nodulare palide, subclavicular și retroclavicular, care apar precoce — la 12—14 luni de la virajul tuberculinic (I.D.R.) și lasă în loc cicatrici calcare (asemănătoare cu nodulii Simon) sau dau metastaze bronhice în parenchimul subclavicular ce evoluează spre infiltrat precoce tuberculos.

c. Nodulii descriși de ASCHOFF și PUHL se proiectează în vecinătatea claviculei, fie deasupra, fie dedesupră și se prezintă (fig. 258): sub formă de grunji calcari cu tendință la conglomerare sau — sub formă de noduli mai mari decît nodulii Simon, sau mai mulți la număr.

În ceea ce privește patogenia, nodulii Aschoff și Puhl reprezintă, după unii autori care i-au descris, focare de reinfecție (endogenă sau exogenă) care s-au produs succesiv și s-au cicatrizat calcar. Aceste calcificări sunt expresia tuberculozei secundare, în timp ce nodulii Simon apar tardiv în cursul primoinfecției din copilărie iar focarele inițiale apar precoce în cursul tuberculozei primare care se produce tardiv (la adult).

În prezent, și nodulii Aschoff - Puhl sunt considerați o formă de diseminare semitardivă în cursul primoinfecției.

După regresiunea tuberculozei pulmonare primare pot rămâne *sechele*: calcificări și cicatrici fibroase pulmonare, calcificări ganglionare, cicatrici bronhice cu bronșiectazii, simfize și îngroșări pleurale.

Leziunile nodulare apicale descrise mai sus și denumite forme a b o r t i v e de către BARDE realizează „tuberculoza nodulară“ din schema O.M.S. și joacă un rol important în apariția ftiziei, evoluind în 30% din cazuri în acest sens.

Bacilii Koch latenți din cicatricile tuberculoase — în caz de slăbire a rezistenței organismului — fie că produc o reactivare și leziunile se extind în jurul cicatricei, fie că se întind pe cale bronhică descendenta ori limfatică (reinfecție endogenă) și provoacă infiltrate precoce care prezintă de fapt debutul ftiziei.

TUBERCULOZA PULMONARĂ COMUNĂ A ADULTULUI: TUBERCULOZA SECUNDARĂ — FTIZIA

Tuberculoza secundară sau ftizia începe la adolescent și tânăr sub forma infiltratului precoce, sau sub formă unei tuberculoze cazeoase lobare sau segmentare; se produce în urma unei suprainfecții endogene sau exogene (la contactii familiali). Adenopatia satelită lipsește.

Infiltratul precoce este denumit în clasificarea O.M.S. tuberculoză infiltrativă, ftizie incipientă.

Anatomopatologic infiltratul precoce este un focar de alveolită cazeoasă, înconjurat de un inel de congestie alergică perifocală, are formă rotundă sau ovoidă. Este situat mai frecvent în segmentul posterior al lobului superior (D_1) și se proiectează radiologic în partea externă a reuniunii subclaviculară (fig. 260) sau în vîrful lui Fowler (D_2).

F t i z i o g e n e z a. Din punct de vedere patogenic, infiltratul precoce este datorat aceluiași bacil care a produs complexul primar și survine după un interval de latență, după tbc primară. El constă într-un focar subclavicular de alveolită cazeoasă și rezultă prin reactivarea unor noduli cicatriciali subclaviculari (*nodul Aschoff-Puhl*), sau este dat de bacilii Koch veniți de la cicatricile apicale (*nodulii Simon*), de la *focarele inițiale Malmross și Hedwall* (teoria apicală a ftiziogenezei) printr-un proces de bronșiolită cazeoasă sau pe cale endobronhică care favorizează extinderea bacililor în sens apico-caudal, sau prin perforația unui ganglion tbc într-o bronchie (SCHWARTZ). Imbolnăvirea se produce în cazurile în care, datorită unor factori de mediu nefavorabili, rezistența organismului este slăbită.

În cazuri foarte rare infiltratul precoce poate fi provocat de bacilii Koch veniți din afara organismului prin suprainfecție (la contactii familiali), sau prin reinfecție exogenă (CANETTI). Reinfecția adevărată, este posibilă numai în cazul cînd focarul primar de tuberculoză s-a vindecat complet; în acest caz, ftizia se însoțește de adenopatie hilară, realizând un complex de reinfecție, asemănător complexului primar RANKE.

Cele dintii forme ale infiltratului precoce sunt focarele acinoase care se văd greu radiologic. Prin acin se înțelege teritoriul de parenchim aferent unei bronhiole terminale (fig. 259) constituit din bronhiole respiratorii, conducte alveolare și alveolele respective. Acest complex anatomic (fig. 130) are aproximativ volumul unei boabe de măzăre.

Prin faptul că tuberculoza secundară se dezvoltă pe un teren alergizat, reacțiile tisulare față de antigenele bacililor suprainfectanți sunt violente,

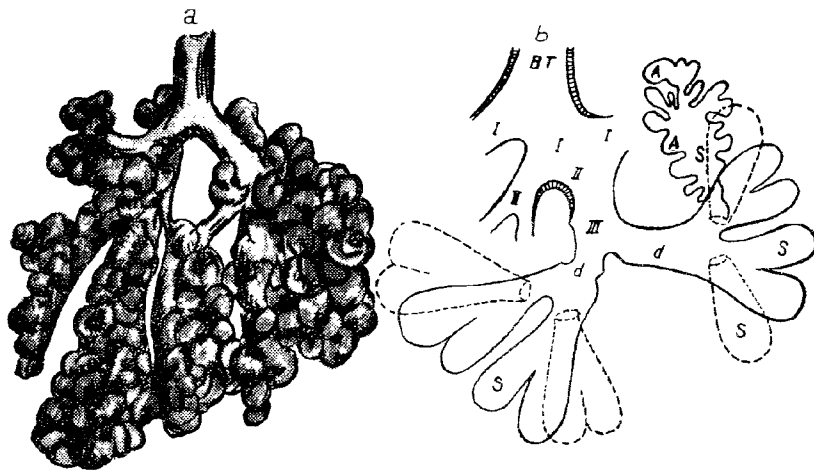


Fig. 259 — Acinul pulmonar: a) Imaginea unui acin cu saci aerieni și alveole care atîrnă ca bobîtele — ciucure pe ramificațiile bronhiolare; b) schema componentelor unui acin (ENGEL): BT=bronhiolă terminală; I, II, III=bronhole respiratorii; d=ductus alveolares; S=saci aerieni; A=alveole.

depășesc teritoriul unui acin și prind unul sau mai mulți lobuli. În acest moment infiltratul tuberculos se poate prezenta radiologic sub mai multe aspecte:

— *infiltratul precoce* ASSMANN are dimensiuni cît o nucă, tonalitate palidă, contur difuz, șters (fig. 260);

— *infiltratul rotund* descris de FLEISCHNER are aceeași formă și dimensiuni, dar are contur net (fig. 261).

În prezent se crede că parte din infiltratele „rotunde“ trebuie atribuite tuberculomului. Radioscopic un infiltrat palid nu se vede dacă are sub 10 mm diametru.

— *infiltratul nebulos*, descris de REDEKER, se traduce radiologic printr-o umbrire difuză neomogenă pe aria căreia se observă noduli mai umbriți (fig. 262, a) și este comparat de DUFOURT cu imaginea unei nebuloase astrale;

— *infiltratul patrulater* al lui HERRNHEISER este situat deasupra scizurii, are forma dreptunghiulară sau pătrată, cu latura de 1 cm și reprezintă un lobul pulmonar afectat de alveolită cazeoasă.

Debutul tuberculozei secundare poate fi pneumonic (fig. 262, b) și realizează focar umbrît segmentar sau lobar.

Concomitant cu infiltratul tuberculos se pot observa noduli fibrocalcari în vîrfuri sau calcificări în hil și în acest mod facem legătura între leziunea evolutivă și locul de plecare a bacilului Koch.

Evoluția radiologică a infiltratului precoce poate fi favorabilă, benignă, regresivă sau nefavorabilă, extensivă.

Cînd evoluția este favorabilă (10% din cazuri) se produce resorbția și dispariția focalului infiltrativ de tuberculoză fără ca leziunea să lase cicatrici în pulmon.

Fig. 260 (stînga) —
Infiltrat ASS-
MANN.

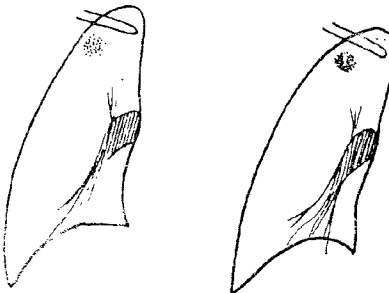


Fig. 261 (dreapta) — In-
filtrat rotund
FLEISCHNER.

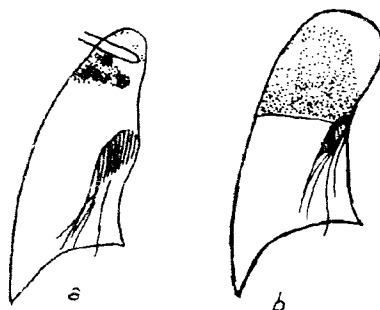


Fig. 262 — a) infiltrat
REDECKER (nebulos
DUFOURT); b) debut
pneumonic.

Alteori, la nivelul focarului tuberculos în care s-a produs cazeificarea, pe zi ce trece, umbrarea se restrînge, tonalitatea devine neomogenă, focarul se sclerozează, sau este înconjurat de o reacție fibroasă. Cind în cicatrice se depun săruri calcare, acestea sunt constataate ulterior pe radiografia sub formă de *noduli Aschoff-Puhl*.

Evoluția nefavorabilă se face către excavare, extensie locală și diseminare, către ftizie manifestă; se observă la 90% din cazuri.

Caverna tuberculoasă. Excavarea se poate face în primele trei săptămîni de la instalarea infiltratului precoce. Alteori, infiltratul rămîne staționar luni de zile și, în cele din urmă, se excavă. Caverna t.b.c. mai poate rezulta din evacuarea unui cazeom secundar sau a unei caverne pline.

Aspectul radiologic al cavernelor variază în raport cu stadiul în care se găsesc. La început, în interiorul umbrei infiltratului poate apărea un contur clar semicircular (fig. 263) care rezultă din desprinderea masei cazeoase desicate de restul infiltratului, care nu este încă cazeificat; după eliminarea completă a cazeum-ului apare caverna tuberculoasă (fig. 264) care, în acest stadiu, poartă numele de „cavernă tuberculoasă precoce“.

Caverna poate fi înconjурată de infiltratul pneumonic pericavitar necazeificat. Alteori, infiltratul se evacuează în totalitate și în afara perețelui cavernei tuberculoase nu se constată nici o leziune în parenchim, încît caverna pare scobită („șanțată“) în plămin sănătos „bula lui BOUCHARD“ (fig. 265).

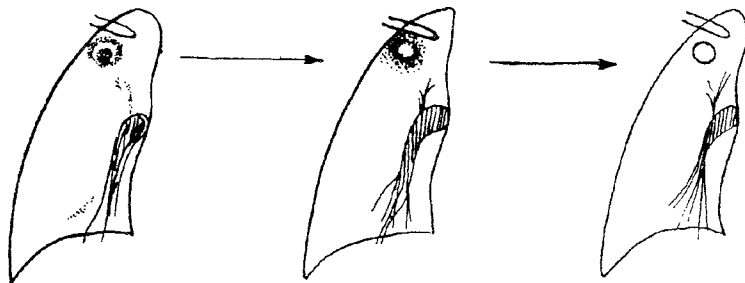


Fig. 263 — Constituirea unei caverne: contur clar semicircular.

Fig. 264. Cavernă pre-coce.

Fig. 265 — Cavernă „ștanțată“ în parenchim, fără leziuni în jur. *Bula lui BOUCHARD.*

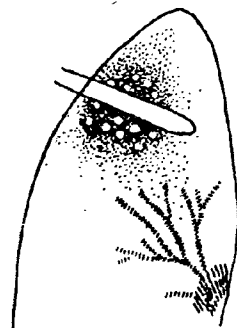


Fig. 266 — Sistem de caverne în „miez de pîine“.

Sediul de electie al cavernei este în segmentul dorsal superior și în vîrful lui Fowler, în regiunea subpleurală; ea are dimensiuni variabile de la o alună pînă la o nucă. Caverna este de obicei unică. Cavernele mici și multiple sunt grupate și realizează un sistem de cavități care determină imaginea „în miez de pîine“ (fig. 173 și 266).

Caverna tuberculoasă recentă sau de gradul I (JACQUEROD) se prezintă ca o transparentă rotundă sau ovoidă cu marele ax orizontal, cu contur anfractuos în masa infiltratului, sau cu aspect ștanțat în plin parenchim pulmonar (fig. 265).

Caverna de gradul II are un perete propriu, deja constituit, subțire și elastic. Cavernele de gradul I și II au peretele suplu și se balonizează cu ușurință (își modifică dimensiunile la tuse).

Conturul devine din ce în ce mai precis, pe măsură ce țesutul din jur se sclerozează și-i constituie un inel opac (cavernă de gradul III cu perete fibros, cavernă inertă).

Alteori, țesutul pulmonar din jur devine atelectatic în urma „suflării“ cavernei (fig. 222), sau este infiltrat de procesul tuberculos. Caverna se vede mai bine dacă se face pneumotorax, datorită colabării parenchimului din jur (fig. 378).

Pentru tratamentul cu pneumotorax, tuberculostatică și chimioterapie este important de precizat dacă peretele cavernei este elastic sau rigid (caz în care cavernele se închid mai greu).

Dacă peretii cavernei sunt supli, în timpul tusei dimensiunile ei se micșorează și peretii se încrăngă de tutun, sau se deplasează înăuntru și în afară, realizând sub ecran semnul perderei.

Dacă în jurul cavernei s-au produs fenomene de scleroză — cavernă de gradul III — conturul și dimensiunile cavernei nu se mai modifică în tuse.

În cavernă nu se vede nivel de secreție, sau dacă există, este foarte coborât.

Între cavernă și hil se poate observa bronhia de dren prin care se elimină secreția cavernei care realizează și imaginea bronșică în „șine de cale ferată“, care se explică prin faptul că pereții bronhici sunt îngroșiți printr-un proces de *panbronșită tuberculoasă*. Imaginea radiologică a cavernei cu bronhia de dren în prelungirea ei poate fi comparată cu „o rachetă de tenis“ (fig. 207; 267).

Fig. 267 — Cavernă t.b.c. cu bronhie de dren; imagine în „rachetă de tenis“.

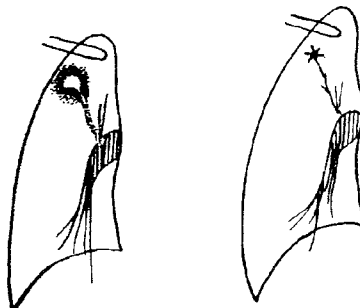


Fig. 268 (dreapta) — Cicatrici- ce fibroasă stelară.

Evoluția cavernei tuberculoase. Cavernă poate să se vindece singură în 3—4% din cazuri, sau sub influența antibioticelor, în majoritatea cazurilor. Pe zi ce trece, cavitatea se usucă și se micșorează, fenomenele infiltrative din jur se resorb, bronhia de dren se poate obstrua, presiunea intracavitară scade progresiv prin resorbția aerului. Bacilii Koch din spută dispar și, în cele din urmă, cavitatea se închide și în loc rămâne o cicatrice fibroasă stelară (fig. 268).

În prezent se admite că în perioada de vindecare, în cavernă se formează țesut de granulație cu evoluție spre fibroză. Se constată un *cimp de induratie*.

Sindromul cavitări negativ se instalează în unele cazuri după tratamente incorecte la care cavernă devine sterilă, fără a involu în dimensiuni și rămâne o cavitate reziduală quiescentă cu risc de reluare a activității. *Cavernă deterjată* de caseum se instalează prin tratament prelungit cu tuberculostatice; ea poate fi confundată cu o bulă de emfizem, cu un chist aerian.

Cavernă suflată. Obstrucția incompletă a bronhiei de drenaj poate realiza mecanism de supapă care permite intrarea aerului în cavernă în inspir, dar nu permite ieșirea lui în aceeași măsură în expir (air trapping). În acest caz cavernă își sporește dimensiunile, „este suflată“, se balonizează, parenchimul din jur este colabat sub forma unui inel opac (fig. 222). Distensia excesivă a cavernei poate duce la perforația cavității în pleură și apariția unui piopneumotorax (fig. 376).

Dacă obstracolul bronhic cedează, cavernă își revine la dimensiunile normale. Umflarea și desumflarea cavernei se poate repeta și în aceste cazuri este vorba de *cavernă în acordeon*.

Cavernă blocată. După obstruirea bronhiei de dren se produce sindromul retenției intracavitative urmat de blocajul cavității cu transformarea ei în cavernă plină sau în tuberculosom (caseom, fig.

270, b). Caverna tuberculoasă poate să nu se vadă radiologic, avind dimensiuni mici sau fiind mascată de formațiuni anatomiche normale sau patologice; tomografia are o importanță deosebită în aceste cazuri.

Acest stadiu poartă numele de *tuberculoză fibro-cazeoasă cavitată*.

Diagnosticul diferențial al cavernei tuberculoase se face cu cavitățile din abcesul pulmonar și dilatațiile bronhice, din chistul aerian și chistul hidatic, din cancerul bronho-pulmonar, bula de emfizem, pneumotoraxul închistat și cu caverna din blocurile pneumoconiotice.

Imagini pseudocavitare pot rezulta din suprapunerea optică a unor umbre liniare interstițiale de pe diferite planuri, sau prin formațiuni inelare pleurale, anomalii și punți costale.

P r o g n o s t i c . Caverna t.b.c. constituie un depozit de bacili Koch de la care pleacă însămîntări în parenchimul din jur. Pe cale bronhică se pot produce însămîntări la distanță în lobii sănătoși (însămîntare posthemoptoică CARDIS) sau la plăminul sănătos de partea opusă (forma încrucișată CARDIS). Însămîntările fac trecerea între infiltratul precoce și ftizia propriu-zisă.

Tuberculoza secundară poate începe sub formă de *pneumonie cazeoasă*, care radiologic se traduce prin umbră lobară sau segmentară de tip triunghiular cu limite și orientare caracteristice teritoriului afectat (fig. 269).

Pneumonia cazeoasă se deosebește de alte inflamații lobare sau segmentare prin tonalitatea umbrei care este neomogenă; pe alocuri se observă noduli mai denși și, eventual, prin prezența de leziuni la celălalt plămin. Evoluția focalului pneumonic se face regresiv (spre rezorbție) în cazurile curabile, sau progresiv spre cazeificare și excavare și complicații în cazurile în care starea organismului este deficitară.

Formele particulare ale tbc pulmonare comune sunt: tuberculomul, tbc pulmonară hipercronică, plăminul distrus și tbc retractilă.

Tuberculomul sau *cazeomul* este o formă clinică de tuberculoză cazeoasă circumscrisă, care constituie 3—5% din totalul tuberculozelor pulmonare comune.

Denumirea rezultă din asemănarea radiologică dintre tuberculom și un nodul tumorala (sarcom, carcinom).

Anatomo-patologic tuberculomul se prezintă:

— fie ca o masă cazeoasă încapsulată într-un înveliș fibros nevascularizat;

— fie ca o masă cu structură în straturi de cazeum și straturi de fibroză (fig. 270);

care rezultă prin mecanisme patogene variate ca:

(a) — încapsulare a unui infiltrat rotund cazeificat;

(b) — prin blocarea unei caverne a cărei bronhie de dren se obstruează;

(c) — prin încapsularea *nodulilor Simon sau Aschoff-Puhl*, a cicatricei afectului primar, sau a cicatricei infiltratului precoce;

(d) — și apariția de straturi succesive de cazeum în jurul lor, care alternează cu straturi fibroase;

(e) — sau încapsularea fibroasă a unui afect primar, printr-o carapace de țesut scleros nevascularizat.

Radiologic, se prezintă ca o opacitate unică (în 20% din cazuri pot fi multiple) de formă rotundă sau ovoidă, cu diametrul de 2—3 cm și are sediul mai frecvent în lobul superior drept; tuberculomul are contur net și este înconjurat de plămin sănătos. Umbra rotundă este

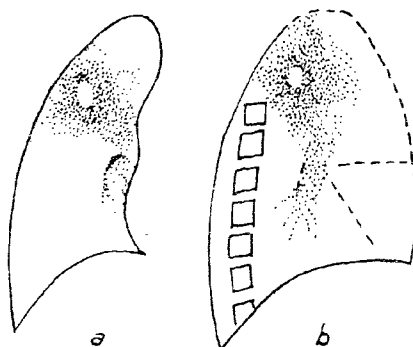


Fig. 269 — Pneumonia cazeoasă cu cavernă t.b.c.: a) față și b) profil.

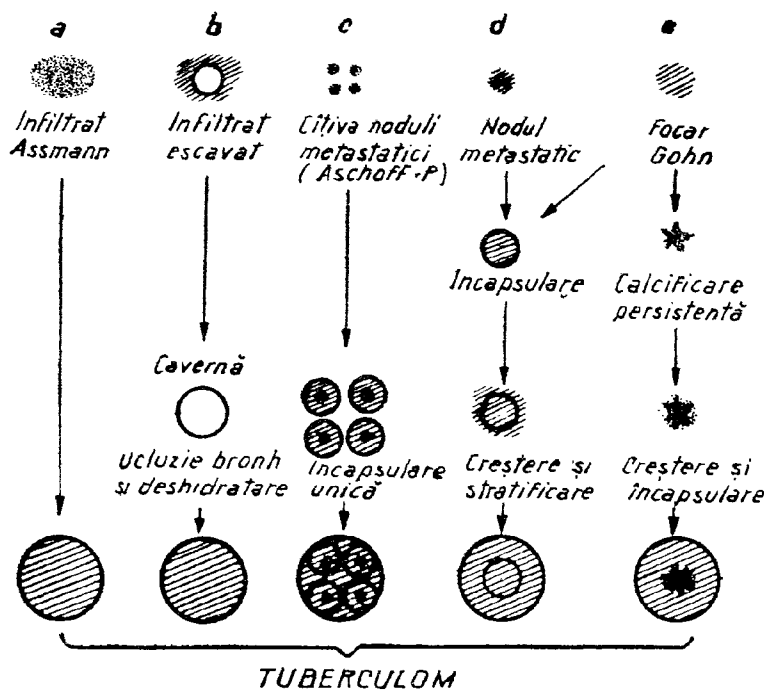


Fig. 270 — Tuberculomul poate avea origini multiple.

de obicei densă și omogenă, alteori este stratificată sau prezintă încrustări calcare sub formă de grunji sau sub formă de inel calcar periferic.

Cu ajutorul tomografiei, în masa tuberculomului se pot pune în evidență fisuri sau excavări transparente și de asemenea calcificările sănt scoase în evidență.

Tuberculomul poate rămîne staționar multă vreme, sau poate regresa; uneori se excavă și rezultă o cavitate anfractuoasă cu perete gros și înșămîntări pulmonare în jur sau la distanță.

Din cauza lipsei de vascularizare în carapacea fibroasă din jur, tuberculomul nu beneficiază de tratament cu tuberculostatice.

Cum și diagnosticul său diferențial cu alte opacități rotunde pulmonare este dificil, este indicată toracotomia exploratorie, urmată de exereză.

Ftizia manifestă. Tuberculoza fibrocazeoasă cronică. De la infiltratul precoce sau caverna tuberculoasă, bacili Koch se extind în parenchimul din jur și la distanță, producind în parenchim leziuni infiltrative-exsudative, leziuni nodulare-productive, leziuni fibroase retractile și leziuni mixte.

În sinul leziunilor exsudative și productive se produc focare de necroză și cazeificare, care se excavă și duc la cavernă.

În cursul evoluției unuia și aceluiași focar, leziunea exsudativă se poate resorbi (se necrozează și excavă) sau evoluează productiv, cicatricial, fibros.

Așa se explică de ce, la același bolnav, în tuberculoza fibrocazeoasă cronică pe radiografie se constată focare exsudative cu cavernă, în alte locuri focare productive și țesut cicatricial fibros.

Se produc modificări secundare, cum sunt emfizemul, simfizele și îngroșările pleurale, dilatații bronhice, stenoze cu atelectazie sau deplasări de organe, pneumotorax.

Coexistența și succesiunea leziunilor menționate constituie fondul tabloului radiologic al ftiziei, care evoluează discontinuu, în pusee.

În raport cu felul leziunii, care predomină în cazul studiat, se descriu mai multe forme de tuberculoză fibrocazeoasă cronică, pe care le vom menționa în raport cu secțiunile anatomo-patologice ale lui GRÄFF și KUPFERLE.

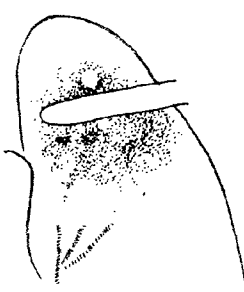


Fig. 271 (stînga) — Ftizie predominant exsudativă.

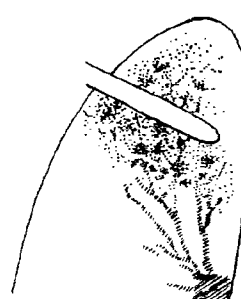


Fig. 272 — Ftizie predominant productivă.

1. *Ftizia predominant exsudativă* (fig. 164; 271) se traduce radiologic prin umbriri palide cu conturul șters, pierdut. Umbririle au sediu mai frecvent sub clavicolă, au tendință la confluență și se însoțesc repede de excavații bilaterale sau unilaterale.

2. *Forma de ftizie predominant productivă* (fig. 272) se traduce prin noduli și insule cu umbrire mai intensă. Nodulii au conturul precis și aspect stelat cu prelungiri în tramă (fig. 164) în care se constată benzi opace. În cursul evoluției, în această formă, în focar pot apărea

focare exsudative. De obicei formele productive involuează treptat și lasă în urmă noduli fibroși și benzi fibroase.

3. În *ftizia predominant fibroasă* se produce țesut conjunctival din abundență care transformă focalul inflamator într-un focar scleros.

Tuberculozele fibroase

Formele fibroase de ftizie pot fi primitive și poartă numele de *tuberculoză fibroasă pură sau extensivă* ce evoluează tot timpul fibros sau sunt *secundare-cicatricele*, instalindu-se după una din primele două forme descrise mai sus.

Sclerozele tuberculoase pot fi *generalizate* (fibroza sistematizată) sau *localizate* (apical sau perihilar).

Radiologic se constată exagerarea desenului pulmonar la nivelul rețelei principale și secundare sub formă de benzi fibroase care iradiază de la hil la periferie. Benzile opace au grosime inegală, traiect sinuos șidezorientat.

Pe alocuri se găsesc și noduli fibroși. La nivelul rețelei secundare se observă imagine de tramită și perilobulită.

Între benzile fibroase se găsesc zone emfizematoase.

— Tuberculoza fibroasă, pură sau extensivă pare să fie rezultatul acțiunii toxinelor bacilului Koch și trabeculele fibroase care rezultă sunt sistematizate în lungul desenului pulmonar fără a-l dezorienta (fig. 273).

— În *tuberculozele fibroase cicatricele* care de obicei sunt localizate benzile de fibroză au caracter mutilant față de desenul pulmonar; ele se formează și se orientează după capriciul leziunilor destructive cărora le urmează, constituind adesea cîmpuri de indurăție fibroasă (fig. 274).

Tuberculoza fibroasă localizată se poate prezenta:

- sub formă de leziuni discrete în vîrfuri;
- sub formă de fibroză perihilară, consecință a unor adenopatii însotite de periadenită scleroasă; după o tuberculoză RACH;
- sub formă de tuberculoză fibroasă densă sau de fibrotorax.

La examenul radiologic *în leziunile discrete ale vîrfurilor* se constată noduli calcari (noduli Simon sau Aschoff-Puhl), noduli și trabecule fibroase, constituind sclerozele nodulare apicale discrete, cortico-pleurita lui Chaumet care constituie o formă de *tuberculoză abortivă* BARD.

— În scleroza densă a vîrfurilor se constată opacifiere neomogenă, de obicei a ambelor vîrfuri, alteori a unuia singur sau a lobului superior, care rezultă din prezența de noduli și benzi fibroase cu retracția parenchimului și emfizem la baze, eventual caverne uscate și dilatații bronhice, la care se asociază devierea și deformarea traheei, eventual ascensiunea scizurii și a hilului (tuberculoza retractilă, ciroza pulmonară).

— În fibrotorax (VINCENTI) procesul de scleroză interesează un plămîn (și pleura lui) în întregime, plămîn care este „*distruș*“ din punct de vedere funcțional și chiar morfolitic.

Radiologic (fig. 275) se observă opacitate neuniformă și retracție accentuată a hemitoracelui stîng îndeosebi; în blocul de condensare se găsesc leziuni evolutive și cicatricele sub formă de caverne, cavități bronhiectatice, focare de atelectazie, benzi și insule de scleroză, placarde de îngroșare pleurală.

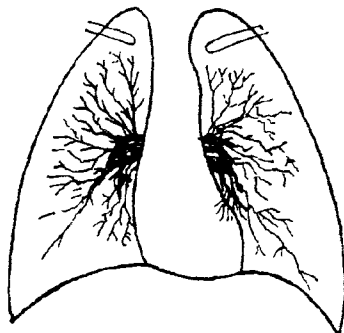


Fig. 273 — Ftizie predominant fibroasă.

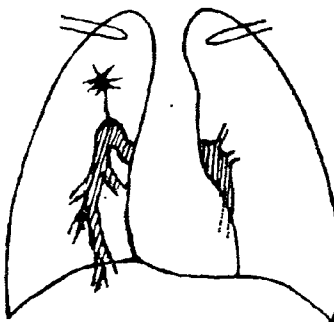


Fig. 274 — Cimp de indurăție cudezorientarea desenului pulmonar.

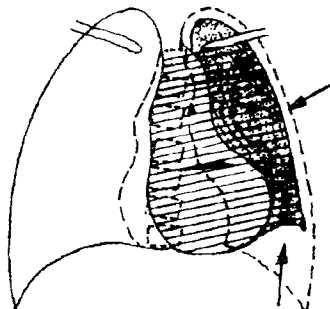


Fig. 275 — Fibrotorax stîng.

— Prin *plămîn opac* se înțeleg cazurile în care, în tuberculoza pulmonară, se produce o opacitate a hemitoracelui de natură pleurală care maschează leziunile ulcerioase subiacente: în cele mai multe cazuri se găsesc caverne, bronhiecatazii și expectoratie baciliferă.

Dufourt descrie fibrotoracele la tuberculoza fibroasă iar din plămînul opac face o formă aparte a tuberculozei evolutive.

4. *Ftizia formă mixtă* poate să evolueze sub aspectul coexistenței leziunilor cazeoase, fibrocazeoase și a leziunilor fibroleroase înconjurate de țesut fibros.

În cursul ftiziei se pot constata diseminări bronho-pneumonice care se produc pe cale bronhogenă.

Diseminările hematogene granulice sunt rare în tuberculoza secundară.

Pleurezia la oameni în vîrstă însوșește de obicei leziuni parenchimatoase tuberculoase.

Tuberculoza secundară realizează forme clinice aparte la pubertate și bătrînețe, la gravide, diabetici, în silicoză.

A n g i o p n e u m o g r a f i a în tuberculoza pulmonară. În leziunile parenchimatoase se constată obstrucții arteriale și venoase fine care explică imaginile de stază circulatorie limitată în jurul leziunilor tuberculoase, care, ele însese, pot fi hipovascularizate.

Leziunile exsudative sunt bogat vascularizate.

Alteori, instalarea rapidă a tulburărilor de ventilație determină insuficiență circulatorie funcțională care realizează aspecte ca în colapsul pulmonar — pe teritoriul bolnav vasele fiind apropiate „în piciorușe de paianjen” fără amputații.

Imaginiile de hipovascularizație corespund unor tulburări respiratorii importante cu tulburări de circulație, hipercapnie, saturare a oxigenului.

hemoglobinei, capacitate vitală și VEMS diminuate, V.R. crescut, indice Tiffenau perturbat.

Consumul de O₂ este foarte scăzut de partea hipovascularizată.

ASPECTE RADIOLOGICE DUPĂ TRATAMENT

Tratamentul tuberculozei pulmonare s-a modificat foarte mult în ultimii 20—30 de ani. Pe primul plan a trecut chimioterapia și antibioticale, în timp ce metodele locale se situează pe planul al doilea. Dintre acestea, pneumotoraxul artificial se utilizează tot mai rar, toracoplastia — de necesitate, iar exereza constituie tratamentul ideal al unor forme localizate.

a. După *chimioterapia antituberculoasă* care se efectuează în prezent cu mijloace majore (izoniazidă, I.N.H. și Rifampicină, Streptomycină, sau foarte active ca P.A.S. și Etambutol), formele cazeoase acute devin din ce în ce mai rare, datorită mai ales I.N.H. și se produc scleroze. Apar mai frecvent manifestări, rare altădată, ca tuberculomul. Se întâlnesc aspecte cavitare atipice, cum sint:

— caverne determinată și epitelializată, care se prezintă ca o transparentă cu pereții subțiri și elastică, fără leziuni pericavitare, cu stare generală bună și bacili Koch absenți.

Rezultă mai frecvent în urma tratamentului cu H.I.N. și provine din vindecarea unei caverne cu drenaj corect.

— emfizemul bulos tuberculos este produs probabil prin mecanism de supapă expiratorie și se manifestă radiologic prin bule hipertransparente de dimensiuni variabile, uneori considerabile — interesind un lob sau chiar un hemitorace.

— bronșiectaziile tuberculoase apar de obicei în vîrfuri și lobii superioiri, au un drenaj bun și nu dau supurații.

Ftizia hipercronică este datorată unui tratament administrat nesistemtic la care bolnavul nu cooperează, în urma căruia ftizia își prelungeste considerabil evoluția. Aspectul este de tuberculoză fibrocazeoasă cavităre veche, cu o masivă remanire fibrocicatricială mutilantă; mai rar se constată aspect de ftizie ulcero-fibroasă extinsă. Radiologic, se observă leziuni polimorfe de vîrste diferite.

b. *Modificările imaginii radiologice după colapsoterapie și tratament chirurgical.*

Pneumotoraxul artificial introdus în tratamentul t.b.c. pulmonare de către Forlanini a fost utilizat între 1888—1960 în tratamentul tuberculozei pulmonare, în special în tratamentul cavernelor cu perete suplu situate în plin parenchim.

Aerul introdus în cavitatea pleurală la început poate să se situeze în lamă subțire sau în mantie în jurul plămînului (fig. 378), apoi devine pneumotorax electiv (fig. 380) sau total (fig. 375). El este întreținut un an și jumătate, timp în care leziunile pulmonare în repaus de obicei se vindecă. Uneori, în timpul pneumotoraxului, leziunile tuberculoase evoluează spre extindere și bilateralizare. Frecvent se produc colecții pleurale care realizează imagini de hidropneumotorax (fig. 376) sau simfize pleurale și pahipleurită.

După instituirea pneumotoraxului pot fi recunoscute ușor aderențele pleurale (fig. 382) care împiedică retracția și colabarea plămînului și trebuie secționate. Aderențele pot fi cilindrice, conice cu baza la

peretele toracic sau invers, la inserția lor pe plămin și în formă de X. După secționarea lor (pneumoliza intrapleurală, procedeul IACOBUS) colapsul plăminului se accentuează; se poate produce un revărsat pleural.

Pneumoperitoneul se utilizează în tratamentul leziunilor pulmonare bilaterale sau al celor bazale ca și în cele în care nu se reușează a se face pneumotorax. Radiologic se constată poziție înaltă a diafragmului la ambele baze și colecție aerică subfrenică, mai evidentă între ficat și diafragm.

Pneumotoraxul extrapleural posibil după decolare pleuro-parietală (pneumoliză extrapleurală) nu se mai practică în prezent din cauză că se complica frecvent cu pungi cronice de piopneumotorax. Nu se mai utilizează nici oleotoraxul, nici apicoliza cu plomboaje.

Toracoplastia s-a practicat în tuberculoza unilaterală a lobului superior și constă în rezecția coastelor 1—5, 7, ori și mai jos (toracoplastia totală SAUERBRUCH) cu scopul de a permite retracția și imobilizarea parenchimului pulmonar subiacent. Radiologic se constată micșorarea hemitoracelui în porțiunea respectivă cu rezecțiile costale și opacitate prin scleroză pleuropulmonară care generează retracția hemitoracelui, bronșiectazii, scolioză.

Exereza pulmonară posibilă în prezent datorită cunoașterii segmentelor de ventilație și progreselor în tehnica chirurgicală și în reanimare este urmată imediat după intervenție de imagine de hidropneumotorax care se retrage proporțional cu reexpansiunea lobulu rămas și ocuparea spațiului restant. Întinderea exerezei pulmonare variază în funcție de leziune. Se execută rezecție segmentară în tuberculom, lobectomie în cavernă tuberculoasă, pneumectomie în caz de plămin distrus.

După pneumectomie umplerea spațiului restant este foarte dificilă, se produce o deviere puternică a mediastinului și retracție a hemitoracei; uneori este necesară toracoplastia.

Pneumoconiozele

Pneumoconiozele sunt boli profesionale datorate inhalării cronice a unor pulberi fin dispersate în aer, cum sunt pulberile minerale, pulberile metalice, praful de cărbune și pulberile organice de origine vegetală.

Se produc procese de fibroză pulmonară extinsă; starea patologică are evoluție cronică cu răsunet asupra întregului organism, cu manifestări importante respiratorii.

SILICOZA

Praful cel mai nociv este cel care conține bioxid de siliciu liber; el provoacă cele mai multe îmbolnăviri, boala purtând numele de silicoză. Bioxidul de siliciu se găsește în concentrație mare în sterilul din minele de cărbune, la săparea de galerii și tuneluri, la carierele de pi-

tră, în întreprinderile ce prelucrează unele minereuri și utilizează nisipuri la sablaj.

Cu cît particulele au dimensiuni mai mici decât 3 microni (vezi pag. 149 cu mecanismele de apărare fizică) și sunt mai concentrate în praf — peste 1,5 mg/mc aer, cu atât sunt mai nocive pentru plămînul care respiră într-o asemenea atmosferă.

Obstacolele respiratorii nazale și efortul exagerat în mină, favorizează apariția silicozei.

La noi în țară, silicoza a fost studiată la Baia Mare, Brad, Zlatna, Anina, Reșița, Hunedoara, Leșu Ursului.

În raport cu gravitatea leziunilor anatomo-patologice și a manifestărilor clinice în silicoză se descriu următoarele stadii:

— presilicoza sau stadiul de suspiciune; în condițiile de la Baia Mare — pînă în anul 1950 — poate apărea după 7 ani de activitate în mină;

— silicoza stadiul I apare după 10 ani;

— silicoza stadiul II după 20 de ani;

— silicoza stadiul III după 24 de ani;

— silico-tuberculoza apare la 8 ani de la începutul activității în mină.

În alte mine sau industrii silicogene unde densitatea pulberilor și concentrația bioxidului de siliciu este mai mare, boala apare „precoce” după 2–3 ani de expunere sau mai repede și realizează forme grave, cu evoluție rapidă.

Patogenia silicozei nu este elucidată suficient.

A n a t o m o - p a t o l o g i e. Praful nociv inhalat străbate pereții alveolelor și este fagocitat; — particulele impregnează limfocitele și pătrund în țesutul celular interstitițial din manșoanele peribronhovascularare, în ganglionii hilului și ai mediastinului care se tumefiază.

În jurul particulelor de siliciu se produce un țesut conjunctival de granulație histiocitar, care trece pe încetul în țesut fibros și apoi scleros și se organizează sub formă de noduli cu sediul de predilecție în perețile alveolar, dar și în limfaticele și în țesutul interstitițial peribronhovascular, unde ia forma unor cordoane și tecii scleroase.

Aspectul radiologic variază după stadiul în care se examinează bolnavul și după forma clinică.

În stadiul presilicotice se constată accentuarea umbrelor hilului, de la care pleacă trabecule fibroase groase, ce întăresc desenul principal (fig. 276), care se întinde mult și în jurul hilurilor.

În unele cazuri trabeculele desenului principal sunt amputate brusc și nu se mai văd la nivelul rețelei secundare datorită *emfizemului accentuat* din această fază, care împiedică formarea optică, (radiologică) a desenului rețelei secundare; imaginea radiologică a hilurilor poate fi comparată în acest caz cu un *arbore de iarnă* cu ramurile rețezate.

În cele mai multe cazuri este accentuată și rețeaua secundară care pătrunde adînc în mantie pînă la periferia ariilor pulmonare care în regiunile axilare formează o reticulare discretă cu ochiuri poligonale sau neregulat rotunde, ceea ce sporește suspiciunea de silicoză.

În silicoza stadiul I fibroza interstitițială progresează, se produce îngroșarea traveelor de țesut conjunctiv din spațiile interstitițiale; umbra hilurilor este mai întinsă, prelungirile din jur sunt accentuate și evidente pînă la periferia plămînului, către care se subțiază progresiv și

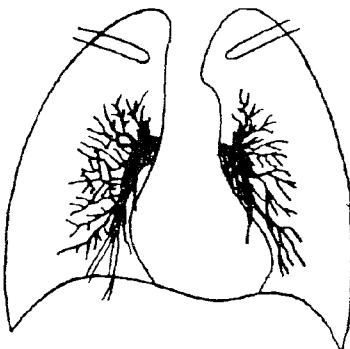


Fig. 276 — Stadiul presilicotitic:
„arbore de iarnă“.

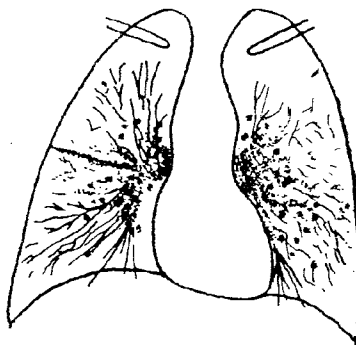


Fig. 277 — Silicoză stadiul I:
„arbore de primăvară“.

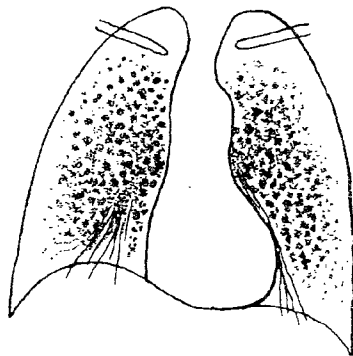


Fig. 278 — Silicoză stadiul II:
diseminări nodulare în „fulgi
de zăpadă“.

tanță deosebită pentru bolnav, deoarece se știe că evoluția bolii este progresivă și continuă chiar și după încetarea expunerii la prăfuire.

Silicoza stadiul II se caracterizează prin diseminări nodulare pe ambele arii pulmonare (fig. 278). Nodulii silicotici pot fi miliari (p) și dau aspect nisipos; de obicei au dimensiuni cît un cap de bold (m) sau (q) sau mai mari (n) sau (r) și dau aspect de fulgi de zăpadă în furtună. Au opacitate mai mare la centru, conturul net și neregulat, prezintă prelungiri stelare în jur. Nodulii sunt mai deși și mai mari în regiunea hilului și în jurul lui, mai rari spre periferia plămînului și lipsesc în vîrfuri sau la baze.

În porțiunile fără noduli se văd mai bine modificările datorate emfibezemului. În stadiul II, nodulii silicotici sunt așa de mulți și așa de deși încit umbrele lor acoperă și nu lasă să se vadă hilurile întinse și desenul bogat care caracterizează stadiul I, și care s-au accentuat între timp. Aspectul radiologic este comparat cu un arbore de vară la care frunzișul bogat maschează ramurile.

În stadiul III, în cursul evoluției boalii, dar și sub acțiunea proceselor inflamatorii supraadăgăte se produce confluența nodulilor silicotici, datorită unei fibroze hialine interstitiale difuze și apar umbriri nodulare rotunde, ovoidale sau neregulate, bilaterale și simetrice, cu sediul în hil (fig. 279) sau în plin cîmp pulmonar (fig. 280); din cauza formei, dimensiunilor și sediului lor poartă numele de *umbriri pseudotumorale*. În restul ariilor pulmonare se găsesc leziunile stadiului I sau II (*emfizemul care poate lua caracter bulos, desenul accentuat, nodulii silicotici*); cord pulmonar cronic.

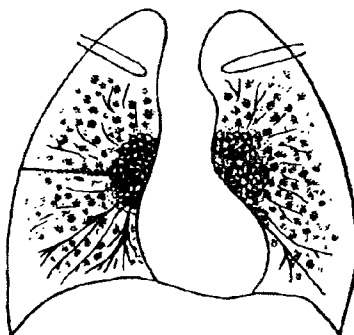


Fig. 279 — Silicoză stadiul III: formațiuni pseudotumorale în hiluri.

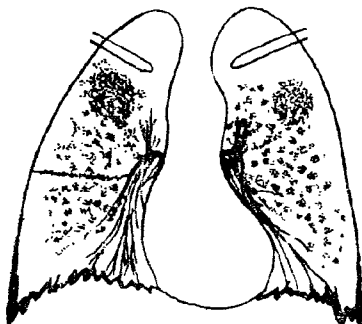


Fig. 280 — Silicoză stadiul III: „umbriri pseudotumorale“ subclaviculare. Aderențe pleuro-diafragmatische în formă de „vîrf de cort“.

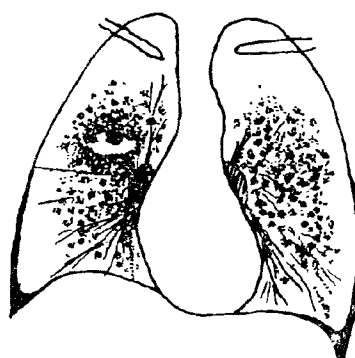


Fig. 281 — Cavernă pneumoconiotică. Placarde de pahi-pleurită la peretele toracic.

În cursul evoluției silicozei suferă modificări pleura, bronhiile, vasele pulmonare și ganglionii limfatici.

Pleura este modificată încă din stadiul I și îngroșarea ei se traduce prin linie scizurală orizontală dreaptă, simfiază pleurală costo-diafragmatică sau prin aderențe pleurale ale diafragmului la bază (imagină „în vîrf de cort“).

În stadiul terminal, îngroșarea pleurei duce la formarea unor placarde întinse, care se traduc prin umbrire caracteristică și retracția toracelui, mediastinului și diafragmului.

Dezvoltarea tesutului scleros în spațiile interstitiale peribronhice favorizează dezvoltarea bronșiectaziilor: acestea pot realiza cavități mari (cavernă bronșiectatică).

În sănul maselor silicotice pseudotumorale se produc focare de necroză prin ischemie: produsul de necroză eliminat lasă în urmă cavernă pneumoconiotică (fig. 281).

Cavitatele bronșiectatice sau cavernele pneumoconiotice favorizează supurația.

Ganglionii limfatici sunt hipertrofiati mai ales la pacienții tineri și pot fi individualizați radiologic în toate stadiile. Mai târziu ei pot prezenta la periferie calcificări în „coajă de ou” sau sunt opaci în totalitate.

În sindromul CAPLAN-COLIMET silicoza cu noduli mari se asociază cu P.C.E.

Descrierea pneumoconiozelor, ca mai sus, se bazează pe clasificarea în trei stadii clinice, acceptată la Conferința de la Johannesburg din 1930 care este utilizată în majoritatea ţărilor. Această clasificare a fost modificată succesiv la Conferința de la Sidney din 1950, la Conferința B.I.T. de la Geneva, în 1958, la Cincinnati, în 1968.

Din 1971 pentru clasificarea radiologică a pneumoconiozelor s-a adoptat și introdus în practică (și la noi în țară) clasificarea internațională a experților BIT, și anume:

Absența pneumoconiozei	Suspect	Pneumoconioze					
		opacități mici			opacități mari		
0	z	1	2	3	A	B	C
		pmin (qr)	pmin (qr)	pmin (qr)			

Simboluri obligatorii

plc	pl	co	es	tba	ca	od
-----	----	----	----	-----	----	----

Simboluri facultative

ex	cn	cp	cv	di	em	hi	ho	px	ri	tb	K
----	----	----	----	----	----	----	----	----	----	----	---

Descriere

Absența pneumoconiozei	O=nu există evidență radiografică de pneumoconioză
Suspect	Z=Plăină sau umbre hilare anormale a căror natură este nesigură și care pot sau nu reprezenta un stadiu de pneumoconioză.

		Opacități mici
	<p>Categorie (în relație cu profuzia, cu numărul și întinderea leziunilor în parenchim).</p> <p>1: număr mic de opacități 2: opacitățile sunt mai numeroase 3: opacitățile sunt foarte numeroase</p>	<p>Simboluri (în relație cu diametrul cel mai mare al opacităților).</p> <p>p=pine head: diam. sub 1,5 mm m(q)=micronodul: diam. între 1,5–3 mm n(r)=macronodul: diam. între 3–10 mm</p>
Pneumoconioză		Opacități mari
	<p>A=o capacitate având diametrul între 1–5 cm sau mai multe opacități, fiecare mai mare decât 1 cm.</p> <p>B=una, sau mai multe opacități, mai mari sau mai numeroase decât cele din categoria A, a cărei suprafață de întindere nu depășește $1/3$ a plămâinului drept.</p> <p>C=una sau foarte mare opacitate a cărei suprafață de întindere depășește $1/3$ a plămâinului drept.</p>	

S I M B O L U R I

Obligatorii

- plc — plăci pleurale calcificate
- pl — anomalii pleurale calcificate
- co — anomalii de formă și dimensiune ale inimii
- es — calcificare în coajă de ou a ganglionilor limfatici hilari
- tba — opacități sugerînd tuberculoza activă
- ca — suspect neoplasm
- od — altă boală importantă care nu se găsește descrisă într-unul din simbolurile obligatorii sau facultative

Facultative

- ex — fuzionare suspectată a opacităților mici rotunde
- cn — calcificare în opacitățile mici rotunde
- cp — cord pulmonar

cv — cavitate

di — deplasare sau distorsie importantă a structurii toracice

em — emfizem important inclusiv bule mari

hi — mărire importantă a hilurilor

ho — imagine în fagure de miere

px — pneumotorax

Modificările radiologice sunt notate pe scurt cu aceste inițiale, cifre și simboluri.

De exemplu silicoza stadiu I = $\frac{Him_1}{Hip_1}$, fără modificări respiratorii la un bolnav la care se constată în dreapta (deasupra liniei orizontale) $Hi =$ hiluri întinse, cu $m =$ micronoduli în jur, $1 =$ în număr mic,
— iar în stînga (sub linie) $Hi =$ hiluri întinse, cu $p =$ noduli punctiformi, $1 =$ în număr mic.

Silicotuberculoza. În 50% din cazuri silicoza se asociază cu tuberculoza pulmonară și la începutul evoluției lor cele două boli se influențează reciproc. Leziunile tuberculoase în cursul silicozei sunt simetrice și diagnosticul se pune greu pentru că se traduc radiologic prin umbriri infiltrative și caverne ce seamănă cu leziunile silicotice deja existente în parenchimul pulmonar.

Diagnosticul pozitiv se face pe baza prezenței bacilului Koch în spută; diagnosticul diferențial se face în timp, pe baza mobilității leziunilor tuberculoase care își schimbă aspectul în curs de săptămâni sau luni (în dinamica viei), în timp ce leziunile silicotice rămân cu același aspect radiologic ani de zile.

Silicoza și silicotuberculoza se evită dacă se iau măsuri profilactice.

Diagnosticul diferențial. Imaginea de silicoză din stadiul I seamănă cu cea realizată de tuberculoza fibroasă extensivă care are caracter trabecular și cu sclerozele difuze interstitiale, cu limfangita carcinomatosa, cu bronșiectaziile și desenul vascular realizat de bolile ce dă hipertensiune în mica circulație.

Diseminarea nodulară din stadiul II poate fi confundată cu granulula tuberculoasă.

Silicoza în stadiul III poate fi confundată cu infiltratul tuberculos sau cu un infiltrat excavat, cu formațiuni neoplazice.

SILICATOZELE

Sunt datorate inhalării unor pulperi de siliciu, sub formă legată — de silicati — și se întlnesc în industriile în care se produc prafuri de azbest, talc, caolin, apatita etc.

La examenul radiologic predomină modificările de fibroză interstitală difuză sub forma accentuării desenului pulmonar în cele 2/3 inferioare ale pământului, iar leziunile nodulare sunt mai rare.

Pneumoconiozele pot fi produse de alte pulperi minerale, metalice, organice sau vegetale. În acest sens se mai descriu: antracoza, calicoza (tăietorii de piatră), sideroza, bisinoza (pulperi rezultate din prelucrarea bum-bacului), plăminul fermierilor.

PNEUMOCONIOZELE NEPROFESIONALE

Cuprind toate sclerozele pulmonare întâlnite la diferite vîrste în masa populației, ca o consecință a inhalării de durată a fumului de tutun, a prafului de stradă, a prafului adus de vînturi sau a fumului și prafurilor eliminate în atmosferă de întreprinderile industriale.

Ele sunt însotite frecvent de bronșită cronică și emfizem-bronhopneumopatia obstructivă cronică (B.P.O.C.).

PNEUMONEFELOZELE

Reprezintă reacția plămînului la inhalăția de substanțe chimice lichide, în stare de dispersiune fină (sub formă de ceată), stare în care pot ajunge pînă la alveole (de exemplu acizii toxici). Radiologic dau aspect de edem pulmonar acut sau de bronhoalveolită.

PNEUMOMATMOZELE

Se datorează inhalării gazelor toxice, accidental sau în timpul proceselor de muncă.

Sarcoidoza; boala lui Besnier-Boeck-Schaumann

Sarcoidoza — este o afecție cu substrat proliferativ a țesutului reticulohistiocitar, cu determinism imunopatologic particular și cu etiologie necunoscută.

Boala lui BESNIER-BOECK-SCHAUMANN pare să fie determinată de antigeni exogeni de structură fosfatică, asemănători cu ai bacilului Koch — care după realizarea substratelor mezenchimale sensibilizate provoacă răspunsul secundar de *limjogranulomatoză benignă* — cu proliferare și diferențiere epitelioidă gigantocelulară — dar fără necroză. Are posibilități de autoîntreținere și tendință evolutivă spre vindecare sau scleroză.

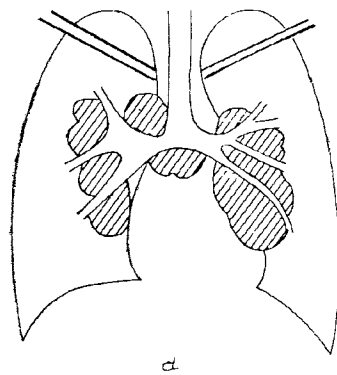
Clinic se poate manifesta prin leziuni cutanate, hipertrofia ganglionilor limfatici periferici sau mediastinali, modificări pulmonare, osteoarticulară și din partea altor organe sau sisteme. Testul KVEIM este pozitiv.

Modificările toraco-mediastinale au evoluție în trei stadii (fig. 282):

— în stadiul I se constată adenopatii mediastinale (a) care predomină în hiluri; ganglionii hipertrofiați au dimensiuni mari, contur net, opacitate omogenă și rămîn cu aceleași caractere timp îndelungat;

— în stadiul II, în timp ce adenopatile din hiluri se micșorează și tind să dispară, se produc determinări pulmonare de tip micronodular, macronodular, sau reticulonodular (b) care au sediul în etajul mijlociu realizînd aspectul în „aripi de fluture”, și sub clavicule.

— stadiul III se instalează la 10–15 ani de la debut și se caracterizează prin fibroză sub formă de benzi și trabecule (c) la care se asociază imagini chistice transparente, „în fagure de albine” (fig. 173 b și 177 e). Această fază are evoluție nefavorabilă cu dispnee, spre cord pulmonar cronic.



a

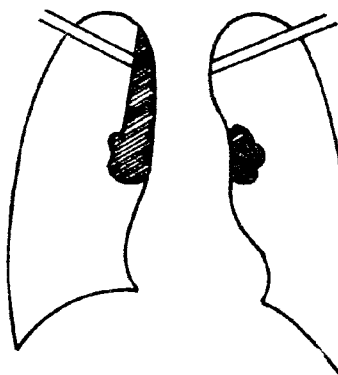
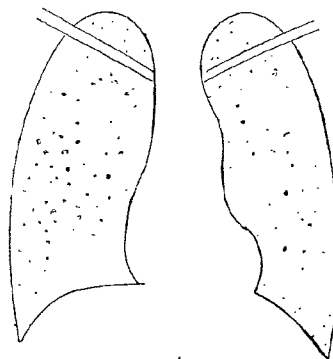
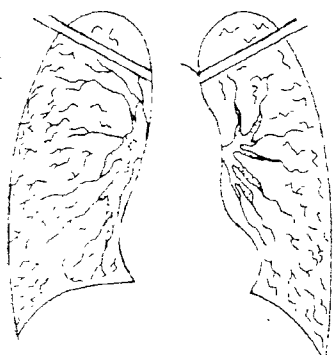


Fig. 282 — d) Sindrom LÖFGREN.



b



c

Fig. 282 a, b, c — Boala lui BESNIER—BOECK—SCHAUMANN: a) stadiul I — adenopatii; b) stadiul II — diagramma miliară; c) stadiul III — fibroză interstițială.

În Early stage din sindromul LÖFGREN sarcoidozic (fig. 282, d), la adenopatii mediastinale se asociază eritemul nodos și poliartrita; Evoluează cu febră.

Boala lui PERTHES-JUNGLING, Ostitis multiplex cystoides, este constituită din determinante osoase ale bolii Besnier-Boeck-Schaumann.

În sindromul HEERFORDT sarcoidozei î se asociază iridociclita și parotidita.

Leziunile osoase în sarcoidoză sunt descrise în vol. II.

Sclerozele pulmonare (fibroze interstițiale)

Sclerozele pulmonare sunt afecțiuni variate în care elementul comun este constituit din prezența unui proces de scleroză pulmonară localizată sau de fibroză interstițială difuză, care explică alterarea elasticității și capacitatei funktionale a plămânilui.

Din punct de vedere etiologic, ele pot fi clasificate în:

- scleroze pulmonare după pneumopatii infecțioase, tuberculoză, supurații, viroze, pe care le-am descris;

- fibroze interstițiale difuze în collagenoze (sclerodermie, dermatomiosită, pneumonia reumatismală, lupus eritemato-

tos, periarterita nodoasă), reticuloze, sarcoidoză, mucoviscidoză, în hiper-tensiunea arterială pulmonară primitivă și în stenoza mitrală;

- fibroze de cauză medicamentoasă sau profesionale (pneumoconioze);
- fibroze criptogenetice (*sindromul HAMANN-RICH*).

În fibrozele difuze, la examenul radiologic se constată îngroșarea desenului pulmonar pe întinsul ambelor arii; cu predominanță în jurul hilurilor și spre baze. Pe acest fond se pot găsi umbre nodulare sau bule transparente multiple ce dău aspect de „fagure de albine“ (fig. 173, b).

Diagnosticul pozitiv nu este posibil decât prin coroborarea cu datele clinice și de laborator, de multe ori este posibil numai prin examene anatomo-patologice.

Micozele pulmonare

Micozele pulmonare, la om, sunt întâlnite rar, atunci cînd rezistența biologică a organismului este scăzută, sau după tratament cu antibiotice, împrejurări în care sunt reunite condiții favorabile pentru înmulțirea ciupercilor patogene de diferite genuri.

În acest grup sunt studiate candidoza pulmonară, aspergiloza, actinomicoza, histoplasmoza, coccidiomicoza și altele.

Procesul micotic se poate localiza la nivelul căilor aeriene superioare sau profunde, la nivelul parenchimului pulmonar alveolar.

Realizează forme clinico-radiologice de traheo-bronșită, forme bronhopneumonice cu accentuarea desenului și formațiuni nodulare sau forme pneumonice.

Pot să se observe imagini cavitare și adenopatii.

Aspectul radiologic este necaracteristic în majoritatea cazurilor și diagnosticul este posibil numai prin examenul microscopic al sputei; uneori este necesară efectuarea de culturi.

Afecțiunile pulmonare parazitare

Afecțiunile pulmonare parazitare pot fi trecătoare și fără urmări grave în caz de ascaridioză, toxoplasmoză, malarie.

Alteori constituie boli cu gravitate deosebită, cum sunt chistul hidatic, cisticercoza și paragonimiaza.

CHISTUL HIDATIC PULMONAR PRIMITIV

Chistul hidatic este o tumoră lichidiană, de obicei unică, care este provocată de către ouăle de *taenia echinococcus*. Chistele hidatice multiple indică infestări repeatate.

Taenia echinococcus este un vierme plat care se dezvoltă și se maturizează într-o gazdă definitivă — intestinul cîinelui. Cîinele se contaminatează cu scoleciși de chist hidatic din ficatul sau plămînul animalelor bol-

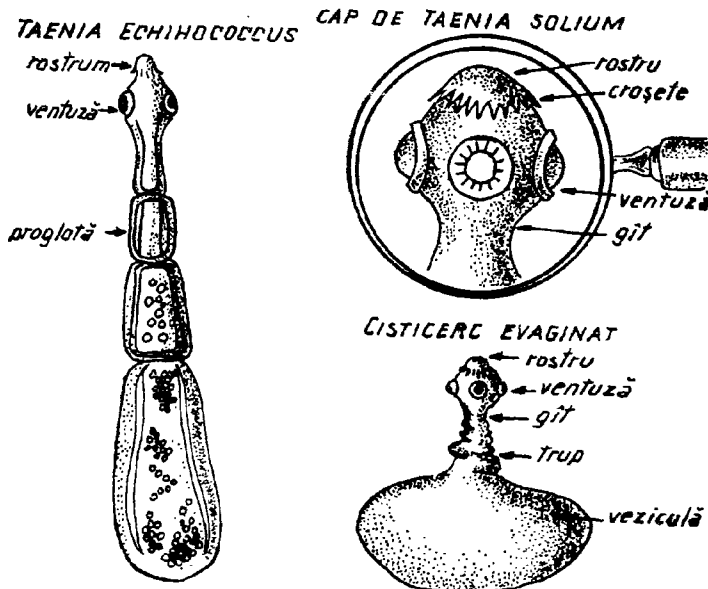


Fig. 283 — *Taenia echinococcus* și *taenia solium*.

nave (ovidee, bovidee) ale căror organe bolnave sunt aruncate în mediul extern.

Taenia echinococcus în formă adultă (fig. 283) are o lungime de 3—6 mm, fiind cel mai mic cestod cunoscut și este format dintr-un cap și 3 inele sau progloate. Ultimul inel al viermelui pune în libertate 400—800 ouă (embriofoare) care ajung în mediul extern, unde contaminează zarzavaturi și alimente, care sunt utilizate crude de către omul sau animalul ce va constitui gazda intermediară. Ajuns în intestinul omului sau animalelor, pătura de chitină care învelește oul se solvă și pune în libertate un embrion hexacant (cu 6 croșete) care străbate cu ușurință epiteliul intestinului și pătrunde într-o venulă sau un vas limfatic din corionul mucoasei.

Pe calea venei porte sau pe cale limfatică, embrionii hexacanti ajung în ficat sau plămîn unde se dezvoltă pe încrengătul chistul hidatic (în 5—6 luni are un diametru de 1 cm), chist care reprezintă un stadiu intermediar în dezvoltarea parazitului.

CHISTUL HIDATIC SECUNDAR

Chistul hidatic secundar se poate dezvolta printr-un ciclu mai scurt, fără gazdă intermediară, și apare după ruptura spontană sau după intervenție chirurgicală a unui chist hidatic primitiv, situat undeva în organism de unde scolecșii se răspindesc pe cale hematogenă sau bronhogenă și duc la apariția de noi chiste hidatice care realizează *echinococoză secundară*.

Anatomie patologică. Chistul hidatic pulmonar este o formătire lichidiană, rotundă al cărui perete este constituit din două membrane proprii: membrana germinativă sau prolieră la interior și cuticula formată din straturi suprapuse de chitină la exterior. A treia, membrana perichistică sau adventicea provine din reacția scleroasă a plămâinului.

Chistul conține lichid clar, ca apă de stîncă și nisip (scolecși) — fig. 284 — iar la ficat poate conține numeroase vezicule fiice.

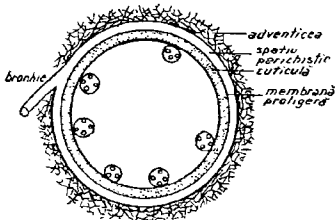


Fig. 284 — Structura anatomo-patologică a chistului hidatic: straturile peretelui.

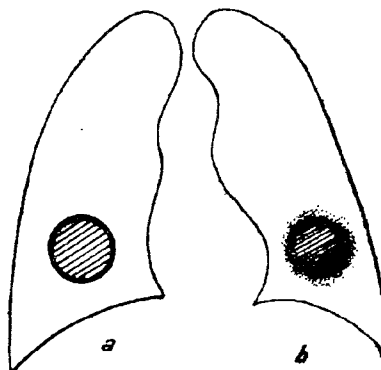


Fig. 285 — Conturul chistului hidatic la început este geometric, perfect rotund și net (a); devine șters, neprecis datorită complicațiilor din jur (b).

În lichidul de stîncă se găsește o substanță toxică, ptomaină, responsabilă de fenomenele de soc anafilactic ce le produce revârsarea brutală a acestui lichid; aceasta determină anticorpi specifici, ceea ce permite efectuarea unor reacții biologice — *intradermoreacția lui CASONI*. Reacția WEINBERG—PÎRVU este pozitivă; se constată *eosinofilie sanguină*.

La plămîn, chistul hidatic poate avea sediul periferic, în centrul unui lob sau în apropierea hilului.

Parenchimul pulmonar din jurul adventicei chistului hidatic poate fi:

— perfect sănătos (fig. 285);

— conturul net, (a);

— altori este sediul unor procese congestive și atelectatice care explică hemoptizia și conturul care este pierdut, șters (b).

S i m p t o m a t o l o g i e. Chistul hidatic evoluează latent o perioadă de 6 luni pînă la un an și jumătate, cînd este descoperit din întîmplare și are diametrul de 8—10 cm.

Uneori se însotește de simptome clinice: jenă toracică, tuse, hemoptizii.

Vomica cu lichid clar ca apă de stîncă și cu eliminare de membrane albicioase este simptomul cel mai prețios pentru afirmarea diagnosticului.

În chistul hidatic se disting mai multe perioade evolutive:

— de constituire (sau de chist închis);

— de vomică;

— de evacuare și supurație.

Semnele radiologice variază în raport cu faza clinică în care se face examenul.

Chistul hidatic inchis se traduce radiologic printr-o opacitate rotundă, situată în plin parenchim pulmonar (care este sănătos) sau este mascată parțial și deformată de mediastin, diafragm ori de către peretele toracic.

Localizarea este de obicei unică; în 16% din cazuri se constată localizări multiple.

Tonalitatea formației este omogenă; intensitatea umbrei chistului este în așa fel încit permite să se întrevadă coastele și desenul pulmonar al parenchimului suprapus la același nivel. Cu cît chistul hidatic este de dimensiuni mai mari, cu atât tonalitatea umbrei este mai sporită.

Conturul chistului hidatic poate fi geometric, rotund perfect, tras parcă cu compasul (fig. 285, a).

De cele mai multe ori, din cauza complicațiilor pulmonare din jurul chistului, — procezeatelectatice și congestive — conturul chistului este pierdut, devine șters, neprecis (fig. 285, b).

Mobilitatea: înclinând bolnavul la ecran sau asezându-l în Trendelenburg, avem impresia că umbra chistului se deplasează ușor în aria plămâinului.

Plasticitatea chistului hidatic se pune în evidență prin mișcări respiratorii forțate și schimbări de poziție, în care dimensiunile și forma chistului hidatic se modifică discret (fig. 286) și realizează *semnul ESCUDERO-NEMENOV, „respirația chistului“*:

- în inspir forțat, chistul hidatic se alungește crano-caudal;
- în expir, chistul se turtește transversal.

Tumorile pulmonare, care pot da imagine rotundă și opacă asemănătoare, din cauza infiltrației parenchimului din jurul lor, nu se deplasează odată cu înclinarea bolnavului și din cauza consistenței dure, nu au plasticitate, nu și modifică forma în inspir și expir.

Dimensiunile chistului hidatic variază de la o portocală la un cap de făt. Alteleori el poate ocupa un hemitorace.

Forma chistului hidatic variază în raport cu sediul:

— chistul hidatic la început, cind se dezvoltă în plin parenchim pulmonar este rotund perfect — are contur geometric, tras parcă cu compasul (fig. 287, a);

— chistul hidatic care se dezvoltă la vîrf are formă ovoidală și i se distinge net conturul polului inferior (fig. 287, b), restul conturului confundindu-se cu al peretelui toracic;

— chistul hidatic care se dezvoltă la hil are aspect reniform, fiind scobit pe latura lui spre hil de către elementele anatomiche din hil care produc o ancoșă (fig. 287, c).

— Dacă chistul hidatic crește în dimensiuni și ajunge spre peretele toracic, conturul lui se turtește la acest nivel.

— Chistul hidatic al bazei este în parte mascat de diafragm și imaginea este comparată cu „soarele care răsare“ (fig. 287, d).

Pentru a preciza sediul chistelor hidatice de la bază, dacă sunt supra- sau subdiafragmatice, uneori este nevoie de pneumoperitoneu și în caz de dubiu, de scintigrafie hepatică, splenoportografie, ecografie, C.T.

Imaginea stratificată din jurul chistului. Umbra chistului hidatic este înconjurate uneori de dungi opace, semicirculare și concentrice (fig. 288), care traduc compresiunea straturilor vecine ale ţesutului pulmonar în care se produc straturi de atelectazie lamelară.

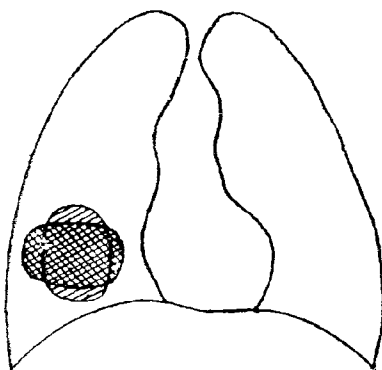


Fig. 286 — Plasticitatea; dimensiunile și forma chistului hidatic se modifică în inspir sau expir; semnul ESCUDERO-NEMENOV.

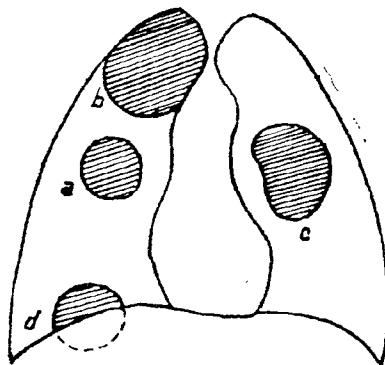


Fig. 287 — Forme variate ale chistului în raport cu sediul.

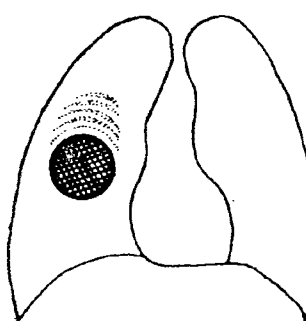


Fig. 288 — Imagine stratificată în jurul chistului.

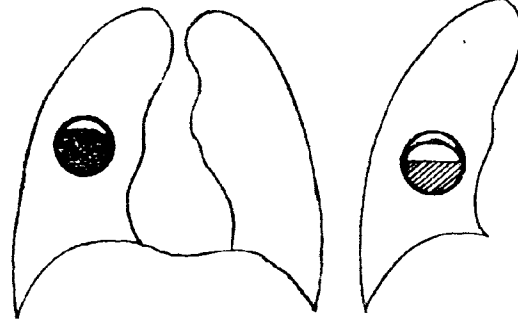


Fig. 289 — Decolarearea membranei — semnul lui MORQUIO.

Fig. 290 — Semnul „areului dublu“ (IVASSINEVICI).

D e c o l a r e a m e m b r a n e i (fig. 289). În cursul evoluției chistului hidatic se poate infiltra o cantitate de aer în spațiul perichistic dintre adventice și membranele chistului. Aerul provine fie prin fisurarea unei bronhii, fie prin procese supurative cu anaerobi în chist, ceea ce denotă îmbolnăvirea chistului.

La chistul bolnav presiunea interioară poate să scadă foarte mult și aerul este atras în spațiul perichistic prin fistulele bronhice menționate.

Radiologic se constată o semilună aerică **semnul lui MORQUIO** care coafează polul superior al chistului; uneori aerul se resorbe și semiluna aerică dispără. Alteori, semilunii aerice și poate urma supurația și vomica.

Imaginea chistului hidatic închis seamănă cu opacitățile tumorale rotunde și **d i a g n o s t i c u l d i f e r e n t i a l** se face cu alte umbre asemănătoare cu cancerul bronhiolar, cu sarcomul pulmonar și cu metastaza canceroasă unică, cu leziuni tuberculoase, cu chisturi lichidiene.

Chistul hidatic deschis. Prin creștere, chistul hidatic îndepărtează ramurile bronhice din parenchim — între care se dezvoltă — și în cele din urmă le fisurează, se deschide în una din ele și se produce vomica; în locul lichidului eliminat pătrunde o cantitate echivalentă de aer și radiologic se constată: — semnul „arcului dublu“ (fig. 290) descris de IVASSINEVICI, cu aer de o parte și de alta a membranei decolate, — semnul membranei plutitoare descris de către BELOT și PEUTEUIL care se traduce printr-o imagine hidroaerică cu nivel orizontal ondulat datorită membranei proligere, dezlipite și pliaturate, care plutește pe cantitatea reziduală de lichid ca un nufăr pe suprafața apei „del camalote“ după denumirea dată de către LAGOS GARCIA și SEGERS (fig. 291, a).

Sub ondulele membranei pot fi sechestrare uneori bule de aer și imaginea este de bule multiple așezate în sirag de-a lungul nivelului orizontal (fig. 291, b).

Dacă lichidul este eliminat complet, atunci membrana proligeră reținută tapisează partea declivă a chistului (fig. 292, a).

Cavitatea chistului poate fi suflată prin mecanism de ventil bronhic expirator și uneori ia aspectul de clopot, limba acestuia fiind datorată membranei proligere încarcerate la nivelul orificiului bronhiei de dren.

În unele cazuri, cu retenție de membrane, formațiunea chistică în care nu pătrunde aer se ratatinează și imaginea radiologică constă dintr-o opacitate poligonală sau stelară (fig. 292, b).

În primele 2–3 zile după vomică se pot observa reacții parenchimatoase difuze la plămînul cu chistul, uneori și la cel de partea opusă; umbrările dispar după 2–3 săptămâni.

În caz de supurație a chistului hidatic, înainte de vomică se constată că opacitatea chistului sporește brusc în dimensiuni, tonalitatea crește în intensitate și conturul devine șters.

După vomică, se constată nivel hidroaeric de cele mai multe ori orizontal și liniar, dar neondulat deoarece, prin procesul de supurație, membrana proligeră se sfacă, se fragmentează și nu mai are cum să se plăcuteze deasupra lichidului (fig. 293).

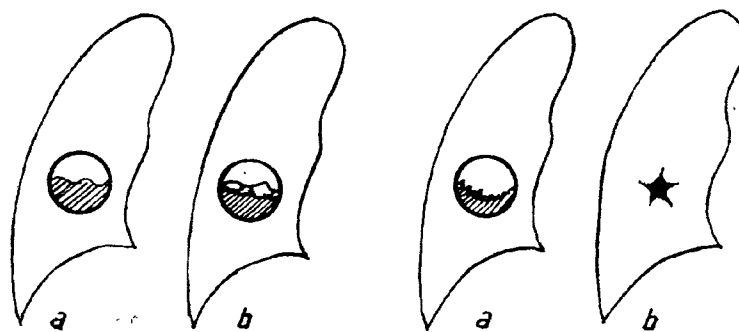


Fig. 291 — a) Semnul membranei plutitoare (BELOT și PEUTEUIL); b) bule de aer sub ondulele membranei.

Fig. 292 — a) Retenția membranei după eliminarea lichidului; b) Opacitatea stelară.

În multe cazuri, cînd supurația se produce după vomică, chistul se poate umple cu lichid și nu mai prezintă nivel hidroaeric.

D i a g n o s t i c u l d i f e r e n t i a l al chistului hidatic supurat se face în primul rînd cu abcesul pulmonar. Chistul hidatic supurat este mai net conturat decît abcesul pulmonar și parenchimul din jurul chistului este respectat la început și umbrit ulterior, în timp ce în abcesul pulmonar lucrurile se petrec invers (GOINARD și TILLIER).

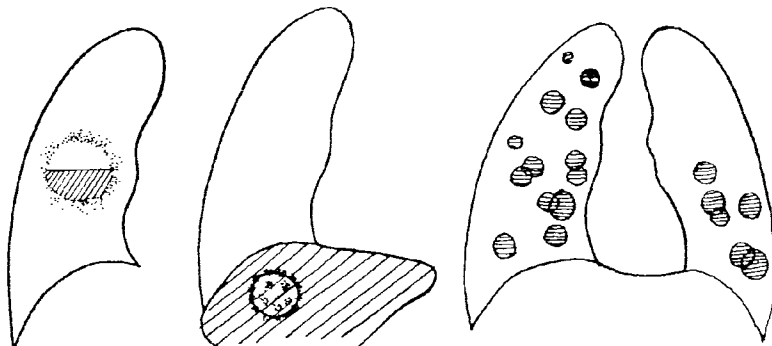


Fig. 293 — Chist hidatic supurat: conturul șters, nivel linear-orizontal, neondulat.

Fig. 294 — Chist hidatic hepatic calcificat.

Fig. 295 — Echinocoza secundară.

Chistul aerian supurat poate realiza o imagine hidroaerică asemănătoare chistului hidatic supurat.

E v o l u ț i e. Chistul hidatic pulmonar are tendință să se vindece singur într-un procent foarte mare de cazuri. După vomică membranele și lichidul se elimină, cavitatea din parenchim se ratatinează, se micșorează și pe locul chistului rămîne o cicatrice fibroasă stelară, cicatrice ce se poate impregna cu grunji calcari (fig. 268).

Chiar și chistele hidatice supurate se pot vindeca în același mod.

C a l c i f i c a r e a chistului hidatic se produce la cele care au *s e d i u h e p a t i c*; în interiorul chistului se pot găsi vezicule fiice și se poate prezenta ca un inel opac care înconjoară de jur împrejur chistul, ca o coajă de ou, sau sub formă de grunji opaci care fac o linie discontinuă în conturul chistului, ori sunt răspândiți neomogen pe aria chistului (fig. 294).

Calcificarea chistului hidatic se produce în adventice și presupune moartea parazitului (BRUMPT), fiind considerată ca o modalitate de vindecare care practic este observată la chistele hidatice hepatice, dar nu se întâlnește la cele pulmonare.

În cursul calcificării, chistul hidatic se poate micșora, iar în cele din urmă rămîne o cicatrice fibrocalcără.

Chistul hidatic la copil poate să aibă dimensiuni foarte mari și deformează toracele; poate să întîrzie dezvoltarea copilului determinînd „infantilism hidatic“.

Echinococoza secundară

Se produce pe cale bronhică și se traduce radiologic prin opacități rotunde multiple (fig. 295); cind diseminarea s-a făcut pe cale hematogenă, aspectul radiologic seamănă cu cel din carciniza miliară, constatindu-se opacități miliare sau micronodulare localizate în mantie.

Tratamentul de elecție al chistului hidic este cel chirurgical și constă fie în enuclearea chistului, fie în exereza segmentului sau lobului în care este situat chistul.

Pentru aceasta este nevoie de localizare radiologică precisă a chistului hidatic în vederea stabilirii căii de acces.

Tratamentul medical cu clorochin urmărește omorfarea larvelor și a dat unele rezultate; poate fi încercat în echinococoza secundară.

CISTICERCOZA PULMONARĂ

Cisticercoza pulmonară este determinată de embrionul hexacant al teniei solium (fig. 283).

Radiologic, la început, se observă opacități nodulare multiple, rotunde sau ovalare, net delimitate, care seamănă cu metastazele cancerioase.

După moartea parazitului noduli se calcifică, în parte, sau în totalitate și imaginea este mai caracteristică (fig. 296).

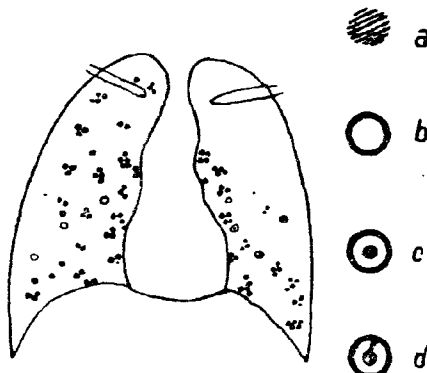


Fig. 296 — Cisticercoză pulmonară. Calcificarea cisticericilor (a, b, c, d).

Tumorile bronho-pulmonare

Clasificarea tumorilor intratoracice este dificilă din cauza multitudinii țesutelor și organelor de la care pot să plece, a straturilor histologice complexe și a sediului lor anatomic variabil (*tumori bronho-pulmonare, tumori pleurale, tumori mediastinale*).

Tumorile bronho-pulmonare pot fi benigne, semimaligne sau maligne și pot lăua naștere din țesutul epitelial sau din cel conjunctiv, mezenchimal.

Tumorile benigne ale țesutului epitelial sunt: papilomul bronhic, polipul bronhic;

— ale țesutului conjunctival sunt: fibromul, lipomul, condromul, angiomyomul, hamartromul etc.

Tumorile maligne pot fi primitive și secundare sau metastatice.

— Tumorile maligne primitive ale țesutului epitelial: carcinomul.

— Tumorile maligne primitive ale țesutului conjunctival sunt: sarcomul, fibrosarcomul.

TUMORILE BENIGNE PULMONARE

Se întâlnesc rar, reprezentă 5% din totalul tumorilor bronho-pulmonare și se diagnostică dificil. În cele mai multe cazuri diagnosticul nu este posibil decât histologic, după intervenție.

Radiologic, tumorile benigne se pot proiecta ca o umbră rotundă în plin parenchim pulmonar. Cind se dezvoltă în lumenul bronhic, se traduc indirect prin tulburări de ventilație (emfizem, atelectazie) și pot fi puse în evidență prin bronhoscopie sau bronhografie cu substanțe de contrast.

Hamartoamele sunt tumorile benigne disembrioplazice, în structura cărora se găsesc mai multe tipuri de *tesuturi* componente ale peretelui bronșic: cartilaj, mucoasă etc.

Adenomul bronhic și *adenomatoza alveolară* sunt considerate, de unii autori, *tumori semimaligne* și au denumiri variate în literatură:

— *Adenomul bronhic* (Jackson) din punct de vedere histologic pare să fie tumoră carcinoidă, cylindroma sau tumoră unică epidermoidă care metastazează uneori și secretează 5-hidroxitriptamină, producând sindromul carcinoid.

— *Adenomatoza pulmonară* după unii autori are punct de plecare alveolar, după alții din epitelul bronhiolelor terminale, de unde și denumirea de carcinom alveolar, carcinom al bronhiolelor terminale, carcinom bronhiolar, carcinom bronhiolo-alveolar. Este tot atât de frecventă la ambele sexe.

Unii autori susțin că adenomatoza pulmonară poate fi o tumoră multicentrică de la început; alții că de la un focar inițial inaparent, de cele mai multe ori, se produc însământări și metastaze per continuatatem, pe cale limfatică, sanguină sau aeriană.

Radiologic, în adenomatoză se pot constata leziuni parenchimatoase disseminate de tip micronodular, asemănătoare cu cele din granulia canceroasă, sau leziuni de tip infiltrativ difuz, asemănătoare cu focarele bronho-pneumonice sau inflamațiile lobare;

— în 26% din cazuri se poate traduce printr-un singur focar opac rotund ca și „cancerul bronhic solitar”, periferic, care pleacă din mucoasa bronhiilor mici. Leziunile se pot însobi de exsudat pleural masiv.

CANCERUL BRONHO-PULMONAR

Este o tumoră malignă primitivă, plecată de la epitelul bronhiilor mari (și intermediare, mai rare), ori de la bronhiile periferice — cancerul solitar. În timp ce *cancerul alveolar* discutat mai sus este excepțional, cancerul bronhic se înținde mult mai frecvent.

Denumirea corectă ar fi de „cancer bronhic”, dar pentru că de la bronhic se extinde în parenchim, se poate utiliza și denumirea de „cancer bronho-pulmonar”. Cancerul bronhic este cea mai frecventă tumoră intratoracică, reprezentând peste 90% din totalul tumorilor maligne cu această localizare. Este tot atât de frecvent ca și cancerul gastric la bărbați și incidenta lui sporește real în ultimele două decenii. Mortalitatea prin cancer bronhic la noi în țară în perioada 1935—1936 a fost de numai 1,9‰, iar în prezent este de 21,6‰ (1970) de locuitori, fiind de 4 ori mai mare la sexul masculin decât la sexul feminin.

Astăzi se știe că majoritatea cancerelor bronhice în care la examen se constată imagine radiologică nu mai sunt operabile (CLAUDE OLIVIER).

Cancerul bronhic se poate dezvolta din mucoasa bronhiilor mari și a bronhiilor intermediare (segmentare și subsegmentare) și în 75% din cazuri are sediul în hil (se dezvoltă central); histologic este de obicei un carcinom cu celule mici,

— sau poate pleca din mucoasa bronhiilor mici de gradul V și mai mici, în 25% din cazuri, și se dezvoltă periferic, ca un nodul solitar fiind, din punct de vedere histologic: adenocarcinom.

Odată cu sporirea posibilităților de diagnostic, numărul cancerelor periferice și intermediare depășește pe cel al cancerelor centrale.

I. **Cancerul bronhiilor mari** (cancerul central) poate avea evoluție endo- sau exobronhică, ceea ce este hotăritor pentru imaginea radiologică.

A — Cancerul endobronhic sau obliterant, în cazurile în care este diagnosticat precoce și are sediul la distanță suficientă de bifurcație, este operabil. În această etapă, el realizează mai multe forme clinico-radiologice care sunt în același timp și etape evolutive.

1. **Cancerul bronhic — varietate bronhoscopică.** Clinic, bolnavul acuză tuse iritativă și uneori elimină spută hemoptoică; la examenul radiologic nu se constată nici o modificare. Dacă, cu toate metodele de examinare nu se explică cauza tusei și a sputei, se practică bronhoscopia și se descoperă modificări ale peretelui sau lumenului bronhic, dacă tumoră este situată în cimpul vizual al bronhoscopului (cimp care se întinde pînă la originea orificiilor bronhiilor segmentare). Leziunea poate fi de tip infiltrant, vegetant sau ulcerant și bronhoscopic se constată rigiditatea peretelui bronhic, prezența unei excrescențe (mugure sau polip) sau prezența unei eroziuni — ulcerații. Se apreciază sediul și întinderea leziunilor, se recoltează produse pentru examenul citologic, se efectuează biopsia.

Dacă în această fază se face bronhografie, se constată:

— în cancerul infiltrant — îngustarea lumenului bronhic (fig. 297, a),
— în cancerul vegetant — prezența polipului care dă o lacună în lipiodol (b),

— în cancerul ulcerant — prezența nișei în care intră lipiodolul (c).

Bronhografia are un cimp de explorare mai larg decît bronhoscopia și precizează în plus locul pînă unde se întinde leziunea distal, precum și modificările bronhice situate distal față de leziune.

Cancerul bronhic incipient trebuie suspectat ori de câte ori la un bolnav de sex masculin, după vîrstă de 40 de ani, există o simptomatologie bronho-pulmonară ori un sindrom paraneoplazic, cărora nu li se găsește nici un motiv.

2. **Cancerul endobronhic, varietate obstructivă.** Dacă tumoră nu este diagnosticată în faza bronhoscopică, leziunea sporește în dimensiuni și îngustează lumenul bronhic, fapt care poate avea consecințe mecanice cum sunt bronhostenoza cu hipoventilație, emfizemul de obstrucție distale carcinomului și atelectasia cu modificări de transparentă.

Hipoventilația incipientă poate fi scoasă în evidență prin mișcări respiratorii forțate, tuse (semne de bronhostenoză, vezi tabelul nr. III, p. 201).

a. În caz de bronhostenoză cu ventil expirator — în inspir, aerul poate să treacă prin lumenul bronhic, pe lîngă obstacolul tumoral și ajunge în parenchimul pulmonar;

— dar în expir, fază în care bronhia se contractă și se îngustează în mod fizologic, lumenul bronhiei bolnave se micșorează și mai mult, aerul

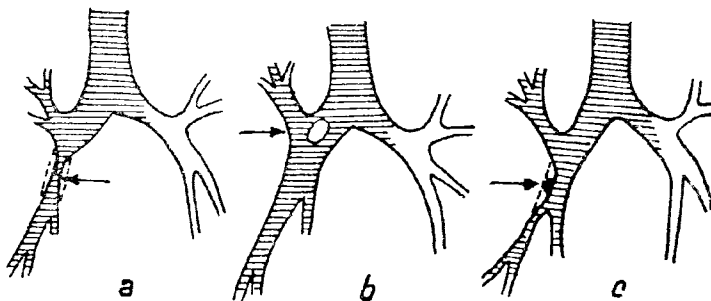


Fig. 297 — Examenul bronhografic al cancerului bronhic: a) leziune de tip infiltrant: rigiditate stenozantă; b) leziune de tip vegetant: polip; c) leziune de tip ulcerant: nișă.

nu poate fi eliminat cu aceeași ușurință din cauza tumorii și se adună după fiecare respirație în teritoriul respectiv (*air trapping*) care parenchim în expir rămâne destins și mai transparent decât teritoriile adiacente. Foarte rar aspectul este sesizat de la sine prin faptul că emfizemul sporește dimensiunile și transparența teritoriului distal tumorii, împinge scizura, diafragmul și mediastinul, bombează peretele toracic.

Astfel ia naștere emfizemul localizat care se poate găsi la un plămîn în întregime, în cazul cătumora are sediul în bronchia principală (fig. 299); la un lob sau la un segment de ventilație dacă tumoră obstruează o bronchie lobară (fig. 298) sau segmentară.

b. Pe măsură ce tumoră crește în dimensiuni, obstruează complet lumenul bronhic și nu mai permite aerului să treacă prin bronchia respectivă, nu-l lasă să intre în inspir în teritoriul alveolar respectiv; aerul sechestrat din teritoriul alveolar al bronhiei obstruate se resorbe repede și se instalează atelectasia, fenomen care este întâlnit mai frecvent și persistă mai îndelung în cancerul bronhic, decât emfizemul pulmonar de obstrucție care este pasager.

Deși tumoră nu se vede la examenul simplu, diagnosticul radiologic este posibil prin semne evidente de atelectazie cum sunt: opacitate difuză și omogenă a teritoriului afectat, micșorarea lui de volum și eventual aspirarea conturului toracic (atractia scizurilor, a mediastinului, diafragmului, grilajului costal) — (fig. 229 și 300).

Atelectasia poate interesa un plămîn, un lob sau numai un segment de ventilație, în raport cu sediul tumorii pe bronchie, iar intensitatea retracției ca și gradul opacității sunt variabile.

Diagnosticul diferențial în această formă trebuie să se facă cu pneumonie primară care poate realiza imagini similare cu cancerul și chiar adenopatii, dar care cedează repede la tratament adecvat; colapsul nu este așa de accentuat ca în cancer și nu se accentuează în cursul tratamentului.

3. În cancerele incipiente în teritoriul atelectatic se pot produce fenomene inflamatorii și supurative, care constituie simptomele — masca — forme i supurate a cancerului bronhic.

Cel mai frecvent, cavitatea de necroză și supurație se scoase într-un focar de atelectazie.

Varietățile de cancer endobronhic menționate au indicație chirurgicală dacă leziunea este suficient de departe de pintenul traheal încât să poată fi făcută ligatura bronchiei principale secționate și dacă nu sînt metastaze ganglionare în mediastin.

Cele mai multe indicații chirurgicale le are cancerul periferic (cancerul bronhiilor mici).

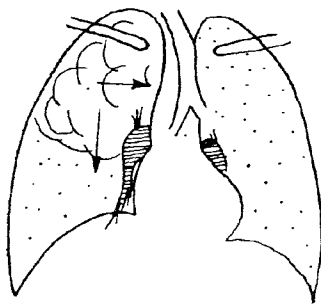


Fig. 298 — Emfizem lobar: aspect în expir.

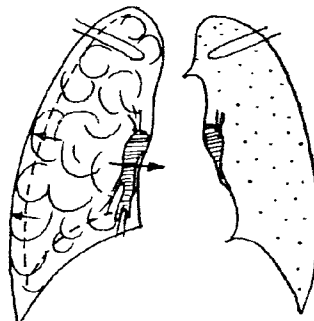


Fig. 299 — Emfizem prin obstrucția bronhiei principale drepte.

În prezent numai 25—30% din cancerle bronhice, în momentul diagnosticului, sînt operabile și supraviețuirile de 5 ani, la cei operați sunt de 25%: În cancerul bronhic diagnosticat tîrziu evoluția naturală se întinde pe o perioadă de 12 luni. Cu tratamentul radiologic sau/și citostatic, imunoterapie, se citează 31% supraviețuirii după un an și numai 2% la 5 ani.

Evoluția cancerului bronhic este progresivă; el infiltrează și se extinde la structurile anatomicice din jur, produce adenopatii satellite și în mediastin, metastaze în creier și schelet. În cancerul central adenopatiile se produc masiv (în 80% din cazuri) și precoce. Cancerul periferic afectează ganglionii mai tîrziu și prima stație este constituită din ganglionii lobari (interbronhici).

Adenopatiile se produc pe aceeași parte cu leziunea și rămîn unilaterale mult timp.

Nu se poate face o corelație precisă între volumul tumorii, sediul ei și gradul metastazelor regionale.

Radiologic, adenopatia se poate manifesta prin opacitate nodulară caracteristică și indirect, prin paralizie de frenic, de recurrent, deformări ale esofagului, ale venelor cave superioare sau trunchiurilor brachiocefalice.

De cele mai multe ori, în opacitatea hilară este dificil de apreciat cît din formație este datorat tumorii primitive și cît adenopatiilor.

Umbră hilului în cancerul bronhic poate fi modificată discret și leziunea nu poate fi identificată și deosebită de vasele hilului

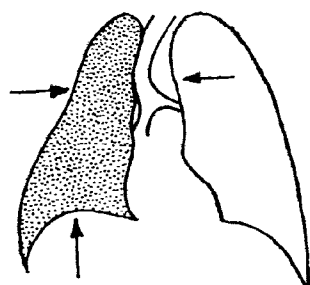


Fig. 300 — Atelactazie masivă prin obstrucția bronhiei principale drepte.

decit prin tomografii sau prin radioscopie „curgătoare“. În genere, în cancer, hilul este mai opac de partea respectivă datorită prezenței tumorii, edemului și infecției. Cind conturul umbrei hilare este lobulat și dimensiunile sporite, iar modificările sunt unilaterale, trebuie să ne gîndim (suspicione) la cancer și să se facă investigațiile în acest sens.

B. *Cancerul central cu evoluție exobronhică* poate realiza mai multe forme anatomo-radiologice:

- cancerul bronhogen ramificat;
- cancerul masiv — nodos al hilului;
- lobita și pneumonia canceroasă;
- cancerul bronhic varietate mediastinală;
- limfangita carcinomatoasă;
- tumorile pleurale și
- pleurezia canceroasă.

1. În *cancerul bronhogen ramificat* tumora care are originea în mucoasa bronhică, infiltrează de la început toate tunicele peretelui bronhic, și se dezvoltă în afara lumenului bronhic în țesutul interstitișal peribronhovascular din hil și se extinde — retrograd — pe căile limfatice (blocate prin adenopatii) situate în trama peribronhovasculară a lobului sau plămînului respectiv.

Radiologic, se constată că umbra hilului este mai mare și din ea se desprind opacități liniare, orientate în sensul desenului vascular, care radiază divergent spre periferia hemitoracelui și se resfiră ca armătura unui evantai (fig. 301).

Nodulul canceros, inițial, nu se vede radiologic (se spune că este minim și inaparent) ci, numai modalitatea lui de extindere în afara căilor aeriene în ganglionii din hil și de-a lungul țesutului interstitișal peribronhovascular. Nu sînt tulburări de ventilație.

2. *Cancerul masiv al hilului* constă într-un nodul umbrat cu dimensiuni variabile, care are sediul în hil și este întins unit cu umbra mediastinului (fig. 302, a).

Conturul medial este pierdut în mediastin, dar conturul lateral poate fi net și arciform. Cu timpul, de la periferia nodului cresc și se resfiră în parenchim benzi peribronhovasculare.

Aceste benzi care se numesc „*picioarele cancerului*“ reprezintă modalitatea de extindere retrogradă a cancerului bronhic de-a lungul spațiilor conjunctivale interstitișale și a limfaticelor peribronhovascularare (fig. 302, b).

In „*forma intermediară*“ a cancerului bronhic, tumora pleacă de la originea bronhiilor segmentare din porțiunea distală a bronhiilor lobare și se manifestă prin focare de atelectazie sau nodul umbrat separat cel puțin inițial de umbra mediastinului printr-o zonă transparentă, realizând „*cancerul parahilar*“.

3.4. *Cancerul lobar și pneumonia canceroasă*. Procesul tumoral care pleacă de la nivelul mucoasei unei bronhii mari din hil sau de la mucoasa unei bronhiole periferice, invadează pe încetul parenchimul vecin și poate cuprinde tot teritoriul unui lob pulmonar (fig. 303).

— Dacă extinderea se face pe cale aeriană și alveolele sunt invadate prin mugurii ce progresează și se întind de-a lungul lumenelor bronhice, ca o plantă agățătoare, apare *pneumonia canceroasă*.

Opacitatea este mai densă decit în *pneumonia bacteriană*, dar mai palidă și neomogenă decit în lobita canceroasă.

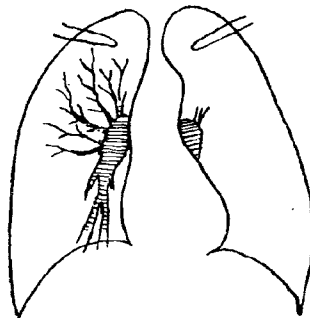


Fig. 301 — Cancer bronhogen ramificat.

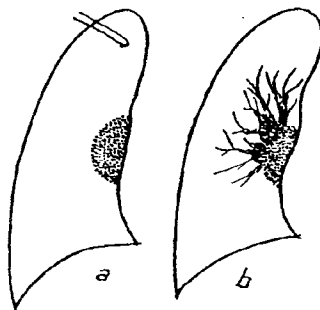


Fig. 302 — a) Cancer masiv nodos al hilului drept; b) extinderea cancerului bronhic de-a lungul spațiilor peribronhovasculare: „piciorușele cancerului“.

— Dacă procesul patologic se extinde de la mucoasă pe cale intersticială și în cele din urmă sănătatea prinse și alveolele, se realizează cancerul lobar. Radiologic se constată o umbră întinsă, net conturată, expansivă, care bombează scizura, peretele toracic se însotește de adenopatii și împinge mediastinul (fig. 303).

— Tonalitatea umbrei canceroase este de intensitatea cea mai mare pe care poate să o realizeze un proces patologic pulmonar de aceeași dimensiuni.

— Din profil umbra are formă și topografie lobară, iar scizurile sunt bombate.

5. Cancerul bronhic, varietatea mediastinală. Leziunea inițială se dezvoltă pe o bronchie mare în hil și cancerul rămâne minimal, inaparent, atât clinic cât și radiologic.

De la leziunea canceroasă inițială, pleacă însămânțări virulente ganglionare la grupurile tributare. Ganglionii hilului și ai mediastinului superior sporesc în dimensiuni, iar tumora primativă se extinde și spre plămîn și spre mediastin, și se traduce atât clinic cât și radiologic prin semne de tumoră mediastinală.

— Clinic se constată semne de compresiune sau invazie a traheei, a esofagului, a nervilor (vag, recurrent, frenic, simpanic), a venelor cave superioare (edem în pelerină, circulație colaterală) și

— radiologic se observă deformarea și lărgirea umbrei mediastinului (fig. 304) care are deseori contur policiclic; din profil, ganglionii hipertrrofiați se proiectează adesea retrosternal. Pot fi identificați cu ușurință ganglionii paratraheali, mai ales cei de la înălțimea marii vene Azygos.

Ganglionii grupului de bifurcație (prinși mai ales în cancerul lobilor inferioiri) nu pot fi puși în evidență decit pe radiografii cu raze dure sau tomografii.

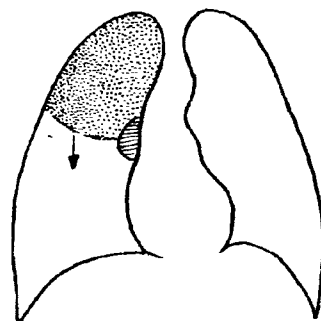


Fig. 303 — Cancer lobar cu bombarea scizurii și adenopatie.

Examenul cu bariu al esofagului arată, în asemenea cazuri, prezența maselor ganglionare mediastinale care infiltrează, comprimă și deviază esofagul și **imografia esofagiană** poate aduce precizări în acest sens (STRNAD).

Cavografie superioară și angiopneumografie pot scoate în evidență ganglionii măriți și leziunile mediastinale la nivelul trunchiurilor venoase brachiocefalice, a căvei superioare și a arterelor pulmonare (deplasare, compresie, ocluzie, circulație colaterală).

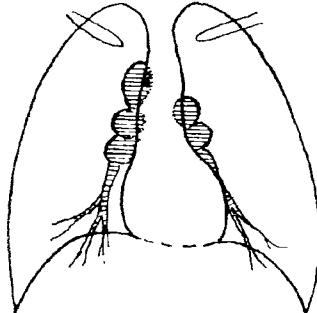


Fig. 304 — Cancer bronhic variante mediastinală.

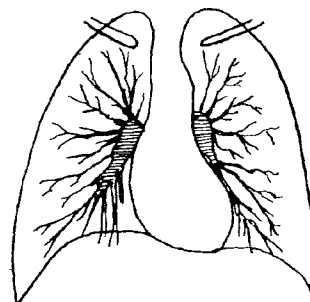


Fig. 305 — Limfangită cancerosă.

Arteriografia selectivă bronhică și intercostală poate demonstra caractere de circulație malignă în jurul opacității pulmonare.

Bronhoscoopia, examenul cu lipiodol al arborelui bronhic și, uneori, tomografia ajută să se precizeze sediul leziunii primare de la care au plecat însămîntările ganglionare.

De altfel, starea mediastinului este precumpăratoare în bilanțul diagnostic al cancerului bronhic, pentru că în funcție de integritatea lui este și indicația chirurgicală.

6. **L i m f a n g i t a c a n c e r o a s ă** poate fi primară sau secundară (metastatică). Se întâlnește în cursul cancerului bronhic minimal sau inaparent și se explică prin blocarea ganglionilor limfatici, fenomen care produce stază pe teritoriul limfatic și însămîntare retrogradă. Dacă limfangita este unilaterală, în cele mai multe cazuri poate fi vorba de un cancer bronhic inaparent.

Radiologic, se constată opacități liniare, orientate în sensul desenului vascular, trabecule care pleacă de la hil și radiază spre periferia toracelui unde se epuizează într-o rețea evidentă. În lungul opacităților liniare se pot vedea, pe alocuri, noduli cancerosi (fig. 305).

7. Cancerul bronhic se mai poate traduce prin **p l e u r e z i e c a n c e r o a s ă**, metastaze nodulare pleurale, sau îngroșare pleurală sub formă de mantie.

II. **Cancerul bronhic periferic sau cancerul bronhiilor mici** nu prezintă simptomologie clinică la începutul evoluției și este descoperit întimplător cu ocazia unui examen radiologic.

Pe radiografie se traduce printr-o opacitate, prin care nu se vede desenul pulmonar (care este invadat și distrus), de formă rotundă (fig. 306) de mărime variabilă, cu diametru între 2–6 cm, situată în plin parenchim pulmonar, la distanță de hil în plină mantie pulmonară — **nodul rotund, solitar**. „Forma rotundă“ este realizată de cancerele bronșice periferice în

100% din cazuri, dar și de cancerele bronhice intermediiare în 25%, de cancerele centrale în 0,7%, de către cancerul alveolar și de metastazele solitare.

Imaginea radiologică seamănă cu un chist hidatic de care se deosebește prin aceea că are opacitate mai mare, „tumorală“ și conturul mai net.

Focarul rotund tumoral are creștere mai vie decât chistul hidatic. Viteza de creștere a cancerului rotund periferic poate fi apreciată mai ușor și mai obiectiv decât a altor cancere prin măsurători succesive.

În hil și mediastin ganglionii sunt măriți (realizează imagine de complex bipolar).

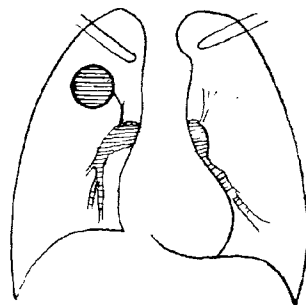
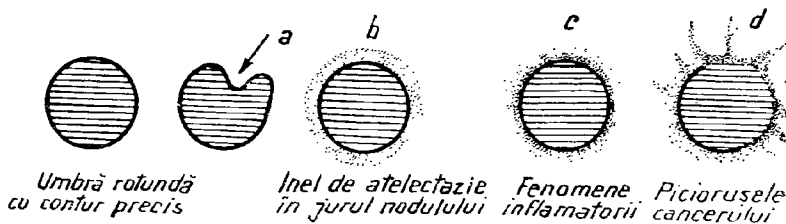


Fig. 306 — Cancer bronhiolar („solitar“, rotund sau cancer periferic).



Umbră rotundă cu contur precis

Inel de atelectazie, Fenomene, Picioarele în jurul nodulului inflamatorii cancerului

Fig. 307 — Conturul nodulului tumoral este net, poate prezenta semnul lui RIEGLER (a), dar poate fi și lipsit de precizie datorită modificărilor din parenchim.

Unele cancere periferice, situate în segmentele D₂ sau V₂ se proiectează pe radiografia de față în hil; ele nu trebuie confundate cu cancerul nodos al hilului.

În cursul dezvoltării, tumoră poate avea caracter ușor polilobat sau ombilicat. Ombilicarea tumorii (fig. 307, a) constituie *semnul lui RIEGLER*, „notch sign“ — care reprezintă un focar de necroză sau de scleroză la periferia tumorii. Conturul nodulului poate fi șters prin prezența unui inel de atelectazie (b) sau prin fenomenele inflamatorii din jur (c).

Conturul tumorii poate crește neregulat, neprecis, iar pe alocuri, prin procesul de extindere al cancerului de-a lungul spațiilor și vaselor limfaticice din septurile conjunctivale bronhovasculare, se constată prelungiri tentaculare în parenchim (fig. 307, d). Aceste „prelungiri“ pot fi date și de desenul pulmonar normal distorsionat, sau de trabecule fibroase — cicatrici ale unor procese patologice vechi.

Cancerul solitar poate crește în dimensiuni pînă ce ocupă un lob în totalitate și duce la lobita canceroasă.

Cancerul solitar se excavă frecvent.

O varietate a cancerului periferic este „cancerul virful plămînului“ descris de către PANCOAST și TOBIAS, în care tumoră opacă uniform are caracter de calotă de îngroșare pleurală, are tendință la dezvoltare pleuro-parietală în regiunea sulcus-ului, cu invazia și distrugerea arcului posterior al coastei I, a II-a sau a apofizelor transversale ale vertebrelor

$D_1 - D_2$; se însoțește de simptome neurologice caracteristice (din partea plexului brahial, dureri și paralizie a membrului superior) și tulburări ale simpaticului cervical (*sindrom POURFOUR DE PETIT* sau *CLAUDE BERNARD-HÖRNER*).

CAVERNA CANCEROASĂ

În masa tumorală se produc tulburări ischemice care au ca urmare necroza unei porțiuni din tumoră. Porțiunea sfacelată se fluidifică și se elimină pe cale bronhică; în locul produsului eliminat apare cavernă în care intră aer. Caverna canceroasă se caracterizează prin aceea că are conturul interior anfractuos datorită mugurilor care tind să o umple. Transparența ei este neomogenă datorită mugurilor tumorali care se proiectează ortograd.

Pereții cavernei pot fi constituși dintr-un strat gros de țesut tumoral, care determină un cadru opac în jurul transparentei cavitare, realizând caverna „cu chenar”, „cu ramă”. (fig. 308).

În cursul evoluției cancerului bronhic pot apărea complicații, care modifică tabloul clinic și radiologic evoluind sub o „mască”. Astfel sînt absesele din focarul de atelectazie și supurațiile secundare retrostenotice; menționăm apariția bronșiectaziilor, instalarea unei pneumonii sau pleurezii paracanceroase, prinderea nervului frenic cu ascensiunea diafragmului și imobilizarea lui.

Osteoartropatia hipertrofiantă pneumică BAM-BERGER—PIERRE MARIE este un sindrom paraneoplazic datorat în cele mai multe cazuri cancerului bronhic care trimite în circulație toxinele corespunzătoare. Metastazele cancerului bronhic se produc pe cale limfatică sau hematogenă în creier (uneori ca manifestări de debut), în oasele plate și coloană, în ficat și în glandele suprarenale, precum și la plăminul opus.

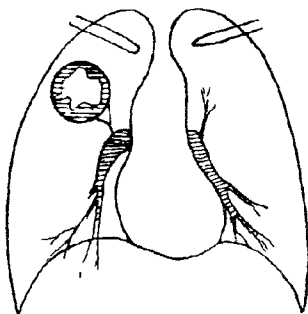


Fig. 308 — Cavernă canceroasă cu chenar (cu ramă) are perete interior anfractuos.

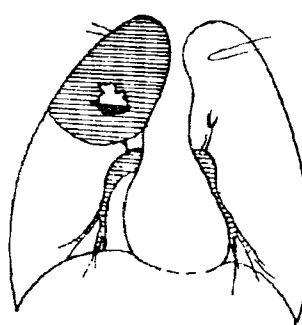


Fig. 309 — Cavernă canceroasă cu nivel de lichid.

Cancerul profesional este sănătatea:

- cancerul azbestului, care apare după circa 12 ani de activitate în mediul cu pulberi de azbest și are evoluție lungă;
- cancerul de crom apare după 22—30 ani de activitate în mediul cu crom, iar

— cancerul emanației de radium după circa 10 ani de activitate (în minele de la Ioachimov și de la Schneeberg).

Cancerul cicatricilor pulmonare este favorizat de apariția unor metaplazii în cursul cicatrizării unor procese patologice cu etiologii variate.

SARCOMUL PULMONAR

Este rar întâlnit, reprezentând 3,3% din totalul tumorilor maligne bronhopulmonare. Se poate dezvolta în plin parenchim (fibrosarcom) sau în hil (limfosarcom — fig. 342, reticulosarcom).

Fibrosarcomul realizează o umbră rotundă care se deosebește de aceea a cancerului solitar prin faptul că este mai geometrică, crește mai repede, se găsește la tineri și nu dă metastaze în ganglionii limfatici, regionali.

Limfosarcomul din hil dă imagini asemănătoare cu limfosarcomul mediastinal nodular.

CANCERUL SECUNDAR AL PLÂMÎNULUI

Reprezintă 4—5% din totalul tumorilor maligne bronho-pulmonare. Metastazele canceroase pleacă de la tumori primitive situate în diferite organe și ajung la plămîn pe două căi: pe cale limfatică sau pe cale sanguină, plămînul constituind un filtru principal.

Embolii și celulele canceroase ajunse la plămîn pot fi oprite în capilaře sau pot trece în circulația generală. Celulele și placardele celulare oprite pot fi distruse (fagocitate) sau pot crește în număr și dău metastaze.

Frecvența metastazelor pulmonare este mare în următoarele tumori: cancerul de sân, cancerul de prostată și de tiroidă, corioepiteliomul, cancerul rectal, seminomul, hipernefromul. În metastazele canceroase ale plămînului se descriu următoarele aspecte radiologice:

— Carcinoza miliară sau granulia canceroasă se traduce radiologic prin noduli diseminati pe ambele arii pulmonare (fig. 310).

Nodulii se deosebesc de cei din granulie tuberculoasă prin aceea că sunt mai mari, de dimensiuni variate și inegale, sunt repartizați neuniform (mai des la bază), cu contur pierdut sau dințat și au tendință să se aranjeze în șirag de-a lungul septurilor și limfaticelor peribronhovascularare.

— Limfangita canceroasă secundară este mai frecventă decât cea primitivă. Se explică prin blocarea cu celule tumorale metastatice a ganglionilor mediastinali, din care cauză se produce și refluxul retrograd al limfei contaminate cu celule canceroase, în lungul canalelor și spațiilor limfatici peribronhovascularare.

Radiologic imaginea seamănă cu aceea a limfangitei primitive (fig. 305).

— Metastazele mediastinale determină hipertrofia ganglionare sau umbriri ale ţesutului celular și ale organelor mediastinale.

Umbra mediastinului este largită și poate avea contur policiclic sau contur dințat zdrențuit, cu prelungiri „în limbi de flacără“ spre parenchim.

Modificările ganglionilor mediastinali se asociază frecvent cu manifestări parenchimatoase de granulie sau cu cele de limfangită canceroasă.

Primele trei forme de metastaze se produc de obicei pe cale limfatică.

Metastazele ce se produc pe cale sanguină se traduc radiologic prin umbre nodulare multiple, situate în ambeii plămâni, fără topografie anumită. Nodulii au formă sferică sau ovoidă, dimensiuni variabile (în raport cu precocitatea diagnosticului). Conturul este desenat net, tonalitatea omogenă și palidă (fig. 311). Nodulii pe alocuri sunt tangenți, suprapuși sau confluenți.

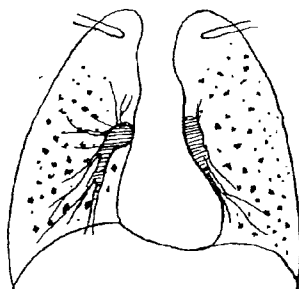


Fig. 310 — Granulie canceroasă: nodulii au dimensiuni variabile.

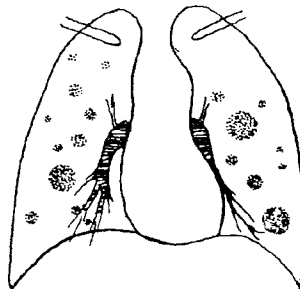


Fig. 311 — Metastaze nodulare de vîrstă diferite.



Fig. 312 — Formă mixtă (noduli și cordoaane de limfanagită, adenopatii).

În genere, la același bolnav nodulii sunt asemănători, ca formă și dimensiune, ceea ce este dovada unui singur puseu de diseminare.

Dacă nodulii sunt de dimensiuni variate aceasta denotă însămîntări repeatate multiple la diferite intervale.

Formele mixte presupun, din punct de vedere anatomopatologic, însămîntări atât pe cale limfatică cât și sanguină, iar

— radiologic se constată noduli de diferite mărimi, trabecule liniare și hipertrrofia ganglionilor mediastinali (fig. 312).

Metastazele bronhice pot obstrua lumenul bronhiilor mici și se traduc prin bule de emfizem sau focare de atelectazie.

Tumorile pleurale

Tumorile pleurale benigne se traduc prin opacități circumscrise, net delimitate, hemisferice, cu baza la peretele costal; sunt întâlnite excepțional.

Tumorile pleurale maligne (primitive sau secundare) pot evoluă clinic sub masca unei pleurezii masive.

Anatomo-patologic se constată:

- noduli tumorali rotunzi sau ovalari, cu dimensiuni de 2—3 cm;
- îngroșare în platoșă a foilelor pleurale;
- prezența de lichid în cavitatea pleurală.

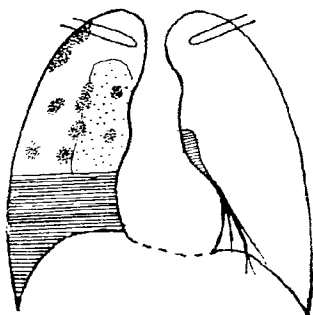


Fig. 313 — Tumoră pleurală. Pneumotorax diagnostic cu lichid la bază; noduli înșiruiți de-a lungul peretelui toracic sau pleurei viscerala.

Diagnosticul radiologic este ușor cind se observă nodulii — fără modificarea pleurei. Nodulii se proiectează ca umbre lipite la peretele toracic.

În formele cu lichid se face punctie pleurală și se practică pneumotorax-diagnostic. După ce se scoate lichidul se introduce aer în cavitatea pleurală, care ajută la contrastarea umbrei nodulilor (fig. 313) care la cazurile tipice sunt înșiruiti la peretele toracic sau pe pleura viscerală, care la plămînul colabat se vede ușor. Tomografia și radiografia cu raze dure scot în evidență nodulii tumorali, chiar în cazurile cind sunt mascați de lichidul pleural.

Tumora primitivă cea mai frecventă este *mezoteliomul pleural*.

Sarcomul pleural primitiv este rar. Poate invadă pleura difuz (caz în care se traduce radiologic prin opacitate ca de pleurezie);

— sau se prezintă ca o umbră omogenă semisferică cu baza la peretele toracic și convexitatea la plămîn;

— sau ca o tumoră liberă în cavitatea pleurală ce pleacă de la pleura diafragmatică și umple treptat întreg hemitoracele fără a da pleurezie.

VI. Examenul radiologic al mediastinului

Generalități

Spațiul mediastinal (fig. 314) este situat între cele două regiuni pleuro-pulmonare și este limitat în față de către stern și cartilajele costale, posterior de coloană, la partea inferioară de diafragm, iar superior de deschiderea toracică.

Spațiul mediastinal poate fi împărțit radiologic în anterior (A) și posterior — spațiul celular al lui HENKE (P), printr-un plan ipotetic orientat în sens frontal care trece prin fața anteroiară a bifurcației traheei (TESTUT) (fig. 315) sau tangent pe fața posteroiară a acesteia (GROEDEL).

Mediastinul posterior P este transparent la razele X motiv pentru care este numit spațiul clar al lui HOLZKNECHT și BÉCLÈRE,

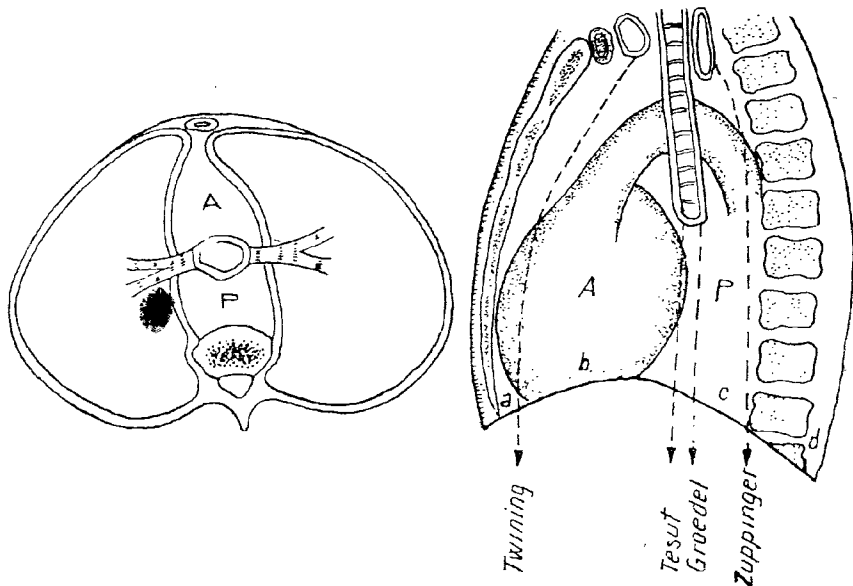


Fig. 314 — Împărțirea radiologică a mediastinului.

Fig. 315 — Secțiune prin mediastinul la nivelul bifurcației traheei.

și la nivelul lui se găsesc pneumogastricul și ramurile lui; nervii recurenți. Se studiază esofagul sau procesele patologice care pleacă de la colonă, de la extremitățile posterioare ale coastelor, de la lanțul simpatic și de la nervii intercostali (fig. 316).

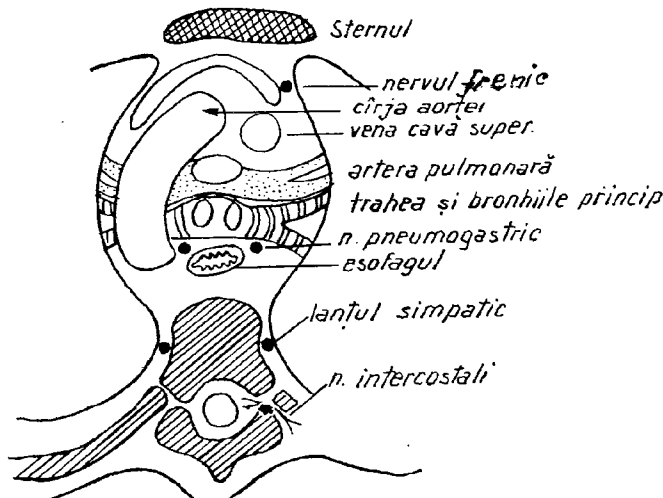


Fig. 316 — Componentele anatomicice din mediastin.

În mediastinul anterior (A) se găsesc cordul și vasele mari de la baza inimii, porțiunea descendență a aortei fiind situată posterior.

Traheea este situată în mediastinul anterior, împreună cu cea mai mare parte a ganglionilor traheo-bronхиici. Cei doi nervi frenici sunt interpuși de fiecare parte, între fața laterală a pericardului și pleura mediastinală.

În mediastinul anterior se găsește spațiul clar retrosternal (spațiul Gravitz) în care se studiază patologia timusului, gușa retrosternală, tumorile teratoide (chistul dermoid).

Tumorile mediastinale reprezintă 25—30% din totalul tumorilor intratoracice și grupează toate tumorile plecate de la formațiile anatomicice din mediastin; în 95% din cazuri sunt tumorile benigne.

HIPERTROFIA DE TIMUS

Timusul este un organ limfoepitelial, care are sediul în partea superioară a mediastinului anterior, în spațiul dintre pediculul vascular și stern.

Lobii timusului situați lateral sunt inegali.

La naștere, timusul are dimensiuni mari, greutatea de 30 g; cu vîrstă involuează și pe locul lui rămâne un pachet celulo-grăsos.

Timusul normal se poate vedea la unii copii ca o „umbără în pînză de corabie” care lărgește umbra mediastinului pe dreapta (fig. 317).

Hipertrofia de timus se întâlnește la sugarii și se manifestă în primele săptămâni după naștere prin semne clinice fruste, alte ori caracteristice compresiunii mediastinale.

Radiologic se constată lărgirea umbrei mediastinale în etajul superior prin hipertrofia unuia din lobi, sau a ambilor lobi ai timusului, care bombează spre aria pulmonară respectivă ca o umbră sferică sau ovoidă (fig. 318); tonalitatea umbrei este omogenă iar conturul lateral este precis și liniar.

În cursul mișcărilor respiratorii sau în plins, forma umbrei și situația contururilor se modifică în sensul că:

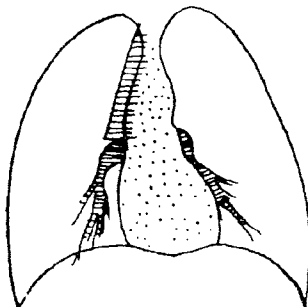


Fig. 317 — Timus normal, care se vede ca o „pinză de corabie”.

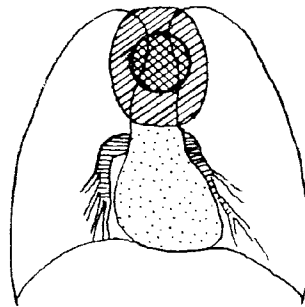


Fig. 318 — Hipertrofia de timus determină o umbră sferică sau ovoidă, cu sediul la partea superioară a mediastinului anterior.

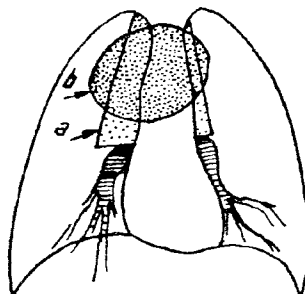


Fig. 319 — Forma umbrei și contururile se modifică în cursul mișcărilor respiratorii:
a — inspir; b — expir.

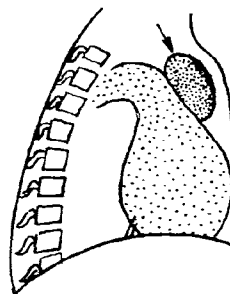


Fig. 320 — Sediul hipertrofiei de timus, din profil.

— din față, în inspir umbra timusului se alungește cranio-caudal și conturul lateral al umbrei se apropie de mediastin; umbra se alungește și se subțiază (fig. 319, a)

— în expir, umbra timusului se lărgește și conturul lateral al umbrei se apropie de peretele axilar al toracelui (b) aceasta constituind *semnul pendulei lui LAMY*.

La polul inferior al umbrei, în cursul inspirului, umbra timusului poate lua aspect unghiular în „nas obraznic”; latura inferioară a umbrei este perpendiculară pe umbra mediastinului. Examinând copilul din profil (fig. 320) se constată că formațiunea patologică are sediul între

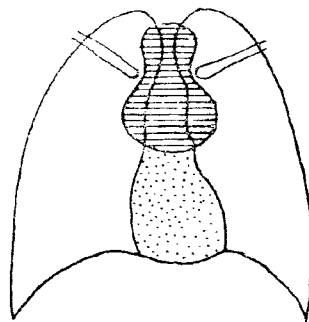


Fig. 321 — Hipertrofia de timus: forma în „ceas de nisip”, în tigvă.

stern și pediculul vascular, umbrind spațiul triunghiular transparent care se află la acest nivel — spațiul lui GRAWITZ.

Forme radiologice ale hipertrofiei de timus. Umbra timusului hipertrofiat poate avea aspect ovoid sau rotund, descris mai sus.

Cind timusul este comprimat de clavicule, ia aspectul bilocular, în ceas de nisip „în tigvă” (fig. 321).

— în unele cazuri umbra mediastinală este largită uniform și are aspect de coloană (fig. 322).

În cazul cînd se produce hipertrofia unui singur lob, se constată largirea umbrei mediastinului, numai pe o parte.

În privința întinderii crano-caudale a hipertrofiei, se descriu:

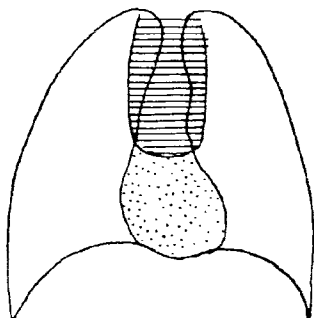


Fig. 322 — Hipertrofia de timus în „coloană”.

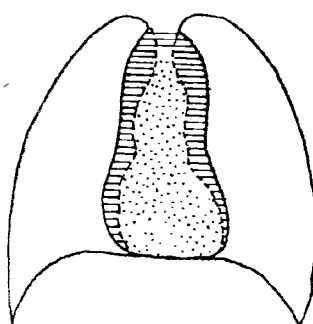


Fig. 323 — Hipertrofia de timus în „mantie”.

— forme cu hipertrofii obișnuite, în care polul inferior al timusului nu depășește caudal sănțul atrio-ventricular (fig. 318, 319),

— și hipertrofia în mantie (fig. 323), în care lobii timusului infăsoară silueta cordului și ajung pînă spre diafragm. Această varietate se confundă cu imaginea din pericardită.

Timusul hipertrofiat este foarte sensibil la razele X, dar această particularitate nu poate fi utilizată pentru diagnostic sau pentru tratament, din cauza riscului cancerigen al iradierei acestei regiuni.

D i a g n o s t i c u l d i f e r e n t i a l al hipertrofiei de timus la sugar se face cu:

— modificările fiziologice ale pediculului vascular în decubit sau în timpul plînsului, împrejurări în care, din cauza stazei, pediculul vascular se largeste iar umbra lui, se întinde cranial pînă la furculița sternală și poate fi confundat cu hipertrofia de timus;

— adenopatia paratraheală dreaptă tuberculoasă se întinde mai tîrziu după naștere și, spre deosebire de hipertrofia de timus, se mai găsesc și alți ganglioni hipertrofați în hil; I.D.R. MANTOUX pozitivă.

a. *Timomul*. Studiile din ultimul timp arată o oarecare frecvență a tumorilor maligne ale timusului la adult. Timomul malign se traduce printr-o opacitate ovoidală care lărgește asimetric umbra mediastinului, are tonalitate omogenă și contur convex. Este situat în spațiul retrosternal și poate fi pus în evidență pe clișeu de profil sau după mediastinografie. În tumorile timusului se pot găsi încrustații calcare fine în masa tumorala sau sub forma de lizereu opac fin la periferie.

Timomul poate evoluă concomitent cu miastenia sau cu o leucoză.

GUŞA RETROSTERNALĂ

Mărirea glandei tiroide datorită unor procese hiperplazice poartă denumirea de gușă. Ea poate fi difuză, parenchimatoasă sau nodulară.

Gușa cervicală poate avea dimensiuni variabile. Cind are dimensiuni mari poate atîrna la baza gâtului și umbrește omogen ambele vîrfuri pulmonare în partea lor medială, deși este la exteriorul cutiei toracice.

Gușa cervicală poate să se dezvolte astfel încît să intre cu polul său superior în deschiderea superioară a toracelui (*gușa cervico-mediastinală CARCASSONNE*).

Gușa plonjantă este forma în care la fiecare inspir polul inferior al masei cervicale pătrunde în cavitatea toracică, în special la emfizematoși și la bătrâni.

În *gușa retrosternală*, masa tiroidiană se dezvoltă în aşa măsură, încit o porțiune importantă a ei are sediul permanent intratoracic (fig. 324) (*gușa mediastino-cervicală*).

Gușa aberantă (sau *gușa mediastinală independentă*) se dezvoltă dintr-un mugure tiroidian izolat de masa glandei cervicale și evoluează în mediastin fără ca să aibă continuitate cu tiroïda cervicală aşa cum are gușa plonjantă și gușa retrosternală.

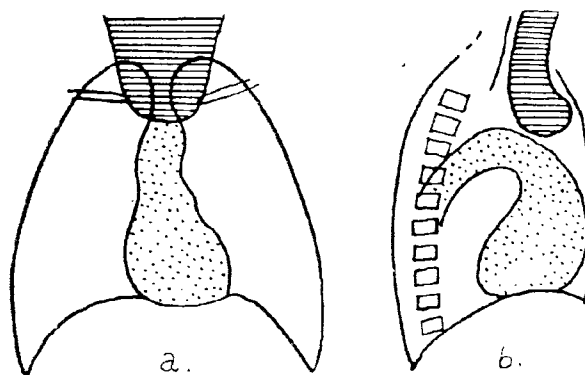


Fig. 324 — Gușa retrosternală.

La examenul radiologic se constată că formațiunea bombează:

- în special în spațiul retroclavicular din dreapta,
- în mediastinul posterior între trahee și esofag de unde denumirea de (*gușă accesorie interviscerală* (fig. 325, a, b, c), sau
- în spatele esofagului și realizează *gușa retroviscerală*.

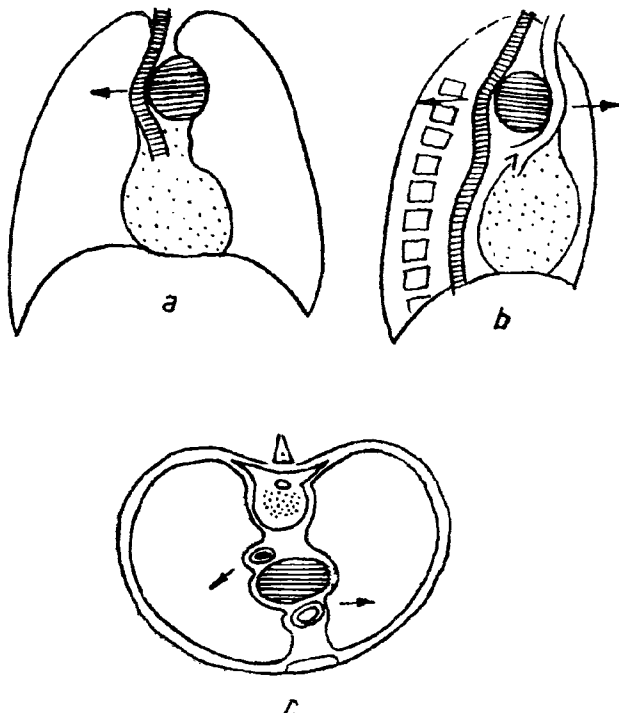


Fig. 325 — Guşa accesorie „interviscerală“ (c) împinge esofagul lateral și posterior (a, b) iar traheea anterior (b).

L a e x a m e n u l r a d i o l o g i c se constată că:

A. Guşa retrosternală largeste și deformează umbra mediastinului superior. Pe imaginea din față, umbrarea are formă conică, sau de trapez (fig. 324) cu latura mare la partea superioară, latură care este neprecisă deoarece umbra se continuă și se pierde treptat în masa tiroidiană și în părțile moi cervicale. Conturul lateral și cel inferior sunt precise. În unele cazuri conturul este dat de o linie arciformă și în ansamblu realizează imaginea de cască (militară) inversată sau de castron (fig. 326).

Formațiunea poate fi biloculată la deschiderea superioară a toracelui și realizează imagine „în ceas de nisip“, „în limbă de clopot“ (fig. 321).

În guşa parenchimatoasă tonalitatea umbrei este omogenă.

În guşa nodulară, opacitatea poate fi neomogenă datorită nodulilor, iar conturul policiclic (fig. 327).

Din profil, formațiunea opacă se proiectează în mediastinul anterior.

În guşa se poate produce *traheomalacie*, cu deformarea traheei în lamă de sabie în inspir; se produc frecvent hemoragii care se transformă cu timpul în zone calcare care sunt ușor de recunoscut radiologic. Calcificările din acest etaj al mediastinului pot avea sediul în gușă, dar pot fi și în peretei unui anevrism al aortei, în ganglionii paratraheali sau într-un chist dermoid.

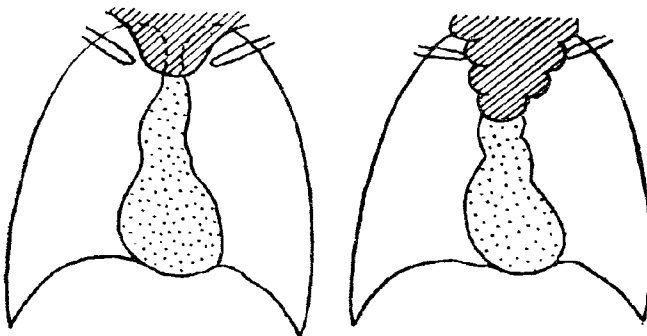


Fig. 326 — Imagine de „casă“ inversată, „de castron“.

Fig. 327 — Guşa nodulară are contur policiclic.

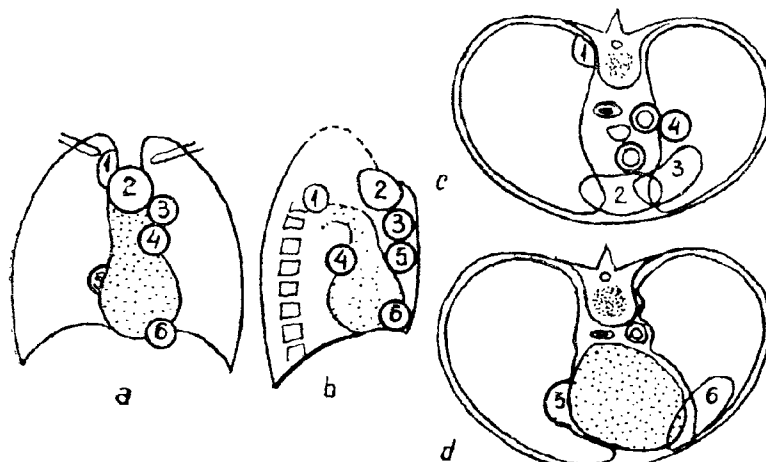


Fig. 328 — Sediul de elecție al unor frmațiuni tumorale și chistice mediasinale (a și b); secțiune la înălțimea pediculului vascular (c); secțiune deasupra diafragmului (d); 1 — ganglioneurinom; 2 — timus, gușă retrosternală; 3 — chist dermoid; 4 — chist bronhiogenic; 5 — diverticul pericardic; 6 — chist pleuropericardic.

În timpul deglutitionii umbra gușei retrosternale urcă odată cu laringele.

B. *Guşa accesorie aberantă* se traduce radiologic pe imaginea din față, printr-un nodul opac și rotund sau ovoid cu contur net, al cărui pol superior este izolat de părțile moi cervicale, nodul care nu se mobilizează în deglutition. (fig. 329); poate conține calcificări. Din profil, formațiunea opacă are sediul în mediastinul anterior (fig. 330); excepțional gușa aberantă are sediul în spatele traheei sau al esofagului, organe pe care le împinge și deformează (fig. 325).

Dacă gușa este hormonal activă, masa patologică mediastinală poate fi identificată scintigrafic cu ajutorul iodului radioactiv.

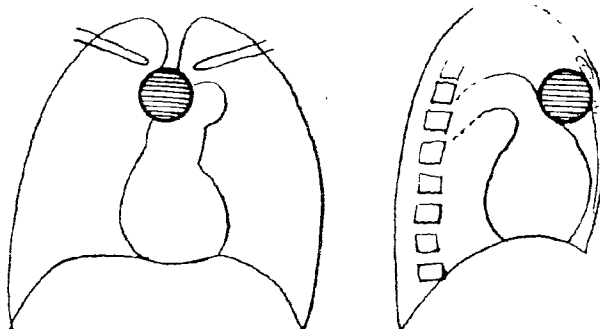


Fig. 329 — În guşa aberantă, din față, se constată un nodul opac ce poate fi confundat cu un anevrism.

Fig. 330 — Din profil, formațiunea are sediul în mediastinul anterior.

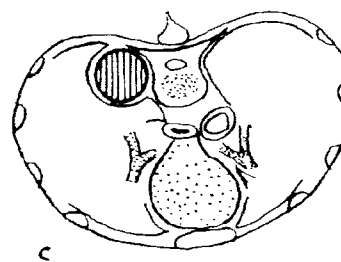
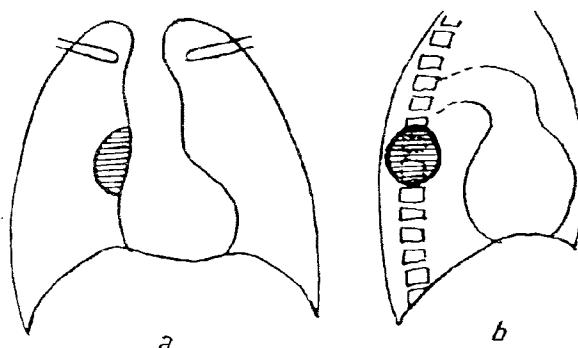


Fig. 331 — Sediul juxtavertebral al ganglioneurinomului.

b. În caz de *cancer tiroidian intratoracic*, formațiunea patologică are dimensiuni variabile de la caz la caz, contur neprecis și este aderentă la organele din jur pe care le infiltrează; nu se mobilizează în deglutitie; determină sindrom mediastinal și se însoțește precoce de metastaze osoase și pulmonare.

TUMORILE MEDIASTINALE NEUROGENE

Au punct de plecare din elementele celulare nervoase cu potențial embrionar ale lanțului simpanic juxta-vertebral, sau ale nervilor intercostali la ieșirea lor prin canalul rahidian, sau ale ramurilor comunicante. Histologic ele se diferențiază în ganglioneurinom, neurinom sau schwannom și neurofibrom.

La examenul radiologic se constată o formațiune opacă, rotundă sau ovoidală, mascată în parte de mediastin, sau semilunară, lipită de coloana vertebrală, cu convexitatea spre plămîn (fig. 331, a).

Sediul obișnuit este la înălțimea claviculei cu dimensiuni de 3—4 cm lungime și 2—3 cm lățime.

Tonalitatea opacității este omogenă, intensitatea ca de părți moi.

Conturul formațiunii este net, tras parcă cu creionul.

Uneori, în jur se poate observa o dungă subțire, care pare că subliniază tumoră și este datorată pleurei mediastinale, dislocată de pe peretele respectiv al sănțului casto-vertebral de către tumoră în dezvoltare.

În poziții oblice și din profil (fig. 331, b) tumoră se proiectează pe coloană sau chiar îndărătul coloanei în sănțul costo-vertebral în timp ce spațiul mediastinal este liber.

Semnul cel mai caracteristic pentru neurinom constă în faptul că, în orice incidentă am roti bolnavul, nu reușim să izolăm umbra tumorii de umbra coloanei vertebrale, cu care rămîne solidară (fig. 331, c).

În cursul evoluției pot apărea modificări osoase care constau în:

— lărgirea găurii de conjugare prin care trece rădăcina nervului pe care s-a dezvoltat neurinomul prin eroziunea pediculilor vertebrați (fig. 332).

— îndepărțarea și uzura coastelor situate de o parte și de alta a tumorii (a).

Evoluția este foarte lentă, simptomatologia clinică foarte redusă, tratamentul este chirurgical.

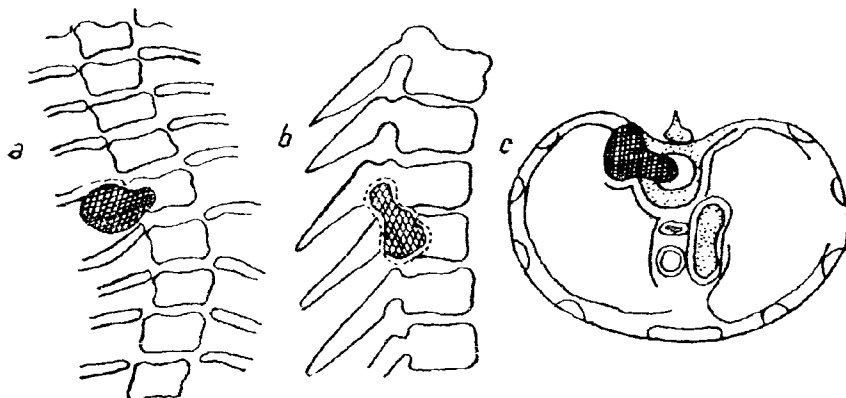


Fig. 332 — Neurinomul în „bisac“ ia naștere în canalul rahidian la originea nervilor rahidieni (c), lărgeste gaura de conjugare (b), alterează fața posteroioră a corpilor vertebrați și se dezvoltă în „ceas de nisip“ în spațiul intercostal, îndepărțind coastele (a).

Tumorile neurogene maligne (neuroblastom, simpatogoniom) cu dezvoltare rapidă, simptomatologie de sindrom mediastinal, alterează starea generală și dău metastaze osoase. În masa tumorală se pot produce calcificări.

TUMORILE DISEMBRIOPLAZICE MEDIASTINALE — TERATOAMELE

Rezultă dintr-un proces vicios de embriogeneză și în cazul cind sunt constituite din elemente tisulare locale autohtone din mediastin, poartă numele de *disembrioame homoplastice* (chistul bronhiogen, chisturile pleuro-pericardice), iar cind sunt constituite din elemente tisulare aberante, muguri care provin de la organe (din afara toracelui) poartă numele de *disembrioame heteroplastice* (chistul dermoid).

Chistul bronhiogen se dezvoltă, în afara țesutului plămânilui, în mediastinul mijlociu, dintr-un mugure bronhic anormal ce pleacă din portiunea toracică a tracheei, de la bifurcație sau de la trunchiul bronhiilor principale. Radiologic, se traduce printr-o formă opacă ovoidală cu diametru de 6—8 cm, cu contur net și tonalitate lichidiană, situată paramediașinal, cu unul din poli la finățimea hilului (fig. 333).

Chistul pleuro-pericardic are originea în muguri sau pungi ale cavității coelomice primitive, care se dezvoltă ulterior sub formă de chist lichidian, situat de obicei la baza plămânilui drept, în sinusul costo-diafragmatic anterior (fig. 334). Chistul are de obicei formă ovoidă sau sferică și își schimbă aspectul în raport cu respirația și postura. Uneori este separat de umbra cordului sau diafragmului printr-o linie transparentă dată de un sept grăsos.

Diagnosticul diferențial al unor tumoră și formări chistice mediastinale, în raport cu sediul lor, poate fi făcut cu ajutorul schițelor de pe fig. 328, pe care este marcat și *diverticul pericardic* (5) și *chistul pleuro-pericardic* (6).

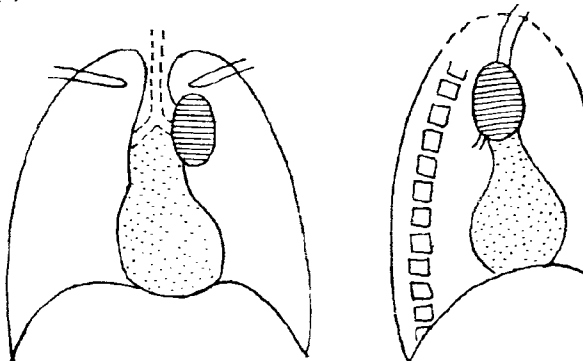


Fig. 333 — Chist bronhiogen.

Chistul dermoid face parte din grupul teratoamelor heteroplastice, tumori de tip embrionar care se dezvoltă din incluziuni tisulare care nu iau parte în mod normal la arhitectura mediastinului, dar care rămân incluse, ectopice în partea mijlocie și anterioară a mediastinului.

Chistul dermoid este constituit din țesuturi derivate predominant din ectoderm și se traduce radiologic:

- din față printr-o umbrire rotundă cu sediul în mediastinul anterior și superior, depășind conturul mediastinal spre luminozitatea pulmonară;
- recunoaștem că este chist dermoid în cazul cînd în interiorul umbrei se găsesc formațiuni osoase anormale, dinți și smocuri de păr în unele cazuri, depozite calcare la periferia umbrei (fig. 335);
- din profil umbra este situată în mediul anterior;
- în unele cazuri, umbra chistului dermoid are două tonalități separate printr-un nivel orizontal, (*semnul PHEMISTER*) (fig. 336).

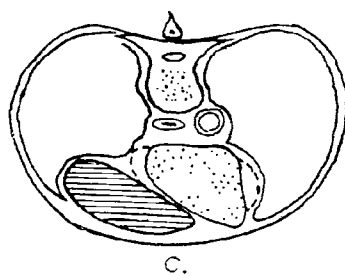
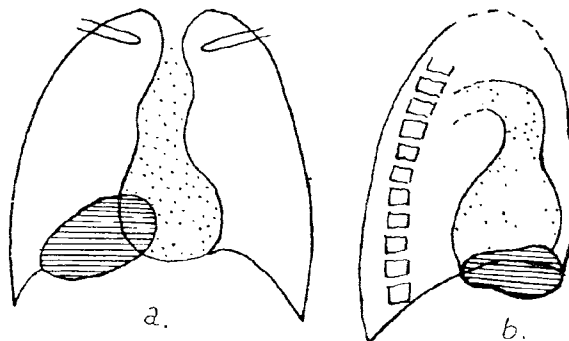


Fig. 334 — Chistul pleuro-pericardic se dezvoltă în sinusul costo-diafragmatic anterior.

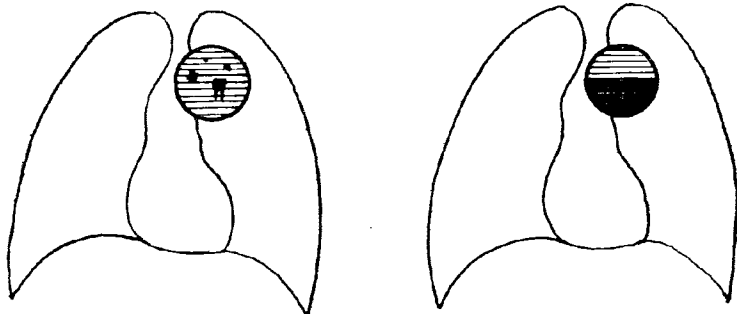


Fig. 335 — Chist dermoid cu inclusiuni dentare.

Fig. 336 — Chist dermoid cu nivel orizontal: *semnul PHEMISTER*.

Evoluția este lentă; tratamentul este chirurgical. Teratoamele cu caracter malign sănt diagnosticate pe baza evoluției, a reației ASCHEIM și ZONDECK sau după extirpare, pe baza examenului histologic.

TUMORILE MALIGNE MEDIASTINALE

Limfogranulomatoza malignă HODGKIN. Este o boală cu etiologie necunoscută, care produce modificări în țesutul reticulo-histiocitar și determină hipertrofii ale ganglionilor limfatici și ale altor organe bogate în țesut reticulohistiocitar, cum sănt splina și ficatul.

Clinic. boala HODGKIN evoluează cu febră intermitentă, cu hipertrofii ganglionare (poliadenopatii cervicale, axilare, inghinale), spleno- și hepatomegalie, eozinofilie, leucocitoză cu limfopenie. Boala evoluează în pusee și are sfîrșit letal după 5—10 ani de la debut.

Radiologic, se constată hipertrofii ale ganglionilor traheo-bronhici care determină lărgirea umbrei mediastinale în cele 2/3 superioare, de obicei pe ambele părți. Tonalitatea umbrei mediastinale este omogenă, iar conturul este net și policiclic (fig. 337).

Fiecare ganglion conglomerat în umbra mediastinului își prezintă în parte conturul său, care depășește elementele anatomicice normale ale mediastinului. În multe cazuri conturul umbrei mediastinului este liniar, dar prin transparență se întrevăd formațiuni ganglionare (fig. 338).

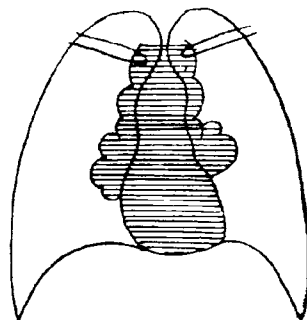


Fig. 337 — Limfogranulomatoză malignă HODGKIN. Lărgirea umbrei mediastinale în cele două treimi superioare; contur polyciclic.

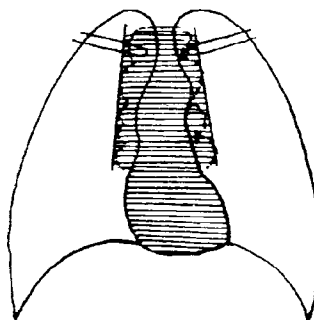


Fig. 338 — Umbreă „în coloană“, prin care transpar formațiunile ganglionare.

Dacă procesul patologic străpunge capsula ganglionară și se extinde la țesutul pulmonar din jur, conturul net al umbrei mediastinale se modifică, dispără și în locul arcurilor multiple se constată prelungiri umbrite în sînul parenchimului în lungul trabeculelor și septurilor limfatice, comparate cu vîrfurile de flacără (fig. 339).

În cursul bolii se poate întîlni pleurezia unilaterală. Lichidul poate cuprinde întreg hemitoracele și maschează în parte caracterele radiologice ale limfogranulomatozei.

Limfogranulomatoza malignă poate determina focare umbrile pulmonare și leziuni osoase de vecinătate.

Tratamentul limfogranulomatozei maligne constă în iradierea cu raze X sau gamma a pachetelor ganglionare periferice afectate și a celor simetrice, a ganglionilor mediastinali și eventual a ganglionilor abdominali cu doze antitumorale (5000 Rad per pachet).

În formele generalizate se administrează citostatică polichimioterapie după schema MOPP, a lui DE VITA (inițialele de la Mustard nitrogen, Oncovin (Vincristine), Procarbazine (Natulan), Prednison).

În timpul tratamentului cu radiatii sau citostatică se constată că masele ganglionare își reduc dimensiunile pe incetul și chiar dispar, adesea cu prețul unei leucopenii severe.

În caz de recidivă, hipertrofiile ganglionare apar la același grup sau la grupe ganglionare vecine.

Din grupul „boilor de sistem“ limfogranulomatoza malignă este considerată în prezent ca o boală inițial localizată (unicentrică) și curabilă în care se pot obține vindecări cu supraviețuire de peste 15 ani.

Limfoamele nehodkiniene. Sunt mai rar întâlnite decât limfogranulomatoza, pot avea structură histologică de limfosarcom sau de reticulosarcom și tabloul clinic-radiologic asemănător.

Limfosarcomul se întâlnește la vîrstă tînără și atunci cînd este generalizat prinde ganglionii periferici și pe cei profunzi și poartă nume de boala lui Kundrat.

În mediastin, tumoră pleacă de la ganglionii limfatici sau de la alte organe bogate în țesut limfoid cum este timusul.

Reticulosarcoamele sunt întâlnite mult mai rar.

La examenul radiologic se constată lărgirea umbrei mediastinale în cele 2/3 superioare, pe ambele părți. Conturul mediastinului are de foarte multe ori caracter policiclic și este greu de deosebit de limfogranulomatoză, de obicei este:

- în linie dreaptă și realizează umbră „în coloană“ (fig. 340);
- alteleori conturul este o linie ușor bombată în afară și mediastinul realizează „imagină în butoi“ (fig. 341);
- în cazuri rare, limfosarcomul poate fi de *tip nodular* (fig. 342) în care caz se observă un singur ganglion hipertrofiat și diagnosticul diferențial este mai dificil.

Limfomul giganto-celular (BRILL—SYMMERS) reprezintă o formă de treiere între limfoamele benigne și cele maligne sau o formă atipică a limfosarcomului, cu evoluție mai prelungită. Diagnosticul este posibil histologic.

Diagnosticul diferențial între limfosarcom și limfogranulomatoză, este posibil întrucît în limfosarcom predomină adenopatiile cervicale și lipsesc cele axilare și inghinate, nu există splenomegalie, iar evoluția este rapidă.

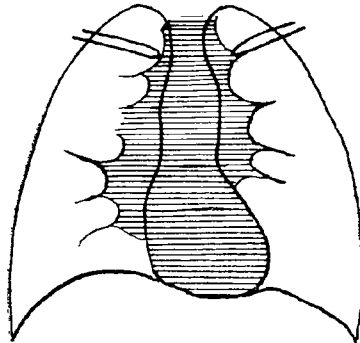


Fig. 339 — Limfogranulomatoză malignă: prelungiri „în vîrfuri de flăcără“.

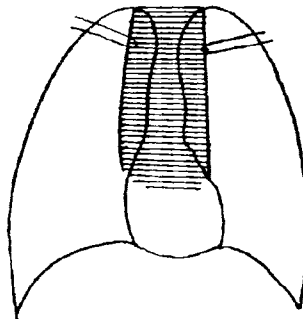


Fig. 340 — Limfosarcom:
„umbră în coloană“.

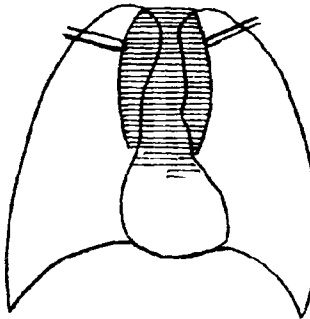


Fig. 341 — Limfosarcom:
„imagine în butoi“.

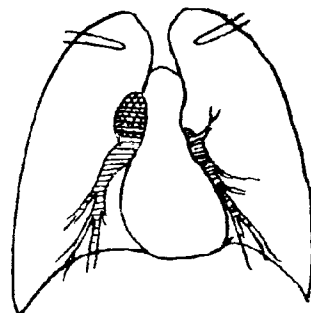


Fig. 342 — Limfosarcom de
tip nodular.

Modificările mediastinale în leucemie. În leucemia limfatică pe lingă hipertrofia ganglionilor periferici și abdominali, spleno- și hepatomegalie, se constată, în cazuri rare, și hipertrofia ganglionilor mediastiniali (leucoame); aceștia nu au tendință la confluență și apar ca umbre rotunde sau ovoidale izolate.

Hipertrofia ganglionilor mediastiniali se întâlnește și în *metastazele cancerioase*.

Diagnosticul diferențial între diferite hipertrofii ganglionare se face și cu ajutorul radioterapiei de probă, știindu-se că limfosarcomul este cel mai sensibil la raze X și umbra lui se micșorează după cîteva sedințe.

Limfogranulomatoza este sensibilă, dar ganglionii retrocedeză în cîteva săptămîni de zile și după cantități mari de raze X, în timp ce ganglionii hipertrofați din cauza metastazelor de la cancerele epiteliale nu sunt sensibili la razele X și umbra lor nu se micșorează.

Mediastinita acută

Procesele inflamatorii ale țesutului conjunctiv mediastinal sunt excepționale. Ele pot rezulta după perforația esofagului și faringelui, în caz de corpi străini, de cancer sau după introducerea de instrumente în scop diagnostic sau terapeutic (esofagoscopie, dilatații) caz în care se produce o ruptură esofagiană traumatică.

L a e x a m e n u l r a d i o l o g i c se constată lărgirea umbrei mediastinale și deplasarea laterală a marginilor sale datorită țesuturilor mediastinale tumefiate; contururile mediastinului lărgit încep să fie șterse, datorită edemului inflamator ce însoțește mediastinita.

Cînd s-au produs perforații se observă și nivel hidro-aeric. Esofagul este deplasat, de obicei înainte, colecția avînd sediu prevertebral; se poate produce exsudat pleural sau pericardic.

Mediastinita cronică

Este întîlnită mai rar decît mediastinita acută și apare în urma unei adenopatii tuberculoase cu periadenită, în sifilis, micoză, silicoză, de la care se propagă un proces de scleroză la țesutul conjunctival mediastinal și determină aderențe sau un bloc invadant față de organele vecine cu obstrucția venei cave superioare.

Diagnosticul poate fi confirmat prin cavografie, examenul cu bariu al esofagului, mediastinografie.

Mediastinita fibroasă idiopatică este excepțională.

VII. Afecțiunile pleurei

Dacă pleura sănătoasă este subțire și nu realizează imagine radiologică decit în anumite condiții anatomicice și de optică radiologică, procesele patologice ale pleurei pot să determine:

- excese de opacitate prin ingroșarea foitelor pleurale sau prin producerea de lichid între aceste foite;
- creșterea transparenței toracelui (pneumotorax) și
- imagini mixte (hidro-pneumotorax).

Modificările radiologice umbroase variază, după cum este vorba de:

- pleurezii cu lichid, *pleuritis humida*;
- pleurite congestive inflamatorii, pleurita fibrinoasă; *pleuritis siccata*;
- pahipleurite și cicatrici pleurale care sunt sechele după primele două grupe de afecțiuni;

Modificările patologice pot interesa marea cavitate pleurală sau pot fi localizate, închisate la anumite portiuni ale acesteia sau la scizuri.

Pleureziile exsudative ale marii cavități

Etiologie. Pleureziile pot fi secundare și primitive (sau autonome).

— *Pleureziile secundare* apar în cursul leziunilor pulmonare tuberculoase evolutive, la cardiați în hidrotorax, în cursul afecțiunilor inflamatorii acute pulmonare, în infarct și în neoplasmul pulmonar, în sindromul din tumorile de ovar MEIGS etc., pe scurt, ori de câte ori în parenchimul pulmonar se găsesc focare patologice inflamatorii.

— S-a dovedit că *pleureziile primitive* sunt în cele mai multe cazuri (90%) de natură tuberculată. Dovada originii tuberculoase rezultă din observațiile necroptice ca și din frecvența cu care tuberculoza pulmonară se manifestă în timp în urma acestei pleurezii aparent primitive. Proba directă — punerea în evidență la microscop a bacilului Koch — nu se poate face, dar natura tuberculoasă este determinată în 60—70% din lichidele pleurale examineate, prin inocularea lichidului de punctie la cobai sau prin culturi.

Unii autori cred că pleurezia este produsă de o formă filtrabilă a bacilului Koch.

Din punct de vedere *patogenic* pleurezia este datorată extinderii bacilului Koch la pleură, din aproape în aproape, de la o leziune discretă din parenchim sau ganglionii traheo-bronhici; foarte rar leziunea pleurală este consecutivă unei diseminări hematogene și, în acest caz, lichidul pleural poate fi asociat cu lichid în alte seroase. În ambele împrejurări, pleurezia sero-fibrinoasă are o legătură strânsă cu momentul primoinfecției (apare între 3—7 luni de la pozitivarea reacției la tuberculină).

Pleureziile sunt rare la copii, la care pot fi de natură reumatismală; frecvența lor sporește cu vîrstă și la adulțul tînăr sunt foarte frecvente și au natură tuberculoasă.

În etiologia pleurezilor, în afară de tuberculoză, mai sunt incriminate reumatismul articular acut și gripe.

În majoritatea cazurilor pleurezia sero-fibrinoasă interesează marea cavitate pleurală, predominanța localizării în dreapta fiind explicată prin raporturi mai strînse a ganglionilor limfatici din hil cu scizura interlobară.

Anatomie patologică. La început foitele pleurale prezintă hipoperemie difuză, apoi sunt îngroășate și acoperite cu depozite de fibrină (false membrane), care dau aspect de „limbă de pisică“.

Țesutul subpleural este infiltrat, vasele sangvine sunt dilatate și ia naștere un țesut vascular de neoformăție care distrug endoteliul pleurei și invadă falsele membrane. În cavitatea pleurală trec serozitate și elemente figurate.

La început se îngroășă foitele pleurale, ulterior apare și lichidul care se adună în partea cea mai declivă a cavității pleurale.

Radiologic, în pleurezii, se apreciază sediul, cantitatea și uneori evoluția lichidului precum și starea parenchimului pulmonar subjacent.

Pleurezia serofibrinoasă se traduce prin:

- semne directe (umbrire toracică de tip lichidian) și
- modificări indirekte din partea diafragmului, a peretelui toracic și a mediastinului.

Formele clinice și radiologice. În raport cu timpul cât a trecut de la îmbolnăvire și cu cantitatea de lichid din cavitatea pleurală se descriu următoarele forme clinice și radiologice:

- pleurezii incipiente;
- pleurezii cu lichid în cantitate mijlocie;
- pleurezia masivă.

Semnele radiologice ale pleureziei incipiente sunt de cele mai multe ori funcționale. În faza de congestie pleurală și mai tîrziu, cînd cantitatea de lichid încă nu este suficientă ca să se traducă prin umbră la baza hemitoracelui respectiv, se constată *poziție mai înaltă și mobilitate mai redusă a diafragmului*, atitudine ce contrastă cu diafragmul de la partea sănătoasă, care are poziție și mobilitate normală sau chiar exagerată complementar (fig. 343).

În zilele următoare lichidul crește în cantitate, la 50—100 cc și se adună în sinusul costo-diafragmatic posterior care este porțiunea cea mai declivă a cavității pleurale. *Din față*, lichidul este mascat de diafragm și nu se vede.

Pentru ca să se pună în evidență cantitatea mică de lichid din pleureziile incipiente, bolnavul trebuie examinat din profil cu tubul lateral incidentă în care sinusul pleural costo-diafragmatic posterior nu mai este mascat de umbra hepatică, ca pe imaginea din față.

În unele cazuri bolnavul trebuie așezat în anumite poziții. Dacă se culcă bolnavul *pe masă* pe partea afectată (fig. 344) lichidul migrează de-a lungul peretelui axilar al toracelui care, în această atitudine, constituie punctul decliv al cavității pleurale și se observă sub forma unei benzi opace care flanchează peretele axilar al toracelui, asemănătoare cu *pleurezia lamellară*, descrisă de FLEISCHNER, la copii, la care se poate observa chiar în ortostatism.

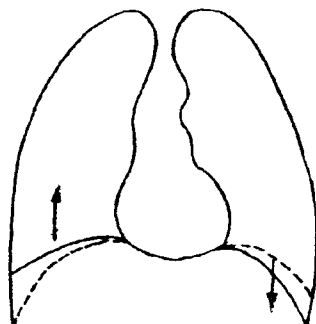


Fig. 343 — Pleurezie incipientă dreaptă, semne funcționale.

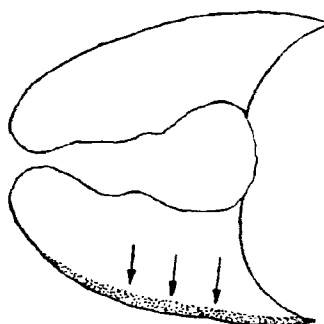


Fig. 344 — În decubit lateral lichidul migrează de-a lungul peretelui axilar și realizează o bandă opacă lamelară: *pleurezie* FLEISCHNER.

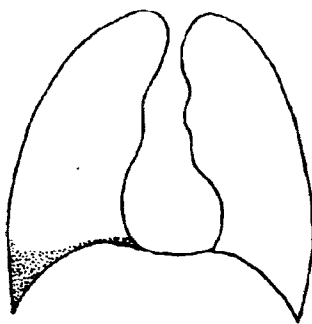


Fig. 345 — Pleurezie cu lichid în cantitate minimă.

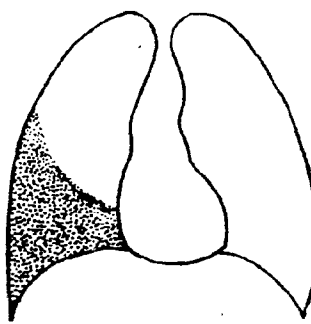


Fig. 346 — Imagine tipică de pleurezie.

Dacă se aşază bolnavul pe partea sănătoasă, lichidul migrează spre mediastin, dar dunga opacă este mai greu de apreciat din cauza complexității conturului mediastinal.

Pleureziile cu lichid în cantitate minimă. Cînd lichidul ajunge la 200 cc se poate vedea chiar la examenul din față, deoarece umbrește sinusul costo-diafragmatic lateral și estompează netitatea curbei diafragmatice (fig. 345).

În Trendelenburg, cantitatea mică de lichid de la bază migrează între foilele pleurale și umbrește vîrful pulmonului respectiv.

Această probă face dovada că este vorba de o pleurezie cu lichid și nu de o simplă îngroșare pleurală, rămasă după o suferință pleurală veche.

Pleurezia cu lichid în cantitate mijlocie. În cursul bolii în zilele următoare, în cavitatea pleurală sporește cantitatea de lichid, sinusul costo-diafragmatic este umbrit evident, este umbrită și baza plămânilui.

La 1000—1500 cc se observă imagine tipică de pleurezie:

— la baza toracelui se constată opacitate omogenă de tonalitate costală, care are forma vag triunghiulară (fig. 346), cu o latură pe diafragm, una la peretele axilar al toracelui și a treia spre transparența pulmonară — *triunghiul AMEUILLE și LEOBARDY*.

— latura dinspre plămîn a umbrei lichidiene este curbă, cu concavitate în sus și înăuntru și corespunde curbei percutorii a lui Ellis—Damoiseau de la examenul clinic; ea poate să fie neprecisă și difuză deoarece stratul de lichid pleural se subțiază treptat, sau este foarte precisă cind se surprinde ortograd pleura viscerală îngroșată a plămânilui colabat (care constituie *linia bordantă a lui TOURNANT*). (fig. 348).

— tonalitatea umbrei lichidiene este omogenă, iar densitatea umbrei nu permite să se vadă desenul pulmonar, fie din cauză că plămînul cu desenul vascular este împins de lichid, fie pentru că lichidul este într-un strat aşa de gros, încît desenul pulmonar nu mai străbate prin umbra lui.

În pleurezii, în realitate, limita superioară a lichidului este orizontală și mult mai finală, urcă pînă la vîrful plămânilui (fig. 347 a, c) ceea ce se demonstrează ușor cu lipiodol, în concentrație de 10%, introdus în cavitatea pleurală care plutește deasupra lichidului și materializează limita superioară.

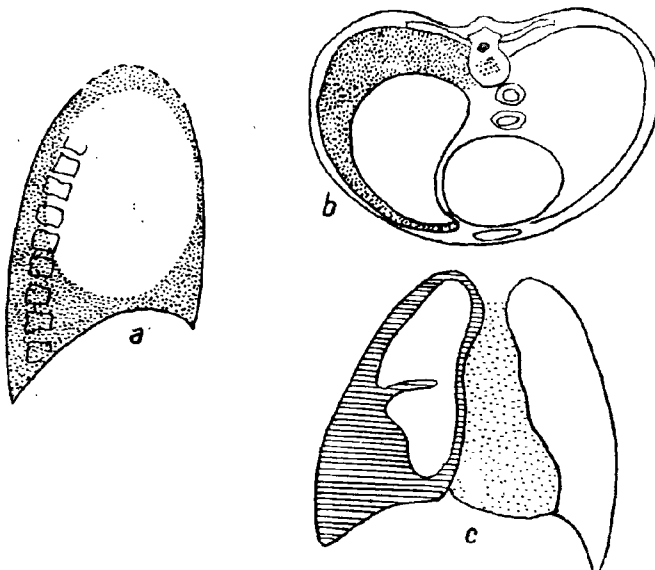


Fig. 347 — Distribuția reală a lichidului în același caz din fig. 346 și 348:
a) secțiune de profil; b) secțiune transversală; c) insinuarea lichidului
în mica scizură.

— limita curbă este o imagine optică care rezultă din faptul că lichidul este văzut la razele X în strat din ce în ce mai gros, cu cît ne îndepărțăm de mediastin și ne apropiem de peretele lateral al toracelui (fig. 347 a, b) și de diafragm.

— plămînul micșorat de volum și colabat este împins spre mediastin (c) unde este reținut de către pediculul bronhovascular al hilului și de ligamentul triunghiular al plămînului. Transparența lui anulează o parte din opacitatea lichidiană și face ca *linia curbă a lui ELLIS—DAMOISEAU*

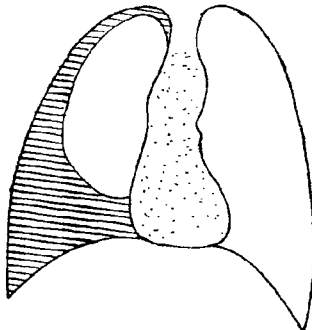


Fig. 348 — *Linia pleurei orografe a lui TOURNANT — curba virfului lui CHAUMET.*

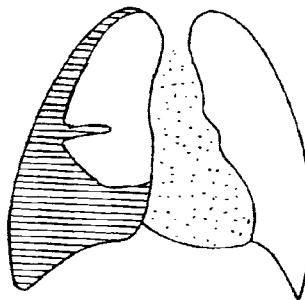


Fig. 349 — Pătrunderea lichidului în mica scizură.

să coboare dinspre peretele axilar și să fie mai joasă spre linia mediană. Transparența plămînului deasupra curbei lichidiene este ușor scăzută, comparativ cu partea sănătoasă, datorită colapsului pulmonar, lamei subțiri de lichid ce-l infășoară, (dar care nu poate determina opacitate proprie), precum și datorită congestiei și îngroșării foitelor pleurale.

În parenchimul pulmonar trebuie căutate focarele patologice care să explice instalarea pleureziei. Mobilizarea lichidului și tomografia, contribuie la descoacerirea acestora.

În multe cazuri, curba lui Damoiseau se prelungeste de-a lungul peretelui lateral al toracelui cu o opacitate de lichid lamelară care urcă pînă la claviculă (*linia TOURNANT*), dar care poate și înconjura vîrful (*curba vîrfului CHAUMET*, fig. 348). Lama lichidiană care înconjoară plămînul realizează o opacitate în jurul transparentei pulmonare denumită „*cadrul oval*“ (fig. 350).

Uneori, lichidul se insinuează în scizură.

4. În pleurezia masivă lichidul inundă toată cavitatea pleurală și umbra este omogenă, dar descrește în intensitate spre vîrf; hemitoracele este sporit în dimensiuni (fig. 351).

Semnele indirecte de pleurezie. La început diafragmul poate avea poziție finală datorită parezei musculaturii sale care este acoperită de seroasa pleurală inflamată — legea lui Stockes, ca și diferenței între presiunea abdominală mare și presiunea toracică mai mică. Cu cît cantitatea de lichid crește, sporește și apăsarea deasupra diafragmului, nivelul diafragmului coboară spre abdomen, fenomen ce poate fi apreciat mai ușor la stînga în raport cu camera de aer a stomacului care-l scoate în evidență. Peretele toracic este bombat, spațiile intercostale largite.

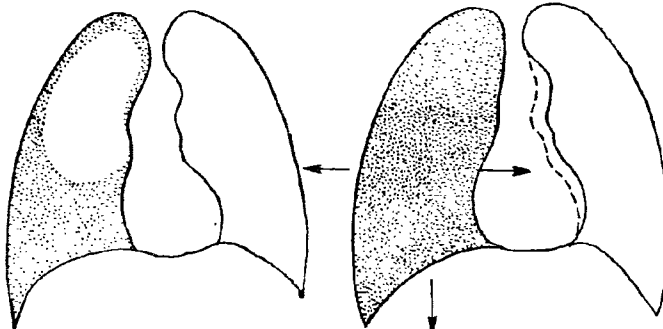
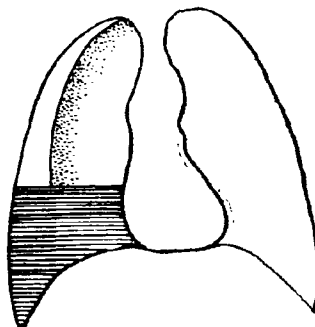


Fig. 350 — Pleurezie în care lichidul realizează „cadrul oval”.

Fig. 351 — Pleurezie masivă.

Fig. 352 — Nivel orizontal prin hidropneumotorax datorat unei puncții pleurale în caz de pleurezie.



Mediastinul și cordul în pleurezia incipientă pot să nu fie deplasate sau să prezinte o *deplasare paradoxă*, fiind *atrase spre partea cu lichidul* din cauza stării de colaps a plămânilui de partea cu pleurezia. Cînd lichidul sporește în cantitate, mediastinul este *impins spre partea sănătoasă*.

Evoluția pleureziei se face în majoritatea cazurilor spre resorbția lichidului și spre vindecare, care începe la 2—3 săptămâni de la debut. Pe zile trece, curba lui Damoiseau coboară, porțiunea umbrită se restringe, plămânul devine transparent pe o întindere din ce în ce mai mare și în cele din urmă hemitoracele capătă infățișare transparentă normală.

Dacă în timpul pleureziei se face o *puncție toracică*, curba Ellis-Damoiseau poate dispare și să apară un nivel orizontal (fig. 352), explicat prin faptul că s-a introdus aer (din afară sau din parenchimul punționat), puterea de adeziune a foilelor pleurale este înălțaturată și se produce un hidropneumotorax.

Involuția lichidului se recunoaște prin aceea că linia curbă a lui Damoiseau se fringe, limita superioară este neprecisă, iar transparența plămânilui deasupra curbei este modificată *n e o m o g e n* de către îngroșarea pleurală și depozitele de fibrină care rămîn pe suprafața pleurei după retragerea lichidului; uneori se produc corpi fibrinoși.

Cînd lichidul este în creștere, curba lui Damoiseau este precisă, continuă, iar deasupra ei transparența plămânilui, deși scăzută, este *c o - g e n*.

Diagnosticul diferențial, clinic și radiologic, trebuie să se facă cu pneumonia, cu formele de pleurezii parapneumonice, cu atelectazia pulmonară și cu pahipleurita întinsă.

Îngroșarea pleurei și simfiza poate avea sediu apical și se traduce printr-o bandă opacă semilunară care înconjoară vîrful pulmonului ca o beretă; banda are tonalitate neomogenă, iar marginea ei inferioară este neregulată prezintând dințături și prelungiri opace în septurile conjunctivale din parenchimul vîrfului (calotă SERGENT — fig. 353 a).

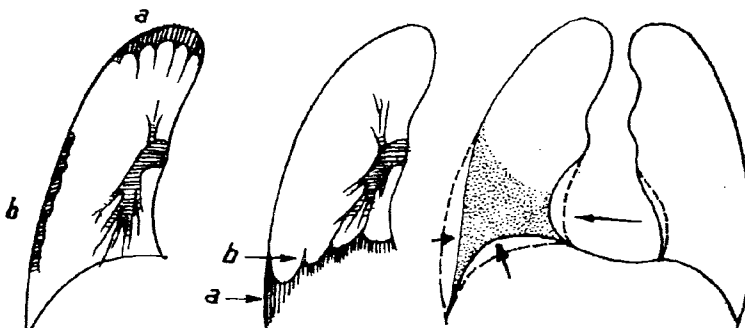


Fig. 353 — Simfiza pleurală:
a — cu sediu apical;
b — de-a lungul peretelui axilar DUFOURT.

Fig. 354 — Simfiza sinusului costato-diafragmatic (a) și aderențe pleurale la nivelul diafragmului (b) (dințături în „vîrfuri de cort”).

Fig. 355 — Îngroșarea pleurală obișnuită se produce la bază (pleurită marginală REDECKER).

Simfiza și îngroșarea pleurală discretă de-a lungul peretelui axilar se poate traduce printr-o linie opacă, dințată, cu asperități (fig. 353 b).

Cel mai ușor însă se recunoaște la nivelul sinusului costodiafragmatic, unde simfiza foitelor pleurale provoacă închiderea și dispariția sinusului (fig. 354 a), iar în timpul respirației „mișcarea în balama”.

La nivelul diafragmului, simfiza pleurală și aderențele produc dințături în „vîrf de cort”. De la fiecare dințătură pleacă un trabecul opac spre hil (fig. 354 b).

Pahipleurita și simfiza. După o pleurezie poate rămâne o îngroșare pleurală care poartă numele de *pahipleurită*. Pentru a da imagine radiologică din față, îngroșarea pleurală trebuie să aibă o grosime de 1,5 cm, iar pe linia axilară sau în lungul scizurilor trebuie să aibă o grosime de 3 mm ca să dea o umbră liniară cînd este văzută în sens ortograd.

Îngroșarea pleurală este mai frecventă spre baze și se traduce printr-o umbră trunchiulară, ce seamănă cu pleurezia, dar se deosebește prin aceea că poate fi neomogenă, „contractă” peretele toracic, micșorează spațiile intercostale, atrage diafragmul și deviază mediastinul spre focalul de îngroșare pleurală (fig. 355).

În cursul pleureziilor, lichidul poate coexista cu pahipleurita și este greu de precizat dacă bolnavul se află în stadiul de îngroșare pleurală sau dacă mai există și lichid.

Pentru diagnostic se întrebuițează două manopere:

— poziția Trendelenburg face ca lichidul să fugă de la bază și să umbrească vîrful, în cazul cînd nu este închisă,

— proba lui Prozorov arată că în ortostatism, în mișcările respiratorii forțate, dacă există numai pahipleurită, umbra rămîne identică în ambele faze ale respirației. În cazul în care s-a organizat deja pahipleurita, dar există și lichid liber, în fază respiratorie în care crește tensiunea intratoracică, umbra se mărește cranial. Cînd s-a produs simfiza, lichidul nu mai urcă deasupra opacității determinată de pahipleurită.

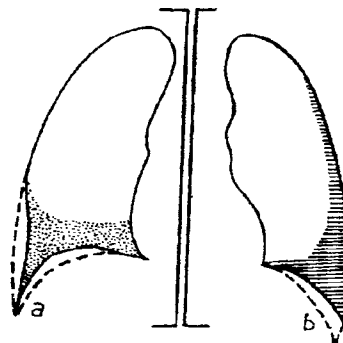


Fig. 356 — Ingroșarea pleurală „în eșarfă“ PÉHU și DAGNET la dreapta; pahipleurită marginală, REDECKER, la stînga.

Ingroșarea pleurală poate să se traducă prin „opacitate în eșarfă“ descrisă de către PÉHU și DAGUET întinsă între peretele axilar al toracelui și sinusul cardio-diafragmatic, de-a lungul conturului diafragmatic (fig. 356) la baza dreaptă.

Alteori se constată o umbără în bandă care flanchează peretele axilar (Dufourt) sau umbrește sinusul și coboară pe diafragm (fig. 356 b la baza stîngă), sau realizează pahipleurita marginală descrisă de către REDECKER sau bândă liniară mediastinală care produce deformarea marginii umbrei cordului — semnul lui MINGOT.

Ingroșarea pleurală poate cuprinde tot hemitoracele. Intensitatea procesului de fibroză poate fi așa de mare încît să se extindă de la pleură la țesutul conjunctival intersticial din trama pulmonară, realizînd fibrotoracele.

Fibrotoraxul lui VINCENTI se poate produce și în urma unor leziuni pulmonare tbc fibrocazeoase întinse însotite de ingroșare pleurală (pag. 243). Fibrotoracele este mai frecvent la stînga și la examenul radiologic se constată opacitate masivă, adesea neomogenă a unui hemitorace, care prezintă retracție accentuată a peretelui costal, incurbare și deviere pronunțată a traheei, deplasarea cordului (ce descoperă coloana), ascensiune puternică a diafragmului (ce permite camerei cu aer a stomacului să se proiectează în cavitatea toracică, la bază — *gastrotorax SAVY*) fig. 357.

Calcificările pleurale. După pleurezii sau traumatisme cu hemotorax se pot produce ingroșări pleurale cicatriciale — calcare. Ele pot fi sub formă de:

— noduli multipli amorfi, cu contur dințat, izolați și diseminați pe zona de elecție, la bază, în șanțul costo-vertebral și pe linia axilară posterioară sau,

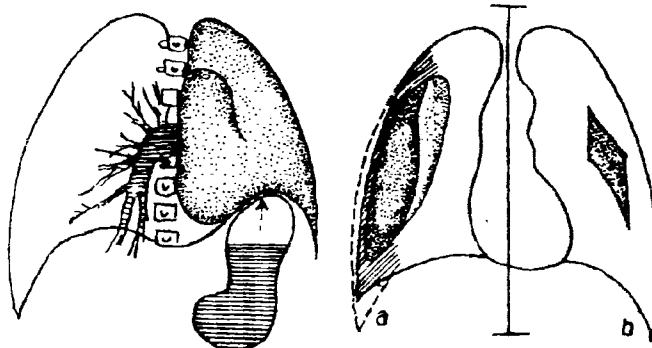


Fig. 357 — Fibrotorax (VINCENTI); gastrotorax (SAVY).

Fig. 358 — Pahipleurită cu incrustații calcare:
a — în formă de platoșă; b —
în formă de fier de lance.

— pot confluă în placarde care dau umbriri intense (fig. 358) sub formă de scut, de platoșă (a) sau în „fier de lance“ (b).

Calcificările se produc de obicei în pleura viscerală îngroșată.

Hidrotoraxul este constituit din transsudat pleural, rezultat fie prin creșterea presiunii în circulația venoasă (pulmonară sau generală), fie prin scăderea presiunii osmotice a proteinelor plasmaticce care explică întărirea rezorbției lichidelor din cavitatea pleurală.

Se întâlnește în insuficiență cardiacă și în nefropatii și este localizat la baza dreaptă, în ciroza hepatică, în tumorile mediastinale și în tumorile de ovar (cind realizează sindromul Meigs).

La examenul radiologic se constată opacitate în 1/3 inferioară a hemitoracelui drept, care are nivel orizontal, uneori lichid la ambele baze.

PLEUREZIILE PURULENTE ACUTE

Pleureziile purulente acute sunt produse de pneumococ, streptococ, stafilococ, bacterii care ajung la pleură pe cale directă, pe cale limfatică sau hematogenă. Ele survin după:

- traumatisme sau leziuni ale peretelui toracic,
- afecțiuni acute pulmonare (pneumonie, abces),
- infectii mediastinale sau abdominale (abces subfrenic).

Empiemele tuberculoase reprezintă de obicei transformarea purulentă a unei pleurezi serofibrinoase ori complică pneumotoraxul terapeutic.

Se descriu trei stadii anatomo-patologice și radiologice:

- difuziune, colectare, închistare.

a. La început, în fază de difuziune, se constată o umbrire difuză, obisnuit la baza hemitoracelui.

b. Mai târziu, opacitatea se accentuează și se delimită (lichidul se colectează de obicei în partea postero-inferioară a cavității pleurale).

c. — Pleureziile purulente sunt de cele mai multe ori pleurezi închistate (fig. 359) și interesează numai o porțiune limitată a cavi-

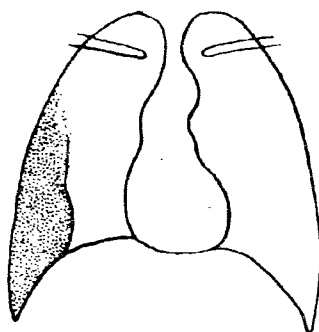


Fig. 359 — Pleurezie purulentă închisă.

plămînul nu mai poate expanda și se constată o cavitate restantă (pionevomotorax) care comunica cu exteriorul printr-un traiect fistulos (extern pleuro-cutanat sau intern pleuro-bronhic). Traiectul fistulos și limitele cu anfractuozitățile cavității sunt explorate cu substanță de contrast în vederea intervenției chirurgicale (decorticare sau toracoplastie).

PLEUREZIA PURULENTĂ CRONICĂ

Urmează unei pleurezii acute sau survine după o intervenție chirurgicală incompletă; din cauza îngroșării pleurale,

colecția de lichid se poate deschide la exterior prin peretele toracic (empiem de necesitate) sau într-o bronchie și apare vomica;

se produce pionevomotorax și radiologic apare o imagine hidroerică (ca în fig. 170 și 352), stare care nu trebuie confundată cu un abces pulmonar sau cu o colecție subfrenică.

PLEUREZIILE ÎNCHISTATE

Pleureziile închisă pot fi aparent primitive sau reprezentă închisări secundare în cursul evoluției unei pleurezii a marii cavități.

Înhisarea lichidului este datorată constituției și simfizei pleurale în cursul unei pleurezii care este în evoluție sau unei simfize rezultate după un puseu pleural inflamator produs cu ani în urmă.

Pleureziile închisă sunt de cele mai multe ori pleurezii purulente. Înhisările lichidiene se produc de preferință la nivelul scizurilor interlobare, al mediastinului, al diafragmului sau la nivelul anumitor portiuni ale marii cavități pleurale, unde realizează pleurezia axilară, pleurezia submamară sau apicală. Imaginile radiologice pe care le realizează sunt în funcție de localizarea, întinderea și sediul aderențelor și de cantitatea de lichid din colecție, care poate fi bomba foitele pleurale.

Pleureziile interlobare. Cele mai frecvente colecții cu lichid interlobare se întâlnesc la nivelul micii scizuri orizontale din dreapta, sau se produc în portiunea inferioară și declivă a scizurilor oblice.

1. În *lungul micii scizuri*, lichidul pleural, în cantitate mică poate să umbre în bandă; dacă este în cantitate mai mare, scizura este suflată, destinsă de lichid și umbra are aspect fusiform (fig. 360); lichidul în cantitate mare poate să pună scizura sub tensiune și umbra poate să roturească.

La examenul *din față*, umbrarea se proiectează la nivelul hilului și se întinde între peretele axilar al toracelui și mediastin (fig. 360, a).

Pe radiografiile din profil (b) umbrarea are sediul pe locul micii scizuri și se întinde între hil și peretele toracic anterior la înălțimea coastei a 4-a.

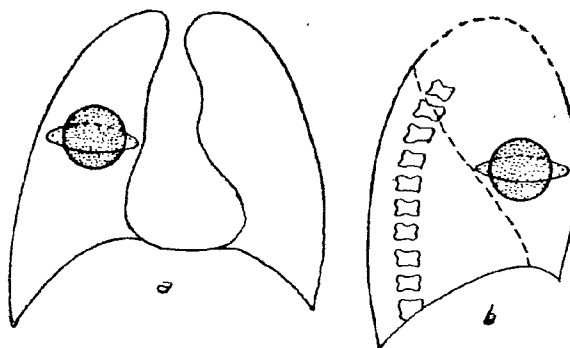


Fig. 360 — Pleurezie interlobară la nivelul micii scizuri: umbrire fusiformă și rotundă; a. față; b. profil.

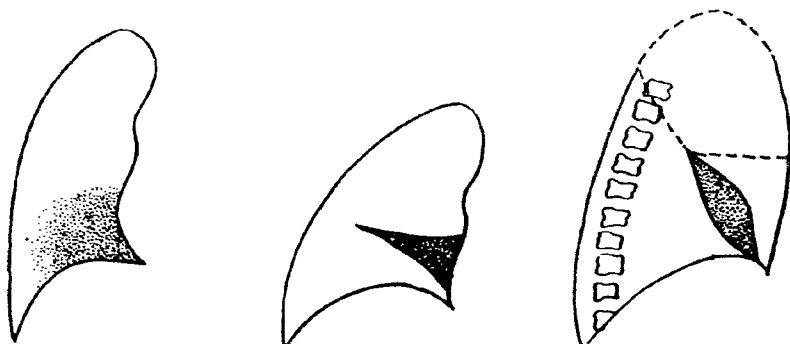


Fig. 361 — Pleurezie la nivelul marelui scizură, imagine din față.

Fig. 362 — Pleurezie a marelui scizură în lordoză. Poziția FLEISCHMER.

Fig. 363 — Pleurezie a marelui scizură, imagine fusiformă din profil.

2. *Pleurezia scizurilor oblice* se traduce la examenul din față prin umbrire difuză a bazei care nu este caracteristică (fig. 361).

— În incidența Fleischner, umbra se „contractă” și lichidul cantonat în partea inferioară a marelui scizură dreptă dă o imagine caracteristică triunghiulară, cu baza la mediastin și cu vîrful spre axilă (fig. 362).

— Din profil, lichidul din marea scizură descrie o umbrire fusiformă sau ovoidală, cu marele ax oblic orientat în lungul marelui scizură. Un pol al umbrei este orientat spre hil și un alt pol spre sinusul costo-diafragmatic anterior, sprijinindu-se pe diafragm (fig. 363).

Pleureziile mediastinale. Spațiul pleural mediastinal este împărțit prin pediculul constituit de către elementele anatomiche ale hilului într-un etaj suprahilar (superior) și un etaj subhilar (inferior).

Etajul inferior al acestui spațiu este împărțit prin ligamentul triunghiular al plăminului (care este situat în plan frontal) într-o cavitate mediastinală inferioară anteroiară și una inferioară posterioară.

Pleureziile mediastinale se pot închista în:

- mediastinul superior, într-o cavitate unică, și în
- mediastinul inferior, în partea anterioară sau posterioară a acestuia, în cavități deosebite.

a. Pleureziile mediastinale inferioare au imagine caracteristică și se traduc prin umbre triunghiulare, cu vîrful la hil — triunghiul CHAUFFARD-RIST, fiecare triunghi avind ipotenuza spre transparența plămînului, o latură spre coloană cu care se confundă și alta spre diafragm (fig. 364).

În pozițiile oblice, ne dăm seama dacă lichidul este anterior sau posterior, deoarece umbra colecției se deplasează odată cu peretele toracic respectiv sau dacă lichidul din ambele cavități se desfășoară în desagă.

b. Pleureziile mediastinale superioare sunt întâlnite mai rar în practică și foarte rar izolate. Ele se traduc printr-o umbră juxtamediastinală, care lărgește pediculul vascular (fig. 365) cu formă vag triunghiulară și coboară de la vîrful plămînului pînă la hil; în pleurezia descrisă de BARJON, închistarea are sediul la înălțimea hilului.

De multe ori ele coboară în lungul mediastinului, pînă la bază.

Lichidul situat în toată cavitatea pleurală mediastinală (deasupra și dedesubtul hilului) realizează o umbră în bandă juxtavertebrală descrisă de DESTOT (fig. 366).

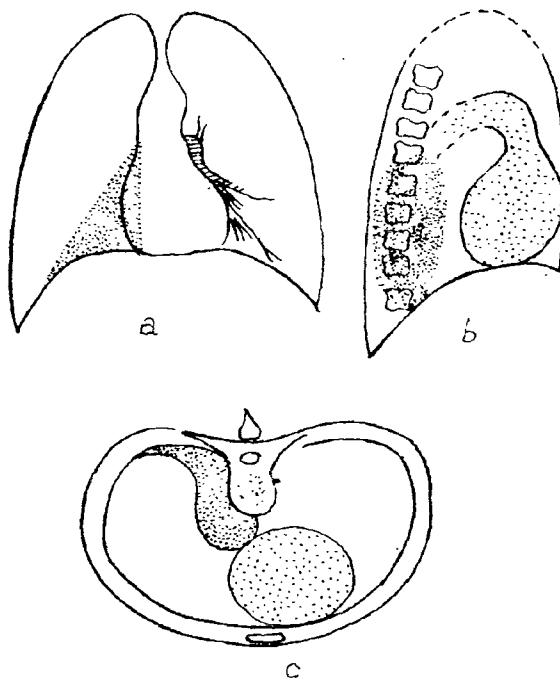


Fig. 364 — Pleurezie mediastinală inferioară posterioară dreaptă.

Fig. 365 — Pleurezie mediastinală superioară.

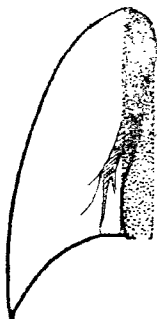
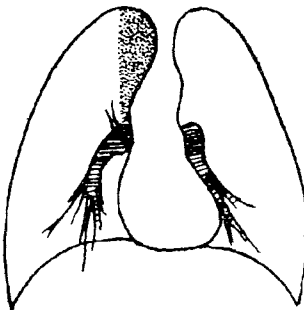


Fig. 366 — Pleurezie mediastinală: umbră în „bandă”.



Fig. 367 — Umbră în „ceas de nisip”.



Fig. 368 — Aspect în „echer”.

Alteori, în dreptul hilului, colecția lichidiană în bandă poate fi îngustată de prezența pediculului vascular și umbra ia aspect în ceas de nisip (fig. 367).

La bază, lichidul pleural se poate insinua între diafragm și plămîn și, în acest caz, pleurezia mediastinală realizează umbră în echer descrisă de CHAUFFARD (fig. 368).

Diagnosticul diferențial se face cu procese inflamatorii și tumorale mediastinale, cu afecțiuni cardio-vasculare.

Pleureziile diafragmatice. Se traduc radiologic printr-o umbră semi-lunară cu convexitatea cranială și cu concavitatea pe diafragm. Mobilitatea diafragmului este redusă sau chiar paradoxă.

Umbra este ușor de descoperit și interpretat la baza stîngă, deoarece lichidul este contrastat, pe ambele fețe ale colecției atât de aerul din camera cu aer a stomacului cît și de aerul din plămîn (fig. 369).

La baza dreaptă, pleurezia diafragmatică nu este recunoscută pentru că, uneori, umbra lichidului se confundă cu cea a ficatului. Pentru precizarea diagnosticului este nevoie de punctie pleurală sau de pneumoperitoneu (fig. 370) pentru a contrasta cu aer colecția de lichid și dinspre abdomen; — aceste manopere sunt necesare și pentru diagnosticul diferențial cu relaxarea diafragmatică și cu unele afecțiuni subfrenice (hepatomegalie, chist hidatic, tumorii).

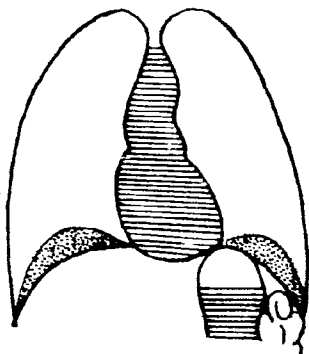


Fig. 369 — Pleurezie diafragmatică, umbră semilunară
DANIELLO.

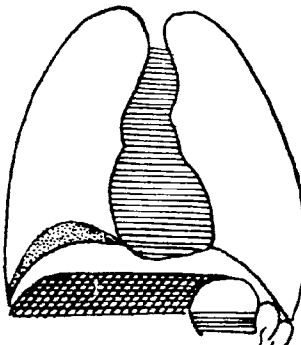


Fig. 370 — Pleurezie diafragmatică. Prin penumoperitoneu se contrastează colecția de lichid de la bază și din-spre abdomen.

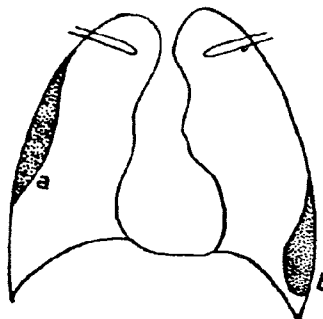


Fig. 371 — Pleurezia axilară: înaltă în dreapta (a), joasă, submamară (OPRAN), în stînga (b).

La nivelul marii cavități pleurale închistarea poate realiza pleurezia axilară, pleurezia submamară și pleurezia apicală.

În pleurezia axilară lichidul se închistează în marea cavitate spre peretele axilar al toracelui.

Diagnosticul diferențial se face cu pahipleurita axilară în care opacitatea are același sediu și formă dar are tonalitate neomogenă, contur dințat spre luminozitatea plămînului și determină retracția coastelor și a hemitoracelui.

Pleurezia etajată, închisată „în cuiburi“ la peretele toracic, buzunarele COVA, a fost descrisă și de către DEMETRESCU-MANTE.

PLEUREZIILE USCATE, PLEURITE FIBRINOASE SAU PLEURITELE

Inflamația pleurei nu duce totdeauna la exsudăție lichidiană; de multe ori se produc numai depozite de fibrină, mai ales pe pleura parietală, ulterior și pe cea viscerală și rezultă o îngroșare a foilelor cu simfiză între ele. Se traduce clinic prin dureri și frecări pleurale. Pleurita uscată însotește de obicei orice boală a plămâinului care se propagă pînă spre suprafața lobului. Ca boală independentă poate fi o manifestare a infecției tuberculoase.

Boala din Bornholm este o *pleurodinie* cu virus Coxakie, care evoluează endemic sau epidemic.

Pleurita se poate întîlni în afecțiuni catarale ale căilor respiratorii superioare.

Pleurita uscată are predilecție pentru virful plămâinului, pentru scizuri, pleura mediastinală, sinusul costo-diafragmatic etc.

De cele mai multe ori, în pleurită, deși semnele clinice sunt nete, nu se constată modificări radiologice.

În unele cazuri *pleurita fibrinoasă activă*, se poate traduce:

- printr-un voal discret pe radiografia din față,
- voal care se transformă în linie sau bandă umbrată, în pozițiile oblice sau de profil, cînd pleura îngroșată este tangentă la razele X.

La nivelul virfului pulmonar, *pleurita* (descrisă de SERGENT) determină un voal care nu dispără la tuse (semnul RIST-KREUZFUCHS) (fig. 372 a).

La bază, pleurita descrisă clinic de către KRAUS și EPPINGER se traduce prin poziție înaltă a diafragmului și excursii reduse. Linia diafragmatică se îngroasă, se estompează în dreptul placardului de pleurită, conturul diafragmului devine neprecis sau discontinuu (b). La nivelul sinusului costo-diafragmatic contururile se sterg (c).

După rezoluția procesului inflamator, în cîteva zile pleurita poate dispăru complet sau lasă după ea simfize, aderențe și placarde de pahipleurită.

Corticopleurita. Îngroșarea pleurală poate coexista cu lezuni ale plămâinului, situate de obicei în cortexul parenchimatos.

În acest caz se realizează *corticopleurita*, în care, pe lîngă opacitatea cu caractere pleurale (sub formă de beretă, de calotă) se observă și lezuni nodulare sau trabeculare în parenchim. (fig. 372). *Corticopleurita* se întîlnește cel mai frecvent la *virful plămâinului* (descrisă de CHAUMET) și are imagine evidentă, mai ales cînd lasă cicatrici nodulare sclero-calcare (d). Se poate localiza și la scizuri (juxtaplicitorită) — și în lungul peretelui axilar.

Îngroșările pleurale scizurale sunt expresia unor procese inflamatorii în activitate, sau a unor sechete pahipleurale și se traduc radiologic prin opacefieri lineare, care variază în raport cu felul în care privim scizura cînd examinăm bolnavul la ecran.

Dacă rotăm bolnavul pentru ca scizura să devină ortogradă, îngroșarea scizurală se observă sub forma unei dungi liniare (fig. 374).

La examenul din față, poziție în care scizurile oblice sunt situate aproape în plan frontal, îngroșarea scizurală nu se vede deloc sau dă un voal neexpresiv. Din față se poate vedea doar îngroșarea scizurii orizontale drepte sau a scizurilor anormale (mezoul azygos, scizura infracardiacă).

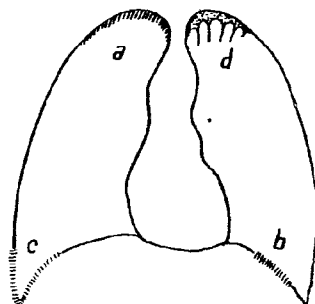


Fig. 372 — Pleurezie uscată (fibri-noasă):
a — apicală (SERGENT); b — diafragmatică; c — a sinusului; d — cicatrici sclero-calcare în vîrful plămnului (CHAUMET).

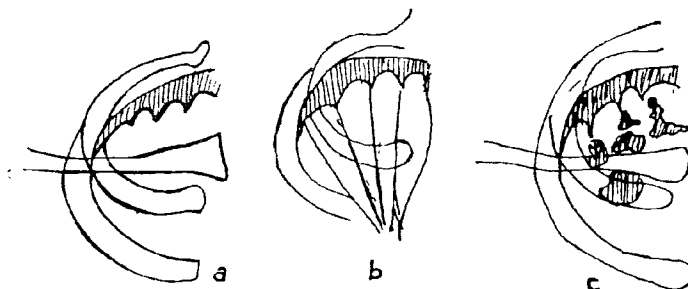


Fig. 373 — Pleurită SERGENT (a); pleurită cu cordoane apicale (b), cortico-pleurită CHAUMET (c).

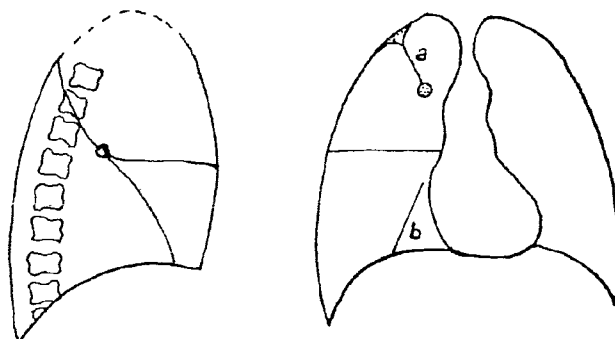


Fig. 374 — Îngroșări scizurale: mezoul Azygos (a); scizura infracardiacă (b).

EXCESE DE TRANSPARENȚĂ ÎN PATHOLOGIA PLEUREI

Pneumotoraxul. Cind, în cavitatea pleurală, se găsește aer, foilele pleurale sînt dezlipite și îndepărțate între ele, cavitatea pleurală se destinde și din virtuală devine reală, iar aerul o materializează, o face transparentă (fig. 375) și această stare poartă denumirea de pneumotorax. În unele împrejurări, în cavitatea pleurală se găsește aer și lichid; în acest

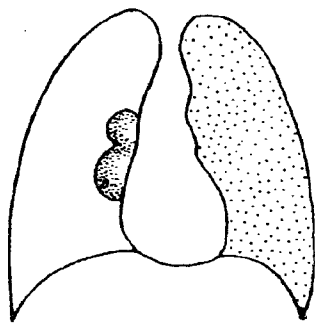


Fig. 375 — Pneumotorax.

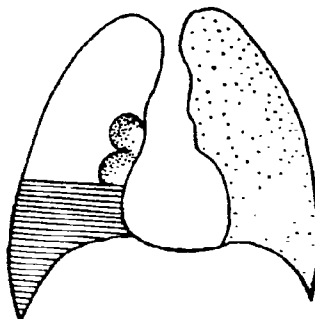


Fig. 376 — Hidropneumotorax: imagine în „sticlă de cerneală”.

caz este vorba de hidropneumotorax (fig. 376), care dă senzație vizuală la ecran de sucușuire hipocratică, de sticlă de cerneală.

După modul de pătrundere a aerului în cavitatea pleurală, pneumotoraxul poate fi artificial (terapeutic, diagnostic), spontan sau traumatic.

a. — În pneumotoraxul diagnostic și în cel terapeutic — FORLANINI aerul este introdus (insuflat) în cavitatea pleurală cu un aparat special (*aparatul lui KÜSS*) în vederea tratamentului tuberculozei pulmonare.

El poate fi total — cu plămînul colabat și redus ca o ciupercă la hil sau parțial.

b. — Pneumotoraxul spontan rezultă în urma deschiderii în cavitatea pleurală a unei bule de emfizem subpleural, sau a unui focar tuberculos cortical, a unui abces stafilococic la copii.

c. — Pneumotoraxul traumatic se produce în caz de fracturi costale sau plăgi penetrante ale peretelui toracic sau după manevre terapeutice ca: respirație artificială, bronhoscopie, esofagoscopie, intubare traheală, infiltrare cu novocaină a nervilor intercostali sau a ganglionului stelat (perforație și a pleurei și a plămînului).

După pătrunderea aerului, coeziunea foilelor pleurale cedează, ele se dezlipesc, iar plămînul se colabează la hil.

Aria hemitoracelui respectiv prezintă radiologic (fig. 375):

— transparență sporită comparativ cu partea opusă și nu are desen pulmonar;

— iar plămînul colabat este aerat dar are transparență mai scăzută, proporțional cu gradul reducerii de volum și a retracției lui spre hil; conturul plămînului către colecția pleurală de aer este net delimitat de pleura viscerală care se vede ca o dungă fină continuă.

Desenul vascular al plămînului afectat este mai sărac decât al plămînului sănătos către care se face derivația undei sanguine.

Studiind bontul plămînului colabat se pot observa la ecran mișările lui respiratorii, la cazuile în care presiunea aerului din cavitatea pleurală nu este prea mare ca să le impiedice.

Dinamica toracelui în ansamblu poate fi urmărită pe fig. 377.

Disloarea lobilor, disloarea plămînului de la mediastin. Aerul din cavitatea pleurală se poate insinua între lobi

și-i dislocă — sau între mediastin și plămîn, pe care îl împinge spre peretele axilar al toracelui unde este reținut de aderențe.

În *pneumotoraxul în mantie* aerul constituie o lamă transparentă în jurul plămînului care abia se dezlipesc de la peretele toracic (fig. 378).

Din punct de vedere al relațiilor dintre pleură și aerul exterior, în pneumotorax, se pot observa următoarele eventualități:

1. — *pneumotoraxul închis*, în care, după constituirea pneumotoraxului, orificiul de pătrundere a aerului se închide prin retracția plămînului și comunicația cu exteriorul incetează;

2. — *pneumotoraxul deschis*, în care se găsește o fistulă largă și permanentă, care lasă aerul să circule cu ușurință în cavitatea pleurală, atât în inspir, cit și în expir, și

3. — *pneumotoraxul cu suprapă* (cu ventil) în care aerul din afară pătrunde intermitent în cavitatea pleurală, în fiecare inspir, prin orificiul situat la peretele toracic (pneumotorax traumatic), sau din bronhi și plămîn prin orificiul pleurei viscerale, în timpul tusei sau în expirație cu glota închisă. Rezultă o sporire treptată sau bruscă a cantității de aer din cavitatea pleurală, la o presiune superioară celei atmosferice, care determină fenomene de deviere a mediastinului cu tulburări respiratorii sau bronhovascularare (fig. 379) controlaterale din partea plămînului funcțional.

Pneumotoraxul poate fi:

— total, cu colaborarea completă a plămînului,

— închisat între cele două foițe pleurale, de obicei îngroșate,

— parțial, în cazurile în care forțele pleurale simfizante nu permit de către colabarea unui singur lob sau a unei părți din lob.

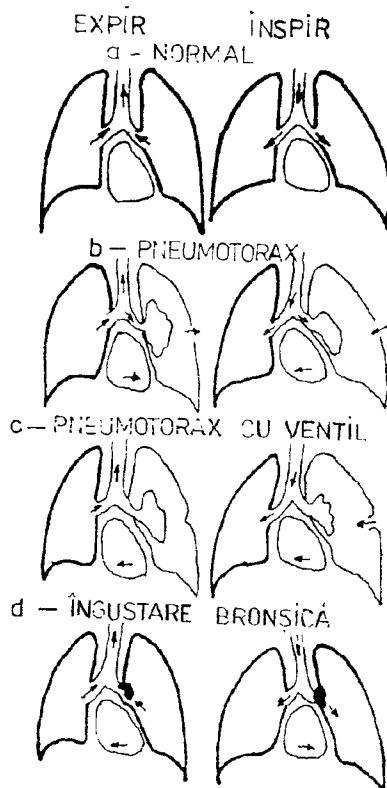


Fig. 377 — Dinamica toracică în pneumotorax:

a — La persoanele sănătoase, în inspir, aerul intră în calea aeriene, toracele sporește în dimensiuni, diafragmul coboară (săgețile); în expir fenomenul se produce invers — aerul ieșe din calea aeriene, toracele se micșorează, diafragmul urcă; b — în *pneumotoraxul spontan* — plămînul este colbat la hil, mediastinul se deplasează spre partea sănătoasă în inspir și spre partea bolnavă în expir; c — în *pneumotoraxul cu ventil*, — mediastinul este deplasat în ambele faze respiratorii de partea sănătoasă; d — în caz de *îngustare bronșică* — mediastinul se deplasează spre partea bolnavă în inspir, spre partea sănătoasă în expir. (După PERNKOPF).

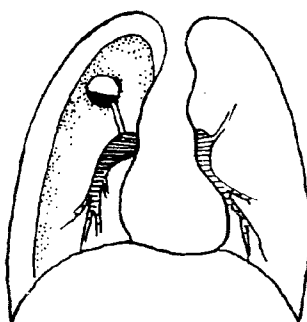


Fig. 378 — Pneumotorax în mantie, lamelar.

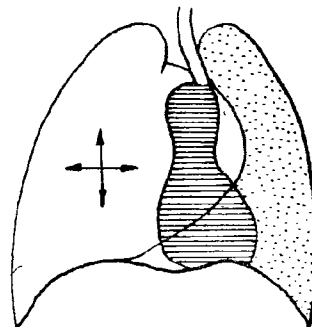


Fig. 379 — Pneumotorax cu supapă (cu suprapresiune) și deviere mediastinală.

Terapeutic, pneumotoraxul paroate fi:

- eficace, (fig. 380) sau electiv (colecția de aer se produce la nivelul lobului bolnav) și
- neficace sau neselectiv, în cazul cînd colapsul se produce la nivelul portiunii sănătoase de plămîn (fig. 381), deoarece portiunile bolnave ale plămînului sunt simfizate și nu se lasă dezlipite. În acest caz, se observă simfiză pleurală întinsă (fig. 381) sau brîde liniare (fig. 382).

Imaginea de pneumotorax trebuie diferențiată, după caz, de bula gigantă de emfizem, chistul aerian, hernia diafragmatică a stomacului.

Evoluția pneumotoraxului. Aerul din cavitatea pleurală în pneumotoraxul spontan benign, în cel traumatic și în cel terapeutic se resorbe după 2 luni de la producerea lui pe măsură ce se resorbe aerul din cavitatea pleurală; plămînul colabat își revine.

Persistența colapsului și supraadăugarea fenomenelor inflamatorii cu retracția pronunțată a plămînului pot împiedica reexpansiunea și revenirea plămînului în caz de pneumotorax: de asemenea, îngroșarea foilelor pleurale (calcificarea lor) face ca pneumotoraxul să devină cronic.

Hidropneumotoraxul. Cînd pneumotoraxul este consecutiv unui proces tuberculos, unei pneumonii stafilococice sau unui abces pulmonar, poate să se transforme în hidro- sau pio-pneumotorax și se constată imagine mixtă, ca și după intervențiile chirurgicale pe torace, după traumatisme.

Imagini mixte pleurale. În hidropneumotorax se constată:

- imagine hidro-aerică „în sticlă de cernecală“ (fig. 170, 352, 376) constituită la partea declivă din umbră lichidiană opacă, cu nivel orizontal, deasupra căreia se găsește aer transparent;

— plămînul este colabat la hil;

— nivelul de lichid oscilează, dacă înclinăm sau clătinăm bolnavul.

De asemenea, nivelul de lichid oscilează cu pulsăriile cordului și cu mișcările respiratorii; în pleură se pot observa corpi strâini — fibrinoși.

În cursul pneumotoraxului și al hidropneumotoraxului, diafragmul poate avea mișcări paradoxale și în balanță (KIEMBÖCK-ALASEVSCHI):

- în inspir, diafragmul de la partea bolnavă urcă, iar cel de la partea sănătoasă coboară;

— în expir, fenomenele se produc invers.

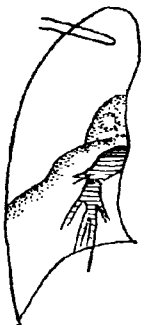


Fig. 380 — Pneumotorax parțial, eficace.



Fig. 381 — Pneumotorax terapeutic parțial ineficace: simfiză pleurală întinsă în jurul lobului superior.



Fig. 382 — Pneumotorax terapeutic parțial ineficace prin bride liniare.

Pneumotoraxul extrapleural, era practicat în trecut atunci cînd cavitatea pleurală era simfizată și aerul nu putea fi introdus intrapleural (endopleural). Consta în crearea unei cavitate între pleura parietală și fascia endotoracică, cavitatea care se menținea prin pneumoliză extrapleurală urmată de insuflații cu aer sau prin *blocaj cu oleu aseptic*, proaspăt și neutru sau cu bile de acrilat (care săn transparente) sau cu sfere de lucită (care se traduc prin opacități rotunde).

Imaginea radiologică:

— în primul caz seamănă cu cea dintr-un pneumotorax parțial sau hidropneumotorax;

— în al doilea caz cu o colecție axilară închisă (fig. 371), la care umbra este mai aproape de vîrf decît de bază și este presărată eventual cu sfere transparente sau opace, după caz.

Intervențiile chirurgicale pe torace săn controlate radiologic pînă la vindecare: se apreciază cantitatea de lichid din pleură, consecutivă intervenției, rezorbția acestuia și a aerului, fibroza, retracția și devierea mediastinului.

VIII. Diafragmul patologic

În mod normal (fig. 161), mai ales diafragmul drept poate prezenta aspect de arcuri multiple sau de buclă (calotă) anteromedială, aspect ce se accentuează în inspir și este explicat prin constituția anatomică și contracția inegală a fasciculelor muscularare și a inserțiilor costale în trepte.

În procesele inflamatorii pulmonare și/sau abdominale cu reacție pleurală și peritoneală, diafragmul prezintă fenomene de pareză (legea lui STOCKES), are poziție înaltă și este hipomobil (WILLIAMS) sau execută o mișcare paradoxă — urcă în inspir (KIENBÖCK).

Diafragmul poate avea poziție joasă, este coborât în astmul bronхиial, în emfizemul generalizat și în caz de contracturi diafragmatische care, sunt produse prin iritația frenicului, tetanos, nevrose. În aceeași timp, se observă și reducerea amplitudinii mișcărilor sale respiratorii.

Diafragmul poate avea poziție înaltă în ascită și în tumorile abdominale, care îl ridică, în atelectazii și scleroze pulmonare care îl trag și în stări particulare ale musculaturii lui.

a. *Relaxarea diafragmatică sau eventrația diafragmatică* (fig. 383) este un sindrom caracterizat prin poziție înaltă a unui diafragm subțiat, ale cărui fibre muscularare sunt degenerate; poate fi congenitală sau cîstigată (prin paralizie de frenic).

Este mai frecventă la bărbați și se observă aproape numai în stînga. Relaxarea ieșe în evidență în inspir cînd diafragmul alterat urcă în mod paradox.

b. *Eventrația diafragmatică parțială* (fig. 384) descrisă de AUBRY și HAMMER este o relaxare cu ascensiune în cupă, destul de pronunțată, a unui sector localizat al boltii unui diafragm care este normal în rest.

c. *Relaxarea diafragmatică tranzitorie, diafragma molle*, descrisă de ALTSCHUL, este consecința hipotoniei unui diafragm, care dimineață are poziție normală, iar spre sfîrșitul zilei, are poziție din ce în ce mai înaltă și contractii din ce în ce mai puțin accentuate (*fenomenul WILLIAMS*, în t.b.c. pulmonară).

d. *Megadiafragmul lui BARD* realizează același aspect ca și relaxarea diafragmatică, dar mușchiul este hipertrofiat și se traduce printr-o bandă acciformă mai groasă ca de obicei.

e. *Paralizia diafragmului* poate fi de natură chirurgicală (secțiunea frenicului) sau are cauze medicale (cancere bronhice ori mediastinale și procese inflamatorii ale organelor din torace) și se traduce radiologic prin

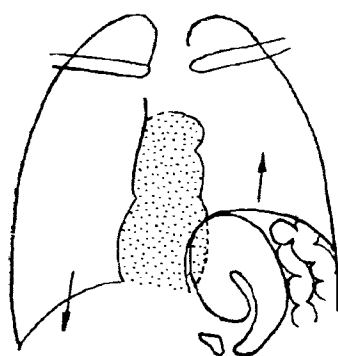


Fig. 383 — În relaxarea diafragmatică stomacul este aspirat la baza hemitoracelui stîng și ia aspect de volvulus. *Triunghiul lui DUVAL și QUÈMU.*

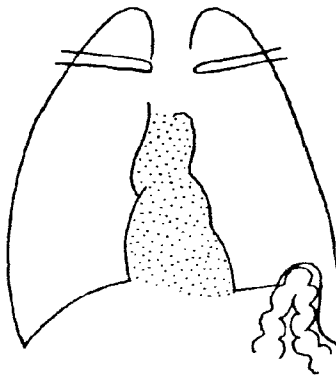


Fig. 384 — Eventrație parțială AUBRY-HAMMER.

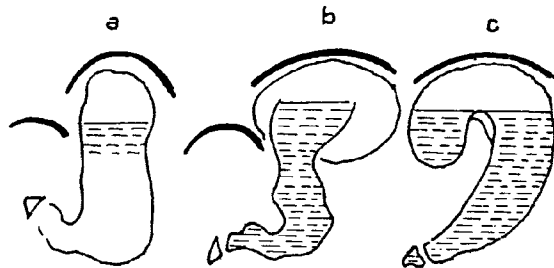


Fig. 385 — Eventrație diafragmatică (a) care se poate însoții (b) de un volvulus (procubit) sau de (c) o inflexiune a tuberozității (profil în picioare), cind realizează imaginea de re-tortă din „stomac în casădă”.

semne de *eventrație diafragmatică* (fig. 383; 385) evidentă cu *proba MÜLLER*: expir urmat de un inspir simulant cu gura și cu nasul închise.

f. În *hernia diafragmatică*, camera cu aer a stomacului, o porțiune din colon sau anse de intestin subțire pot trece în torace prin hiatusul

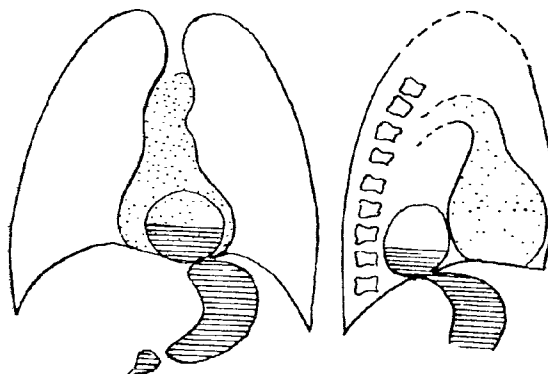


Fig. 386 — Hernia hiatului esofagian.

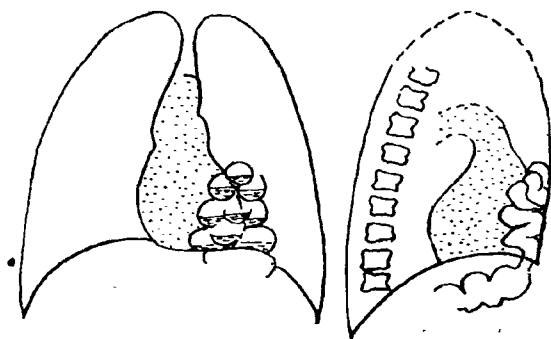


Fig. 387 — Hernie diafragmatică retroxifoidiană, prin fanta laterală, LARREY sau mediană MORGAGNI.

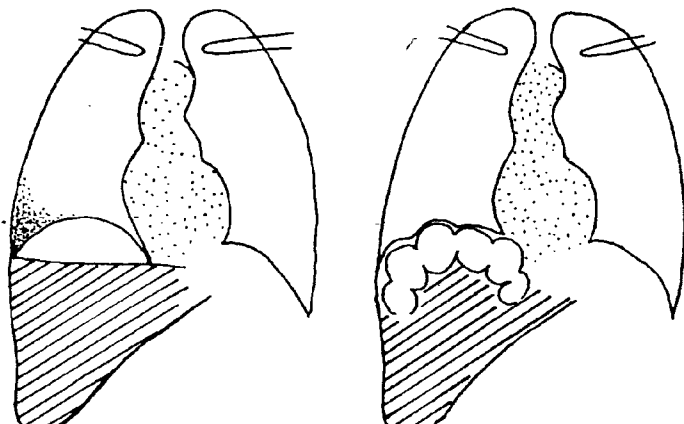


Fig. 388 — Abces subfrenic.

Fig. 389 — Interpoziția colonului transvers între ficat și diafragm: sindromul CHILAUDITI.

esofagian (fig. 386) sau pe la nivelul punctelor slabe ale diafragmului retrosternal (*fanta* lui MORGAGNI — mediană și *fanta* lui LARREY — laterală), paravertebral (BOCHDALEK), realizând imagini hidroaerice evidente la examenul radiologic simplu. Examenul cu sulfat de bariu dă certitudinea diagnosticului și precizează segmentul de tub herniat.

Abcesul subfrenic (fig. 388) se traduce radiologic prin ridicarea și imobilitatea diafragmului de partea bolnavă; după vomică se poate găsi nivel hidroaeric subfrenic.

Modificările produse pot fi mascate de reacția exsudativă pleurală la baza plămânilui respectiv.

Interpoziția colonului transvers între ficat și diafragm (Chilaiditi) (fig. 656 și 389) poate realiza imagine aerică sau hidroaerică subfrenică. Lipsa semnelor clinice și examenul colonului cu bariu precizează diagnosticul.

IX. Traumatismele toracice

Traumatismele toracice pot fi penetrante (în timp de război) și nepe-netrante (cauzate de lovitură, cădere, tamponare).

Pacientul este de obicei în stare gravă și nu se poate face decât o radiografie AP, în decubit. Este necesară și o radiografie de profil.

La *peretele toracic*, pe radiografie, se pot constata *fracturi costale* — unice sau multiple, unilaterale sau bilaterale; se poate observa un hematom extrapleural. Fracturile cartilagiilor costale nu se văd; fracturile sternului se văd pe radiografia din profil.

Printre complicațiile periculoase trebuie să amintim deplasările „paradoxe“ ale voletului toracic — cu coastele fracturate în două puncte sau bilateral — deplasare care în inspir accentuează colapsul la plămînul subjacent.

În timpul traumatismului, fragmentul costal poate pătrunde în plămîn și — produce emfizemul peretelui toracic și al mediastinului,

— sau pneumotorax, care este frecvent asociat cu hemoragie intra-pleurală.

Pneumotoracele poate fi cu tensiune progresivă (cu supapă) (fig. 379) provocind colapsul plămînului corespunzător și deplasarea mediastinului cu compresiunea plămînului sănătos și instalarea unei insuficiențe respiratorii acute care necesită măsuri de urgență ca:

— punctia cavității de pneumotorax și aspirație a aerului,

— închiderea și suturarea plăgii toracice, tratament care trebuie să se facă repede chiar în serviciul de radiologie în care este examinat bolnavul.

1. *Leziunile pleurale* după traumatism se pot complica (cu acumularea de lichid) ceea ce favorizează empiemul. Rezultatul final al traumatismului pleural este îngroșarea și calcificarea pleurală.

2. *Leziunile diafragmului* sunt mai frecvente la baza stîngă, unde ruptura permite hernia stomacului sau a intestinelor. Stomacul herniat poate să se complice cu ocluzie prin volvulus, împrejurare în care se destinde și simulează un pneumotorax cu supapă.

3. *Pneumoperitoneul* poate succede unei leziuni traumaticice care afectează plămînul și produce ruptură diafragmatică.

Traumatismele toracice determină *contuzii sau rupturi pulmonare* cu hemoragie în alveole, ceea ce duce la umbrire neuniformă a zonei afectate. Leziunile au tendință la confluență pe întinderea unui lob, dar nu au caracter segmentar. Opacitatea începe să se resoarbă în cîteva zile — dacă nu se produce alt puseu de exsudăție, hemoragie sau infecție.

Uneori se produce un **hematot** închisăt ce realizează o opacitate sferică sau ovoidală ale cărei contururi devin din ce în ce mai nete, opacitate care persistă și, cu timpul, poate pune probleme de diagnostic diferențial. Rupturile pulmonare pot duce și invers la emfizem pulmonar interstitițial localizat și la pneumatozel.

Corpii străini (glonte) se văd prin caracterul lor opac sau prin trăiectul transparent pe care-l fac în plămîn.

După traumatismele toracice se pot produce fenomene obstructive bronhice (atelectazie sau emfizem) datorită aspirației de sînge sau de mucus în bronhii sau datorită rupturii peretelui unei bronhii.

Pot apărea focare de edem pulmonar cu caracter lobular, confluent, sau la nivelul hilurilor infiltrații „în aripi de fluture“.

Torsiunea și gangrena plămînului se produc rar și sunt consecutive lezării vaselor principale.

Embolia grăsoasă este o complicație a fracturilor multiple. Globule de grăsimi, din măduva oaselor fracturate, pătrund în venele osoase care nu se turtesc și ajung la plămîn unde determină umbriri nodulare palide, bilateral; diagnosticul este confirmat prin prezența picăturilor grase în spută și urină.

Dacă pacientul supraviețuiește, opacitățile pulmonare se resorb în cîteva zile.

Traheea și bronhiile mari pot fi rupte, dilacerate concomitant cu fractura primelor 4 coaste și se traduc prin emfizem mediastinal sau/și subcutanat. Se poate produce un colaps progresiv al lobului sau plămînului afectat, colaps ce poate apărea numai la cîteva săptămîni după traumatism.

La cîțiva ani după traumatism + ruptură se poate instala un fibrotorax pe fondul leziunilor traumaticice.

Traumatismele penetrante sau închise ale mediastinului pot da contuzii sau rupturi ale aortei și cordului, ale venelor mari, mai ales accidentale de compresiune la volanul mașinii; se poate produce un hemopericard, anevrism aortic, anevrism disecant sau hematot mediastinal care sunt adesea mortale.

X. Toracele operat

Tehnica de examen este aceeași ca și la toracele traumatizat: radiografiiile trebuie făcute cu aparate mobile, de căt mai mare randament, cu cuplul folii-film sensibil, cu expunere scurtă (uneori de la o distanță mai mică decât în mod obișnuit). Când radiografia trebuie să se repete, este necesar ca încă de la început să se așeze sub bolnav un dispozitiv special pentru casetă și grilă.

1. *Imagini imediat după operație.* După toracotomie trebuie să se cerceteze gradul de reexpansiune a plămînului (sau gradul de colaps) ca și poziția anormală a mediastinului, datorate uneori persistenței în cavitatea pleurală a unei cantități de aer ce poate întreține și un emfizem intersticial.

După intervenție, totdeauna se găsește lichid în cavitatea toracică, de cele mai multe ori cloasonat în mai multe colecții ce pot fi centrale, către mediastin sau către peretele toracic.

Pentru ca să se poată vedea nivelul hidroaeric, fasciculul de raze X trebuie să fie orizontal; trebuie studiată poziția tuburilor de drenaj, în raport cu colecțiile.

În mod obișnuit, după toracotomie, plămînul trebuie să fie complet reexpansionat, iar transparența normală; opacitățile ce apar sunt datorate colapsului sau hemoragiei și dispar de obicei repede.

După o rezecție segmentară se adună lichid în cavitatea respectivă și prezența opacității, determinată de lichid, nu are nici o semnificație patologică. În mod frecvent se pot vedea linii opace orizontale la baza plămînului, datorate unor lame de atelectazie.

În general, o opacitate la hemitoracele operat nu are nici o semnificație; este important de a descoperi opacități la plămînul din partea sănătoasă (un focar de pneumonie) care pot fi explicate prin aspirația lichidului la nivelul unei fistule bronho-pleurale din partea operată.

După unele intervenții pe cord sunt deschise ambele cavități pleurale (nivel hidroaeric bilateral); o atenție deosebită trebuie atribuită examenului cordului, deoarece se poate dezvolta o distensie lichidiană pericardică.

Umbra mediastinului se largescă de obicei după operație.

După plastii pe esofag cu intestin sau stomac, în mediastin se pot vedea imagini hidroaerice care ne indică ocluzia protezei interpuse.

Modificări toracice se pot observa și după operații pe abdomen: poziție înaltă a diafragmului, pneumonie postoperatorie care se traduce prin

noduli bazali de ambele părți, lame de atelectazie la baze, infarct pulmonar, abces subfrenic.

2. *Modificări toracice tardive*. După toracotomie aspectul toracelui revine aşa de repede și ușor la normal, încât cu dificultate se poate aprecia că s-a făcut o intervenție chirurgicală. Sechele se pot găsi doar pe marginea inferioară a coastei a 5-a, unde se constată o îngroșare a periostului la coasta îndepărtată cu ecartorul, în plus o îngroșare pleurală discretă în unghiul costo-diafragmatic.

După lobectomie, modificarea de transparență este aşa de discretă, încât trebuie să se studieze desenul vascular, dimensiunile și configurația hilului ca să ne dăm seama că a fost rezecat lobul superior sau cel inferior. Este imposibil de a preciza dacă s-a făcut rezecția lobului mijlociu sau a unui segment de ventilație.

Mulți chirurgi utilizează sirme metalice pentru a sutura și închide extremitățile bronhice, ceea ce pentru radiolog indică excizia de țesut pulmonar. Se pot observa, de asemenea, agrafele Michel de la sutura tegumentelor (în regiunea tiroidiană); clipurile de argint utilizate de neuro-chirurgi, care la torace indică simpectomie sau laminectomie, sau fire subțiri metalice utilizate pentru fixarea unui pace-maker. Plombajul extrapleural cu bile de substanță inertă — masă plastică radiologic se traduce prin imagini cavitare (transparente) multiple, în timp ce sferele din lucită, prin opacități rotunde.

3. *Toracoplastia SAUERBRUCK* constă în rezecția subperiostică a arcului posterior al coastelor (3—11), ceea ce permite turtirea peretelui și plămâinului la nivelul respectiv.

Cind coastele se regenerăză în mulajul lor periostic, peretele toracic rămîne turtit, aşa cum a fost după operație.

Sigur că porțiunea respectivă a hemitoracelui este deformată, iar coastele regenerate sunt mai largi decât coastele normale.

Toracoplastia poate fi combinată cu o pneumectomie în empiemul tbc cronic.

XI. Examenul radiologic al cordului și vaselor mari

Examenul radiologic al cordului și vaselor mari ne dă relații asupra formei, dimensiunilor și poziției acestora în torace și, împreună cu datele clinice și electrocardiografice, contribuie la stabilirea diagnosticului și urmărirea evoluției bolilor valvulare, miocardice și pericardice, a afecțiunilor aortice.

Diagnosticul afectiunilor congenitale ale cordului și vaselor ca și progresele chirurgiei cardiovasculare sunt strâns legate de investigațiile radiologice moderne.

Metodele de examinare

Cordul și vasele de la bază au început să fie studiate radiologic încă de la începutul specialității, datorită contrastelor naturale ce există între plămîn și mediastin.

În prezent, pentru studiul cordului și vaselor mari, se utilizează următoarele metode: radioscozia, radiografia, ortodiagrafia, kimografia, cateterismul cardiac, angiocardio grafia, aortografia, coronarografia, ecografie cu ultrasunete; scintigrafia, R.M.N.

RADIOSCOPIA TORACICĂ

Deși oferă imaginea mărită, dă relații despre:

- forma normală sau patologică a cordului,
- volumul său,
- situația în torace,
- mobilitatea cordului în diferite poziții, în stațiune verticală, în decubit, în înclinare laterală sau în mișcările respiratorii.

La ecran se pot aprecia bătăile cordului (contracturile mușchiului cardiac) și vaselor mari (care se dilată sub impulsia undei sanguine din ventriculi), ritmul contractiilor, frecvența și amplitudinea lor.

Avantajele radioscopiei cordului rezultă din faptul că examenul se poate face în orice incidență, rotind bolnavul sub ecran.

In ce privește dimensiunile cordului la ecran, trebuie să se țină seama că, din cauza proiecției conice, radioscopya ne dă imagini mărite inegal și deformate, în raport cu planurile diferite în care sunt situate cavitătile cordului.

ORTODIAGRAFIA

Aceea că scopul înscrierii pe ecranul radioscopic, cu creionul dermatografic, a siluetei cordului și a vaselor mari, cu ajutorul unui fascicul îngust de raze X, plimbat perpendicular pe ecran de-a lungul conturului cardiac (fig. 60).

Fiecare punct al conturului înscris pe ecran în acest mod (fig. 390; 391), reprezintă proiecția nedeformată a punctelor respective ale umbrei conturului cordului.

Ortodiagrama are dezavantajul că este subiectivă. Înima fiind situată oblic în torace — se proiectează adesea cu diametre micșorate (de ex.: diametrul longitudinal).

Ortodiagrama ne ajută să urmărim modificările volumetrice ale unei cardiopatii în cursul evoluției — în timp — și ne dă posibilitatea să controlăm efectele unei terapeutici.

T e h n i c ă : creion gras, ascuțit, privire perpendiculară pe ecran, tubul de raze X cu mobilitate ușoară și independentă de ecran; înscrierea punctelor se face în aceeași fază, în diastolă și în inspir, fără ca bolnavul sau ecranul să se miște. Interniștii din școala germană utilizează *ortodiagrama de aproape* după MORITZ.

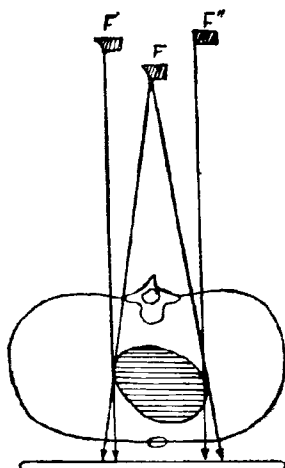


Fig. 390 — Principiul ortodiagramei.

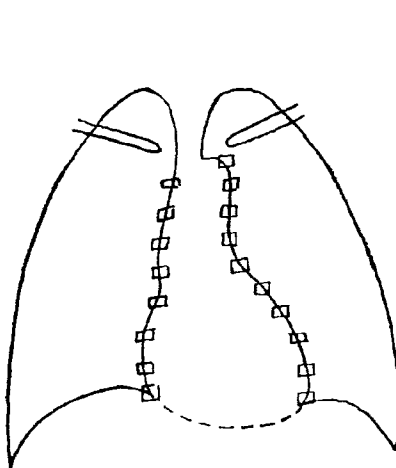


Fig. 391 — Înscrierea conturului cardiovascular cu un fascicul îngust de raze X.

TELERADIOSCOPIA

A fost imaginată de ALBAN KÖHLER pentru explorarea inimii. Tubul este depărtat la 2 m de ecran și centrat în aşa fel încit raza axială să cadă în mijlocul masei cardiace.

El rămîne fix tot timpul inserierii conturului cordului cu creionul gras (dermatografic) pe ecran și se face cu bolnavul în apnee, după inspir.

Cu aparatele moderne, ortodiagrama și teleschița nu mai pot fi executate și sunt constant înlocuite prin *teleradiografie* care are avantajul, față de metodele de mai sus, de a oferi un document obiectiv și impersonal; nu obosește bolnavul, ca ortodiagrama.

Radiografia trebuie executată de la 2 m, distanță la care *proiecția conică devine practic paralelă*; fasciculul este centrat prin radioscopie simplă, lipind un semn opac de plumb pe tegumentele toracice, corespunzător punctului S.

Teleradiografia dă o mărire a umbrei cardiace, ce poate fi considerată neglijabilă, mărire care poate fi corijată scăzând 5% la 2 m și 7% dacă radiografia este făcută de la 1,5 m.

Examenul radiologic toracic permite studiul hilurilor și al desenului vascular (gradul de încărcare a circulației sanguine pulmonare în caz de stază).

Radiofotografia medicală (R.F.) la ecran pe film 7/7 cm sau 10/10 cm — ca și amplifoto — (vezi pag. 73) este întrebuintată astăzi nu numai pentru descoperirea bolilor plămînului, ci și a celor cardiovasculare (pentru screening).

Kimografia dă posibilitatea să se aprecieze starea funcțională a inimii și vaselor mari, înregistrînd pe clișeul radiografic:

- contractile inimii și amplitudinea lor sistolo-diastolică,
- eventuale zone mute datorate unor portiuni anormale de pe conturul cordului (infarct miocardic, anevrism parietal),
- tulburări de ritm depistabile prin numărătoarea contracțiilor atriale, ventriculilor și în parte a vaselor mari de la bază,
- se poate determina cu precizie punctul S,
- se poate face diagnosticul diferențial între o ectazie aortică și o tumoră mediastinală.

Metoda lui GÖTT și ROSENTHAL (1912) inseria mișcările ondulante a două puncte opuse ale conturului cardiac, printr-o singură fantă într-o placă de plumb, pe filmul (din caseta radiografică) ce se mișcă în timpul expunerii și principiul ei se deduce din fig. 392.

Kimografia a fost introdusă în practică de PLEIKART STUMPF, în 1928.

STUMPF (1929) a multiplicat despiciaturile la 15 (fig. 63); kimograful este constituit dintr-o placă de plumb groasă de 2 mm, în care sunt sătiate 15 despiciaturi orizontale. Fiecare despicătură este largă de 0,5 mm și sunt separate între ele prin lamele de plumb de 11,5 mm. Timpul de expunere al radiografiei este de 3—4 secunde.

Kimografia poate fi (fig. 393 după BUCHNER, fig 394):

- liniară sau în trepte — prin deplasarea filmului (a) în spatele grilei care rămîne fixă, sau
- plană — prin deplasarea grilei (b) pe film fix.

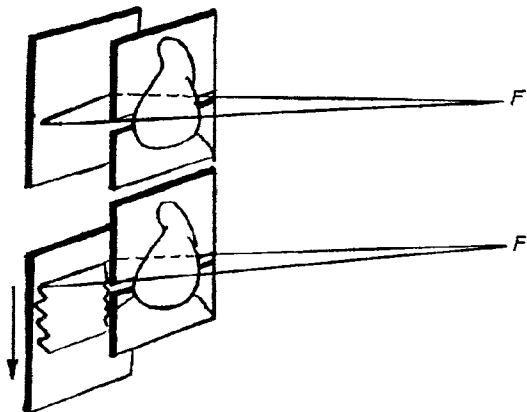


Fig. 392 — Kimografia lui
GÖTT și ROSENTHAL.

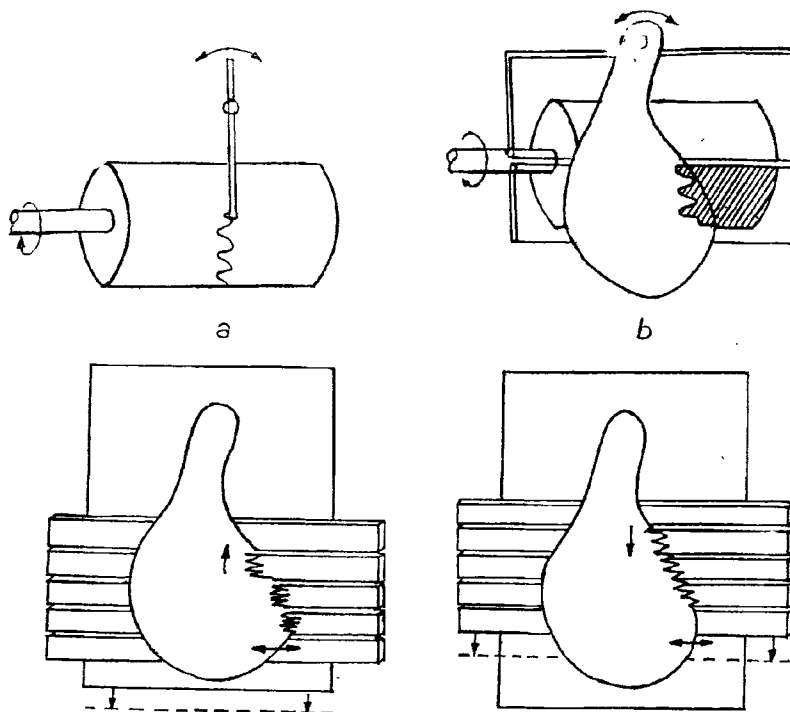


Fig. 393 — Kimografia lui PLEIKART STUMPF:
a — liniară; b — plană.

a. — În kimografia liniară se înscriu cîte un număr limitat de puncte, de pe contururile opuse ale inimii situate pe aceeași linie, cîte două pe fiecare despicătură (fig. 394 a) — kimogramă în trepte.

b. — În kimografia plană, cînd se mișcă grila se înscrie mișcarea tuturor punctelor conturului cardiac pe ambele trepte (fig. 394 b).

Pe radiografie (fig. 395) se înscriu o serie de linii opace, orizontale pe toată lățimea filmului, datorate despicăturilor dintre lamelele de plumb, precum și conturul cordului care este dințat, prezintă croșete.

Forma „dinților“ de pe contur și înălțimea lor (amplitudinea mișcărilor) sunt caracteristice pentru fiecare cavitate și se modifică în raport cu diferite stări patologice ale cavităților și perețiilor lor.

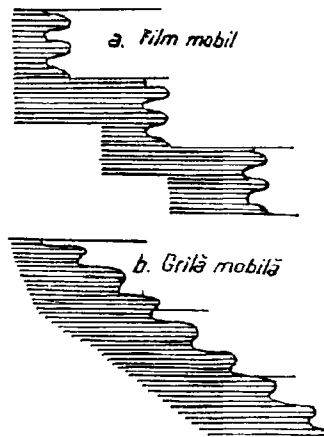


Fig. 394 — „Dinții“ de pe contur dău relații asupra supletei și excursiei pereților și cavităților.

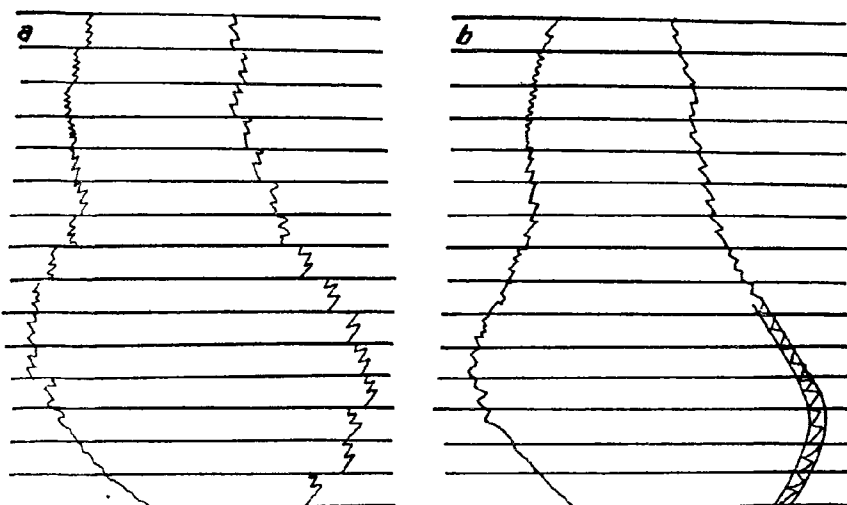


Fig. 395 — a — Kimografie liniară obținută prin deplasarea filmului;
b — Kimografie plană obținută prin deplasarea grilei.

ELECTROKIMOGRAFIA (CINEDENSIGRAFIA LUI MARCHAL ȘI KOURILSKY)

Se efectuează cu ajutorul unei celule fotoelectrice care înregistrează diferențele de luminozitate ale ecranului radiologic la nivelul unor puncte de pe conturul cordului sau al vaselor (fig. 396).

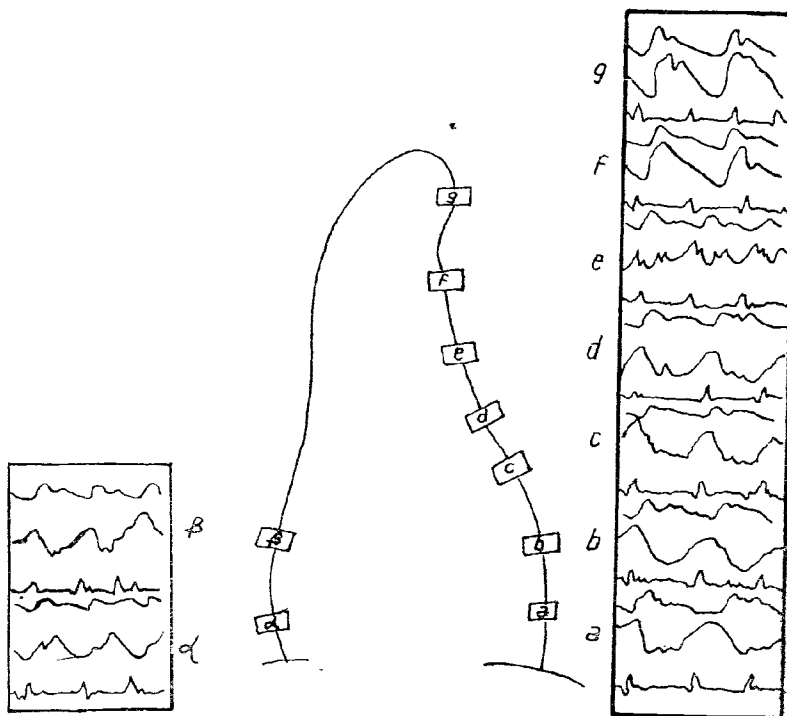


Fig. 396 — Înscrieri electrokimografice în punctele standard ale cordului și vaselor mari (LISSNER).

CATETERISMUL INIMII ȘI AL VASELOR MARI

Este o metodă de explorare care se practică sub controlul imaginii la televizor și constă în introducerea unei sonde subțiri, dar opacă la razele X, într-o venă periferică (la plica cotului sau în jugulară). De-a lungul acesteia, vîrful cateterului trece treptat (fig. 397) în cava superioară, atriu drept, orificiul tricuspidian (a), ventriculul drept (b), și se oprește în vecinătatea septului interventricular apoi se angajează în conul arterei pulmonare (c) și apoi trece în trunchiul și în artera pulmonară dreaptă (d). În acest mod se pot aprecia dimensiunile cavităților respective. În caz de comunicări anormale, vîrful sondei poate să treacă prin orificiul de comunicare în cavitățile stîngi.

Din poziție oblică și din profil (e) se pot aprecia dimensiunile antero-posterioare ale cavității ventriculului drept.

Cu această metodă, se măsoară rînd pe rînd valoarea presiunii în fiecare cavitate, se recoltează sînge pentru dozarea oxigenului și bioxidului de carbon și se poate introduce substanță opacă de contrast în cavitatea pe care dorim să o studiem (angiocardiografie).

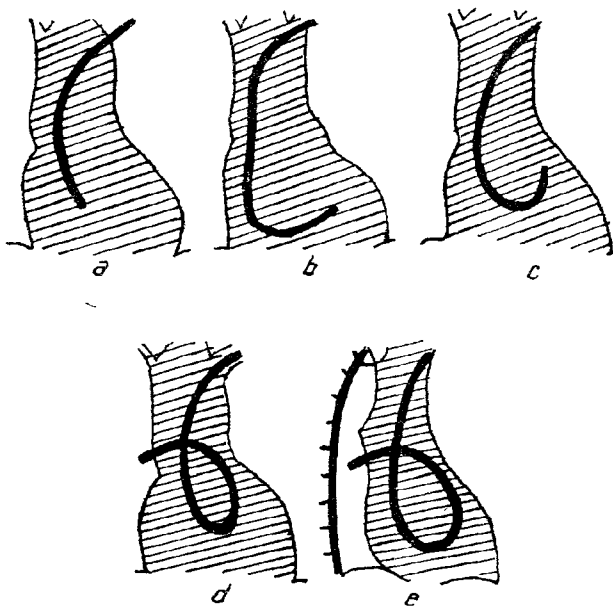


Fig. 397 — Diferite faze ale cateterismului cardiac (după THURN).

ANGIOCARDIOGRAFIA

Este o metodă ce se folosește pentru opacifierea cavităților cordului și a vaselor mari, cu substanțe de contrast hidrosolubile triiodate de tipul Odiston CIF, Urografin Iopamiron.

Substanța de contrast iodată în soluție de 70%, în cantitate de 20—50 cm (cel mult 1 ml/kg corp), se injectează rapid în vena cubitală sau în sub claviculară, în maximum 2 secunde sau se introduce direct în cavitățile cordului printr-un cateter venos introdus aici în prealabil.

Se fac radiografii la 2—3—5—7—9 secunde și se surprind opacificate pe rînd (fig. 398) atriu drept la 2 sec. (a), la 3 sec. ventriculul drept (b) și artera pulmonară (c și d) (dextriogramă urmată de angiopneumografie). La 7—9 sec. se opacifiază auriculul stîng (e), ventriculul stîng și apoi aorta (f) (levoogramă).

Angiocardiografia necesită un dispozitiv (seringă specială) pentru injecție rapidă a substanței de contrast și altul pentru efectuarea de radiografii rapide cu schimbător automat de filme PUCK—SCHÖNANDER în două planuri perpendiculare. Ea se utilizează, în special, în studiul bolilor congenitale ale cordului, ale arterei pulmonare și ale hilurilor, fiind rezervată cazurilor care necesită o intervenție chirurgicală.

Alte metode de vasografie presupun introducerea substanței de contrast în artere, vene, limfatice cu scopul de a pune în evidență și studia unele trunchiuri ale acestor sisteme.

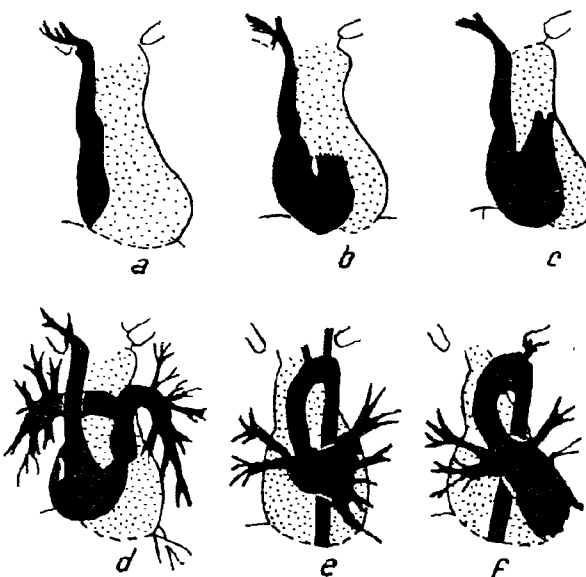


Fig. 398 — Imagini în cursul angiocardiografiei:

— în timpul denumit dextrogramă: substanță opacă din vena cavă su-
perioară pătrunde și opacează atriuł drept (a), ventriculuł drept (b),
conul arterei pulmonare (c), artera pulmonară și ramurile ei (d) și rea-
lizează angiopneumografia; — din circulația pulmonară, sub-
stanță opacă ajunge ușor diluată în atriuł stîng (e), trece în ventriculuł
stîng și aortă (f), realizind levograma cu aorta (După THURN).

AORTOGRAFIA

Presupune introducerea substanței de contrast cu ajutorul unui ca-
teter, metoda SELDINGER (fig. 861 A, 863) sau prin punctie directă în
porțiunea aortei care trebuie studiată — EGAS MONIZ sau la emer-
gență ramurilor pe care dorim să le opacifiem (arteriografie se-
lectivă). În acest mod se pot studia coronarele, arterele bronhice, ar-
tera celiacă, arterele renale etc.

Pentru efectuarea de radiografii corecte în angiografie, expunerile
clișeelor sint programate cu ajutorul dispozitivului O.A.T. sau al unui
dispozitiv electronic „Puck“ Elema Schönder care declanșează radio-
grafia în raport cu faza de umplere a segmentului (sectorului) cardiac
sau vascular respectiv, în raport cu viteza de scurgere a undei sanguine,
schimbă caseta cu filmul, mișcind în același timp platoul mesei de ex-
amen pe care este culcat pacientul în dreptul casetei cu filmul ce va fi
expus pentru regiunea în care se află, pe moment, substanța de contrast.

Viteza medie de scurgere a singelui la pacienți cu diferite stări pa-
tologice vasculare se apreciază fie radioscopic la ecranul de televiziune,
fie cu ajutorul radioizotopilor sau prin efectul Doppler (ecografie).

Datele obținute se înscriv pe un carton perforat care este introdus
în aparat și declanșează radiografia la momentul propus.

EMBOLIZAREA ARTERIALĂ PRIN CATETERISM: DIAPEUTICA

Embolizarea terapeutică realizează o ocluzie vasculară medicală, prin tromboza unui teritoriu patologic bogat vascularizat; se efectuează cu fragmente de spongel (burete hemostatic de gelatină sterilizată) care să intre prin cateterism în artera teritoriului cu focarul patologic.

Este o metodă utilizată din 1971, cu titlu curativ:

- în fistule vasculare și malformații cu scurtcircuit arterio-venos, stări care sunt inoperabile,
- pentru tratamentul hemoragiilor abundente, disperate, cataclismice care nu pot fi controlate medical (în epistaxis, gingivoragii, în hemoptizii, hemoragii digestive, urinare sau a metroragiilor),
- precum și pentru pregătirea actului chirurgical la cazurile la care se scontează hemoragii.

Are un cimp larg de aplicare în tratamentul paleativ al tumorilor maligne (a căror volum se reduce prin ischemie), al hemoragiilor tumorale sau postradioterapie care sunt opriți și în tratamentul durerii la cancer (efect analgetic).

Este o metodă comodă pentru medic, acceptată de bolnavi și pare mai eficace decât ligaturile vasculare chirurgicale, constituind o nouă speranță terapeutică.

Pentru cateterism se utilizează tehnica Seldinger prin punția arterei femurale, efectuându-se în aceeași ședință — prin introducerea pe cateter de substanță iodată de contrast — o arterografie globală necesară pentru identificarea teritoriului patologic și a arterelor (tipul diagnostic), ce vor fi obstruite prin embolizare cu lamele de spongeli (tipul terapeutic).

În aceeași ședință se face și controlul angiografic pentru a verifica calitatea ocluziei, introducându-se din nou, prin cateterul rămas pe loc, substanță iodată de contrast.

Rezultatele trebuie verificate prin angiografii, după 3—4 luni; dacă sunt temporare, embolizarea trebuie repetată.

Cateterismul, urmat de arterografie și terapeutică prin embolizare a dus la crearea termenului nou de „diapeutică” — adică o metodă radiologică unică, care servește în același timp pentru diagnosticul și pentru terapeutică focarului patologic.

MODUL CUM DECURGE EXAMINAREA TORACELUI PENTRU CORD ȘI VASELE MARI

După anamneză și examenul clinic, care orientează medicul radiolog asupra afecțiunii bolnavului, se examinează radiologic plămînul, cordul și vasele de la bază, în poziție ortostatică; numai la bolnavii gravi sau în alte metode speciale, bolnavul este examinat culcat.

Se apreciază forma, dimensiunile și sediul cordului în torace, mișările sale — atât în poziția de față cât și în pozițiile oblice (OAD și OAS) și dacă se constată modificări se insistă asupra cavității, eventual orificiului care este în cauză.

Se studiază modificările care se produc la distanță de leziune, apreciind răsunetul pe care îl are afecțiunea respectivă asupra ventriculului

drept, de pildă, asupra hilurilor și plăminilor, asupra organelor din jur (esofag și trahee).

De multe ori se fac și radiografii în incidentele cele mai expresive pentru cazul respectiv.

Celelalte metode de examinare reprezintă metode de studiu; ele se practică în clinici și spitale, de obicei în echipă cu internistul, cardiologul sau chiar cu chirurgul.

SCINTIGRAFIA

Injectarea de I^{131} ajută în diagnosticul unei pericardite prin comparația siluetei radiologice și celei scintigrafice (care materializează numai conținutul sanguin). Folosirea unui izotop al cesiului, care se fixează pe miocard, poate da relații asupra zonelor de infarct.

Aspectul radiologic normal al cordului și vaselor de la bază la adult. Semiologia normală

Umbra mediastinului este delimitată prin curbe liniare și suprafețe plane date de conturul pereților cordului și al vaselor mari, scoase în evidență de contrastul aeric pulmonar.

Pentru interpretarea umbrei cardiovasculare, în diferite incidente reamintim cîteva date anatomicice și modul de proiecție al cavităților cordului și vaselor mari (fig. 399).

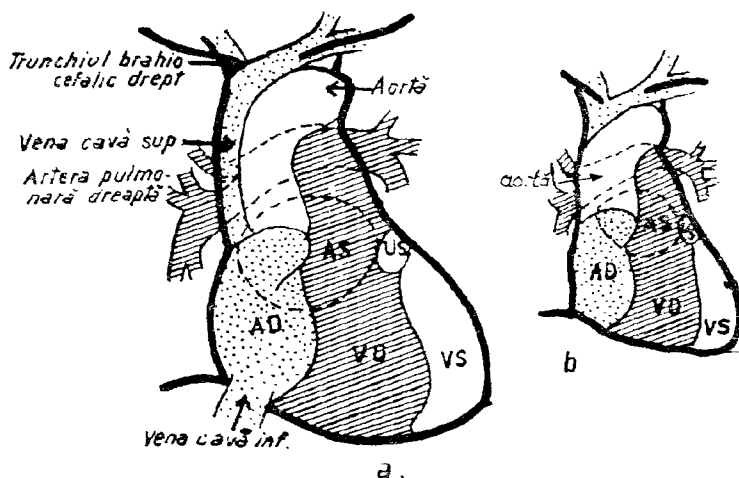


Fig. 399 — Modul de inseriere al cavităților cordului și al vaselor mari în umbra cardio-vasculară.

Cordul este aşezat în torace oblic de sus în jos, de la dreapta la stînga și dinapoia înainte. Se sprijină pe diafragm prin ventriculul drept care constituie partea anterioară a masei cardiaice.

Ventricul stîng, situat posterior în masa cordului, constituie marginea stîngă a inimii, iar vîrful său este partea cea mai declivă a cordului.

Atriu stîng este situat posterior și pe radiografia din față, în incidentă P.A. nu ajunge la contururile laterale ale cordului.

Atriu drept constituie marginea dreaptă a cordului.

Pedicul vascular este constituit din vena cavă superioară, de aorta ascendentă cu cîrja sa și aorta descendenta din trunchiul arterei pulmonare.

Radiologic, umbra pediculului vascular formează un tot în continuare cu umbra cordului.

Vom studia caracterele umbrei cardio-vasculară și cum se prezintă la examenul radiologic de față (incidentă postero-anterioară), în poziție ortostatică, după modul cum se înscrie pe ortodiagramă (fig. 400).

Umbra cardio-vasculară are forma vag triunghiulară, cu baza pe diafragm și cu vîrful trunchiat și pierdut superior. Pe laturi prezintă două arcuri pe dreapta și trei pe stînga.

Arcurile sunt delimitate între ele prin intrînduri („puncte“) care se înseamnă cu — litera D, cele de pe latura dreaptă; — cu litera S, cele de pe latura stîngă. Punctele sunt amplasate la întăierea arcurilor respective.

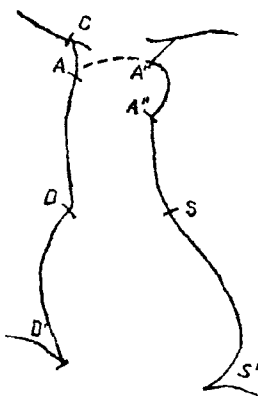


Fig. 400 — Ortodiagramă cu punctele de reper; umbra cordului în incidentă antero-posterioră.

Interpretarea ortodiagramei: corespondențe anatomo-radiologice

Conturul drept prezintă două arcuri principale aproape la fel de lungi.

Arcul inferior drept este format de conturul lateral al atriu lui drept și se întinde între punctul D, punct care reprezintă locul de intrare al venei cave superioare în atriu drept, și punctul D' care reprezintă locul de intrare al venei cave inferioare în atriu drept. Punctul D' se înseamnă cu ușurință în vîrful sinusului cardiodiafragmatic drept, rezultat din întăierea și întăierea arcului inferior cu curba diafragmului respectiv (fig. 401, a).

În unele cazuri, la longilini, mai ales în inspir profund, vena cavă inferioară se vede ca atare în sinusul cardio-diafragmatic și atunci, punctul D' se înseamnă la intrîndul format de arcul inferior drept și banda opacă a acesteia care intăiește sinusul respectiv (fig. 402, b).

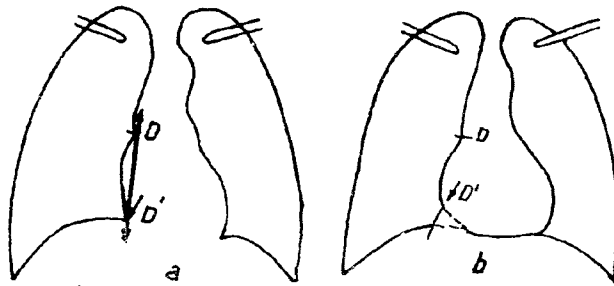


Fig. 401 — Inscrierea punctelor D—D' pe conturul drept al cordului (axul cav).

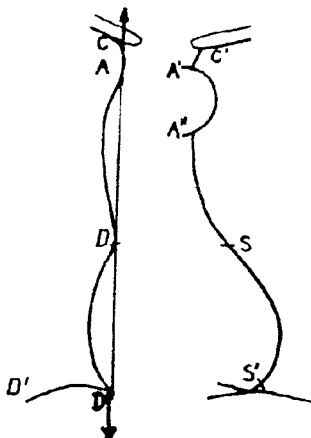


Fig. 402 — Punctele C, A, D și D' se găsesc, aproximativ, pe aceeași linie verticală.

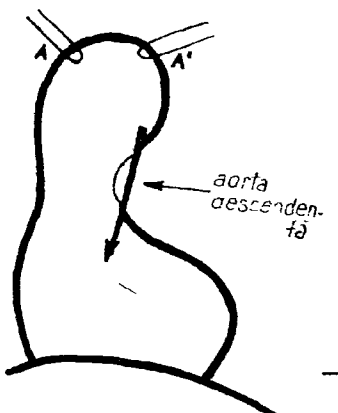


Fig. 403 — Ateroscleroză cu hipertensiune. Aorta derulată și opacă. Butonul aortic proeminent. Aorta toracică. Ventricul stâng hipertropic.

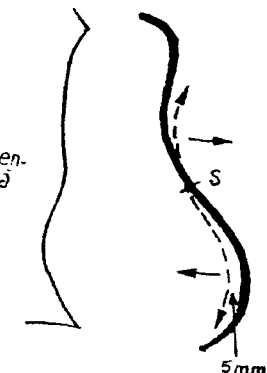


Fig. 404 — Mișcările în „balanță” ale arcului inferior stâng în jurul punctului S, în timpul sistolei și diastolei.

Punctul D se înseamnă în depresiunea dintre atriu drept și pediculul vascular, acolo unde curba arcului inferior se continuă cu o linie dreaptă-verticală determinată de către pediculul vascular (aortă sau cavă).

Prelungind ipotetic cele două cave se obține axul cav al cordului (a) în jurul căruia, în cazuri patologice, se pot produce grade de rotație ale acestuia în sensul acelor de ceasornic.

Arcul superior drept (fig. 400) se întinde între punctul D și punctul A, este ușor bombat, rectiliniu, ori chiar concav.

Mulți autori atribuie acest arc conturului lateral al venei cave superioare (fig. 399, a), (ceea ce se confirmă pe cadavră).

La adult, în poziție ortostatică, conturul lateral drept al pediculului vascular pare să fie constituit totdeauna de către aorta ascendentă și este ușor bombat (fig. 399, b); cind este determinat de vena cavă superioară, conturul lateral superior drept este liniar.

Din punctul A, care se înseamnă la intersecția arcului vascular superior drept aortic cu coloana, de pe conturul vascular se desprinde o bandă umbrată cu direcția ascendentă spre claviculă, pe care o întretaie în punctul C, bandă care reprezintă trunchiul venos brachiocefalic drept (A—C).

Punctele C, A, D și D' se găsesc în cazuri normale, aproximativ pe aceeași linie verticală paravertebrală (fig. 402); arcul inferior drept care este determinat de către auriculul drept depășește conturul drept al coloanei și bombează pe dreapta, mai mult decât arcul vascular superior determinat de aortă.

Conturul superior al pediculului vascular între A și A', determinat de aortă, este neprecis, atât din cauza vaselor ce se desprind din cîrja aortei — cît și din cauza formațiilor anatomicice mediastinale, care se sumează în această regiune.

La persoanele mai în vîrstă și la cele la care aorta este opacă, conturul superior al pediculului vascular se poate vedea ca o linie arciformă (fig. 403) A—A', care depășește ușor coloana vertebrală dorsală și stabilizează continuitatea între marginea dreaptă și marginea stîngă a pediculului vascular.

Conturul stîng al umbrei cardiovasculare este constituit din trei arcuri principale: — butonul aortic, — arcul mijlociu și — arcul inferior stîng.

Butonul aortic pleacă de pe latura stîngă a coloanei vertebrale la înălțimea lui D₄ sau D₅ din punctul care se înseamnă cu A'. El reprezintă *conturul genunchiului posterior al cîrjei aortice* (fig. 453) și se întinde între punctele A' și A'', care marchează extremitățile arcului. Uneori, de la butonul aortic pleacă spre claviculă o bandă umbrată dată de artera subclaviculară stîngă (fig. 402 A', C').

Butonul aortic se continuă în jos, sau este întrețăiat de conturul lateral al aortei descendente (fig. 403).

Arcul mijlociu stîng se întinde între punctele A'' și S, și reprezintă *conturul lateral al trunchiului arterei pulmonare*. Cranial el este depășit înspre stînga de proeminența butonului aortic, iar inferior de proeminența arcului ventricular stîng; la nivelul arcului mijlociu umbra cardio-vasculară prezintă o depresiune care este numită „*golful cordului*”, a cărei adâncime depinde la același individ de poziția diafragmului. Arcul mijlociu poate fi plan, concav sau convex, are bătăi sincrone cu ale arcului aortic și în sens invers cu ale ventriculului stîng.

Punctul S se înscrise în unghiul rezultat din întrețăierea arcului mijlociu cu arcul inferior stîng, urmărind mișcările acestor două arcuri, pe locul unde se observă o zonă imobilă, scoasă în relief și prin faptul că arcurile, de o parte și de alta a ei, se mișcă în sens contrar, executând mișcarea „în balantă”.

În timpul sistolei (fig. 404), arcul inferior (punctat) care aparține ventricului stîng, se mișcă înăuntru spre linia mediană, iar arcul mijlociu, care aparține arterei pulmonare se deplasează în afară; mișcările se produc invers în diastolă cu dinți pe kimografie pînă la 5 mm.

În unele cazuri, punctul S este foarte greu de însemnat la ortodiagramă și atunci bolnavul trebuie examinat în usoară rotație OAS, poziție în care întrîndul atrio-ventricular, sau axul mișcării de basculă este mai evident.

În poziție ortostatică, punctul S se află pe aceeași linie orizontală cu punctul D.

Atriu stîng, care este situat posterior față de celelalte cavități ale cordului (fig. 399) nu ajunge și nu ia parte în mod normal la conturul stîng al umbrei cordului. Chiar și în cazuri patologice, cînd arcul mijlociu este mare și bombat, acesta se explică, de multe ori, prin proeminența trunchiului arterei pulmonare și nu prin proeminența atriuui stîng.

Urechiușa stîngă (fig. 399, a) poate realiza pe conturul lateral al cordului o zonă fără mișcări (zonă mută) la partea inferioară a arcului mijlociu, deasupra punctului S.

Arcul inferior stîng începe de la punctul S, se întinde pînă la vîrful cordului, însemnat cu S', și este constituit de către conturul lateral al ventriculului stîng. Direcția și curbura lui sunt în raport cu configurația toracelui; este ușor bombat la longilini și accentuat bombat la cei cu toracele scurt. Vîrful inimii este constituit din vîrful geometric al ovoidului cardiac și punctul S' este ușor de recunoscut și însemnat pe ecranul radiologic, în punctul de curbură maxim la longilini.

Delimitarea vîrfului cordului și însemnarea punctului S' este dificilă la picnici, la persoanele cu diafragmul cu poziție înaltă și la cei la care vîrful umbrei cordului este rotunjit. În aceste cazuri, punctul S' se pune în evidență:

- în inspir forțat, cînd vîrful cordului urcă deasupra diafragmului;
- examinînd virful cordului prin transparența camerei cu aer a stomacului;

— prin procedeul *tangentei lui BORDET și VAQUEZ* (fig. 405) în cazul cînd vîrful este rotunjit: se duce o linie tangentă la conturul vîrfului cordului, paralelă cu diametrul bazal (D' S); locul de tangentă reprezintă punctul S'.

Conturul inferior al umbrei cordului se confundă cu cel al ficatului; el poate fi reprezentat de o linie ce unește punctele S' și D' și corespunde ventriculului drept (fig. 406).

Aprecierea dimensiunilor cordului sau a diferitelor cavități se face cu ajutorul măsurătorilor liniare a diametrelor cordului.

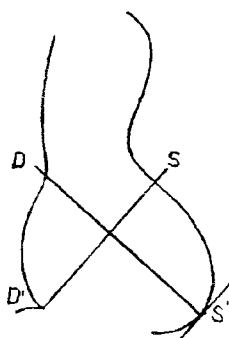


Fig. 405 — Delimitarea vîrfului cordului prin procedeul tangentei lui BORDET și VAQUEZ.

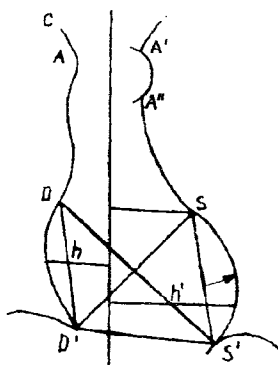


Fig. 406 — Diametrele cordului.

Diametrele și dimensiunile cordului

Unele diametre sunt globale, altele dă relații parțiale asupra fiecărei cavități sau vas în parte (fig. 406).

1. Diametre globale.

Diametrul longitudinal al cordului (DL) se întinde între punctele D și S', reprezintă axul cordului și măsoară la adulți circa 13 cm.

Diametrul orizontal (DH) sau transversal (DTr) se măsoară cu ajutorul a două linii perpendiculare ridicate de pe linia mediană în punctele cele mai proeminente ale arcurilor inferioare din dreapta și din stînga ale umbrei cordului. Hemidiametrul drept (h) și hemidiametrul stîng (h') au valori în raport cu dezvoltarea cavităților drepte și respectiv a celor stîngi de la acest nivel.

Diametrul longitudinal este de obicei mai mare cu 1 cm decît diametrul orizontal, care măsoară 12 cm.

Diametrul bazal (DB) corespunde aproximativ bazei înimii, sănțului atrio-ventricular; se întinde între punctele D' și S, și măsoară 10 cm.

2. Diametre parțiale.

Diametrul ventriculului stîng sau coarda arcului inferior stîng se întinde între punctele S și S' și măsoară 7,5 cm.

Sâgeata ventriculului stîng se măsoară printr-o perpendiculară ridicată de pe coardă în punctul cel mai bombat și mai îndepărtat al arcului S—S'.

Hemidiametrul transversal stîng (h') ne dă, de asemenea, relații asupra ventriculului stîng.

Diametrul ventricular drept se măsoară între punctele D' S' și reprezintă conturul diafragmatic al umbrei cordului.

Diametrul auriculului drept se măsoară între punctele D' și este coarda arcului inferior drept.

Hemidiametrul transvers drept (h) dă relații asupra atrialui și ventriculului drept.

Pentru auriculul stîng se măsoară distanța între linia mediană și punctul S.

Dăm mai jos *tabloul BORDET și VAQUEZ* cu dimensiunile cordului la adult, pentru vîrste între 20—60 ani.

TABEL IV

Valori în cm	D i a m e t r e								Indice V. stg.
	D L D—S'	D H h—h'	D B D'—S	V stg.	Sâgeata v. stîng	V. Dr.	A. Dr.	A. stg.	
Max.	15,0	14,5	10,5	8,5	2,0	14,7	7,5	5,0	1,4
Min.	11,5	9,5	9,3	6,7	0,6	8,5	3,5	3,5	0,6
Mijl.	13,2	12,0	9,9	7,5	1,3	11,6	5,0	4,2	1,0

Pentru a aprecia dimensiunile cordului, unii autori se referă la suprafața cordului iar alții calculează volumul lui.

Valorile diferitelor măsurători nu au caracter absolut, întrucât dimensiunile variază în mod normal cu înălțimea, constituția, sexul, profesia etc. Diametrele și dimensiunile au valoare la unul și același bolnav

cînd urmărim evoluția acestor dimensiuni, în raport cu anumite stări fiziológice sau patologice.

Importanță mai mare au modificările de formă și configurație, ca și modificările unei singure cavități, dacă le putem aprecia.

Raportul, quotientul cardio-pulmonar. Între lărgimea umbrei cordului și lărgimea bazei toracelui există un raport în funcție de configurația toracică și de lărgimea cordului; umbra cordului ocupă de obicei 1/3 din lărgimea toracelui.

Indicele de dezvoltare în profunzime a ventriculului stîng. În caz de hipertrofie a ventriculului stîng mărirea acestuia se face îndeosebi în sens antero-posterior, pe seama portiunii sale profunde (pe seama perețelui său posterior) și, pe imaginea din față, modificarea nu poate fi apreciată decit cu următoarea metodă (fig. 407):

— în timpul ortodiagramei, după ce s-a inscris conturul cordului pe ecran, cu fascicul îngust și ortograd (cu tubul în F₁) și după ce s-a însemnat, în același mod, vîrful cordului (adică punctul S', pe figură notat cu S₁);

— se deplasează tubul cu 10 cm de la stînga spre linia mediană (spre dreapta bolnavului, în F₂) și se deschide diafragmul larg; proiecția vîrfului cordului pe ecran este realizată acum de un fascicul de raze X oblic în punctul 2 și este notat cu S'', care se înscrise în afara punctului S'.

La 60 cm tub-écran, în cazul cînd este vorba de un cord sănătos, distanța dintre cele două puncte, 1 și 2, notate cu S' și S'' măsoară 10 mm; în caz de dezvoltare în profunzime (în sens posterior) a ventriculului stîng, fascicul oblic tangent la conturul proeminent posterior (pe schiță hașurat) proiectează conturul ventriculului mărit și mai lateral în punctul 3, notat S'''; rezultă că distanța dintre cele două puncte, S'-S''' se măreste, adică indicele de profunzime crește.

Unghiul de dispariție a vîrfului cordului. Bolnavul este așezat cu spațele la ecran și din poziție directă antero-posterioră este rotat treptat în OPD pînă ce vîrful cordului, care la început se proiectează la stînga coloanei, ajunge pe coloană și dispără în umbra acesteia (fig. 408).

La subiectul normal, vîrful cordului dispără în umbra coloanei la o rotație de 25°—30°, OPD; dacă ventriculul stîng este mărit și umbra cordului este dezvoltată spre stînga, este nevoie să rotăm bolnavul mai mult, la 40°—50°, deci unghiul de dispariție al vîrfului cordului, care se înscrise între ecran și planul frontal al toracelui, crește.

Mișcările cordului și pulsăriile vaselor de la bază pot fi studiate radioscopic, dar pot fi înscrise cu ajutorul kimografiei. Ele pot fi active și pasive.

Ventriculul stîng (fig. 404) prezintă pulsării sistolice scurte și repezi, mișcări active, în care arcul inferior se deplasează spre linia mediană și expansiune diastolică, în care arcul inferior se deplasează lateral, dar nu trebuie să depășească cu mai mult de 5 mm conturul retracției sistolice.

Pulsăriile arcului aortic sunt inverse și constau în expansiune sistolică bruscă și retracție diastolică lentă.

Pulsăriile atriale ale arcului inferior drept constau în croșete, care înregistrează mișcări inverse față de cele ale ventriculului stîng (expansiune laterală în sistolă, depresiune medială diastolică). Cind, pe conturul arcului inferior drept al cordului, se resimte și bătaia ventriculului drept, croșetele atriale arată o dublă bătaie.

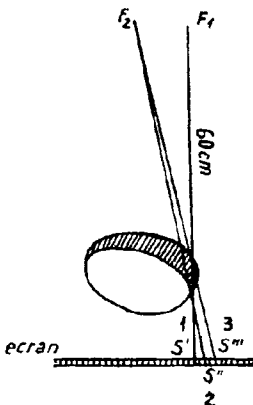


Fig. 407 — Apreciera indicelui de dezvoltare în profunzime a ventricului sting.

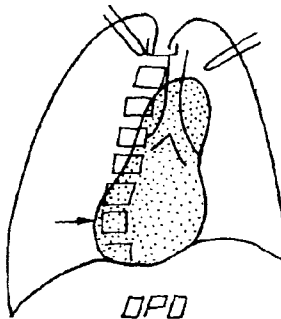


Fig. 408 — Unghiul de dispariție a vîrfului cordului în umbra coloanei vertebrale.

Arcul superior drept, dat de pedicul vascular, pulsează în cazul cînd este constituit din aortă.

Vasele pulmonare în hiluri pot prezenta pulsări transmise, pulsăriile proprii neputînd fi sesizate decît în cazuri patologice.

Pulsăriile cordului sau vaselor mari se pot transmite la formațiile anatomicе vecine.

Mișcările transmise mobilizează formațiunea sau organul vecin în totalitate, îi imprimă o translatăie, în timp ce mișcările active animă arcurile și măresc sau micșorează dimensiunile; deosebirea între ele nu se poate face decît cu ajutorul înregistrării kimografice.

Mișcările pasive ale cordului se produc odată cu schimbarea poziției bolnavului. Cînd toracele se înclină spre stînga, vîrful cordului se deplasează spre peretele axilar al toracelui cu 2 cm, cînd nu este simfizat la pericard și pleură; în decubit cordul urcă odată cu diafragmul.

Pozițiile de examinare ale cordului și vaselor de la bază și cavitățile ce se văd mai bine în fiecare poziție

Diferitele cavități ale cordului și vasele de la bază au configurație anatomică, sediu și raporturi cunoscute deja din anatomie.

Imaginea radiologică a acestora se sumează în umbra mediastinului și pentru a le putea studia, pe fiecare în parte, se utilizează poziții de examinare și incidențe multiple, reusind astfel să căpătăm date despre fiecare element anatomic, să ne dăm seama de dezvoltarea cavităților în spațiu, mai ales în cazurile patologice.

În timpul examenului, bolnavul poate fi așezat, față de razele X, în plan frontal, în plan sagital, sau în poziții oblice de unde și pozițiile de examinare pot fi directe, laterale și oblice.

Pozitiiile de examinare directe sunt două, bolnavul fiind așezat:

— fie cu fața spre examinator (pozitie postero-anterioară, PA), deoarece fasciculul de raze care pleacă din tub, intră prin partea posterioară a corpului șiiese prin partea anterioară și apoi cade pe ecran;

— fie cu spatele la ecran (pozitie antero-posterioară, AP).

Sunt patru pozitii principale oblice, complementare între ele două cîte două.

În poziție oblică anterioară dreaptă (fig. 409) bolnavul este așezat cu fața la ecran, dar stă oblic, este rotat cu umărul drept înainte, spre ecran. Prescurtat, această poziție se notează cu inițialele OAD.

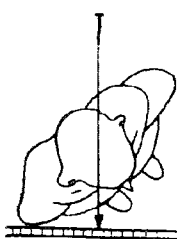


Fig. 409 — Poziție
O.A.D.

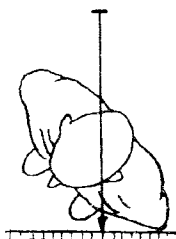


Fig. 410 — Poziție
O.A.S.

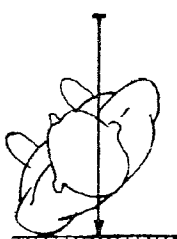


Fig. 411 — Poziție
O.P.S.

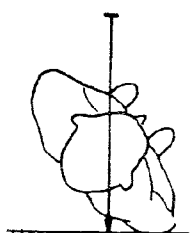


Fig. 412 — Poziție
O.P.D.

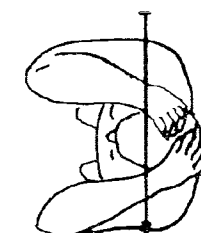


Fig. 413 — Poziție laterală stîngă.

În poziție oblică anterioară stîngă (OAS) bolnavul este cu fața spre cel ce examinează, dar este așezat oblic, cu umărul stîng la ecran (fig. 410).

În pozițiile oblice posterioare, bolnavul se află așezat cu spatele la examinator:

— fie cu umărul drept la ecran (oblică posterioară dreaptă — OPD) (fig. 412).

— fie cu umărul stîng la ecran (pozitie oblică posterioară stîngă — OPS) (fig. 411).

În pozițiile laterale (fig. 413) bolnavul este așezat de profil cu planul frontal în lungul fasciculului de raze X, ține mîinile pe cap și, după cum bolnavul este cu umărul drept sau cel stîng spre ecran, poziția laterală poartă denumirea de poziție laterală dreaptă sau stîngă (profil drept sau stîng).

Pozitia cordului in torace: forma inimii

Situat in mediastinul anterior, pe care-l ocupă în cea mai mare parte, cordul este menținut în poziție prin vasele de la bază și prin pericard, mai puțin de centrul frenic.

Pozitia și forma cordului variază cu *tipul constitutional* KRETSCHMER, cu vîrsta și cu poziția diafragmului.

În principiu, *la adult*, se descriu trei tipuri principale:

1. CORDUL OBLIC (fig. 414)

Silueta opacă cardiovasculară, *la adultul normostenic*, este dezvoltată mai mult la stînga liniei mediane și tipul oblic (fig. 414) este întîlnit cel mai frecvent în poziție ortostatică.

Unghiul de înclinare a cordului este de 45° . Unghiul de înclinare este format din diametrul longitudinal — DS' — cu o linie orizontală care trece prin S'. El crește în inspir profund cînd cordul se alungește și se verticalizează, și se micșorează în decubit dorsal și în expir pronunțat, cînd diafragmul ridică cordul și imaginea se întinde mai mult în sens orizontal și se desfășoară mai mult spre dreapta, transversal.

2. CORDUL VERTICAL (fig. 415)

La persoane longilinii, în toracele astenice, are poziția aproape mediană, axul longitudinal aproape vertical, vîrful cordului este apropiat de linia mediană, arcul inferior drept și cel stîng sunt aproape simetrice; la sugar și copilul mic umbra cordonului pare a avea sediu median.

Cordul în picătură sau suspendat (fig. 416) are conturul inferior descoperit de diafragm, mai ales în inspir, fază în care diafragmul se depărtează de umbra cordului. Se întîlnește în habitus ftizic, dar și la emfizematoși și se explică prin poziția joasă a diafragmului.

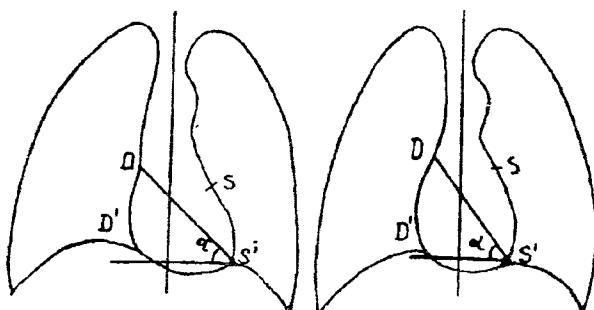


Fig. 414 — Torace normostenic. Tip cardiac oblic.

Fig. 415 — Torace astenic la persoane longilinii. Cord vertical.

3. CORDUL ORIZONTAL (fig. 417)

Se întâlnește la pacienții hiperstenici cu torace larg și scurt, la picnici, la obezi. Axul său longitudinal este mult înclinat pe orizontală, unghiul de înclinație este mic, cordul pare culcat pe diafragm și se desfășoară în sens transversal spre stînga. Marginea dreaptă (în parte mascată de cupola diafragmatică) pare foarte scurtă.

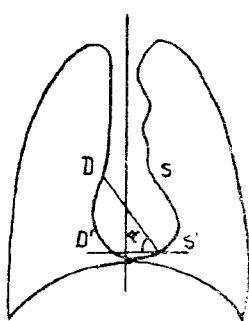


Fig. 416 — Torace emfizematos. Cord în picătură (suspendat).

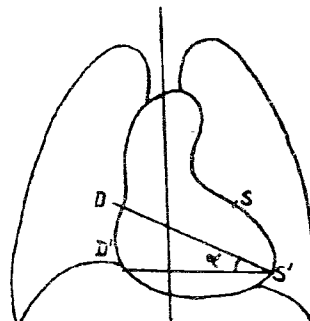


Fig. 417 — Torace hipersténic, la picnici. Cord orizontal.

Cordul senil este un cord orizontal.

Cordul copilului mic.

Se apropie de tipul orizontal: pediculul vascular este mai larg, iar butonul aortic este șters pînă la vîrstă de 4 ani; dacă este prezent pînă la această vîrstă, sau este mărit după 4 ani, trebuie căutată o anomalie a aortei.

Comparativ cu cordul adultului și cu volumul toracelui, cordul copilului este mai mare, iar diviziunea marginilor în arcuri este mai puțin netă. Are configurație mitrală datorită faptului că în primii ani ai copilariei cordul drept și artera pulmonară, în special, sunt mai mari.

După vîrstă de 2 ani, pînă la 6 ani, configurația se apropie de cea a adultului.

În mod obișnuit, *forma, dimensiunile și poziția cordului din torace* variază în raport cu momentul funcțional cardiac (sistolă-diastolă), cu momentul respirator (inspir-expir) și cu poziția bolnavului și a diafragmului.

Cordul orizontal se constată la femeia gravidă și în afectiunile abdominale cu sporire de volum și presiune crescută abdominală. În graviditate, ascită, obezitate etc., ridicarea diafragmului determină o rotație a cordului cu virful înainte, în sus și înspre stînga în jurul axului cav, care fixează baza cordului și în jurul axului longitudinal. Acestea fac ca umbra cordului să aibă aspect orizontal.

Modificări asemănătoare se pot vedea și în expir și decubit dorsal.

Din contra, cînd diafragmul este coborît, cordul are aspect aproape vertical, în picătură (fig. 416).

XII. Semeiologia patologică elementară cardio-vasculară

Examenul clinic și electrocardiografic sunt metodele principale pentru diagnosticul bolilor aparatului cardio-vascular; relațiile date de examenul radiologic simplu nu au aceeași importanță ca cele ce se obțin pentru alte organe și sisteme.

Modificările elementare patologice cardio-vasculare pot să se refere la:

- sediu și poziție;
- dimensiuni și formă;
- pulsații.

1. Cordul și vasele de la bază pot să-și modifice *sediu* și *poziția*: în afecțiuni toracice care împing sau atrag mediastinul, în cifoscolioză, în caz de poziție anormală a diafragmului; aceste modificări se pot însoții de tulburări funcționale.

2. Modificările de *dimensiuni* și *formă* sunt în raport cu starea masei musculare miocardice, cu hemodinamica (gradul de umplere al diferitelor cavități), mai rar cu starea pericardului.

De aici și clasificarea proceselor patologice în:

- afecțiuni cardiace hemodinamice (valvulare);
- afecțiuni miocardice și
- afecțiuni pericardice.

Semeiologia patologică a cavităților cordului în tulburările de hemodinamică

Fiziopatologia cordului este dominată de:

- modificările orificiilor sau de cauze la distanță de inimă, care au răsunet asupra umplerii și golirii diferitelor cavități, și
- de starea fibrei musculare.

Fiziologia fibrei musculare este complexă. Contrația fibrei musculare se face brusc (L. LOUIS), iar energia contracției este cu atit mai mare, cu cît alungirea fibrei musculare este mai pronunțată (bineînțeles în anumite limite), cu cît este mai accentuată întinderea fibrelor musculare prin umplerea cavității în diastolă (legea fibrei musculare a lui STARCIMG).

Atrofia miocardului se produce atunci cînd activitatea unei cavități scade: în stenoza mitrală ventriculul stîng se atrofiază sau rămîne mic prin lipsă de activitate în perioada de creștere și dezvoltare a copilului reumatic.

Dilatația și hipertrofia se întâlnesc atunci cînd activitatea cordului crește peste normal.

— fie din cauza unei rezistențe crescute în calea scurgerii singelui (dilatație de rezistență);

— fie din cauza unei cantități mai mari de sânge care intră în cursul diastolei în cavitatea respectivă (dilatație de umplere).

În ambele împrejurări, cavitatea respectivă și musculatura desfășoară o activitate mai mare, căreia îi poate face față un anumit timp prin alungirea fibrei miocardice, ceea ce duce la dilatarea cavității.

La început, dilatarea se produce numai în diastolă, deoarece fibra musculară se contractă și revine la normal în sistolă.

Mai tîrziu, fibra musculară epuizată nu mai revine la normal în cursul sistolei; se spune că este o dilatație sistolică.

Cînd alungirea și supradestinderea fibrelor musculare este de durată, musculatura se **hipertrofiază**; dilatația precede hipertrofia și ambele modificări reprezintă fenomene de adaptare ale miocardului sănătos, unor condiții hemodinamice patologice.

De fapt, primul mecanism de adaptare care intră în joc este constituit din accelerarea ritmului, care poate spori debitul în anumite limite (de exemplu la sportivi în timpul unor eforturi fizice mari).

Tulburările de hemodinamică iau naștere în procesele patologice care impiedică realizarea unui debit circulator normal.

Dilatația și hipertrofia cavităților cordului

În condiții de perturbare a hemodinamicii, se fac în funcție de traecțul singelui circulant care este condiționat de dispoziția aparatului valvular, de arhitectura interioară a fiecărei cavități, ca și de diferența de presiune din interiorul cavităților; acestea permit să se descrie pentru fiecare ventricul o *cale de intrare* (cameră de acumulare) și o *cale de ieșire* (cameră de expulzie) (fig. 418).

Calea de intrare a *ventriculului drept* (Id) este situată orizontal, calea de ieșire (Ed) este situată aproape vertical în lungul axului longitudinal al cordului. Din această dispoziție rezultă că dilatarea ventriculului drept pe seama căii de intrare determină, pe imaginea toracică de față, lărgirea umbrei cordului în sens transversal.

Dilatarea ventriculului drept pe seama alungirii căii de ieșire se face în sens vertical și duce la configurația mitrală a cordului prin bombarea arcului mijlociu al pulmonarei în golful inimii.

Calea de intrare a *ventriculului stîng* (Is) pleacă de la orificiul mitral și are direcție oblică în jos, înainte spre vîrful cordului.

Alungirea căii de intrare nu produce nici o modificare a umbrei cordului, pe imaginea din față; modificările pot fi apreciate numai prin studiul indicelui de profunzime și prin aprecierea unghiului de dispariție a ventriculului stîng.

Calea de ieșire a ventriculului stîng (Es) pleacă de la vîrful cordului spre orificiul aortic; alungirea ei determină alungirea arcului ventricular stîng și bombarea lui spre stîngă.

Dilatația de rezistență este la început **tonogenă**, fază în care mușchiul cardiac se poate hipertrofia și fibra alungi și reușește să învingă rezistența crescută din calea currentului sanguin; mărirea cavității începe la sfîrșitul căii de ieșire și se face în sens longitudinal (fig. 420 a).

Dilatația miogenă se instalează în perioada când fibra musculară este insuficientă (miocardul este lezat) și nu mai poate învinge rezistența din calea undei sanguine și atunci creșterea cavității se face în sens transversal (b). Această modificare mai este cunoscută și sub denumirea simplă de „*dilatație*“, în timp ce dilatația tonogenă este cunoscută sub denumirea de „*hipertrofie*“.

În *dilatația de umplere*, miocardul intact se adaptează unei munci care constă în expulzarea, în cursul unei sistole, a unei cantități mai mari de sânge.

Dilatația și hipertrofia de umplere se produc inițial în vecinătatea orificiului prin care pătrunde în cavitatea ventriculară masa suplimentară de sânge.

Dilatația de umplere poate fi, de asemenea, **tonogenă** (caz în care se măresc atât diametrele longitudinale cât și cele transversale ale ventriculului interesat) și **miogenă**, cind umbra cordului se mărește transversal.

DILATAȚIA ȘI HIPERTROFIA VENTRICULULUI DREPT

1. Hipertrofia pură a ventriculului drept se traduce prin:

- proeminența arcului pulmonare, datorată dilatației dinamice sau anatomiche a acestei artere, în care ventriculul drept trimite în artera pulmonară o cantitate de sânge mai mare, cu presiune crescută.

- pulsării sistolice ale hilurilor — „*dansul hilurilor*“ lui PEZZI — pulsării care sunt vii și energice, consecutiv dilatației sistolice a ramurilor pulmonarei.

2. **Dilatația de rezistență** (fig. 419) și hipertrofia ventriculului drept se întâlnesc în emfizem, scleroză pulmonară, în care se produce o hipertensiune pulmonară cronică, și în afecțiunile valvulei mitrale.

Configurația mitrală a cordului în caz de dilatație tonogenă și hipertrofie a ventriculului drept (fig. 421) este datorată:

- alungirii ventriculului drept, care se dezvoltă în sens cranial, în lungul căii de ieșire, și împinge conul și trunchiul arterei pulmonare în sus (fig. 420, a), în timp ce diafragmul opune rezistență dezvoltării ventriculului drept în jos;

- precum și rotației, spre stînga, a cordului în jurul axului cav, care deplasează ventriculul drept (în mod normal cu *sediu anterior*) spre stînga și ventriculul stîng posterior.

Mai tîrziu se constată o mărire transversală a ventriculului drept (fig. 420, b). Cind se produce spre dreapta, arcul inferior drept devine

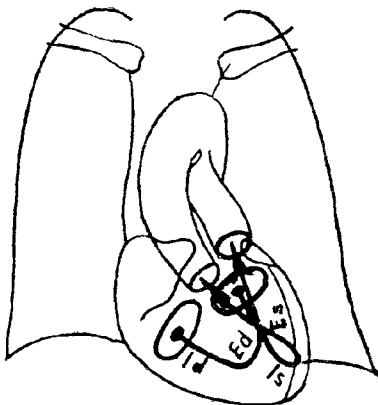


Fig. 418. — Căile de intrare și de ieșire ale ventriculilor (după ZDANSKY).

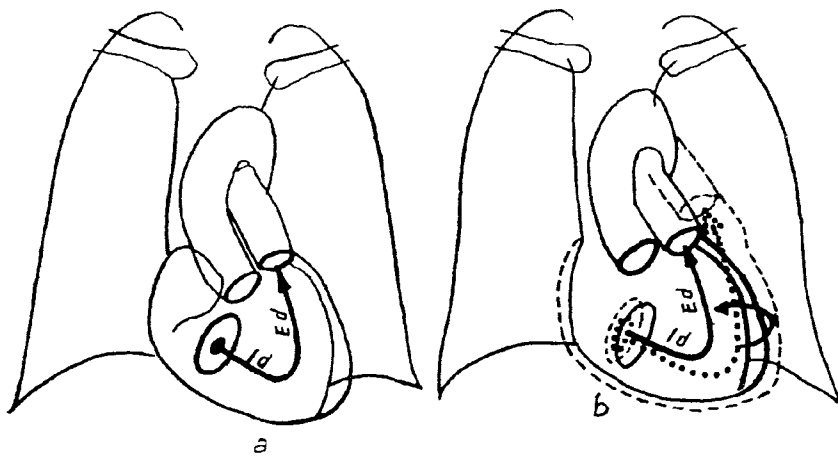


Fig. 419 — Modificările cordului în caz de dilatație de rezistență și hipertrofie a ventriculușui drept:
a — cord normal; b — ventriculul drept dilatat determină rotația spre stînga a cordului, în jurul axului cav (după ZDANSKY).

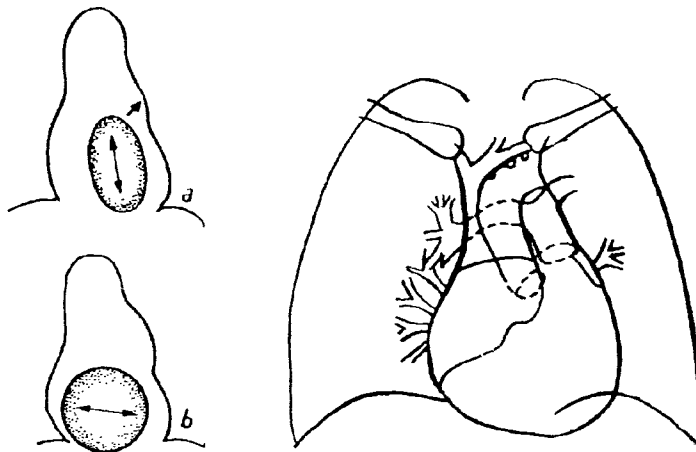


Fig. 420 — a) Ventriculul drept dilatat tonogen; b) Ventriculul drept dilatat miogen.

Fig. 421 — Configurația mitrală a cordului în caz de hipertrofie și dilatație a ventriculușui drept.

mai lung și mai rotunjit și poate fi constituit din ventriculul drept (care depășește conturul atriușui drept).

Cind dilatația devine *miogenă*, dilatarea transversală a ventriculușui drept este mai mare, dezvoltarea cavității lui se desfășoară spre stînga și arcul inferior stîng poate fi constituit din conturul ventriculușui drept.

Dacă este mărit și ventriculul stîng, dilatarea ventriculului drept nu se poate face decât spre dreapta și unghiul cardio-diafragmatic drept devine obtuz.

3. **Dilatația de umplere și hipertrofia ventriculului drept** se produce printr-o umplere diastolică mărită și poate fi datorată, fie valvulelor insuficiente ale arterei pulmonare, fie măririi cantității de sânge care vine din atriu drept.

a. Dilatația de umplere retrogradă (cu sânge ce vine de la artera pulmonară) se traduce prin aceeași semnătare ca și la dilatația de rezistență semnalată mai sus, însă dilatația conului arterei pulmonare este mai accentuată.

b. Dilatația de umplere și hipertrofia ventriculului drept se constată la sportivii ce fac eforturi de lungă durată, la care, din atriu drept, vine o cantitate de sânge mărită în ventriculul drept, în timpul diastolei. Se caracterizează *radiologic* printr-un cord cu configurație aproape aortică, fără proeminență arcului mijlociu, fără dansul hilurilor, iar *fiziopatologic* prin alungire, dilatație și îngrosarea hipertrofică a peretelilor ventriculului drept în lungul căii de intrare, care este transversală.

Dilatarea ventriculului drept se traduce, după VAQUEZ și BORDET, prin configurația triunghiulară a inimii, prin configurația *in sabot*, consecutivă ascensiunii vîrfului cordului prin împingerea efectuată, de către ventriculul drept dilatat, asupra ventriculului stîng.

DILATAȚIA ȘI HIPERTROFIA VENTRICULULUI STÎNG

1. **Hipertrofia pură** se traduce printr-o rotunjire accentuată a arcului inferior stîng.

La persoanele mai în vîrstă, hipertrofia ventriculului stîng asociată cu proeminența butonului aortic, duce la o adîncire a arcului mijlociu al arterei pulmonare și la configurația aortică a cordului (fig. 403).

2. **Dilatația de rezistență a ventriculului stîng** (fig. 422, b) se efectuează în lungul căii de ieșire a ventriculului stîng și se întâlnește în caz de hipertensiune, de stenoză aortică și la sportivii care fac eforturi de scurtă durată.

Se traduce radiologic:

- prin alungirea în sens longitudinal, vertical a ventriculului stîng (fig. 423, a);
- pulsări mari ale arcului inferior stîng, care sunt vizibile și în repaus;
- proeminența butonului aortic din cauza dilatației dinamice a aortei, în care intră o mare cantitate de sânge.

Cind dilatația se extinde și la calea de intrare a ventriculului stîng, umbra cordului se dezvoltă posterior, spre coloană.

Cind intervine dilatația miogenă, arcul inferior stîng, care era numai alungit și rotunjit în cadrul dilatației de rezistență se dezvoltă transversal (b) bombează și se apropie de peretele axilar al hemitoracelui stîng (fig. 423, b); poate împinge și ventriculul drept spre dreapta, iar pulsăriile scad.

Se constată în același timp și o alungire a aortei, cordul are configurație aortică tipică (fig. 403).

3. Dilatația de umplere a ventriculului stîng se produce din cauza plusului de sînge care vine din atriu stîng (insuficiență mitrală), sau din aortă (insuficiență aortică) și, în afara modificărilor menționate la dilatația de rezistență, duce la o creștere a diametrului ventriculului stîng în profunzime (în sens antero-posterior), ceea

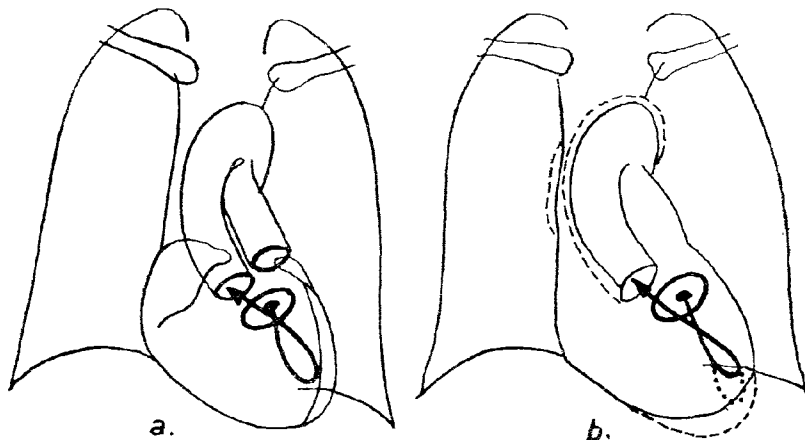


Fig. 422 — a — Ventricul stîng normal; b — Dilatarea ventriculului stîng.

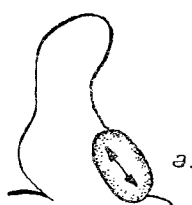


Fig. 423 — Dilatațiile a — tonogenă și b — mioigenă a ventriculului stîng.

DILATAȚIA ATRIULUI DREPT

Gradul ei este greu de apreciat. Cînd este accentuată, atriu drept apare ca o umbră omogenă, care formează marginea dreaptă a cordului, ce este alungită și descrie un arc convex, care proemină în cîmpul pulmonar drept.

Dilatația izolată a atriului drept se întîlnește în stenoza tricuspidă congenitală, afecțiune care este rară și în care lipsește hipertensiunea în circulația pulmonară; dilatația atriului drept este asociată cu cea a ventriculului drept, în caz de insuficiență tricuspidă și în defectele de sept atrial.

Cînd este dilatat ventriculul drept, dilatația atriului drept este cu atît mai sigură,

— cu cît ventriculul drept este mai mare;

- cu cît semnele de hipertensiune în mica circulație sunt mai neînsemnante;
- cu cît vena cavă superioară este mai dilatată.

Dacă este dilatat numai ventriculul drept (fără atriuul drept) se constată semne de hipertensiune în mica circulație (hilurile arteriale), iar vena cavă superioară nu este dilatătă.

DILATAREA ATRIULUI STÎNG

Dilatația moderată a atriuului stîng poate să nu se traducă prin modificări care să poată fi apreciate radiologic.

Uneori, se observă o proeminență ușoară, situată în partea inferioară a arcului mijlociu stîng (fig. 424, a). Dilatațiile mai mari fac ca atriu

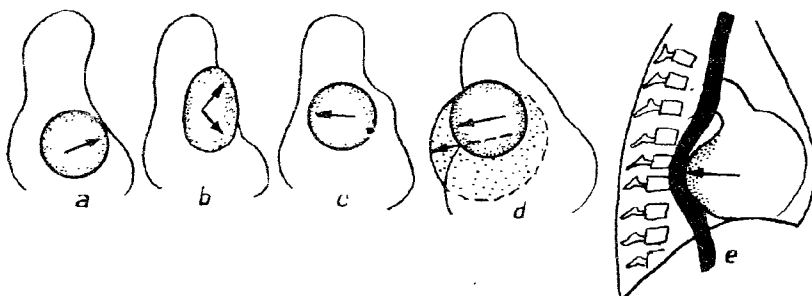


Fig. 424 — Diferite sensuri și posibilități de dilatație ale atriului stîng.

stîng să proemine ca o cocoșă puternică, care trece peste bronchia principală stîngă și ajunge la butonul aortic. Se recunoaște prin aceea că are bătăi presistolice (fig. 424 b).

În stenoza mitrală, dilatația atriului stîng se desfășoară de obicei posterior și spre dreapta, unde se percep ca un contur ce dublează concentric arcul inferior drept sau chiar îl depășește (fig. 424 c, d).

Posterior, atriu stîng bombează mult în spațiul clar mediastinal, îl împarte în două, împinge posterior și spre dreapta esofagul care este arcuit (fig. 424 e).

Bronchia stîngă, care se află între cele două vene pulmonare din stînga, este deplasată cranial de atriu stîng ce se dezvoltă în sus, în față și în spatele bronchiei.

În cursul dilatației atriului stîng, cordul suferă o mișcare de rotație în sensul acelor unui ceasornic,

- ce duce la proeminența conului pulmonarei;
- care face ca vîrful cordului să se infundă în diafragm;
- iar marginea stîngă a cordului să proemine spre stîngă și realizează cordul cu configurație mitrală (fig. 425).

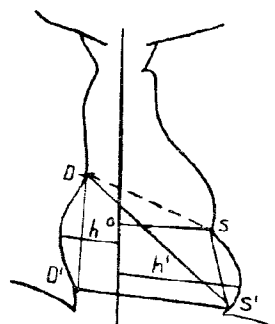


Fig. 425 — Cord cu configurație mitrală.

Trebuie să reținem de pe acum că modificările marginii stângi a cordului nu sunt datorate direct atrialui stîng mărit, ci sunt explicate prin rotația cordului, provocată de acesta și bombarea arterei pulmonare.

Modificările mișcărilor cardio-vasculare

Lipsa mișcărilor pe contur poate să fie localizată la marginile stîngă a cordului — în unele cazuri de infarct miocardic, dar poate fi observată și în pneumotoraxul sub presiune — în pericarditele localizate, în miocardite, în mixedem, în contact cu o tumoră pulmonară.

Imobilitatea contururilor pe ambele părți ale siluetei, coexistînd cu o mărire de volum considerabilă a cordului, se observă în pericarditele exsudative.

Diminuarea amplitudinii contracțiilor cardiace de diferite grade se observă în miocardita cronică și în afecțiunile cardiace care devin insuficiente (hiposistolie, asistolie).

În stenoza mitrală — în care ventriculul stîng primește o cantitate mică de sânge — amplitudinea mișcărilor este slabă și abia perceptibilă la ecran, iar butonul aortic este șters; din contra, în insuficiența aortica diferența între sistolică și diastolică este mare, pulsatiile sunt ample.

Exagerarea amplitudinii bătăilor cardiace se găsește de asemenea în pneumotoraxul spontan.

În cele mai multe cazuri de anevrism, umbra patologică are caracter expansiv și pulsatil (dar multe ectazii de aortă nu sunt pulsatile din cauza sclerozei peretelui).

Mentionăm dilatația arterei pulmonare și a ramurilor ei în hiluri și pulsatiile acestora (*dansul hilurilor* lui PEZZI) în caz de insuficiență valvulară organică sau funcțională, în caz de scleroză pulmonară sau în orice obstacol în mica circulație.

Amintim cu această ocazie *dansul arterial al lui MUSSET* întlnit în insuficiență aortică.

XIII. Bolile cordului prin leziunile valvulare mitrale

Stenoza mitrală (Boala lui DUROZIEZ)

Este o afecțiune de natură endocarditică, care se instalează după cîțiva ani de la puseul infecțios reumatismal ce are loc în copilărie, diagnosticul clinic și cel radiologic fiind stabilit tîrziu după instalarea leziunilor anatomice.

Anatomopatologic, în stenoza mitrală se constată *îngustarea orificiului mitral*, datorită valvulelor simfizate, sclerozate și retractate, ce face ca suprafața orificiului să diminue de la 4—6 cm² cît are în mod obișnuit, sub 1,5 cm², cînd apar tulburări hemodinamice.

Fiziopatologic rezultă că atrialul stîng întîlnește o rezistență crescută la nivelul orificiului și nu reușește ca să se golească complet în ventriculul stîng. În această situație se produce o modificare (în sensul creșterii) a gradientului de presiune diastolică între atrialul stîng și ventriculul stîng. Cantitatea de sânge restant din auriculul stîng este din ce în ce mai mare, presiunea sporește și cavitatea se dilată cu ușurință din cauză că peretele atrial are o structură musculară săracă.

Presiunea sporită din auriculul stîng, în fața *primului baraj* (stenoza mitrală) are ca rezultat staza retrogradă și hipertensiunea în venele pulmonare, fenomen care declanșează vasoconstricția arteriolelor din plămîn (*al doilea baraj*) și dilatația de „rezistență“ a ventriculului drept.

Tulburările de hemodinamică determinate de stenoza mitrală fac ca, pe lîngă mărirea auriculului stîng, să se constate micșorarea ventriculului stîng și modificări compensatorii din partea ventriculului drept și ale hilurilor, în care presiunea din arterele pulmonare sporește.

Ventriculul stîng, în cursul stenozei mitrale, este micșorat din cauza umplerii reduse cu sânge și a atrofiei consecutive. Cum, afecțiunea se instalează de obicei din copilărie, ventriculul, care primește o cantitate redusă de sânge, nu este solicitat să se dezvolte și să crească în același ritm cu celelalte cavități și rămîne mai mic, dar nu este deformat.

În unele cazuri nu se constată modificări radiologice, pentru că dilatația atrialui stîng nu poate fi scoasă în evidență la longilini și persoanele cu cord mic, cazuri în care examenul făcut cu atenție și în decubit ne ajută să apreciem dimensiunile atrialui stîng.

În cazurile tipice, la examenul radiologic din față, cordul are configurație mitrală, golful inimii fiind umplut de artera pulmonară care bombează; în plus, se constată micșorarea ventriculului stîng, stergerea butonului aortic și eventual, apariția conturului atrialui stîng mărit pe marginea dreaptă a siluetei inimii (fig. 427, 428).

Configurația mitrală (fig. 425) a cordului este datorată umplerii golfului inimii de către trunchiul arterei pulmonare și fenomenele se explică prin următoarele mecanisme:

— Dilatația de rezistență și hipertrofia ventriculului drept, în stenoza mitrală, încep la nivelul căii de ieșire și constă în dilatarea conului arterei pulmonare care, chiar dacă nu ajunge la marginea stîngă a cordului, ridică și impinge spre stînga trunchiul arterei pulmonare.

— Dilatația dinamică a arterei pulmonare sau dilatația în urma alterațiilor parietale reumatismale concomitente.

— Artera pulmonară situată pe plan anterior, în urma rotației cordului spre stînga în jurul axului venelor cave (rezultată din dilatarea ventriculului drept și dezvoltarea atrialui stîng îndărât și înspre dreapta), dilatată, devine marginea stîngă și estompează golful inimii.

În cazuri rare, configurația mitrală este datorată atât modificărilor pe care le suferă artera pulmonară, cît și proeminenței atrialui stîng; rotind bolnavul în poziții oblice vom constata că bombarea arcului mijlociu se accentuează în O.A.D. cînd se datorează atrialui stîng mărit.

Punctul D și S nu se mai află situate pe aceeași linie orizontală, ca în cazurile normale (fig. 402), ci între aceste două puncte există o denivelare mare consecutivă faptului că:

— punctul S este mult coborât în urma rotației cordului și în urma dezvoltării în jos a auriculului stîng, iar punctul D urcă din cauza hipertrofiei ventriculului drept.

Alți autori, consideră că punctul S este mult coborât din cauza insuficienței de dezvoltare a ventriculului stîng.

Ventricul stîng micșorat și coborât, realizează un arc inferior aplatisat și de dimensiuni reduse, iar vîrful cordului este ascuțit și apropiat de linia mediană. Bătăile ventriculului stîng sunt slabe.

— Butonul aortic este sters sau chiar dispărut

— din cauza rotației cordului spre stînga,
— din cauză că este mascat în parte de trunchiul arterei pulmonare și
— din cauza umplerii reduse a aortei cu sînge (schlag-volum ventricular diminuat). Pulsațiile aortei sunt diminuate.

Privit în total, marginea stîngă a cordului are oblicitate care se apropie de verticală; conturul drept al cordului poate să aibă aspect normal la început; diametrul transvers al cordului este micșorat din cauză că ventricul stîng este mic, iar arcul inferior corespunzător lui este apropiat de linia mediană.

Mai tîrziu, arcul inferior drept este deplasat treptat spre dreapta și punctul D urcă în măsura în care se hipertrofiază ventriculul drept în fața rezistenței din circulația pulmonară, declanșată de cel de al doilea baraj și de către staza din atriu stîng cauzată de primul baraj (valvular).

În cursul dilatației auriculului stîng, cavitatea acestuia poate să se dezvolte spre stînga, dar de cele mai multe ori se dezvoltă posterior (50% din cazuri) și spre dreapta, modificînd conturul drept al inimii, atât prin dimensiunile lui, cît și prin rotația cordului spre stînga.

La persoanele debile sau la copii, umbra auriculului stîng dilatat transpare, prin umbra cordului ca un simbure opac, iar conturul drept al cordului este constituit în aceste cazuri din două arcuri concentrice (arcul auriculului drept și al auriculului stîng — fig. 426).

Pe măsură ce auriculul stîng crește în dimensiuni, el depășește marginea dreaptă a cordului și proemină în cîmpul pulmonar drept la nivelul punctului D. În acest caz, conturul drept al cordului este constituit din

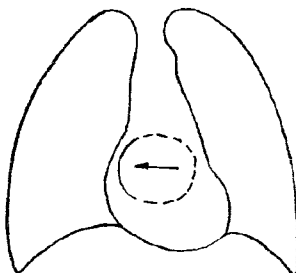


Fig. 426 — Dublu contur concentric.

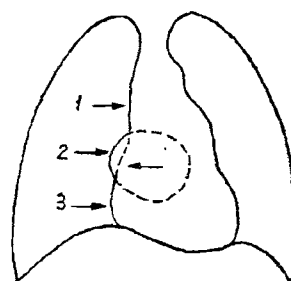


Fig. 427 — Dublu contur feston.

3 arcuri, iar imaginea radiologică poartă denumirea de „dublu contur întrețiat“ sau „feston“, în care conturul drept al cordului este constituit din trei arcuri: arcul superior-cav, un arc mijlociu determinat de conturul lateral drept al auriculului stîng („contur feston“) și un arc inferior constituit din atriu drept (fig. 427).

În caz de dilatație maximă a auriculului stîng, acesta bombează foarte mult la baza hemitoracelui drept și poate ajunge la peretele axilar drept, mascind în totalitate auriculul drept realizând „dublu contur inversat“ (fig. 428).

Examînînd bolnavul în poziții oblice și din profil se constată cum atriu stîng se dezvoltă treptat în mediastinul posterior, spre coloană.

Opacefiind esofagul cu bariu, la examenul din față, se observă devierea trajectului acestuia în dreptul atriuului stîng pe care-l înconjoară de obicei pe dreapta, iar din profil se observă bombarea esofagului și displasarea spre coloană, bombare care are sediul la înălțimea bifurcației traheei (fig. 424 e).

În afara devierii esofagului, auriculul stîng dilatat desface unghiul de bifurcație al traheei și împingecranial bifurcația traheei și bronhia stîngă. Compresiunea bronhiei stîngi poate să meargă pînă la atelectazie.

Se știe că nu este un paralelism strict între gradul stenozei mitrale și cel al dilatației auriculare; dilatația este uneori consecința fibrozei parietale (în cazurile cu dilatație mare anevrismală).

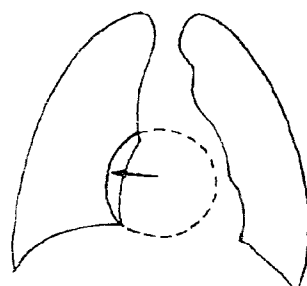


Fig. 428 — Dublu contur inversat.

Hilurile de stază. Plămînul cardiac

În stenoza mitrală și în alte afectiuni ale cordului, în faza în care auriculul stîng nu poate acționa asupra întregii cantități de sânge, care rămîne în el cu fiecare sistolă și la care se adaugă sângele venit din venele pulmonare cu fiecare diastolă, iar presiunea în venele pulmonare sporește, apar fenomene de stază în vasele plămînului și acestea sănt mai evidente în hiluri și pe teritoriul lobului superior, unde dilatarea venelor realizează *cordoanele SYLLA* (fig. 238).

Fenomenele de stază sănt compensate un anumit timp prin hipertrofia ventriculului drept care trimite sângele, sub presiune mai mare, în mica circulație, silindu-l să ia drumul auriculului stîng.

Astăzi timp cît ventriculul drept este compensat se găsește o cantitate mai mare de sânge în hilurile și în circulația pulmonară, din care cauză se produce un transsudat interstîțial ce realizează aspecte radiologice de „hiluri de stază“, de „plămîn de stază“ sau chiar de „edem pulmonar“.

Cînd apare insuficiența ventriculului drept, staza în vasele pulmonare dispare (pentru că nu mai are cine să o întrețină, trimișind mereu sânge în plămîn) și se produce staza pe teritoriul cavelor, cu lărgire a pediculului vascular și hepatomegalie.

Hilurile de stază. Sînt caracterizate prin umbre întinse, largi, difuze, care se întind de la mediastin spre arile pulmonare (fig. 429).

În umbrele hilare poate fi identificată uneori cîrja arterei pulmonare care are mișcări pulsatile ce se transmit pînă la nivelul rețelei principale, dar contururile ei sănt de obicei înnecate de transsudat interstîțial și alveolar.

În plămînul de stază se poate constata:

- scădere transparentei pulmonare,
- îngroșarea sau accentuarea desenului vascular la nivelul rețelei secundare (fig. 429), sau
- prezența de focare nodulare umbrite, care sănt expresia edemului pulmonar cronice, ce se poate organiza în hemosideroză (care realizează un tablou radiologic ca în tuberculoza miliară) (fig. 237). În plămînul cardiac se poate constata *hidrotorax*.

În stenoza mitrală se poate produce și stază limfatică și atunci se constată vizibilitatea septurilor perilobulare cu limfaticele sub forma unor linii fine orizontale perpendiculară la peretele axilar al toracelui (*liniile KERLEY B*) (fig. 180 și 236).

Hilurile arteriale

Se întîlnesc în caz de hipertensiune pulmonară și se caracterizează prin dilatarea și bombarea arterelor pulmonare și a ramurilor lor în hiluri, care au contur net, sănt îndepărtate de umbra cordului (ca niște toarte de amforă, fig. 430) și au mișcări pulsatile (dansul hilurilor lui Pezzi).

Odată cu sporirea presiunii în venele pulmonare, se produce redistribuția săngelui din teritoriile bazale și apar fenomene de stază pe teritoriul lobului superior unde dilatarea venelor realizează *liniile (cordoanele) lui SYLLA*.

Hilurile arteriale se întîlnesc în bronșitele cronice și în sclerozele pulmonare parenchimatoase cu emfizem, boli care constituie un obstacol în

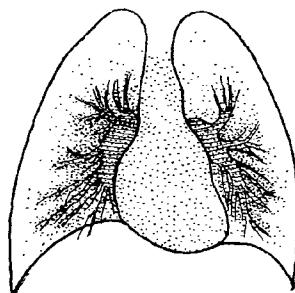


Fig. 429 — Hiluri de stază
în vasele „înecate“.

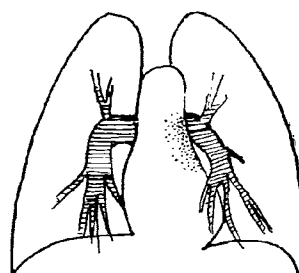


Fig. 430 — Hiluri arteriale
(în „toarte de amforă“).

calea circulației pulmonare, care se soldează cu hipertensiune pulmonară contra căreia ventriculul drept luptă prin dilatare și hypertrofie și bombarea arcului mijlociu stâng. În stenoza mitrală, hipertensiunea în arterele pulmonare este la început consecutiv unui fenomen reflex (spasm arteriolar) dar apoi devine organică prin procese de scleroză arterială și interstitială, proces care are sediul în trama lui BESANÇON.

Insuficiența mitrală

În insuficiența mitrală, valvulele nu închid complet orificiul (ostium) mitral, din care cauză, în timpul sistolei ventriculare stângi, o cantitate de sânge din ventricul, în loc să treacă în aortă cum este fiziologic, refluiază în atriu stâng și produce regurgitație sistolică.

De aici rezultă că la fiecare sistolă atrială, în ventricul stâng este trimisă o cantitate mai mare de sânge creând posibilitățile unei dilatații de umplere a acestuia.

Din cauză că valvulele aortice se deschid cu întârziere (și se închid precoce) deoarece presiunea din ventricul este scăzută prin fuga unei cantități de sânge spre atriu stâng, în ventricul stâng rămîne o carecare cantitate de sânge după fiecare sistolă (fig. 431).

Din aceste cauze, ventricul stâng încărcat cu o cantitate mai mare de sânge desfășoară o muncă sporită (supraîncărcare diastolică), suferind o dilatație de umplere și ulterior hypertrofie, fenomene compensatoare.

Fiziopatologic, în afară de activitatea sporită a ventriculului stâng există și o mărire a auriculului stâng

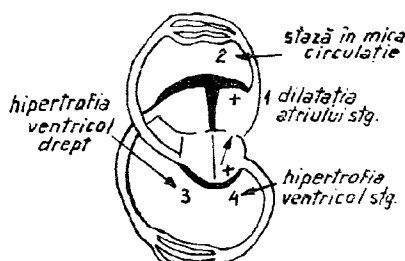


Fig. 431 — Tulburările de hemodinamică în insuficiența mitrală.

datorită refluxului menționat, stază în hiluri și jenă în mica circulație și în cele din urmă participă și ventriculul drept prin dilatația de rezistență.

Etiopatogene. Insuficiența mitrală este de două feluri: organică și funcțională (sau secundară).

INSUFICIENȚA MITRALĂ ORGANICĂ

Este datorată unor leziuni valvulare consecutive procesului de endocardită reumatismală.

Insuficiența mitrală pură este foarte rară. De obicei este asociată cu un oarecare grad de stenoză, dar insuficiența precede manifestările clinice de stenoză. La începutul bolii, modificările umbrei cordului sunt discrete și diagnosticul se stabilește clinic pe baza semnelor stetacustice.

Sunt alte cazuri în care clinic nu există nici o simptomatologie, dar se găsesc modificări tipice la examenul radiologic care constau în hipertrrofia ventriculului stîng, care se traduce printr-o alungire a arcului inferior stîng, ce bombează mai mult decât în mod obișnuit spre stînga și duce la dezvoltarea spre stînga a umbrei cordului iar vîrful ventriculului stîng este rotunjit și împins în afara (fig. 432).

Dilatarea de umplere duce la mărire (în sens antero-posterior) a ventriculului stîng la nivelul căii de intrare și, pentru ca să se poată aprecia dimensiunile ventriculului stîng, este nevoie să se stabilească indicele de profunzime și unghiul de dispariție al vîrfului cordului, care au valori mărite.

Atrul stîng este mărit la 50% din bolnavii cu insuficiență mitrală, dar dezvoltarea lui se face predominant posterior către esofag și trahee și mai puțin spre dreapta, unde poate fi apreciat înăuntrul conturului drept al cordului realizând „dublu contur concentric“.

Apariția atrului stîng pe conturul drept și depășirea acestuia spre peretele axilar al toracelui, „dublu contur inversat“ este rară în insuficiența mitrală nu numai din cauza dilatației lui mai reduse ci și din cauza rotației cordului spre dreapta, care rezultă în urma creșterii de volum a ventriculului stîng.

La examenul esofagului cu bariu, în afara amprentei și deplasării caracteristice produsă de dilatația cavităților stîngi pe care se mulează acesta prezintând o scobitură cu rază mare de curbură, se constată „regurgitația sistolică“ care se pune în evidență și se explică în modul următor: atrul stîng se destinde brusc prin întoarcerea săngelui din ventriculul stîng în timpul sistolei ventriculare, iar fluxul undei sistolice sanguine din cursul expansiunii bruse se transmite la pereții esofagului și la bariul din esofag (fig. 424 e), cu oscilații caracteristice.

Expansiunile sistolice ale atrului stîng, care spre esofag se traduc prin regurgitația sistolică, se poate aprecia și din față, în cazul cînd auriculul stîng depășește spre dreapta conturul drept al cordului; ele alternează cu pulsăriile atrului drept.

Studiul expansiunii atrului stîng la mitral este preconizat pentru a preciza dacă un suflu sistolic este organic sau funcțional, deoarece în ultimul caz, esofagul nu se deplacează în cursul sistolei, bariul nu are oscilațiile caracteristice regurgitației.

Dilatația atrului stîng și staza din venele pulmonare duc la dilatația de rezistență a ventriculului drept care determină dilatația trunchiului arterei pulmonare (arcul mijlociu proeminent) și a ramurilor sale în hil

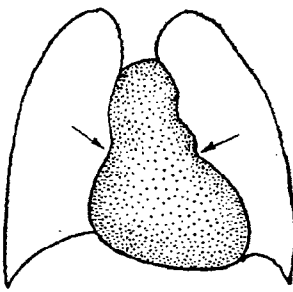


Fig. 432 — Insuficiență mitrală. Vîrful ventriculu lui stîng este rotunjit și impins înafară. Punctele D și S sunt aproximativ la același nivel.

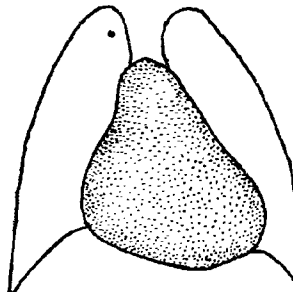


Fig. 433 — Insuficiență mitrală. Aspect triunghiular al cordului — cor bovinum.

(dansul hilurilor). Desenul pulmonar este accentuat; se poate produce plăminul de stază.

În insuficiență mitrală, dilatarea ventriculu lui drept nu se poate desfășura spre stînga, din cauză că ventriculu stîng este deja mărit (cel mult împinge vîrful cordului în sus și înafară) cî se produce creșterea umbrei cordului spre dreapta, mărindu-se arcul inferior drept.

Toate acestea determină aspectul triunghiular al cordului (fig. 433).

— Latura stîngă a triunghiului este aproape liniară, fiind constituită din arcul mijlociu și arcul inferior stîng, foarte slab denivelate între ele.

— Punctul S se stabilește cu dificultate.

În caz de decompensare a ventriculu lui drept nu se mai produce stază în plămin, ci în auriculul drept și pe teritoriul cavelor, cu instalarea unei insuficiențe tricuspidale.

Pe ortodiagrama cu insuficiență mitrală este mărit diametrul longitudinal D—S', iar cînd devin insuficiente cavitățile drepte, suprafața cordului sporește foarte mult (cor bovinum).

INSUFICIENȚĂ MITRALĂ FUNCȚIONALĂ

Se întâlnește în caz de hipertensiune arterială, leziuni renale, miocardită, aortită, în mitralizarea cordului aortic.

Se constată aceleși semne radiologice ca și în insuficiență endocarditică, dar imaginea se deosebește prin aceea că, în afara ventriculu stîng ce poate fi voluminos, celelalte cavități nu sunt mărite prea mult, atriu stîng nu este prea dilatat, ventriculu drept și artera pulmonară nu sunt prea mult mărite.

Insuficiența mitrală funcțională se explică prin apăsarea pe care o exercită cantitatea mare de sânge din ventriculu stîng mult dilatat în bolile menționate, asupra pilierilor și asupra inelului orificial care este întins, lărgit și devine insuficient.

Sub acțiunea terapeuticii cardio-renale, odată cu coborîrea tensiunii și/sau ameliorarea secreției renale, dimensiunile cordului sead și aspectul radiologic se apropie de cel al bolii inițiale, sau chiar de al unui cord normal.

BOALA MITRALĂ

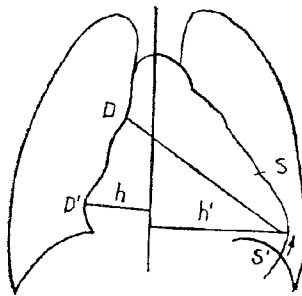


Fig. 434 — Ortodiagrama în boala mitrală.

Anatomopathologic, insuficiența și stenoza mitrală nu sunt întâlnite ca leziuni pure, ci sunt de obicei asociate.

Valvulele mitrale în urma procesului de endocardită reumatismală își pierd suplețea și pe lîngă faptul că nu se deschid suficient în sistola atrială, nu se închid suficient nici în sistola ventriculară:

- atriu stîng se mărește din cauza stenozei, iar
- ventricul stîng din cauza insuficienței.

Stenoza mitrală pură este rară.

În majoritatea cazurilor este vorba de o boală mitrală la care predomină:

- fie semnele de stenoză,
- fie cele de insuficiență.

Pe ortodiagramă (fig. 434) se constată:

- configurația mitrală cu bombarea arcului mijlociu stîng;
- creșterea în dimensiuni a arcului inferior stîng.

Punctul S este mai coborit decât în mod obișnuit, dar denivelarea față de punctul D nu este așa de accentuată ca în stenoza mitrală.

— Diametrul transversal al cordului este mai mare decât diametrul longitudinal.

În caz de stază în circulația pulmonară, ventriculul drept și hilurile se modifică în sensul descris deja la hilurile de stază.

XIV. Afecțiunile valvulelor aortice

Insuficiența aortică

Insuficiența valvulelor aortice poate fi datorată:

- unui proces de endocardită (insuficiență valvulară de tip CORRIGAN),
- sau a unui proces de arterită — aortită sifilitică sau ateromatoasă, în care leziunile de la peretii vasculari se întind și la valvulele sigmoide (insuficiență aortică de tip HODGSON).

În insuficiența aortică, valvulele sigmoide nu se apropiuă în aşa fel încât să închidă complet orificiul și în acest mod să oprească reîntoarcerea sângeului din aortă în ventriculul stîng după terminarea sistolei.

În diastolă, în ventriculul stîng se găsește o cantitate de sânge mai mare decât în mod obișnuit (atât cel care vine de la atriu) și în acest mod să oprească reîntoarcerea sângeului din aortă în ventriculul stîng după terminarea sistolei.

La început, aspectul radiologic poate să fie normal; alteori se constată o alungire a arcului inferior stîng care bombează ușor spre stînga. Vîrful cordului este rotunjit, coboară în jos și este înfundat în diafragm (fig. 435).

Cînd dilatația afectează și calea de intrare, începe lărgirea cavitaților în sens transversal cu rotunjirea puternică a arcului ventricular stîng și împingerea spre dreapta a cordului drept.

În faza de dilatație tonogenă și hipertrofie, pulsurile ventriculului stîng sunt ample, în funcție de schlag-volumul său crescut.

Pe radiokimografie, denivelarea între sistolă și diastolă este mare.

Pedicul vascular, uneori, poate să fie normal; de obicei este lărgit prin dilatarea și alungirea aortei; arcul superior drept este convex, fiind constituit din portiunea ascendentă a aortei, dilatătă dinamic, și deviată marginal; butonul aortei este înalt și proeminent spre stînga, contribuind la adîncirea golfului inimii.

La nivelul butonului aortic se remarcă pulsatiile ample cu expansiuni sistolice brusce, rezultat al schlag-volumului ventricular mare și a căderii brusce a tensiunii în diastolă.

Pulsurile se transmit și la nivelul arterelor periferice: „*dans arterial*“ — *semnul lui MUSSET*.

În insuficiența aortică de natură arterială nu se mai constată pulsării vii ale aortei din cauza rigidității peretelui determinată de fenomenele de scleroză și ateromatoză, care duc la lărgirea lumenului diferențelor porțiuni ale acesteia și derularea cîrjei.

În această perioadă, atriul stîng, hilurile și ventriculul drept pot prezenta caractere normale.

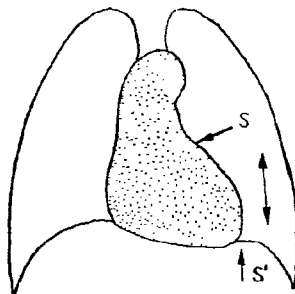


Fig. 435 — Insuficiență aortică: pulsăriile ventriculului stîng sunt ample.

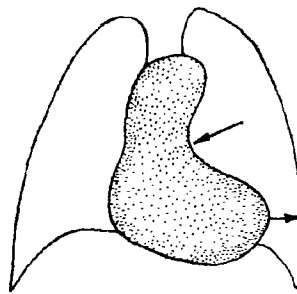


Fig. 436 — Cord cu configurație aortică — golful este pronunțat.

D e c o m p e n s a r e a v e n t r i c u l u l u i s t îng în i n s u f i c i e n ț a a o r t i c ă . Cînd se produce dilatație miogenă, ventriculul stîng se dezvoltă transversal și mai mult — iar radiologic se constată:

— mărirea spre stînga a umbrei cardiaice, arcul inferior stîng putînd ajunge pînă la linia axilară a toracelui;

— golful inimii se adîncește, iar

— cordul are configurație aortică netă (fig. 436).

Forța musculară diminuă mult, schlag-volumul ventriculului stîng scade, pulsăriile lui și ale aortei sunt șterse, cantitatea de sânge aruncată în circulație fiind mică.

Apar semne de stază retrogradă. Auriculul stîng se mărește, ventriculul drept se dilată, se observă stază în hiluri și pulmoni. Din cauza marii cantități de sânge din ventriculul stîng și dilatației acestuia se produce o lărgire a inelului mitral, cu insuficiență funcțională de închidere a valvulelor mitrale.

Se produce *mitralizarea cordului* — semn de decompensare în insuficiență aortică. Prin astuparea golfului, cordul își poate schimba configurația aortică în *configurație mitro-aortică*. Cînd se produce și decompensarea ventriculului drept, dispare staza pulmonară, cordul se dilată mult, apare stază în marea circulație.

Stenoza aortică

Poate fi de natură endocarditică sau de natură arterială. Valvulele sigmoide nu se deschid suficient ca să poată permite întregii cantități de sânge din ventriculul stîng să ajungă în marea circulație. Strîmtarea orificiului determină o hipertensiune sistolică a ventriculului stîng; se pro-

duce o dilatație de rezistență a acestuia, care afectează la început calea de ieșire și mult mai târziu calea de intrare a ventriculului stîng.

Așa se explică de ce imaginea radiologică a cordului, la început poate să fie normală. Mai târziu se pot găsi aceleasi modificări ca și în insuficiență aortică; în perioada de dilatație tonogenă se constată o alungire (cranio-caudală) a arcului inferior stîng și rotunjirea lui.

Ulterior, cînd este prinșă și calea de intrare, dar mai ales în perioada de dilatație miogenă se produce mărirea transversală a ventriculului stîng și se realizează configurația aortică (fig. 436).

Stenoza aortică se deosebește de insuficiență aortică prin faptul că butonul aortic nu este proeminent în stenoze, iar pulsăriile aortice sunt sterse. Pe aceste criterii nu se poate face totuși diagnosticul diferențial, întrucît în unele stenoze se produce dilatația dinamică a aortei ascendente (datorită jetului ventricular stîng) iar în unele insuficiențe cu aortită nu sunt pulsării.

INSUFICIENȚA CARDIACĂ STÎNGĂ

Are drept cauze:

— insuficiența mitrală, insuficiența și stenoza aortică, coarctarea de aortă, hipertensiunea arterială, ateroscleroza.

INSUFICIENȚA CARDIACĂ DREAPTA

Are la bază existența unei hipertensiuni primare în circulația pulmonară; bronhopneumopatia cronică obstructivă B.P.O.C., emfizemul, astmul bronșic, fibrozele pulmonare, obezitatea, afecțiunile ale arterei pulmonare, embolii și tromboză.

Poate fi secundară insuficienței cordului stîng.

INSUFICIENȚA CARDIACĂ GLOBALĂ

Este stadiul final al unei insuficiențe cardiace parțiale, cînd se produce afectarea întregului miocard datorită irigației și nutriției deficitare.

XV. Afecțiunile miocardului

Capacitatea de activitate a miocardului poate să fie modificată din cauza alterării troficității fibrei musculare în cursul unor procese care produc **miocardită** cum sunt cele:

- **infectioase** (miocarditele pot fi datorate reumatismului, difteriei, scarlatinei, unor afecțiuni virotice cum este gripe etc.);
- **toxice** (alcoolism);
- **metabolice** (anemii, boli endocrine); sau
- **degenerative** (scleroza coronarelor).

Fibra musculară slăbită nu mai poate evacua întreaga cantitate de sânge, care se găsește în mod normal în cavitatea respectivă; crește cantitatea de sânge rezidual pe care fibra musculară, la început, se întinde mai mult (dilatație tonogenă), iar cavitatea respectivă se mărește repede și se instalează dilatația miogenă, însotită totdeauna de reducerea contractiilor.

La examenul radiologic (fig. 437) se constată o **mărire globală** a cordului care se recunoaște că are caracter miopicat prin aceea că se produce în sens transversal; cordul are modificată formă și dimensiunile, accidentele de contur sunt sterte, este culcat pe diafragm.

În respirația profundă sau în decubit dorsal se constată că umbra flască a cordului se mărește și se deformează în funcție de poziția diafragmului (fig. 438), chiar dacă în poziție ortostatică era normală.

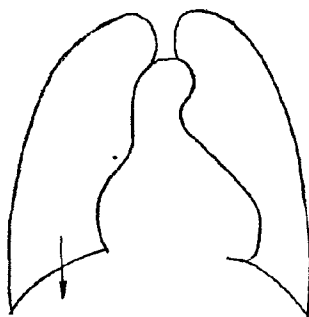


Fig. 437 — Miocardită cu mărirea globală a cordului în inspir.

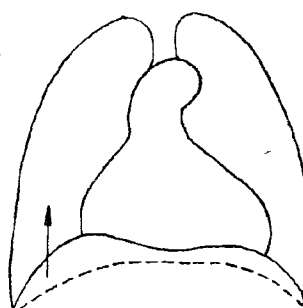


Fig. 438 — Miocardită în expir.

La proba de efort, proba Müller și proba Valsalva, se observă modificări importante ale dimensiunilor și formei cordului.

Pulsăriile sunt mai frecvente, dar amplitudinea contracțiilor ventriculului stâng scade foarte mult, ceea ce împiedică micșorarea schlag-volumului; după efort, amplitudinea pulsăriilor scade și mai mult (în timp ce la miocardul normal pulsăriile devin mai ample).

Dilatația, afectând în egală măsură atât cavitățile din stânga cât și cavitățile din dreapta, explică de ce nu se produce stază în mica circulație; dacă insuficiența stângă se instalează înaintea celei drepte pot apărea semne de hipertensiune pulmonară.

În cazul când afectarea miocardului se produce pe un cord la care erau bolnave anumite cavități, de această dată se accentuează aspectul (mitral, sau aortic, de exemplu) pe care-l aveau înainte de instalarea miocarditei.

Infarctul miocardic rezultă prin obstrucția coronariană de natură trombotică, arteritică sau embolică.

Dacă se face examen radiologic în perioada acută se poate constata:

— dilatația cordului datorită lezării miocardului;

— revărsat pericardic;

— poziție înaltă și mobilitate redusă a diafragmului stâng prin pareză a frenicului.

După 2—3 săptămâni, dacă sediul infarctului este propice studiului radiologic, fiind situat pe conturul cordului, la acest nivel pe kimografie se poate constata reducerea amplitudinii pulsăriilor pînă la dispariția lor („zonă mută“), sau chiar prezența de pulsări inverse (expansiune sistolică), ori dezvoltarea de anevrism al peretelui cardiac (fig. 439).

Mai tîrziu, în focarul de infarct se pot găsi calcificări.



Fig. 439 — Anevrism al peretelui cardiac.

XVI. Afecțiunile pericardului

Pericardul normal — ca și pleura — nu este vizibil radiologic. În cazuri patologice, cînd pe foitele pericardice se depun straturi de fibrină, cînd se produce lichid care destinde foitele pericardice ce duce la mărirea dimensiunilor umbrei cordului sau după aceste îmbolnăviri (cînd se produc simfize și depunerile calcare în pericard) se pot constata modificări radiologice ce pot consta în îngroșarea pericardului, mărirea umbrei cardiaice, atenuarea sau disparația pulsărilor.

Pericarditele pot fi leziuni unice sau asociate cu miocardită sau endocardită.

Pericarditele uscate sau fibrinoase

Nu se traduc radiologic prin semne directe (corespunzătoare durerii și crepitațiilor), în schimb examenul radiologic ne ajută adesea la stabilirea prezenței lichidului (ce nu se traduce încă clinic), la aprecierea configurației și dimensiunilor cordului.

Pericardita exsudativă. Hidropericardul

Producerea lichidului în cavitatea pericardică este datorată unui proces inflamator (de obicei tuberculos sau reumatismal) sau este un transsudat în cursul cardiopatiilor, a neoplaziilor și infarctului miocardic, dar lichidul poate însotî afecțiuni virotice; este întîlnit în cursul uremiei, poate apărea după radioterapia mediastinului în limfogranulomatoză și în cancerul bronhic.

În serviciile de medicină internă poate fi diagnosticată în 1% din cazuri, dar frecvența reală este mult mai mare pentru că la autopsii interesarea pericardului merge pînă la 10%.

Prezența lichidului în cavitatea pericardului duce la sporirea dimensiunilor umbrei cordului, dar pînă la cantitatea de 250 ml, lichidul ocupă diferite spații anatomicice fără să modifice forma și dimensiunile siluetei ini-

mii, iar diagnosticul nu poate fi pus nici clinic, nici radiologic. Electrocardiografia repetată și ecografia interpretate corect, permit cel mai adesea diagnosticul exact.

Cind lichidul este în cantitate mai mare, se constată semne radiologice (în 67% din cazuri, fig. 440) care constau în

- creșterea dimensiunilor umbrei cordului în toate sensurile dar mai ales în sens transversal, acoperind (mascind) hilurile care nu sunt mărite,

- atenuarea sau dispariția pulsăriilor arcurilor, și

- modificarea conturului și formei cordului.

Din cauza distensiei pericardului de către lichid, înfrândurile siluetei cardiace dispar, iar bombarea arcurilor se sterge; umbra cordului are formă triunghiulară cu margini liniare rotunjite și se dezvoltă în ambele hemitorace.

Lichidul urcă și în fundul de sac circular superior dintre foilele pericardice care înfăsoară o parte din pediculul vascular (fig. 440) și le destinde, lărgește umbra pediculului, care la partea inferioară este încorporată în masa de lichid (în umbra cordului), cu care face corp comun. Datorită acestui fapt, pediculul vascular pare scurtat, iar cordul ia formă în carează asezată pe diafragmă.

Pulsăriile butonului aortic sunt normale.

Sinusurile cardio-diafragmatice ascuțite la început, devin obtuze, iar cupola diafragmatică stângă este coborâtă, se pierde în umbra cordului (vanishing diaphragm), camera cu aer a stomacului este turtită.

Mărimea și forma umbrei cardiace nu se modifică în probele Müller sau Valsalva.

În decubit, lichidul are tendință să urce spre fundul de sac pericardic dinspre vasele de la bază; umbra cordului se micșorează întrucâtva pe diafragm, dar se lărgește la partea superioară spre care migrează lichidul, având tendință ca din triunghiulară să devină sferică.

Din profil, în caz de pericardită, umbra mărită a cordului se întinde atât spre stern cât și spre esofag care poate fi împins posterior.

Cind lichidul este în cantitate moderată, imaginea radiologică se poate confunda cu cea din miocardită sau din insuficiență cardiacă prin boli valvulare, cu pleurezia mediastinală sau cu pahipleurita MINGOT.

În acest caz, starea hilurilor și a plămînului ne ajută la diagnostic:

- în pericardita inflamatorie, hilurile sunt normale dar măcate, iar plămînul are transparență normală;

- în afecțiunile miocardice hilurile sunt întinse și pot exista fenomene de stază pulmonară.

Pericardita poate coexista cu pleurezia marii cavități; pleurezia mediastinală lărgește și mai mult umbra cordului, dar examenul din pozițiile oblice arată că din umbră este datorat lichidului din pericard și că celu din pleură.

În afecțiunile valvulare decompensate și în miocardite, în cavitatea pericardică se poate găsi uneori lichid și diagnosticul radiologic al acestuia

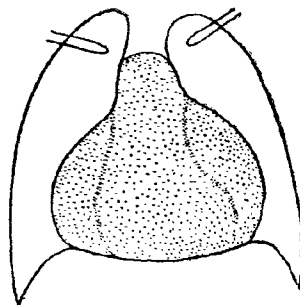


Fig. 440 — Pericardita: imagine în „carafă“.

este dificil; micșorarea cordului decompensat după tratament este posibil să se datoreze rezorbției lichidului din cavitatea pericardică.

În aceste cazuri, ecografia dă relații asupra dimensiunilor ventriculu-lui cu contractări sistolice micșorate, și asupra exsudatului pericardic care nu poate fi apreciat clinic.

Diverticul pericardic congenital se întâlnește rar; este întâlnit mai frecvent cel ciștință — în cursul unei pericardite exsudative sau închisate. Poate fi diagnosticat prin semnul lui IANSSON, care se traduce prin plasticitatea lui respiratorie și relevă conținutul lichidian.

Pneumopericardul și hidropneumopericardul

Sînt întâlnite după punctie terapeutică, mai rar după traumatisme sau fistule bronhice; imaginea radiologică hidro-aerică este caracteristică.

Simfiza pericardică

Este consecutivă pericarditei fibroase sau celei exsudative și se poate produce între foilele pericardice, (*concretio cordis*) sau între pericard și pleura mediastinală, foile între care se produce țesut fibros (*acretio cordis*).

În simfiza pericardică, cordul poate avea dimensiuni normale, dar forma lui este modificată din cauza tractiunilor din jur; conturul cordului este colțurat, festonat cu prelungiri triunghiulare, alteori este neprecis și se pierde în atmosfera de pahipleură din jur, ce se întinde pînă la diafragm, unde închide (umbrește) sinusurile cardiodiafragmatice.

Din profil, cordul pare fixat la fața posterioară a sternului și, în sistolă, sternul este atras spre cord, iar în inspir peretele toracic este tras către placardul de simfiză, *semnul lui WENKEBACH B*. (fig. 441 b). Pulsațiile cordului sunt sterse în dreptul placardelor de aderențe.

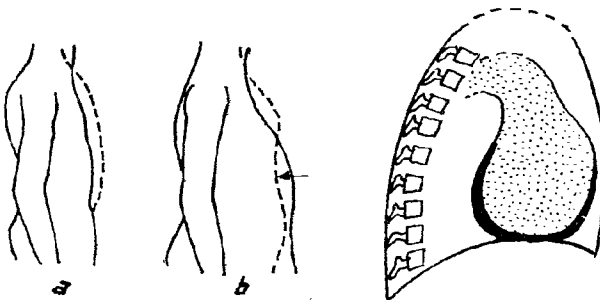


Fig. 441 — Semnul lui WINKEBACH — b; toracele normal — a.

Fig. 442 — Calcificări pericardice.

Mișcările pasive ale cordului (în decubitus sau în inclinările laterale) sunt atenuate sau suprimate.

În pericardita constrictivă internă este vorba de o simfiză intrapericardiacă, pericardul îngrosat aderă la cord și se *încrustează cu sâruri calcare* (pericardită calcară).

Calcificările pericardului sunt mai frecvente în pericardita tuberculoasă, mai rare în cea reumatismală.

Ele pot fi sub formă de grunji calcari sau plăci izolate, sub formă de benzi de-a lungul sănțului atrio-ventricular și coronarian. Alteori, calcificările sunt difuze sub formă de plăci articulate prin țesut fibros și realizează imaginea în zale sau pavaj cu dale.

Calcificările se văd mai bine pe imaginea din profil, și cînd sunt întinse dau o umbrire arciformă sau în potcoavă (fig. 442).

XVII. Afecțiunile congenitale ale cordului și vaselor mari

Anomalii și malformații congenitale sunt întâlnite rar, dar diagnosticul lor radiologic este important în vederea unei terapeutici chirurgicale eficace posibilă în prezent chiar și la nou născuți.

Anomalii congenitale pot fi clasificate în:

- anomalii fără scurt-circuit arterio-venos, cardiopatii necianogene;
- anomalii cu scurt-circuit de la stînga la dreapta (shunt arterio-venos), și
- anomalii cu scurt-circuit de la dreapta la stînga (shunt veno-arterial), cardiopatii cianogene.

Cele mai frecvente malformații cardiaice întâlnite sunt:

- defectul de sept interventricular (*boala lui ROGER*),
- stenoza arterei pulmonare,
- persistența canalului arterial al lui BOTALL,
- stenoza istmului aortic.

Aceste anomalii se întâlnesc, rareori, izolat; ele se găsesc de obicei asociate și se prezintă sub formă de:

- *tetralogia lui FALLOT*, sau
- *complexul lui EISENMENGER*.

Tulburările de hemodinamică care rezultă în afecțiunile congenitale, creează condiții de rezistență și de umplere ce determină modificarea unor cavități, întrucîtva deosebite de cele din afecțiunile valvulare banale și imagini greu de interpretat prin examenul standard.

Cateterismul cardiac și angiografia sunt metodele care ne ajută la studiul detaliat al acestor anomalii.

Anomalii fără shunt arterio-venos. Cardiopatii necianogene

STENOZA ARTEREI PULMONARE

Este o afecțiune congenitală care se întâlnește foarte rar izolată (pură), ea fiind de obicei asociată cu defectul de sept atrial.

Sediul stenozei (fig. 443 a) poate fi la nivelul ostiumului pulmonarei, la nivelul conului, sau pe trunchiul arterei pulmonare.

Ventriculul drept întilnește rezistență în evacuarea lui și cu timpul se dilată și se hipertrofiază, umbra cordului se extinde spre dreapta, iar arcul mijlociu stâng se accentuează și astupă golful inimii (fig. 443, b).

Vasele hilului și ale plămâinului nu sunt așa de largi și sunt mai puțin vizibile decât în mod obișnuit, deoarece primesc singe puțin.

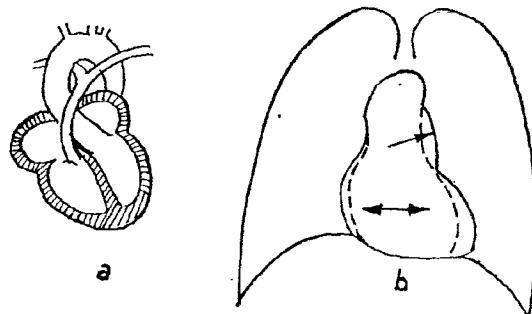


Fig. 443 — Stenoza arterei pulmonare.

Desenul pulmonar sărac, este un semn foarte important cu ajutorul căruia se deosebește stenoza arterei pulmonare de alte afecțiuni congenitale ale cordului.

Ventriculul stâng nu este hipertrofiat, dar este împins spre stînga de ventriculul drept mărit.

STENOZA ISTMULUI AORTIC (COARCTAȚIA)

Se produce pe porțiunea aortei dintre locul de emergență a arterei subclaviculare stîngi și locul de implantare a canalului arterial (fig. 444, a) — *stenoza preductală de tip infantil*. Ea poate fi și *postductală* (fig. 444, b) — *tip adult, BONNET*.

Din cauza coarctației aortice, se creează un dezechilibru, între circulația părții superioare a corpului și cea a părții inferioare, care se manifestă prin hipertensiune în membrele superioare și craniu, și hipotensiune în membrele inferioare.

Inima are configurație aortică și prezintă:

- ventriculul stîng mărit în fața stenozei (dilatație de rezistență);
- pediculul vascular lărgit;
- iar în OAD, aorta ascendentă este dilată și alungită;
- butonul aortic nu este precis și umbra pediculului vascular pare că se continuă cu a arterei subclaviculare stîngi, care este dilată și lărgeste umbra mediastinală spre stînga, în porțiunea corespunzătoare;
- pe conturul stîng al arcului aortic se observă o ancoșă ce corespunde stenozei aortice: aorta prezintă o biloculare în ceas de nisip, care este situată la nivelul istmului (fig. 444, c);
- porțiunea din aortă distală stenozei prezintă dilatație poststenotică cu pulsări șterse sau absente;

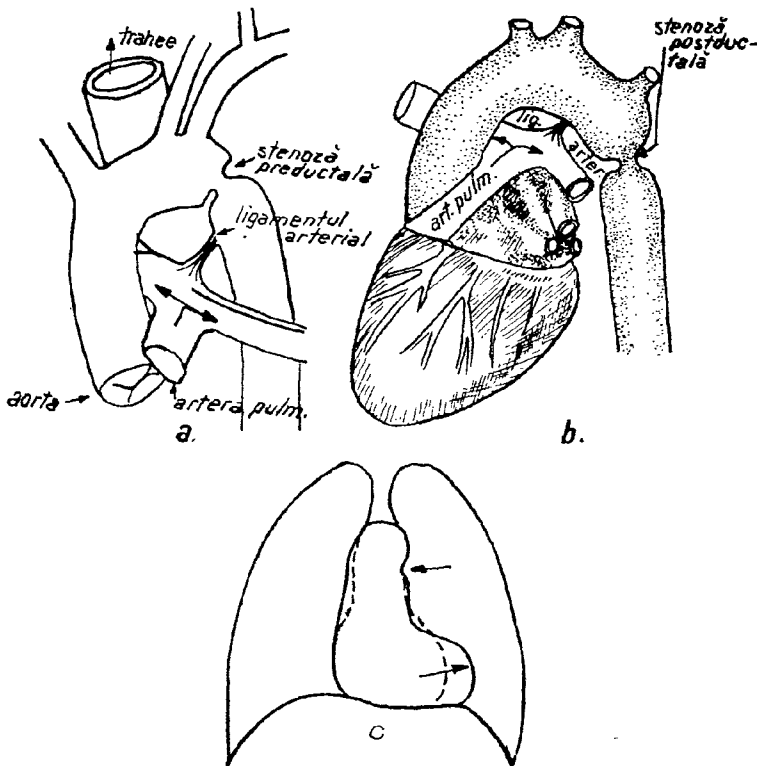


Fig. 444 — Stenoza istmului aortic poate fi:

a — preductală (tip infantil); b — postductală (tip adult); c — silueta radiologică: ancoşă pe conturul pediculului, dilataţie de rezistenţă a ventriculului stîng.

— din cauza perturbării circulaţiei în arterele intercostale — care re establesc circulaţia între cele două teritorii — se produce eroziunea coas telor de-a lungul şanţului subcostal (*semnul lui BICKEL—RÖSSLER*) (fig. 445);

ANOMALIA EBSTEIN

Rezultă din implantarea vicioasă a valvulelor tricuspidé — care sănt și defectuos dezvoltate — pe pereții ventriculului drept, la distanță de inelul atrio-ventricular, din care cauză rezultă micșorarea cavității funktionale a ventriculului drept și insuficiența orificialui tricuspidian cu anomalie. Insertia joasă a valvulelor împarte ventriculul în două părți:

— o parte proximală ce face corp comun cu atriu drept (cavitatea rezultată are rol de atriu și pereții subțiri);

— și o cameră distală ce reprezintă camera ventriculară propriu-zisă. Cavitatea atrio-ventriculară superioară se dezvoltă uneori enorm, ceea ce duce la mărirea umbrei cordului în toate sensurile (fig. 446).

Pedicul vascular este scurt, aorta și pulmonara mici, hilurile și desenul vascular sărace, plăminul transparent, cu sînge în cantitate redusă.

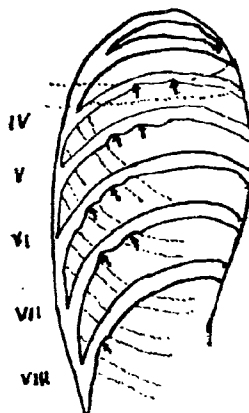


Fig. 445 — *Semnul lui BICKEL-ROSSLER.*

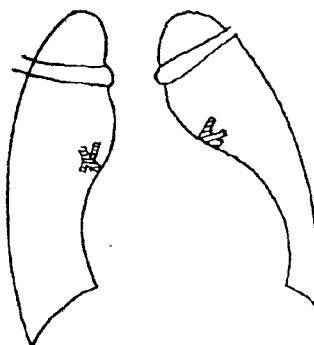


Fig. 446 — *Anomalia EB-STEIN.*

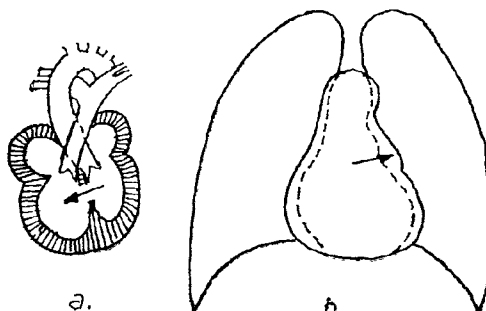


Fig. 447 — *Defectul de sept ventricular (boala lui ROGER).*

Anomalii cu shunt arterio-venos

DEFECTUL DE SEPT VENTRICULAR (boala lui ROGER)

Constă în prezența unui orificiu septal cu dimensiuni variabile.

În cazul cînd orificiul este mic, nu se produc modificări radiologice importante, aspectul cordului fiind normal.

Cînd orificiul septal este mare (fig. 447, a), datorită diferenței de presiune dintre ventriculi, se stabilește un shunt stînga-dreapta, care creează condiții hemodinamice de încărcare și dilatație de umplere atît pentru ventriculul drept și circulația pulmonară, cît și pentru ventriculul stîng, în care de la plămin vine o mai mare cantitate de sânge.

Cordul ia aspect globulos, dezvoltîndu-se în ambele părți (fig. 447, b).

Din cauză că în artera pulmonară este trimis mai mult sânge din ventriculul drept, arcul mijlociu stâng poate deveni proeminente, iar vasele hilului și ramificațiile lor devin mai vizibile și chiar pulsatile.

Calibrul aortei este normal.

PERSISTENȚA GĂURII LUI BOTALL DUPĂ NAȘTERE

Constituie un defect de sept care favorizează comunicarea interatrială (fig. 448, a) care permite trecerea sângelui de la stânga spre dreapta și determină dilatația de umplere a cavităților cordului drept care realizează configurația mitrală fără dilatație a atriu lui stâng — *Syndromul LUTEMBACHER* (fig. 448, b). La examenul radiologic se constată că inima este mărită spre stânga, artera pulmonară (a) este largă și prominentă în golf, aorta este îngustată (b).

Hilurile sunt mari și pulsatile, desenul pulmonar este accentuat — hiperemie pulmonară în urma scurt-circuitului interatrial și a încărcării cavităților drepte. Cind rezistența în circulația pulmonară crește, efectele shunt-ului stânga-dreapta diminuă, se produce un shunt în ambele sensuri (shunt încrucișat) și, în cele din urmă, un shunt dreapta-stângă. În acest caz desenul vascular pulmonar este sărac.

PERSISTENȚA CANALULUI ARTERIAL (DUCTUS ARTERIO-VENOSUS)

Este cea mai frecventă anomalie congenitală. *Canalul arterial (ductul arterio-venos al lui BOTALL)* face legătura arterei pulmonare cu aorta și în viață intrauterină singele din artera pulmonară trece direct în aortă, în marea circulație.

În primele zile după naștere, canalul arterial se închide, iar mai tîrziu devine un ligament (fig. 444, a, b).

În cazurile cînd persistă și după naștere (fig. 449, a, b), se produce un shunt stânga-dreapta: o parte din singele aortei cu presiune mare trece în artera pulmonară (în care tensiunea este scăzută); în artera pulmonară vine sânge din două surse care, prin plămîni cu desen vascular bogat, ajunge în ventricul stâng, mărind astfel volumul de sânge de la nivelul acestei cavități.

Radiologic se constată (fig. 449):

— bombarea arcului mijlociu stâng, dată de dilatarea arterei pulmonare, care este pulsatile și are expansiuni sistolice;

— din cauza lărgirii trunchiului arterei pulmonare, ramurile ei din hil sunt largi și cu ramificații bogate; desenul vascular al plămînului este accentuat;

— arcul aortic drept este bombat ca și în maladie lui Hodgson.

Aspectul inimii nu este modificat decît foarte rar și atunci se hiper-trofiază ventricul stâng care primește o mai mare cantitate de sânge din plămîni.

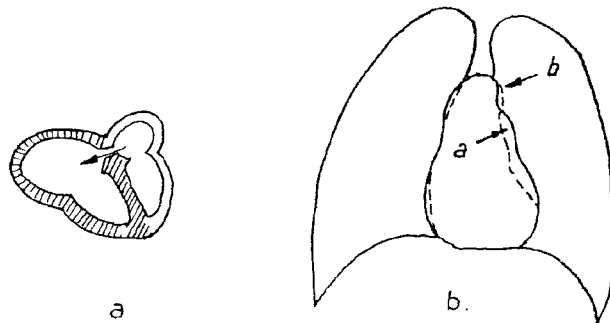


Fig. 448 — Persistența găurii lui BOTALL.

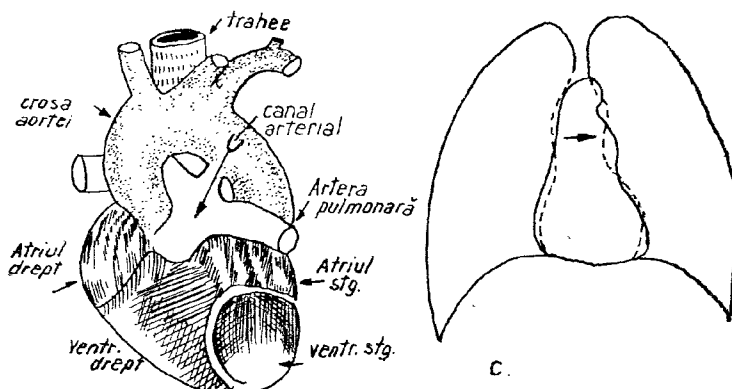
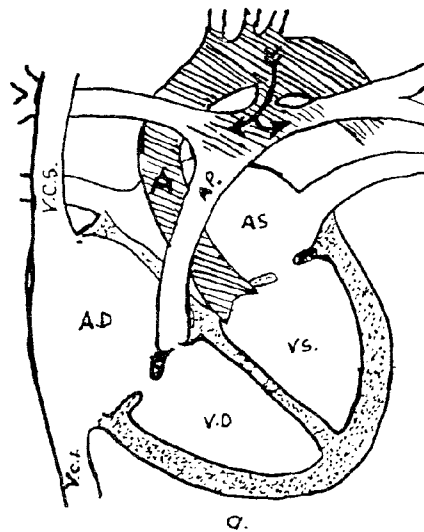


Fig. 449 — Persistența canalului arterial al lui BOTALL.

Anomalii cu shunt veno-arterial. Cardiopatii cianogene

TETRALOGIA FALLOT (fig. 450)

Este cea mai frecventă dintre malformațiile cu cianoză și beneficiază de intervenție chirurgicală.

Anatomopatologic se constată:

- stenoza infundibulară a arterei pulmonare;
- dextropozită aortei care trece călare pe septul interventricular;
- comunicație interventriculară prin defect septal;
- dilatarea și hipertrofia consecutivă a ventriculului drept.

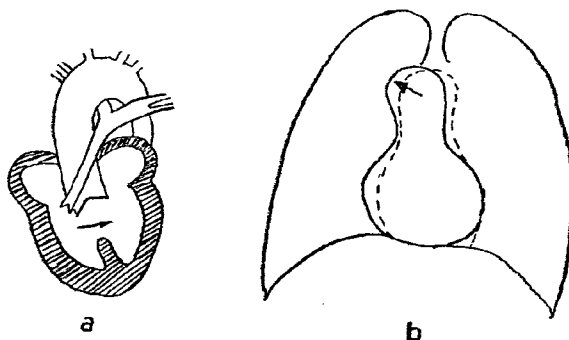


Fig. 450 — Tetralogia lui FALLOT.

TRILOGIA LUI FALLOT (fig. 451)

Se găsesc următoarele modificări:

- stenoza arterei pulmonare asociată cu
- defect de sept atrial,
- ambele având drept consecință hemodinamică;
- dilatația și hipertrofia ventriculului drept, considerat al treilea element al triologiei.

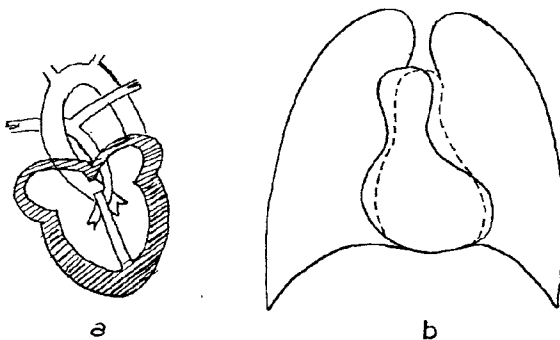


Fig. 451 — Trilogia lui FALLOT.

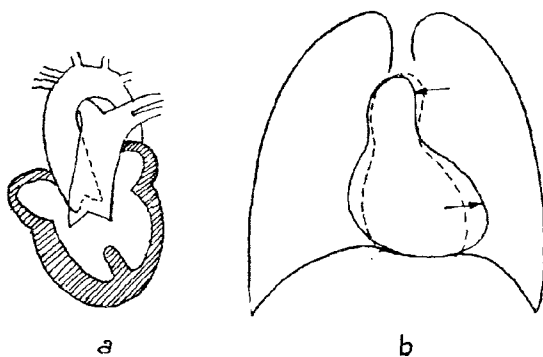


Fig. 452 — *Complexul EISENMENGER.*

COMPLEXUL EISENMENGER (fig. 452)

Se caracterizează anatomo-patologic prin:

- dextropozitia orificiului aortic;
- comunicatie interventriculara printr-un orificiu sus situat;
- hipertrofia ventriculului drept.

Se deosebește de tetralogie prin faptul că artera pulmonară are dimensiuni normale sau mărite, ceea ce explică de ce hilurile sunt întinse și pulsatile, iar desenul pulmonar este accentuat.

XVIII. Aorta

Aorta toracică prezintă trei porțiuni orientate deosebit care constituie cîrja aortei (fig. 453, A). Aorta ascendentă are o lungime de 4—5 cm, este oblică în sus, înainte și spre dreapta.

Porțiunea orizontală, este concavă în jos și este oblică îndărât și spre stînga, formînd genunchiul posterior, care, văzut tangențial, realizează butonul „solid”.

Aorta descendenta coboară aproape paralel cu marginea stîngă a co-loanei pînă în abdomen, unde se împarte în două ramuri iliace.

Calibrul aortei poate fi măsurat pe ascendentă după *procedeu*l lui VAQUEZ și BORDET (fig. 453, B, a, 1), în poziție OAD de 30° și OAS de 45° — 60° , poziții oblice în care umbra aortei ascendențe se degajează de celelalte elemente opace ale mediastinului.

La nivelul aortei ascendențe diametrul se măsoară în afara de *procedeu*l lui VAQUEZ și BORDET (fig. 453, B, a, 1); după *procedeu*l ASSMANN și de ABREU (fig. 453, B, a, 2); La nivelul porțiunii orizontale se măsoară după *procedeu*l lui KREUTZFUCHS, prin opacifierea esofagului cu bariu (fig. 453 B, b și 460); la adultul sănătos el măsoară, în raport cu vîrstă, între 2 cm la 20 de ani și 3—3,5 cm la 60 de ani.

Atît timp cît pereții aortici sunt supli, ei pulsă și lumenul aortei se poate lărgi și micșora.

Cînd tonicitatea și elasticitatea aortei sunt scăzute, se produce dilatația aortei sub presiunea unei cantități mai mari de sînge expulzat.

Relații asupra arterei pulmonare din dreapta se obțin măsurînd diametrul la nivelul porțiunii descendente (fig. 453, B, c) după indicațiile lui SCHWEDEL.

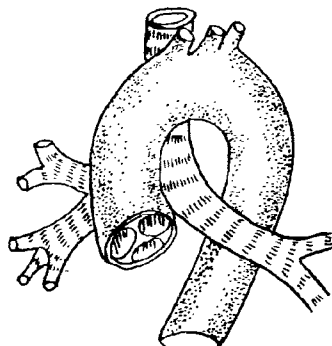


Fig. 453 A — Cîrja aortei — aspect anatomic.

AORTITELE

Sînt produse de intoxicațiile cronice, atheroscleroză, sifilis etc.

Se traduc prin modificări de formă, dimensiuni și opacitate ale arcu-lui aortei, prin atenuarea bătăilor etc.

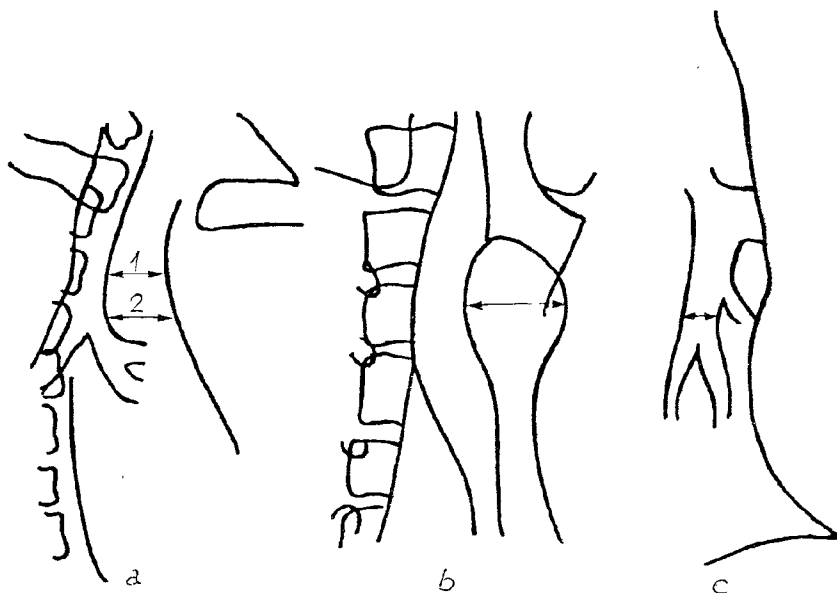


Fig. 453 B — Diferite tehnici pentru măsurarea aortei și arterei pulmonare din dreapta:

a — Măsurarea aortei în O.A.D., după VAQUEZ și BORDET (1) și după după ASSMANN și DE ABREU (2); b — procedeul lui KREUTZ-FUCHS; c — Măsurarea ramului drept al arterei pulmonare — după SCHWEDEL.

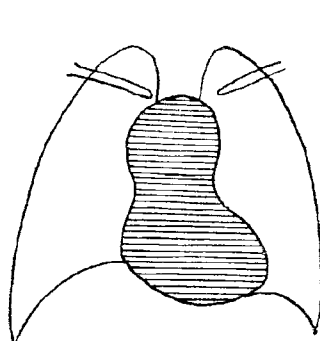


Fig. 454 — Derularea aortei, cu lărgirea pediculului vascular.

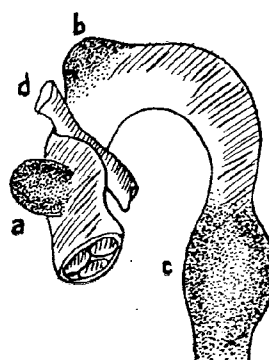


Fig. 455 — Forme anatomo-patologice și sedii ale anevrismului aortic.

Dilatația este mai accentuată la originea ascendentei, dar poate fi apreciată și la nivelul butonului aortic.

Pediculul vascular este alungit și aorta poate bomba spre clavicula stângă sau chiar o depășește cranial.

Alungirea aortei toracice face ca aceasta să aibă traiect sinuos, ondulat (kinking), ceea ce se repercuzează asupra traiectului esofagian.

Diferitele porțiuni ale aortei își schimbă direcția obișnuită: arcul superior drept este convex și bombează spre dreapta, butonul aortic este predominant sub clavicula stângă, se produce derular ea (dezdoirea) arcului aortic (fig. 454).

În aortite se constată frecvent și modificări ale ventriculului stîng (fig. 403) care este hipertrofiat sau dilatat, golul inimii se adințește, apare configurația aortică.

În aortite, pereții aortei se sclerozează și se îngroașă, lumenul se largeste și diferitele segmente ale aortei au opacitate sporită prin depuneri calcare.

Aprecierea opacității se face comparativ cu cea a cordului sau a scheletului coloanei și este explicată prin depuneri calcare difuze și îngroșarea pereților. Calcificare densă sub formă de seceră se poate găsi în butonul aortic, placardul ateromatos.

ANEVRISMUL AORTIC

Anevrismul de aortă este o pungă care comunică cu lumenul vasului ce rezultă în urma alterării pereților arteriali, în cavitatea căruia se găsește sânge; anevrismul are pereții pulsatili, tendință expansivă sau trombozantă.

Anevrismul este de obicei unic și are formă variabilă:

- poate fi sacciform cînd se dezvoltă dintr-un punct limitat al perețelui aortei sub forma unei pungi (fig. 455, a);
- poate fi semisferic (b) sau
- cilindric, fusiform, în care caz se constată o dilatare circumferențială a aortei (c).

Anevrismul cilindric este de obicei datorat atherosclerozei; celelalte forme sunt de natură sifilitică, în care caz pot fi multiple. Cu timpul, în sacul anevrismal se organizează cheaguri sau placarde care tapisează fața interioară a anevrismului.

Anevrismele au sediul cel mai frecvent pe *aorta ascendentă* și sunt plecate de la sinusul VALSALVA, dar pot fi găsite și pe celelalte porțiuni ale aortei.

Ele cresc lent și la examenul radiologic, care ne ajută la stabilirea diagnosticului pozitiv și la efectuarea diagnosticului diferențial, se constată:

- o umbră semisferică care face corp cu aorta și de care nu poate fi separată, oricum am roti bolnavul (fig. 456);
- conturul anevrismului este un arc de cerc și este net trasat.

Intensitatea umbrei depinde de mărimea anevrismului și de vechimea lui.

Tonalitatea umbrei este omogenă la început; mai tîrziu devine neomogenă prin organizarea fibroasă și/sau calcificarea cheagurilor și prin depuneri calcare parietale sub formă de placarde.

Umbrele anevrismale cu tendință expansivă au *mișcări pulsatile*, ceea ce este un semn caracteristic pentru anevrism, semn pe care nu-l întîlnim în alte formațiuni mediastinale.

În anevrismele vechi, cavitatea poate dispare prin organizarea fibroasă a chiagurilor și nu se mai percep mișcări pulsatile sau expansive, ci doar mișcări transmise.

În anevrismele sifilitice — în afara pungii anevrismale — se constată modificări și în celelalte porțiuni ale aortei — după *regula lui THOMA și KIENBÖCK*.

Cu cît anevrismele sunt mai departe de porțiunea incipientă a aortei, cu atât este mai posibil ca umbra cordului să aibă aspect normal.

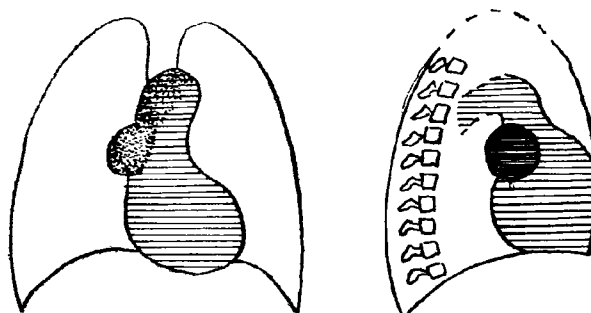


Fig. 456 — Aspectul radiologic al anevrismului de aortă ascendentă în incidență PA și din profil.

În raport cu sediul și dezvoltarea lor, anevrismele deplasează trachea și esofagul, comprimă frenicul sau vena azygos, sau se apropie de elementele scheletice ale peretelui toracic — coloană, stern — unde prin apăsare produc eroziuni osoase (fig. 884, d).

Radiologic nu pot fi constatate anevrismele mici sau cele care se dezvoltă în mediastin.

În raport cu localizarea și dezvoltarea lor, anevrismele aortei ascendente, pe imaginea din față se proiectează pe marginea dreaptă a pediculului vascular și proemină cu atât mai adânc în luminozitatea pulmonară cu cît sunt mai voluminoase (fig. 456).

Examind bolnavul în poziții oblice — se poate stabili punctul de plecare și dezvoltarea anterioară sau posterioară a anevrismului.

Anevрismele crosei aortei se dezvoltă în mediastin cu direcție fie spre regiunea cervicală, fie pe partea dreaptă sau pe latura stângă a pediculului vascular și sunt greu de deosebit de tumorile mediastinale.

Anevрismele aortei descendente sunt recunoscute cu ușurință cind se dezvoltă pe porțiunea incipientă, pentru că proemină în transparenta ariei pulmonare.

În porțiunea mijlocie a aortei toracice, anevrismele proemină în hil și pot fi confundate cu un arc mijlociu stîng al cordului mărit (fig. 457).

Anevрismele porțiunii supradiafragmatice ale aortei, pe imaginea din față, sunt mascate de umbra cordului și trebuie identificate în poziții oblice. Anevрismele se dezvoltă și pe aorta abdominală, și pot fi puse în evidență cind au pereții calcificați, pe radiografia coloanei vertebrale din profil sau atunci cind se face pneumoperitoneu sau aortografie.

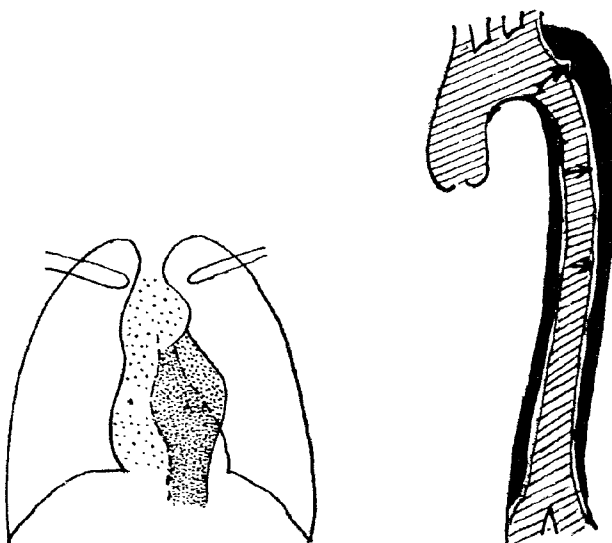


Fig. 457 — Anevrism fusiform al aortei descendente.

Fig. 458 — Anevrism disecant.

ANEVRISMUL DISECANT AL PERETELUI AORTIC; HEMATOMUL DISECANT

Prin disecție aortică se înțelege producerea unui clivaj între tunicele peretelui aortic la nivelul medie și formarea unei cavități sub formă de teacă cilindrică care comunică cu lumenul aortic prin unul sau mai multe orificii — rupturi în intimă.

Ele se pot produce la hipertensiivi (care prezintă și mărire ventriculu' sting) și la cei cu stofa aortică deficientă (*sindromul MARFAN*).

Clivajul poate fi parțial sau circumferențial și se poate întinde în aval la toată aorta, înconjurînd-o ca o teacă (fig. 458).

Ruptura externă este de obicei evoluția finală a anevrismului.

Orificiul de ruptură, clivajul și anevrismul disecant se dezvoltă pe locurile de predilecție ale anevrismului obișnuit; de obicei pe plan posterior.

La examenul radiologic simplu se observă o îngroșare fusiformă difuză a aortei, mai rar o bombare sacciformă care se produce progresiv în porțiunea respectivă și dublu contur prin îngroșarea peretelui aortic; alteori nu putem aprecia decit lărgirea umbrei mediastinului. Dacă se produce ruptura anevrismului, conturul extern al aortei se șterge și apare o colecție (de singe) pleurală sau pericardică.

La angiografie se constată existența unui dublu canal aortic: substanța de contrast injectată în lumenul aortic veritabil trece și în spa-

tiul de clivaj care realizează un al doilea lumen în formă de manșon și acestea sunt paralele și separate între ele printr-un sept transparent — peretele aortic (realizează aspect „în ţeavă [dublă] de pușcă“ (fig. 458).

Lumenul aortic poate fi turtit de către canalul aortic fals care în unele cazuri nu este permeabil la substanța de contrast și produce o umbră de densitate a aortei.

Orificiul de ruptură poate fi identificat; uneori are aspectul unei nișe.

Anevrismul traumatic al aortei este descoperit după un interval de timp de săptămâni sau ani după traumatism. Se modifică butonul aortic; peretele anevrismului se calcifică.

Index alfabetic — volumul I

A

	pag.	fig.
abcesul pulmonar, constituire	185	200—206
" " diagnosticul diferențial		
" cu cavernă t.b.c.	189	207
" evoluție	186, 187	200—204
" " extindere	187	203
" " generalități	184	
" " multilocular	188	205
" " opacitate difuză neomogenă	188	206
" " „solitar“ sau chirurgical	187	204
abcesul subfrenic	312	388
absorbția razelor X: legea lui BRAGG și PIERCE	39	
accesoriile aparatului de raze X	31	75, 77
acinul pulmonar	235	259
<i>acretio cordis</i>	360	442
adenomatoza pulmonară	263	
adenomul bronhic	263	
adenopatia cancerului bronhic	268	303, 304
" în boala HODGKIN-PALTAUF-STERNBERG	286	337—339
ganglionului BABEŞ	225, 227	247, 248, 256, 266
în leucemie	288	
" mediastinală pseudo-tumorală t.b.c.	227	246
" satelită t.b.c.	224	240—245
" în sarcoidoză B.B.S.	253	282
" traheo-bronhică t.b.c. de sine stătătoare	227	242, 247, 248
" tuberculoasă	225, 232	240—249, 254—256
aderențele pleurale	296	353, 354, 372, 373
afecțiunile bronhiilor	193	212—217
" cardio-vasculare congenitale	362	443—452
" cardio-vasculare: aorta	370	453—458
" " artera pulmonară	362	443
afecțiunile cardio-vasculare hemodinamice	337	418—436
" " valvulare	345	426—434
" " și ale vaselor mari	317—375	390—458
" congenitale ale cordului	362—369	443—452

	pag.	fig.
afecțiunile diafragmului	310—318	161, 383—389
" miocardului	356	437—439
" pleurei	290—309	313, 343—382
" mediastinului	275—289	314—342
" pericardului	358	440—442
" pulmonare congenitale ale cordului	362	443—452
" pulmonare parazitară, chistul hidatic	255	283—296
" traheei și bronhiilor	193	212—234
afişajul alfanumeric	93, 112, 116	88, 108
agenezia pulmonară	189	
agentul de cuplare în examenul cu ultrasunete	94	89. b
<i>air-trapping</i>	176—181, 210	
ameliorarea secundară a imaginii	59	
amplificatorul electronic de imagine	75	71—78
amplifotografia	75	77
anatomia cardio-vasculară	326	390—417
" patologică a tuberculozei pulmonare	217	239
" toraco-pulmonară	123	113—162
anevrismul aortic disecant	374	458
" " , localizări	372	455—457
" cordului	357	439
angiocardiografia	71, 323	398
angiopneumografia	71, 324	398
angström, Å	16	
anomaliiile bronho-pulmonare	189	208, 209, 211
" congenitale cardio-vasculare	362	443—452
" costale	125	115
anodul rotativ	20	8—12
" fix al tubului de raze X	19	6, 7
anticatodul	19	6, 7
antracoza	252	
aorta, anatomicie	370	453 A
" și artera pulmonară dreaptă, diametre	370	453 B
aortitele	370	403, 454
aortografia	324	861, 861 A, 863
aparatul cardio-vascular: metode de examinare	317	390—413
aparatul KÜSS pentru insuflat aer în pneumotorax	306	
aparatul respirator: metode de examinare	122	113
arborele bronșic: schema ramificațiilor	136	130, 259
artera pulmonară	126, 374	116, 117, 430, 453 c
arteriografia	324	861 A, 863
" : metoda EGAS MONIZ	324	861 A
" : " SELDINGER	324	863
asbestoza	252	
ascaridoza pulmonară	183	
ASCHEIM și ZONDEK, reacția	286	
aspectul bronhografic normal	137, 199	130
" " patologic	199, 265	217, 297
" cordului și vaselor de la bază	317—374	390—458
" plămînului normal	122	114—162

	pag.	fig.
ASSMANN, infiltratul	152, 236	165, 260
astmul „cardiac“	209	
astmul bronhial	207	
astmul „ganglionar“	209	
așezarea bolnavului pentru radiografie	59	
atelectazia masivă a unui plămîn	155	169
„ pulmonară și colapsul	203	
„ „ și distelectazia	203	
„ „ generalități	203	221—231
„ „ lamelară	203	223
„ dreaptă în pleură liberă	204	224—225
„ pulmonară lobară inferioară dreaptă în pleură liberă	205	226, 231
„ lobară stingă, în pleură liberă	205	228, 231
„ „ superioară	205	229
„ „ simfizată	205	
„ pulmonară parclară	203	221
„ „ pericavitară	203	222
ateromul aortic	372	
atomul și structura materiei	23	13—16
atrezia arterei pulmonare	362	443
AZYGOS, lobul venei (WRISBERG)	135, 141	129, 374

B

balonul tubului de raze X	16	2, 6, 24
BARJON, pleurezia hilară	301	
BARJON, pneumonia cazeoasă	236	254
BÉCLÈRE, ANTOINE	14	
berilioză	252	
bisinoză	252	
B.I.T.=Bureau International du Travail	250	
bloc de condensare, GIBERT	136, 139, 154	
boala BESNIER-BOECK-SCHAUMANN (B.B.S.)	253	282
boala BRILL-SYMMERS	287	
boala lui EBSTEIN	364	446
boala fermierilor, silozurilor	182	
boala HAMNAN-RICH	255	173 b
boala HODGKIN-PALTAUF-STERNBERG	286	337—339
boala KUNDRAT	287	340—342
boala mitrală	352	434
boala PERTHES-JUGGLING	254	
boala ROGER	365	447
bobina primară, bobina secundară	27	20
bobine care emit impulsuri de înaltă frecvență	113	109
BOHR-RUTHERFORD, atomul	23	13
bronhia de drenaj	189, 239	207, 267
„ lui NELSON	137, 145	151
„ primară, secundară	137	130
bronhografia, SICARD și FORESTIER	71, 199	217
bronhograma aeriană, semnul lui FLEISCHNER	159, 168	

	pag.	fig.
bronhopneumonia sau pneumonia în focare	174	191—199
bronhopneumonia gripală, triunghiul GÖTCKE	180	
bronhopneumonia prin inhalatie de substanțe chimice	182	
bronhopneumonia în rujeolă și în tusea convulsivă, triunghiul MARQUEZY	181	199
bronhopneumoniile alergice	183	
bronhopneumoniile nespecifice	178	197
bronhopneumoniile specifice, bacteriene	178	198
bronhopneumopatia obstructivă cronică (B.P.O.C.)	195	
bronhostenoza	201	tabelul III 218—220
bronșiectaziile: examenul fără contrast	196	213—216
" " cu lipiodol	199	217
bronșita acută, obișnuită	194	
" " spasmodică	195	212 a
bronșiolita capilară	176	193
bronșita cronică, definiția lui FLETCHER	195	212 b
" deformantă	195	212 b
bula lui BOUCHARD	237	265
bulbul venei AZYGOS	135, 141	129, 374
buletinul radiologic la cumputer, redactarea SACRE	119	
butonul aortic	329, 370	402, 403, 453 A

C

cablul de înaltă tensiune	32	
cadrul oval în pleurezie	294	348, 350
calcificările aortei	372	
" cartilajelor costale	125	115
" ganglionare	229, 241	249, 270
" parazitare	261, 262	294, 296
" pleurale	297	358
" pulmonare	234	257, 258
calea de ieșire (c.e.) ventriculară dreaptă	338, 339	418, 419
calea de ieșire (c.e.) ventriculară stângă	338, 339	418, 419, 422
calea de intrare (c.i) ventriculară dreaptă	339	418
calea de intrare (c.i) ventriculară stângă	339	418
calitatea radiațiilor	30	
calitatea imaginii	58	
camera de acumulare	338	418
camera de expulsie	338	418
camera de ionizare (Iontomat)	53, 60	58, 77 (3)
camera obscură, developarea automată	56, 58	56, 57
camera Odetca	74	70 a
camera de televiziune	79	77, 78
canalul arterial al lui BOTAL, persistența	366	449
cancerul bronhiilor mari	264	297—304
" bronhic periferic, rotund sau solitar	269	306, 307
" bronhic profesional	271	

	pag.	fig.
cancerul bronho-pulmonar	283	297—313
" bronho-pulmonar: examenul cu lipiodol	265	297
" central, hilar	264	297—304
" cicatricelor pulmonare	272	
" pleurei	273	313
" secundar al plăminului	270	310—312
" virfului plăminului, PANCOAST-TOBIAS	270	
candidoza pulmonară	255	
cantitatea radiațiilor	31	
carboximetilceluloza	71	
carcinoza miliară	272	310
cardiopatiile congenitale,	362—369	443—452
" " anomalia EBSTEIN	364	446
" " fără sunt arteriovenos	362	443—446
" " malformații orificiale cu		
" sunt arterio-venos	365	447—449
" " complexul lui EISENMENGER	369	452
" " defectul de sept ventricular	365	447
" " persistența canalului arterial	366	449
cardiopatiile valvulare	345	426—436
cateterismul cardiac	322	397
catodul tubului de raze X	18	3—6
caverna blocată	239	270 b
" în acordeon	239	
" canceroasă, cu ramă	271	308, 309
" deterjată	238	222
" ganglionară	232	253
" inertă	238	
" pneumoconiotică	249	281
" blină	239	270 b
" primară	231	252—254
" suflată	239	
" t.b.c.	232, 238, 239	254, 263—267
	242	269—271
cavitați, sistem de	158, 238	173, 266
cazeomul, tuberculomul	240	270
chimioterapia tuberculozei	245	
chistul aerian balon	191	209
chiste aeriene multiple	191	211
chistul aerian solitar	191	208
chistul aerian, plăminul polichistic	191	211
chistul bronhiogenic	284	333
chistul dermoid	284	335, 336
chistul hidatic pulmonar	255	166, 283—295
" " " aspecte radiologice	256	285—294
" " " pleuro-pericardic	284	334
cicatricea fibroasă pulmonară	239	268, 274, 292
ciclul evolutiv al tuberculozei pulmonare	221	
cinedensiografiea lui MARCHAL și KOURILSKY	72	68
circuitul electric	26	2, 19

	pag.	fig.
circuitul magnetic	27	20—22
ciroza cardiacă a plămînului	215	
cisticeroza pulmonară	262	296
clasificarea stadală a tuberculozei pulmonare	221	
claviatura alfanumerică	93	88
coarctația aortei	363	444
coaste	125	115 a
„ anomalii	125	115 b
coeficientul de absorbție	123	115 b
colageneze pulmonare	254	
colapsoterapia chirurgicală	245	324, 375
„ medicală	245	324, 375, 378—382
colapsul pulmonar și atelectazia	207	221—231
combaterea radiațiilor secundare	38	36, 37
complexul EISENMENGER	369	452
complexul primar t.b.c. malign	231	252—256
„ „ „ RANKE	224	240
„ „ „ ca reacție perifocală	228	250, 251
componentele osoase ale peretelui toracic	125	115
compresor abdominal ALBRECHT	54	
COMPTON, efectul	36	32, 33
computer — tomografia (C.T.)	82	80—85
comutatorul cu ploturi	32	
concepția lui EINSTEIN	34	
concepția lui PLANCK	34	
<i>concretio cordis</i>	360	441, 442
condromul pulmonar	262	
configurația aortică	328	403, 423, 436
„ „ mitralizată	354	
„ toracelui după KRETSCHMER	335	414—417
congestia pulmonară VOILLIEZ	153, 166, 172	183, 184 a
constanta PLANCK	34	
constituirea abcesului pulmonar	186	200—202
contrastul imaginii	58	
„ radiologic, legea tentelor	48	50
conturul dublu	347	426
„ dublu inversat	347	428
„ feston	347	427
cordul la adult	326	399—406
„ la bătrîn	336	
„ cu configurație mitrală	343	421, 425
„ la copil	336	124
„ și poziția diafragmului	335	414—417
„ în „picătură“	336	416
„ pulmonar	339	421
„ în diferite configurații toracice	335	414—417
„ în „sabot“	351	433
corespondențe anatomo-radiologice la cord și vase:	326	399—405
arcul inferior drept	327	401 a
arcul inferior stîng	330	405

	pag.	fig.
mijlociu stîng	329	404
superior drept	328	400, 402, 403
unghiu de dispariție al vîrfului	332	408
cordului		
conturul superior și butonul aortic	329	403
indicele de profunzime al cordului	332	407
corpii fibrinoși pleurați	290	
„ străini traheobronhici	193	
corticopleurita CHAUMET	296, 304	353—356, 372—374
craterizarea anodului	19	
CROOKES, tubul cu gaz	11	1
croșete kimografice	321	394, 395
culmen	146	
cupola tubului de raze X	29	8, 9, 23
curba pleurală percutorie ELLIS-DEMOISEAU	394	
„ vîrfului lui CHAUMET	394	348

D

dansul arterial MUSSET	353	
„ hilurilor lui PEZZI	344	430
defectul de sept atrial; sindromul LUTEMBACHER	366	448 b
defectul de sept ventricular, boala lui ROGER	365	447
deformarea obiectelor	44	45—47
densimetria filmelor radiologice	62, 72	
densitometria, scafografia, computer-tomografia (C.T.)	82	80—85
deplasarea imaginilor	46	48, 49
desenul vascular la adult, FELIX	126	116—123
desenul vascular la copil	132	124
developarea filmelor în camera obscură	58	
„ la lumina zilei	58	
„ cu mașina automată	58	56, 57
diafragmul normal	147	161
„ patologic	310	383—389
diafragma cu volete a tubului de raze X	33	24
diagnosticul diferențial al proceselor care se pro-		
iectează în hil	134	126
diametrele aortei și arterei pulmonare	370	453 B
diametrele cordului pe ortodiagramă	330	406+Tabelul IV
diapneutica	325	
diformitățile toracice	150	
difuziunea radiatiilor	35	27
digrafia toracelui	65	61, 62
dilatația atrialui drept	342	
„ stîng	343	424
„ și hipertrofia ventriculului drept	339	419—421
„ „ stîng	341	422, 423
dilatațiile bronhice	196	213—217
dilatațiile bronhice ampulare și sacciforme	200	217 b
„ „ anatomie patologică	197	213

	pag.	fig.
dilatațiile bronhice, caverna broniectatică	199	215 b
,, ,, cilindrice cu lipiodol	200	217 b
,, ,, congenitale	197	
,, ,, imagine în „bule de săpun“	198	215 a
,, ,, ,, „cifra 8“	198	214 b
,, ,, ,, „lemn găurit de carii“	198	214 b
,, ,, ,, „tuburi goale“	198	217 d
,, ,, ,, „tuburi pline“	198	214 a
,, ,, tranzitorii	200	
,, ,, triunghiul broniectatic RIST și BESANÇON	199	216
dimensiunile focarului tubului	48	50
disc anodic de grafit	22	11
,, ,, cu talerul de molibden	20	10
diseminări t.b.c. bronhogene	231	255
,, ,, hematogene	233	157, 256—258
distinctor HOLZKNECHT sau de la exploratorul ALBRECHT	54	
distrofia pulmonară progresivă	212	211
divergenței, legea	34	26
diverticulul pericardic	360	
doza gonadică	53	
doza maximă permisă (doza de toleranță MUTSCHELLER)	53	
doza de raze X în HODGKIN	287	
dozimetria de protecție	53	
DUANE, formula	20	
dublu contur concentric	347	426
,, feston	347	427
,, inversat	347	428

E

EBSTEIN, boala	364	446
embolia pulmonară	215	238
embolizarea arterială, diapeutica	325	
echinococzoa pulmonară primitivă	255	283—294
,, secundară	262	295
ecografie, sonografie (U.S.)	88	86—99
ecografie bidimensională modul B (<i>Brightness Modulation</i>)	90	86—90 c
ecografie modul M (<i>Time Motion</i>)	89	90 b, 94 b
ecografie unidimensională modul A (<i>Amplitude Modulation</i>)	89	86 e, 90 b, 94 a
ecranele întăritoare din casete (foliile); folia de la ecranul radioscopic	57	55 a
ecranul radiologic	71	69, 70, 72
ectazia aortică	371	403, 436
ectazii bronhice	196	213—217
edemul pulmonar acut	215	182 d

	pag.	fig.
efectul de cavitație al ultrasunetelor	101	
" EDISON-RICHARDSON	16	3—5
" COMPTON	36	32
" fotochimic	56	
" fotoelectric	36	28—30
" de luminescență	57	55 a
" piezo-electric	89	
" de sumăție	49	51
" de sustracție	48	51
" THOMSON	37	
electrozi	18	2, 6
electron catodic	18	4, 5
" COMPTON sau de difuziune	36	32, 33
electrokimografia cordului	321	396
" toracelui	72	68
ELLIS-DEMOISEAU, curba percutorie	393	346, 348—350
emfizemul pulmonar	209	232—235, 298, 299
cronic generalizat	209	
localizat: bulos sau chistic	211	233, 234
localizat: difuz	215	298, 299
funcțional, <i>volumen pulmonum</i>		
<i>auctum</i>	211	
mediastinal	213	235
pneumatozel	212	234
unilateral, sindrom JAMUS	190	
" " " " MAC LEOD	190, 212	
endoscopul ultrasonic	98	93
epituberculoza ELIASBERG și NEULAND	228	250, 251
eventrația diafragmatică	310	382—385
expunerea automată a radiografiilor	59	56—58
extinderea abcesului pulmonar	187	203

F

factorul giromagnetic	108	
fagure, imaginea în	158, 160	173 b, 177 e
FANCONI-HEGLIN, sindromul	183	
fanta BOCHDALEK	312	
fanta LARREY	312	387
fanta MORGAGNI	312	387
febra „Q“	181	
FELIX, concepția	138	132
fenomenul HOLZKNECHT-IACOBSSON	201	
fenomenul de magnetostricțiune	89	
fenomenul sumăției și sustracției planurilor	48	51
fenomenul proiecției conice	33, 43	25, 41, 42
fenomenul WILLIAMS	310	
fereastră acustică	101	
fibromul pulmonar	262	
fibrotoraxul VINCENTI	243	275, 357

	pag.	fig.
fibroza chistică pulmonară	160, 184	177 e
fibrozele interstițiale pulmonare	254	173 b, d, 179 a
filamentul catodului	18	3—5
filmul dozimetric	53	55 b
filmul radiografic	53, 58	55 b
fistula ganglio-bronșică	232	253
fiziologia aparatului circulator	337—344	418—424
fiziologia aparatului respirator	148	162.
fizica razelor X	15—52	1—54 și Tabelul I
fluorescența și fosforescența	55, 56	55
focalizarea grilei	39	36, 37
focarele initiale MALMROSS și HEDWALL	234	257
focarul optic	20	7, 10
focarul termic	19	6, 7, 11
folia fluorescentă de la ecran	55	55
foliile fosforescente (întăritoare) din casete	57	55 a
forma inimii	335	414—416
formarea imaginii radiologice	40	38—54
formarea imaginilor patologice pulmonare	150—158	163—182
formarea de perechi	38	34
forme clinice și radiologice de pneumonie	172	188—190
forme de torace KRETSCHMER	335	414—417
formula DUANE	20	
photoelectronul	25	17
FOWLER, virful	145	151
ftizia	235	259—275
„ forma exudativă	242	262 b, 269, 271
„ forma fibroasă	243	273, 274
„ forma cu leziuni mixte	244	
„ forma productivă	242	272
„ hipercronică	245	
funcționarea aparatului de raze X	28	2

G

gadolinium	33, 56	55 a
ganglioneurinomul mediastinal	283	331, 332
gangrena pulmonară	188	
ganglionii traheo-bronsici	226	243—245
gastrotoraxul SAVY	298	357
generatorul de raze X	17	2, 75—78
GOETZE, legea focarului tubului	20	7, 10
granulia canceroasă	267	310
EMPIIS	233	153, 256
„ rece, BURNAND și SAYÉ	233	
GRÄFF și KUPFERLE, clasificarea formelor de tuberculoză pulmonară	242	
grila antidiuze LYSHOLM-SCHÖNANDER	38	36, 37
POTTER-BUCKY	38	36, 37
„ gripă, bronhopneumonia în	180	
gușa retrosternală	279	324—327

H

	pag.	fig.
HAMMAN-RICH, sindromul	255	
hamartroamele pulmonare	263	
HEGGLIN-FANCONI, sindromul	183	
hematom disecant al aortei	374	458
hemosideroza pulmonară	215	
hepatizația cenușie	169	
" galbenă în pneumonie	171	
" roșie	168	184
hernia diafragmatică	312	386, 387, 506
hertz [Hz], megahertz [MHz]	88	
hidropneumopericardul	360	
hidropneumotoraxul	155, 306	170, 376
hidrotoraxul	290, 348	
hilita ENGEL	163	182 d
hilurile arteriale	348	430
hilurile de stază	349	429
hilul vascular și diagnosticul lui diferențial	134	126, 176
hipertensiunea în arterele pulmonare (liniile KERLEY)	214, 348	180, 236
hipertensiunea în venele pulmonare (cordoaanele SYLLA)	214, 348	238
hipertransparența pulmonară	150, 156	232—235
hipertrofia de timus	276	317—323
hipostaza plămânilui	178	197
HITTORF, tubul cu gaz	17	1
HOUNSFIELD și computertomografia (C.T.)	11, 82	80—85
HURMUZESCU DRAGOMIR	11	

I

imageria medicală	13, 107	100
imaginea cardio-vasculară	317	390—458
imaginea componentelor osoase ale toracelui	125	115
imaginea desenului vascular principal	129	119
" hilurilor	127	116—118
" în „miez de pîine“	158	173 a, 266
" părților moi ale toracelui	124	114
" plămânilui și desenul pulmonar	126	116
" radiologică și formarea ei	40	38—54
imaginea în rozetă AMEUILLE	198	214 c
imaginea toracelui la copil	132	124
" " și plămânilui normal	123	113—162
" " în poziții oblice	133	409—413
" " din profil	132	125
" rețeaua principală la adult	129	119
" " secundară	131	122
" tipurilor de desen pulmonar	131	123

	pag.	fig.
imaginea venelor pulmonare	130	120
imagini de calcificare	125, 160, 360	115, 170, 257, 258, 270, 442
cavitare	155, 170, 199, 232, 237	207, 215, 252—254, 263—269, 271
în „fagure de miere“, în „bule de săpun“	158	173, 177, 266
în „miez de pâine“	297	353—358
„ de fibrozare pleurală	157	170, 172
„ hidroaerice	162, 214	180, 236
„ liniare: KERLEY	216	238
„ liniare: SYLLA	239	268, 292
„ de mutilare a plămâinului	157, 160	171, 177, 179
„ reticulare	156, 209	208—211, 232
„ prin transparență crescută	151	163—169
„ prin transparență scăzută	130	121
împărțirea ariilor pulmonare	89	
impedanța acustică	13	
importanța radiologiei medicale	333	409—413
incidente directe	50	52—54
indicele de malignitate R.M.N. DAMADIAN-KOIVULO	118	
„ de profunzime a ventriculului stîng	332	407
infarctul miocardic	357	439
„ pulmonar	215	238
înfiltratul fugace (labil)	183	
„ LÖFFLER	183	
„ nébulos DUFOURT	236	262 b
patrulater HERRNHEISER	236	
precoce ASSMANN	236	165, 260
cu reacție B.W. pozitivă	183	
„ rotund FLEISCHNER	236	261
inflamațiile aortei, aortite	371	403, 454
„ bronhiilor	194	212
mediastinului	288	
netuberculoase ale plămâinului	165	183—207
pericardului	358	440—442
pleurei	290	343—371
scizurilor	299	360—363
„ t.b.c. ale plămâinului	216	239—275
informatica în radiologie	118	
înregistrarea imaginilor pe bandă magnetică	79	77, 78
„ „ „ pe disc magnetic sau optic	79	77, 78
înregistrarea pe filme $10 \times 10 \text{ cm}^2$ (amplifotografie)	79	77
înregistrarea imaginilor pe film cinematografic	79	77, 78
instalația de radiodiagnostic	75	1, 2, 75—78
„ „ „ cu televiziune	75	76—78

	pag.	fig.
insuficiență acută ventriculară stingă (astmul cardiac)	209, 355	
" aortică	353	435, 436
" mitrală	349	431—433
" " functională	351	
" " organică	350	431—433
intensitatea fasciculului de raze X	31	
interpretarea ortodiagramei	327	400—403
intradermoreacția MANTOUX, reacția von PIRQUET	220	
istoricul radiologiei medicale	11	
izotopii radioactivi	13, 23	

K

KARTAGNER, sindromul	200	
kenotron, ventile, redresori cu seleniu	29	
KIENBÖCK-ALAŞEVSKI, semnul	310	
kilovolt (kV)	20	
kilovoltamper (kVA)	26	20—22
kilowatt (kW)	26	
kimodensigrafia	72, 321	68, 396
kimografia	66, 320	63, 392—395
kimografia esofagiană STRNAD	269	
kimografia în trepte sau liniară	319	393—395
kimografia PLEIKART-STUMPF	319	393—395
kimografia plană	319	393—395
KRETSCHMER, tipurile constituiționale	335	414—417
KREUTZFUCHS, tehnica pentru măsurarea aortei	371	453 B
KUNDRAT, limfosarcomul mediastinal	287	340—342

L

legea BRAGG și PIERCE	39, 48	
" divergenței	43	41—43
" incidențelor tangențiale	50	52—54
" lui LOUIS, tot sau nimic	337	
" " în tuberculoza pulmonară	235	
" lui PARROT în tuberculoza pulmonară	227	
" sumăției și sustracției planurilor	48	51
" lui STOCKES	310	
" tentelor	48	
legile opticii radiologice:	43	41
deformarea obiectelor	44	45—47
deplasarea imaginilor	46	48, 49
dimensiunile focalului	48	50
fenomenul proiecției conice	43	42—44
mărirea și micșorarea imaginii	43	41—43
paralaxa	47	49
lentile electronice pentru amplificator	75	71, 72, 74
levograma	324	398

	pag.	fig.
limfangita canceroasă primitivă	269	305
" secundară	272	305
" t.b.c.	225	241
limfoamele non-hodgkiniene	287	340—342
limfogranulomatoza malignă HODGKIN	286	337—339
limfomul giganto-folicular BRILL-SYMMERS	287	
limfosarcomul mediastinal KUNDRAT	287	340—342
linia bordantă TOURNANT	294	348
" ELLIS-DEMOISEAU	294	346, 348
liniile KERLEY	162, 215, 348	180, 236
" SYLLA	216, 348	238 a
lingura HOLZKNECHT	54	
lobii pulmonari și segmentele de ventilație	140	134
localizatoare	59	
logetronul lui CRAIG	62	59
luminanță	61	59
luminescență	57	
lungimile de undă ale radiatiilor electromagnetice	16	

Tabelul I

M

magnetografia de „spin”, rezonanța magnetică de spin nuclear	107	100
malformațiile bronho-pulmonare	189	208—211
" cardio-vasculare	362	443—452
" toracice	125	115
manevra MÜLLER	202, 311	
" VALSALVA	203	
manifestările mediastinale în B.B.S.	253	282
" " .. limfomul giganto-folicular	287	
" " .. HODGKIN	286	337—339
" " .. leucoze	288	
" " .. limfo- și reticulosarcom	287	340—342
masa de comandă cu organe de reglaj (control)	31	75
masa de examinare	32	75
mărirea imaginii radiologice	43	41, 42
măsurarea aortei și arterei pulmonare	370	453 A
măsurătorile cordului și vaselor mari	331	406, Tabelul IV
măsuri pentru reducerea iradierilor	53	
mecanismul de producere a razelor X	15	2—5, 17
metalizarea tubului, craterizarea anodului	29	
mediastinul, anatomie	275	314—316
" adenopatiile benigne	254	282
" " maligne	286	337—342
" chistul bronhiogenic	284	333
" " dermoid	284	335, 336
" " pleuro-pericardic, JANSSON	284, 360	328, 334
" ganglioneurinomul	283	331, 332

	pag.	fig.
mediastinul, guşa întratoracică	279	324—328
" hipertrofia de timus	276	318—323
limfomul giganto-folicular, BRILL-SYMMERS	287	
" limfogranulomatoza malignă, HODGKIN	286	337—339
" limfosarcomul, KUNDRAT	287	340—342
" timusul normal	276	317
" tumorile	276	337—342
mediastinită	288	
metastazele bronhice	273	
" cancerului bronho-pulmonar	272	310, 311, 312
" în plămâni, ale cancerului	272	310, 313
metodele de bază pentru examenul aparatului		
respirator	122	
metode de examinare ale cordului și vaselor mari	317	390—417
— „dinții“ de pe kimografie	321	394
— kimografia GOTTFRIED și ROSENTHAL	319	392
— „ liniară	319	393—395
— „ plană PLEIKART-STUMPF	319	393—395
— metoda BORDET și VAQUEZ	330	405
— ortodiagrama	63, 318	60, 390, 391
— radiofotografia medicală (M.R.F.)	73, 319	69, 70
— radioscozia toracică	317	
— teleradiografia cordului ALBAN KÖHLER	319	
metode de examinare radiologică și principiile lor	40—121	40—112
— amplifotografia	79	77—78
— armonizarea contrastului	62	
— angiografia și angiopneumografia	71	67
— aortografia	71	861—863 A
— bronhografia SICARD și FORESTIER	71	
— calitatea imaginii	58	
— camera obscură: developarea automată	58	56—58
— computertomografia (C.T.), scafografia	82	80—85
— densimetria	62, 72	68
— digrafia	65	61, 62
— electrokimografia și cinedensigrafia	72	68
— filmul radiografic	57	55 b
— kimografia	66	63, 392—395
— logetronul lui CRAIG	62	59
— metoda VAQUEZ și BORDET pentru înscrirea punctului „S“	330	405
— microradicofotografia	73	70
— ortodiagrama lui MORITZ	63	60, 390, 391
— pantomografia	69	66
— pneumodiastinul; pneumotoraxul diagnostic	72	235
— poliradiografia	65	538, 777
— programarea expunerii, automatizarea executării radiografiilor	61	57, 58
— radiofotografia medicală (R.F.M.)	73	69, 70
— radiografia, caseta cu folii	56	55 a

	pag.	fig.
— radiografia în culori	63	
— radiografia cu dublă expunere	64	
— radiografia mărită direct	61	
— radiografia panoramică	70	
— radiografia cu raze dure	64	
— rezonanța magnetică nucleară (R.M.N.)	106	100—114
— sonografia, ecografia (S.)	88	86—99
— termografie medicală	86	
— stereoradiografia	66	
— sustracția planurilor și sustracția digitală (A.D.S.)	62, 71	67
— radioscozia și ecranul radioscopic	55	55 a
— tehnica de angiografie prin sustracție digitală (A.D.S.)	71	67
— teleradiografia	63, 122, 319	
— tomografia, stratigrafia simplă	66	64, 65
— „simultană, multiplă	69	
— xeroradiografia	80	79
„miez de piine“, imaginea în	157	173 a
miliampmetru, miliamper (mA)	26	
miliala pulmonară t.b.c.	233	163, 256
miliröntgen	53	
MINGOT, semnul	305, 359	
miocardul, afecțiunile	356	437—439
mișcările cordului și vaselor mari	333	404
„fiziologice ale lichidului cefalo-rahidian, HOLLAND	117	111
mitrală, boala	352	434
„valvula	352	
modalitățile de rezorbție în pneumonie, DÉVÉ	170	185—187
modificările mediastinului în B.B.S.	253	282
„ „ în boala HODGKIN	286	337—339
„ „ în leucoze	288	
„ „ în limfosarcom	287	340—342
modul cum se face examenul radiologic al cordului	63, 317	60, 390—417
momentul magnetic	107	
montaj cu jumătate de undă	27	19
„cu 4—6 ventile	27	19
M.O.P.P., metoda de chimioterapie DE VITA	287	
mucoviscidoza pulmonară	184	

N

neutronul	23	
nodulii ASCHOFF și PUHL	234	258
„ SIMON-ABRICOSOV	234	257
noțiuni de informatică	116	

O

	pag.	fig.
opacitatea în eşarfă PÉHU și DAGUET	297	356
opacităile pulmonare	151	163—169
orbitele electronilor în atom	23, 26	13, 18
ortodiagrama	63, 318	60, 390, 391, 406

P

pahipleurita	296	353—357
panbronșita t.b.c.	239	267
PANCOAST-TOBIAS, cancerul vîrfului plămînului	270	
panicul adipos SCHWARZ	123	113
pantomografia	69	66
paralaxa, deplasarea imaginilor	47	49
parazitozele pulmonare	255	283—296
particularităile imaginii radiologice	40	38—54
părțile moi ale peretelui toracic	124	114
penetrabilitatea radiațiilor (duritatea)	31	
perforațiile gangliobronșice	232	253, 255
pericardita adezivă, simfiza pericardică	360	441, 442
" exudativă	358	440
" uscată	358	366
pericardul	358	
persistența canalului arterial	366	449
" găurii lui BOTALL	366	448
piesa de concentrare WEHNELT a electronilor		
catodici	18	3—5
piramida lui BAZZANO	169	184 c
piramida pentru radiofotografia medicală	74	69
planul unei instalații R.M.N.	115	112
platinocianura de bariu	11, 55	55
plămînul cardiac	214, 349	236, 237, 429, 430
— hilurile arteriale	348	430
— " de stază	348	429
— hipostaza bazală	178	197
— liniile KERLEY	162, 214	180, 236
— " SYLLA	348	238
plămînul, hilurile și desenul vascular	126	116—123
" modificări de transparentă	150	163—182
" polichistic	190	208—211
" în silicoză	246	276—281
" în tuberculoză	216	239—275
pleura normală	50, 133	52, 127—129
pleurezia axilară OPRAN	303	371
pleurezia diafragmatică	302	369, 370
" etajată DEMETRESCU-MANTE	303	
hilară BARJON	301	

	pag.	fig.
pleurezia lamelară FLEISCHNER	292	344
„ marii scizuri	300	361—363
„ mediastinală în bandă, DESTOT	300	366
„ mediastinală inferioară CHAUFFARD-RIST	297	364
„ mediastinală superioară	301	365
MEIGS	299	
micii scizuri	299	360
„ purulentă	298	359
„ scizurilor oblice	300	361—363
pleureziile închisate, clasificare	299	360—371
pleureziile marii cavități, <i>pleuritis humida</i>	290	343—351
pleureziile sero-fibrinoase, forme clinice	291	343—351
pleureziile uscate, îngroșările pleurale	304	353—356
pleurita apicală SERGENT	296, 304	353, 372—374
pleurite fibrinoase, <i>pleuritis sicca</i>	304	372—374
pneumatozelul	213	234
pneumectomia și exerezele pulmonare	246	
pneumoatmozele	253	
pneumoconiozele	246	276—281
pneumoliza	246	
pneumomediastinul	72, 213	235
pneumonefelozele	253	
pneumonie, forme clinice	165	182, 183
„ atipică	180	
„ cazeoașă, BARJON	231	254
„ cronică primitivă	183	188
„ în febra „Q”	181	
„ franc lobară, clasică	165	182, 183
		Tabelul II
intersițială	181	171
în gripă, triunghiul GÖTCKE	180	
lipoidică	183	
lobului superior drept (D ₁)	166	182, 183—184
din rujeolă	181	
stafilococică	178	198
stadiile de resorbție, DÉVÉ	170	185—187
din tusea convulsivă, triunghiul MARQUEZY	181	199
„ în uremie	182	
pneumopatii acute, clasificare	164	
„ „ nesupurate	165	183—198
„ „ supurate (abcesul și gangrena pulmonară)	184	200—207
pneumoperitoneul	303	370
pneumosclerozele	254	
pneumotoraxul extrapleural	309	
pneumotoraxul lui FORLANINI	245, 306	375—377, 382
„ în mantie	308	324, 378
„ parțial	309	380—382
„ cu supapă	308	379
POTTER-BUCKY, grila LISHOLM	39	36, 37

	pag.	fig.
poziția cordului în torace, KRETSCHMER	335	414—417
precesia LARMOR	107	104
principiul sonarului marin	91	
primoinfecția t.b.c. inflamatorie benignă	228	250, 251
proba inhalării de tabac HITZENBERGER	201	Tabelul III
proba MÜLLER	202	
proba tusei	201	
proba VALSALVA	203	
procedeul IACOBAEUS	246	
„ VAQUEZ și BORDET	330	405
producerea razelor X: schema instalatiei	17, 60, 78	2, 5, 7, 75
programarea expunerii radiografilor	59—61	56—58, 77, 78
proiecția paralelă și ortodiagrama	63, 318	60, 390, 391,
		406
proprietățile fizice ale razelor X	32	24—54
— absorția	34	27
— efectul fotoelectric	37	29, 30
— fasciculul conic	32	25
— fluorescența ecranului radiologic	34	55 a
— formula DUANE	20	
— fosforescența foliilor din casetă	34	
— legea lui BRAGG și PIERCE	39	
— luminiscența ecranului radiologic	33	
— producerea de perechi	38	34
— proiecția conică	33, 45	25, 26, 46
— radiații de difuziune, efectul COMPTON	36	32, 33
— propagarea în spațiu	32	24
protecția contra înaltei tensiuni	54	
„ în radiologie	53	
PRYCE, sechestrata pulmonară	190	
puncturile bioptrice percutane sub ecran (U.S.)	98	93 c
puterea transformatorului	26	
puterea tubului	26	

Q

quotientul (indicele) cardio-pulmonar	332	
QUÉNU și DUVAL, triunghiul	311	383

R

radiatiile caracteristice (de fluorescență)	36	17, 31
radiatiile corpusculare	15	
„ electromagnetice	16	Tabelul I
„ X, natura lor	15	
radicamplifotografia	75	77 (7)
radiocinematografia	75, 77	77 (11)
radiodiagnosticul afecțiunilor pulmonare	149	163—312
radiofotografia medicală (R.F.M.)	73, 75	69, 77 (7)
radiokimografia liniară	321	395 a
radiokimografia plană	321	395 b

	pag.	fig.
rad, rem, rep, R; unități de măsură ale dozei	15	
radiografia	56	55—59
— cu automatizarea expunerii	61	
— în culori	63	
— cu dublă expunere	64	
— mărită direct	61	
— cu raze dure	64	
— în serie, ţintită	65	
radiologia medicală, obiectul	11	
radioprotecția	53	
radioscopia simplă, pe gol	55	
" cu substanță de contrast	70	
" toracică	122	113
RADU EMIL	12	
raportul cardio-pulmonar (quotientul)	332	
razele corpusculare prin efect foto-electric	36	28, 29
" secundare și grila	34, 38	36, 37
" X: duritatea și intensitatea fasciculului	34	
" X: natura, producerea și proprietățile lor	15, 24, 73	
răcirea tubului cu apă	19	6, 9—11
" " prin convecție (radiator cu aripiore)	19	6 b
" " prin iradiere termică, cu ulei	29	9, 23
reacția perifocală	228	250, 251
reacția VON PIRQUET, intradermoreacția		
MANTOUX	220	
redactarea buletinului radiologic SACRÉ; metoda		
LAVAL-JANET	119	
redresarea ambelor alteranțe ale curentului electric	26	19
" trifazică	27	19
relaxarea diafragmatică	310	383
" longitudinală T ₁ , spin-grilă	113	109
relaxarea transversă T ₂ , spin-spin	116	
relieful de intensitate	44	45
reticulozele benigne; sarcoidoza B.B.S.	253	282
reticulosarcomul mediastinal	287	340, 341, 343
reticulozele maligne:		
— HODGKIN	286	337—339
— limfomul giganto-folicular BRILL-SYMMERS	287	
— limfosarcomul KUNDRAT	287	340—342
reticulozele pulmonare	253	282
rețeaua vasculară pulmonară, STEPHANI	129	118—123
reumatismul SOKOLSKI-BOUILAUD, pneumo-		
patia în	178	
revărsatul pericardic închisat	360	334
" " , pericardita	358	440
" pleural închisat	299	359—371
" " , pleurezia exudativă	290	343—358
rezecția pulmonară	246	
rezonanța magnetică nucleară (R.M.N.)	106	100—112
rezorbția în pneumonie, DÈVÈ	173	185—187
ROGER, defectul de sept ventricular, boala	365	447

	pag.	fig.
rolul dimensiunilor focarului tubului	48	50
röntgencinematografia	75	76, 77 (11)
röntgentelevizjunea	77	76, 77 (11)
röntgen (R), unitate de măsură a razelor X	53	
RÖNTGEN, WILHELM CONRAD	11	
rotorul talerului anodic; statorul	20	8—10, 12
rujeola, pneumopatia în	181	

S

sarcoidoza B.B.S.	253	282
sarcomul pleural	274	342
" pulmonar	272	306, 342
scanografie (computertomografia, C.T.)	82	80—84
schimbătorul de casete A.O.T., PUCK-SCHÖNANDER	60, 323	
SCHWEDEL, tehnică pentru măsurarea arterei		
pulmonare	370	453 B
scizurile	135, 300	127—129, 136
scizuritele	305	374
scleroza aortei, aortita	370	403, 454
sclerozele pulmonare	254	
sclerozele mutilante tbc	239	268, 274, 275,
sechele tbc. pulmonare	234	357 249, 257, 258, 268, 274
sechestrarea pulmonară	190	
segmentele de ventilație	138	130—160
" ale lobului inferior drept	144	148—160
" " mijlociu	143	143—147
" " superior drept	139	133—142
" " plămînului stîng	146	
semiozia cardio-vasculară	337	
" în magnetografie	116	
patologică a aparatului respirator	149	163—182
opacităților circumscrise sau nodulii	151	163—166
excesului de transparență	156	208—211, 232—235, 378—382
imaginilor mixte pulmonare	157	170—172, 202—204, 207, 215, 393, 394
imaginilor liniare	155	127, 128, 146, 170, 171, 175
opacităților în „geam șlefuit“	153	177
" umbrelor întinse	154	167
" opacități masive pulmonare	154	168, 169
semnul alveogramiei aeriene	160	
" BÉLOT și PEUTEUIL, al membranei		
plutitoare	260	291
, bifurcației hilare	159	176

	pag.	fig.
semnul bronhogramei aeriene FLEISCHNER	159	
,, ESCUDERO-NEMENOV, respirația chistului hidatic	258	286
,, KERLEY	214, 348	180, 236
,, IVASSINEVICI, arcul dublu	259	290
,, MINGOT	297	
,, lui QUENU și DUVAL	311	383
,, siluetei lui FELSON-MACH	158	174
,, RÖSSLER	365	445
,, SYLLA	216, 348	238
,, WENKEBACH	360	441
,, WILLIAMS	310	
,, WIMBERGER	125, 225; 350 (vol. II)	115, 940
seriograful de la exploratorul ALBRECHT	32	77 (14)
SEVEREANU GHEORGHE	12	
silicatozele	252	
silico-tuberculoza	252	
silicoza (pneumoconiozele)	246	276—281
simfiza pericardică	360	441, 442
,, pleurală	296	353—355. 372—374
sindromul astmatic, astmul ganglionar, astmul cardiac	207—209	
,, CAPLAN-COLINET	250	
,, cavitări negativ	239	
,, CHILAIIDITI	312	389
,, CLAUDE BERNARD-HÖRNER	271	
,, HAMANN-RICH	255	
,, HEERFORDT	254	
,, JANUS	190, 212	
,, interstițial	161, 213	177, 179 b, d
,, MAC LEOD	156, 190, 212	234
,, KARTAGENER	200	
,, de lob mijlociu	207	
,, LOFGREN în B.B.S.	254	282
,, LUTEMBACHER	366	448
,, MARFAN	374	
,, MEIGS	290	
,, PANCOAST-TOBIAS	270	
,, obstrucției bronșice	201	218—220
,, de umplere alveolară	163	182
sinusurile cardio-diafragmatice	123	113
,, costo-diafragmatice	123	113
sistem de cavități	157	173, 246
,, de redresare al alternantelor	27	19
SLUKA, SLUKA-EISLER, triunghiurile	229	251
spațiul lui GRAWITZ	276	314 (A), 320
,, lui HENKE	275	314 (P)
splenopneumonia lui GRANCHER	229	
stabilizatorul de tensiune	28	
stafilococia pulmonară	178	198

	pag.	fig.
stativul aparatului de raze X, orbiskop	78	75, 76, 77
„ cu POTTER-BUCKY	60	56, 75
staza pulmonară	178, 195,	197, 236, 237,
	214, 348	429
stenoza aortică	354	436
„ arterei pulmonare	362	443
„ bronșică	201	tabelul III, 218—220
„ istmului aortic	363	444
stenoza mitrală, boala lui DUROZIEZ	345	426—430
stereoradiografia	66	
stratigrafia	66	64, 65
sticla plumbată, șorțul plumbat	52, 53, 78	77 (2)
structura acinului pulmonar	235	259
„ atomului	23	13
„ materiei	23	13
substanțe de contrast	70	259, 712—716, 765—767
substanțele paramagnetice	116	
sumăția planurilor	48, 62	51
sulfura de zinc și cadmiu	56	55
supape, ventile, redresori de seleniu	27, 29	19
supurațiile pulmonare	184	200—207
„ „ abcesul	185	200—202
„ „ difuze	188	206
„ „ gangrena	188	
„ „ stafilococice	178	198
sustracția planurilor	48	51
SYLLA, cordoanele,	216	238
șancrul de inoculare tbc PARROT-KÜSS-GOHN	224	240, 242
șorțul plumbat, paravanul plumbat	54	77

T

tabelul lui MENDELEEV	39	
tehnica stop-cadrău	92	
„ ultrasonoră DOPPLER	105	99 a, 99 b
telecomanda la aparatelor de raze X	60	56—58
telerradiodiagnosticul	60	56—58, 77, 78 78
telerradiografia pulmonară	122, 319	113
teratomul mediastinal	284	328, 333—336
teritoriile limfatice ale plămînului	226	245
termografia medicală	86	
testul KVEIM în B.B.S.	253	
tetralogia lui FALLOT	368	450
timomul	279	
tempii de relaxare R.M.N.	112	108
timusul, hipertrofia	276	317—323
tipurile de torace, KRETSCHMER	335	414—417

	pag.	fig.
tomografia computerizată (C.T.), scafografia	82	80—86
" simplă	66	64, 65
" simultană DE ABREU	69	64, 65
topografia segmentară a plămînului	136	130—160, 259
<i>topical magnetic resonance</i>	116	
toracele astmatic	150, 208	
" la bătrân	132	
" la copil	132	124
" normal la adult	140, 335	414—417
" operat	315	
" în pozițiile oblice	133, 334	
" din profil	132	125
toracoplastia SAUERBRUCK	246	
traheea și arborele bronșic	136	130, 259
" corpii străini	193	
traheomalacia, deformarea în lamă de sabie	280	
transductorul (de U.S.)	94	90, 91
transformarea și ameliorarea imaginilor radiologice	62	59
transformarea curentului de la rețea	27	19
transformatorii	26	19—22
tratarea imaginii radiologice prin sustracție digitală (A.D.S.)	71	67
traumatismele toracelui	313	
triada bronhică HERXHEIMER	208	
trilogia FALLOT	368	
triunghiul AMEUILLE și LEOBARDY	293	346
triunghiul SLUKA	229	
triunghiul SLUKA-EISLER	230	251
triunghiul WEILL și MOURIQUAND	154, 169	167, 184
tuberculomul, cazeomul	240	270
tuberculoza abortivă BARD	243	257, 258
" adultului, focarele ASCHOFF-PUHL	234	258
" " MALMROSS-		
" " HEDWALL	235	
" " SIMON-ABRICOSOV	235	257
" " forme clinice	235	
" " infiltratul ASSMANN	236	165, 260
" " infiltratul bronho-lobular		
" HERRNHEISER	236	
infiltratul rotund FLEISCHNER	236	261
infiltratul nebulos REDECKER-		
DUFOURT	236	262 a
" " infiltratul precoce	236	260—262
tuberculoza fibroasă cicatriceală	243	257, 258, 274, 268
" fibrocazeoasă productivă	242	272
" " exudativă	242	262, 269, 271
" " cronică	242	
tuberculoza primară, tuberculoza copilului, complexul		
primar benign	223	240—242
" primară, adenopatia traheo-bronșică	225	240—249

		pag.	fig.
"	" complexul primar tbc malign	231	252—255
"	" focarele acinoase	164	177, 182, 259
"	" generalitate	216	
"	" miliară	233	163, 256
"	" tuberculoza pulmonară	216	239—275
"	" calapsoterapia	245, 350, 370, 375	375—382
"	" cavernele	155, 237	170, 252—254, 263—266
"	" reacția perifocală	228	250, 251
"	" tratamentul chirurgical	245	375—378, 382
"	" " medical	245	
"	secundară: ftizia	235, 242	271—273
tubul de raze X, anodul fix		19	6, 7
"	" anodul rotativ	21	8—12
"	" catodul	18	3—5
"	" cupola de protecție	29	9, 23
"	" focarul optic, focarul termic	20	7, 10—12
"	cu gaz CROOCKES	17	1
"	HITTORF	17	1
"	cu vid COOLIDGE	17	2, 6, 23
tulburările de hemodinamică		337	418—424
tumorile benigne pulmonare		262	
"	maligne pulmonare	263	297—312
"	mediastinale	275	314—342
"	" chistice	284	333—336
"	" disembrioplazice	284	333—336
"	" neurogene	283	331, 332
"	pleurale	273	313
tungsten, filamentul de		18	3—5

U

ultrasunetele (U.S.), ecografia, sonografia	88	86—99
unghiu de bifurcație al traheei	136	130
" de dispariție al virfului cordului	330	405
unitățile de măsură ale razeilor X; R, rem, rad, rep	16, 53	Tabelul I
uremia, bronhopneumonia în	182	

V

valvulopatiile cardiaice	345	426—436
VALSALVA, manevra	203	
VAQUEZ și BORDET, metoda tangentei	330	405
vaporizarea filamentului	29	
vasele mari de la baza cordului	326, 370	399, 453 A, 453 B
vasele pulmonare și desenul vascular	127	116—123

	pag.	fig.
velocimetria sanguină	103	99
vîrful lui FOWLER, lobul lui DÈVÈ	144	151
venele pulmonare	130	120
ventile, supape, redresori	29	
ventriculul cardiac unic	365	447
<i>video-viver</i>	73	
VILLARD, montajul	27	19 b
viteza de propagare a razelor X	32	
voiletele de diafragmă	54	
voltmetrul	12	2
<i>volumen pulmonium auctum, emfizemul funcțional</i>	211	

W

WEHNELT, piesa de concentrare	18	3—5
WILLIAMS, semnul	310	
WIMBERGER, semnul	126	115
WRISBERG, lobul lui	141	129, 374
wolframul (tungstenul)	18	3—5

Z

zonele pulmonare (segmentele de ventilație)	138	130—160
zonografia, cu unghi de baleaj mic	69	

X

xeroradiografia	80	79
-----------------	----	----

TABLA DE MATERII

I. DEFINIȚIE, ISTORIC, GENERALITĂȚI	11
Importanța radiologiei medicale și relațiile cu alte discipline	13
II. FIZICA RAZELOR RÖNTGEN (X)	15
Producerea razelor Röntgen	15
<i>Catodul</i>	18
<i>Anodul</i>	19
Atomul și structura materiei	23
Mecanismul producerii razelor X și a altor radiații electromagnetice	24
Despre transformatori	26
Funcționarea aparatului de raze Röntgen	28
Cupola tubului de raze X	29
Calitatea și cantitatea razelor X	30
Accesoriiile aparatului de raze X	31
Proprietățile fizice ale razelor X	31
Imaginea radiologică și formarea ei	40
Legile opticii radiologice	43
<i>Fenomenul proiecției conice</i>	43
<i>Mărirea imaginii</i>	43
Deformarea imaginilor obiectelor	44
<i>Deplasarea imaginilor</i>	46
<i>Rolul dimensiunilor focalului</i>	48
<i>Legea tentelor</i>	48
<i>Fenomenul sumăției și sustracției planurilor</i>	48
<i>Legea incidențelor tangențiale</i>	50
III. PROTECȚIA ÎN RADIODIAGNOSTIC ȘI ÎN RADIOTERAPIE	53
IV. METODELE DE CERCETARE RADIOLOGICĂ ȘI PRINCIPIILE LOR	55
Radioscopia	55
Radiografia	56
Filmul radiologic	57
Camera obscură	58
Radiografia mărită direct	61
Programarea expunerii și automatizarea executării radiografiei	61
Logetronul	62
Sustracția	62
Armonizarea contrastelor	62
Densimetria	62
Radiografia în culori	63
Teleradiografia	63
Ortodiagrama	63
Radiografia cu raze dure	64
Radiografie cu dublă expunere	64
Poligrafia	65
Digrafia	65
Kimografie	66
Tomografie	66

Zonografie	69
Pantomografie	69
Imaginea panoramică izolată	70
Angiografia și angicardiografia	71
Bronhografia	71
Pneumotoraxul diagnostic	71
Pneumomediastinul	72
Cinedensigrafia	72
Kimodensigrafia	72
Radiofotografie	73
Amplifotografie	75
Metode electronice pentru obținerea imaginii radiologice	75
<i>Amplificatorul electronic de imagini</i>	75
<i>Telecomanda</i>	80
<i>Xeroradiografie</i>	80
<i>Tomografie computerizată. Scanografie</i>	82
<i>Termografie medicală</i>	86
<i>Ecografie (Ultrasunetele)</i>	88
Noțiuni de informatică în radiologie medicală	118
Redactarea buletinului radiologic cu calculatorul	119
V. EXAMENUL RADIOLOGIC AL APARATULUI RESPIRATOR	122
Metodele de bază pentru examinarea aparatului respirator	122
Semiologia radiologică a toracelui și a plămînului normal	123
<i>Părțile moi ale peretelui toracic</i>	124
<i>Componentele osoase ale imaginii toracice</i>	125
<i>Semiologia plămînului normal la adult</i>	126
<i>Toracele și desenul vascular la copil</i>	132
<i>Imaginea toracelui din profil</i>	132
<i>Imaginea toracelui în pozițiile oblice</i>	133
<i>Pleura</i>	133
<i>Topografia segmentară a plămînului</i>	136
<i>Schema arborelui bronhic</i>	136
<i>Segmentele de ventilație</i>	138
<i>Lobul superior drept</i>	139
<i>Lobul mijlociu</i>	143
<i>Lobul inferior</i>	144
<i>Segmentele de ventilație ale plămînului stîng</i>	146
<i>Diafragmul normal</i>	147
<i>Fiziologia aparatului respirator</i>	148
<i>Semiologia radiologică a toracelui și plămînului patologic</i>	149
<i>Configurația toracelui normal</i>	149
<i>Diformitățile toracice constitutionale</i>	150
<i>Modificările transparenței pulmonare</i>	150
<i>Opacitățile</i>	151
<i>Imaginile prin exces de transparență</i>	156
<i>Imaginile mixte</i>	157
<i>Date asupra formării imaginilor radiologice patologice</i>	158
<i>Semnul siluetei lui Felson</i>	158
<i>Semnul bifurcației hilare</i>	159
<i>Bronhograma aeriană</i>	159
<i>Semnul alveogramamei aeriene</i>	160
<i>Pereții bronhici</i>	160

Sindromul intersticiul	161
Sindromul de umplere alveolară	163
Clasificarea afecțiunilor aparatului respirator	164
Diagnosticul radiologic al afecțiunilor acute pulmonare	164
<i>Pneumopatiiile acute nesupurate</i>	165
<i>Pneumonia lobară clasice</i>	165
<i>Pneumonia segmentului de ventilație</i>	169
<i>Bronhopneumonia sau pneumonia în focare</i>	174
<i>Bronhopneumoniile nespecifice</i>	178
<i>Bronhopneumoniile specifice bacteriene</i>	178
<i>Bronhopneumonia gripală</i>	180
<i>Adenovirozele</i>	180
<i>Bronhopneumonia virotică</i>	180
<i>Bronhopneumonia din rujeolă și tusea convulsivă</i>	181
<i>Bronhopneumonia uremică</i>	182
<i>Bronhopneumonia prin inhalare de substanțe chimice</i>	182
<i>Bronhopneumoniile alergice</i>	183
<i>Pneumonia lipoidică</i>	183
<i>Pneumonia cronică primitivă</i>	183
<i>Mucoviscidoza pulmonară (fibroza chistică)</i>	184
<i>Pneumopatiiile acute supurate; Generalități</i>	184
<i>Suprafațile pulmonare circumschreite</i>	185
<i>Abcesul pulmonar</i>	185
<i>Gangrena pulmonară</i>	188
<i>Malformațiile bronho-pulmonare</i>	189
<i>Chistul aerian, plăminul polichistic</i>	190
<i>Diagnosticul radiologic al afecțiunilor traheei și bronhiilor</i>	193
<i>Corpii străini tracheo-bronhici</i>	193
<i>Bronșitele</i>	194
<i>Bronșita acută obișnuită</i>	194
<i>Brongiolita sau bronșita capilară</i>	194
<i>Bronșita cronică</i>	195
<i>Bronșita deformantă</i>	195
<i>Bronșita segmentară</i>	196
<i>Dilatațiile bronhice. Bronșectaziile</i>	196
<i>Tulburările ventilației bronho-pulmonare</i>	201
<i>Bronhostenoza</i>	201
<i>Atelectazia pulmonară</i>	203
<i>Colapsul pulmonar</i>	207
<i>Sindromul de lob mijlociu</i>	207
<i>Astmul bronhial</i>	207
<i>Astmul ganglionar</i>	209
<i>Astmul cardiac</i>	200
<i>Emfizemul pulmonar</i>	209
<i>Emfizemul cronic generalizat</i>	209
<i>Bronhopneumopatia obstructivă cronică (BPOC)</i>	211
<i>Emfizemul localizat</i>	211
<i>Tulburările circulației pulmonare</i>	214
<i>Plăminul cardiac</i>	214
<i>Hipostaza bazală</i>	215
<i>Ciroza cardiacă a plăminului</i>	215
<i>Edemul pulmonar acut</i>	215
<i>Infarctul pulmonar</i>	215

Pleura cardiacă	216
Tuberculoza pulmonară	216
Ciclul evolutiv și clasificarea stadială a tuberculozei	221
Tuberculoza pulmonară primară; tuberculoza copilului	223
Repartiția topografică a ganglionilor limfatici tracheo-bronhici	226
Teritoriile limfatice	226
Adenopatia satelită	227
Primoinfecția extensivă inflamatorie benignă	228
Tuberculoza secundară: fitizia	235
Infiltratul precoce	235
Caverna tuberculoasă	237
Tuberculomul	240
Fitizia manifestă. Tbc fibrocazeoasă cronică	242
Tuberculozele fibroase cicatriciale	243
Aspecte radiologice după tratament	245
Pneumoconiozele	246
Silicoza	246
Silicotuberculoza	252
Silicatozele	252
Pneumonefelozele	253
Pneumoconiozele neprofesionale	253
Pneumomatozele	253
Sarcoidoza: Boala lui Besnier—Boeck—Schaumann	253
Sclerozele pulmonare: fibrozele interstițiale	254
Micozele pulmonare	255
Afectiunile pulmonare parazitare	255
<i>Chistul hidatic pulmonar primitiv</i>	255
<i>Chistul hidatic secundar</i>	256
<i>Echinococoza secundară</i>	256
<i>Cisticercoza pulmonară</i>	262
Tumorile bronho-pulmonare	262
Tumorile benigne pulmonare	263
Cancerul bronho-pulmonar	263
<i>Cancerul central, cancerul hilar</i>	264
<i>Cancerul bronhiilor mari</i>	264
<i>Cancerul bronhic periferic</i>	269
Caverna canceroasă	271
Sarcomul pulmonar	272
Cancerul secundar al plăminului	272
Tumorile pleurale	273
VII. EXAMENUL RADIOLOGIC AL MEDIASTINULUI	275
Generalități	275
<i>Hipertrofia de timus</i>	276
<i>Gusa retrosternală</i>	279
Tumorile mediastinale neurogene	283
Tumorile disembrioplazice (<i>chistul bronhiogenic, chistul pleuro-pericardic, chistul dermoid</i>)	284
Tumorile maligne mediastinale	286
<i>Limfogranulomatoza malignă</i>	286
<i>Limfoamele nehodkiniene (Limosarcomul, reticulosarcomul)</i>	287
<i>Modificările mediastinale în leucemie</i>	287
Mediastinita acută	288
Mediastinita cronică	289

VII. AFECȚIUNILE PLEUREI	290
<i>Pleureziile exsudative ale marii cavități</i>	290
<i>Pahișeurita și simfiza</i>	296
<i>Fibrotoraxul</i>	297
<i>Calcificările pleurale</i>	297
<i>Hidrotoraxul</i>	298
<i>Pleureziile purulente acute</i>	298
<i>Pleurezia purulentă cronică</i>	299
<i>Pleureziile închisate</i>	299
<i>Pleureziile interlobare</i>	299
<i>Pleureziile mediastinale</i>	300
<i>Pleureziile diafragmatice</i>	302
<i>Pleureziile uscate, pleurite fibrinoase sau pleuritele</i>	304
<i>Excese de transparență în patologia pleurei</i>	305
<i>Pneumotoraxul</i>	305
<i>Hidropneumotoraxul</i>	308
VIII. DIAFRAGMUL PATOLOGIC	310
IX. TRAUMATISMELE TORACICE	313
X. TORACELE OPERAT	315
XI. EXAMENUL RADIOLOGIC AL CORDULUI ȘI VASELOR MARI	317
Metode de examinare	317
<i>Radioscopia toracică</i>	317
<i>Ortodiagrafia</i>	318
<i>Teleradioscopia; teleradiografia; radiofotografia; kimografia</i>	319
<i>Electrokimografie</i>	321
<i>Cateterismul inimii și al vaselor mari</i>	322
<i>Angiocardiografia</i>	323
<i>Aortografie</i>	324
<i>Embolizarea arterială prin cateterism: diapeutica</i>	325
<i>Modul cum decurge examinarea toracelui pentru cord și vasele mari</i>	325
<i>Scintigrafia</i>	326
Aspectul radiologic normal al cordului și vaselor de la bază	326
Interpretarea ortodiagramelor: corespondențe anatomo-radiologice	327
Diametrele și dimensiunile cordului	331
Pozițiile de examinare ale cordului și vaselor de la bază și cavitățile ce se văd mai bine în fiecare poziție	333
Poziția cordului în torace: forma inimii	335
<i>Cordul oblic</i>	335
<i>Cordul vertical</i>	335
<i>Cordul orizontal</i>	336
<i>Cordul copilului mic</i>	336
XII. SEMEIOLOGIA PATOLOGICĂ ELEMENTARĂ CARDIO-VASCULARĂ	337
Semeiologia patologică a cavităților cordului în tulburările de hemodinamică	337
Dilatația și hipertrofia cavităților cordului	338
<i>Dilatația și hipertrofia ventriculului drept</i>	339
<i>Hipertrofia pură</i>	339
<i>Dilatația de rezistență</i>	339
<i>Dilatația de umplere</i>	341
<i>Dilatația și hipertrofia ventriculului stîng</i>	341
<i>Hipertrofia pură</i>	341
<i>Dilatația de rezistență</i>	341
<i>Dilatația de umplere</i>	342

Dilatația atriului drept	342
Dilatația atriului stîng	343
Modificările mișcărilor cardio-vasculare	344
XIII. BOLILE CORDULUI PRIN LEZIUNILE VALVULARE MITRALE	345
Stenoza mitrală	345
Hilurile de stază. Plăminul cardiac	348
<i>Hilurile de stază</i>	348
<i>Hilurile arteriale</i>	348
Insuficiența mitrală	349
<i>Insuficiența mitrală organică</i>	350
<i>Insuficiența mitrală funcțională</i>	351
<i>Boala mitrală</i>	352
XIV. AFECȚIUNILE VALVULELOR AORTICE	353
Insuficiența aortică	353
Stenoza aortică	354
<i>Insuficiența cardiacă stîngă</i>	355
<i>Insuficiența cardiacă dreaptă</i>	355
<i>Insuficiența cardiacă globală</i>	355
XV. AFECȚIUNILE MIOCARDULUI	356
XVI. AFECȚIUNILE PERICARDULUI	358
Pericarditele uscate sau fibrinoase	358
Pericardita exudativă. Hidropericardul	358
Pneumopericardul. Hidropneumopericardul	360
Simfiza pericardică	360
XVII. AFECȚIUNILE CONGENITALE ALE CORDULUI ȘI VASELOR MARI	362
Anomalii fără shunt arterio-venos. Cardiopatii necianogene	362
<i>Stenoza arterei pulmonare</i>	362
<i>Stenoza istrului aortic</i>	363
Anomalia Ebstein	364
Anomalii cu shunt arteriovenos	365
<i>Defectul de sept ventricular (Boala lui ROGER)</i>	365
<i>Persistență găurii lui BOTALL</i>	366
<i>Persistența canalului arterial</i>	366
Anomalii cu shunt veno-arterial. Cardiopatii cianogene	368
<i>Tetralogia FALLOT</i>	368
<i>Trilogia FALLOT</i>	368
<i>Complexul EISENMENGER</i>	369
XVIII. AORTA	370
Aortitele	370
Anevrismul aortic	372
Anevrismul disecant al peretelui aortic; hematomul disecant	374
INDEX ALFABETIC — volumul I	377

ГЕОРГЕ КИШЛЯГ

МЕДИЦИНСКАЯ РАДИОЛОГИЯ

(Понятия и схемы)

Том I

ОГЛАВЛЕНИЕ

I Определения. История. Общие понятия	11
II Физика лучей Рентгена	15
III Противолучевая защита при радиодиагностике и радиотерапии	53
IV Радиологические методы исследования и их принципы	55
V Рентгенологические обследование дыхательной системы	122
VI Рентгенологическое обследование средостения	275
VII Плевральные заболевания	290
VIII Патологическая диафрагма	310
IX Травмы грудь	313
X Оперированная грудь	315
XI Рентгенологическое обследование сердца и крупных сосудов	317
XII Сердечно-сосудистая элементарная патологическая семиология	337
XIII Заболевания сердца вследствие порока митрального клапана	345
XIV Клапанные заболевания аорты	353
XV Заболевания миокарда, миокардит	356
XVI Заболевания перикарда	358
XVII Врождённые болезни сердца и крупных сосудов	362
XVIII Аорта; рентгенологическая анатомия	370
Алфавитный указатель	377

GHEORGHE CHIŞLEAG

Medical radiology

(Notions and Schemata)

1st VOLUME

I. Definition, history, rudiments	11
II. X-Ray physics	15
III. Protection against radiations in Radiodiagnosis and Radiotherapy	53
IV. Investigation methods of radiology and their principles	55
V. X-Ray examination of respiratory tract	122
VI. X-Ray examination of mediastinum	275
VII. Pleura disorders	290
VIII. Pathological diaphragm	310
IX. Thorax trauma	313
X. Operated thorax	315
XI. X-Ray examination of the heart and of the large vessels	317
XII. Elementary cardio-vascular pathological semeiology	337
XIII. Heart disorders due to mitral valve damage	345
XIV. Aorta valve lesions	353
XV. Affections of myocardium, myocarditis	356
XVI. Affections of pericardium	358
XVII. Congenital disorders of the heart and the large vessels	362
XVIII. Aorta; X-ray anatomy	370
Index	377

Redactor: MIHAI CAZIMIR
Tehnoredactor: ELENA GĂRĂJAU

Bun de tipar: 8.IX.1986. Coli tipar: 25,75.
Lucrare apărută în regia autorului.

Tiparul executat sub comanda nr. 415/1985, la
Întreprinderea Poligrafică „Crișana“, Oradea,
str. Leontin Sălăjan nr. 105.
Republica Socialistă România

